



АБИТУРИЕНТ

Ю.Г. ПАВЛЕНКО

ФИЗИКА

ИЗБРАННЫЕ ЗАДАЧИ

КНИГА

2

МАГНИТНОЕ ПОЛЕ. ЭЛЕКТРОМАГНИТНАЯ ИНДУКЦИЯ.
ЭЛЕКТРИЧЕСКИЙ ТОК В СРЕДЕ. ЭЛЕКТРОМАГНИТНЫЕ
КОЛЕБАНИЯ. ПЕРЕМЕННЫЙ ТОК В RCL-ЦЕПЯХ.
ЭЛЕКТРОМАГНИТНЫЕ ВОЛНЫ. ОПТИКА. ОСНОВЫ
ТЕОРИИ ОТНОСИТЕЛЬНОСТИ. КВАНТОВАЯ ФИЗИКА



ЭКЗАМЕН

Ю.Г. Павленко

ФИЗИКА

ИЗБРАННЫЕ ЗАДАЧИ

КНИГА II

Магнитное поле
Электромагнитная индукция
Электрический ток в среде
Электромагнитные колебания
Переменный ток в RCL-цепях
Электромагнитные волны
Оптика
Основы теории относительности
Квантовая физика

Издательство
«ЭКЗАМЕН»

МОСКВА
2008

УДК 53(076.1)

ББК 22.3я7

П12

Павленко, Ю.Г.

П12 Физика. Избранные задачи. Кн. II: Магнитное поле. Электромагнитная индукция. Электрический ток в среде. Электромагнитные колебания. Переменный ток в RCL-цепях. Электромагнитные волны. Оптика. Основы теории относительности. Квантовая физика / Ю.Г. Павленко. — М.: Издательство «Экзамен», 2008. — 430, [2] с. (Серия «Абитуриент»)

ISBN 978-5-377-00973-3

Это издание, состоящее из двух книг, представляет собой сборник задач и вопросов по всем разделам курса физики средней школы: «Кинематика», «Основы динамики», «Молекулярная физика. Тепловые явления», «Механика жидкостей и газов», «Электростатика», «Электрический ток», «Магнитное поле», «Электромагнитная индукция», «Колебания и волны», «Оптика», «Элементы теории относительности» и «Квантовая физика». Предлагаемые свыше 1 600 задач и вопросов отражают наиболее существенные для каждой темы понятия и законы. Включен материал, который, как показала практика приемных экзаменов на естественные факультеты МГУ, наиболее сложен для абитуриентов.

Приведены решения всех задач. Анализируя свою работу, читатель получит объективную информацию об уровне подготовки и разделах программы, требующих дополнительного изучения.

Для учащихся старших классов, абитуриентов и преподавателей.

УДК 53(076.1)

ББК 22.3я7

Подписано в печать с диапозитивов 07.09.2007. Формат 60х90/16.

Гарнитура «Таймс». Бумага типографская. Уч.-изд. л. 14,85.

Усл. печ. л. 27. Тираж 50 000 (1-й завод — 5000) экз. Заказ №4824002

ISBN 978-5-377-00973-3

© Павленко Ю.Г., 2008

© Издательство «ЭКЗАМЕН», 2008

Оглавление

УСЛОВИЯ ЗАДАЧ

Глава V. МАГНИТНОЕ ПОЛЕ	9
5.1. Магнитное поле. Силы Лоренца и Ампера.....	9
5.2. Магнитное поле постоянного тока. Закон Био—Савара—Лапласа	16
5.3. Закон Максвелла—Ампера. Поток электромагнитной энергии в электрической цепи	22
Глава VI. ЭЛЕКТРОМАГНИТНАЯ ИНДУКЦИЯ	26
6.1. Электромагнитная индукция.....	26
6.2. Моторы и генераторы постоянного тока	37
6.3. Самоиндукция. Взаимоиндукция	42
6.4. Магнитные свойства вещества.....	45
Глава VII. ЭЛЕКТРИЧЕСКИЙ ТОК В СРЕДЕ	50
7.1. Электрический ток в электролитах	50
7.2. Электрический ток в вакууме	52
7.3. Электрический ток в газах	58
Глава VIII. ЭЛЕКТРОМАГНИТНЫЕ КОЛЕБАНИЯ	61
8.1. Свободные электромагнитные колебания	61
8.2. Вынужденные электромагнитные колебания.....	67
8.3. Трансформатор	74
8.4*. Представление уравнений Кирхгофа в комплексной форме	77
Глава IX. ПЕРЕМЕННЫЙ ТОК В RCL-ЦЕПЯХ	84
9.1. Схемы, содержащие резисторы, конденсаторы и индуктивности	84
9.2. Электромеханика	89
Глава X. ЭЛЕКТРОМАГНИТНЫЕ ВОЛНЫ	95
10.1. Электромагнитные волны. Радиосвязь и телевидение.....	95
10.2. Интерференция. Дифракция.....	99
Глава XI. ОПТИКА	110
11.1. Принцип Ферма. Отражение и преломление света	110
11.2. Волны в неоднородной и анизотропной средах	120
11.3. Тонкие линзы	124
11.4. Оптические системы и приборы	132

Глава XII. ОСНОВЫ ТЕОРИИ ОТНОСИТЕЛЬНОСТИ	144
12.1. Преобразование Лоренца.....	144
12.2. Релятивистские импульс и энергия частицы. Рождение новых частиц.....	148
12.3. Релятивистская электродинамика	152
Глава XIII. КВАНТОВАЯ ФИЗИКА. АТОМ И АТОМНОЕ ЯДРО	155
13.1. Фотон. Фотоэффект. Квантовая теория атома	155
13.2. Радиоактивность. Ядерные реакции	161

ОТВЕТЫ К ЗАДАЧАМ

Глава V. МАГНИТНОЕ ПОЛЕ	169
5.1. Магнитное поле. Силы Лоренца и Ампера.....	169
5.2. Магнитное поле постоянного тока. Закон Био—Савара—Лапласа	170
5.3. Закон Максвелла — Ампера. Поток электромагнитной энергии в электрической цепи	171
Глава VI. ЭЛЕКТРОМАГНИТНАЯ ИНДУКЦИЯ	172
6.1. Электромагнитная индукция.....	172
6.2. Моторы и генераторы постоянного тока	173
6.3. Самоиндукция. Взаимоиндукция	174
6.4. Магнитные свойства вещества.....	174
Глава VII. ЭЛЕКТРИЧЕСКИЙ ТОК В СРЕДЕ	175
7.1. Электрический ток в электролитах	175
7.2. Электрический ток в вакууме	175
7.3. Электрический ток в газах	176
Глава VIII. ЭЛЕКТРОМАГНИТНЫЕ КОЛЕБАНИЯ	177
8.1. Свободные электромагнитные колебания	177
8.2. Вынужденные электромагнитные колебания.....	178
8.3. Трансформатор.....	179
8.4. Представление уравнений Кирхгофа в комплексной форме	179
Глава IX. ПЕРЕМЕННЫЙ ТОК В RCL-ЦЕПЯХ	180
9.1. Схемы, содержащие резисторы, конденсаторы и индуктивности	180
9.2. Электромеханика	180
Глава X. ЭЛЕКТРОМАГНИТНЫЕ ВОЛНЫ	182
10.1. Электромагнитные волны. Радиосвязь и телевидение.....	182

10.2. Интерференция. Дифракция.....	182
Глава XI. ОПТИКА	184
11.1. Принцип Ферма. Отражение и преломление света	184
11.2. Волны в неоднородной и анизотропной средах	185
11.3. Тонкие линзы	185
11.4. Оптические системы	186
Глава XII. ОСНОВЫ ТЕОРИИ ОТНОСИТЕЛЬНОСТИ	188
12.1. Преобразование Лоренца.....	188
12.2. Релятивистские импульс и энергия частицы. Рождение новых частиц.....	188
12.3. Релятивистская электродинамика	189
Глава XIII. КВАНТОВАЯ ФИЗИКА. АТОМ И АТОМНОЕ ЯДРО	190
13.1. Фотон. Фотоэффект. Квантовая теория атома	190
13.2. Радиоактивность. Ядерные реакции	191

РЕШЕНИЯ ЗАДАЧ

Глава V. МАГНИТНОЕ ПОЛЕ	195
5.1. Магнитное поле. Силы Лоренца и Ампера.....	195
5.2. Магнитное поле постоянного тока. Закон Био—Савара—Лапласа	206
5.3. Закон Максвелла—Ампера. Поток электромагнитной энергии в электрической цепи	211
Глава VI. ЭЛЕКТРОМАГНИТНАЯ ИНДУКЦИЯ	216
6.1. Электромагнитная индукция.....	216
6.2. Моторы и генераторы постоянного тока	234
6.3. Самоиндукция. Взаимоиндукция	237
6.4. Магнитные свойства вещества.....	241
Глава VII. ЭЛЕКТРИЧЕСКИЙ ТОК В СРЕДЕ	247
7.1. Электрический ток в электролитах	247
7.2. Электрический ток в вакууме	248
7.3. Электрический ток в газах	255
Глава VIII. ЭЛЕКТРОМАГНИТНЫЕ КОЛЕБАНИЯ	258
8.1. Свободные электромагнитные колебания	258
8.2. Вынужденные электромагнитные колебания.....	273
8.3. Трансформатор.....	279
8.4*. Представление уравнений Кирхгофа в комплексной форме ...	281

Глава IX. ПЕРЕМЕННЫЙ ТОК В RCL-ЦЕПЯХ	288
9.1. Схемы, содержащие резисторы, конденсаторы и индуктивности	288
9.2. Электромеханика	297
Глава X. ЭЛЕКТРОМАГНИТНЫЕ ВОЛНЫ	305
10.1. Электромагнитные волны. Радиосвязь и телевидение	305
10.2. Интерференция. Дифракция	310
Глава XI. ОПТИКА	323
11.1. Принцип Ферма. Отражение и преломление света	323
11.2. Волны в неоднородной и анизотропной средах	341
11.3. Тонкие линзы	349
11.4. Оптические системы и приборы	360
Глава XII. ОСНОВЫ ТЕОРИИ ОТНОСИТЕЛЬНОСТИ	373
12.1. Преобразование Лоренца	373
12.2. Релятивистские импульс и энергия частицы. Рождение новых частиц	385
12.3. Релятивистская электродинамика	391
Глава XIII. КВАНТОВАЯ ФИЗИКА. АТОМ И АТОМНОЕ ЯДРО	396
13.1. Фотон. Фотоэффект. Квантовая теория атома	396
13.2. Радиоактивность. Ядерные реакции	403

ВОПРОСЫ И БЛИЦ-ОТВЕТЫ

Механика	411
Молекулярная физика и термодинамика	413
Гидростатика	416
Электродинамика	418
Механические колебания	422
Волны	423
Литература	428
Справочные данные	430

УСЛОВИЯ ЗАДАЧ

Глава V. МАГНИТНОЕ ПОЛЕ

5.1. Магнитное поле. Силы Лоренца и Ампера

Сила Лоренца. В конце позапрошлого века в 1892 г. нидерландский физик Хенрик Лоренц записал выражение для силы, действующей на заряд q , движущийся в магнитном поле

$$\vec{F}_L = q\vec{v} \times \vec{B} \quad (5.1.1)$$

Здесь \vec{v} — скорость заряда, символ « \times » обозначает векторное произведение \vec{v} и \vec{B} . В координатной записи $\vec{v} = (v_x, v_y, v_z)$, $\vec{B} = (B_x, B_y, B_z)$ компоненты вектора \vec{F}_L имеют вид

$$\begin{aligned} F_{Lx} &= q(v_y B_z - v_z B_y), & F_{Ly} &= q(v_z B_x - v_x B_z), \\ F_{Lz} &= q(v_x B_y - v_y B_x). \end{aligned} \quad (5.1.2)$$

Заряженная частица в электромагнитном поле. Если скорость частицы массой m значительно меньше скорости света, то для определения координат в момент времени t необходимо найти решение уравнения

$$m \frac{d\vec{v}}{dt} = q\vec{E} + q\vec{v} \times \vec{B} + m\vec{g}. \quad (5.1.3)$$

Сила Ампера. Сила $\Delta\vec{F}_A$, действующая на ориентированный элемент провода длиной Δl , сечением S , по которому идет ток силой I :

$$\Delta\vec{F}_A = I\Delta\vec{l} \times \vec{B} \quad (5.1.4)$$

Момент силы Ампера, действующей на рамку с током в магнитном поле. Ориентация рамки (или петли) определяется единичным вектором \vec{n} , перпендикулярным к плоскости рамки и направленным в одном из двух возможных направлений. В электродинамике принято правило, связывающее ориентацию вектора \vec{n} и положительное направление на контуре: вращение буравчика (винта с правой нарезкой) в положительном направлении приводит к его перемещению в направлении вектора \vec{n} .

Момент сил Ампера, действующих на рамку с током в однородном магнитном поле можно представить в виде

$$\vec{M} = IS\vec{n} \times \vec{B}, \quad (5.1.5)$$

где S — площадь рамки.

5.1.1*. Магнитное поле Земли. В околоземном пространстве индукция магнитного поля

$$\vec{B}(\vec{r}) = 3\vec{r} \frac{(\vec{\mu}\vec{r})}{r^5} - \frac{\vec{\mu}}{r^3},$$

где \vec{r} — радиус-вектор с началом в центре Земли, $\vec{\mu}$ — вектор, направленный от южного магнитного полюса к северному полюсу, его величина $\mu = 4,2 \cdot 10^5 \cdot R^3$ Тл, R — радиус Земли.

Получите уравнение силовых линий магнитной индукции.

5.1.2*. Магнитная индукция аксиально-симметричного магнитного поля

$$\vec{B}(x, y, z) \approx b(z) \vec{e}_3 - (\rho/2) db/dz \vec{n},$$

где \vec{e}_3 — единичный вектор, направленный по оси z , $\vec{n} = (\cos\varphi, \sin\varphi, 0)$, φ — угол между осью x и проекцией радиус-вектора на плоскость xy , $\rho = (x^2 + y^2)^{1/2}$. Покажите, что уравнение силовой линии $b(z)\rho^2 = \text{const}$.

5.1.3–5.1.4. Движение заряженной частицы в однородном магнитном поле. В ограниченной области пространства можно создать однородное магнитное поле. В этой области индукция магнитного поля $\vec{B} = (0, 0, B)$ — постоянный вектор.

5.1.3. В начальный момент времени $t = 0$ радиус вектор $\vec{r}(0) = 0$, начальная скорость $\vec{v}(t) = (0, v_0, 0)$. Найдите решение уравнений движения заряженной частицы.

5.1.4. В начальный момент времени $t = 0$ радиус вектор $\vec{r}(0) = 0$, начальная скорость $\vec{v}(0) = (0, v_0, u)$. Найдите решение уравнений движения заряженной частицы.

5.1.5. Компоненты вектора магнитной индукции в декартовых координатах $\vec{B} = (0, 0, b)$, $b > 0$. Из начала координат вылетает электрон со скоростью $\vec{v} = (v_1, v_2, 0)$, где $v_1 > 0$, $v_2 > 0$. Центр окружности, по которой движется электрон, находится в области:

А. $x > 0, y > 0,$

Б. $x < 0, y > 0,$

В. $x < 0, y < 0,$

Г. $x > 0, y < 0,$

Д. $x > 0.$

5.1.6. Протон и альфа-частица ускоряются из состояния покоя в электростатическом электрическом поле, и попадая в однородное магнитное поле, движутся по дугам окружностей. Найдите отношение радиусов окружностей протона R_p и альфа-частицы R_α .

5.1.7. Индукция магнитного поля $\vec{B} = (0, 0, B)$ — постоянный вектор. В начальный момент времени $t = 0$ два протона находятся в начале координат.

А. Начальные скорости $\vec{v}_1(t) = (0, v_1, 0)$, $\vec{v}_2(t) = (v_2, 0, 0)$. Найдите расстояние $s(t)$ между протонами.

Б. Начальные скорости $\vec{v}_1(t) = (v_1, 0, 0)$, $\vec{v}_2(t) = (v_2, 0, 0)$. Найдите расстояние $s(t)$ между протонами.

5.1.8. Пучок электронов, вылетающих из одной точки, движется в магнитном поле индукцией $\vec{B} = (0, 0, B)$, перпендикулярной плоскости экрана. Начальные скорости электронов $v = (v_0 \cos \alpha, v_0 \sin \alpha, u)$, отличаются значениями угла α . Экран находится в плоскости $z = L$. Покажите, что все электроны фокусируются в одной точке экрана при условии $L = un(2\pi/\omega)$, $n = 1, 2, \dots$, $\omega = eB/m$.

5.1.9. Протон ускоряется в электростатическом поле из состояния покоя и попадая в постоянное однородное магнитное поле индукцией \vec{B} , движется по винтовой линии с шагом h на цилиндрической поверхности радиусом R . Найдите разность потенциалов $\Delta\phi$ начальной и конечной точек траектории протона в электростатическом поле.

5.1.10. Электроны ускоряются электронной пушкой, проходя разность потенциалов V , и движутся по прямой GT' . В точке T на расстоянии s от точки G находится мишень T . Угол $T'GT$ равен α . При наложении однородного постоянного магнитного поля электроны попадают на мишень.

А. Найдите величину вектора индукции, если вектор \vec{B} направлен перпендикулярно плоскости рис. 5.1.10 а.

Б. Найдите величину вектора индукции, если вектор \vec{B} направлен параллельно отрезку GT .

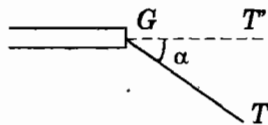


Рис. 5.1.10 а

5.1.11*. Магнитная стенка. Протон движется в неоднородном постоянном поле индукцией $\vec{B} = (0, 0, b/ch^2ky)$. В начальный момент времени $t = 0$ радиус вектор $\vec{r}(0) = (0, -s, 0)$, $s \gg 1/k$, начальная скорость $\vec{v}(0) = (0, v_0, 0)$. Найдите условие, при котором протон отразится в область $y < 0$.

5.1.12. Заряженная частица движется в параллельных однородных электрическом поле напряженностью $\vec{E} = (0, 0, E)$ и магнитном поле индукцией $\vec{B} = (0, 0, B)$. В начальный момент времени $\vec{v}(0) = (0, v_0, 0)$. Найдите промежуток времени τ , через который кинетическая энергия частицы возрастет в два раза.

5.1.13. Заряд q движется в области экватора в магнитном поле Земли индукцией $\vec{B} = (0, B, 0)$. В начальный момент времени $\vec{r}(0) = (0, 0, h)$, $\vec{v}(0) = 0$. Найдите границы области движения заряда по координате z .

5.1.14*. Плоский магнетрон. Плоскости $y = d$ и $y = 0$ являются анодом и катодом, разность потенциалов между которыми равна V (рис. 5.1.14). Вектор магнитной индукции $\vec{B} = (0, 0, B)$. Электроны испускаются катодом с начальной скоростью $\vec{v}(0) = 0$. Найдите наименьшее значение $B = B_m$, при котором ток во внешней цепи отсутствует.

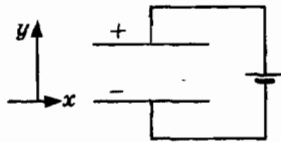


Рис. 5.1.14

5.1.15*. Заряд q массой m движется во взаимно перпендикулярных однородных электрическом, магнитном и гравитационном полях: $\vec{E} = (0, E, 0)$, $\vec{B} = (B, 0, 0)$, $\vec{g} = (0, 0, -g)$. Начальная скорость $\vec{v}(0) = 0$. Найдите максимальное значение величины скорости заряда \dot{v}_m .

5.1.16. Электрон движется в однородных постоянных электрическом и магнитном скрещенных полях, т.е. угол между напряженностью электрического поля \vec{E} и индукцией магнитного поля \vec{B} равен 90° . Найдите начальную скорость электрона \vec{v}_0 , если электрон движется с постоянной скоростью $\vec{v}(t) = \vec{v}_0$.

5.1.17*–5.1.18*. Эксперимент Томсона. В 1897 г. Дж.Дж. Томсон впервые определил природу катодных лучей и показал, что они

представляют собой поток частиц с наибольшим значением отношения заряда к массе e_0/m — электронов. Пучок электронов влетает в конденсатор, представляющий собой две параллельные, горизонтально расположенные пластины длиной l , помещенные в катодную трубку. В конце трубки на расстоянии s от пластин расположен экран, покрытый сернистым цинком (рис. 5.1.17).

5.1.17. Найдите величину отклонения электронов h по оси y .

5.1.18. Для исключения неизвестной величины начальной скорости электронов v_0 конденсатор поместили в магнитное поле индукцией $\vec{B} = (0, 0, B)$. Найдите условие, при котором электроны движутся по прямой линии и отношение e_0/m .

5.1.19. Заряженная частица находится на диске, вращающемся вокруг оси, проходящей через центр перпендикулярно плоскости диска. Диск находится в однородном постоянном магнитном поле индукцией \vec{B} , направленном параллельно вектору угловой скорости. Масса частицы — m , заряд — q . Найдите максимальное значение величины угловой скорости, при котором частица удерживается на поверхности диска на расстоянии r от оси.

5.1.20. По горизонтальной непроводящей плоскости катится без проскальзывания заряженное кольцо со скоростью $\vec{u} = (0, u, 0)$. Заряд кольца q , масса m . Кольцо находится в однородном постоянном магнитном поле индукцией $\vec{B} = (B, 0, 0)$. Найдите силу реакции N_x , действующую на кольцо.

5.1.21. Заряженная частица, прикрепленная к нити, движется в вертикальной плоскости в магнитном поле. Вектор индукции магнитного поля \vec{B} направлен перпендикулярно плоскости (рис. 5.1.21). Масса и заряд частицы m, q , длина нити l . Найдите минимальное значение величины скорости v_m в нижней точке траектории, при которой частица совершит полный оборот.

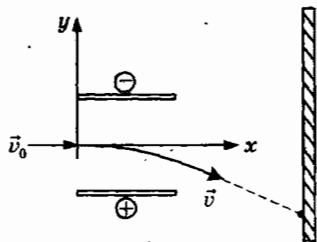


Рис. 5.1.17

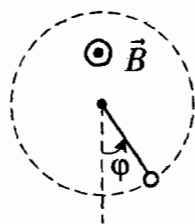


Рис. 5.1.21

5.1.22*. Первая частица с зарядом e и вторая с зарядом $-e$ закреплены на концах невесомого стержня длиной l . Эта система, называемая диполем, движется в горизонтальной плоскости xu в однородном, постоянном магнитном поле. Вектор магнитной индукции $\vec{B} = (0, 0, B)$. Массы частиц $m_1 = m_2 = m$. Положение диполя определяется тремя координатами: $\vec{R} = (x, y, 0)$ — радиус-вектор центра масс и φ — угол между осью x вектором $\vec{r} = \vec{r}_2 - \vec{r}_1$. Получите уравнения движения диполя и найдите несколько частных решений.

5.1.23. Металлическая полоска, расположенная в горизонтальной плоскости xu параллельно оси Y , может перемещаться по двум параллельным проводникам вдоль оси X в магнитном поле индукцией $\vec{B} = (B, 0, 0)$, $B = 10^{-2}$ Тл. Длина полоски $L = 0,1$ м, вес $P = 2 \cdot 10^{-2}$ Н. Если через полоску протекает ток силой $I = 10$ А в положительном направлении оси Y , то для смещения полоски достаточно приложить силу $\vec{F} = (f, 0, 0)$. Найдите минимальную величину силы F_2 , которую необходимо приложить к полоске, если ток силой $I = 10$ А протекает в отрицательном направлении оси Y .

5.1.24. По двум параллельным проводникам текут в одном направлении токи силой I_1 и I_2 . Расстояние между проводами d . Найдите величину силы \vec{F}_2 , действующей на элемент второго провода длиной Δl .

5.1.25. Произвольно расположенный провод соединяет точки A и C . В точку A втекает ток силой I (рис. 5.1.25). Провод находится в постоянном однородном магнитном поле индукцией \vec{B} . Найдите силу Ампера, действующую на провод.

5.1.26. На рис. 5.1.26 изображен проводник в виде окружности радиусом $a = 5$ см. Сопротивление схемы между точками M и N равно $R = 0,25$ Ом. К этим точкам подключен генератор напряжения, создающий разность потенциалов $V = 1$ В. Вся система находится в постоянном однородном магнитном поле с индукцией $\vec{B} = (0, B, 0)$, $B = 10^{-3}$ Тл. Определите силу Ампера, действующую на проводник.

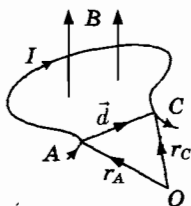


Рис. 5.1.25

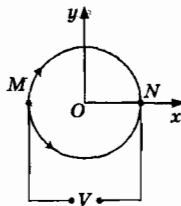


Рис. 5.1.26

5.1.27. Ребра тетраэдра $ABCD$ изготовлены из однородной проволоки. Сопротивление ребра длиной $L = 5$ см равно $R = 1$ Ом. К вершинам A и B тетраэдра приложено постоянное напряжение $U = 10$ В. Тетраэдр помещают в однородное постоянное магнитное поле индукцией \vec{B} , направленной перпендикулярно ребру AB . Величина индукции $B = 0,01$ Тл. Найдите величину силы, действующей на тетраэдр.

5.1.28. На горизонтальной плоскости находится проводящий контур в форме квадрата. Сопротивление стороны квадрата R , длина стороны a . К точкам M и N на серединах противоположных сторон подключен генератор напряжения, создающий разность потенциалов V (рис. 5.1.28). Вся система находится в постоянном однородном магнитном поле с индукцией $\vec{B} = (0, 0, B)$. Масса контура m . Определите силу реакции плоскости N_y .

5.1.29. На рис. 5.1.29 a изображена прямоугольная рамка $ABCD$ со сторонами $AB = CD = b$, $BC = DA = a$. Рамка может вращаться вокруг оси z , проходящей через середины сторон AB и CD . Ориентацию рамки зададим единичным вектором \vec{n} , перпендикулярным к плоскости рамки и направленным в одном из двух возможных направлений. На рис. 5.1.29 a ориентация рамки определяется углом $\varphi(t)$ между вектором \vec{n} и осью x . Рамка находится в однородном постоянном магнитном поле индукцией \vec{B} , параллельной оси y : $\vec{B} = (0, B, 0)$. Найдите проекцию на ось z суммы моментов сил Ампера M_z , действующих на рамку. Сила тока I .

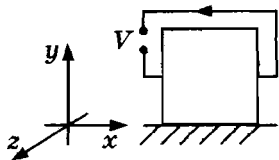


Рис. 5.1.28

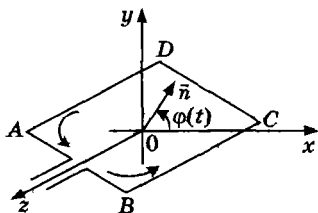


Рис. 5.1.29 a

5.1.30. Квадратная рамка из однородного провода плотностью $\rho = 2,7 \cdot 10^3$ кг/м³, сечением $S = 1$ мм² лежит на горизонтальной плоскости. Вектор магнитной индукции однородного магнитного поля величиной $B = 10^{-2}$ Тл параллелен двум сторонам рамки. Найдите минимальное значение силы тока I_m в проводах, при которой рамка начнет поворачиваться вокруг одной из сторон.

5.1.31*–5.1.32*. Проводник в форме полуокружности радиусом a , соединяющий точки A и C , может вращаться вокруг оси z . В точку A втекает ток силой I (рис. 5.1.31). Проводник находится в постоянном однородном магнитном поле индукцией $\vec{B} = (B, 0, 0)$.

5.1.31. Найдите радиус-вектор \vec{r}_c точки приложения силы Ампера, действующей на проводник.

5.1.32. Определите силу \vec{F}_K , которую необходимо приложить к точке K , чтобы сумма моментов сил относительно оси z стала равной нулю.

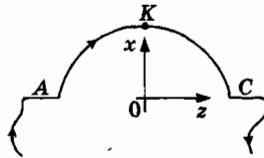


Рис. 5.1.31

5.1.33–5.1.34. По тонкому замкнутому проводнику сечением S в виде окружности радиусом a протекает ток силой I . Кольцо находится в однородном постоянном магнитном поле индукцией \vec{B}_0 , перпендикулярной плоскости кольца.

5.1.33. Найдите напряжение σ в кольце.

5.1.34. Найдите относительное удлинение проводника.

5.1.35. Объясните, почему силы Ампера деформируют соленоид: сжимают в продольном направлении и растягивают в плоскости, перпендикулярной оси.

5.2. Магнитное поле постоянного тока. Закон Био—Савара—Лапласа

Закон Био—Савара—Лапласа. В 1820 г. французские ученые Ж. Био и Ф. Савар установили зависимость силы, действующей на магнитную стрелку, от расстояния до провода, по которому протекал постоянный ток. Индукция магнитного поля \vec{B} , создаваемая пространственным распределением токов, определяется решением уравнений, открытых Д. Максвеллом в 1864 г. Однако еще в 1820 г. выдающийся математик и физик П.С. Лаплас, обобщая

результаты опытов Био—Савара, установил закон, позволяющий найти вектор индукции магнитного поля, создаваемого линейным проводником с постоянным током.

Представим участок провода, по которому протекает ток силой I в виде последовательности малых векторов $\Delta \vec{l}_k$ ($k=1, 2, \dots, N$) и выберем на каждом элементе точку k с радиус-вектором \vec{r}_k . Ток, протекающий через элемент $\Delta \vec{l}_k$, создает в точке $P(x, y, z)$ с радиус-вектором \vec{r} магнитное поле индукцией ΔB_k ,

$$\Delta \vec{B}_k(r) = \frac{\mu_0 I}{4\pi R_k^3} \Delta \vec{l}_k \times \vec{R}_k. \quad (5.2.1)$$

Здесь $\mu_0 = 4\pi \cdot 10^{-7}$ Н/А² — магнитная постоянная, $\vec{R}_k = \vec{r} - \vec{r}_k$. Вектор \vec{R}_k идет из точки \vec{r}_k в точку P (рис. 5.2). Вектор $\Delta \vec{B}_k$ перпендикулярен плоскости, в которой лежат векторы $\Delta \vec{l}_k$ и \vec{R}_k .

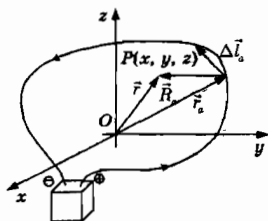


Рис. 5.2

Суммируя вклады всех элементов $\Delta \vec{l}_k$, получим вектор индукции $\vec{B}(\vec{r})$ магнитного поля, создаваемого петлей в точке P . Силовые линии магнитного поля представляют собой замкнутые кривые.

Магнитное поле прямого длинного провода с током. Вектор \vec{B} (x, y, z) в точке P (x, y, z) направлен по касательной к окружности радиусом r с центром на оси z в плоскости перпендикулярной оси z , расположенной на расстоянии z от начала координат. Величина вектора магнитной индукции

$$B = \frac{\mu_0 I}{2\pi r}. \quad (5.2.2)$$

Магнитное поле кругового витка с током. Ориентацию витка радиусом a в плоскости xy зададим единичным вектором перпендикулярным плоскости витка $\vec{n} = (0, 0, 1)$. Положительное направление на контуре определяется правилом буравчика: буравчик смещается параллельно вектору \vec{n} , если его вращать в положительном направлении. Индукция магнитного поля на оси z в точке $\vec{r} = (0, 0, z)$:

$$B_z(z) = \frac{\mu_0 I a^2}{2(a^2 + z^2)^{3/2}}. \quad (5.2.3)$$

Магнитное поле объемного распределения тока. Закон Био—Савара—Лапласа представляет собой частный случай общего решения уравнений Максвелла. Пусть $\vec{j}(t, x, y, z)$ — плотность тока в среде объемом V . Если пренебречь магнитными свойствами среды, то в точке $P(x, y, z)$ с радиус-вектором $\vec{r} = (x, y, z)$ вектор магнитной индукции можно представить в виде интеграла по объему

$$\vec{B}(t, \vec{r}) = (\mu_0/4\pi) \int dV' \vec{j}(t, \vec{r}') \times \vec{R}/R^3, \quad (5.2.4)$$

где \vec{r}' — вектор, проведенный из начала координат в точку окрестности элементарного объема dV' , $\vec{R} = \vec{r} - \vec{r}'$.

В частности, при вращении сферы радиусом R , заряженной до потенциала ϕ , следует заменить $\vec{j} dV$ на $\sigma(\vec{\omega} \times \vec{r}) dS$, где $\vec{\omega}$ — угловая скорость тела, $\sigma = \epsilon_0 \phi/R$ — поверхностная плотность заряда, dS — площадь элементарной площадки на поверхности.

Магнитное поле, создаваемое связанными зарядами. Если поляризационные заряды диэлектрика перемещаются, то возникает электрический ток, который является источником магнитного поля. В этом случае плотность тока

$$\vec{j} = d\vec{P}/dt,$$

где \vec{P} — плотность дипольного момента.

Закон Гаусса. Поток вектора магнитной индукции через замкнутую поверхность

$$\sum_{k=1}^N \vec{n}_k \cdot \vec{B}(\vec{r}_k) \Delta S_k = 0, \quad (5.2.5)$$

где \vec{n}_k — единичный вектор внешней нормали к элементу поверхности ΔS .

5.2.1. Магнитное поле прямого длинного провода с током. По длинному прямолинейному проводу протекает ток силой I . Найдите индукцию магнитного поля, создаваемого током.

5.2.2. Рамка в форме прямоугольника со сторонами a и b , по которым протекает ток силой I , расположена в плоскости длинного провода с током I_0 (рис. 5.2.2). Сторона длиной b параллельна длинному проводу, расстояние от провода до средней линии прямоугольника равно x . Найдите силу \vec{F} , действующую на рамку.

5.2.3. Два длинных параллельных провода расположены в плоскости перпендикулярной вектору индукции постоянного однородного поля (рис. 5.2.3 а). Величина индукции поля $B_0 = 10^{-5}$ Тл. По проводника текут в противоположные стороны токи силой $I_1 = I_2 = I$, $I = 1$ А. Магнитная сила Ампера, действующая на каждый проводник, равна нулю. Найдите расстояние d между проводниками.

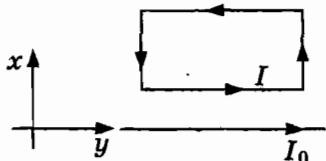


Рис. 5.2.2

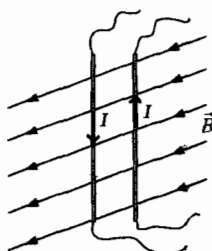


Рис. 5.2.3 а

5.2.4. Два длинных параллельных провода параллельны оси z и проходят на плоскости xy через точки $A_1(0, 0, 0)$, $A_2(s, 0, 0)$, $s = 1$ м. По первому проводу протекает ток силой $I_1 = 4$ А в положительном направлении оси z .

А. По второму проводу протекает ток силой $I_2 = 6$ А в положительном направлении оси z . Найдите геометрическое место точек, в которых индукция магнитного поля равна нулю.

Б. По второму проводу протекает ток силой $I_2 = 6$ А в отрицательном направлении оси z . Найдите геометрическое место точек, в которых индукция магнитного поля равна нулю.

5.2.5. Три параллельных длинных провода, по которым протекают в одном направлении токи силой $I_1 = I_2 = I_3 = I$, расположены на равных расстояниях s друг от друга. Найдите значение индукции магнитного поля \vec{B}_C в точке C , одинаково удаленной от всех проводников.

5.2.6. Магнитное поле кругового витка с током. По замкнутому проводнику в форме окружности радиуса a , течет ток силой I . Ориентацию витка зададим единичным вектором перпендикулярным плоскости витка $\vec{n} = (0, 0, 1)$. Положительное направление на контуре определяется правилом буравчика: буравчик смещается параллельно вектору \vec{n} , если его вращать в положительном направлении. Найдите индукцию магнитного поля, создаваемого витком на оси z в точке $\vec{r} = (0, 0, z)$.

5.2.7. Электрон в атоме водорода вращается по орбите радиусом $a = 0,053$ нм. Найдите величину индукции магнитного поля в «центре» протона.

5.2.8–5.2.9. Кольца Гельмгольца. Индукция магнитного поля прямого провода и витка зависит от координат, т.е. является неоднородным. Можно получить однородное поле в окрестности начала координат, используя два витка: первый виток в плоскости $z = a/2$, второй — в плоскости $z = -a/2$, по которым текут параллельные токи силой I .

5.2.8. Найдите компоненту индукции $B_z(z)$, создаваемую нижним и верхним витками на оси z и значение $B_z(0)$.

5.2.9. Покажите, что при смещении от точки $z = 0$ на малую величину $|\Delta z| = \epsilon \ll a$ функция $B_z(z)$ получает приращение $\sim \epsilon^4$. Следовательно, кольца Гельмгольца представляют собой уникальное устройство для создания в небольшой области однородного магнитного поля.

5.2.10. Петля радиусом R образована отрезком длинного провода, по которому протекает ток силой I (рис. 5.2.10). Найдите величину индукции магнитного поля в центре петли.

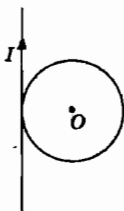


Рис. 5.2.10

5.2.11. По изолированному проволочному кольцу течет ток силой $I_1 = 10$ А. Длинный прямолинейный провод, по которому течет ток силой $I_2 = 10$ А, помещен параллельно оси кольца и касается кольца.

Радиус кольца a . Найдите величину магнитной индукции в центре кольца.

5.2.12*. На цилиндрическую катушку длиной l , радиусом a намотано плотно и равномерно N витков проволоки. Сила тока, протекающего по проволоке I . Используя закон Био—Савара, найдите компоненту индукции магнитного поля $b_z(z)$ на оси z катушки, пренебрегая продольной составляющей плотности тока.

5.2.13*. «Толстый соленоид». Цилиндрический соленоид представляет собой катушку с внутренним радиусом a , на которую намотано плотно и равномерно N витков проволоки. Внешний радиус обмотки b . Используя результат задачи 5.2.12, найдите компоненту индукции магнитного поля $b_z(z)$ на оси z катушки.

5.2.14. Магнитное поле в окрестности торца соленоида или оси витка. На рис. 5.2.14 изображены силовые линии магнитного поля, симметричного относительно оси z . В плоскости, проходящей через ось z и точку наблюдения $P(x, y, z)$ индукция имеет две компоненты $B_z(r, z)$ и $B_r(r, z)$, где r — расстояние от оси z до точки P . В окрестности оси z компонента $B_z(r, z) \approx b(z)$. Найдите компоненту индукции $B_r(r, z)$ и уравнение силовых линий.

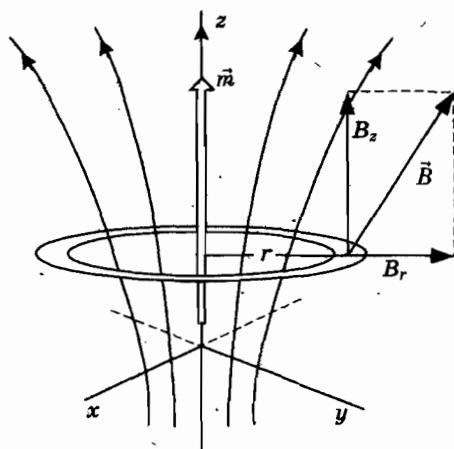


Рис. 5.2.14

5.2.15. Тонкий диск с постоянной плотностью заряда вращается вокруг оси, проходящей через центр перпендикулярно плоскости диска. Радиус диска a , заряд Q , угловая скорость вращения ω . Найдите индукцию магнитного поля в центре диска.

5.2.16. Магнитное поле, создаваемое свободными зарядами. Заряд q движется по прямой $\vec{r}(t) = \vec{b} + \vec{v}t$, вектор \vec{b} перпендикулярен \vec{v} : $\vec{b}\vec{v} = 0$. Найдите индукцию магнитного поля, создаваемого зарядом в начале координат.

5.3. Закон Максвелла—Ампера.

Поток электромагнитной энергии в электрической цепи

Рассмотрим замкнутую кривую C в области пространства, в которой текут токи. Натянем на эту кривую поверхность, одну сторону которой будем называть внешней, другую — внутренней. Такая поверхность называется ориентированной поверхностью, если задать положительное направление на кривой C по правилу: при обходе по замкнутой кривой в положительном направлении внешняя поверхность всегда находится с левой стороны.

Представим теперь контур в виде последовательности N малых элементов $\Delta\vec{l}_a$ ($a = 1, \dots, N$), выберем на каждом точку \vec{r}_a и образуем скалярное произведение $\vec{B}(\vec{r}_a)\Delta\vec{l}_a$. Предел суммы всех произведений при $N \rightarrow \infty$, $|\Delta\vec{l}_a| \rightarrow 0$ называется *циркуляцией вектора \vec{B} по контуру*. Согласно закону Максвелла—Ампера

$$\sum_{a=1}^N \vec{B}(\vec{r}_a)\Delta\vec{l}_a = \mu_0 \sum_{k=1}^N \vec{j}(\vec{r}_k)\vec{n}_k\Delta S, \quad (5.3.1)$$

где \vec{n}_k — единичный вектор внешней нормали к элементу поверхности ΔS , $\vec{j}(\vec{r})$ — плотность тока.

Если ток обладает некоторой простой симметрией, то можно «угадать» картину силовых линий. Тогда для определения индукции можно воспользоваться законом Максвелла—Ампера, совмещая с кривой C силовую линию магнитного поля.

Для линейных проводников из (5.3.1) получаем

$$\sum_{a=1}^N \vec{B}(\vec{r}_a)\Delta\vec{l}_a = \mu_0 I,$$

где I — сила тока в проводе.

«Ток смещения». В случае переменного тока закон Максвелла—Ампера в форме (5.3.1) некорректен — ток проводимости необходимо дополнить слагаемым равным сумме элементарных вкладов $\epsilon_0 \frac{\partial \vec{E}_k}{\partial t}$, где \vec{E}_k — вектор напряженности электрического поля в точке малой поверхности площадью ΔS_k , на которые разбита поверхность, натянутая на контур ($k = 1, 2, \dots, N$). Максвелл записал интегральное соотношение (5.3.1) в виде

$$\sum_{a=1}^N \vec{B}(t, \vec{r}_a) \Delta \vec{l}_a = \mu_0 \sum_{k=1}^N [\vec{J}(t, \vec{r}_k) + \epsilon_0 \frac{\partial \vec{E}(t, \vec{r}_k)}{\partial t}] \vec{n}_k \Delta S. \quad (5.3.2)$$

В действительности никакого тока смещения не существует — всегда выполняется соотношение (5.3.2), связывающее токи проводимости, индукцию магнитного и напряженность электрического полей.

Перенос энергии связан с вектором

$$\vec{S} = \epsilon_0 c^2 \vec{E} \times \vec{B}. \quad (5.3.3)$$

Его размерность $[S] = \text{Вт/м}^2$. Этот вектор, характеризующий поток энергии электромагнитного поля, ввел в 1884 г. английский физик Дж.Г. Пойнтинг.

5.3.1. По длинному прямолинейному проводу радиусом a протекает ток силой I . Найдите индукцию магнитного поля, создаваемого током.

5.3.2. По длинной трубке протекает ток силой I . Внешний и внутренний радиусы трубки $r_{2,1} = a \pm d/2$, толщина стенки $d \ll a$. Найдите давление p , создаваемое магнитным полем, и напряжение $\sigma_{\text{пр}}$ в продольном сечении трубки.

5.3.3. Магнитное поле соленоида. Возьмем цилиндрическую катушку длиной l , радиусом a и намотаем на нее N витков проволоки плотно и равномерно, так что число витков на единицу длины является постоянной величиной N/l . Если длина катушки значительно больше ее диаметра, то такая система называется *соленоидом* (от греч. *solen* — трубка, *eidos* — вид). В этом случае ток силой I создает внутри соленоида почти однородное поле, а поле вне соленоида в пределах катушки мало по сравнению с полем внутри. Найдите осевую компоненту B_z индукции магнитного поля при $l \gg a$.

5.3.4. Тонкий металлический лист толщиной d занимает область пространства $-d/2 \leq y \leq d/2$. Плотность тока в металле $\vec{j} = (j, 0, 0)$. Найдите индукцию магнитного поля.

5.3.5. На рис. 5.3.5 изображен тонкий металлический лист в плоскости $y = 0$, по которому протекает ток постоянной поверхностной плотностью $\vec{i} = (i, 0, 0)$ в положительном направлении оси x . Лист находится в постоянном, однородном магнитном поле индукцией $\vec{B}_0 = (0, 0, B_0)$. В результате суперпозиции магнитных полей в области $y > 0$ индукция поля $\vec{B} = (0, 0, B_1)$, а в области $y < 0$ индукция $\vec{B} = (0, 0, B_2)$. Найдите значение B_0 .

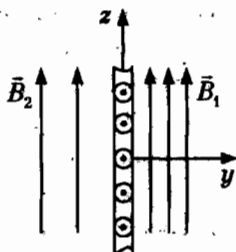


Рис. 5.3.5

5.3.6. Тонкий металлический лист толщиной d , занимающий область пространства $-d/2 \leq y \leq d/2$, поместили в однородное магнитное поле. Найдите плотность поверхностного тока \vec{i} и индукцию внешнего магнитного поля \vec{b} , если $\vec{B} = (0, B_2, B_3)$, $y \geq d/2$; $\vec{B} = (0, B_2, -B_3)$, $y \leq -d/2$.

5.3.7. Тонкий металлический лист толщиной d , занимающий область пространства $-d/2 \leq y \leq d/2$, поместили в однородное магнитное поле. Найдите плотность поверхностного тока и индукцию внешнего магнитного поля \vec{b} , если $\vec{B} = (0, 0, B_1)$, $y \geq d/2$; $\vec{B} = (0, 0, B_2)$, $y \leq -d/2$.

5.3.8. Два тонких металлических листа, по которым протекают токи с постоянной поверхностной плотностью $\vec{i} = (i, 0, 0)$ в положительном направлении оси x , расположены в плоскостях $y_1 = a$, $y_2 = -a$. Найдите индукцию магнитного поля \vec{B} .

5.3.9*–5.3.10*. Магнитное поле в конденсаторе. Заряженный конденсатор включен в цепь, содержащую резистор и ключ. Конденсатор образован двумя дисками радиусами a , находящимися на рас-

стоянии h . После замыкания ключа начинается разрядка конденсатора и возникает переменное электрическое поле $\vec{E}(t, \vec{r})$.

5.3.9*. Найдите индукцию магнитного поля, создаваемого переменным электрическим полем.

5.3.10*. Найдите величину потока электромагнитной энергии S , вытекающей через боковую поверхность конденсатора и мощность P конденсатора как источника электромагнитной энергии — энергию, протекающую через боковую поверхность в единицу времени.

5.3.11*. Поток энергии поля через поверхность резистора. Резистор сопротивлением R представляет собой цилиндр радиусом a длиной l , через который проходит ток силой I . Покажите, что поток электромагнитной энергии вдоль подводящих проводов с пренебрежимо малым сопротивлением направлен к резистору. Вычислите величину потока электромагнитной энергии S , втекающего в резистор через боковую поверхность, и мощность P потребляемую резистором.

5.3.12. Напряженность однородного электрического поля в плоском конденсаторе с пластинами в форме дисков $E_1(t) = \alpha t$. Найдите индукцию магнитного поля, возникающего в конденсаторе.

Глава VI. ЭЛЕКТРОМАГНИТНАЯ ИНДУКЦИЯ

6.1. Электромагнитная индукция

На замкнутом контуре введем положительное направление и натянем на него поверхность. Выберем на каждой элементарной площадке точку \vec{r}_a и зададим в ней единичный вектор внешней нормали \vec{n}_a ($a = 1, 2, \dots, N$). Величина $\Delta\Phi_a = \vec{n}_a \vec{B}(t, \vec{r}_a) \Delta S_a$ называется элементарным магнитным потоком через элементарную поверхность ΔS_a . Предел суммы потоков $\Delta\Phi_a$ при $N \rightarrow \infty$, $|\Delta S_a| \rightarrow 0$ называется магнитным потоком $\Phi(t)$ через поверхность S , ограниченную контуром.

Математическая формулировка закона индукции была дана Д. Максвеллом в 1873 г.: если магнитный поток через поверхность, ограниченную контуром, является функцией времени, то в контуре возникает ЭДС индукции

$$\mathcal{E}(t) = -\frac{d\Phi}{dt}. \quad (6.1.1)$$

Здесь ЭДС означает сумму работ, совершаемую индуцированным электрическим полем напряженностью \vec{E}'_a на всех участках контура $\Delta\vec{l}_a$ ($a = 1, 2, \dots, N$) при переносе единицы заряда:

$$\mathcal{E} = \sum_{a=1}^N \vec{E}'_a \Delta\vec{l}_a. \quad (6.1.2)$$

Вычисляя производную потока индукции через движущийся контур, можно представить ЭДС индукции (6.1.1) в явном виде

$$\mathcal{E} = -\sum_{a=1}^N \Delta S_a \vec{n}_a \frac{\Delta \vec{B}(t, \vec{r}_a)}{\Delta t} + \sum_{a=1}^N \vec{v}_a \times \vec{B}(t, \vec{r}_a) \Delta\vec{l}_a, \quad (6.1.3)$$

где \vec{v}_a — скорость элемента контура $\Delta\vec{l}_a$.

Первое слагаемое обусловлено возникновением вихревого электрического поля, второе слагаемое обусловлено движением элементов контура.

6.1.1. Прямоугольная металлическая рамка $ABCD$ находится в однородном магнитном поле, вектор индукции которого направлен перпендикулярно плоскости рамки. Поток вектора магнитной индукции через рамку равен Φ_0 . Рамку повернули вокруг стороны BC на 180° .

А. Найдите приращение потока $\Delta\Phi$ магнитной индукции.

Б. Величина индукция магнитного поля $B = 0,1$ Тл, площадь рамки $S = 10$ см², сопротивление провода $R = 2$ Ом. Найдите величину заряда Δq , протекшего по рамке.

6.1.2. Прямоугольная металлическая рамка $ABCD$ находится в однородном магнитном поле, вектор индукции которого направлен перпендикулярно плоскости рамки. Поток вектора магнитной индукции через рамку равен Φ_0 . Рамку перегнули по средней линии на 180° . Найдите приращение потока $\Delta\Phi$ магнитной индукции.

6.1.3. На рис. 6.2.3 изображен график ЭДС индукции, возникающей в замкнутом контуре. Определите момент времени, в который магнитный поток через поверхность, ограниченную контуром, достигает наибольшего значения.

6.1.4. ЭДС индукции имеет вид $\mathcal{E}(t) = k(t - T)$, $0 \leq t \leq 2T$; $\mathcal{E}(t) = kT$, $t \geq 2T$. Найдите поток магнитной индукции $\Phi(t)$.

6.1.5. Рамка движется в магнитном поле, создаваемом длинным проводом с током. Положительное направление тока и скорость рамки показаны на рис. 6.1.5. Укажите направление индукционного тока и сил Ампера, действующих на рамку.

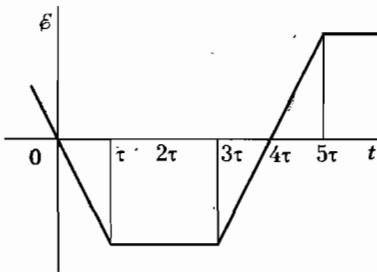


Рис. 6.1.3

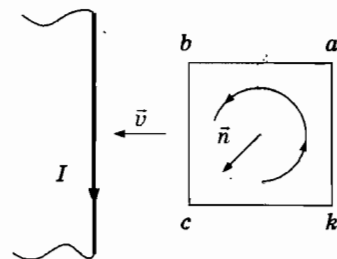


Рис. 6.1.5

6.1.6. Перенапряжение, индуцированное магнитным полем молнии. По плазменному каналу между грозовым облаком и землей в течение 100 мкс протекает ток средней силой 30 кА. Крутизна возрастания силы тока может превысить $k = 10^{11}$ А/с. Две стороны кон-

тура в форме квадрата расположены параллельно каналу молнии. Длина стороны $a = 10$ м, расстояние от канала до центра контура $r = 100$ м. Оцените амплитуду ЭДС индукции \mathcal{E}_m в контуре.

6.1.7. Вихревое электрическое поле в соленоиде. В окрестности центра длинного соленоида индукция однородного магнитного поля, создаваемая переменным током, представляет собой функцию времени $B_z(t)$.

А. Покажите, что переменное магнитное поле порождает электрическое поле, и найдите напряженность электрического поля.

Б. Найдите мощность P , потребляемую проводником в форме тонкого кольца. Радиус кольца a , сопротивление R .

6.1.8. Два параллельных гладких металлических стержня расположены в плоскости xy на расстоянии $l = 0,1$ м и соединены резистором сопротивлением $R = 3$ Ом. По стержням как направляющим перемещается проводник со скоростью $v = 2$ м/с. Вся система находится в однородном магнитном поле индукцией $\vec{B} = (0, 0, B)$, $B = 0,06$ Тл. Стрелкой на рис. 6.1.8 обозначено положительное направление на контуре.

А. Скорость проводника $v_x(t) = v_0$. Найдите силу тока в контуре.

Б. В результате действия переменной внешней силы

$$x(t) = x_0 + A \cos \omega t.$$

Найдите ЭДС в контуре.

6.1.9. Два проводника образующие угол α , находятся в однородном постоянном магнитном поле. Вектор магнитной индукции \vec{B} перпендикулярен плоскости, в которой находятся проводники. По проводникам скользит отрезок провода со скоростью v (рис. 6.1.9). Сопротивление единицы длины проводников ρ . Найдите силу тока I , протекающего по замкнутому контуру. Положительное направление указано направленной кривой.

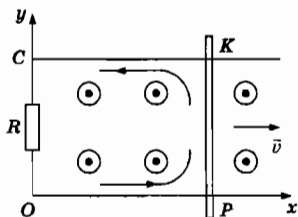


Рис. 6.1.8

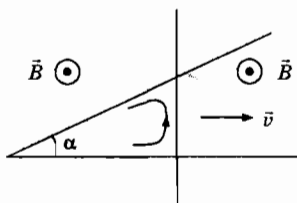


Рис. 6.1.9

6.1.10*. Два параллельных гладких металлических стержня расположены в плоскости и соединены резистором. По стержням как направляющим может перемещаться проводник. Вся система находится в однородном магнитном поле, вектор индукции которого перпендикулярен плоскости (рис. 6.1.8). Проводник смещают на расстояние s в первом случае за промежуток времени t_1 , во втором — за t_2 , $t_2 > t_1$. Найдите отношение количества теплоты, выделившейся в резисторе в первом и втором случаях:

А. Скорость проводника $v_n(t) = k_n t(t_n - t)$, $n = 1, 2$.

Б. Скорость проводника $v_n(t) = v_n \sin \omega_n t$, $0 \leq \omega_n t \leq \pi$, $n = 1, 2$.

6.1.11. На рис. 6.1.11 контур из провода представляет собой кольцо с переключкой по диаметру кольца. Вектор индукции переменного однородного магнитного поля направлен перпендикулярно вверх от плоскости рисунка. Положительное направление на контуре указано стрелками на рис. 6.1.11. Укажите направления индукционных токов на участках контура AB , BmA , AkB при уменьшении величины магнитной индукции и найдите силу тока I_m , протекающего через переключку.

6.1.12. В схеме рис. 6.1.12 *a* два параллельных провода AB и MN соединены резисторами с сопротивлениями $R_1 = 5$ Ом, $R_2 = 20$ Ом. Вся схема находится в однородном магнитном поле. Вектор магнитной индукции перпендикулярен плоскости $ABMN$, величина индукции $B = 4 \cdot 10^{-2}$ Тл. По проводам перемещают вправо переключку CD длиной $L = 0,1$ м со скоростью $v(t) = kt(T - t)$, $k = 0,3$ м/с³, $T = 1$ с. Стрелкой указано положительное направление тока. Найдите максимальное значение силы тока I_m , протекающего через переключку.

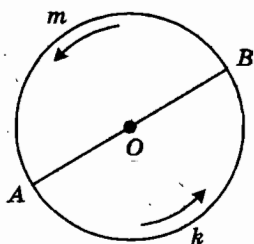


Рис. 6.1.11

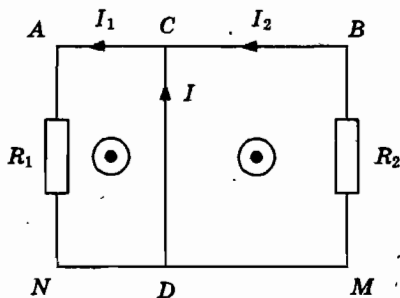


Рис. 6.1.12 *a*

6.1.13. Один из двух одинаковых проволочных, равносторонних треугольников движется вдоль прямой, проходящей через ось симметрии (рис. 6.1.13 а). Сопротивление единицы длины проводов ρ , длина стороны a . В точках пересечения сторон имеется электрический контакт. Вся схема находится в однородном магнитном поле. Вектор магнитной индукции перпендикулярен плоскости треугольников. Величина индукции B . Найдите значение силы тока I , протекающего через сторону BC неподвижного треугольника, когда сторона $B'C'$ пересечет середину высоты треугольника ABC со скоростью v_0 .

6.1.14. В схеме рис. 6.1.14 два горизонтальных параллельных провода OA и NM длиной b соединены двумя батареями и проводящей подвижной перемычкой длиной s , массой m . Сопротивление единицы длины проводников ρ . ЭДС батарей \mathcal{E} , внутреннее сопротивление r . Вся схема находится в однородном магнитном поле. Вектор магнитной индукции перпендикулярен плоскости $OAMN$, величина индукции B . Найдите частоту ω линейных слабозатухающих колебаний перемычки ($B^2 s^3 \ll m r \mathcal{E}$).

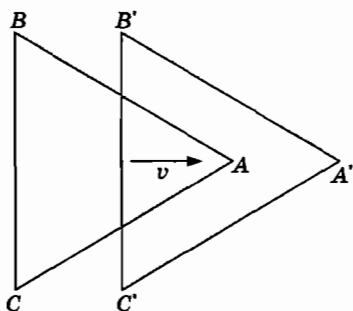


Рис. 6.1.13 а

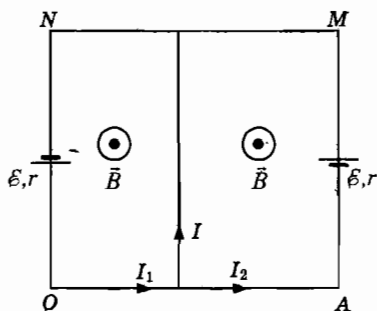


Рис. 6.1.14

6.1.15–6.1.16. Два параллельных гладких металлических стержня расположены в горизонтальной плоскости на расстоянии l друг от друга и соединены резистором сопротивлением R (рис. 6.1.8). По стержням как направляющим может перемещаться проводник массой m . Вся система находится в постоянном однородном магнитном поле индукцией $\vec{B} = (0, 0, B)$.

6.1.15. Начальные условия $x(0) = 0$, $v(0) = v_0$, $I(0) = 0$. Найдите координату x_κ точки остановки проводника.

6.1.16. Запишите закон изменения полной энергии проводника.

6.1.17. Два параллельных гладких металлических изолированных стержня расположены в горизонтальной плоскости на расстоянии l друг от друга. По стержням как направляющим могут перемещаться два проводника. Вся система находится в переменном однородном магнитном поле индукцией $\vec{B} = (0, 0, B(t))$. Масса каждого проводника m , сопротивление R . Собственным магнитным полем проводников пренебрегаем.

А. Получите уравнение для функции $x(t) = x_2(t) - x_1(t)$, описывающее относительное движение проводников, где $x_2(t), x_1(t)$ — координаты точек пересечения проводников и стержней.

Б. Запишите закон изменения полной энергии системы.

6.1.18. Генератор постоянного напряжения. Приложим к проводнику на рис. 6.1.18 горизонтально направленную силу $\vec{F} = (F, 0, 0)$. Найдите максимальное значение скорости проводника u , силы тока I_m , мощности, развиваемой силой $P_{\text{вex}}$ и мощности $P_{\text{вт}}$, потребляемой резистором.

6.1.19. Линейный электромотор. Пусть к проводнику на рис. 6.1.19 приложена сила $\vec{F} = (-F, 0, 0)$. Как заставить проводник двигаться вправо? С этой целью присоединим вместо резистора батарею с ЭДС равной \mathcal{E}_0 и внутренним сопротивлением R : положительный электрод — к точке O , отрицательный — к точке C , $Bl\mathcal{E}_0/R > F$ (рис. 6.1.19). Найдите КПД мотора в стационарном режиме $v(t) = v_0, I(t) = I_0$.

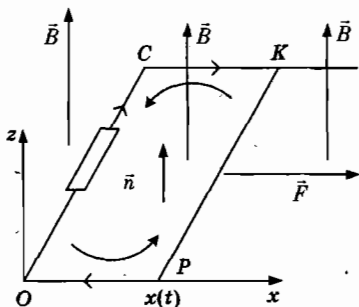


Рис. 6.1.18

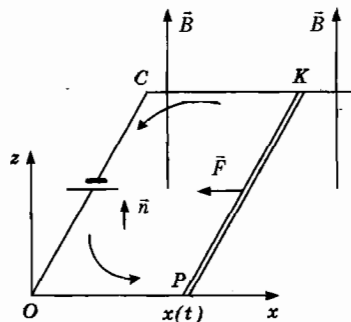


Рис. 6.1.19

6.1.20. К торцам двух металлических стержней присоединены два гибких провода, которые могут скользить по тонкой горизонтально расположенной оси (рис. 6.1.20). Полное сопротивление контура R . Эта система находится в однородном постоянном магнитном

поле. Вектор магнитной индукции \vec{B} направлен по горизонтали. Длина стержней l , массы m_1 и m_2 , $m_1 > m_2$. Определите скорость стержня массой m_1 в стационарном режиме движения.

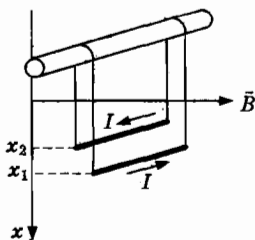


Рис. 6.1.20

6.1.21*. Два гладких параллельных металлических провода, расположены в горизонтальной плоскости на расстоянии l друг от друга. По проводам как направляющим может перемещаться проводник длиной l (рис. 6.1.21). Сопротивление единицы длины проводов ρ . Вся система находится в магнитном поле, создаваемом током силой I_0 в длинном проводе, находящимся в плоскости проводов на расстоянии s от средней линии контура. Масса проводника — m . Начальные условия $x(0) = 0$, $v(0) = v_0$, $I(0) = 0$. Найдите координату x , точки остановки проводника.

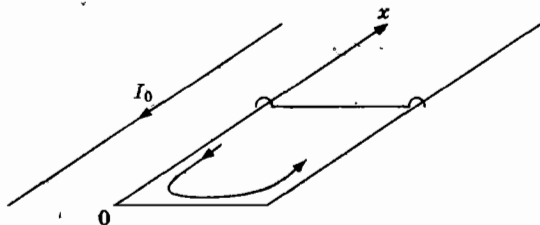


Рис. 6.1.21

6.1.22*. Две гладкие параллельные металлические полосы, расположенные в горизонтальной плоскости на расстоянии h друг от друга, соединены перемычкой OC , содержащей резистор сопротивлением R (рис. 6.1.22). По полосам как направляющим может перемещаться проводник. Вся система находится в магнитном поле, создаваемом током силой I_0 в длинном проводе, находящимся в плоскости полос на расстоянии s от отрезка OC . Масса проводника — m . На-

чальные условия $x(0) = 0$, $v(0) = v_0$, $I(0) = 0$. Найдите зависимость скорости проводника от x -координаты.

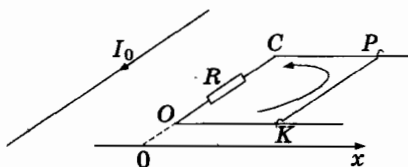


Рис. 6.1.22

6.1.23*. ЭДС индукции в неоднородном магнитном поле. На рис. 6.1.23 *a* изображен длинный провод, по которому течет ток силой I_0 . Прямоугольная рамка $OADK$ вращается с угловой скоростью ω вокруг оси OK , параллельной проводу. Стороны $OA = a$, $OK = b$, расстояние оси OK от провода $OC = s$, $s \gg a$. Найдите ЭДС индукции.

6.1.24. Металлический стержень, подвешенный на двух проводах в зазоре между полюсами поперечного магнита, свободно колеблется (рис. 6.1.24 *a*). Вектор магнитной индукции однородного постоянного магнитного поля \vec{B} направлен вертикально вверх. Масса стержня m , длина стержня a , длина подвеса l , сопротивление подвеса и стержня R . Если концы проводов замкнуть, то колебания затухают. Запишите уравнения, описывающие эволюцию системы, и объясните наблюдаемое явление.

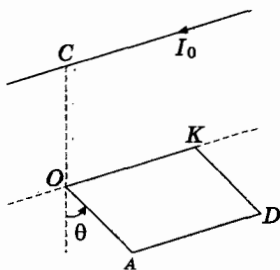


Рис. 6.1.23 *a*

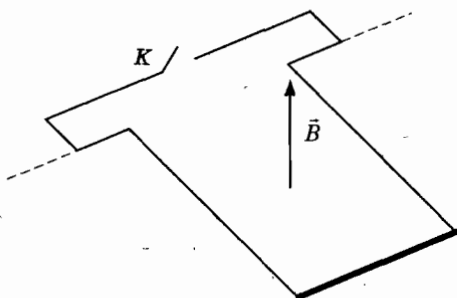


Рис. 6.1.24 *a*

6.1.25*. Металлический стержень, подвешенный на двух проводах, образуют проводящий контур $abnk$, который находится в однородном постоянном магнитном поле (рис. 6.1.25 *a*). Вектор магнитной индукции \vec{B} направлен вертикально вверх. Масса стержня m , длина стержня l , длина подвеса h , сопротивление подвеса и стержня

Р. Через стержень пропускают импульс тока, замыкая и размыкая ключ с течение короткого промежутка времени τ : $\mathcal{E}(t) = \mathcal{E}_0$, $0 \leq t \leq \tau$; $\mathcal{E}(t) = 0$, $t < 0$, $t > \tau$, $\tau \ll (h/g)^{1/2}$. В результате рамка отклоняется от положения равновесия. Найдите условие, при котором максимальный угол отклонения рамки от вертикальной плоскости равен 90° .

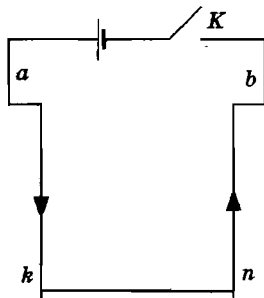


Рис. 6.1.25 а

6.1.26*. Обруч радиусом a катится без проскальзывания по горизонтальной шероховатой плоскости с угловой скоростью ω . Часть дуги обруча AMC , стягивающая центральный угол α , представляет собой тонкий проводник. Вектор индукции постоянного однородного магнитного поля \vec{B} направлен перпендикулярно плоскости. Найдите разность потенциалов $\mathcal{E}(\varphi)$ точек A и C как функцию угла поворота обруча в вертикальной плоскости.

6.1.27. Металлический стержень AB вращается с угловой скоростью $\omega(t)$ вокруг оси O в постоянном однородном магнитном поле (рис. 6.1.27 а). Длины отрезков стержня $AO = a$, $OB = b$. Вектор магнитной индукции \vec{B} направлен перпендикулярно плоскости вращения. Найдите ЭДС индукции в стержне.

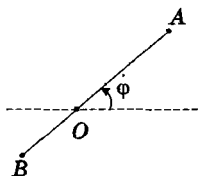


Рис. 6.1.27 а

6.1.28*. В плоскость xz , перпендикулярную оси соленоида, поместили проводник в форме спирали Архимеда $r = a(\varphi/2\pi)$, где r — расстояние от оси, φ — угол между радиус-вектором и осью x , $0 \leq \varphi \leq 2\pi$,

n — целое число (рис. 6.1.28). Осевая компонента вектора магнитной индукции в соленоиде $B_z(t)$ представляет собой функцию времени. Найдите ЭДС индукции на концах проводника.

6.1.29*. В плоскость xy , перпендикулярную оси соленоида, поместили проводник в форме параболы $y_p = kx^2/2$, замкнутой отрезком прямой $y_L = ka^2/2, -a \leq x \leq a$ (рис. 6.1.29). Осевая компонента вектора магнитной индукции в соленоиде $B_z(t)$ представляет собой функцию времени. Найдите ЭДС индукции в проводнике.

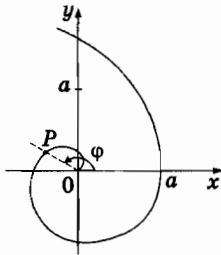


Рис. 6.1.28

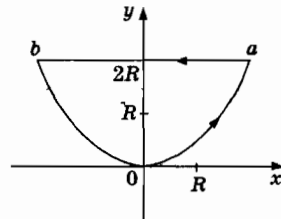


Рис. 6.1.29

6.1.30*. В соленоид поместили проводник в форме винтовой линии. В системе координат с осью z , направленной по оси соленоида уравнение винтовой линии $x = R \cos \varphi, y = R \sin \varphi, z = h\varphi/2\pi, 0 < z \leq H$. Осевая компонента вектора магнитной индукции в соленоиде $B_z(t)$ представляет собой функцию времени. Найдите ЭДС индукции на концах проводника.

6.1.31. Цилиндр массой m катится без проскальзывания по горизонтальной шероховатой плоскости с угловой скоростью ω . Радиус основания a , длина образующей h . На контуре продольного сечения цилиндра закреплен тонкий провод сопротивлением R . Вектор индукции постоянного однородного магнитного поля \vec{B} направлен перпендикулярно плоскости. Запишите уравнение движения цилиндра.

6.1.32. По двум вертикально расположенным металлическим стержням, замкнутым конденсатором, может скользить проводник. Система находится в постоянном однородном магнитном поле индукцией \vec{B} , перпендикулярной плоскости стержней. Емкость конденсатора C , расстояние между точками контакта равно l , сопротивление стержней равно нулю, сопротивление проводника R , масса проводника m . На рис. 6.1.32 стрелкой обозначено положительное направление на контуре, z — вертикальная координата центра масс

проводника. В начальном положении $z(0) = 0$, вертикальная компонента скорости $v(0) = 0$. Найдите ускорение проводника $a(t)$ в стационарном режиме движения.

6.1.33. На оси металлического кольца радиусом a закреплён неподвижный провод OA (рис. 6.1.33). Конец другого провода OP скользит по металлическому кольцу с угловой скоростью $\omega(t) = \pi\omega_0 \sin \omega_0 t$, $0 \leq \omega_0 t \leq \pi$. Сопротивление единицы длины проводников ρ . Вся схема находится в однородном магнитном поле. Вектор магнитной индукции перпендикулярен плоскости кольца, величина индукции B . Найдите максимальную величину силы тока I_m , протекающего через проводник AOP .

6.1.34*. Космическая электростанция. Два спутника, соединённые изолированным проводящим тросом длины l движутся по круговым орбитам радиусами $r_1 = r - \frac{l}{2}$, $r_2 = r + \frac{l}{2}$, $l \ll r$, $r = a + h$, где a — радиус Земли, h — расстояние от поверхности Земли до центра масс связки; $r = a + h$, $h = 400$ км, $l = 20$ км (рис. 6.1.34). Плоскость орбиты лежит в плоскости магнитного экватора. Магнитное поле почти однородно в пределах кольца, по которому движется трос: $B(r) = B_0(a/r)^3$, где $B_0 = 4,2 \cdot 10^{-5}$ Тл. А. Оцените величину ЭДС индукции \mathcal{E}_0 , возникающей в тросе. Б. В одном из спутников в цепь троса включен генератор постоянного напряжения с ЭДС равной \mathcal{E} . Запишите уравнения движения, определяющие динамику тросовой системы.

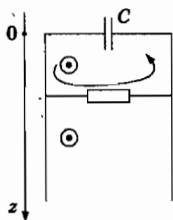


Рис. 6.1.32

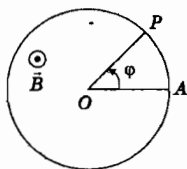


Рис. 6.1.33

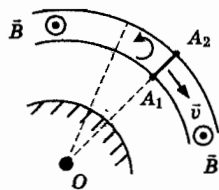


Рис. 6.1.34

6.1.35. Как притормозить Темзу? По прямолинейному каналу шириной l течёт вода со скоростью $v = 5$ м/с. В месте расположения канала вертикальная компонента индукции магнитного поля Земли $B = 50$ мкТл. Концы проводящего провода, перекинутого через канал, опущены в воду. Определите величину горизонтальной компоненты напряжённости электрического поля E , возникающего в воде.

Покажите, что сила Ампера, действующая на ток, протекающий в воде, тормозит течение воды.

6.2. Моторы и генераторы постоянного тока

В зависимости от способа включения обмотки возбуждения могут быть двигатели параллельного, последовательного и смешанного возбуждения. Здесь рассмотрены примитивные модели машин с последовательным независимым возбуждением.

Электрический двигатель постоянного тока. Цепь обмотки якоря через коллектор присоединена к генератору постоянного напряжения U . Угол поворота якоря в положительном направлении вокруг оси z обозначим θ , проекция на ось z угловой скорости вращения $\omega = d\theta/dt$, поток индукции магнитного поля статора Φ .

Уравнение движения якоря

$$Jd\omega/dt = M_A + M_z. \quad (6.2.1)$$

Здесь J — момент инерции якоря, $M_A, M_z = -M$ — проекции на ось z момента сил Ампера и момента внешних сил, $M_A = Id\Phi/d\theta = kI$, $\xi = -d\Phi/dt = -k\omega$, $k = (d\Phi/d\theta)$, k — постоянный коэффициент, зависящий от конструкции двигателя, ξ — ЭДС индукции. (В электротехнике ЭДС индукции называют величиной $E = k\omega$; $\xi = -E$.) Закон Ома имеет вид

$$IR = U - k\omega. \quad (6.2.2)$$

Из (6.2.1), (6.2.2) следует закон изменения кинетической энергии якоря

$$\frac{d}{dt} \frac{J\omega^2}{2} = IU - M\omega - I^2R.$$

При движении с постоянной угловой скоростью

$$kI - M = 0. \quad (6.2.3)$$

Мощность, развиваемая мотором $P_{\text{мех}} = M\omega$. Мощность, потребляемая от электросети $P_{\text{эл}} = IU$, равна сумме мощности, рассеиваемой в виде теплоты, и механической мощности мотора: $IU = I^2R + P_{\text{мех}}$.

КПД двигателя $\eta = P_{\text{мех}}/P_{\text{эл}}$, $\eta = 1 - MR/kU$.

Электромотор в режиме генератора. Если $U = 0$, то $\omega < 0$; система представляет собой генератор напряжения — коллекторный двигатель обратим. Присоединим теперь обмотку якоря к нагрузке сопротивлением R_n . Из закона Ома имеем уравнение

$$I(R + R_n) = -k\omega > 0, \quad (6.2.4)$$

где R_n — сопротивление нагрузки, $I = M/k$.

Напряжение на выходе генератора

$$V = -k\omega - IR_n. \quad (6.2.5)$$

Мощность, развиваемая внешней силой $P_F = -\omega M > 0$, равна мощности, потребляемой нагрузкой и обмоткой якоря, $P_T = I^2(R + R_n)$. (В электротехнике производят замену $\omega \rightarrow -\omega$ и ЭДС индукции называют величиной $E = k\omega$.)

КПД генератора $\eta = I^2 R_n / P_F = R_n / (R + R_n)$.

6.2.1. Магнитогидродинамический генератор. В МГД — генераторе рабочим телом является нагретый ионизированный газ, кинетическая энергия которого преобразуется в электрическую. Расположим электроды — две пластины — в плоскостях $x_1 = -h/2$ и $x_2 = h/2$, замкнув их на внешний резистор сопротивлением R (рис. 6.2.1). Газ движется со скоростью $u = (0, u, 0)$ в магнитном поле индукцией $B = (0, 0, B)$. Удельная проводимость газа σ . Найдите мощность P , потребляемую нагрузкой.

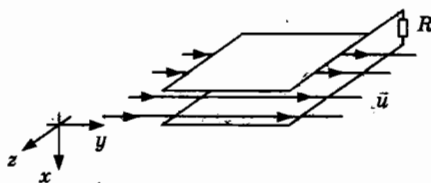


Рис. 6.2.1

6.2.2*. Дискový генератор Фарадея. Принцип действия генератора, предложенного М. Фарадеем в 1831 г., основан на том, что при вращении металлического диска в магнитном поле возникает напряжение между центром и наружным краем диска. Скользящие контакты связывают диск с электрической цепью. На диск намотана невесомая нить, к концу которой прикреплен груз массой m (рис. 6.2.2 а). Вектор магнитной индукции однородного магнитного поля $\vec{B} = (0, 0, B)$ перпендикулярен плоскости диска. Радиус дис-

ка a , угловая скорость ω , сопротивление резистора R . Найдите мощность, потребляемую нагрузкой P в стационарном режиме.

6.2.3*–6.2.8*. Электромотор Фарадея. Диск радиусом a может вращаться вокруг вертикальной оси в однородном постоянном магнитном поле. Вектор магнитной индукции \vec{B} перпендикулярен плоскости диска. Скользящие контакты связывают диск с электрической цепью, содержащей резистор и батарею (рис. 6.2.3). Сопротивление резистора R , ЭДС батареи \mathcal{E} . Проекция момента внешних сил на ось OA равна $M_x = -M$. В начальный момент времени угловая скорость диска $\omega(0) = 0$, $I(0) = \mathcal{E}/R$.

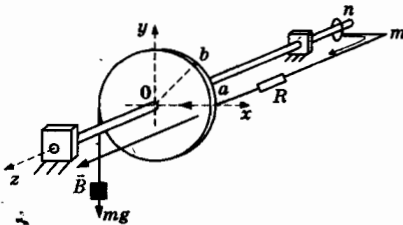


Рис. 6.2.2 а

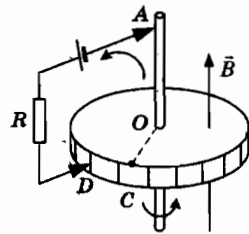


Рис. 6.2.3

6.2.3. $M < \mathcal{E}Ba^2/2R$. Найдите установившиеся значение силы тока I_m , угловой скорости ω_m и КПД мотора.

6.2.4. Найдите значение силы тока I_c и угловой скорости ω_c в режиме холостого хода.

6.2.5. Найдите значение силы тока I_0 и момента силы Ампера M_A при заторможенном якоре.

6.2.6. $M > \mathcal{E}Ba^2/2R$. Найдите ЭДС индукции \mathcal{E}_m в режиме подзарядки батареи.

6.2.7. Найдите значение силы тока I и угловой скорости ω' при $\mathcal{E} = 0$ в режиме генератора.

6.2.8. Найдите максимальные значения P_m функции $P_{\max}(M)$ — мощности мотора и величины момента M_m внешней силы.

6.2.9. Двигатель постоянного тока работает при напряжении U и развивает одинаковую мощность P_0 при значениях момента внешних сил M_1 и M_2 . Сопротивление обмотки якоря R , угловая скорости в режиме холостого хода ω_c . Найдите величину P_0 .

6.2.10. Мотор развивает одинаковую мощность при значениях момента внешних сил M_1 и $M_2 > M_1$. Найдите отношение P_1/P_2 тепловой мощности, выделяемой в обмотке якоря в первом и втором случаях.

6.2.11. Двигатель постоянного тока работает при напряжении U . Сила тока в обмотке якоря при холостом ходе I_0 при заторможенном якоря I_0 . Момент сил трения в подшипниках якоря не зависит от угловой скорости вращения. Найдите максимальное значение механической мощности P_{\max} , развиваемой двигателем.

6.2.12. Сила тока в рабочем режиме мотора I , сила тока при запуске I_0 . Найдите КПД мотора.

6.2.13. Двигатель постоянного тока работает при напряжении U , сопротивление обмотки якоря R . Найдите угловую скорость вращения якоря ω , если в режиме генератора $U = 0$ при одном и том же моменте внешних сил M угловая скорость якоря $\omega_1 = -\omega_0$.

6.2.14. Двигатель постоянного тока работает при напряжении U , сопротивление обмотки якоря R . Модуль момента внешней силы M . Найдите угловую скорость вращения якоря ω , если в режиме холостого хода $M = 0$ угловая скорость якоря ω_0 .

6.2.15. Двигатель постоянного тока работает при напряжении $U = 220$, развивает мощность $P_{\max} = 130$ кВт. КПД двигателя $\eta = 0,92$, частота вращения якоря $\nu = 10$ Гц, сопротивление обмотки якоря $R = 0,01$ Ом. Определите потребляемую мощность $P_{эл}$, силу тока I , ЭДС индукции \mathcal{E} и вращательный момент двигателя M .

6.2.16. Сопротивление обмотки электродвигателя постоянного тока $R = 2$ Ом. При подключении генератора постоянного напряжения $U = 110$ В в обмотке течет ток силой $I = 11$ А. Найдите КПД двигателя.

6.2.17. Двигатель постоянного тока с независимым возбуждением имеет следующие номинальные параметры: механическая мощность $P_{\max} = 10$ Вт, напряжение на выводах двигателя $U = 5$ В, КПД $\eta = 0,96$, частота вращения $\nu = 16$ Гц. Найдите вращательный момент M и сопротивление обмотки якоря R .

6.2.18. Двигатель постоянного тока включен в сеть с напряжением $U = 9,8$ В. На вал двигателя намотан трос, прикрепленный к грузу массой $m = 5$ кг. Сопротивление обмотки якоря $R = 0,05$ Ом. Найдите максимально возможную скорость груза v_m .

6.2.19. Электродвигатель подъемного крана работает при напряжении $U = 380$ В и потребляет ток силой $I = 20$ А. Определите КПД мотора, если груз массой $m = 1$ т кран поднимает с постоянной скоростью на высоту $h = 19$ м за $\tau = 50$ с.

6.2.20. Электровоз движется с постоянной скоростью v_0 . Напряжение питания электромотора U , сила тока I , сопротивление обмотки

якоря R . Найдите значение величины силы F , действующей на колеса со стороны рельсов.

6.2.21. Сила тока в двигателе вагона трамвая $I = 100$ А, напряжение $U = 500$ В, мощность двигателя $P = 49,5$ кВт. Найдите сопротивление обмотки двигателя.

6.2.22. Двигатель постоянного тока включен в сеть с напряжением $U = 440$ В. При силе тока $I_1 = 100$ А, частота вращения $\nu_1 = 10$ Гц, при силе тока $I_2 = 80$ А, частота вращения $\nu_2 = 10,2$ Гц. Найдите сопротивление якоря двигателя.

6.2.23. Двигатель постоянного тока подключен к сети напряжением $U = 10$ В. Сила тока в рабочем режиме $I = 2$ А, сила тока при запуске $I_0 = 10$ А. Найдите мощность P_{max} , развиваемую мотором.

6.2.24. Двигатель постоянного тока при силе тока $I_1 = 400$ А вращается с частотой $\nu_1 = 153,2$ Гц; при силе тока $I_2 = 500$ А с частотой $\nu_2 = 160$ Гц. Найдите частоту ν_0 холостого хода двигателя.

6.2.25. Напряжение питания электромотора $U = 24$ В. При полностью заторможенном якоре сила тока в цепи обмотки $I_0 = 16$ А, в рабочем режиме $I = 8$ А. Найдите мощность двигателя P_{max} .

6.2.26. Двигатель постоянного тока подключен к сети напряжением $U = 420$ В. Сила тока в рабочем режиме $I = 400$ А, сопротивление обмотки $R = 0,05$ Ом. Частота вращения якоря $\nu_0 = 20$ Гц. На рис. 6.2.26 приведена схема переключения двигателя в режим генератора в результате размыкания ключей K_{11} , K_{12} и замыкания ключей K_{21} , K_{22} . Найдите частоту вращения якоря ν_g в режиме генератора.

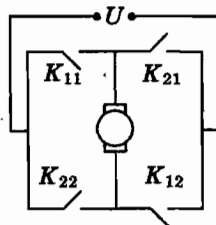


Рис. 6.2.26

6.2.27*. На рис. 6.2.26 приведена схема торможения двигателя в результате противовключения — размыканием ключей K_{11} , K_{12} и замыканием ключей K_{21} , K_{22} . Момент инерции на валу $J = 5$ кг·м², сопротивление обмотки якоря $R = 0,5$ Ом, частота вращения $\nu_0 = 160$ Гц, частота холостого хода $\nu_c = 192$ Гц. Найдите промежуток времени T , через который якорь остановится.

6.3. Самоиндукция. Взаимоиндукция

Электродвижущая сила самоиндукции, действующая в контуре

$$\mathcal{E}_L = -\frac{d\Phi}{dt}, \quad \mathcal{E} = -\frac{dLI}{dt}. \quad (6.3.1)$$

В случае контура неизменной формы $L(x, y, z) = L_0$. ЭДС самоиндукции

$$\mathcal{E}_L = -L_0 \frac{dI}{dt}. \quad (6.3.2)$$

Для замкнутой цепи, содержащей резистор и катушку индуктивности, закон Ома имеет вид

$$L \frac{dI}{dt} + IR = \mathcal{E}. \quad (6.3.3)$$

Величину $V_L = LdI/dt$ называют *напряжением на катушке*, равной по определению разности потенциалов на концах катушки.

Энергия магнитного поля контура в вакууме.

$$U_m = \frac{LI^2}{2}. \quad (6.3.4)$$

$$U_m = \int dV \frac{B^2}{2\mu_0}, \quad (6.3.5)$$

где $\vec{B}(x, y, z)$ — индукция магнитного поля,

$u_m = B^2/2\mu_0$ — плотность энергии магнитного поля.

Размерность $[u_m] = \text{Дж/м}^3 = \text{Па}$. Из (6.3.3) следует закон сохранения энергии

$$\mathcal{E}\Delta q = \Delta U_m + I^2 R \Delta t. \quad (6.3.6)$$

Взаимоиндукция. Индуктивность изолированного первого контура равна L_1 , второго — L_2 .

Силы токов в контурах равны, соответственно $I_1(t)$ и $I_2(t)$.

Энергия магнитного поля

$$U_m = \frac{1}{2}(L_1 I_1^2 + 2L_{12} I_1 I_2 + L_2 I_2^2). \quad (6.3.7)$$

Величина $L_{12} = L_{21}$ представляет собой коэффициент взаимоиנדукции.

6.3.1. Индуктивность соленоида. Параметры катушки: l — длина, S — площадь поперечного сечения, N — число витков, $l \gg S^{1/2}$. Найдите индуктивность соленоида.

6.3.2. Индуктивность тороида. Тороид представляет собой кольцевой соленоид — «пустой бублик», на который навиты N витков изолированной проволоки. Радиус средней окружности тороида a значительно больше радиуса поперечного сечения b . Найдите коэффициент самоиндукции кольцевого соленоида.

6.3.3. Коаксиальные проводники представляют собой внутренний проводник в форме цилиндра радиусом a длиной l и внешнюю тонкую цилиндрическую поверхность радиусом b , $l \gg a$, b . По проводникам текут противоположно направленные токи силой I . Найдите индуктивность проводников.

6.3.4. Найдите коэффициент взаимной индукции двух кольцевых соосных соленоидов длиной l . Площадь поперечного сечения первого соленоида S_1 , число витков N_1 , площадь поперечного сечения второго $S_2 \geq S_1$, число витков N_2 .

6.3.5. К середине катушки индуктивностью L присоединили проводник. Найдите коэффициент взаимной индукции первой и второй половинок катушки.

6.3.6. Коэффициент взаимной индуктивности двух витков. Центры двух компланарных соосных витков радиусами a_1 и a_2 находятся на оси z на расстоянии $h \gg a_1$, a_2 , $a_2 \ll a_1$. Ориентация витков задается единичными векторами $\vec{n}_1 = (0, 0, 1)$ и $\vec{n}_2 = (0, 0, 1)$. Найдите коэффициент взаимной индукции.

6.3.7. Однослойный соленоид с замкнутой обмоткой находится в однородном магнитном поле. Вектор магнитной индукции перпендикулярен плоскости витков. Величина индукции магнитного поля $B_0 = 10^{-3}$ Тл, площадь поперечного сечения соленоида $S = 1$ см², индуктивность соленоида $L = 2$ мкГн. Обмотку переводят в сверхпроводящее состояние, затем увеличивают величину индукции до значения $2B_0$. Найдите силу тока возникающего в обмотке соленоида.

6.3.8*. По двум вертикально расположенным металлическим стержням, замкнутым катушкой индуктивности, может скользить проводник. Система находится в постоянном однородном магнитном поле индукцией \vec{B} , перпендикулярной плоскости стержней. Индуктивность катушки L , сопротивление участка проводника длиной l между точками контакта равно R , сопротивление стержней равно ну-

лю, масса проводника m . На рис. 6.1.8 стрелкой обозначено положительное направление на контуре, z — вертикальная координата центра масс проводника. В начальном положении $z(0) = 0$, вертикальная компонента скорости $v(0) = 0$.

- А. Найдите скорость установившегося движения проводника v_c .
 Б. Полагая $R = 0$, найдите координату $z(t)$.

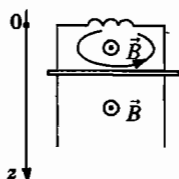


Рис. 6.3.8

6.3.9. В схеме на рис. 6.3.9 а концы спирали a и k подсоединены к батарее. ЭДС батареи \mathcal{E} , внутреннее сопротивление r . Точка a закреплена. Спираль растягивают в линейный проводник индуктивностью $L_1 \ll L_0$, где L_0 — индуктивность спирали (рис. 6.3.9 б). Скорость точки k , направленная по оси спирали, $v(t) = at(T - t)$, $0 \leq t \leq T$. Изобразите примерный график зависимости силы тока от времени.

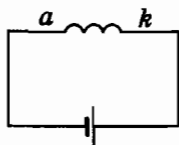


Рис. 6.3.9 а

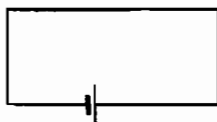


Рис. 6.3.9 б

6.3.10. На рис. 6.3.10 изображена схема подключения двух ламп к батарее, ЭДС которой \mathcal{E} , внутреннее сопротивление r . Сопротивления ламп $R_1 = R$, $R_2 = R$, индуктивность катушки L . Объясните, почему после замыкания ключа первая лампа загорается с запаздыванием.

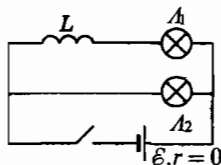


Рис. 6.3.10

6.3.11–6.3.12. В схеме рис. 6.3.11 а ЭДС батареи $\mathcal{E} = 10$ В, внутреннее сопротивление $r = 2,5$ Ом. Индуктивность катушки $L = 0,1$ Гн, сопротивление резистора $R = 100$ Ом.

6.3.11. Вначале ключ K разомкнут. Найдите величину заряда Δq , прошедшего через резистор после замыкания ключа.

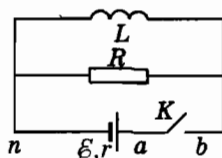


Рис. 6.3.11 а

6.3.12. Вначале ключ K замкнут. Покажите, что разность потенциалов $V_L(t) = \phi_b - \phi_n$ точек n и b в момент размыкания ключа $t = 0$ равна $V_L(0) = 400$ В, а разность потенциалов точек a и b равна 410 В. Найдите количество теплоты Q , рассеянной в резисторе после размыкания ключа.

6.4. Магнитные свойства вещества

Магнитный момент. Магнитные свойства веществ — магнетиков — полностью определяются вектором намагниченности \vec{M} , который представляет собой плотность магнитного момента вещества или намагниченность. Размерность M — [А/м]. В объеме вещества V магнитный момент $\vec{M}V$ представляет собой сумму моментов \vec{p}_e , создаваемых электронными токами в молекулах и атомах и собственных магнитных моментов \vec{p}_e электронов и ядер. Магнитный момент вещества представляют как результат проявления *связанного тока*. Свободные токи — это обычные токи проводимости, измеряемые, например, амперметром.

В случае магнетиков правая часть закона Максвелла—Ампера (5.3.1) включает сумму свободного и связанного токов. В электродинамике сплошных сред вводят вектор *напряженности магнитного поля* \vec{H} , связанный только со свободными токами проводимости $I_{\text{св}}$. Размерность напря-

женности поля — A/m . Свободные токи $I_{св}$ порождают внешнее магнитное поле индукцией $\vec{B}_0 = \mu_0 \vec{H}$. Связанные токи создают вторичное поле индукции $\vec{B}' = \mu_0 \vec{M}$. Тогда индукция магнитного поля внутри вещества

$$\vec{B} = \mu_0 \vec{H} + \mu_0 \vec{M}. \quad (6.4.1)$$

После подстановки \vec{B} в (5.3.1) получим закон Максвелла—Ампера в виде

$$\sum_{a=1}^N \vec{H}(\vec{r}_a) \Delta \vec{l} = I_{св}. \quad (6.4.2)$$

В случае не слишком сильных полей в изотропных диэлектриках и парамагнетиках вектор намагниченности в каждой точке среды пропорционален напряженности магнитного поля: $\vec{M} = (\mu - 1) \vec{H}$. Константа μ — магнитная проницаемость вещества. Подставляя \vec{M} в (6.4.1), получим индукцию поля в веществе $\vec{B} = \mu_0 \mu \vec{H}$.

Ферромагнетики. Магнитные свойства твердого тела зависят от структуры кристаллической решетки.

Уникальные свойства ферромагнетика обусловлены наличием спонтанного макроскопического магнитного момента. Пусть напряженность магнитного поля $\vec{H} = (0, 0, H)$ образует некоторый угол с осью легкого намагничивания.

Увеличение H вызывает нелинейное возрастание величины индукции $B(H)$: вначале медленное, затем более быстрое, затем очень медленное. В этой области значений H намагниченность достигает постоянного значения $M(H) \rightarrow M_m$, индукция $B(H) \rightarrow B_m$, $B_m \approx \mu_0 M_m$.

Коэффициент магнитной проницаемости $\mu = B_m / (H \mu_0) \gg 1$.

Если медленно уменьшать H , то кривая $B = B(H)$ не проходит через значение $B = 0$. После выключения внешнего поля сохраняется остаточное поле индукцией $B_r = B(0)$ благодаря намагниченности, приобретенной образцом. Это явление, обусловленное необратимостью процесса намагничивания, называется *гистерезисом* (от гр. *hysteresis* — запаздывание).

Остаточная намагниченность $\vec{M}_{ост} = \vec{M}(0)$ является источником магнитного поля индукцией $\vec{B}^{(i)} = \mu_0 (\vec{H}^{(i)} + \vec{M}_{ост})$

внутри ферромагнетика и $\vec{B}^{(e)} = \mu_0 \vec{H}^{(e)}$ во внешней области. Она будет существовать до тех пор, пока образец не подвергнут нагреванию или приложат для компенсации размагничивающее поле напряженностью $H = -H_c$, которое называют *коэрцитивной силой*.

6.4.1*. Металлический неферромагнитный шар радиуса a находится во внешнем магнитном поле индукцией $\vec{B}_0 = \mu_0 \vec{H}_0$. Во внешнем поле шар намагничивается — в шаре возникают постоянная плотность магнитного момента \vec{M} и определенное распределение плотности поверхностных токов плотностью \vec{i} . Коэффициент магнитной проницаемости μ . Найдите плотность магнитного момента, индукцию и напряженность магнитного поля внутри шара $\vec{H}^{(i)}(x, y, z)$ и вне шара $\vec{H}^{(e)}(x, y, z)$ в системе координат с началом в центре шара.

6.4.2*. Энергия магнитного поля магнетика. Намагничиваемое тело представляет собой тороид — тонкий «бублик». Длина осевой окружности бублика — l , площадь поперечного сечения — S . На поверхность тороида навита обмотка, имеющая N витков. Сопротивление обмотки — R . Обмотка присоединена к генератору напряжения с ЭДС равной \mathcal{E} . Найдите величину работы δA , необходимой дляращения намагниченности \vec{M} на $\Delta\vec{M}$.

6.4.3*. Электромагнит. В конструкции многих электротехнических устройств входят магнитные цепи — совокупность ферромагнитных тел, через которые проходят и замыкаются силовые линии магнитной индукции. Неразветвленная магнитная цепь является основой устройства с подвижным якорем — электромагнита, изображенного на рис. 6.4.3.

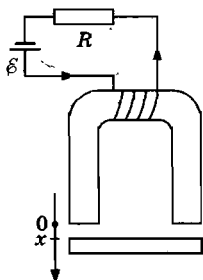


Рис. 6.4.3

Сердечник выполнен из электротехнической стали 1511 в виде цилиндрического стержня сечением S , якорь представляет собой пластинку массой m . Обмотка сердечника электромагнита, содержащая N витков, подключена к генератору напряжения с ЭДС равной \mathcal{E} . Сопротивление обмотки — R . Параметры схемы: $\mathcal{E} = 1$ В, $R = 1$ Ом, $N = 90$, $S = 4 \cdot 10^{-4}$ м², длина средней линии магнитопровода $l = 30$ см. Найдите силу, действующую на пластинку, и получите полную систему уравнений электромагнита. (Указание: при значении $H = 300$ А/м для электротехнической стали 1511 индукция $B = 1$ Тл.)

6.4.4*. «Толстый» соленоид представляет собой катушку с внешним и внутренним радиусами b и a . На стальной цилиндрический сердечник соленоида из электротехнической стали 3411 надели тонкое алюминиевое кольцо массой m , сопротивлением R (рис. 6.4.4). Концы обмотки соленоида присоединены к цепи, содержащей заряженный конденсатор и ключ. В результате замыкания ключа через цепь соленоида прошел ток силой $I_1(t) \approx I_0$, $0 \leq t \leq \tau$, $\tau = 10^{-5}$ с, $I(t) = 0$, $t < 0$, $t > \tau$.

Осевая компонента вектора напряженности магнитного поля

$$H_1(t, z) = H(t)f(z),$$

$$H(t) = NI_1(t)/2h,$$

$$f(z) = \frac{h+z}{b-a} \ln \frac{b + \sqrt{b^2 + (h+z)^2}}{a + \sqrt{a^2 + (h+z)^2}} - \frac{z}{b-a} \ln \frac{b + \sqrt{b^2 + z^2}}{a + \sqrt{a^2 + z^2}},$$

где h — высота соленоида, N — число витков.

Начало оси z , направленной вертикально вверх, находится в центре торца соленоида.

Параметры системы $N = 50$, $I_0 = 1$ А, $h = 15$ мм, $b = 15$ мм, $a = 10$ мм, $R = 0,3$ мОм, $m = 1,3$ г. Начальное положение и скорость кольца $z(0) = 0$, $v_z(0) = 0$. Найдите скорость v_0 , приобретаемую кольцом в момент времени $t = \tau$ и высоту z_m подъема кольца.

(Указание: Компонента магнитной индукции определяется кривой намагниченности $B_1 = F(H_1)$:

$$B_1(\tau, 0) = F[H_1(\tau, 0)], \quad H_1(\tau, 0) = NI_0 f_0 / 2h, \quad f_0 = f(0).$$

Для электротехнической стали 3411 значение $H_1(\tau, 0) = 1600$ А/м, величина индукция $B_1(\tau, 0) = B_0$, $B_0 = 1,5$ Тл.

Производная $df/dz = -G(z)$. В точке $z = 0$ значение $G(0) = G_0$,

$$G_0 = \frac{1}{b-a} \ln \frac{(a+a_1)b}{(b+b_1)a} + \frac{h^2}{b-a} \left[\frac{1}{(a+a_1)a_1} - \frac{1}{(b+b_1)b_1} \right],$$

$$a_1 = \sqrt{a^2 + h^2}, \quad b_1 = \sqrt{b^2 + h^2}.$$

6.4.5*. Для вещества произвольного состава вектор индукции $\mu_0 \vec{H}$ связан с током проводимости законом Ампера (6.4.2). Пусть полупространство $z > 0$ представляет собой вакуум с $\vec{M}_1 = 0$, а область $z < 0$ заполнена средой с постоянной намагниченностью $\vec{M}_2 = (0, M, 0)$ (рис. 6.4.5 а). Покажите, что намагниченность M связана с током, «текущим» по поверхности раздела xy в направлении оси x , хотя внутри самого вещества плотность тока равна нулю.

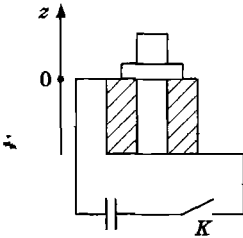


Рис. 6.4.4

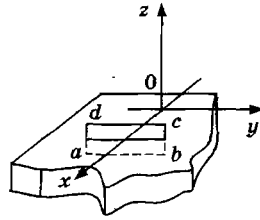


Рис. 6.4.5 а

6.4.6*. Магнитное поле, создаваемое ферромагнитным диском. Из некоторых новых материалов можно получить весьма сильные магнитные диски. Например, в сплаве самарий-кобальт магнитный момент достигает значения $M \sim 10^5$ А/м. Магнитный момент электрона равен магнетону Бора $\mu_B = 9,27 \cdot 10^{-24}$ Дж/Тл; значению M соответствует 10^{22} ориентированных электронных спинов в одном кубическом сантиметре. Оцените индукцию магнитного поля в центре диска радиусом $a = 1$ см, толщиной $h = 0,3$ см.

Глава VII. ЭЛЕКТРИЧЕСКИЙ ТОК В СРЕДЕ

7.1. Электрический ток в электролитах

Первый закон Фарадея. Масса Δm вещества, выделившегося на электроде из раствора различных его соединений за время Δt , пропорциональна силе тока $I(t)$ и интервалу времени Δt :

$$\Delta m = kI(t)\Delta t, \quad (7.1.1)$$

здесь k — коэффициент пропорциональности, получивший название электрохимического эквивалента, принимает разные значения для различных веществ.

Второй закон Фарадея. Электрохимический эквивалент вещества k пропорционален химическому эквиваленту вещества $x = M/z$, где M — молярная или атомная масса, z — валентность элемента:

$$k = \frac{M}{Fz} \quad (7.1.2)$$

Коэффициент пропорциональности содержит величину $F = 9,6485 \cdot 10^4$ Кл/моль, называемую *постоянной Фарадея*, $F = N_A e_0$. Подставляя в (7.1.1) выражение для k , получим объединенный закон Фарадея

$$\Delta m = \frac{MI\Delta t}{Fz} \quad (7.1.3)$$

Значения электрохимических эквивалентов некоторых металлов:

- $3,29 \cdot 10^{-7}$ кг/Кл (медь-II),
- $3,04 \cdot 10^{-7}$ кг/Кл (никель),
- $1,118 \cdot 10^{-6}$ кг/Кл (серебро-I),
- $6,81 \cdot 10^{-7}$ кг/Кл (золото).

7.1.1. Найдите массу цинка m , полученного при электролизе раствора $ZnSO_4$, если при напряжении на электродах $V = 2$ В расход электроэнергии $A = 2$ кВт.

7.1.2. При электролитическом получении алюминия напряжение на электродах $V = 5$ В, плотность тока $j = 10$ кА/м². В течение суток получено $m = 15$ кг алюминия. КПД установки $\eta = 0,75$. Определите силу тока I , площадь поверхности электродов S и мощность P , потребляемую установкой.

7.1.3. Найдите массу m суточного производства алюминия в электролитической ячейке при силе тока $I = 10\,000$ А, если КПД установки $\eta = 0,8$.

7.1.4. При электролизе раствора серной кислоты выделилось $m = 0,3$ г водорода за промежуток времени $\tau = 50$ мин. Сопротивление электролита $R = 0,4$ Ом. Определите мощность P , потребляемую в процессе электролиза.

7.1.5. Электролиз технически чистой меди производился в течение времени Δt при силе тока I . Найдите отношение масс меди m_1/m_2 , выделившихся из растворов хлористой меди и медного купороса.

7.1.6. Какое количество цинка Δm расходуется в элементе Даниэля за 1 минуту при силе тока 1 А. Валентность цинка $z = 2$, атомная масса 65,38 г/моль.

7.1.7–7.1.11. Производится электролиз подкисленной воды.

7.1.7. Известно, что при сгорании $\nu_0 = 1$ моль водорода выделяется $Q = 0,286$ МДж. Определите наименьшее значение напряжения U_m на клеммах генератора, при котором происходит электролиз подкисленной воды.

7.1.8. Найдите заряд Δq , который должен пройти через электроды генератора для получения $\nu_0 = 1$ моль водорода.

7.1.9. Конденсатор емкостью $C = 1$ мкФ заряжен до разности потенциалов $U = 500$ В. Найдите число молей водорода ν_1 , выделившегося при электролизе воды.

7.1.10. Найдите число атомов водорода N_1 и кислорода N_2 , выделившихся на электродах при прохождении заряда $q = 16$ Кл.

7.1.11. Два провода от генератора постоянного напряжения погружены в воду. Масса воды, разложившейся при электролизе, $m = 1,8$ г.

А. Найдите объемы выделившихся водорода V_1 и кислорода V_2 при нормальных условиях.

Б. Как определить полярность генератора напряжения?

7.1.12. При электролитическом способе получения никеля расход электроэнергии составляет $\Delta w/\Delta m = 10$ кВт·ч/кг. Электрохимический эквивалент никеля $k = 1080$ мг/А·ч. Определите напряжение U , при котором производится электролиз.

7.1.13. Сила тока, протекающего через электролит $I(t) = I_0 - gt$, $I_0 = 5$ А, $g = 0,02$ А/с. Найдите массу меди, которая выделится за промежуток времени $T = 100$ с. Молярная масса меди $M = 63,5$ г/моль, валентность меди $z = 2$.

7.1.14. Деталь покрывают слоем хрома толщиной $d = 50$ мкм. Необходимая для хромирования плотность тока $j = 2$ кА/м².

Плотность хрома $\rho = 7,2 \cdot 10^3$ кг/м³, электрохимический эквивалент $k = 1,8 \cdot 10^{-7}$ кг/Кл. Найдите промежуток времени τ , необходимый для хромирования детали.

7.1.15. Имеются два тела одинакового объема: шар радиусом R и цилиндр радиусом R . Найдите отношение промежутков времени t_1/t_2 , необходимых для покрытия поверхностей слоем меди одинаковой толщины при одинаковой силе тока.

7.1.16. В электролитической ванне при получении $m = 10$ г серебра выделилось количество теплоты $Q = 40$ кДж. Напряжение, при котором производится электролиз, $V = 10$ В. Найдите КПД установки.

7.1.17–7.1.18. Водород, выделяющийся при электролизе раствора поваренной соли в воде, поступает в сосуд объемом $V = 0,5$ л.

7.1.17. Запишите уравнение процесса электролиза водного раствора поваренной соли NaCl.

7.1.18. Через некоторое время давление в сосуде $p = 120$ кПа, температура $t = 27$ °С.

Найдите работу A , совершенную генератором напряжения, если разность потенциалов между электродами $U = 25$ В.

7.1.19. Электрохимическая обработка металлов. Обрабатываемую железную деталь присоединяют к аноду. Рабочая поверхность катода, заданного профиля, находится на небольшом расстоянии от детали. Плотность тока $j = 250$ А/м². Металл растворяется под всей рабочей поверхностью катода. Плотность железа $\rho = 7,874 \cdot 10^3$ кг/м³, молярная масса $M = 0,056$ кг/моль, валентность $z = 2$. Найдите скорость уменьшения толщины детали.

7.2. Электрический ток в вакууме

Вольт-амперная характеристика диода. При технических расчетах иногда допустимо использовать упрощенную вольтамперную характеристику диода $I = f(V_g)$. В этом случае диод работает в двух режимах: открыт — заперт, обладая односторонней проводимостью. Можно максимально упростить характеристику, полагая внутреннее сопротивление $R_i = 0$. Диод с такой характеристикой называется идеальным.

7.2.1. В схеме на рис. 7.2.1 а, содержащей три одинаковых резистора и три идеальных диода, разность потенциалов $\varphi_a - \varphi_k = V$. Сила тока в цепи — I_1 . В схеме на рис. 7.2.1 б сила тока — I_2 . Найдите отношение I_2/I_1 .

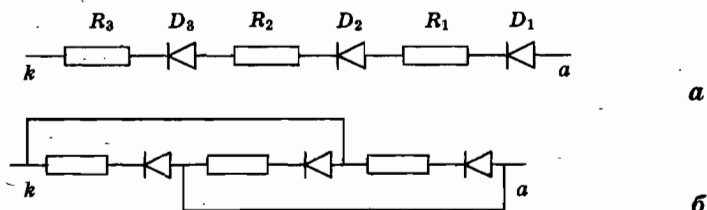


Рис. 7.2.1 а, б

7.2.2. В схеме рис. 7.2.2 сопротивления резисторов $R_1 = R_3$, $R_2 = R_4$, разность потенциалов $\varphi_a - \varphi_b = V$, $V = 50$ В. Проводимость диода описывается идеальной вольтамперной характеристикой. Найдите силу тока I_0 , в общей части схемы.

А. В схеме сопротивления резисторов $R_1 = R_3 = 5$ Ом, $R_2 = R_4 = 20$ Ом.

Б. В схеме сопротивления резисторов $R_1 = R_3 = 20$ Ом, $R_2 = R_4 = 5$ Ом.

7.2.3. Схема из трех одинаковых резисторов, лампового диода D и амперметра, представляет собой внешнюю цепь, подключенную к батарее (рис. 7.2.3).

Сопротивление резисторов $R_1 = R_2 = R_3 = R$. Вольтамперная характеристика диода — нелинейного элемента — представляет собой закон Ленгмюра $I = kV^{3/2}$, где V — напряжение на электродах, k — постоянный коэффициент. Найдите значение силы тока I , при котором ток не протекает через амперметр и напряжение на диоде V_g .

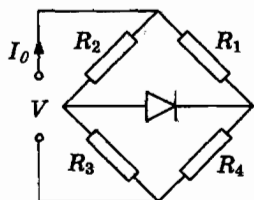


Рис. 7.2.2

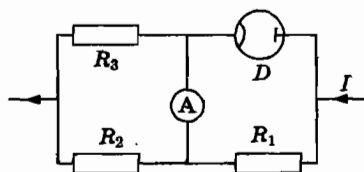


Рис. 7.2.3

7.2.4. Схема на рис. 7.2.4 содержит три одинаковых батареи, резистор и идеальный диод. Сопротивление резистора R , ЭДС батарей \mathcal{E} , внутреннее сопротивление r .

А. Найдите условие, при котором диод пропускает ток.

Б. Найдите возможное максимальное значение мощности P_m , потребляемой резистором.

В. Найдите падение напряжения V_R на резисторе R при открытом и запертом диоде.

7.2.5. На рис. 7.2.5 изображена вольтамперная характеристика нелинейного элемента — кремниевого диода. Достаточно заметный ток появляется при $V > V_0$, $V_0 = 0,34$ В, где V — разность потенциалов между анодом и катодом. При подключении диода к батарее через него течет ток силой $I_1 = 200$ мА. При последовательном соединении диода, батареи и резистора сопротивлением $R = 10$ Ом течет ток силой $I_2 = 50$ мА. Найдите ЭДС и внутреннее сопротивление батареи.

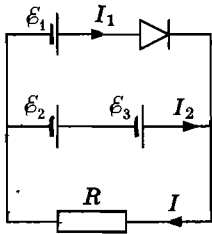


Рис. 7.2.4

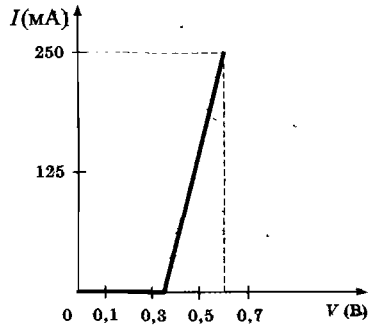


Рис. 7.2.5

7.2.6. Идеальный диод, имеющий вольтамперную характеристику, изображенную на рис. 7.2.4 а, включен в схему рис. 7.2.6 б. ЭДС батареи \mathcal{E} , ($\mathcal{E} > V_0$) внутреннее сопротивление $r = 0$. В начальном состоянии конденсатор не заряжен. Найдите количество теплоты Q , выделившейся в резисторе сопротивлением R после замыкания ключа.

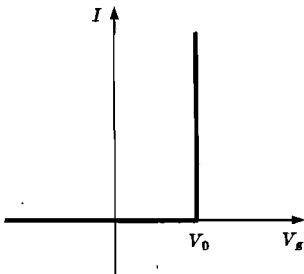


Рис. 7.2.6 а

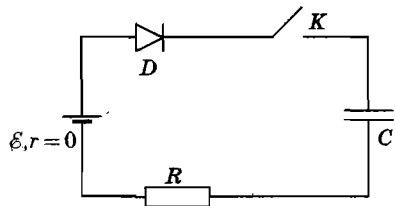


Рис. 7.2.6 б

7.2.7. Диодное ограничение. Схема рис. 7.2.7 а содержит диод сопротивлением $R_0 = 100$ Ом, резистор сопротивлением $R = 5$ кОм и батарею с ЭДС равной $\mathcal{E}_0 = 2$ В. Разность потенциалов на входе системы $\varphi_a - \varphi_b = V_{in}$. Изобразите график напряжения на выходе $\varphi_k - \varphi_b = V_{out}$ как функцию напряжения на входе V_{in} .

7.2.8–7.2.11. Выпрямление переменного напряжения. В схеме выпрямителя на рис. 7.2.8 генератор напряжения и диод подключены к RC цепи, образованной конденсатором и резистором. ЭДС генератора $\mathcal{E}(t) = \mathcal{E}_0 \cos \omega t$, $T = 2\pi/\omega$ — период колебаний, $t \geq 0$. Сопротивление резистора R . Обозначим разности потенциалов $V_g = \varphi_a - \varphi_k$ на диоде и $V = \varphi_k - \varphi_o$ на RC — цепи. Вольтамперная характеристика диода $I = f(V_g)$. Стрелки указывают положительные направления токов I, I_1, I_2 .

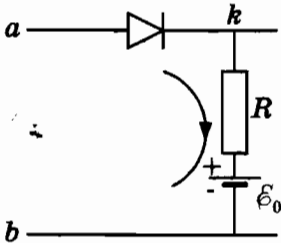


Рис. 7.2.7 а

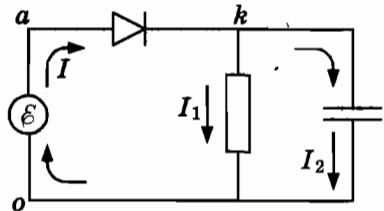


Рис. 7.2.8

7.2.8. Получите уравнение для напряжения на выходе схемы — функции $V(t)$.

7.2.9. Выпрямление с идеальным диодом. Внутреннее сопротивление диода R_i удовлетворяют неравенству $R \gg R_i$. Покажите, что схема рис. 7.2.8 позволяет существенно уменьшить пульсации напряжения, $CR \gg T$.

7.2.10. В результате решения уравнения, которому подчиняется напряжение на выходе схемы, получена функция

$$V(t) \approx \mathcal{E}_0 (1 - \pi X_c / R) + \mathcal{E}_0 (2X_c / R) \sin \omega t,$$

где $X_c = 1/\omega C$, $X_c \ll R$.

Покажите, что амплитуда силы тока, протекающего в цепи конденсатора в два раза больше силы постоянного тока, протекающего через резистор.

7.2.11. Найдите отношение мощности P_o , потребляемой в схеме при последовательном соединении генератора, идеального диода, ре-

зистора и мощности P , потребляемой резистором в схеме рис. 7.2.8 с конденсатором при условии $CR \gg T$.

7.2.12. В схеме на рис. 7.2.12 содержится генератор напряжения с ЭДС $\mathcal{E}(t) = \mathcal{E}_0 \sin \omega t$, две одинаковые лампы, два идеальных диода и ключ. Найдите отношение мощностей P'/P , потребляемых лампой L_1 , после и до замыкания ключа.

7.2.13. В схеме на рис. 7.2.13 идеальный диод и три резистора подключены к генератору переменного напряжения $\mathcal{E}(t) = \mathcal{E}_0 \sin \omega t$, $t \geq 0$. Сопротивления резисторов $R_1 = R_2 = R_3 = R$. Найдите среднее значение мощности P , потребляемой резистором R_1 .

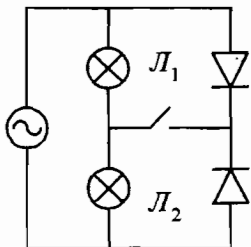


Рис. 7.2.12

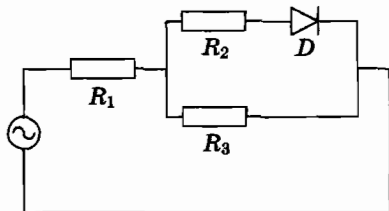


Рис. 7.2.13

7.2.14. В схеме на рис. 7.2.14 два идеальных диода и три резистора включены в цепь переменного тока напряжением V . Сопротивления резисторов $R_1 = R_2 = R_3 = R$. Найдите среднее значение мощности P_3 , потребляемой резистором R_3 .

7.2.15. В схеме на рис. 7.2.15 идеальный диод и два резистора включены в цепь переменного тока напряжением $V = 220$ В. Сопротивления резисторов в рабочем режиме $R_1 = 400$ Ом, $R_2 = 200$ Ом. Найдите среднее значение мощности P_1, P_2 , потребляемой резисторами.

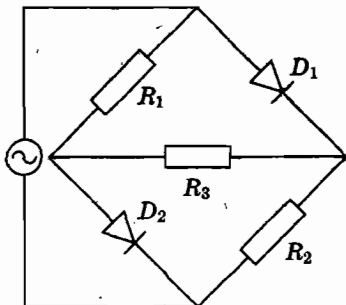


Рис. 7.2.14

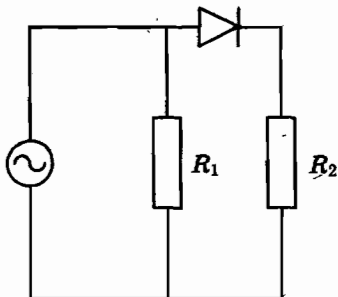


Рис. 7.2.15

7.2.16. В схеме на рис. 7.2.16 два идеальных диода и три резистора включены в цепь переменного тока напряжением $\mathcal{E}(t) = \mathcal{E}_0 \sin \omega t$, $t \geq 0$. Сопротивления резисторов $R_1 = R_2 = R_3 = R$. Найдите среднее значение мощности P_1 и P_2 , потребляемой резисторами R_1 и R_2 .

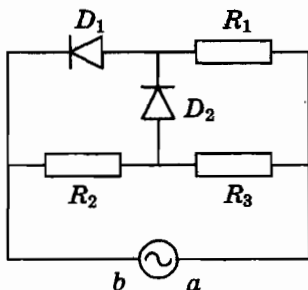


Рис. 7.2.16

7.2.17. Электрическая схема, представленная на рис. 7.2.17, состоит из трех идеальных диодов, трех одинаковых резисторов $R_1 = R_2 = R_3 = R$ и генератора переменного напряжения $\mathcal{E}(t) = \mathcal{E}_0 \sin \omega t$. Сопротивление резистора R . Найдите средние значения мощностей P_1 , P_2 , потребляемых резисторами.

7.2.18. В схеме рис. 7.2.18 а сопротивления резисторов $R_1 = R_2 = R$, $R = 2$ Ом, $r = 3$ Ом. ЭДС генератора $\mathcal{E}(t) = \mathcal{E}_0 \sin \omega t$, $\mathcal{E}_0 = 3$ В, $t \geq 0$. Проводимость кремниевого диода описывается идеальной вольтамперной характеристикой $I = f(V)$, где $f(V) = 0$, $V < V_0$; $f(V) \neq 0$, $V \geq V_0$, $V_0 = 0,6$ В. Найдите силу тока $I_1(t)$, протекающего через диод и силу тока I , протекающего через генератор.

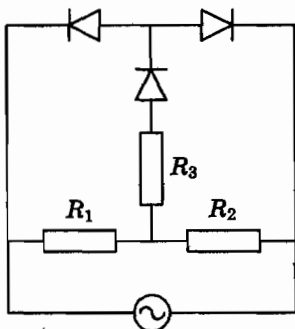


Рис. 7.2.17

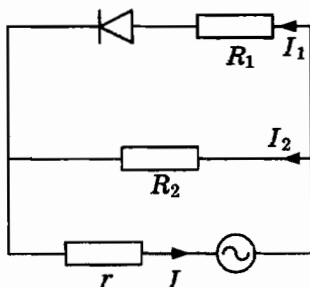


Рис. 7.2.18 а

зистора и мощности P , потребляемой резистором в схеме рис. 7.2.8 с конденсатором при условии $CR \gg T$.

7.2.12. В схеме на рис. 7.2.12 содержится генератор напряжения с ЭДС $\xi(t) = \xi_0 \sin \omega t$, две одинаковые лампы, два идеальных диода и ключ. Найдите отношение мощностей P'/P , потребляемых лампой Л, после и до замыкания ключа.

7.2.13. В схеме на рис. 7.2.13 идеальный диод и три резистора подключены к генератору переменного напряжения $\xi(t) = \xi_0 \sin \omega t$, $t \geq 0$. Сопротивления резисторов $R_1 = R_2 = R_3 = R$. Найдите среднее значение мощности P , потребляемой резистором R_1 .

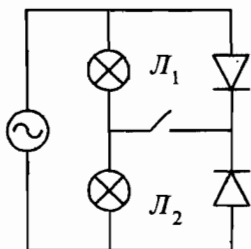


Рис. 7.2.12

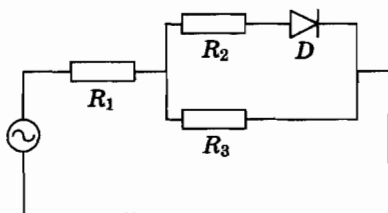


Рис. 7.2.13

7.2.14. В схеме на рис. 7.2.14 два идеальных диода и три резистора включены в цепь переменного тока напряжением V . Сопротивления резисторов $R_1 = R_2 = R_3 = R$. Найдите среднее значение мощности P_3 , потребляемой резистором R_3 .

7.2.15. В схеме на рис. 7.2.15 идеальный диод и два резистора включены в цепь переменного тока напряжением $V = 220$ В. Сопротивления резисторов в рабочем режиме $R_1 = 400$ Ом, $R_2 = 200$ Ом. Найдите среднее значение мощности P_1, P_2 , потребляемой резисторами.

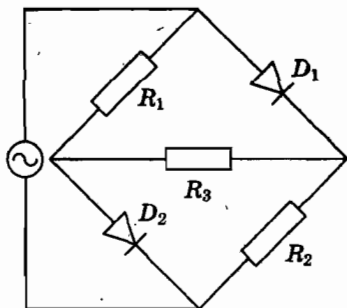


Рис. 7.2.14

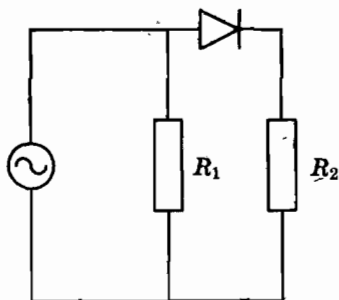


Рис. 7.2.15

7.2.16. В схеме на рис. 7.2.16 два идеальных диода и три резистора включены в цепь переменного тока напряжением $\mathcal{E}(t) = \mathcal{E}_0 \sin \omega t$, $t \geq 0$. Сопротивления резисторов $R_1 = R_2 = R_3 = R$. Найдите среднее значение мощности P_1 и P_2 , потребляемой резисторами R_1 и R_2 .

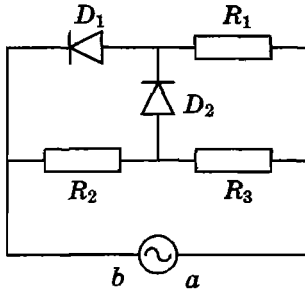


Рис. 7.2.16

7.2.17. Электрическая схема, представленная на рис. 7.2.17, состоит из трех идеальных диодов, трех одинаковых резисторов $R_1 = R_2 = R_3 = R$ и генератора переменного напряжения $\mathcal{E}(t) = \mathcal{E}_0 \sin \omega t$. Сопротивление резистора R . Найдите средние значения мощностей P_1, P_2 , потребляемых резисторами.

7.2.18. В схеме рис. 7.2.18 а сопротивления резисторов $R_1 = R_2 = R$, $R = 2$ Ом, $r = 3$ Ом. ЭДС генератора $\mathcal{E}(t) = \mathcal{E}_0 \sin \omega t$, $\mathcal{E}_0 = 3$ В, $t \geq 0$. Проводимость кремниевого диода описывается идеальной вольтамперной характеристикой $I = f(V)$, где $f(V) = 0, V < V_0; f(V) \neq 0, V \geq V_0$, $V_0 = 0,6$ В. Найдите силу тока $I_1(t)$, протекающего через диод и силу тока I , протекающего через генератор.

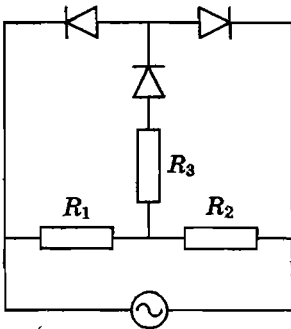


Рис. 7.2.17

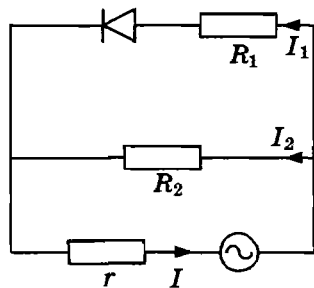


Рис. 7.2.18 а

7.3. Электрический ток в газах

Термин газовый разряд означает, что в газообразной среде протекает электрический ток. Газовый разряд может существовать в широком диапазоне давлений: гораздо ниже и выше атмосферного давления.

Выделяют три типа стационарного разряда, в зависимости от переносимого им тока:

1. Темный разряд (ток $\leq 10^{-6}$ А).
2. Тлеющий разряд (ток от 10^{-6} до 10^{-1} А).
3. Дуговой разряд (ток выше 10^{-1} А).

Дуговой разряд. Условия существования самостоятельного тлеющего разряда сводятся к тому, чтобы число вторичных электронов, возникающих при бомбардировке катода ионами, было достаточным для поддержания степени ионизации. В результате столкновений ионов с катодом, выполненном из тугоплавкого металла, температура катода может повыситься настолько, что основной вклад в ионизацию газа будет давать термоэлектронная эмиссия. Для дуги характерны большие значения тока и напряжения на порядок меньшие, чем в тлеющем разряде. Наиболее важной особенностью вольтамперной характеристики дуги является наличие участка, на котором увеличение напряжения приводит к уменьшению тока. Это — уникальное явление, соответствующее *отрицательному сопротивлению дуги*.

7.3.1. В сухом воздухе при напряженности электрического поля порядка 10^6 В/м происходит образование ионов и возникает пробой. Найдите максимальный заряд Q , который можно сообщить сфере радиусом $R = 1$ см.

7.3.2. Длина свободного пробега молекулы $\lambda = \frac{0,056}{a^2 n}$, где a — радиус действия молекулярных сил, n — концентрация молекул. Для молекул воздуха $a \approx 1,6$ нм. Температура воздуха $t = 27$ °С. Найдите давление воздуха, при котором длина свободного пробега $\lambda = 0,1$ м.

7.3.3. Найдите длину свободного пробега атомов неона при температуре $T = 300$ К и давлении $p = 5 \cdot 10^{-7}$ мм рт. ст. «Диаметр» атома 0,15 нм.

7.3.4. Счетно-ионизационная или импульсная камера. Основная схема, служащая для обнаружения частицы, представлена на рис. 7.3.4. Частица производит ионизацию в газе между пластинами конденсатора. Образовавшиеся ионы и электроны должны попасть на пластины. Конденсатор разряжается через сопротивление $R \approx 10^8$ Ом. Импульс напряжения измеряется электрометром или подается на усилитель. После пролета α -частицы через конденсатор емкостью $C = 100$ пФ образовалось $N = 10^5$ пар однократно заряженных ионов и электронов. Оцените амплитуду импульса напряжения на резисторе.

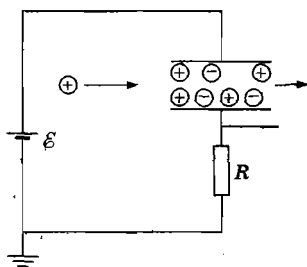


Рис. 7.3.4

7.3.5. Газоразрядная трубка подключена в схему, изображенную на рис. 7.3.5 а. Сопротивление резистора $R = 300$ МОм, ЭДС батареи $\mathcal{E} = 6$ кВ. Начальный участок вольтамперной характеристики газоразрядной трубки показан на рис. 7.3.5 б. Найдите силу тока в цепи I_1 и разность потенциалов V_1 на электродах трубки.

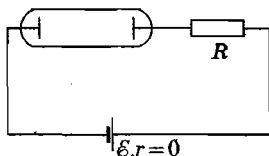


Рис. 7.3.5 а

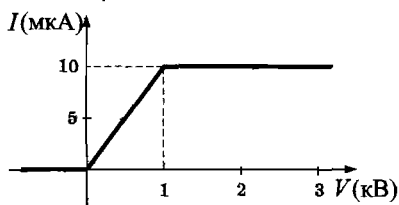


Рис. 7.3.5 б

7.3.6. Сварочный аппарат подключен к генератору постоянного напряжения $U = 37$ В (рис. 7.3.6). Сопротивление в цепи $R = 0,08$ Ом. Дуга возникает при напряжении $V_a = 25$ В. Найдите мощность дуги P .

7.3.7–7.3.10. Дуга имеет падающую характеристику; из этого факта вытекают важные следствия. В рабочей области характеристика дуги, найденная эмпирически (от гр. — *empeiria* — опыт), имеет вид $I = f(V)$, $f(V) = P_0 / (V - V_0)$, где V_0 и P_0 постоянные, $V > V_0$. Дуга включена в схему на рис. 7.3.7, где $\xi > V_0$.

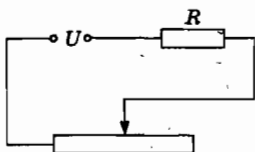


Рис. 7.3.6

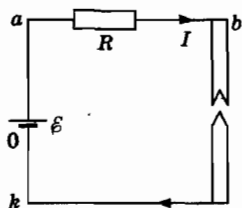


Рис. 7.3.7

7.3.7. Найдите максимальное значение сопротивления R_m , при котором дуга загорается, значение мощности P_m , потребляемое дугой и значение мощности P_R , потребляемой резистором.

7.3.8. Изобразите график функции $I = f(V)$ и графики функции $I = \xi/R - V/R$ при $R < R_m$, $R = R_m$, $R > R_m$. Проведите геометрический анализ полученных решений.

7.3.9. Найдите значение сопротивления R_c , при котором дуга потребляет мощность $P_c = 2P_m$.

7.3.10. Найдите значение сопротивления R_1 , при котором дуга потребляет мощность, в два раза меньшую мощности, развиваемой батареей ($V_0 = 15$ В, $P_0 = 1$ кВт, $\xi = 50$ В).

7.3.11–7.3.12. Электрон массой m_1 и ион массой m_2 имеют одинаковые кинетические энергии T и движутся навстречу друг другу.

7.3.11. Найдите энергию Q переданную иону после абсолютно неупругого столкновения электрона и иона.

7.3.12. Покажите, что приращение кинетической энергии электрона в исходной системе отсчета $\Delta T_1 = -T \left(1 + \frac{m_2}{m_1} + 2\sqrt{\frac{m_1}{m_2}} \right) \frac{m_1 m_2}{m^2}$.

Глава VIII. ЭЛЕКТРОМАГНИТНЫЕ КОЛЕБАНИЯ

8.1. Свободные электромагнитные колебания

Уравнение электрической цепи. Зададим на контуре, содержащем катушку индуктивности, конденсатор и резистор положительное направление. Функция $q(t)$ — заряд, протекающий в положительном направлении за промежуток времени $[0, t]$. Сила тока $I = dq/dt$. Напряжения на резисторе, катушке и конденсаторе входят в уравнение, следующее из второго правила Кирхгофа:

$$L \frac{d^2 q}{dt^2} + R \frac{dq}{dt} + \frac{q}{C} = 0. \quad (8.1.1)$$

Умножая (8.1.1) на I , получим закон изменения электромагнитной энергии U_{em} ,

$$\frac{dU_{em}}{dt} = -I^2 R, \quad U_{em} = \frac{LI^2(t)}{2} + \frac{q^2(t)}{2C}. \quad (8.1.2)$$

Незатухающие собственные колебания. Полагая $R = 0$ или при $R \ll (L/C)^{1/2}$ получим уравнение гармонических колебаний.

$$\frac{d^2 q}{dt^2} + \omega_0^2 q = 0. \quad (8.1.3)$$

где $\omega_0^2 = (LC)^{-1}$ — собственная частота линейных колебаний.

Начальные значения $q(0) = q_0$, $I(0) = I_0$. Решением (8.1.3) является функция

$$q(t) = a \cos \omega_0 t + b \sin \omega_0 t, \quad (8.1.4)$$

где a и b — постоянные, определяемые из начальных условий.

Сила тока в контуре

$$I(t) = -a\omega_0 \sin \omega_0 t + b\omega_0 \cos \omega_0 t. \quad (8.1.5)$$

Полагая $t = 0$, находим $a = q_0$, $b = I_0/\omega_0$. Следовательно,

$$q(t) = q_0 \cos \omega_0 t + \frac{I_0}{\omega_0} \sin \omega_0 t, \quad (8.1.6)$$

Для радиотехнических целей желательно иметь контур с возможно меньшими потерями. Характеристика потерь, называется *добротностью*: $Q = \omega_0 L/R$, $Q = R_c/R$.

Здесь $R_B = \sqrt{L/C}$ — волновое сопротивление.

8.1.1. Контур состоит из катушки индуктивностью $L = 400$ мкГн и конденсатора емкостью $C = 400$ пФ.

А. Найдите частоту собственных колебаний ν_0 .

Б. При $t = 0$ конденсатор заряжен до напряжения V_0 . Найдите силу тока в контуре.

8.1.2*. Контур состоит из катушки индуктивностью $L = 400$ мкГн и конденсатора емкостью $C = 400$ пФ. Найдите силу тока $I(t)$ в цепи батареи и напряжение на конденсаторе $V_c(t)$ в схеме, изображенной на рис. 8.1.2, после замыкания ключа. ЭДС и внутреннее сопротивление батареи $\mathcal{E} = 1$ В, $r = 1$ Ом.

8.1.3. Найдите амплитуду напряжения на конденсаторе и силу тока в контуре, изображенном на рис. 8.1.2, после размыкания ключа. ЭДС и внутреннее сопротивление батареи \mathcal{E} и r .

8.1.4. А. В колебательном контуре амплитуда напряжения на конденсаторе $V_m = 100$ В, амплитуда силы тока $I_m = 10$ А, энергия электромагнитного поля $U_m = 0,02$ Дж. Найдите частоту собственных колебаний $\nu = \omega/2\pi$.

Б. В колебательном контуре амплитуда заряда $q_m = 0,4$ мКл, амплитуда силы тока $I_m = 10$ А. Найдите частоту собственных колебаний $\nu = \omega/2\pi$.

8.1.5. В контуре, изображенном на рис. 8.1.5 емкости конденсаторов одинаковы. Во сколько раз возрастет собственная частота контура ν_{p2}/ν_{p1} , если один из них заполнить диэлектриком с проницаемостью ϵ ?

8.1.6. В схеме рис. 8.1.6 индуктивности катушек $L_1 = 150$ мГн, $L_2 = L_3 = 500$ мГн. Конденсатор емкостью $C = 400$ пФ заряжен до напряжения $V_0 = 100$ В. Найдите амплитуду силы тока I_{20} , протекающего через катушку с индуктивностью L_2 после замыкания ключа.

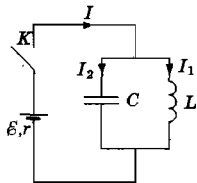


Рис. 8.1.2

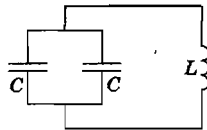


Рис. 8.1.5

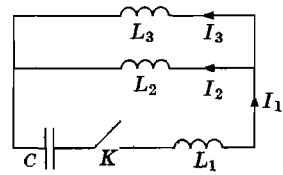


Рис. 8.1.6

8.1.7*. В схеме на рис. 8.1.7 ЭДС батареи $\mathcal{E} = 10$ В, индуктивность катушки $L = 10^{-4}$ Гн, емкость конденсаторов $C_1 = 2$ нФ, $C_2 = 8$ нФ. Вначале ключ находится в положении *a*.

А. Найдите частоту собственных электромагнитных колебаний ν и силу тока после переключения ключа в положение b .

Б. Найдите напряжения на конденсаторах $V_1(t)$ и $V_2(t)$.

В. Найдите энергию электромагнитных колебаний U_{em} .

8.1.8. В схеме рис. 8.1.8 a индуктивность катушек L_1 и L_2 , емкость конденсатора C . Сила тока, протекающего через катушку L_1 равна I_0 . В момент времени $t = 0$ ключ замыкают рис. 8.1.8 $б$.

А. Найдите силы токов $I_1(t)$, $I_2(t)$, протекающих через катушки после замыкания ключа.

Б. Найдите энергию электромагнитных колебаний U_{em} .

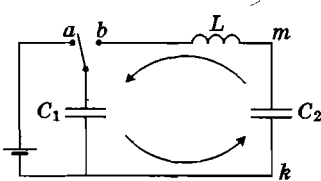


Рис. 8.1.7

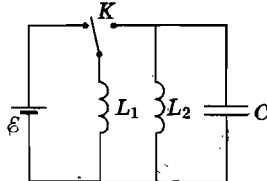


Рис. 8.1.8 а

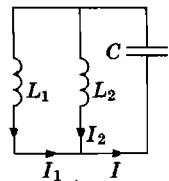


Рис. 8.1.8 б

8.1.9*. Цепь состоит из двух идеальных катушек, двух конденсаторов и батареи (рис. 8.1.9 a). Индуктивности катушек $L_1 = 10$ мГн, $L_2 = 20$ мГн, емкости конденсаторов $C_1 = 10$ нФ, $C_2 = 5$ нФ, ЭДС батареи $\mathcal{E} = 40$ В. Ключ K находится в положении 1. В момент времени $t = 0$ ключ переводят в положение 2.

А. Найдите частоту собственных электромагнитных колебаний в цепи.

Б. Найдите силу тока I_{ab} , протекающего на участке контура ab .

8.1.10. В схеме рис. 8.1.10 ЭДС батарей \mathcal{E}_0 , \mathcal{E} , индуктивность катушки L , емкость конденсатора C . Внутренние сопротивления батарей равны нулю. Вначале ключ находился в положении a . Найдите напряжение на конденсаторе U_C после переключения ключа в положение b .

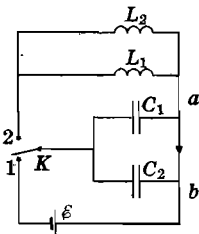


Рис. 8.1.9 а

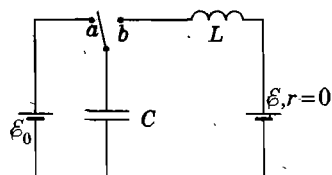


Рис. 8.1.10

8.1.11. В схеме рис. 8.1.11 индуктивность катушек L_1 и L_2 , емкость конденсатора C . Заряд конденсатора Q . Найдите амплитудные значения силы токов I_{10} , I_{20} , протекающих через катушки после замыкания ключа.

8.1.12. В схеме рис. 8.1.12 а ЭДС батареи \mathcal{E} , индуктивность катушки L , емкость конденсатора C , сопротивление резистора R , $R \gg \left(\frac{L}{C}\right)^{\frac{1}{2}}$. Вначале ключ находился в положении a . Найдите напряжение на конденсаторе $U_c = \phi_b - \phi_a$ после переключения ключа в положение b . Получите закон изменения электромагнитной энергии и найдите количество теплоты Q_R , выделившейся в резисторе.

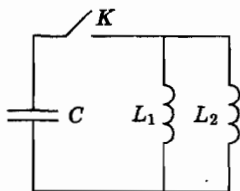


Рис. 8.1.11

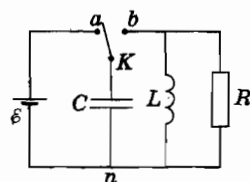


Рис. 8.1.12 а

8.1.13*. В схеме рис. 8.1.13 а индуктивность катушек L_1 и L_2 , емкость конденсатора C , сопротивление резистора R . В CL_1 — контуре возбуждены электромагнитные колебания. В некоторый момент времени, когда напряжение на конденсаторе V_0 , а сила тока в контуре I_0 , ключ замыкают. Найдите количество теплоты Q_R , которое выделится в резисторе после замыкания ключа.

8.1.14. На рис. 8.1.14 а изображена схема, содержащая два конденсатора, катушку индуктивности и ЭДС с внутренним сопротивлением $r = 0$ ($r \ll \sqrt{L(C_1 + C_2)/C_1^2}$). Найдите силу тока I_1 в цепи конденсатора C_1 , силу тока I_2 в цепи конденсатора C_2 и силу тока I в цепи индуктивности после замыкания ключа.

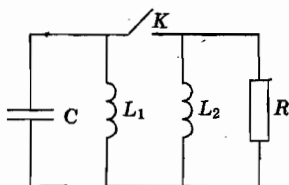


Рис. 8.1.13 а

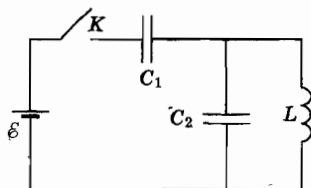


Рис. 8.1.14 а

8.1.15. На рис. 8.1.15 *a* изображена схема, содержащая два конденсатора, катушку индуктивности и ЭДС с внутренним сопротивлением $r = 0$. Найдите силу тока I_1 в цепи конденсатора C_1 , силу тока I_2 в цепи конденсатора C_2 и силу тока I в цепи индуктивности после замыкания ключа.

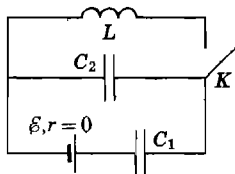


Рис. 8.1.15 *a*

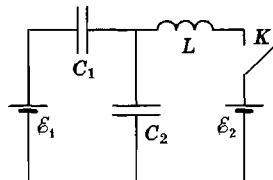


Рис. 8.1.16 *a*

8.1.17. На рис. 8.1.17 *a* изображена схема, содержащая два конденсатора, катушку индуктивности, ЭДС и идеальный диод. Ключ K находится в положении *a*, затем ключ переводят в положение *b*. Найдите заряд на нижней обкладке конденсатора C_2 после перезарядки.

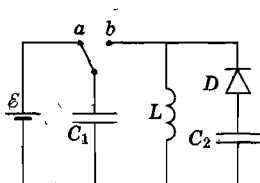


Рис. 8.1.17 *a*

8.1.18. На рис. 8.1.18 *a* изображена схема, содержащая конденсатор, две катушки индуктивности, ЭДС и идеальный диод. Ключ K находится в положении *a*; затем ключ переводят в положение *b*. Найдите заряд на нижней обкладке конденсатора C после перезарядки.

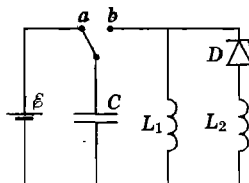


Рис. 8.1.18 *a*

8.1.19. Собственная частота объемного резонатора. В тонком металлическом цилиндре с открытыми торцами вырезали параллельно

образующим полосу шириной $d \ll r_0$ (r_0, h — радиус и длина цилиндра) и присоединили к краям разреза конденсатор в виде двух плоскостепенных пластин размерами $a \times h$ (рис. 8.1.19). Найдите собственную частоту электромагнитных колебаний ω_0 .

8.1.20*–8.1.21*. Параметрический резонанс в колебательном контуре. Контур содержит резистор сопротивлением R , конденсатор и катушку индуктивности. Для поддержания незатухающих колебаний необходимо в течение каждого периода обеспечить положительное приращение энергии электромагнитного поля в результате работы, совершаемой внешней силой.

8.1.20. В контуре возбуждены слабозатухающие электромагнитные колебания $q(t) \approx q_0 \cos \omega_0 t$, $q_0 = I_0 / \omega_0$. В результате действия внешней силы расстояние между пластинами конденсатора зависит от времени $d(t) = d_0 + x(t)$, $x(t) = h \sin \omega t$, где $h \ll d_0$. Найдите условие генерации незатухающих электромагнитных колебаний и оцените среднее значение суммы мощностей внешней силы и тепловых потерь $P(t)$.

8.1.21*. В контуре, содержащем резистор, возбуждены слабозатухающие электромагнитные колебания $I(t) \approx I_0 \cos \omega_0 t$. В результате внешних процессов индуктивность катушки $L(t) = L_0 + \Delta L$, $\Delta L = -L_1 \sin \omega t$. Найдите условие генерации незатухающих электромагнитных колебаний и оцените среднее значение суммы мощностей внешней силы и тепловых потерь $P(t)$.

8.1.22.** Возбуждение незатухающих колебаний дуговым разрядом. Вольтамперная характеристика дуги $I = f(V)$ позволяет рассматривать ее как проводник с отрицательным сопротивлением $\frac{dI}{dV} = -\frac{1}{R_0} < 0$ (см. задачу 7.3.7). Покажите, что благодаря этой особенности можно создать генератор незатухающих колебаний, схема которого изображена на рис. 8.1.22.

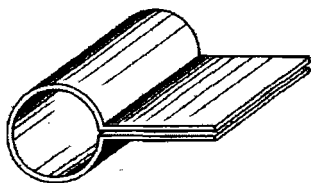


Рис. 8.1.19

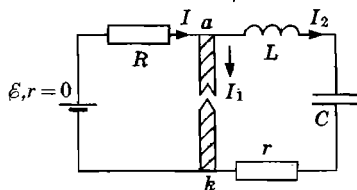


Рис. 8.1.22

8.1.23. Схему, содержащую конденсатор и катушку индуктивности, подключили к генератору напряжения. Емкость конденсатора C , индуктивность катушки L . Генератор создает импульс напряжений \mathcal{E} ЭДС $\mathcal{E}(t) = 0, t < 0$; $\mathcal{E}(t) = -\mathcal{E}_0, 0 \leq t \leq \tau$; $\mathcal{E}(t) = 0, t > \tau$, $\omega\tau \ll 1$, $\omega^2 = 1/LC$. Найдите силу тока $I(t)$ в схеме.

8.2. Вынужденные электромагнитные колебания

Последовательный контур. Колебания в стационарном режиме. Для получения незатухающих колебаний необходимо пополнять запас энергии в контуре. ЭДС генератора переменного напряжения, последовательно соединенного с LCR контуром $\mathcal{E}(t) = 0$ при $t < 0$; $\mathcal{E}(t) = \mathcal{E}_0 \cos \omega t$ при $t \geq 0$. Вместо уравнения (8.1.1) имеем уравнение

$$L \frac{dI}{dt} + RI + \frac{q}{C} = \mathcal{E}_0 \cos \omega t, \quad t \geq 0. \quad (8.2.1)$$

Решение этого уравнения представляет собой сумму двух слагаемых: первое — учитывает вклад собственных затухающих колебаний, второе — обусловлено действием внешней ЭДС. При $t \gg L/R$ вкладом собственных колебаний можно пренебречь. Возникает *стационарный режим*, при котором заряд и ток изменяются с частотой внешнего генератора:

$$q(t) = \frac{I_0}{\omega} \sin(\omega t + \varphi), \quad I(t) = I_0 \cos(\omega t + \varphi). \quad (8.2.2)$$

Амплитуда и фаза колебаний

$$I_0 = \frac{\mathcal{E}_0}{Z}, \quad Z = \sqrt{R^2 + (X_C - X_L)^2}, \quad (8.2.3)$$

$$\cos \varphi = \frac{R}{Z}, \quad \sin \varphi = \frac{X_C - X_L}{Z}. \quad (8.2.4)$$

Зависимость амплитуды силы тока (8.2.3) от частоты называют *амплитудно-частотной характеристикой*: $I_0 = I_0(\omega)$. Представим эту функцию в виде

$$I_0(\omega) = \frac{I_0(\omega_0)}{\sqrt{1 + [Q(\omega^2 - \omega_0^2)/\omega\omega_0]^2}}, \quad (8.2.5)$$

где $I_0(\omega_0) = \frac{\mathcal{E}_0}{R}$, $Q = R_B/R$ — добротность контура, $R_B = \sqrt{\frac{L}{C}}$.

При значении $\omega = \omega_0$, равном собственной частоте колебаний, функция $I_0(\omega)$ достигает максимального значения. В этом случае возникает *резонанс напряжений*: напряжение на LC участка схемы равно нулю, фазы напряжения на резисторе и генераторе совпадают, $X_C = X_L = R_B$.

Амплитуда действующего или эффективного напряжения (силы тока) равна квадратному корню среднего значения $V^2(t)$ [$I^2(t)$]: $V_{\text{эф}} = (\langle V^2 \rangle)^{1/2}$, $I_{\text{эф}} = (\langle I^2 \rangle)^{1/2}$. Среднее значение равно отношению площади под графиком функции $V^2(t)$ [$I^2(t)$] за период T к значению периода T .

8.2.1. Найдите соотношение между амплитудами ЭДС и напряжений на конденсаторе и катушке индуктивности \mathcal{E}_0 , V_C , V_L в схеме рис. 8.2.1.

8.2.2. В схеме рис. 8.2.1 амплитуда ЭДС $\mathcal{E}_0 = 5$ В. Амплитуда напряжения на резисторе $V_R = 3$ В, амплитуда напряжения на конденсаторе $V_C = 250$ В, сдвиг фаз между током и напряжением — положительная величина. Найдите амплитуду напряжения на индуктивности V_L .

8.2.3. Конденсатор в схеме на рис. 8.2.1 рассчитан на напряжение $V_{\text{ф}} = 400$ В. Частота генератора $\nu = 50$ Гц. Параметры элементов схемы: $C = 10^{-4}$ Ф, $L = 0,1$ Гн, $R = 2$ Ом. Найдите величину действующего переменного напряжения генератора $\mathcal{E}_{\text{эф}}$, которое можно приложить к схеме, не опасаясь пробить конденсатор.

8.2.4. В схеме рис. 8.2.4 ЭДС генератора $\mathcal{E}(t) = \mathcal{E}_0 \cos \omega t$. Амплитуды напряжения на резисторах $V_R = 3$ В, амплитуды напряжения на конденсаторах $V_C = 250$ В, амплитуды напряжения на катушках индуктивности $V_L = 246$ В.

А. Найдите амплитуду напряжения генератора \mathcal{E}_0 .

Б. Найдите амплитуду A_{mn} разности потенциалов точек n и m .

В. Найдите амплитуду A_{ks} разности потенциалов точек k и s .

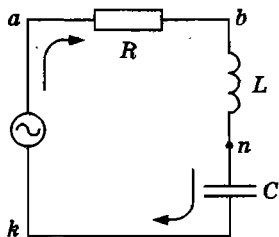


Рис. 8.2.1

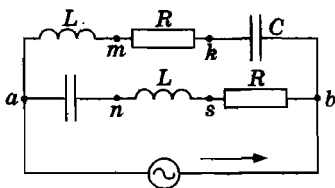


Рис. 8.2.4

8.2.5. В схеме рис. 8.2.5 ЭДС генератора $\mathcal{E}(t) = \mathcal{E}_0 \cos \omega t$. Найдите амплитуду A разности потенциалов $\varphi_n - \varphi_m$ точек m и n .

8.2.6. В схеме, изображенной на рис. 8.2.6, сопротивления резисторов удовлетворяют соотношению $R_4 R_2 = R_3 R_1$. Схему подключили к генератору напряжения, ЭДС которого $\mathcal{E}(t) = \mathcal{E}_0 \cos \omega t$, $t \geq 0$.

А. Найдите амплитуду разности потенциалов A_{ab} точек a и b .

Б. Найдите отношение индуктивных сопротивлений катушек X_{L2}/X_{L3} , если разность потенциалов точек a и b равна нулю.

8.2.7. Малая емкость в цепи высокочастотного генератора. Лампа мощностью $P = 100$ Вт включена последовательно с конденсатором малой емкости $C = 20$ пФ в сеть переменного напряжения с $\mathcal{E}_{\text{эф}} = 220$ В с частотой $\nu_1 = 50$ Гц в первом случае и с частотой $\nu_2 = 100$ МГц во втором случае (рис. 8.2.7). Найдите среднее значение мощности P , потребляемой лампой. Почему в первом случае нить лампы не накаляется, а во втором — лампа ярко светится?

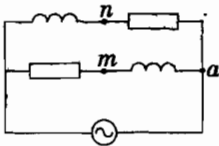


Рис. 8.2.5

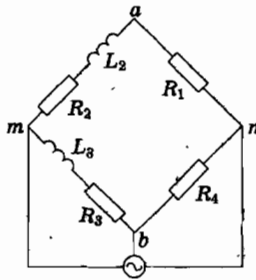


Рис. 8.2.6

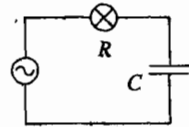


Рис. 8.2.7

8.2.8. В схеме рис. 8.2.8 лампа включена параллельно с витком провода в сеть переменного напряжения $\mathcal{E}(t) = \mathcal{E}_0 \cos \omega t$ с частотой $\nu_1 = 50$ Гц в первом случае и с частотой $\nu_2 = 100$ кГц во втором случае. Сопротивление резистора $r = 0,1$ мОм, сопротивление витка $r_1 = 1$ мОм, индуктивность витка $L = 1$ мГн. Найдите среднее значение мощности P , потребляемой лампой. Почему в первом случае нить лампы не накаляется, а во втором — лампа ярко светится?

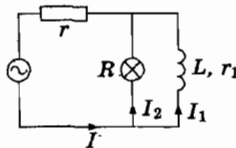


Рис. 8.2.8

8.2.9. В схеме, изображенной на рис. 8.2.9 три одинаковых лампы A , B и C подключены к генератору синусоидального напряжения. При увеличении частоты генератора:

- А. Яркость свечения лампы B увеличится.
- Б. Яркость свечения лампы A увеличится.
- В. Яркость свечения лампы C уменьшится.
- Г. Яркость свечения лампы A уменьшится.
- Д. Яркость свечения ламп не изменится.

8.2.10. Электрическая лампа подключена последовательно с диодом к сети переменного напряжения. Параллельно диоду присоединен конденсатор и ключ (рис. 8.2.10). Почему при замкнутом ключе лампа горит ярче, чем при разомкнутом ключе?

8.2.11. Найдите действующее значение \mathcal{E}_x переменного напряжения генератора $\mathcal{E}(t) = \mathcal{E}_0$, $0 \leq t \leq \tau$; $\mathcal{E}(t) = 0$, $\tau \leq t \leq T$, где T — период функции $\mathcal{E}(t)$.

8.2.12*. Неоднородный проводник представляет собой три цилиндрических провода с удельными сопротивлениями ρ_1 , ρ_2 и ρ_1 , разделенных поверхностями площадью S (рис. 8.2.12). Длина участка, содержащего проводник с удельным сопротивлением ρ_2 равна d . Общее сопротивление проводника R . Проводник присоединен к генератору напряжения $\mathcal{E}(t) = \mathcal{E}_0 \cos \omega t$, $t \geq 0$. Найдите емкость участка, содержащего проводник с удельным сопротивлением ρ_2 и амплитуду силы тока I_0 в контуре.

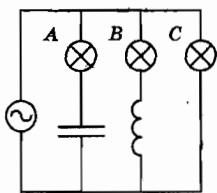


Рис. 8.2.9

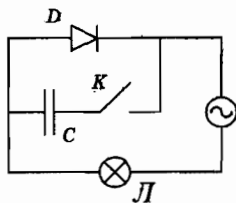


Рис. 8.2.10

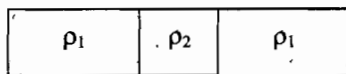


Рис. 8.2.12

8.2.13. Полное сопротивление, последовательно соединенных резистора сопротивлением R и катушки индуктивности L , подключенных к генератору напряжения, равно Z . ЭДС генератора $\mathcal{E}(t) = \mathcal{E}_0 \cos \omega t$, $t \geq 0$. Затем точно такую же цепь включили параллельно первой. Определите общее сопротивление схемы Z' .

8.2.14. Катушку индуктивности в виде соленоида индуктивности L и сопротивлением провода R подключили к генератору напряжения, ЭДС которого $\mathcal{E}(t) = \mathcal{E}_0 \cos \omega t$, $t \geq 0$. Затем поверх этой катушки

намотали такое же количество витков и включили ее в цепь параллельно первой. Определите общее сопротивление схемы Z' .

8.2.15. Получите представление функции $I_0(\omega)$ в форме (8.2.5).

8.2.16. Схема состоит из последовательно включенных резистора, конденсатора, катушки индуктивности и генератора переменного гармонического напряжения. Добротность контура $Q = (1/R)(L/C)^{1/2} = 100$. Амплитуда тока при резонансе $I_0 = 0,3$ А. Найдите амплитуду силы тока I_1 при значении частоты равной половине резонансной частоты.

8.2.17. В схеме рис. 8.2.1 ЭДС генератора $\mathcal{E}(t) = \mathcal{E}_0 \cos \omega t$, где $\mathcal{E}_0 = 1$ В, частота $\nu = \omega/2\pi = 50$ Гц, сопротивление резистора $R = 1$ Ом, индуктивность катушки $L = 0,02$ Гн. Сила тока в цепи $I(t) = (\mathcal{E}_0/R) \cos \omega t$. Найдите амплитуду напряжения на конденсаторе V_ω .

8.2.18. Параметры схемы на рис. 8.2.1: $L = 400$ мкГн, $C = 400$ пФ, $R = 10$ Ом, амплитуда напряжения $\mathcal{E}_0 = 3$ В. Найдите амплитуды колебаний напряжения на катушке индуктивности, конденсаторе, резисторе и силы тока, если:

А. Частота генератора $\nu = 400$ кГц.

Б. Частота генератора $\nu = 800$ кГц.

В. Частота генератора $\nu = 200$ кГц.

8.2.19. Полоса пропускания. Полосой пропускания контура называется интервал частот, в пределах которого мощность, потребляемая резистором, составляет не менее половины мощности, потребляемой при резонансе. Найдите полосу пропускания контура $\Delta\nu$. Добротность контура $Q = 100$, сопротивление резистора $R = 10$ Ом, резонансная частота $\nu_0 = 400$ кГц.

8.2.20. Два передатчика работают на частотах $\nu_1 = 400$ кГц и $\nu_2 = 402$ кГц. Параметры эквивалентной схемы приемного контура на рис. 8.2.20: $L = 400$ мкГн, $C = 400$ пФ, $R = 10$ Ом. Амплитуды напряжений каждого сигнала на входе схемы $\mathcal{E}_0 = 3$ В. Найдите отношение амплитуд напряжений сигналов на резисторе V_{20} и V_{10} .

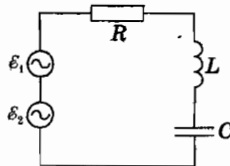


Рис. 8.2.20

8.2.21. Колебательный контур, содержащий последовательно соединенные резистор, конденсатор и катушку индуктивности, подклю-

чен к генератору переменного напряжения с ЭДС равной $\varepsilon(t) = \varepsilon_0 \cos^2 \omega t$. Резонансная частота контура равна ω_0 .

А. Найдите частоту ω , при которой наступит резонанс напряжений.

Б. Найдите величину действующего напряжения $V_{\text{сф}}$ на конденсаторе.

8.2.22–8.2.26. Параллельный контур. На рис. 8.2.22 показана схема параллельного соединения конденсатора и катушки с резистором к генератору переменного напряжения $\varepsilon(t) = \varepsilon_0 \cos \omega t$, $t \geq 0$. Найдите амплитуду силы тока I_0 в общей части схемы и среднее значение мощности P , потребляемой резистором.

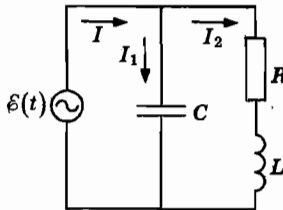


Рис. 8.2.22

8.2.23. Уменьшение джоулевых потерь в подводящих проводах. Электрооборудование заводских цехов включает моторы, трансформаторы и другие устройства, схема которых подобна последовательно соединенным резистору и катушке индуктивности. Покажите, что при параллельном подключении конденсатора на рис. 8.2.22 емкостью $C < \frac{2X_L}{\omega Z_2^2} \left(Z_2 = \sqrt{R^2 + X_L^2} \right)$ амплитуда силы тока в подводящих проводах уменьшается, а мощность, потребляемая резистором, не изменяется.

8.2.24. Резонанс токов. Найдите условие, при котором фазы напряжения и тока в общей части цепи совпадают и мощность, потребляемую резистором при резонансе.

8.2.25. Мощность, потребляемая резистором при резонансе $P_R = \varepsilon_0^2 RC/2L$, уменьшается с увеличением индуктивности катушки. Рассмотрите два контура, настроенных на частоту $\nu_p = 1,6$ МГц, каждый из которых изображен на рис. 8.2.22. ЭДС генераторов $\varepsilon_0 = 100$ В и активные сопротивления $R = 10$ Ом в обоих контурах одинаковы. В первом контуре $C_1 = 10$ пФ, $L_1 = 1$ мГн, во втором контуре $C_2 = 100$ пФ, $L_2 = 0,1$ мГн. Найдите мощности, потребляемые резисторами в первом и втором контурах.

8.2.26. Резонанс в идеальном контуре. В схеме на рис. 8.2.26 параллельно соединенные конденсатор и катушка подключены к генератору переменного напряжения $\mathcal{E}(t) = \mathcal{E}_0 \cos \omega t$, $\omega = 2,5 \cdot 10^6$ рад/с, $\mathcal{E}_0 = 1$ В. Емкость конденсатора $C = 1,6$ нФ, индуктивность катушки $L = 10^{-4}$ Гн. Определите резонансную частоту контура ν_0 и амплитуду силы тока I_0 , протекающего через генератор.

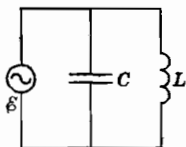


Рис. 8.2.26

8.2.27*. Найдите условие, при котором при переходе от схемы на рис. 8.2.27 а к схеме на рис. 8.2.27 б мощность, потребляемая резистором не изменяется. ЭДС генератора $\mathcal{E}(t) = \mathcal{E}_0 \cos \omega t$, $t \geq 0$.

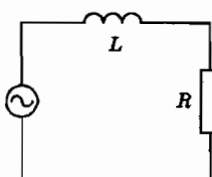


Рис. 8.2.27 а

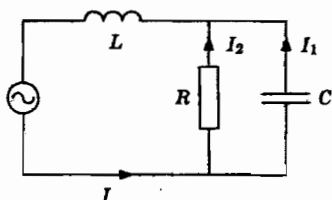


Рис. 8.2.27 б

8.2.28*. Схема Штейнвица. В схеме рис. 8.2.28 ЭДС $\mathcal{E} = \mathcal{E}_0 \cos \omega t$, $t \geq 0$. Покажите, что при $\omega = (1/LC)^{1/2}$ сила тока, проходящего через резистор, не зависит от величины сопротивления R .

8.2.29*: В схеме рис. 8.2.29 а сопротивления резисторов R_1 , R_2 , индуктивность катушки L , емкость конденсатора C . Разность потенциалов $\phi_b - \phi_a = \mathcal{E}(t)$, $\mathcal{E}(t) = V_0 + \mathcal{E}_0 \cos \omega t$, $\omega^2 LC = 1$, $t \geq 0$. Найдите среднее значение мощности P_1 , потребляемой резистором R_1 .

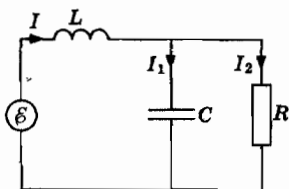


Рис. 8.2.28

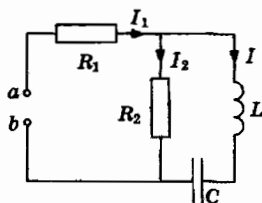


Рис. 8.2.29 а

8.3. Трансформатор

Трансформатор в рабочем режиме. Первичная обмотка присоединена к генератору, создающему напряжение $\mathcal{E}(t) = \mathcal{E}_0 \cos \omega t$, $t \geq 0$. Первичная обмотка содержит n_1 витков, вторичная обмотка — n_2 витков. Сопротивление цепи генератора R_1 , сопротивление вторичной цепи R_2 .

Записывая для первичной и вторичной цепей уравнения, следующие из законов Кирхгофа, получим систему

$$L_1 \frac{dI_1}{dt} + R_1 I_1 = \mathcal{E}(t) - L_{12} \frac{dI_2}{dt}, \quad (8.3.1)$$

$$L_2 \frac{dI_2}{dt} + R_2 I_2 = -L_{12} \frac{dI_1}{dt}. \quad (8.3.2)$$

Исследуем вначале энергетический баланс трансформатора. Умножим (8.3.1) на I_1 , (8.3.2) на I_2 и сложим полученные выражения. В результате имеем

$$\mathcal{E} I_1 = I_1^2 R_1 + I_2^2 R_2 + \frac{dU_m}{dt}, \quad (8.3.3)$$

$$U_m = \frac{1}{2} (L_1 I_1^2 + 2L_{12} I_1 I_2 + L_2 I_2^2),$$

где U_m — энергия магнитного поля токов в первичной и вторичной обмотках.

Умножая (8.3.3) на Δt , получим закон изменения энергии

$$\delta A = \mathcal{E} I_1 \Delta t,$$

$$\delta A = I_1^2 R_1 \Delta t + I_2^2 R_2 \Delta t + \Delta U_m.$$

Следовательно, работа, совершаемая генератором, равна сумме джоулева тепла, рассеиваемого в первичной и вторичной цепях, и приращения энергии магнитного поля. Отметим, что в популярной литературе (см. «Квант», 1982. № 2. С. 41) и учебниках по физике можно найти утверждения такого типа: «сумма поступающей и уходящей мощностей равна нулю», «мощность тока в первичной обмотке равна мощности тока во вторичной обмотке» и т.д.

Переходя к решению уравнений (8.3.1), (8.3.2), введем обозначения $X_1 = \omega L_1$, $X_2 = \omega L_2$, $X = \omega L_{12}$.

Отметим, что $X/X_2 = n_1/n_2$, $X/X_1 = n_2/n_1$.

В наиболее часто встречающемся случае $X_2 \gg R_2$. Тогда, в первом приближении из (8.3.2) получим

$$I_2 \approx -\frac{L_{12}}{L_2} I_1. \quad (8.3.4)$$

В следующем приближении уравнение (8.3.2) приобретает вид

$$L_2 \frac{dI_2}{dt} \approx -L_{12} \frac{dI_1}{dt} + R_2 \frac{L_{12}}{L_2} I_1.$$

Подставляя dI_2/dt в уравнение (8.3.1) получаем:

$$\left(L_1 - \frac{L_{12}^2}{L_2} \right) \frac{dI_1}{dt} + [R_1 + R_2 \left(\frac{L_{12}}{L_2} \right)^2] I_1 = \mathcal{E}(t). \quad (8.3.5)$$

Поскольку при идеальной конструкции $L_1 L_2 - L_{12}^2 = 0$, то решение (8.3.5)

$$I_1 = \frac{\mathcal{E}(t)}{R}, \quad (8.3.6)$$

$$R = R_1 + R_2 \left(\frac{L_{12}}{L_2} \right)^2 = R_1 + R_2 \left(\frac{n_1}{n_2} \right)^2. \quad (8.3.7)$$

Из (8.3.6) следует вывод: при условии $\omega L_2 \gg R_2$ эквивалентная схема трансформатора представляет собой генератор, подключенный к резистору сопротивлением R . Таким образом, трансформатор, присоединенный к резистору R_2 , представляет для генератора напряжения активную нагрузку сопротивлением R .

Следовательно, трансформатор представляет собой устройство, предназначенное для преобразования электромагнитной энергии и активного сопротивления нагрузки.

Подставляя (8.3.6) в (8.3.4), находим

$$I_2 = -\frac{L_{12}}{L_2} \frac{\mathcal{E}(t)}{R}, \text{ или } I_2 = -\frac{n_1}{n_2} \frac{\mathcal{E}(t)}{R}. \quad (8.3.8)$$

Уравнения (8.3.1), (8.3.2) можно представить в виде

$$\begin{aligned} I_1 R_1 &= \mathcal{E}(t) + \mathcal{E}_1(t), & I_2 R_2 &= \mathcal{E}_2(t), \\ \mathcal{E}_{1,2}(t) &= -d\Phi_{1,2}/dt, & \Phi_{1,2} &= dU_m/dI_{1,2}. \end{aligned}$$

Очевидно, $\mathcal{E}_1(t)/\mathcal{E}_2(t) \neq n_1/n_2$.

8.3.1. В трансформаторе сопротивления обмоток равны нулю. Цепь первичной обмотки содержит резистор сопротивлением R_1 , сопротивление нагрузки R_2 . ЭДС генератора $\mathcal{E}(t) = \mathcal{E}_0 \cos \omega t$, $t \geq 0$. Найдите амплитуду напряжения на нагрузке V_{20} и среднее значение мощности P_2 , потребляемой нагрузкой. Покажите, что в идеальном трансформаторе среднее за период значение мощности, развиваемой генератором, равно мощности, потребляемой нагрузкой.

8.3.2. Преобразование сопротивления нагрузки. Динамик с сопротивлением $R_2 = 2$ Ом, рассчитанный на напряжение питания $V_{2\text{эф}} = 2$ В, подключен к выходу усилителя низкой частоты. Для получения большого значения коэффициента усиления по напряжению анодная цепь усилителя содержит резистор с большим сопротивлением, падение напряжения на котором $\mathcal{E}_{\text{эф}} = 100$ В. Если динамик подключить к резистору, то динамик шунтирует резистор и коэффициент усиления уменьшается. Найдите эффективное сопротивление динамика R при включении через понижающий трансформатор с отношением числа витков $n_1/n_2 = 50$.

8.3.3. В первичную обмотку идеального трансформатора, содержащую n_1 витков, включен генератор напряжения $\mathcal{E}(t) = \mathcal{E}_0 \cos \omega t$, $\mathcal{E}_0 = 100$ В. Вторичная обмотка, содержащая n_2 витков, подключена к резистору сопротивлением $R_2 = 2$ Ом. Отношение $n_1/n_2 = 50$.

А. Найдите амплитуду напряжения на резисторе V_{20} .

Б. Найдите амплитуду силы тока в первичной обмотке I_{10} .

В. Найдите амплитуду силы тока во вторичной обмотке I_{20} .

Г. Найдите мощность, развиваемая генератором $P_{\text{эл}}$.

8.3.4. Трансформатор в режиме холостого хода. Сопротивление первичной обмотки трансформатора r_1 , индуктивность L_1 , сопротивление вторичной обмотки трансформатора r_2 , индуктивность L_2 , коэффициент взаимной индукции L_{12} . Если ЭДС генератора в первичной обмотке $\mathcal{E}(t) = \mathcal{E}_0 \cos \omega t$, $t \geq 0$, то на концах вторичной разомкнутой обмотки возникает переменное напряжение с амплитудой V_{20} . Найдите амплитуду переменного напряжения V_{10} в первичной разомкнутой обмотке, если генератор включить в цепь вторичной обмотки.

8.3.5. Первичная обмотка повышающего трансформатора с коэффициентом трансформации $k = 3$ включена в сеть с напряжением $\mathcal{E} = 220$ В. Сопротивление первичной обмотки равно нулю. К вторичной обмотке сопротивлением $r = 1$ Ом подключена нагрузка, напряжение на которой $V = 650$ В. Найдите сопротивление нагрузки R .

8.3.6. Сопротивление первичной обмотки повышающего трансформатора r_1 , индуктивность L_1 , сопротивление вторичной обмотки трансформатора r_2 , индуктивность L_2 , сопротивление нагрузки R , коэффициент взаимной индукции L_{12} .

А. Найдите амплитуду напряжения на нагрузке V_{20} , если ЭДС генератора в первичной обмотке $\mathcal{E}(t) = \mathcal{E}_0 \cos \omega t$, $t \geq 0$.

Б. Найдите амплитуду переменного напряжения V_{10} на концах разомкнутой первичной обмотки, если генератор включить в цепь вторичной обмотки.

8.3.7. Первичная обмотка трансформатора подключена к цепи, содержащей резистор, конденсатор, катушку индуктивности L_1 , и генератор, вторичная обмотка — к цепи, содержащей катушку индуктивностью L_{22} (рис. 8.3.7 а). Индуктивность первичной и вторичной обмоток L_1 , L_2 , коэффициент взаимной индукции M . Эта схема эквивалентна схеме, представленной на рис. 8.3.7 б. Найдите индуктивность L_x .

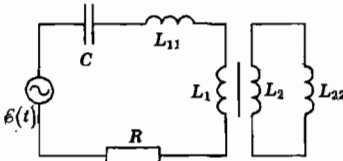


Рис 8.3.7 а

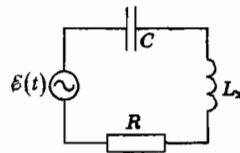


Рис 8.3.7 б

8.4*. Представление уравнений Кирхгофа в комплексной форме

Если ЭДС представляет собой гармоническую функцию $\mathcal{E}(t) = \mathcal{E}_0 \cos \omega t$, то уравнения Кирхгофа для произвольной схемы в стационарном режиме можно записать на множестве комплексных чисел как алгебраические уравнения. Тогда анализ схем, содержащих резисторы, конденсаторы и индуктивности, формально не отличается от случая постоянных токов.

Комплексная функция

$$F(t) = u(t) + iv(t),$$

где $u(t)$, $v(t)$ — действительные функции, i — мнимая «единица», $i^2 = -1$.

Реальная, мнимая части и модуль комплексной функции $F(t)$ согласно определению равны

$$\operatorname{Re}F = \frac{1}{2} (F + F^*),$$

$$\operatorname{Im}F = \frac{1}{2i} (F - F^*),$$

$$|F| = \sqrt{FF^*},$$

где $F^*(t) = u(t) - iv(t)$ — функция, комплексно-сопряженная функции $F(t)$.

Для решения поставленной задачи необходимо использовать знаменитую формулу Леонарда Эйлера (1743 г.), связывающую тригонометрические и показательные функции $\exp(i\varphi) = \cos \varphi + i \sin \varphi$.

Пример. Последовательный контур. Рассмотрим сначала последовательный контур, изображенный на рис. 8.2.1:

Сила тока починается уравнению

$$LdI/dt + IR + q/C = \mathcal{E}_0 \cos \omega t. \quad (8.4.1)$$

Будем искать решение уравнения (8.4.1) в виде

$$I(t) = \operatorname{Re}j \exp(i\omega t).$$

Здесь $j = I_0 \exp(i\varphi)$ — комплексная амплитуда силы тока, $I_0 = |j|$ — амплитуда силы тока, φ — фаза тока. Используя формулу Эйлера, получим

$$I(t) = \operatorname{Re}[I_0 \exp(i\omega t + i\varphi)] = I_0 \cos(\omega t + \varphi). \quad (8.4.2)$$

Тогда в уравнении (8.4.1) можно перейти к комплексной форме записи ЭДС и тока, производя замены силы тока, ЭДС

$$\mathcal{E}(t) \Rightarrow \operatorname{Re}\mathcal{E}_0 \exp(i\omega t),$$

$$I(t) \Rightarrow \operatorname{Re}j \exp(i\omega t)$$

и падений напряжения на конденсаторе, резисторе и индуктивности

$$U_C = q/C \Rightarrow \operatorname{Re}j(-iX_C) \exp(i\omega t),$$

$$U_R = IR \Rightarrow \operatorname{Re}jR \exp(i\omega t),$$

$$U_L = LdI/dt \Rightarrow \operatorname{Re}j(iX_L) \exp(i\omega t), \quad (8.4.3)$$

В результате получим новое уравнение в комплексных переменных

$$\operatorname{Re}[R + (-iX_C + iX_L)]j \exp(i\omega t) = \operatorname{Re}\mathcal{E}_0 \exp(i\omega t).$$

Отсюда следует алгебраическое уравнение

$$[R + (-iX_C + iX_L)]j = \mathcal{E}_0. \quad (8.4.4)$$

Введем теперь «комплексные сопротивления» конденсатора $G_C = -iX_C$ и катушки $G_L = iX_L$. Тогда (8.4.4) равносильно уравнению

$$jG = \mathcal{E}_0, \quad G = R + G_C + G_L, \quad (8.4.5)$$

представляющему собой закон Ома в комплексной форме:

$$j = I_0 \exp(i\varphi) = \mathcal{E}_0/G.$$

Следовательно,

$$I_0 = \mathcal{E}_0/Z, \quad Z = |G|,$$

$$\exp(i\varphi) = j/I_0 = Z/G = G^*/Z = [R + i(X_C - X_L)]/Z, \rightarrow$$

$$\rightarrow \cos \varphi = R/Z, \quad \sin \varphi = (X_C - X_L)/Z.$$

Отсюда получаем решение (8.4.2) уравнения (8.4.1).

Среднее значение мощности, развиваемой генератором

$$P = \langle I(t)\mathcal{E}(t) \rangle = \frac{1}{2} \mathcal{E}_0 \operatorname{Re} j. \quad (8.4.6)$$

Среднее значение мощности, потребляемой резистором

$$P_R = \langle I^2(t)R \rangle = \frac{1}{2} |j|^2 R. \quad (8.4.7)$$

Общий метод расчета схем. При расчете произвольных схем следует выбрать «положительные» направления токов между узлами и сопоставить каждому участку цепи между узлами комплексные токи j и сопротивления G . После этого следует записать систему алгебраических уравнений, используя два правила Кирхгофа или законы Ома, как в случае постоянных токов.

Отметим, что в курсах электротехники для анализа схем, подключенных к генератору гармонической ЭДС, вводят метод векторных диаграмм, который представляет собой тривиальную интерпретацию решения уравнений Кирхгофа в комплексных переменных на плоскости. Однако, если получено решение задачи в комплексных переменных, то отпадает «необходимость» использовать этот метод.

8.4.1. Параллельный контур. Найдите силу тока, протекающего через генератор, мощность, развиваемую генератором и мощность, потребляемую контуром, изображенном на рис. 8.2.22.

8.4.2. Назовем элементом схемы резистор, конденсатор или катушку индуктивности. В схеме рис. 8.4.2, параллельно соединенные элемент E_2 и резистор E_3 сопротивлением R , подключены к элементу E_1 . Комплексные сопротивления элементов G_1 и G_2 . ЭДС генератора $\mathcal{E}(t) = \mathcal{E}_0 \cos \omega t$, $t \geq 0$. Найдите среднее значение мощности P , потребляемое резистором.

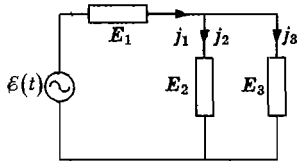


Рис. 8.4.2

8.4.3. В схеме рис. 8.4.3 лампа и катушка индуктивности подключены через резистор к генератору напряжения $\mathcal{E}(t) = \mathcal{E}_0 \cos \omega t$, $t \geq 0$. Сопротивления лампы — R , резистора — r , индуктивность катушки — L . Найдите мощность P , потребляемую лампой.

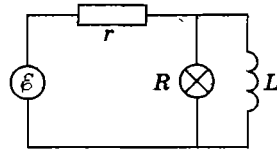


Рис. 8.4.3

8.4.4. Электrolампа включена в схему рис. 8.4.4, содержащую две катушки индуктивности. ЭДС генератора $\mathcal{E}(t) = \mathcal{E}_0 \cos \omega t$, $t \geq 0$. Найдите среднее значение мощности P , потребляемой лампой и объясните явление: если в первую катушку вдвинуть железный сердечник, свечение лампы ослабевает. Если же вдвинуть сердечник во вторую катушку, то свечение лампы увеличивается.

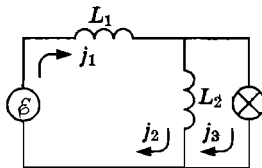


Рис. 8.4.4

8.4.5–8.4.6. Схема Штейнмица. На рис. 8.2.28 изображена схема, содержащая катушку индуктивности и параллельно соединенные резистор и конденсатор. ЭДС генератора $\mathcal{E}(t) = \mathcal{E}_0 \cos \omega t$, $t > 0$. Эта схема обладает двумя интересными свойствами.

8.4.5. Используя комплексное представление, покажите, что при $\omega = \omega_0$, $\omega_0 = \frac{1}{\sqrt{LC}}$ амплитуда силы тока, протекающего через резистор, не зависит от сопротивления R .

8.4.6. Найдите значение емкости конденсатора C , если мощность, потребляемая резистором не изменяется при отключении конденсатора.

8.4.7. Цепь, состоящая из двух резисторов сопротивлением R , катушки индуктивностью L и конденсатора емкостью C , подключена к генератору с ЭДС $\mathcal{E}(t) = \mathcal{E}_0 \cos \omega t$, $t > 0$ (рис. 8.4.7). Найдите условие, при котором полное сопротивление цепи равно R .

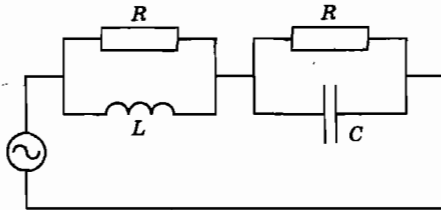


Рис. 8.4.7

8.4.8. В схеме рис. 8.4.7, содержащей катушку индуктивности, конденсатор и два резистора, ЭДС генератора $\mathcal{E}(t) = \mathcal{E}_0 \cos \omega t$, $t \geq 0$. Найдите условие, при котором разность фаз силы тока во внешней цепи и генератора равна нулю.

8.4.9. Фазовращатель. Найдите разность потенциалов точек n и m в схеме рис. 8.4.9. Сопротивления резисторов $R_1 = R_2 = R$, емкости конденсаторов $C_1 = C_2 = C$, ЭДС генератора $\mathcal{E}(t) = \mathcal{E}_0 \cos \omega t$, $t \geq 0$.

8.4.10. Найдите разность потенциалов точек n и m в схеме рис. 8.4.10. Сопротивления резисторов $R_1 = r$, $R_2 = R$, емкость конденсатора C , ЭДС генератора $\mathcal{E}(t) = \mathcal{E}_0 \cos \omega t$, $t \geq 0$.

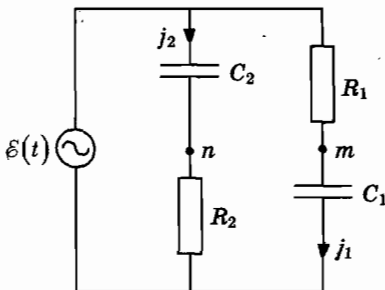


Рис. 8.4.9

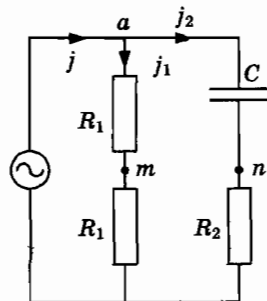


Рис. 8.4.10

8.4.11. В схеме на рис. 8.4.11 два одинаковых резистора и конденсатор подключены к сети переменного напряжения $\mathcal{E}(t) = \mathcal{E}_0 \cos \omega t$,

$t \geq 0$. Сопротивления амперметров равны нулю. Найдите амплитуды сил токов, протекающих через первый и второй амперметры.

8.4.12. От середины катушки индуктивностью L сделан отвод. Схема подключения этой катушки и конденсатора емкостью C к генератору напряжения показана на рис. 8.4.12. ЭДС генератора $\mathcal{E}(t) = \mathcal{E}_0 \cos \omega t$, $t \geq 0$. Найдите силу тока $I_2(t)$, протекающего через амперметр.

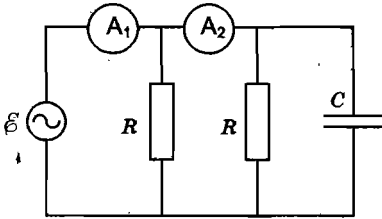


Рис. 8.4.11

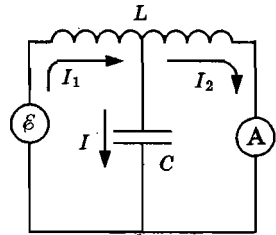


Рис. 8.4.12

8.4.13. Трансформатор. В трансформаторе сопротивление первичной обмотки R_1 , сопротивление нагрузки и вторичной обмотки R_2 , сопротивление нагрузки R . ЭДС генератора $\mathcal{E}(t) = \mathcal{E}_0 \cos \omega t$, $t \geq 0$. Числа витков в первичной и вторичной обмотках n_1 и n_2 . Найдите амплитуду напряжения нагрузки и мощность, потребляемую нагрузкой.

8.4.14. В схеме на рис. 8.4.14 идеальный трансформатор и два резистора с сопротивлениями R_1 и R_2 подключены к генератору, ЭДС которого $\mathcal{E}_0 \cos \omega t$, $t \geq 0$. Числа витков в первичной и вторичной обмотках n_1 и n_2 . Найдите амплитуды сил токов I_{10} , I_{20} , протекающих через резисторы.

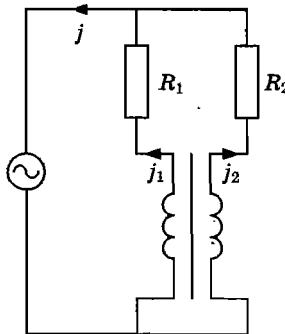


Рис. 8.4.14

8.4.15. В идеальном трансформаторе сопротивление в первичной цепи R , во вторичную обмотку включен конденсатор емкостью C (рис. 8.4.15). ЭДС генератора $\mathcal{E}(t) = \mathcal{E}_0 \cos \omega t$, $t \geq 0$. Числа витков в первичной и вторичной обмотках n_1 и n_2 . Найдите амплитуду силу тока I_{10} в первичной обмотке.

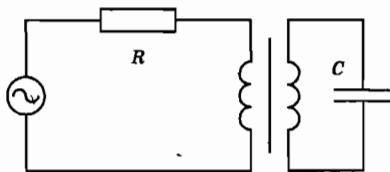


Рис. 8.4.15

8.4.16. В схеме на рис. 8.4.16 обмотки идеального трансформатора соединены параллельно и подключены к резистору сопротивлением R . ЭДС генератора $\mathcal{E} = \mathcal{E}_0 \cos \omega t$, $t \geq 0$. Индуктивности обмоток L_1 , L_2 , коэффициент взаимной индукции L_{12} . Найдите амплитуду напряжения на резисторе V_0 .

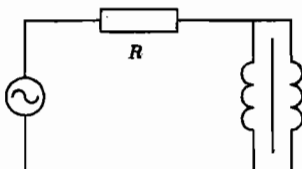


Рис. 8.4.16.

Глава IX. ПЕРЕМЕННЫЙ ТОК В RCL-ЦЕПЯХ

9.1. Схемы, содержащие резисторы, конденсаторы и индуктивности

9.1.1–9.1.2. Переходный процесс в RC-цепи. Схема, изображенная на рис. 9.1.1 *a* содержит генератор переменной ЭДС, резистор и конденсатор.

9.1.1. Зарядка конденсатора. ЭДС представляет собой функцию $\mathcal{E}(t) = 0, t < 0; \mathcal{E}(t) = \mathcal{E}_0, t \geq 0$.

А. Найдите напряжение на резисторе $V_R(t)$, на конденсаторе $V_C(t)$ и силу тока $I(t)$.

Б. Найдите количество теплоты Q , выделившейся в резисторе.

9.1.2. Разрядка конденсатора. ЭДС представляет собой функцию $\mathcal{E}(t) = \mathcal{E}_0, t < 0; \mathcal{E}(t) = 0, t \geq 0$. Найдите силу тока $I(t)$, напряжения на резисторе $V_R(t)$ и конденсаторе $V_C(t)$.

9.1.3. ЭДС в схеме на рис. 9.1.1 *a* создает последовательность прямоугольных импульсов напряжения с периодом T , изображенных на рис. 9.1.3 *a*. Изобразите графики функций $V_R(t)$ и $V_C(t)$ при $\tau \gg t_0$, $\tau \ll T - t_0$, $\tau = RC$.

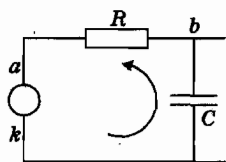


Рис. 9.1.1 *a*

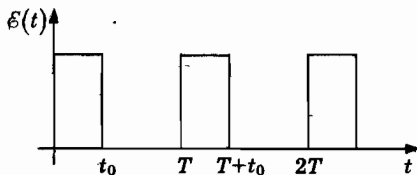


Рис. 9.1.3 *a*

9.1.4. В схеме, изображенной на рис. 9.1.4 напряжение на конденсаторе емкостью C равно $3\mathcal{E}$. Найдите силу тока $I(t)$ после замыкания ключа.

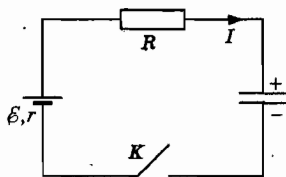


Рис. 9.1.4

9.1.5*. В схеме, показанной на рис. 9.1.5 ЭДС батареи \mathcal{E} , внутреннее сопротивление r , емкость конденсатора C . Найдите силу тока $I(t)$, протекающего через батарею и в цепи конденсатора $I_1(t)$ после замыкания ключа.

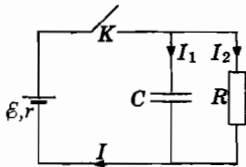


Рис. 9.1.5

9.1.6*. Найдите силу тока $I(t)$, протекающего в цепи конденсатора после замыкания ключа в схеме на рис. 9.1.6 а.

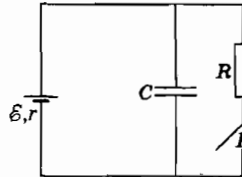


Рис. 9.1.6 а

9.1.7. Найдите напряжение на конденсаторе $V_c(t)$ после замыкания ключа в схеме, изображенной на рис. 9.1.7. Внутреннее сопротивление батареи r .

9.1.8*. В схеме, показанной на рис. 9.1.8 ЭДС батареи \mathcal{E} , внутреннее сопротивление $r = 0$, емкость конденсатора C , сопротивления резисторов R_1, R_2 . Напряжение на конденсаторе $V_c(0) = V_0$. Найдите силу тока $I(t)$, протекающего через батарею после замыкания ключа.

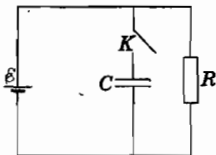


Рис. 9.1.7

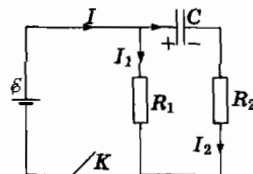


Рис. 9.1.8

9.1.9*. В схеме, показанной на рис. 9.1.9 ЭДС батареи \mathcal{E} , внутреннее сопротивление r , емкость конденсатора C , сопротивления резисторов R_1, R_2 . Найдите силу тока $I(t)$, протекающего через батарею после замыкания ключа.

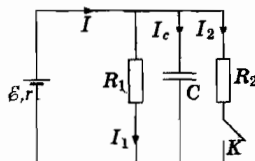


Рис. 9.1.9

9.1.10–9.1.11. Переходный процесс в RL-цепи. Схема рис. 9.1.10 содержит LR-цепочку и генератор напряжения.

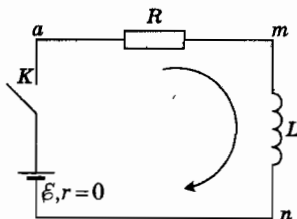


Рис. 9.1.10

9.1.10. Включение генератора напряжения. Пусть $\mathcal{E}(t) = 0$ при $t < 0$. В момент времени $t = 0$ ключ замыкают: $\mathcal{E}(t) = \mathcal{E}_0$, $t \geq 0$. Найдите напряжение на резисторе V_R и индуктивности V_L .

9.1.11. Отключение генератора напряжения. Пусть $\mathcal{E}(t) = \mathcal{E}_0$ при $t < 0$, $\mathcal{E}(t) = 0$, при $t \geq 0$. Найдите напряжение на резисторе $V_R(t)$ и индуктивности $V_L(t)$ после отключения генератора напряжения.

9.1.12. В схеме рис. 8.2.27 а ЭДС представляет собой функцию, описывающую прямоугольный импульс: $\mathcal{E}(t) = \mathcal{E}_0$ на отрезке времени $[0, T]$; $\mathcal{E}(t) = 0$ при $t < 0$, $t > T$. Изобразите графики функций $V_R(t)$ и $V_L(t)$ при $\tau \ll T$, $\tau = L/R$.

9.1.13–9.1.16. В схеме рис.9.1.13 ЭДС батареи $\mathcal{E} = 10$ В, внутреннее сопротивление $r = 2,5$ Ом. Индуктивность катушки $L = 0,1$ Гн, сопротивление резистора $R = 100$ Ом.

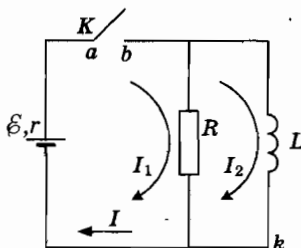


Рис. 9.1.13

9.1.13. Вначале ключ K разомкнут.

А. Найдите силы токов I_1 , I_2 , протекающих через резистор и катушку после замыкания ключа.

Б. Найдите величину заряда q_1 , прошедшего через резистор после замыкания ключа.

9.1.14. Вначале ключ K замкнут. Покажите, что разность потенциалов $V_L(t) = \varphi_b - \varphi_k$ точек k и b в момент размыкания ключа $t = 0$ равна $V_L(0) = -400$ В.

9.1.15. Покажите, что в момент размыкания ключа разность потенциалов точек a и b равна $\varphi_a - \varphi_b = 410$ В.

9.1.16. Найдите количество теплоты, рассеянной в резисторе после замыкания ключа.

9.1.17. Найдите заряд q_2 , который протечет через резистор R_2 после замыкания ключа в схеме, изображенной на рис. 9.1.17.

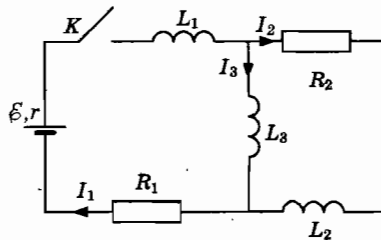


Рис. 9.1.17

9.1.18*. В схеме, показанной на рис. 9.1.18 а, замыкают ключ. ЭДС батареи \mathcal{E} , внутреннее сопротивление $r = 0$, емкости конденсаторов C_1 , C_2 , индуктивность катушки L . Найдите силу тока $I(t)$, протекающего через катушку индуктивности после замыкания ключа.

9.1.19. В схеме, изображенной на рис. 9.1.19, ЭДС батареи \mathcal{E} , внутреннее сопротивление $r = 0$, индуктивности катушек L_1 , L_2 , сопротивление резистора R . Сначала замыкают ключ K_1 . Когда сила тока в цепи достигает значения I_0 , замыкают ключ K_2 . Найдите силы токов I_1 , I_2 , протекающих через катушки индуктивности в установившемся режиме.

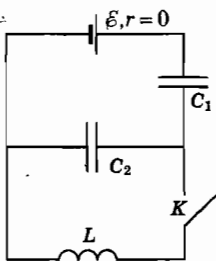


Рис. 9.1.18 а

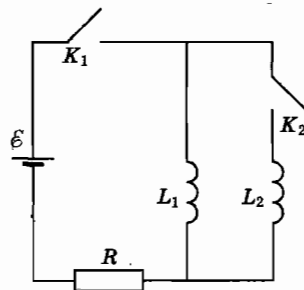


Рис. 9.1.19

9.1.20. В схеме, показанной на рис. 9.1.20 *a*, ключ замкнут. ЭДС батареи \mathcal{E} , внутреннее сопротивление $r = 0$, индуктивность катушки L , сопротивления резисторов R_1, R_2, R_3 . Найдите количество теплоты Q_1, Q_2 , которое выделится в каждом резисторе после размыкания ключа.

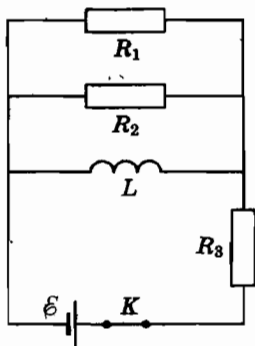


Рис. 9.1.20 *a*

9.1.21*. В схеме на рис. 9.1.21 *a* индуктивность катушки L , сопротивление провода катушки r . Сопротивления резисторов $R_1 = R, R_2 = R, R_3 = r$. ЭДС батареи \mathcal{E} , внутреннее сопротивление $r = 0$. Найдите заряд q , который протечет через перемычку ab после замыкания ключа.

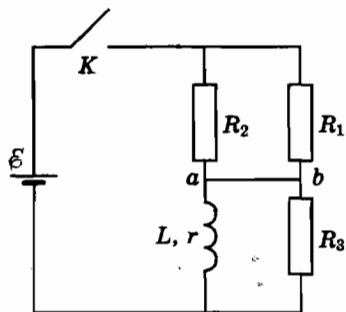


Рис. 9.1.21 *a*

9.1.22*–9.1.23. В схеме, показанной на рис. 9.1.22 *a*, ключ разомкнут. ЭДС батареи \mathcal{E} , внутреннее сопротивление равно нулю, индуктивность катушки L , сопротивления резисторов $R_1 = R_2 = R, R_3 = r$.

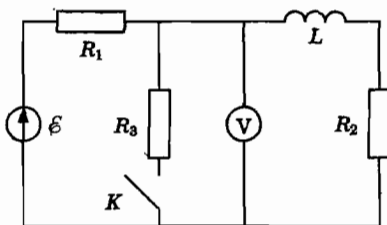


Рис. 9.1.22 *a*

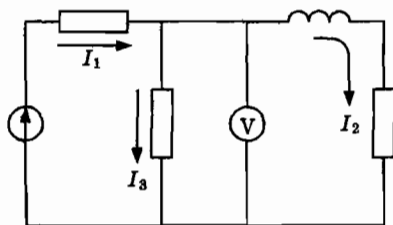


Рис. 9.1.22 *б*

9.1.22*. Найдите силу тока $I_2(t)$, протекающего через резистор R_2 после замыкания ключа и напряжение на вольтметре $V(t)$ (рис. 9.1.22 *б*).

9.1.23. Покажите, что после замыкания ключа при значении $R_1 = 0$ сила тока $I_2(t) = \mathcal{E}/R$.

9.2. Электромеханика

Электрическое и магнитное поля индуцируют в жидких и твердых телах (проводниках, диэлектриках и магнетиках) токи, дипольный и магнитный моменты. В результате взаимодействия наведенных моментов с электромагнитным полем на жидкость или твердое тело действуют электромагнитные силы.

Силы, действующие на проводник в электромагнитном поле

А. Пусть в схему включен конденсатор. Введем координаты x_1, x_2 однозначно описывающие положение плоскостей пластин. Емкость конденсатора — функция $C = C(x_1, x_2)$. Роль потенциальной энергии взаимодействия пластин играет функция

$$W(q, x_1, x_2) = \frac{q^2}{2C(|x_2 - x_1|)}, \quad (9.2.1)$$

где q — другая независимая «координата» — значение заряда, протекшего в положительном направлении через провода, присоединенные к пластинам.

Проекция на ось x силы, действующей на пластины со стороны электрического поля,

$$F_n = -\partial W / \partial x_n, \text{ или } F_n = -\frac{q^2}{2} \frac{\partial}{\partial x_n} \frac{1}{C}. \quad (9.2.2)$$

Б. Пусть схема содержит закрепленную катушку индуктивности и подвижный проводник, положение которого определяется координатой z . Тогда проекция на ось z силы, действующей на проводник со стороны магнитного поля,

$$F_z = \frac{dU_m}{dz} + I \frac{d\Phi_{ext}}{dz}, \quad (9.2.3)$$

где $U_m(z)$ — энергия магнитного поля системы,

$\Phi_{ext}(t, z)$ — поток магнитной индукции внешнего магнитного поля через замкнутый контур, содержащий подвижный проводник.

Если виток с током может вращаться вокруг оси z , то проекция момента силы на ось z равна $M_z = Id\Phi_{ext}/d\theta$, где θ — угол поворота витка в положительном направлении.

Нейтральная частица в электрическом поле. Внешнее поле напряженностью $\vec{E}(x, y, z)$ поляризует диэлектрик или создает на металлической поверхности распределенный заряд. В результате частица приобретает дипольный момент \vec{p} .

В случае сферической частицы

$$\vec{p} = \alpha V \vec{E},$$

где α — коэффициент поляризуемости, V — объем частицы.

Для металлической сферы $\alpha = 3\epsilon_0$, для шара из изотропного диэлектрика $\alpha = 3\epsilon_0 [(\epsilon - 1) / (\epsilon + 2)]$.

Потенциальная энергия взаимодействия частицы с внешним квазиоднородным (от лат. *quasi* — почти, якобы) полем

$$W(x, y, z) = -\alpha V E^2 / 2 \quad (9.2.4)$$

зависит от координат радиус-вектора центра масс частицы x, y, z . Компоненты силы, действующей на нейтральную частицу

$$F_i = -\partial W / \partial x_i. \quad (9.2.5)$$

9.2.1–9.2.3. Движение пластины конденсатора. В схеме на рис. 9.2.1 электрическая цепь образована конденсатором, резистором и батареей с ЭДС равной V . Конденсатор представляет собой две плоских пластины площадью S . Нижняя пластина закреплена, положение верхней подвижной пластины конденсатора массой m определяется значением координаты z на числовой оси с началом на нижней пластине. Конденсатор помещают во внешнее поле напряженностью $\vec{E}_{ext} = (0, 0, G)$, потенциал которого $\phi_{ext}(z) = -Gz$.

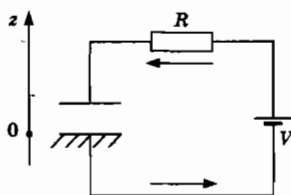


Рис. 9.2.1

9.2.1. Найдите силу \vec{f} , действующую на пластину со стороны электрического поля.

9.2.2. Пластина в положении равновесия: Предположим, что верхняя пластина опирается на изолированную подставку на уровне $z = h$. Найдите силу реакции $\vec{N} = (0, 0, N)$, действующую на неподвижную пластину.

9.2.3. Пластина движется в результате действия направленной вверх силы постоянной величиной $T > N$. Запишите уравнения, определяющие функции $z(t)$ и $q(t)$.

9.2.4. Электростатический подвес. На рис. 4.3.28 изображена схема модели электростатического подвеса — устройства, в котором тело, представляющее собой соединенные пластины трех конденсаторов общей массой m , может находиться в равновесии. Углы между отрезками Oa, Ob, Oc равны 120° . Потенциалы точек a, b, c поддерживают равными $\varphi_a = \varphi_b = \varphi_c = \varphi$, емкости конденсаторов $C_1 = C_2 = C_3 = C$. Точке O сообщили заряд $Q = -2CV, V = \varphi - \varphi_0$. Найдите значение массы m .

9.2.5. Металлическая пластина в электрическом поле. Металлическая квадратная пластина с зарядом Q может перемещаться по гладкой непроводящей горизонтальной плоскости. Размеры пластины $a \times a$, толщина — h (рис. 9.2.5). Эту систему помещают в квазиоднородное электрическое поле напряженностью $\vec{E}_{ext}(x, y, z)$. Пластина находится в области пространства, где вектор $\vec{E}_{ext} \approx (0, 0, G(z))$ перпендикулярен плоскостям пластины. Пусть ось z проходит через центр масс пластины. Положение центра масс определяется координатой z_c . Координаты правой и левой граней пластины: $z_{2,1} = z_c \pm h/2, |dG/dz|h \ll G(z_c)$. Найдите проекцию силы $F_z(z_c)$, действующей на пластинку.

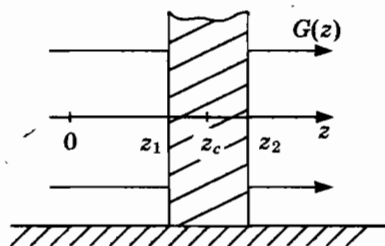


Рис. 9.2.5

9.2.6. Электромагнитная пушка. Рассмотрим устройство, схема которого изображена на рис. 9.2.6. Пусть внешнее магнитное поле и внешняя сила отсутствуют. Поскольку по направляющим течет ток,

то перемычка массой m находится в собственном магнитном поле. Индуктивность системы $L = L(x)$. Найдите проекцию силы F_x , действующей на перемычку со стороны собственного магнитного поля системы.

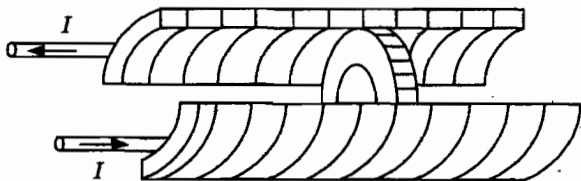


Рис. 9.2.6

9.2.7*. Силы, действующие на соленоид. Найдите напряжения σ_z , σ_{np} в продольном и поперечном сечениях, создаваемые магнитным полем соленоида. Длина соленоида l , диаметр провода d , число витков N , площадь поперечного сечения S , сила тока I .

9.2.8*. По прямому длинному проводу, совпадающему с осью x , течет ток силой I_0 . В плоскости, проходящей через провод, расположены два параллельных металлических стержня, соединенных резистором сопротивлением R (рис. 9.2.8). Расстояние между стержнями — h . Расстояние от провода до ближнего стержня равно a . По стержням может перемещаться проводник длиной h , массой m . В начальный момент времени $x(0) = 0$, $v(0) = v_0$. Найдите координату точки остановки перемычки x_* .

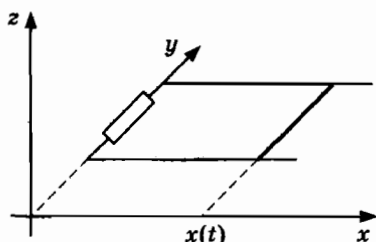


Рис. 9.2.8

9.2.9. Два гладкие параллельные металлические полосы, расположенные в горизонтальной плоскости на расстоянии h друг от друга, соединены перемычкой OC , содержащей резистор сопротивлением R (рис. 9.2.9). По полосам как направляющим может перемещаться про-

водник. Вся система находится в магнитном поле, создаваемом током силой I_0 в длинном проводе, находящимся в горизонтальной плоскости на расстоянии s от OC . Масса проводника — m . Начальные условия $x(0) = 0$ $v(0) = v_0$. Найдите зависимость проекции скорости проводника v от x -координаты.

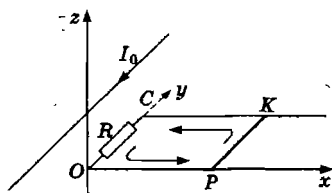


Рис. 9.2.9

9.2.10. Заряженное кольцо в переменном магнитном поле. На тонком диэлектрическом кольце распределен заряд q . Кольцо может вращаться вокруг оси, проходящей через центр перпендикулярно плоскости кольца. Поместим кольцо в соленоид так, чтобы ось совпала с осевой линией соленоида. Индукция магнитного поля $B_1(t) = B_0$, $t \leq 0$; $B_2(t) = B(t)$, $t > 0$. Найдите угловую скорость кольца $\omega(t)$.

9.2.11*. Кольцо в постоянном неоднородном магнитном поле. На рис. 9.2.11 изображены силовые линии магнитного поля вблизи верхнего торца соленоида. Магнитное поле обладает осевой симметрией: индукция магнитного поля в точке P (x, y, z) зависит от координаты z и расстояния r от оси z до точки P . Вектор магнитной индукции \vec{B} в точке P имеет осевую $B_z = b(z)$ и радиальную B_r компоненты. Тонкий проводник в форме кольца расположен в плоскости перпендикулярной оси z , центр кольца может перемещаться по оси z . Получите уравнения движения кольца (масса кольца — m , радиус — a , сопротивление — R) и закон сохранения полной энергии.

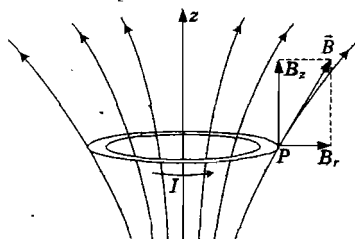


Рис. 9.2.11

9.2.12* Движение нейтральной сферической частицы в поле цилиндрического конденсатора. Частица движется между обкладками цилиндрического конденсатора с металлическими цилиндрическими поверхностями радиусов a и b , к которым приложено напряжение U . Совместим ось z с осью симметрии цилиндров. В точке P на расстоянии r ($a < r < b$) от оси z модуль напряженности электрического поля $E(r) = U/r$. Масса частицы m , объем сферы V , коэффициент поляризуемости α . Начальное значение $v_z(0) = 0$, проекция момента количества на ось z равна L , полная энергия частицы E_0 . Найдите допустимую область движения частицы.

9.2.13* Движение нейтральной сферической частицы в ловушке Пауля. Электродинамическая система, образована двумя парами металлических поверхностей $y^2 = x^2 - R^2$ и $x^2 = y^2 - R^2$, к которым приложено напряжение U_0 (рис. 9.2.13). Напряженность электрического поля системы $\vec{E} = (2U_0/R^2)(-x, y, 0)$. Начальные условия $\vec{r}(0) = (x_0, y_0, 0)$, скорость сферы $\vec{v}(0) = 0$. Найдите решение уравнений движения.

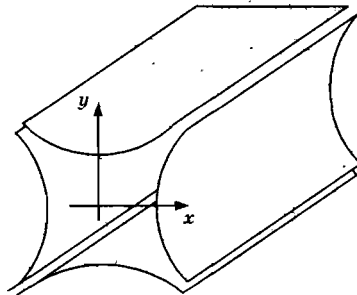


Рис. 9.2.13

Глава X. ЭЛЕКТРОМАГНИТНЫЕ ВОЛНЫ

10.1. Электромагнитные волны.

Радиосвязь и телевидение

Плоская линейно поляризованная монохроматическая электромагнитная волна, распространяющаяся в направлении единичного вектора \vec{n} :

$$\begin{aligned}\vec{E} &= a \vec{e} \cos(\omega t - k \vec{n} \vec{r}), \\ c \vec{B} &= a \vec{n} \times \vec{e} \cos(\omega t - k \vec{n} \vec{r}), \\ \vec{e} \vec{n} &= 0, \quad k = \omega/c.\end{aligned}$$

Монохроматическая линейно поляризованная сферическая волна

$$\vec{E}(t, \vec{r}) = \vec{e} \frac{G}{r_{MP}} \cos\left(\omega t - \frac{\omega}{c} r_{MP} - \varphi\right),$$

где \vec{r} — радиус-вектор точки P ,

\vec{r}_{MP} — вектор, направленный от точечного источника излучения M в точку P .

Интенсивность излучения. Перенос энергии электромагнитного поля характеризуется *вектором Пойнтинга*

$$\vec{S} = c^2 \epsilon_0 \vec{E} \times \vec{B}, \quad (10.1.1)$$

или $\vec{S} = \vec{E} \times \vec{H}$. Вектор \vec{S} называется плотностью потока энергии поля в точке $P(x, y, z)$. Размерность $[S] = \text{Вт}/\text{м}^2$.

Для плоской волны $c \vec{B} = \vec{n} \times \vec{E}$, $\vec{S} = c \epsilon_0 E^2 \vec{n}$. Среднее по времени значение $J = \langle |\vec{S}| \rangle$ определяет *интенсивность волны* в направлении вектора \vec{n} .

10.1.1. Приведите определение бегущей электромагнитной волны.

10.1.2. Приведите определение поляризации плоской электромагнитной волны.

10.1.3. *Радиодиапазон* лежит в области длин волн от 3 000 м до 0,01 м. Излучение в интервале длин волн от 760 нм до 390 нм лежит в области чувствительности человеческого глаза — это *видимый свет*. Назовите область частот, в границах которых заключены радиоволны и видимый свет.

10.1.4. Световая волна, излучаемая лазером, падает на непрозрачную пластинку под углом $\theta = \pi/3$. Интенсивность волны $J = 3 \times 10^{14}$ Вт/м². Поглощающая способность пластинки — доля энергии, поглощаемая пластинкой $\alpha = 0,6$.

Найдите величину давления, возникающего в результате зеркального отражения волны.

10.1.5. 12 августа 1960 г. был запущен на почти круговую орбиту высотой 1600 км американский спутник «Эхо-1» в форме сферического баллона радиусом $R = 15,25$ м, массой $m = 70,4$ кг. Интенсивность солнечного излучения на границе атмосферы $J = 1,373$ кВт/м². Оцените величину силы светового давления F на спутник.

10.1.6. Полная мощность излучения диполя Герца $P = 4\pi a^2/3R$, где a — амплитуда сферической волны, $R = (\mu_0/\epsilon_0)^{1/2}$, $R = 377$ Ом

А. Найдите амплитуду напряженности электрического поля волны на расстоянии r от диполя.

Б. Полагая $P = 0,1$ МВт, $r = 30$ км, найдите амплитуду напряжения V на концах антенны длиной $l_0 = 1$ м.

10.1.7. Мощность изотропного излучателя $P = 100$ кВт. Длина волны $\lambda = 500$ м. Найдите амплитуду колебаний свободного электрона на расстоянии $r = 10$ км от излучателя. В начальном положении электрон неподвижен.

10.1.8. Радар (сокр. от *Radio Detection And Ranging*) облучает одиночную цель в свободном пространстве. Найдите отношение мощностей отраженных импульсов P_2 и P_1 , при значениях расстояний до цели $r_2 = 2s$ и $r_1 = s$.

10.1.9. Азбука Морзе. В 1838 г. американец Сэмюэл Морзе создал свою азбуку, заменив точками и тире все буквы. Первая передача кодированных посланий началась в 1844 г. Прочитайте слово, «изображенное» на рис. 10.1.9.

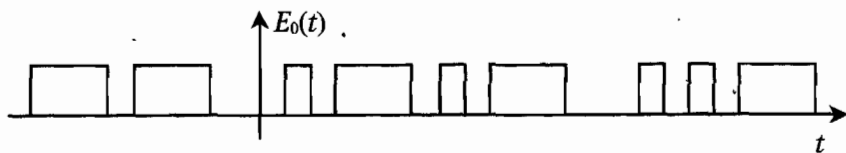


Рис. 10.1.9

10.1.10. Основной диапазон частот спектра звукового сигнала находится в области от 300 Гц до значений $\nu_m \sim 9000$ Гц. При амплитудной модуляции ширина полосы частот радиостанции $\Delta\nu \sim \nu_m$. Эта полоса расположена симметрично относительно несущей частоты $\nu = \omega/2\pi$. В заданном диапазоне частот $\Delta\nu = \nu_2 - \nu_1$ можно расположить не более $\Delta\nu/\nu_m$ станций. Покажите, что емкость диапазонов возрастает с увеличением несущей частоты.

10.1.11. Покажите, что с увеличением несущей частоты возрастает скорость передачи информации.

10.1.12. Полоса частот телевизионной станции. Электронная трубка, предназначенная для передачи изображения, так называемый иконоскоп, была создана в 1931 г. в США выдающимся русским инженером В.В. Зворыкиным (1889–1982).

Изображение сцены проектируется на тонкий листок слюды, передняя стенка которой покрыта $N = N_c N_r$ частицами цезиевого серебра, где N_c — число частиц в горизонтальных линиях, N_r — число горизонтальных пиний, $N_r = 4N_c/3$. По стандарту, принятому в СССР, $N_c = 625$. Задняя стенка является проводящей пластиной, соединенной с резистором. Эта система представляет собой, по существу, совокупность конденсаторов с одной общей обкладкой. Вследствие фотоэффекта частицы в области повышенной освещенности теряют больше электронов и приобретают больший потенциал. Возникает «электрическое» изображение сцены. При пробегании электронного луча по горизонтальным линиям частицы «разряжаются»; на резисторе возникают импульсы напряжения, называемые *видеосигналами*. Найдите полосу частот видеосигнала.

10.1.13. Первая фотография лунной поверхности. Почему передача одного кадра изображения Луны советской автоматической станцией в 1959 г. длилась 25 мин?

10.1.14. Детекторный приемник. Схема простейшего радиоприемника изображена на рис. 10.1.14. Электромагнитные волны наводят в антенне высокочастотные колебания. При приеме станции, излучающей амплитудно-модулированную электромагнитную волну, в антенне генерируется ЭДС $\mathcal{E}(t) = \mathcal{E}_0(t) \cos \omega t$, где $\mathcal{E}_0(t)$ — низкочастотная функция, соответствующая передаваемому звуковому сигналу.

В этом случае эквивалентная схема изображена на рис. 7.2.8. Опишите принцип работы приемника.

10.1.15. Спутниковая навигационная система. На рис. 10.1.15 изображен излучатель S , летящий со скоростью $\vec{u} = (u, 0, 0)$ на высоте b . Радиус-вектор точки S равен $\vec{R}(t) = \vec{b} + \vec{u}t$, $\vec{b} = (0, 0, b)$. Наблюдатель находится в точке $P(x, y, 0)$ на поверхности Земли. Найдите частоту $\nu_u(t)$ принимаемой волны и покажите, что в результате анализа функции $\nu_u(t)$ можно определить координаты точки наблюдения.

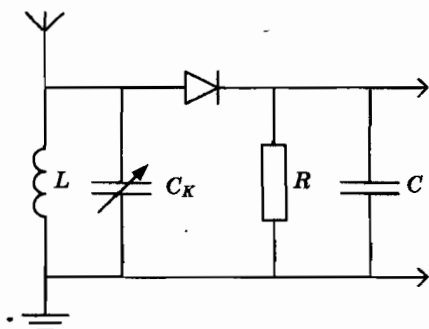


Рис. 10.1.14

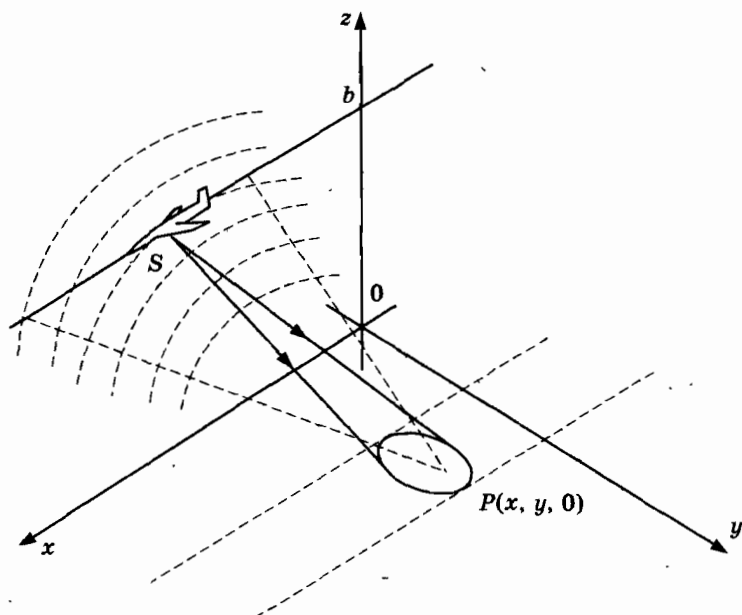


Рис. 10.1.15

10.2. Интерференция. Дифракция

Наложение волн, при котором в области перекрытия интенсивность зависит от координат, называется *интерференцией* (от лат. *inter* – взаимно и *ferio* – поражаю). Интенсивность может изменяться от нуля до максимума, превышающего сумму интенсивностей отдельных волн.

В современной физике *дифракцией* называют процесс распространения электромагнитной волны в пространстве, содержащем какие-либо тела. По мере распространения волны поток энергии затекает в область геометрической тени.

Дифракционная решетка. Одномерная решетка состоит из ряда щелей длиной l , шириной a , расположенных в непрозрачном экране в плоскости xz на равных расстояниях d друг от друга. Если на решетку падает плоская линейно поляризованная монохроматическая волна в направлении оси z , то интенсивность имеет главные максимумы при значениях θ_m :

$$\sin\theta_m = m\lambda/d, \quad (m = 0, \pm 1, \pm 2, \dots), \quad (10.2.1)$$

где θ – угол между плоскостью $x = 0$ и плоскостью, проходящей через ось y , $m \leq d/\lambda$.

Целое число m называют *порядком спектра*. Решетка разлагает падающее излучение в спектры нескольких порядков. В промежутках между главными максимумами расположены убывающие вторичные максимумы и нули интенсивности. Расстояние между главным максимумом порядка m и соседним минимумом

$$\Delta\theta_m = \lambda / (Nd \cos\theta_m).$$

Разрешающая сила решетки. Предел разрешения двух линий с длинами волн λ и $\lambda + \Delta\lambda$

$$\Delta\lambda/\lambda = 1/|m|N. \quad (10.2.2)$$

10.2.1–10.2.3. Опыт Юнга. Свет от точечного источника L падает на два небольших отверстия в экране, расположенном в плоскости $z = -b$ (рис. 10.2.1). Эти отверстия в точках $S_1\left(\frac{d}{2}, 0, -b\right)$ и $S_2\left(-\frac{d}{2}, 0, -b\right)$

действуют как излучатели с одинаковой фазой. Интерференция наблюдается в плоскости $z = 0$. Интенсивность излучения каждого источника J_0 .

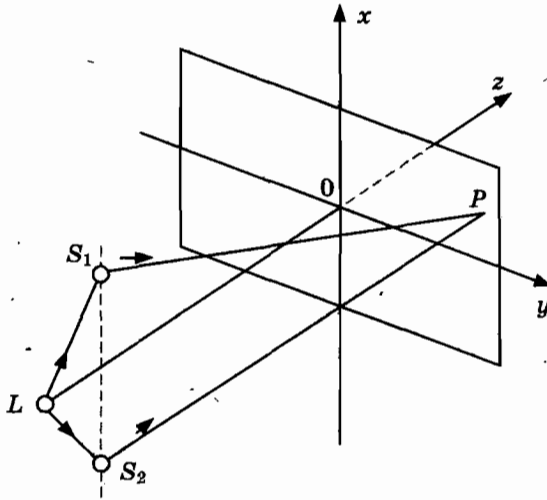


Рис. 10.2.1

10.2.1. Найдите среднее значение интенсивности $J(x, y)$ в окрестности начала координат плоскости $z = 0$.

10.2.2. Сделаем в экране два отверстия диаметром $0,1$ мм на расстоянии $d = 2$ мм друг от друга и направим на него излучение рубинового лазера с длиной волны $\lambda = 694,3$ нм. Полагая $b = 3$ м найдите расстояние между светлыми полосами.

10.2.3. Свет от точечного монохроматического источника падает на два небольших отверстия S_1 и S_2 в экране, расположенном в плоскости $z = -b$. Расстояние между отверстиями $d \ll b$. Отверстия играют роль вторичных взаимно-когерентных источников сферических волн. Интерференция наблюдается в области перекрытия световых пучков. Получите семейство поверхностей, на которых интенсивность максимальна.

10.2.4. Интерферометр Майкельсона. Лазерный луч падает в точке A на полупрозрачное зеркало и разделяется на два идентичных луча: луч сравнения, который отражается от стационарного зеркала M_1 и луч-зонд, отражаемый подвижным зеркалом M_2 (рис. 10.2.4). Отразившись, они возвращаются к точке A и снова разделяются. Два

из них образуют луч, который попадает в фотодетектор. Найдите зависимость интенсивности света от длины плеч $l_2 = AM_2$, $l_1 = AM_1$.

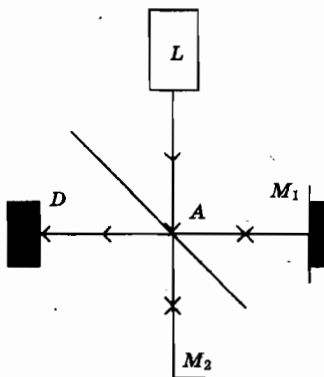


Рис. 10.2.4

10.2.5-10.2.6. Изменение поляризации плоской монохроматической волны при отражении от металлической поверхности. На плоскость $x = 0$ падает плоская монохроматическая волна, $\vec{p} = (1, 0, 0)$ — единичный вектор перпендикулярный плоскости yz . Вектор напряженности электрического поля $\vec{E}_i(t, x, y, z) = a \vec{e}_i \cos(\omega t - k \vec{n}_i \vec{r})$, $\vec{n}_i = (-\sin \alpha, 0, \cos \alpha)$ (рис. 10.2.5).

10.2.5. Найдите вектор напряженности электрического поля отраженной волны в области $x \geq 0$.

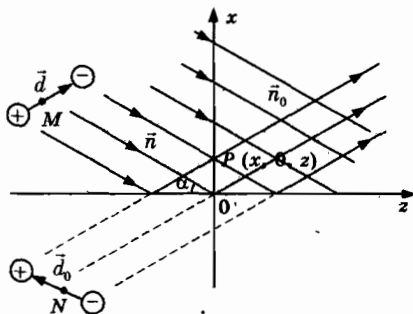


Рис. 10.2.5

10.2.6 Стоячая электромагнитная волна. Волна падает перпендикулярно плоскости $x = 0$, $\vec{e}_i = (0, 0, 1)$. Найдите напряженность электрического поля и индукцию магнитного поля волны в области $x \geq 0$.

10.2.7–10.2.9. Интерференция при отражении волны от металлической плоскости. На плоскость $x = 0$ падает плоская монохроматическая волна (рис. 10.2.5).

10.2.7. Волна, линейно поляризованная в плоскости, перпендикулярной плоскости падения. Вектор напряженности электрического поля

$$\vec{E}_i(t, x, y, z) = a \vec{e}_i \cos(\omega t - k \vec{n}_i \vec{r}),$$

$$\vec{e}_i = (0, -1, 0), \quad \vec{n}_i = (-\sin \alpha, 0, \cos \alpha)$$

(рис. 10.2.7). Интенсивность волны $J_0 = c \epsilon_0 a^2 / 2$. Найдите интенсивность поля в области перекрытия падающей и отраженной волн.

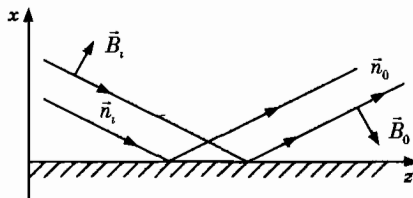


Рис. 10.2.7

10.2.8. Волна, линейно поляризованная в плоскости падения. Вектор поляризации волны $\vec{e}_i = (\cos \alpha, 0, \sin \alpha)$ (рис. 10.2.8). Интенсивность волны $J_0 = c \epsilon_0 a^2 / 2$. Найдите интенсивность поля в области перекрытия падающей и отраженной волн.

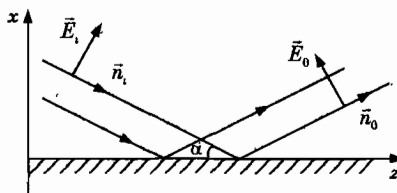


Рис. 10.2.8

10.2.9. Волна круговой поляризации. Циркулярнополяризованная волна падает на на плоскость $x = 0$ под углом α . Вектор напряженности электрического поля падающей волн

$$\vec{E}_n = a \vec{e}_1 \cos \varphi_1 + a \vec{e}_2 \sin \varphi_1,$$

где $\varphi_1 = \omega t - k \vec{n}_i \vec{r}$, $\vec{e}_1 = (\cos \alpha, 0, \sin \alpha)$, $\vec{e}_2 = (0, 1, 0)$.

Интенсивность волны $J_0 = c\epsilon_0 a^2$. Найдите интенсивность поля в области перекрытия падающей и отраженной волн.

10.2.10. На рис. 10.2.10 изображен излучатель в виде отрезка провода, находящийся на расстоянии d от металлического тонкого провода. Длина несущей волны $\lambda = 40$ см. Амплитудно-модулированную волну регистрирует приемник, расположенный в точке P волновой зоны на расстоянии s от провода ($s \gg \lambda$). Объясните, почему при перемещении излучателя к приемнику P возникают «области молчания». Найдите значения d , при которых интенсивность волны равна нулю.

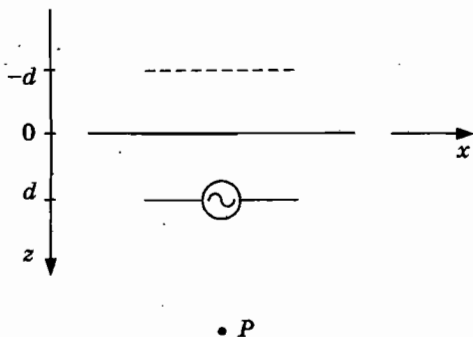


Рис. 10.2.10

10.2.11–10.2.12. Отражение и преломление волны. Две прозрачные однородные среды с показателями преломления n_1 и n_2 разделены плоскостью $z = 0$. Плоская линейно поляризованная монохроматическая волна падает из первой среды на вторую среду перпендикулярно плоскости раздела. Назовем плоскость $y = 0$ плоскостью падения.

10.2.11. Падающая волна распространяется из области $z < 0$. Вектор напряженности электрического поля падающей волны направлен перпендикулярно плоскости падения (рис. 10.2.11)

$$\vec{E}_i(t, z) = (0, E_0, 0) \cos(\omega t - kn_z z), \quad k = \omega/c.$$

А. Найдите напряженность электрического поля и индукцию магнитного поля в области $z < 0$.

Б. Найдите среднее значение z – компоненты вектора Пойнтинга $\vec{S} = \epsilon_0 c^2 \vec{E} \times \vec{B}$ в области $z < 0$.

(Указание: Из уравнений Максвелла следует, что частное решение, называемое TE - волной, имеет вид

$$\vec{E}(t, z) = (0, E_0, 0) \cos(\omega t - knn_z z),$$

$$c\vec{B}(t, z) = (-nn_z E_0, 0, 0) \cos(\omega t - knn_z z),$$

где $n_z = \pm 1$.

Граничные условия требуют непрерывности касательных к поверхности раздела компонент напряженности электрического поля и индукции магнитного поля.)

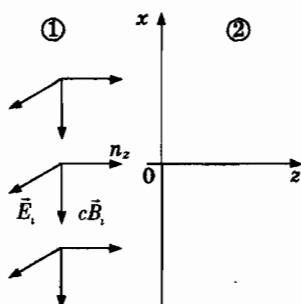


Рис. 10.2.11

10.2.12. Падающая волна распространяется из области $z < 0$. Вектор индукции магнитного поля падающей волны направлен перпендикулярно плоскости падения (рис. 10.2.12)

$$\vec{B}_i(t, z) = (0, B_p, 0) \cos(\omega t - kn_z z), \quad k = \omega/c.$$

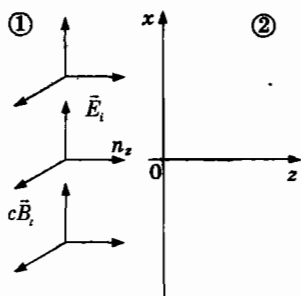


Рис. 10.2.12

А. Найдите напряженность электрического поля и индукцию магнитного поля в области $z < 0$.

Б. Найдите среднее значение z – компоненты вектора Пойнтинга $\vec{S} = \epsilon_0 c^2 \vec{E} \times \vec{B}$ в области $z < 0$.

(Указание: Из уравнений Максвелла следует, что частное решение, называемое TM – волной, имеет вид

$$\vec{E}(t, z) = (n_z c B / n, 0, 0) \cos(\omega t - kn n_z z),$$

$$\vec{B}(t, z) = (0, B, 0) \cos(\omega t - kn n_z z),$$

где $n_z = \pm 1$.

Граничные условия требуют непрерывности касательных к поверхности раздела компонент напряженности электрического поля и индукции магнитного поля.)

10.2.13. Левая часть плоскопараллельной пластинки толщиной H , образует клин — двухгранный угол $\alpha \ll 1$ (рис. 10.2.13 а). Показатель преломления материала пластинки n . На верхнюю плоскость падает линейнополяризованная плоская волна частотой ω с вектором напряженности электрического поля перпендикулярным плоскости чертежа. Интенсивность волны — J_0 . Экран находится на расстоянии d от нижней плоскости пластины. Пренебрегая отражением найдите зависимость интенсивности от координат в области перекрытия преломленных волн.

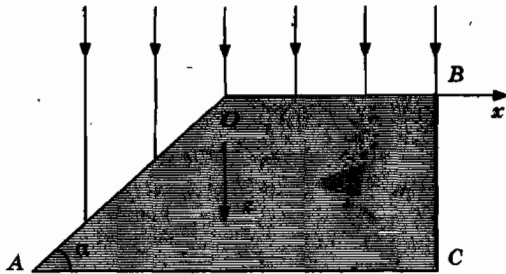


Рис. 10.2.13 а

10.2.14-10.2.15. Принцип Гюйгенса-Френеля. Источник монохроматического излучения находится в точке $O(0, 0, 0)$, детектор — в точке $P(0, 0, z_0)$. Согласно современной интерпретации принципа Гюйгенса-Френеля в точку P приходят «виртуальные волны» (от лат. *virtualis* — могущий проявиться), излучаемые в каждой точке $Q(x, y, z)$ поверхности волнового фронта $x^2 + y^2 + z^2 = a^2$.

10.2.14. В результате интерференции виртуальных волн образуется реальная волна, фаза которой в точке P равна $\Phi_p = \omega t - kz_0$. Тогда разность фаз волн

$$\Delta\Phi = k(s - z_0),$$

$$s = (x^2 + y^2 + z^2)^{1/2} + [x^2 + y^2 + (z - z_0)^2]^{1/2},$$

должна удовлетворять условию $\Delta\Phi = \pi n, n = 1, 2, \dots$

А. Докажите, что точка $Q(x, y, z)$ принадлежит эллипсоиду вращения.

Б. Найдите значения большой и малой полуосей эллипсоида.

10.2.15. Реальный физический луч представляет собой эллипсоид вращения с фокусами в точках P и O , образованный огибающей первых зон Френеля. Найдите максимальную площадь поперечного сечения S_m и объем V физического луча.

10.2.16. Существенная область отражения. Излучатель электромагнитной волны находится в точке $L(0, 0, h)$, детектор — в точке $P(x_n, 0, z_n)$ (рис.10.2.16 *a*). Отражающая поверхность представляет собой часть плоскости $z = 0$ площадью S . Согласно приближению геометрической оптики в точку P приходит луч, отраженный в точке $Q_0(x_0, 0, 0)$ под углом α : $\sin \alpha = x_0 / (h^2 + x_0^2)^{1/2}$. Правильное зеркальное отражение возникает только в том случае, когда выполняются условия применимости геометрической оптики: площадь поверхности должна быть больше площади нескольких первых зон Френеля. Оцените значение площади отражающей поверхности, при котором луч отражается под углом α .

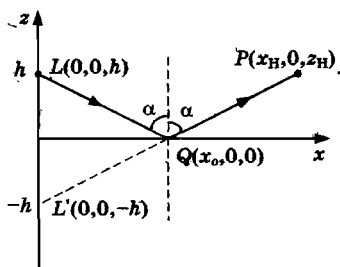


Рис. 10.2.16 *a*

10.2.17. Опишите качественно дифракцию плоской волны, падающей перпендикулярно экрану, представляющему собой полуплоскость.

10.2.18. Приведите оценку расстояния, начиная с которого дифракция Френеля переходит в дифракцию Фраунгофера электромагнитных или звуковых волн, падающих на отверстие радиусом a в экране.

10.2.19. Дифракционное изображение точки. В непрозрачной плоскости xy вырезано круглое отверстие радиусом $a \gg \lambda$. Координаты центра отверстия $x = 0, y = 0$. Плоская волна падает на экран в положительном направлении оси z . Эта волна приходит от точечного источника $L(0, 0, -b)$, расположенного на оси z и удаленного от начала координат на расстояние b большее a^2/λ . Экран находится в плоскости $z = z_0$. Опишите изображение точки на экране.

10.2.20*–10.2.21*. Элементы голографии. При обычной фотографии степень почернения негатива определяется интенсивностью волны — суммой интенсивностей волн, исходящих от каждой точки объекта и зависящих только от амплитуд волн. Информация о фазе волны безвозвратно теряется — объект выглядит плоским. Для получения объемного изображения объекта необходимо регистрировать на фотопленке амплитуду и фазу. Эта задача решена на основе нового метода, открытого Д. Габором (Нобелевская премия, 1971 г.). Новый метод получил название голография (от греч. *holos* — весь, *grapho* — пишу).

10.2.20*. Голограмма точечного объекта. Объект находится в точке $S(h, 0, -d)$. Экран — фотопленка с достаточно прозрачным слоем эмульсии расположена в плоскости xy (рис. 10.2.20). Опорная линейно-поляризованная плоская волна, излучаемая лазером, распространяется в отрицательном направлении оси z .

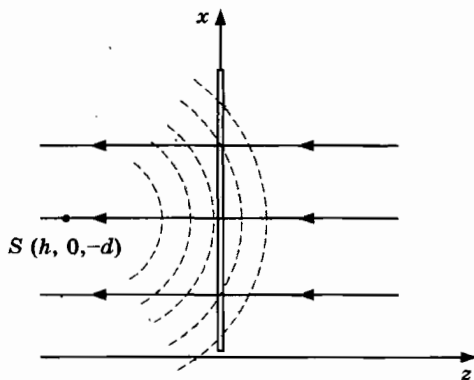


Рис. 10.2.20

Напряженность электрического поля

$$\vec{E}_x(t, x, y, z) = a \vec{e} \cos(\omega t + kz), \quad \vec{e} = (1, 0, 0), \quad k = \omega/c.$$

Интенсивность волны $J_0 = c\epsilon_0 a^2/2$.

В результате рассеяния волны объектом возникает сферическая «предметная волна» напряженностью

$$\vec{E}_S(t, x, y, z) = (G \vec{e}_{SM}/r) \cos(\omega t - kr - \phi),$$

где r — расстояние от точки S до точки $M(x, y, z)$, \vec{e}_{SM} — вектор поляризации, $\phi = kd + \alpha$, α — фаза отраженной волны.

Найдите интенсивность поля $J(x, y)$ в точке $Q(x, y)$ проявленной фотопленки — голограммы.

10.2.21*. Восстановление изображения объекта. Для получения изображения поместим голограмму в плоскость xy и осветим ее параллельным пучком света от лазера с напряженностью электрического поля $\vec{E}(t, x, y, z) = a \vec{e} \cos(\omega t - kz)$.

Коэффициент пропускания негатива $T(x, y)$ определяется экспозицией и свойствами эмульсии. В наиболее благоприятном случае $T(x, y) = v_0 - v_1[J(x, y) - J_0]$, где v_0, v_1 — постоянные коэффициенты, $J(x, y)$ — интенсивность поля в точке фотопленки $Q(x, y)$.

Найдите напряженность электрического поля с правой стороны от голограммы в точке $P(x, 0, z)$, которая определяется соотношением, полученным Г. Кирхгофом в теории дифракции:

$$\vec{E}_f(t, x, 0, z) = \frac{k}{2\pi} \int_S \frac{dx_k dy_k}{r_{QP}} \vec{E}_k T(x_k, y_k) a \sin(kr_{QP} - \omega t).$$

$$\vec{E}_k = \vec{e}(\vec{n}_k \vec{N}_k) - \vec{N}_k(\vec{n}_k \vec{e}), \quad \vec{N}_k = (\vec{n}_k + \vec{n}_0)/2, \quad \vec{n}_0 = (0, 0, 1).$$

Здесь $r_{QP} = [(x - x_k)^2 + y_k^2 + z^2]^{1/2}$ — расстояние от точки голограммы $Q(x_k, y_k)$ до точки наблюдения P , \vec{n}_k — единичный вектор, параллельный отрезку прямой QP , S — поверхность голограммы.

Указание: Перейти к комплексному представлению напряженности, представить фазу в окрестности экстремума в виде ряда, ограничиваясь величинами $\sim x_k^2, y_k^2$, и учесть значение интеграла

$$\int_{-\infty}^{\infty} du \exp(iau^2 + ibu) = \left(\frac{\pi i}{a}\right)^{1/2} \exp\left(-\frac{ib^2}{4a}\right).$$

10.2.22. Дифракционная решетка. Найдите максимальную ширину $[\lambda_1, \lambda_2]$ спектрального интервала, при которой спектры соседних порядков не перекрываются.

10.2.23. Могут ли перекрываться спектры первого и второго порядков дифракционной решетки при освещении видимым светом с длинами волн от $\lambda_1 = 450$ нм до $\lambda_2 = 780$ нм.

10.2.24–10.2.25. Решетка имеет $N = 10\,552$ штрихов на длине 2 см.

10.2.24. Найдите значения углов, под которыми наблюдаются главные максимумы первого, второго и третьего порядков при наблюдении самой яркой линии излучения D натрия с длиной волны $\lambda = 589,3$ нм.

10.2.25. Разрешающая сила решетки. Линия излучения натрия D с длиной волны $\lambda = 589,3$ нм в действительности представляет собой две отдельные линии с длинами волн $\lambda_2 = 589$ нм и $\lambda_1 = 589,6$ нм. Можно ли с помощью этой решетки разрешить эти линии в первом главном максимуме?

10.2.26. На решетке с плотностью штрихов $2000/\text{см}$ происходит дифракция света с длиной волны $\lambda_1 = 500$ нм. Экран расположен на расстоянии $s = 3$ м от решетки. Найдите расстояние x , между изображениями спектров нулевого и первого порядков.

10.2.27. Дифракционная решетка с периодом $d = 3$ мкм освещается оранжевым светом с длиной волны $\lambda = 600$ нм. Сколько главных максимумов можно наблюдать при нормальном падении света?

10.2.28. На дифракционную решетку с периодом $d = 6$ мкм падает по нормали монохроматическая волна. Угол между дифракционными максимумами второго и третьего порядков равен $\alpha = 3^\circ$. Определите длину волны.

10.2.29. Получите условие возникновения главных максимумов при падении плоской волны под углом θ_0 к плоскости решетки.

10.2.30. Найдите максимальный порядок спектра m , при наблюдении дифракции света длиной волны λ на решетке с периодом d .

Глава XI. ОПТИКА

11.1. Принцип Ферма.

Отражение и преломление света

В геометрической оптике вводят математическое понятие — луч и представляют электромагнитную волну в изотропной среде как пучок кривых — лучей, ортогональных к волновым фронтам. Оптическая длина луча в изотропной однородной среде $l = ns$, где s — длина траектории луча, n — коэффициент преломления.

В 1662 г. П. Ферма установил *основной закон геометрической оптики*: луч, соединяющий две точки, представляет собой кривую, для которой оптическая длина принимает наименьшее значение.

Закон отражения: падающий луч, отраженный луч и нормаль к поверхности раздела двух сред лежат в одной плоскости. Угол отражения луча равен углу падения луча.

Закон преломления: падающий, преломленный лучи и нормаль к границе раздела лежат в одной плоскости; *произведение коэффициента преломления на синус угла между нормалью и лучом является постоянной величиной для любой из плоскослоистых сред:*

$$n \sin \alpha = \text{const.} \quad (11.1.1)$$

Полное внутреннее отражение. Источник излучения находится в среде с показателем преломления $n_2 > n_1$. Отраженный луч распространяется в среде n_2 под углом, равным углу падения. При значении угла падения $\alpha_2 = \alpha_n$ преломленный луч идет параллельно границе раздела, т.е. $\alpha_1 = \pi/2$:

$$\sin \alpha_n = n_1/n_2, \quad (11.1.2)$$

Угол α_n называют *предельным углом полного отражения*. Если угол падения $\alpha_2 > \alpha_n$, то преломленный луч отсутствует и наблюдается только отраженный луч в среде n_2 .

11.1.1. Отражение от параболического зеркала. На рис. 11.1.1 изображена парабола $z_n = x^2/2R$, представляющая собой сечение поверхности, получаемой вращением параболы вокруг оси z . Источник

света находится в точке $S(0, 0, R/2)$, наблюдатель — в точке $P(x_H, 0, z_H)$. Докажите, что все лучи, отраженные от поверхности, идут параллельно оси z .

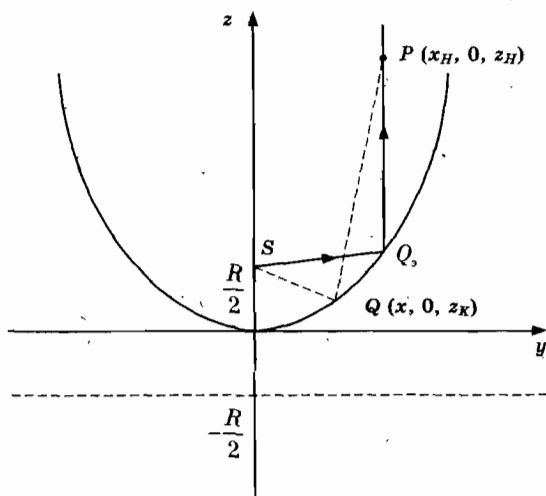


Рис. 11.1.1

11.1.2. Планета радиусом R имеет сферически симметричную атмосферу с коэффициентом преломления $n(r) = (4 - 2r/R)^{1/2}$, $R \leq r \leq 3R/2$; $n(r) = 1$, $r \geq 3R/2$, где r — расстояние от центра. Покажите, что возможная траектория луча света — окружность радиусом $4R/3$.

11.1.3. Плоское зеркало, расположенное в вертикальной плоскости, может вращаться вокруг горизонтальной оси. На расстоянии R от оси находится светящаяся точка A (рис. 11.1.3 а). Найдите расстояние b между изображением точки и изображением, которое образуется после поворота зеркала на угол α .

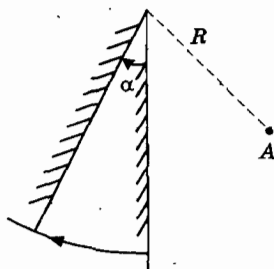


Рис. 11.1.3 а

11.1.4. Глаз человека в точке P видит объект S , используя зеркало, представляющее собой прямой двухгранный угол (рис. 11.1.4 *a*). Расстояния $SM = 5$ м, $MK = 0,5$ м, $KP = 1,5$ м. Найдите расстояние s от изображения до глаза.

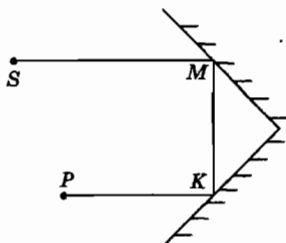


Рис. 11.1.4 *a*

11.1.5. Объект в виде буквы Г находится между двумя плоскими зеркалами M_1 и M_2 . Постройте изображение объекта.

11.1.6. Угловой отражатель. Возьмем три взаимно перпендикулярные отражающие плоскости xy , yz и zx . Эта система зеркал обладает уникальным свойством: падающий внутрь луч света после трех отражений выходит обратно в противоположном направлении. Докажите это утверждение.

11.1.7. На зеркале, расположенном в горизонтальной плоскости, закреплен стержень длиной h . В плоскости, перпендикулярной зеркалу находится экран (рис. 11.1.7 *a*). Найдите высоту тени H на экране.

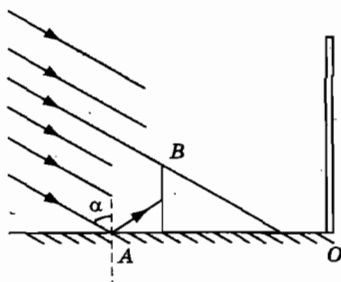


Рис. 11.1.7 *a*

11.1.8. В непрозрачном экране вырезано круглое отверстие (рис. 11.1.8*a*). На расстоянии s от центра отверстия находится точечный источник света S . По другую сторону экрана расположено плоское зеркало. Плоскости и экрана и зеркала параллельны. Найдите

расстояние L от экрана до зеркала, если свет, отраженный от зеркала, освещает на экране кольцо вокруг отверстия, площадь которого равна площади отверстия.

11.1.9. Человек идет по комнате со скоростью v_1 и рассматривает изображение своего глаза в плоском зеркале, горизонтальная плоскость которого перемещается вверх со скоростью v_2 . Найдите величину скорости изображения v .

11.1.10. Точечный источник света находится внутри двухгранного угла α , образованного плоскостями двух зеркал. Расстояния до плоскостей зеркал равны соответственно a и b . Найдите расстояние L между первыми изображениями источника света.

11.1.11. Точечный источник света S находится внутри двухгранного угла, образованного плоскостями двух зеркал. Найдите угол α между плоскостями зеркал, если источник света и два первых изображения находятся в вершинах правильного треугольника.

11.1.12. Зеркало Ллойда. Для получения интерференционной картины точечный источник света располагают на расстоянии b по горизонтали от плоского зеркала в виде квадратной пластины, на высоте h над плоскостью зеркала (рис. 11.1.12 *a*). Длина стороны пластины s . На расстоянии L от источника расположен экран, плоскость которого перпендикулярна плоскости зеркала. Найдите вертикальный размер H интерференционной картины на экране.

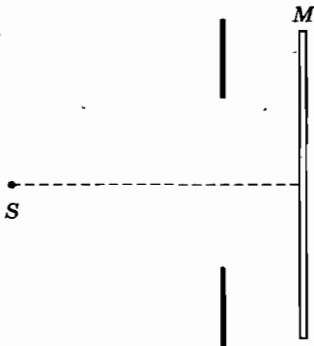


Рис. 11.1.8 *a*



Рис. 11.1.12 *a*

11.1.13. Параллельный цилиндрический пучок света падает на вогнутое сферическое зеркало. Радиус пучка b , радиус кривизны зеркала R , $b \ll R$. Найдите расстояние PF от полюса P до точки F пересечения лучей, отраженных от зеркальной поверхности.

11.1.14. Луч света $o\tau$ направленного источника излучения, расположенного под водой, падает на поверхность воды под углом α , большим угла полного внутреннего отражения δ . Выйдет ли он в воздух, если к поверхности воды приложить стеклянную плоскопараллельную пластинку?

11.1.15. Луч света падает под углом $\alpha = \pi/3$ к плоской границе раздела «воздух–жидкость». Отраженный и преломленный лучи перпендикулярны друг другу. Найти показатель преломления жидкости.

11.1.16. Кубик, изготовленный из прозрачной пластмассы, поставлен на лист газеты. Покажите, что текст нельзя увидеть через боковую грань, если коэффициент преломления материала кубика $n > 1,41$.

11.1.17. На дне сосуда в форме куба лежит мелкая монета на расстоянии b от стенки (рис. 11.1.17 *a*). Длина ребра куба a . Наблюдатель может видеть грань куба. Найдите высоту слоя воды h , которую следует налить в сосуд, чтобы наблюдатель увидел монету.

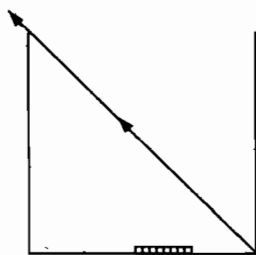


Рис. 11.1.17 *a*

11.1.18. Дно реки рассматривают с мостика, глядя вертикально вниз. Глубина реки $H = 2$ м, показатель преломления воды $n = 4/3$. Найдите видимую глубину реки h .

11.1.19*. Источник света находится под водой в точке $S(0, -h, 0)$. Наблюдатель видит его под углом r к вертикали. Найдите координаты изображения источника $S_0(x_0, y_0, 0)$.

11.1.20. Точечный источник света движется в воде вертикально вниз со скоростью v . Найдите величину скорости u движения границы освещенного круга на поверхности воды.

11.1.21. Человек рассматривает изображение зрачка своего глаза в плоском зеркале толщиной h на расстоянии f . Показатель преломления стекла n . Найдите расстояние d между глазом и поверхностью зеркала.

11.1.22. Человек рассматривает изображение точечного источника $S(0, 0, d + h)$ в плоском зеркале под углом α к вертикали. Толщина стекла h , показатель преломления n . Найдите координаты изображения S_1 .

11.1.23. Два луча пересекаются в точке M (рис. 11.1.23). Перед точкой M поставили плоскопараллельную пластину толщиной h так, что луч LM падает по нормали, а луч SM — под углом α к плоскости пластин.

А. Найдите расстояние BN между падающим лучом и лучом, вышедшим из пластины.

Б. Найдите величину смещения PM точки пересечения лучей.

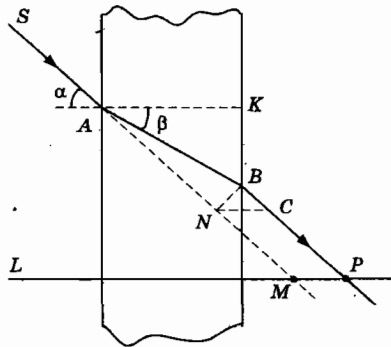


Рис. 11.1.23

11.1.24. Луч света b на рис. 11.1.24 падает на плоскопараллельную пластинку толщиной d под углом α . Покажите, что расстояние между лучами b и r_1 равно $s_1 = d \sin \alpha [1 - \cos \alpha / (n^2 - \sin^2 \alpha)^{1/2}]$, расстояние между лучами b_1 и b_2 равно $s_{12} = d \sin 2\alpha / (n^2 - \sin^2 \alpha)^{1/2}$.

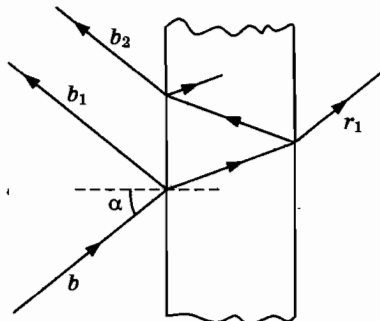


Рис. 11.1.24

11.1.25. Луч падает на плоскопараллельную пластинку из стекла, плоскость которой образует угол $\alpha = \pi/4$ с вертикальной плоскостью (рис. 11.1.25). Коэффициент преломления стекла n , толщина пластинки d . Найдите расстояния h между отраженным лучом и лучами, выходящими из пластинки параллельно отраженному лучу.

11.1.26–11.1.28. Призма. В оптических приборах часто используют призмы. Двухгранный угол α между гранями AB и BC , через которые проходит луч, называется *преломляющим углом* призмы. Пусть луч падает под углом θ_1 на грань AB . Угол γ между направлениями падающего и отклоненного лучами называется *углом отклонения луча* призмой. Коэффициент преломления материала призмы n , предельный угол δ .

11.1.26. А. Найдите угол γ .

Б. Найдите условие полного внутреннего отражения.

11.1.27. Преломляющий угол призмы $\alpha = \pi/3$, коэффициент преломления $n = 3/2$. Найдите угол отклонения γ при симметричном преломлении.

11.1.28. Найдите угол γ в случае тонкой призмы $\alpha \ll 1$ и малого угла падения $\theta_1 \ll 1$.

11.1.29. Поворотная призма. Стеклообразная равнобедренная трехгранная призма с двухгранным углом между гранями $\alpha = \pi/2$ находится в воздухе (рис. 11.1.29 а). На грань призмы падает под углом $\pi/4$ пучок лучей, параллельных основанию призмы. Найдите значения показателя преломления стекла призмы n , если лучи не выходят наружу через основание призмы.

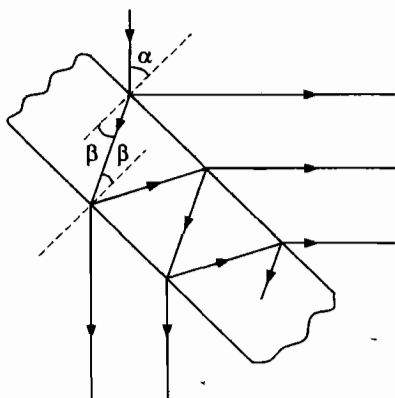


Рис. 11.1.25

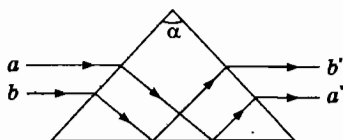


Рис. 11.1.29 а

11.1.30. Стекло́нная равнобедренная трехгранная призма с двухгранным углом между гранями $\alpha = \pi/2$ находится в воздухе (рис. 11.1.30). На грань призмы AC падает под углом $\pi/2$ пучок лучей. Найдите значения показателя преломления стекла призмы n , если лучи не выходят наружу через боковые грани призмы.

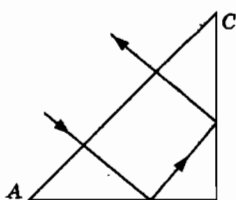


Рис. 11.1.30

11.1.31. Прозрачная трехгранная призма с двухгранным углом между гранями $\alpha = \pi/6$ находится в воздухе (рис. 11.1.31 *a*). Показатель преломления материала призмы $n = \sqrt{3}$. На грань призмы AB падает луч под углом $\pi/2$. Найдите угол γ_{23} между лучами, выходящими наружу через грани призмы.

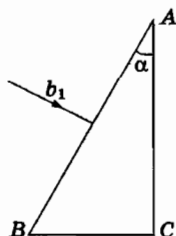


Рис. 11.1.31 *a*

11.1.32. Прозрачная трехгранная призма с двухгранным углом между гранями $\alpha = \pi/3$ находится в воздухе (рис. 11.1.32 *a*). Показатель преломления материала призмы $n = 2/\sqrt{3}$. На грань призмы AB луч падает под углом $\pi/2$. Найдите угол γ_{23} между лучами, выходящими наружу через грани призмы.

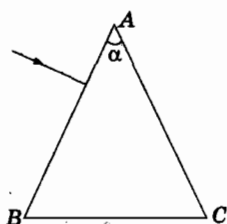


Рис. 11.1.32 *a*

11.1.33. Две призмы CAB и ACD с преломляющими углами $\alpha = \pi/3$ и $\gamma = \pi/6$ склеены гранями AC . Коэффициент преломления стекла призмы CAB равен $n = 3/2$. Найдите коэффициент преломления n_1 материала призмы ACD , если луч, падающий на систему призм параллельно основанию, выходит из системы, не изменяя направление (рис. 11.1.33 *a*).

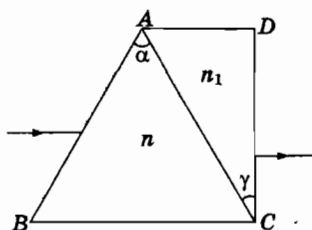


Рис. 11.1.33 *a*

11.1.34. На стеклянную призму с преломляющим углом $\alpha = 10^\circ$ падает перпендикулярно плоскости луч света (рис. 11.1.34 а). Коэффициент преломления стекла n , угол полного внутреннего отражения $\alpha_m = 48,2^\circ$. Определите число N лучей, на которые расщепляется падающий луч в прямом направлении после многократного отражения и преломления на гранях призмы.

11.1.35–11.1.36. Точечный источник света находится на расстоянии d от тонкой призмы: $S(-d, 0, 0)$.

11.1.35. Найдите координаты изображения S' , формируемого тонкой призмой.

11.1.36. Найдите координаты двух первых изображений S_1 и S_2 , формируемых отраженными лучами и лучами, преломленными и отраженными гранями призмы.

11.1.37–11.1.38. Бипризма Френеля. Две одинаковые тонкие призмы сложены основаниями и имеют параллельные преломляющие ребра. Преломляющий угол призмы $\alpha = 0,001$, расстояние между вершинами преломляющих углов $2H$, $H = 2$ см. Расстояние от монохроматического источника света S до бипризмы $OS = a$, расстояние от бипризмы до экрана $OB = b$ (Рис.11.1.37а). Длина волны линейно поляризованного света $\lambda = 550$ нм.

11.1.37. А. Найдите расстояние x_m от оси системы до m -той светлой полосы.

Б. Найдите максимальное число N интерференционных полос.

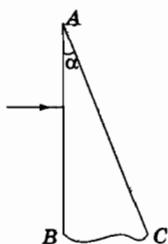


Рис. 11.1.34 а

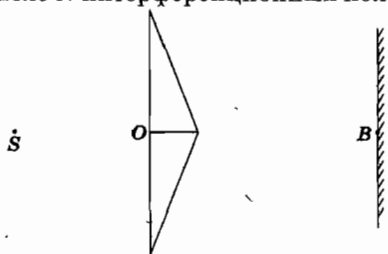


Рис. 11.1.37 а

11.1.38. При нормальном падении плоской световой волны, линейно поляризованной в плоскости падения, образуются два перекрывающихся пучка света.

А. Найдите наибольшие значения продольного OB и поперечного MN размеров области, в которой можно наблюдать интерференцию.

Б. Найдите максимальное число N интерференционных полос.

11.1.39. Отражатели в дорожных знаках. На прозрачный шарик падает тонкий пучок света с осью, проходящей через центр шарика. Задняя поверхность шарика имеет отражающее покрытие. Найдите значение коэффициента преломления, при котором пучок выйдет из шарика в противоположном направлении.

11.1.40. Радуга. Луч света падает под углом α к поверхности капли воды. Пренебрегая отражением падающего света и преломлением на задней поверхности, найдите условие, при которых угол γ (α) между осью симметрии и лучом, выходящим из капли принимает минимальное значение $\gamma_m = \gamma(\alpha_m)$. Вблизи предельного угла сгущаются траектории лучей и возрастает интенсивность света в направлении угла радуги γ_m .

11.1.41. Оптический волновод состоит из диэлектрического цилиндрического волокна – сердцевины с коэффициентом преломления n_c , который превышает коэффициент преломления n_m оболочки (рис. 11.1.41). Найдите апертуру волновода $A = \sin\theta_0$, где θ_0 – предельный угол падения пучка лучей на входе (θ – угол между осью волокна и направлением падения луча).

11.1.42. Внешний радиус стеклянной трубки R , внутренний радиус r . Показатель стекла n . Наблюдатель смотрит на трубку по прямой перпендикулярной оси. Вычислите видимый диаметр D внутреннего канала.

11.1.43. Сферический аквариум заполнен водой. Точечный источник света движется в воде по диаметру большого круга. Расстояние от центра сферы до источника $OP = s(t)$. Радиус сферы R , коэффициент преломления воды n . Наблюдатель смотрит на источник вдоль прямой, проходящей через точки O и P (рис. 11.1.43). Найдите расстояние $OP' = l(t)$ от центра сферы до изображения источника и скорость движения изображения u .

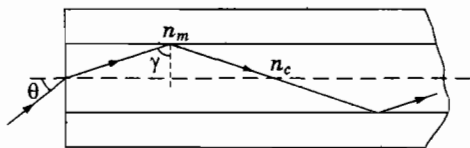


Рис. 11.1.41

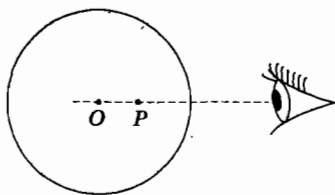


Рис. 11.1.43

11.2. Волны в неоднородной и анизотропной средах

Для неоднородной изотропной плоскослоистой среды с коэффициентом преломления $n = n(z)$ закон преломления имеет вид

$$n(z)\sin\alpha(z) = \text{const}, \quad (11.2.1)$$

где $\alpha(z)$ — угол между касательной к лучу и осью z в точке с координатой x, y, z .

Закон преломления является следствием сохранения проекции на ось x волнового вектора

$$\vec{k} = (\omega/c)n(z) (\sin\alpha(z), 0, \cos\alpha(z)).$$

В неоднородной плоскослоистой среде происходит полное внутреннее отражение в плоскости $z = z_m$ при условии $k_x(z_m) = 0$: $n(z_m) = n(0)\sin\alpha(0)$. Траектория луча всегда обращена выпуклостью в сторону уменьшения показателя преломления.

Сферически симметричная среда. Коэффициент преломления — функция $n = n(r)$, где r — расстояние от центра симметрии O .

Траектория луча представляет собой плоскую кривую линию. В этом случае закон преломления имеет вид

$$rn(r)\sin\theta(r) = \text{const}, \quad (11.2.2)$$

где $\theta(r)$ — угол между направлением луча — касательной к кривой и прямой, проходящей через точку O .

11.2.1—11.2.3. «Нижний» или «горячий» мираж. Над нагретой поверхностью возможно образование миражей. С увеличением высоты z температура адиабатически уменьшается, коэффициент преломления воздуха $n(z)$ в некотором интервале высот возрастает. Роль зеркала играет сам воздух: траектории лучей обращены выпуклостью в направлении убывания $n(z)$. Человек стоит на асфальтовом шоссе в жаркий день.

11.2.1. Объясните, почему он видит вдали светлое пятно, напоминающее лужу воды.

11.2.2*. Диэлектрическая проницаемость оптической среды $n^2(z) = n_0^2 + 2gz$. Докажите, что траектория луча $z = z(x)$ на рис. 11.2.2; представляет собой параболу.

11.2.3*. Направленный излучатель находится в начале координат. Электромагнитная волна падает под углом α на ионосферу, занимающую слой в области $h \leq z \leq H$. Коэффициент преломления $n(z) = 1$, $0 \leq z \leq h$; $n^2(z) = 1 - 2g(z - h)$, $h \leq z \leq H$. Докажите, что при условии $z(x) < H$ возможны три траектории луча, которые пересекаются в одной точке на оси x .

11.2.4. Показатель преломления оптической среды $n^2(z) = n_0^2 - (kz)^2$. Докажите, что траектория луча $z = z(x)$ представляет собой функцию $z(x) = A \cos(kx/C) + B \sin(kx/C)$, где $C = n_0 \sin \alpha(0)$.

11.2.5*–11.2.7*. Пучок лучей, параллельных оси x , падает на поверхность вращения, ограничивающую среду с показателем преломления n и фокусируется в точке $S = (F, 0, 0)$. На рис. 11.2.5 изображено сечение поверхности плоскостью $z = 0$ представляющее собой кривую $y = y(x)$.

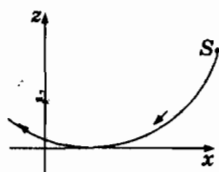


Рис. 11.2.2

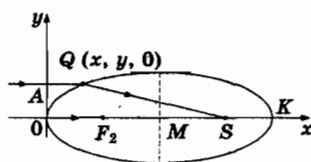


Рис. 11.2.5

11.2.5*. Докажите, что кривая $y = y(x)$ представляет собой эллипс.

11.2.6*. Уравнения эллипса в полярных координатах r, φ с началом в фокусе S имеет вид $r(\varphi) = p/(1 + e \cos \varphi)$, где φ — угол между осью x и радиус-вектором точки на эллипсе, параметр эллипса $p = b^2/a$, эксцентриситет $e = [1 - (b/a)^2]^{1/2}$. Докажите, что точка $S = (F, 0, 0)$ на рис. 11.2.5 является одним из фокусов эллипса. Найдите значения параметра p , эксцентриситет эллипса e и расстояние между фокусами.

11.2.7. Докажите, что $\sin \alpha = n \sin \beta$, где α — угол падения луча на поверхность эллипсоида, β — угол преломления (рис. 11.2.7).

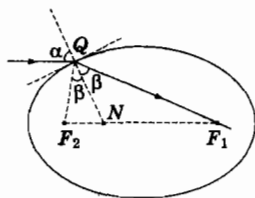


Рис. 11.2.7

11.2.8. Линза Лунберга. Параллельный пучок лучей падает на шар, показатель преломления которого $n(r) = \sqrt{2 - (r/R)^2}$, $0 \leq r \leq R$; $n(r) = 1$, $r \geq R$.

Найдите траекторию луча, проходящего на расстоянии p от оптической оси.

11.2.9*. «Рыбий глаз» Максвелла. Коэффициент преломления среды

$$n(r) = [1 + (r/c)^2]^{-1/2},$$

где r — расстояние от центра O , c — постоянная величина.

Такая среда называется «рыбьим глазом». Ее свойства были впервые исследованы Дж.К. Максвеллом в 1854 г. Докажите, что траекторией любого луча, испущенного в точке S , является окружность, проходящая через точку S , на прямой, принадлежащей отрезку SO .

11.2.10. Найдите наименьшее значение радиуса окружности — траектории луча в «рыбьем глазе».

11.2.11*–11.2.16*. Плоская монохроматическая волна в однородном одноосном кристалле. Оптические свойства кристалла определяются соотношением между вектором электрической индукции \vec{D} и вектором напряженности электрического поля \vec{E} . В декартовой системе координат $\vec{D} = \epsilon_0 (\epsilon E_1, \epsilon E_2, \epsilon_3 E_3)$, где ϵ_3, ϵ — постоянные коэффициенты, характеризующие анизотропию (от греч. *anisos* — неравный и *tropos* — направление) электрических свойств кристалла по оси z и в направлениях, перпендикулярных оси z . Постоянные амплитуды напряженности электрического и магнитного полей плоской монохроматической волны \vec{e} и \vec{h} удовлетворяют однородным уравнениям

$$\vec{k} \times \vec{e} = \mu_0 \omega \vec{h}, \quad (1a)$$

$$\vec{k} \times \vec{h} = -\omega \vec{d}, \quad (1b)$$

где $\vec{d} = \epsilon_0 (\epsilon e_1, \epsilon e_2, \epsilon_3 e_3)$, $\vec{k} = (\omega/c) \vec{n}$ — волновой вектор.

Электромагнитное поле в кристалле представляет собой суперпозицию двух независимых волн.

11.2.11*. Поперечно-электрическая ТЕ (от англ. *Transverse Electric*) или обыкновенная волна определяется вектором $\vec{w}_o = (0, 0, w_o)$; $\vec{e} = \mu_0 \omega \vec{w}_o \times \vec{k}$. Найдите решение уравнений (1), и закон дисперсии $\omega = F(k_x, k_y, k_z)$ — зависимость частоты от волнового вектора.

11.2.12*. Поперечно-магнитная ТМ (от англ. *Transverse Magnetic*) или необыкновенная волна определяется вектором $\vec{w}_n = (0, 0, w_n)$: $\vec{h} = \epsilon_0 \omega \vec{k} \times \vec{w}_n$. Найдите решение уравнений (1) и закон дисперсии.

11.2.13*. Запишите общее решение уравнений Максвелла в однородном анизотропном кристалле.

11.2.14*. Лучевые скорости волн. Перенос энергии электромагнитной волны определяется вектором Пойнтинга $\vec{S} = \vec{E} \times \vec{H}$. Плотность энергии поля $U_{em} = (\vec{E}\vec{D} + \vec{H}\vec{B})/2$. Лучевая скорость волны равна отношению среднего значения вектора Пойнтинга к среднему значению плотности энергии. Найдите средние значения вектора Пойнтинга, плотности энергии и лучевые скорости обыкновенной и необыкновенной волн.

11.2.15*. Вырежем пластинку из исландского шпата так, что оптическая ось z параллельна плоскостям граней. Луч света падает на пластинку исландского шпата под углом $\pi/2 - \alpha$ к оптической оси (рис. 11.2.15). Углы преломления необыкновенного и обыкновенного лучей соответственно равны β и β_0 . Найдите законы преломления обыкновенного и необыкновенного лучей.

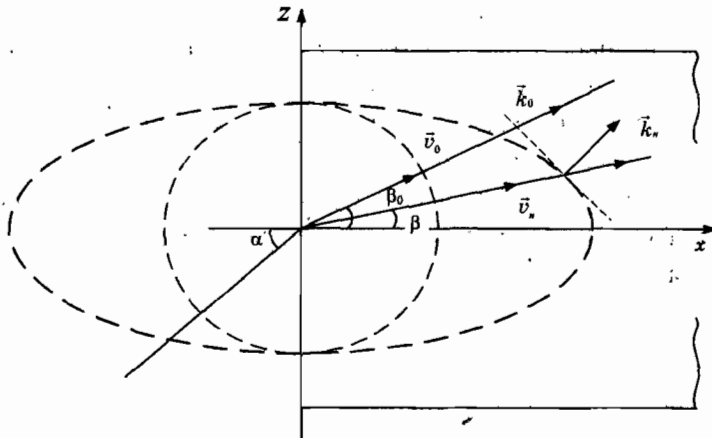


Рис. 11.2.15

11.2.16*. Эффект двойного лучепреломления. Вырежем из шпата пластинку толщиной d так, что оптическая ось z образует угол γ с координатной осью z' , перпендикулярной плоским граням пластинки в области $0 \leq z' \leq d$. Луч света падает на пластинку в положитель-

ном направлении оси z' . Найдите расстояние h между обыкновенным и необыкновенным лучами в области $z' \geq d$ (рис. 11.2.16).

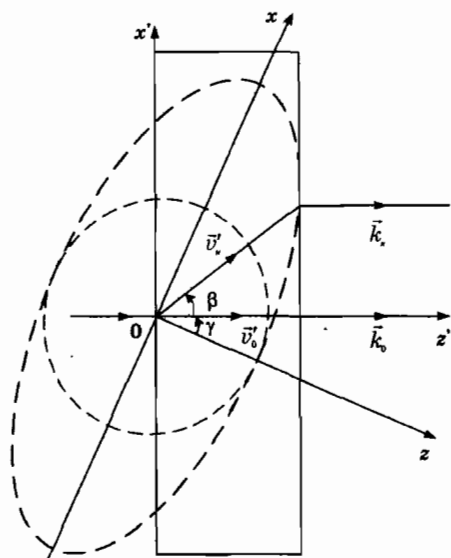


Рис. 11.2.16

11.3. Тонкие линзы

Во всех оптических инструментах используются тонкие пучки (т.е. пучки с малым углом раствора), идущие вблизи главной или побочной оптической оси системы. Такие пучки называются *параксиальными*.

Тонкая линза расположена в плоскости $xу$, центр линзы в начале координат. Предмет — отрезок AB длиной H . Координаты точек — предметов $A(H, 0, -d)$, $B(0, 0, -d)$. Координаты точек изображения $A'(H', 0, f)$ и $B'(0, 0, f)$, где $H' = -fH/d$,

$$\frac{1}{d} + \frac{1}{f} = \frac{1}{F}, \quad (11.3.1)$$

где F — фокусное расстояние линзы.

Если $d > 0$, $f > 0$, то имеем действительные предмет и изображение. Если $d < 0$, $f < 0$, то предмет и изображение мнимые.

Толстая линза представляет собой стекло с коэффициентом преломления n , ограниченное двумя сферическими поверхностями радиусами R_1 и R_2 . Фокусное расстояние линзы в вакууме

$$\frac{1}{F} = (n - 1) \left(\frac{1}{R_1} + \frac{1}{R_2} \right). \quad (11.3.2)$$

Для выпуклых поверхностей радиус кривизны сферы положителен, для вогнутых — отрицателен.

11.3.1. На рис. 11.3.1*a* изображен точечный источник света S и его изображение S' , формируемое линзой с главной оптической осью ab . Определите тип, положения линзы и главного фокуса линзы.

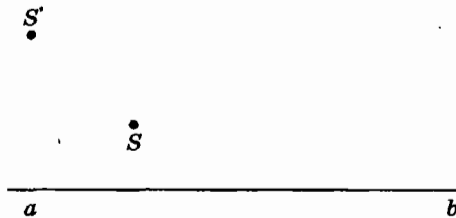


Рис. 11.3.1*a*

11.3.2. Фокусное расстояние рассеивающей линзы $F = -F_0$. Постройте изображение точки S , находящейся слева от линзы на расстоянии F_0 .

11.3.3. Заданы положение, оптический центр собирающей линзы и траектория луча ABC (рис. 11.2.3*a*). Найдите положения главных фокусов линзы.

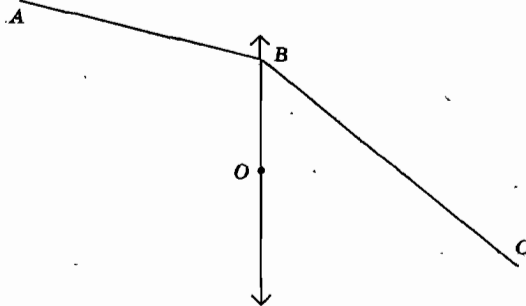


Рис. 11.3.3*a*

11.3.4. Заданы положения предмета — отрезка AB и его изображения A_1B_1 , принадлежащие параллельным прямым (рис. 11.3.4 *a*). Найдите положения линзы и главных фокусов.



Рис. 11.3.4а

11.3.5. Заданы положения рассеивающей линзы, главной оптической оси и фокуса линзы (рис. 11.3.5 *a*). Постройте изображение отрезка AB .

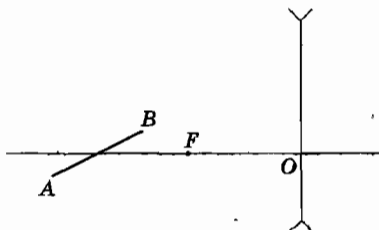


Рис. 11.3.5а

11.3.6. Докажите, что расстояние между двумя последовательными пересечениями луча с главной оптической осью собирающей линзы не может быть меньше $4F$.

11.3.7. Точечный источник света движется со скоростью $v(t)$ по прямой, расположенной на расстоянии H от главной оптической оси собирающей линзы. Фокусное расстояние линзы F , расстояние от плоскости линзы до источника $d(t) = F + s(t)$, $s(t) > 0$. Найдите скорость движения изображения $\bar{u}(t)$.

11.3.8. На главной оптической оси собирающей линзы с фокусным расстоянием $F = 20$ см находится точечный источник света на расстоянии $d = 80$ см от линзы. Линзу переместили в направлении, перпендикулярном оси на расстояние $h = 5$ см. Определите расстояние s , на которое необходимо переместить источник, чтобы его изображение совпало с первоначальным изображением.

11.3.9. На собирающую линзу падает луч, пересекающий главную оптическую ось на расстоянии $d = 7$ см под углом $\alpha = 4^\circ$. Выхо-

дящий из линзы луч пересекает главную оптическую ось под углом $\beta = 3^\circ$. Найдите фокусное расстояние линзы.

11.3.10. Источник света находится на главной оптической оси собирающей линзы на расстоянии $d = 15$ см от линзы. На экране, расположенном перпендикулярно оси на расстоянии $L_1 = 5$ см от линзы наблюдается освещенный круг. Если экран расположить на расстоянии $L_2 = 10$ см, то радиус пятна не изменится. Найдите фокусное расстояние линзы F .

11.3.11. Сходящийся световой пучок падает на рассеивающую линзу с фокусным расстоянием $F_p = -F_0$ и пересекается в точке, лежащей в фокальной плоскости линзы. Определите расстояние f от линзы, на котором соберется пучок, если заменить рассеивающую линзу собирающей с фокусным расстоянием $F_c = F_0$.

11.3.12. С левой стороны рассеивающей линзы падает сходящийся пучок лучей. Координаты вершины сходящегося пучка $A(H, 0, 2F_0/3)$, фокусное расстояние линзы $F = -F_0$. Найдите координаты изображения A' точки A .

11.3.13. Рассеивающая тонкая линза вставлена в круглое отверстие радиусом r в непрозрачной плоскости. Точечный источник света находится на главной оптической оси на расстоянии a от плоскости линзы. Фокусное расстояние $F = -F_0$. Найдите радиус R освещенной области на экране, расположенном на расстоянии s от линзы.

11.3.14. Между двумя точечными источниками света, расположенными на главной оптической оси, помещена собирающая линза. Расстояние между источниками $l = 24$ см, фокусное расстояние линзы $F = 9$ см. Найдите расстояние d между первым источником и линзой, если изображения источников совпадают.

11.3.15. Диапозитив находится на расстоянии $d = 22$ см от объектива с фокусным расстоянием $F = 20$ см. При смещении диапозитива на величину $s = 0,5$ см изображение на экране теряет контрастность. Найдите величину смещения экрана x для восстановления контрастности изображения.

11.3.16. Предмет представляет собой отрезок, перпендикулярный главной оптической оси собирающей линзы. При перемещении линзы между предметом и экраном получены два изображения высотой h_1 и h_2 . Найдите длину отрезка.

11.3.17. Фокусное расстояние линзы F . Луч пересекает главную оптическую ось собирающей линзы на расстоянии $a < F$ от линзы под

углом α . Найдите угол β , между преломленным лучом и оптической осью.

11.3.18. Отрезок ab , параллельный главной оптической оси рассеивающей линзы, расположен на расстоянии H от оси. Фокусное расстояние линзы $F = -F_0$, длина отрезка $-s$, ближний к линзе конец отрезка a расположен на расстоянии $d > F_0$ от плоскости линзы. Найдите длину изображения l ($H = 4$ см, $F_0 = 3$ см, $s = 4$ см, $d = 5$ см).

11.3.19. Отрезок A_0B_0 , лежащий на главной оптической оси собирающей линзы с фокусным расстоянием F , сместили в положение A_1B_1 (рис. 11.3.19а). Отношение длины изображения отрезка A_1B_1 к длине изображения отрезка A_0B_0 равно k . Найдите величину смещения отрезка h .

11.3.20. На рис. 11.3.20 предмет в виде стрелки MN находится на прямой, проходящей через главный фокус собирающей линзы с фокусным расстоянием $F = s$. Координаты точек: $M(H/2, 0, -3s/2)$, $N(H, 0, -2s)$. Найдите координаты точек изображения M' и N' .

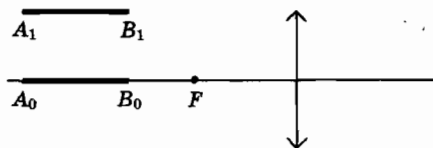


Рис. 11.3.19 а

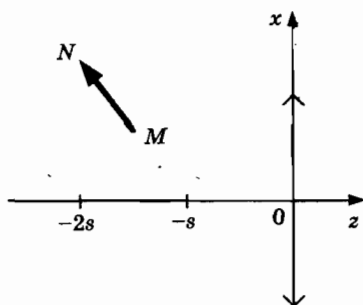


Рис. 11.3.20

11.3.21. Центр квадрата $ABCD$ с длиной стороны F находится на главной оптической оси на расстоянии $2F$ от собирающей линзы. Стороны AB и CD параллельны оси. Фокусное расстояние линзы F . Найдите отношение k площади изображения к площади квадрата.

11.3.22. Центр квадрата $ABCD$ с длиной стороны F находится на главной оптической оси на расстоянии $2F$ от собирающей линзы. Диагональ AC параллельна плоскости линзы. Найдите отношение k площади изображения к площади квадрата.

11.3.23. На главной оптической оси собирающей линзы расположены три точки A_1, A_2 и A_3 . Длины отрезков $A_1A_2 = a$, $A_2A_3 = b$, $a = 0,1$ м,

$b = 0,2$ м. Изображением точки A_1 является точка A_2 , точки A_2 — точка A_3 (рис. 11.3.23). Найдите фокусное расстояние линзы.

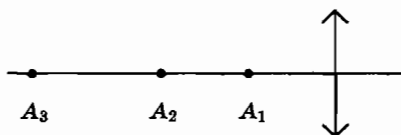


Рис. 11.3.23

11.3.24. На сколько диоптрий ΔD возрастает оптическая сила хрусталика при переводе взгляда с очень удаленного предмета на предмет, находящийся на расстоянии наилучшего зрения $d_0 = 0,25$ м.

11.3.25. Оптическая сила очков дедушки равна $D_1 = 4$ дптр, оптическая сила очков внучки $D_2 = -2$ дптр. Внучка взяла очки у дедушки и читает книгу на максимальном расстоянии s , не утомляя глаза. Найдите величину расстояния s .

11.3.26. Человек четко видит без очков изображение своего лица в плоском зеркале, располагая зеркало на расстоянии $d_0 = 25$ см. Найдите оптическую силу очков D , которыми обычно пользуется человек.

11.3.27. Близорукий и дальнозоркий обменялись очками. Дальнозоркий обнаружил, что может четко видеть бесконечно удаленные предметы. Найдите расстояние s , на котором близорукий может без напряжения читать.

11.3.28. Оптические силы очков близорукого и дальнозоркого соответственно равны $D_1 = -2$ дптр, $D_2 = 4$ дптр. Близорукий и дальнозоркий обменялись очками. Найдите расстояние s , на котором близорукий может без напряжения читать.

11.3.29. Луна. Предмет высотой H , рассматриваемый с расстояния наилучшего зрения d_0 , виден под углом $\alpha \approx \text{tg} \alpha = H/d_0$. Если мелкие детали предмета плохо различимы с этого расстояния, то приходится приближать предмет к глазу. Для того чтобы не переутомлять глаз, применяют собирающую линзу. Фокусное расстояние линзы F . Найдите коэффициент увеличения.

А. Предмет расположен так, что изображение в лупе возникает на расстоянии наилучшего зрения $f = -d_0$.

Б. Предмет расположен в фокальной плоскости линзы.

11.3.30*. На тонкую собирающую линзу падает плоская линейно поляризованная монохроматическая волна параллельно главной оп-

тической оси. Радиус линзы R , фокусное расстояние F , длина волны λ . В фокусе линзы находится объект. В результате рассеяния плоской волны возникает сферическая волна с центром в фокусе. Плоский экран находится на расстоянии s , $s \gg F$ от плоскости линзы (рис. 11.3.30). Найдите радиусы r_n светлых интерференционных колец на экране в области $r_n \ll s$.

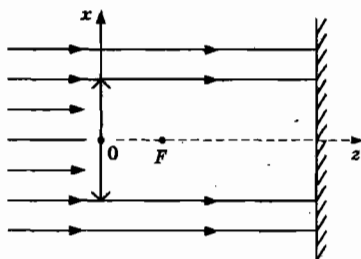


Рис. 11.3.30

11.3.31. Билинза Бийе. Выпуклая линза разрезана на две поперечные части, раздвинутые в направлении, перпендикулярном оптической оси на расстояние $h = 0,1$ см (рис. 11.3.31 *a*). Радиус линзы $R = 2,4$ см, фокусное расстояние $F = 10$ см. Точечный источник света, находящийся на расстоянии $d = 10,5$ см от плоскости линзы, образует два действительных изображения. Найдите расстояние L от плоскости линзы до границы области, в которой можно наблюдать интерференцию световых пучков.

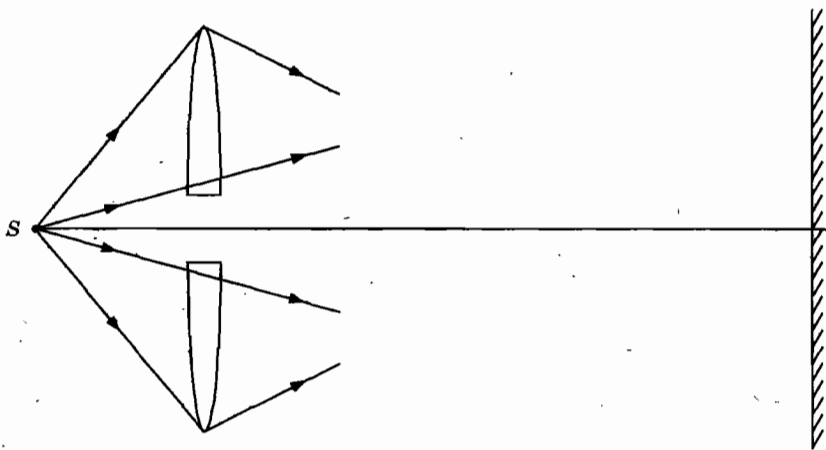


Рис. 11.3.31 *a*

11.3.32. Мениск Амичи (Д.Б. Амичи, 1850 г.): На рис. 11.3.32 *a* изображена толстая выпукло-вогнутая линза — среда с коэффициентом преломления n , ограниченная сферической поверхностью радиусом R с центром в точке O и сферической поверхностью с центром в точке S , $OS = R/n$. Точка B находится на расстоянии $OB = R$ от оптической оси линзы. Источник излучения расположен в точке S . Найдите изображение источника S и предельный угол γ_m между оптической осью линзы и лучом, проходящим через точку B .

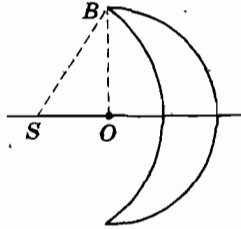


Рис. 11.3.32 *a*

11.3.33–11.3.34. Показатель преломления плосковыпуклой стеклянной линзы, изображенной на рис. 11.3.33, равен n , радиус сферической поверхности R , максимальная толщина линзы $h \ll R$. Источник света находится в точке $S(H, 0, -d)$, фотодетектор — в точке $P(H', 0, f)$.

11.3.33. Получите формулу линзы, используя принцип Ферма для параксиального пучка лучей, исходящих от точечного предмета.

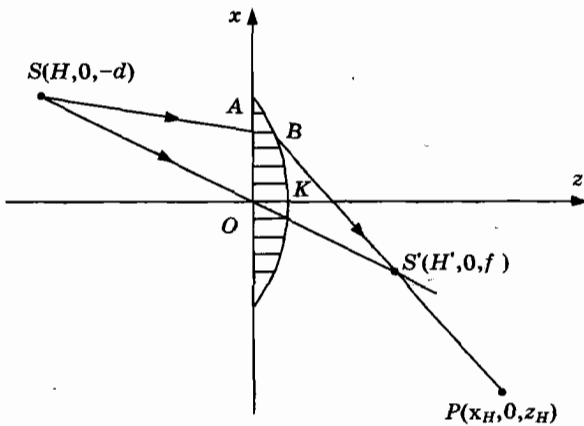


Рис. 11.3.33

11.3.34. Полупространство $z < 0$ заполнено средой с показателем преломления n_0 . Покажите, что формула линзы имеет вид $n_0/d + 1/f = 1/F$.

11.3.35. Плосковыпуклая тонкая линза с фокусным расстоянием F приложена плоской поверхностью к плоскопараллельной пластине толщиной h . Коэффициент преломления материала пластины n_0 . На линзу падает параллельный пучок лучей — плоская волна. Найдите расстояние s от передней грани пластины до точки фокусировки пучка.

11.3.36. Определите оптическую силу очков D , если человек видит в воде без усилий глазных мышц.

11.4. Оптические системы и приборы

Оптическая система состоит из нескольких линз и зеркал. Для определения положения изображения некоторого объекта сначала необходимо найти изображение объекта, создаваемое первой линзой или зеркалом. При этом остальная часть оптической системы не принимается во внимание. На выходе первого элемента каждая точка объекта формирует сходящийся или расходящийся пучок лучей. В первом случае точка пересечения лучей — *действительное изображение*, во втором — точка пересечения продолжения лучей в направлении, противоположном направлению распространения света, — *мнимое изображение*. Вышедший из первого элемента пучок света падает на следующий элемент, т.е. представляет для этого элемента предмет мнимый или действительный. Аналогичную процедуру выполняем последовательно для каждого элемента оптической системы. В результате получаем изображение объекта, создаваемое оптической системой.

Оптическая сила линзы. Величину $D = 1/F$ называют *оптической силой линзы*. Оптическая сила тонких линз, сложенных вплотную, равна сумме оптических сил линз.

Телескоп Галилея. На торцах трубки длиной $L = F_{\text{об}} - F_{\text{ок}}$ закреплены собирающая и рассеивающая линзы — объектив и окуляр, где фокусные расстояния линз $F_{\text{об}}, F_{\text{ок}}$.

Телескоп Кеплера. На торцах трубки длиной $L = F_{об} + F_{ок}$ закреплены две собирающие линзы – длиннофокусный объектив и короткофокусный окуляр, где фокусные расстояния линз $F_{об}, F_{ок}$.

$$\text{Увеличение угла зрения } k = \frac{\alpha'}{\alpha} = \frac{F_{об}}{F_{ок}}.$$

11.4.1. Секстант. Два плоских зеркала M_1 и M_2 , образующих двугранный угол α , обладают замечательным свойством. Пусть α_1 – угол падения луча SM_1 на первое зеркало, α_2 – угол падения отраженного луча M_1M_2 на второе зеркало (рис. 11.4.1 а). Найдите угол θ между отраженным лучом M_2K и падающим на систему лучом SM_1 .

11.4.2. На оправе собирающей линзы находится точечный источник света S . Каким образом надо расположить плоское зеркало, чтобы лучи света, отразившись от него и пройдя через линзу, вышли из нее параллельным пучком в направлении, указанном стрелкой (рис. 11.4.2 а).

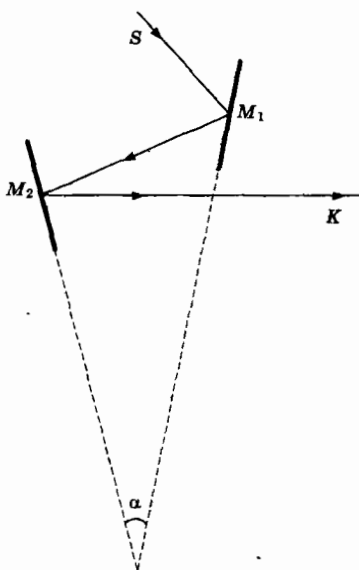


Рис. 11.4.1 а



Рис. 11.4.2 а

11.4.3. На собирающую линзу с фокусным расстоянием F падает солнечный свет. К центру собирающей линзы прикрепили небольшой кусочек бумаги. Найдите расстояние s , на котором следует расположить плоское зеркало, чтобы поджечь бумагу.

11.4.4. За рассеивающей линзой с фокусным расстоянием $F = -F_0$ расположено вогнутое зеркало. Расстояние полюса зеркала от линзы s . Найдите радиус кривизны зеркала R , если пучок лучей, параллельных главной оптической оси, отражается в обратном направлении.

11.4.5. А. Вогнутая сторона плосковогнутой тонкой линзы с коэффициентом преломления $n = 1,5$ и радиусом кривизны $R = 30$ см посеребрена. Найдите фокусное расстояние F этой системы.

Б. Плоская поверхность плосковогнутой линзы с фокусным расстоянием $F = -F_0$ посеребрена. На расстоянии F_0 от полученного зеркала расположен предмет высотой H . Найдите высоту изображения предмета h .

11.4.6. Предмет находится на расстоянии $d_1 = F/2$ от собирающей линзы с фокусным расстоянием F . Поставим за линзой на расстоянии h от нее плоское зеркало. Найдите расстояние f_3 от линзы до изображения.

11.4.7. Оптическая система состоит из собирающей линзы с фокусным расстоянием $F = 20$ см и плоского зеркала. Точечный источник света находится на главной оптической оси на расстоянии $d = 40$ см от линзы. Найдите расстояние h от линзы до зеркала, если после отражения от зеркала и прохождения через линзу из системы выходит параллельный пучок света.

11.4.8-11.4.9*. Оптическая система состоит из собирающей линзы с фокусным расстоянием $F = s$ и плоского зеркала, расположенного перпендикулярно главной оптической оси на расстоянии s от линзы.

11.4.8. Предмет помещают в фокальную плоскость. Изображение предмета:

А. Действительное, прямое, на расстоянии s от линзы.

Б. Мнимое, прямое, на расстоянии $2s$ от линзы.

В. Действительное, перевернутое, на расстоянии s от линзы.

Г. Действительное, перевернутое, на расстоянии $s/2$ от линзы.

Д. Действительное, перевернутое, на расстоянии $2s$ от линзы.

11.4.9. Линза с фокусным расстоянием $F = s$ находится на расстоянии s с левой стороны от плоского зеркала. Предмет помещают слева перед линзой на расстоянии $d > s$. Изображение мнимое, перевернутое, находится справа на расстоянии s от линзы. Найдите расстояние d .

11.4.10. Оптическая система состоит из собирающей линзы с фокусным расстоянием $F = 8$ см и плоского зеркала, расположенного перпендикулярно главной оптической оси на расстоянии $h = 12$ см от линзы. Изображение точечного источника света на главной оптической оси совпадает с самим источником. Найдите расстояние от источника до линзы d .

11.4.11. На главной оптической оси на расстоянии a с левой стороны от собирающей линзы находится предмет длиной h , перпендикулярный оси. Фокусное расстояние линзы F . С правой стороны от линзы на расстоянии b установлено плоское зеркало перпендикулярно оси. Найдите расстояния f_3 от линзы до изображения и длину изображения h_3 .

11.4.12. Оптическая система состоит из собирающей линзы с фокусным расстоянием F и плоского горизонтального зеркала, расположенного за линзой параллельно главной оптической оси (рис. 11.4.12). Координаты точечного источника света $S(H, 0, -d)$. Изображения источника S' находится на главной оптической оси. Найдите расстояние s от зеркала до оси линзы.

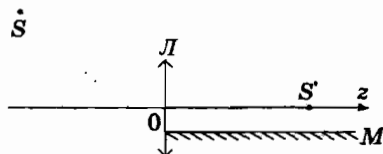


Рис. 11.4.12

11.4.13. Оптическая система состоит из собирающей линзы с фокусным расстоянием F и зеркала в форме двухгранного прямого угла (рис. 11.4.13 а). Вершина угла находится на расстоянии F от центра линзы. Точечный источник света A расположен на расстоянии $3F/2$ от линзы. Найдите расстояние f_4 от линзы до изображения источника света.

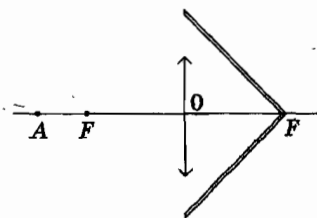


Рис. 11.4.13 а

11.4.14. Точечный источник света находится на главной оси собирающей линзы с фокусным расстоянием F . Между источником и линзой помещают стеклянную призму с преломляющим углом $\alpha \ll 1$. Коэффициент преломления стекла n . Расстояние между источником и призмой s , между призмой и линзой F . Найдите расстояние b от линзы до изображения источника.

11.4.15. С помощью тонкой собирающей линзы с фокусным расстоянием $F = 12$ см получено изображение предмета. Когда к линзе вплотную приложили такую же линзу, то линейное увеличение не изменилось. Найдите расстояние от предмета до линзы.

11.4.16. Собирающая и рассеивающая линзы имеют общую оптическую ось. Фокусные расстояния равны соответственно $F_1 = a$, $F_2 = -b$, $a > b$. Пучок лучей, параллельных оси, после прохождения системы остается параллельным оси. Найдите расстояние s между линзами.

11.4.17. Оптическая система состоит из рассеивающей и собирающей линз с фокусными расстояниями $F_1 = -F_0$, $F_2 = F_0$, $F_0 = 10$ см. Линзы расположены на расстоянии $s = 25$ см друг от друга. Точечный источник света находится на главной оптической оси. Найдите расстояние d от источника до собирающей линзы, если из системы выходит параллельный пучок света.

11.4.18. На рис. 11.4.18 изображена «собирающая» линзовая линия, состоящая из собирающих и рассеивающих линз. Расстояния между линзами $h = s$. Источник находится на расстоянии $2s$ от первой линзы. Найдите фокусные расстояния линз.

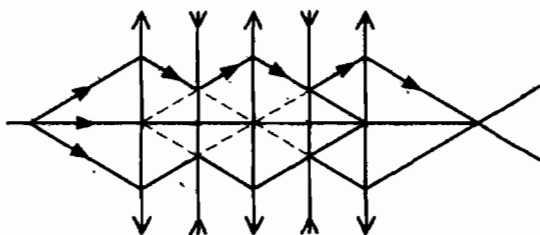


Рис. 11.4.18

11.4.19. Получено изображение стрелки собирающей линзой. К линзе приложили такую же линзу и получили изображение стрелки такой же длины, как в первом случае. Найдите коэффициент увеличения стрелки k .

11.4.20. Предмет в виде стрелки, перпендикулярной главной оптической оси собирающей линзы объектива фотоаппарата находится на расстоянии $d = 50$ см от линзы. Фокусное расстояние $F = 5$ см. Объектив присоединили к насадке. В результате линза оказалась смещенной в направлении предмета на расстояние $s = 2,5$ см. Найдите отношение размеров изображения стрелки h_2/h_1 .

11.4.21. Оптическая система состоит из двух собирающих линз L_1 и L_2 с общей главной оптической осью и фокусными расстояниями $F_1 = s$ и $F_2 = 2s$. Расстояние между линзами $L = 3s$. Точечный предмет находится на расстоянии $d > s$ от линзы L_1 . Мнимое изображение предмета, формируемое системой, находится в общей фокальной плоскости линз L_1 и L_2 . Найдите расстояние d .

11.4.22. В плоскости, пересекающей задний главный фокус собирающей линзы с фокусным расстоянием F , поместили рассеивающую линзу. Предмет находится на расстоянии $d_1 = 3F$ от собирающей линзы. Система формирует действительное перевернутое изображение с коэффициентом увеличения $k = -2$. Найдите фокусное расстояние рассеивающей линзы F_p .

11.4.23. В плоскости, пересекающей задний главный фокус рассеивающей линзы с фокусным расстоянием $F_p = -F_0$, поместили собирающую линзу с фокусным расстоянием $F_c = F_0$. Предмет находится по другую сторону от рассеивающей линзы на расстоянии d_1 . Система формирует действительное перевернутое изображение с коэффициентом увеличения $k = -1$. Найдите расстояние d_1 от предмета до линзы.

11.4.24. Оптическая система состоит из собирающей и рассеивающей линз с фокусными расстояниями $F_c = F$, $F_p = -F$. Линзы расположены на расстоянии $s = 3F/2$ друг от друга. Предмет с координатами $(h, 0, -3F/2)$ находится на главной оптической оси (рис. 11.4.24). Найдите координаты изображения предмета.

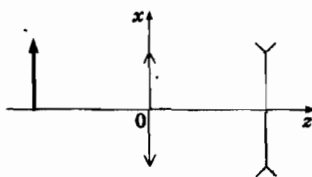


Рис. 11.4.24

11.4.25. На расстоянии $2F$ от собирающей линзы L_1 с фокусным расстоянием F находится светящийся предмет (рис. 11.4.25). Освещенность четкого изображения на экране $J_1 = J_0$. Между линзой L_1 и экраном поставили рассеивающую линзу L_2 с фокусным расстоянием $F_2 = -2F$. Для получения контрастного изображения предмета экран передвинули на расстояние равное F . Определите освещенность нового изображения J_2 :

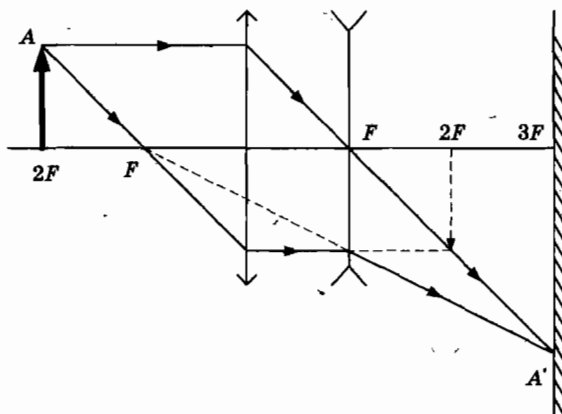


Рис. 11.4.25

11.4.26. На главной оптической оси на расстоянии $d = 3F/2$ от собирающей линзы находится точечный источник света. За линзой в ее фокальной плоскости расположена рассеивающая линза. Расстояния между главными оптическими осями линз равно h , фокусные расстояния линз $F_c = F$, $F_p = -F$. Найдите расстояние s между источником и изображением, формируемым оптической системой.

11.4.27. В плоскости, проходящей через главную оптическую ось рассеивающей линзы, падает луч света на расстоянии h от центра линзы. Падающий и преломленный лучи образуют углы α с главной оптической осью. Преломленный луч падает на собирающую линзу, расположенную в фокусе рассеивающей линзы (рис. 11.4.27 а). Главные оси линз совпадают, модули фокусных расстояний одинаковы. Найдите расстояние s от собирающей линзы, на котором луч пересечет главную оптическую ось.

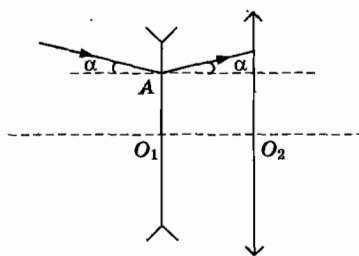


Рис. 11.4.27а

11.4.28. Две собирающие линзы с фокусными расстояниями $F = 16$ см каждая находятся на общей главной оптической оси и расположены на двойном фокусном расстоянии друг от друга. Источник света находится на главной оптической оси на расстоянии $d = 40$ см от первой линзы. Найдите расстояние f_2 от изображения источника до второй линзы.

11.4.29*. Две тонкие собирающие линзы с общей главной оптической осью имеют фокусное расстояние $F_1 = 10$ см и $F_2 = 12$ см и расположены на расстоянии $h = 35$ см. Предмет расположен на расстоянии $s = 30$ см от первой линзы.

А. Определите положение изображения и линейное увеличение системы.

Б. Опишите новые свойства системы, если поставить собирающую линзу L_3 справа от первой линзы на расстоянии $s = 15$ см.

11.4.30*. «Толстая» линза. Оптическая система собрана из двух тонких собирающих линз, расположенных на главной оптической оси на расстоянии L друг от друга. Фокусные расстояния линз, изображенных на рис. 11.4.30а, равны соответственно F_1 и F_2 . Два луча a и b , входят в систему параллельно оптической оси. На выходе из системы лучи a' и b' пересекаются в точке C . Точка D представляет собой точку пересечения продолжения луча a и луча a' .

В теории толстых линз плоскость P' , проходящую через точку D перпендикулярно главной оптической оси называют *задней главной плоскостью*, а плоскость F_s , проходящую через точку C перпендикулярно главной оптической оси называют *задней фокальной плоскостью*. Аналогичный анализ распространения лучей, входящих в систему справа, позволяет определить положение передней главной плоскости P и передней фокальной плоскости F . Положения предме-

та и изображения определяются расстоянием d до передней и расстоянием f до задней главной плоскости. Найдите оптическую силу системы линз $1/F$ и получите формулу толстой линзы.

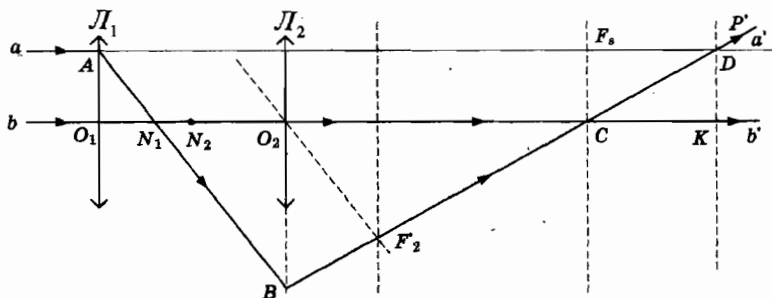


Рис. 11.4.30 а

11.4.31*–11.4.33*. Толстая линза. Половинка стеклянного шара радиусом R используется в качестве линзы. Коэффициент преломления n . На рис. 11.4.31 а параксиальный пучок света, параллельный главной оптической оси падает на плоскую поверхность полушара. В теории толстых линз плоскость, перпендикулярную главной оси и проходящую через точку пересечения продолжения луча a с преломленным лучом, называют *задней главной плоскостью*. Плоскость, проходящую через точку пересечения преломленного луча с главной осью, – *задней фокальной плоскостью*. Расстояние между этими плоскостями представляет собой фокусное расстояние линзы F . На рис. 11.4.31 б изображено сечение передней главной плоскости.

11.4.31. Найдите фокусное расстояние F и расстояние PK_2 между плоскостью, касательной к сфере и задней главной плоскостью (рис. 11.4.31 а).

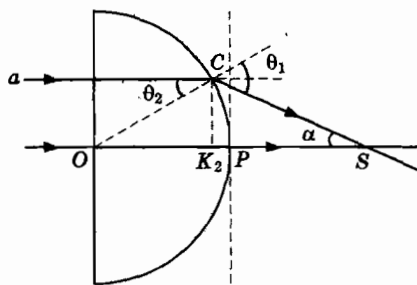


Рис. 11.4.31 а

11.4.32. Найдите фокусное расстояние F и расстояние OK_1 между плоской поверхностью линзы и передней главной плоскостью (рис. 11.4.31 б).

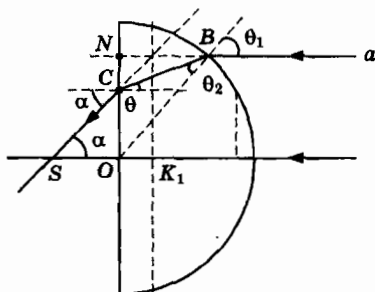


Рис. 11.4.31 б

11.4.33. Точечный объект A_1 находится на главной оптической оси. В теории толстых линз расстояние d от линзы равно A_1K_1 , расстояние f до изображения A_2 равно K_2A_2 (рис. 11.4.31 в). Получите формулу линзы, связывающую d, f и F .

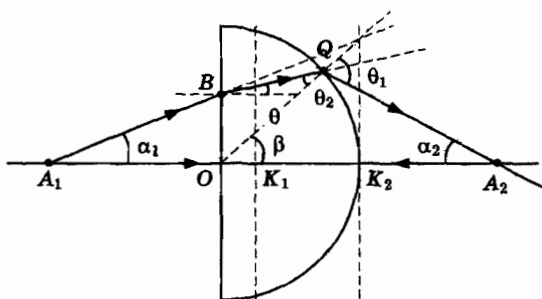


Рис. 11.4.31 в

11.4.34-11.4.37. **Стеклянный шар — микроскоп Левенгука.** Стеклянный шар используют в качестве линзы. Радиус шара R , коэффициент преломления стекла n .

11.4.34. Найдите фокусное расстояние линзы в параксиальном приближении.

11.4.35. **Формула толстой линзы.** Покажите, что в параксиальном приближении выполняется соотношение $1/d + 1/f = 1/F$, где d и f — расстояния от центра шара до предмета и изображения, $1/F = 2(n - 1)/nR$.

11.4.36. Найдите расстояние x от поверхности стеклянного шара до точечного предмета на оптической оси, если изображение находится с другой стороны шара на том же расстоянии.

11.4.37. Человек смотрит на рыбку, находящуюся в диаметрально противоположной от него стороне сферического аквариума радиусом R . Найдите положение изображения рыбки относительно центра сферы f . Показатель преломления воды $n = 4/3$.

11.4.38. Человек смотрит на рыбку, плывущую навстречу вдоль диаметра большого круга сферического аквариума радиусом R . Проекция скорости рыбки равна v . Найдите проекцию скорости изображения u в точках A_1, A_2, A_3 (рис. 11.4.38 *a*). Показатель преломления воды $n = 4/3$.

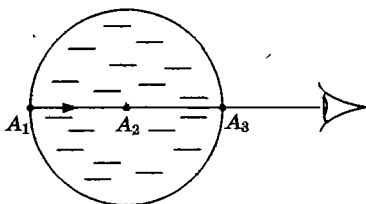


Рис. 11.4.38 *a*

11.4.39. Микроскоп. Простейший микроскоп состоит из трубки — трубки длиной L , на концах которой закреплены две собирающие линзы — объектив и окуляр с фокусными расстояниями $F_{об}$, $F_{ок}$. Рассматриваемый предмет помещается перед объективом между фокусом и двойным фокусным расстоянием ближе к фокусу. Наблюдатель рассматривает изображение предмета через окуляр, играющий роль лупы, с угловым увеличением $d_0/F_{ок}$, $d_0 = 0,25$ м. Найдите коэффициент увеличения микроскопа.

11.4.40. В театральном бинокле, дающем пятикратное увеличение, расстояние между линзами $s = 12$ см. Найдите величину фокусного расстояния окуляра $F_{ок}$.

11.4.41—11.4.42. Телескоп Галилея. Фокусные расстояния объектива и окуляра $F_{об}$, $F_{ок}$. Если предмет находится на расстоянии $d \gg F_{об}$, то от каждой точки предмета в объектив приходит практически параллельный пучок лучей. На рис. 11.4.41 изображены лучи от верхней точки удаленного предмета, образующие угол α с оптической осью.

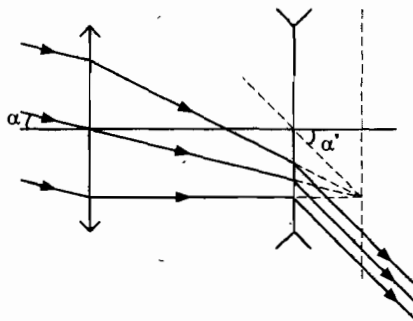


Рис. 11.4.41

11.4.41. Найдите угловое увеличение системы.

11.4.42. Разрешающая способность глаза $\alpha' \sim 1,22\lambda/D_{\text{зр}}$, $D_{\text{зр}}$ – диаметр зрачка, разрешающая способность объектива $\alpha \sim 1,22\lambda/D_{\text{об}}$, $D_{\text{об}}$ – диаметр объектива. Найдите значение фокусного расстояния окуляра, при котором можно полностью использовать разрешающую способность телескопа.

Глава XII. ОСНОВЫ ТЕОРИИ ОТНОСИТЕЛЬНОСТИ

12.1. Преобразование Лоренца

Преобразование Лоренца. В 1905 г. А. Эйнштейн предположил, что все уравнения физики должны сохранять форму при преобразовании координат и времени события в инерциальной системе K и системе K' , движущейся со скоростью $\vec{u} = (u, 0, 0)$ относительно системы K :

$$\begin{aligned}x &= \gamma(ut' + x'), & y &= y', & z &= z', & (12.1.1) \\ct &= \gamma(ct' + ux'/c), \\ \gamma &= 1/(1 - \beta^2)^{1/2}, & \beta &= u/c.\end{aligned}$$

Обратное преобразование координат системы K в координаты системы K' можно получить из (12.1.1) заменой $x \leftrightarrow x', y \leftrightarrow y', z \leftrightarrow z', t \leftrightarrow t', u \rightarrow -u$:

$$x' = \gamma(-ut + x), \quad y = y', \quad z = z', \quad ct' = \gamma(ct - ux/c). \quad (12.1.2)$$

Время, отсчитываемое по часам, движущимся вместе с данным объектом, называется *собственным* временем этого объекта.

Графики уравнений движения частиц в плоскости $x_0 = ct, x$ называются *мировыми линиями*, а любая точка (x, x_0) на этих графиках называется *событием*.

При преобразовании Лоренца остается неизменной, т.е. сохраняется в любой инерциальной системе величина s_{12} , называемая *интервалом* между событиями с координатами (ct_1, x_1) и (ct_2, x_2) :

$$s_{12} = \sqrt{(ct_2 - ct_1)^2 - (x_2 - x_1)^2}. \quad (12.1.3)$$

Для двух событий с координатами $(0, 0)$ и (ct, x) должно выполняться равенство

$$(ct)^2 - (x)^2 = (ct')^2 - (x')^2. \quad (12.1.4)$$

12.1.1. Доказательство Эйнштейна преобразования Лоренца. Получите преобразование Лоренца, исходя из утверждения — во всех инерциальных системах отсчета скорость света равна c .

12.1.2. Докажите справедливость равенства (12.1.4).

12.1.3. Изобразите в декартовых осях x_0x ($x_0 = ct$) в системе отсчета K оси координат $x_0'x'$, связанные с системой отсчета K' .

12.1.4–12.1.6. Два эффекта теории относительности.

12.1.4. Замедление времени. В началах координат систем K и K' находятся часы. Через интервал собственного времени τ стрелка переходит к соседнему делению. Система K' движется со скоростью u . Ось x' является мировой линией движущихся часов в системе K . Докажите, что всегда отстают те часы, которые движутся относительно другой инерциальной системы отсчета.

12.1.5. Лоренцово сокращение продольных размеров. В системах K и K' на осях x и x' находятся стержень и линейка — эталоны длиной λ . Система K' движется со скоростью u . Докажите, что всегда короче тот объект, который движется относительно другой инерциальной системы отсчета.

12.1.6. А. Отложим на временной оси системы координат K единицу масштаба — эталон периода τ . Найдите в осях x_0x геометрическое место точек всех возможных единичных точек в инерциальных системах отсчета.

Б. В системе K на оси x находится линейка — эталон длиной λ . Найдите в осях x_0x геометрическое место точек всех возможных единичных точек в инерциальных системах отсчета.

12.1.7. В 1937 г. в космических лучах были обнаружены нестабильные элементарные заряженные частицы — *мюоны* (устаревшее название — μ -мезоны, от греч. *mesos* — средний) массой равной 207 массам электрона. Время жизни мюона $\tau = 2,2$ мкс. Рассмотрим мюоны, образовавшиеся на высоте $H = 60$ км в момент времени $t_1 = 0$. Одна восьмая часть от их общего числа достигают поверхности Земли. Предположим, что все мюоны летят вертикально вниз с одинаковой скоростью. Найдите время полета мюонов t_2 по часам наблюдателя, находящегося на Земле, и величину скорости мюонов u .

12.1.8. Эксперимент Майкельсона. В 1881 г. для измерения скорости Земли относительно эфира А. Майкельсон использовал интерферометр, изображенный на рис.12.1.8 а: Длина каждого «плеча» прибора равна λ , t_2 , t_1 — время распространения волн по плечам прибора.

А. Найдите «разность фаз» интерферирующих волн $\Delta\phi = ct_2 - ct_1$, в рамках классической физики.

Б. Найдите «разность фаз» интерферирующих волн $\Delta\varphi = ct_2 - ct_1$, в рамках релятивистской физики.

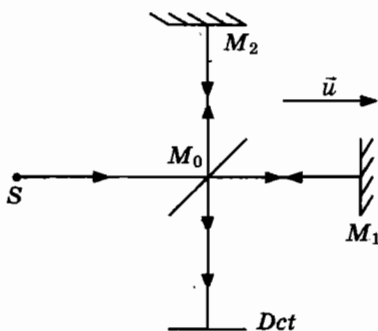


Рис. 12.1.8 а

12.1.9*. Парадокс шеста и сарая. Шест длиной $\lambda = 20$ м движется со скоростью $u = c\sqrt{3}/2$ относительно системы K . Поскольку $\gamma = 2$, то в системе K его длина $l = \lambda/\gamma$, $l = 10$ м. Тогда в некоторый момент времени в системе K шест целиком помещается в сарае длиной $l = 10$ м. Однако в системе K' , связанной с шестом, длина сарая равна $l' = 5$ м. Как же может оказаться 20-метровый шест в 5-метровом сарае? Изобразите мировые линии концов шеста и границ сарая в системе K' .

12.1.10*. Движение со сверхсветовой скоростью. В настоящее время в научной литературе продолжается обсуждение проблемы существования частиц, движущихся со скоростью большей скорости света. Они получили название *таххионов* (от греч. *tachys* — быстрый). Анализ экспериментальных данных не позволяет пока говорить о реальности этих объектов. Покажите, что наблюдатель в системе K' обнаружит нарушение причинно-следственной связи событий.

12.1.11. Частица движется в однородном постоянном магнитном поле в плоскости $z = 0$ по окружности радиусом R :

$$x(t) = R \sin \omega t,$$

$$y(t) = R(1 - \cos \omega t).$$

В момент времени $t = 0$ скорость частицы $\vec{v} = (\omega R, 0, 0)$. Найдите уравнение траектории в системе K' , движущейся относительно системы K со скоростью \vec{v} .

12.1.12. Фотографирование стержня. Измерение длины стержня — процедура, не связанная с фотографированием стержня. Когда

мы видим или фотографируем какое-нибудь тело, мы регистрируем излучение, одновременно пришедшее к сетчатке или к фотопленке. Пусть на концах стержня a и b находятся источники света. Длина стержня λ . Найдите видимую длину стержня d .

12.1.13–12.1.14. Тело, к которому прикреплено зеркало, движется вдоль луча зрения наблюдателя, удаляясь от него.

12.1.13. Измерение скорости тела. Световой импульс, посланный к зеркалу неподвижным излучателем в момент времени t_1 , возвращается в момент времени t_3 . Найдите скорость тела u .

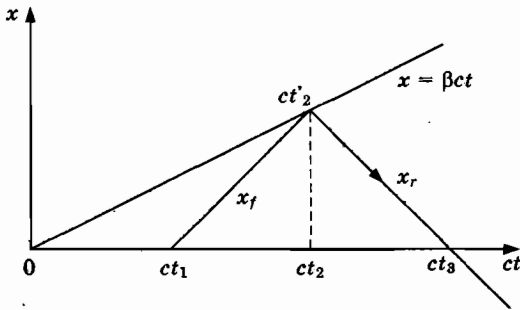


Рис. 12.1.13

12.1.14. Тело, к которому прикреплено зеркало, движется вдоль луча зрения наблюдателя, удаляясь от него со скоростью u . Наблюдатель после посылки сигнала в момент времени T поставил зеркало, которое отражает лучи обратно к движущемуся телу. Найдите последовательность моментов времени на осях ct и ct' , в которые световой импульс отражается от обоих зеркал.

12.1.15. Релятивистский эффект Доплера. Движущийся со скоростью u источник излучения посылает серию световых импульсов к наблюдателю, находящемуся в начале координат системы K . В системе K' световые импульсы излучаются с частотой $\nu' = 1/\tau$. Найдите частоту следования импульсов ν в неподвижной системе координат K .

12.1.16. Система отсчета K' связана с космическим кораблем, движущимся со скоростью $\vec{u} = (u, 0, 0)$, $u = 0,8 c$ вдоль оси x . В собственной системе отсчета астронавт находится в точке $x'_1 = 0, y'_1 = 0$ и посылает световой импульс к зеркалу, закрепленному в точке $x'_2 = \lambda, y'_2 = 0, \lambda = 1$ м.

А. Найдите промежуток времени распространения импульса t_2 до зеркала по часам неподвижного наблюдателя.

Б. Найдите промежуток времени распространения импульса t_3 от излучателя до зеркала и от зеркала к излучателю по часам неподвижного наблюдателя.

12.1.17. Система отсчета K' связана с космическим кораблем, движущимся со скоростью $\vec{u} = (u, 0, 0)$, $u = 0,6$ с вдоль оси x . Астронавт находится в точке $x_1' = 0$, $y_1' = 0$ и посылает световой импульс к зеркалу, закрепленному в точке $x_2' = 0$, $y_2' = \lambda$. Найдите промежуток времени распространения импульса t_2 до зеркала по часам неподвижного наблюдателя.

12.1.18. Преобразование скорости. В системе K' скорость частицы $\vec{v}' = (v'_x, v'_y, v'_z)$. Найдите скорость частицы в системе K .

12.1.19. Система отсчета K' движется относительно системы отсчета K со скоростью $\vec{u} = (u, 0, 0)$, $u = 0,8$ с. В системе K скорость частицы $\vec{v} = (0,5$ с, $c\sqrt{3}/2, 0)$. Найдите скорость частицы в системе K' .

12.1.20. Относительная скорость частиц. В неподвижной системе отсчета две частицы движутся со скоростями $\vec{v}_1 = (v_1, 0, 0)$ и $\vec{v}_2 = (v_2, 0, 0)$. Найдите относительную скорость частиц v_R .

12.1.21. Величина скорости каждой из частиц, движущихся по оси x в противоположные стороны, равна $0,5$ с. Найдите величину относительной скорости v_R .

12.1.22. Астронавт, движущийся со скоростью $u = 0,4$ с, наблюдает объект, обгоняющий его со скоростью $v_0 = 0,5$ с относительно корабля. Найдите скорость объекта v в неподвижной системе отсчета.

12.1.23. В неподвижной системе отсчета две частицы движутся со скоростями $\vec{v}_1 = (v_1, 0, 0)$ и $\vec{v}_2 = (v_2, 0, 0)$, где $v_1 = 0,98$ с, $v_2 = 0,99$ с. Найдите скорость второй частицы v_R в системе отсчета, связанной с первой частицей.

12.2. Релятивистские импульс и энергия частицы. Рождение новых частиц.

Энергия и импульс частицы. Эйнштейн ввел новые понятия – релятивистскую энергию E и релятивистский импульс \vec{p} частицы, движущейся со скоростью \vec{v} :

$$E = \frac{mc^2}{\sqrt{1-(v/c)^2}}, \quad \vec{p} = \frac{m\vec{v}}{\sqrt{1-(v/c)^2}}, \quad (12.2.1)$$

связанные соотношением

$$E^2 - (c \bar{p})^2 = (mc^2)^2. \quad (12.2.2)$$

По аналогии с ньютоновой механикой величину $T = E - mc^2$ называют *кинетической энергией*.

Преобразование энергии и импульса. Закон преобразования величин (E, \bar{p}) и (E', \bar{p}') , измеренных в системах K и K' , имеет форму (12.1.1):

$$E = \gamma (E' + c\beta p'_x), \quad (12.2.3)$$

$$p_x = \gamma \left(p'_x + \frac{\beta E'}{c} \right), \quad p_y = p'_y, p_z = p'_z.$$

Подставляя (12.2.3) в (12.2.2), мы получим соотношение

$$E^2 - (\bar{p} c)^2 = E'^2 - (\bar{p}' c)^2 = (mc^2)^2, \quad (12.2.4)$$

из которого следует, что масса частицы является *инвариантом*, т.е. одинакова во всех инерциальных системах отсчета.

Инвариантная масса системы частиц. Рассмотрим две невзаимодействующие частицы, массы которых m_1 и m_2 . Энергия и импульс этой системы $E = E_1 + E_2$, $\bar{p} = \bar{p}_1 + \bar{p}_2$. Можно говорить о составной частице массой M , движущейся со скоростью $\bar{v}_c = c^2 \bar{p} / E$, равной скорости центра масс двух частиц. В соответствии с (12.2.2) инвариантную массу найдем из соотношения

$$(Mc^2)^2 = (E_1 + E_2)^2 - (\bar{p}_1 + \bar{p}_2)^2 c^2. \quad (12.2.5)$$

Значение массы M одинаково во всех инерциальных системах отсчета.

Рождение частиц при столкновениях. Рассмотрим процесс рождения частиц массами m_a, m_b, \dots при столкновении двух частиц масс m_1 и m_2 . Если рождаются две частицы масс m_1 и m_2 , то процесс столкновения называется *упругим*. При *неупругих* столкновениях могут рождаться и новые частицы.

Законы сохранения энергии и импульса

$$E_1 + E_2 = E_a + E_b + \dots,$$

$$\bar{p}_1 + \bar{p}_2 = \bar{p}_a + \bar{p}_b + \dots \quad (12.2.6)$$

выполняются независимо от характера столкновений.

Учитывая (12.2.5), (12.2.6), заключаем, что при рождении новых частиц должно выполняться неравенство

$$M \geq m_x, \quad m_x = m_a + m_b + \dots \quad (12.2.7)$$

Из (12.2.7) можно найти значение пороговой энергии, т.е. наименьшее значение кинетической энергии сталкивающихся частиц, при котором рождаются частицы общей массой m_2 .

12.2.1. Два протона движутся навстречу друг другу со скоростями $\vec{v}_1 = (-v_0, 0, 0)$, $\vec{v}_2 = (v_0, 0, 0)$. Найдите относительную скорость v_d , исходя из инвариантности величины $E_1 E_2 - c^2 \vec{p}_1 \vec{p}_2 = const$.

12.2.2. На самом большом в мире линейном ускорителе встречных пучков (*Stanford Linear Collijer*, Стэнфорд, США, 1989 г.) электроны и позитроны приобретают кинетические энергии по $T = 50$ ГэВ (энергия покоя электрона $mc^2 = 0,5$ МэВ). Длина ускорителя $\lambda = 3,2$ км.

А. Найдите длину ускорителя λ' в системе отсчета, связанной с электронами или позитронами.

Б. Найдите скорость электронов или позитронов.

12.2.3. Кинетическая энергия частицы массой m равна $T = mc^2/4$. Найдите величину скорости частицы v .

12.2.4–12.2.5. Распад π^0 -мезона на два γ -кванта. Эта частица открыта в космических лучах в 1950 г. в результате анализа распределения фотонов по энергиям. Масса π^0 -мезона $m = 0,135$ ГэВ/ c^2 .

12.2.4. Распад неподвижного мезона. Найдите значения энергии фотонов $h\nu_{10}$, $h\nu_{20}$ в системе покоя.

12.2.5. Распад движущегося мезона. Импульс мезона в лабораторной системе отсчета \vec{p} , энергия E .

А. Найдите максимальное и минимальное значения энергии фотонов в π -системе.

Б. Скорость мезона $v = 0,8$ с. Скорости γ -квантов направлены по прямой, параллельной скорости мезона. Найдите отношение частот ν_2/ν_1 фотонов.

В. Найдите минимальный угол разлета γ -квантов при значении скорости $v = \sqrt{3}c/2$.

12.2.6*. Для того чтобы лучше понять смысл новых непривычных понятий, вернемся к задаче 1.7.16 из раздела «Механика». Рассмотрим упругое центральное столкновение частицы массой m_1 с неподвижной частицей массой m_2 . Импульс налетающей частицы $\vec{p}_1 = (p_1, 0, 0)$. Найдите кинетические энергии рассеянных частиц T_1' , T_2' . Сравните полученные результаты с решением задачи 1.7.16 и получите новую информацию о кинематике рассеяния релятивистских частиц.

12.2.7*. Упругое столкновение частиц. На неподвижную частицу массой $m_2 = m$ налетает частица массой $m_1 = m$, летящая с кинетической энергией T . Найдите минимальный угол разлета частиц α_m .

12.2.8. Рассеяние рентгеновских лучей на электронах. В начальном состоянии энергия и импульс электрона (E, \vec{p}) , фотона — $(h\nu, h\nu\vec{n}/c)$, где \vec{n} — единичный вектор в направлении движения фотона. В конечном состоянии соответствующие величины равны (E', \vec{p}') , $(h\nu', h\nu'\vec{n}'/c)$. Найдите частоту ν' как функцию единичного вектора \vec{n}' , направленного по импульсу рассеянного фотона.

12.2.9. Преобразование света в рентгеновское излучение. Направим световое излучение лазера частотой ν навстречу пучку электронов, движущихся с релятивистскими энергиями E . Найдите частоту рассеянного излучения ν' .

12.2.10*. Неупругое столкновение частиц. Происходит реакция $m_1 + m_2 \rightarrow m_1 + m_2'$: неупругое столкновение электрона массой m_1 с неподвижным атомом массой m_2 . Кинетическая энергия налетающей частицы T_1 . В результате абсолютно неупругого взаимодействия образуются электрон и возбужденный атом массой m_2' . Найдите массу m_2' .

12.2.11. Неподвижная частица массой M распалась на две одинаковые частицы массой $m = 0,3M$ каждая.

А. Найдите величину скорости v одной из частиц.

Б. Найдите кинетическую энергию каждой частицы T .

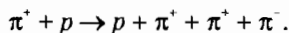
12.2.12. А. Неподвижная частица массой M распадается на две частицы массами m_1 и m_2 . Найдите энергии частиц E_{10} и E_{20} .

Б. Найдите энергию гамма-кванта E_{10} в реакции распада сигма гиперона на лямбда гиперон и γ -квант в реакции $\Sigma^0 \rightarrow \Lambda^0 + \gamma$. Массы сигма гиперона и лямбда гиперона $M = 1195 \text{ МэВ}/c^2$, $m_2 = 1116 \text{ МэВ}/c^2$.

12.2.13*. Рождение частиц при столкновении с неподвижной мишенью. Найдите пороговую энергию рождения частиц $T_{\text{Лпор}}$ в реакции (12.2.6) при столкновении частицы с неподвижной частицей — мишенью массой m_2 .

12.2.14. Найдите пороговую энергию T_L фоторождения π^0 -мезона $h\nu_{\text{пор}}$ при взаимодействии γ -кванта с неподвижным протоном в реакции $\gamma + p \rightarrow p + \pi^0$. Масса π^0 -мезона $m_{\pi^0} = 0,135 \text{ ГэВ}/c^2$, масса протона $m_p = 0,938 \text{ ГэВ}/c^2$.

12.2.15. Найдите пороговую энергию рождения π^+ -мезона при неупругом рассеянии на неподвижном протоне в реакции



12.2.16. Пороговая энергия реакции ${}^4\text{He} + {}^{14}\text{N} = {}^{17}\text{O} + {}^1\text{H}$ равна $\epsilon_0 = 1,13$ МэВ. В лабораторной системе ядро азота до столкновения неподвижно. Найдите значение пороговой энергии α -частицы T_p , при которой реализуется реакция.

12.2.17*. Рождение антипротона при столкновении с неподвижной мишенью. Найдите пороговую энергию $T_{\text{пор}}$ в реакции рождения пары протон–антипротон $p + p = 3p + \bar{p}$ при столкновении протона с неподвижным протоном.

12.2.18*. Рождение антипротона при столкновении встречных пучков. Найдите пороговую энергию $T_{\text{опор}}$ в реакции рождения пары протон–антипротон $p + p = 3p + \bar{p}$ при столкновении пучков протонов с импульсами $\vec{p}_1 = (p_0, 0, 0)$, $\vec{p}_2 = (-p_0, 0, 0)$.

12.2.19–12.2.20. Рассмотрим столкновение частиц равных масс $m_1 = m_2 = m_0$. Пусть кинетическая энергия первой частицы, взаимодействующей с неподвижной мишенью, равна T_L . В ускорителе на встречных пучках кинетическая энергия каждой частицы равна T_0 .

12.2.19*. Найдите значение энергии частицы $T_L = T_{L0}$, взаимодействующей с неподвижной мишенью при условии, что оба ускорителя имеют равные возможности породить новые частицы.

12.2.20. Покажите, что T_{L0} представляет собой кинетическую энергию относительного движения T_R одного протона в системе покоя другого протона.

12.3. Релятивистская электродинамика

Преобразование Лоренца электромагнитного поля. Закон преобразования напряженности электрического поля и индукции магнитного поля, измеренных в инерциальных системах K и K' , движущейся со скоростью $\vec{u} = (u, 0, 0)$, имеет вид

$$E'_x = E_x, \quad E'_y = \gamma(E_y - uB_z), \quad E'_z = \gamma(E_z + uB_y), \quad (12.3.1)$$

$$B'_x = B_x, \quad B'_y = \gamma\left(B_y + \frac{uE_z}{c^2}\right), \quad B'_z = \gamma\left(B_z - \frac{uE_y}{c^2}\right). \quad (12.3.2)$$

Обратное преобразование получается из (12.3.1) перестановкой штриха и изменением знака при скорости u на противоположный.

Преобразование Лоренца источников поля — плотностей заряда и тока. Проводящее тело движется поступательно со скоростью $\vec{u} = (u, 0, 0)$ относительно системы отсчета K . В системе K' плотность заряда равна ρ' , плотность тока $\vec{j}' = (j'_x, j'_y, j'_z)$. Соответствующие величины в неподвижной системе K имеют вид

$$j_x = \gamma(j'_x + \rho' u), \quad j_y = \gamma j'_y, \quad j_z = \gamma j'_z \quad (12.3.3)$$

$$\rho = \gamma \left(\rho' + \frac{j'_x u}{c^2} \right) \quad (12.3.4)$$

Уравнения движения заряженной частицы. Для того чтобы уравнения движения сохраняли свою форму при преобразовании Лоренца, второй закон Ньютона следует записать в виде (в СИ)

$$\frac{d\vec{p}}{dt} = e\vec{E}(t, \vec{r}) + e\vec{v} \times \vec{B}(t, \vec{r}), \quad \vec{p} = \frac{m\vec{v}}{\sqrt{1-(v/c)^2}}. \quad (12.3.5)$$

При скоростях $v \ll c$ уравнение (12.3.5) совпадает со вторым законом Ньютона. Кинетическая энергия частицы

$$T = \sqrt{(mc^2)^2 + (pc)^2} - mc^2 = mc^2 \left[\frac{1}{\sqrt{1-(v/c)^2}} - 1 \right]. \quad (12.3.6)$$

Закон изменения кинетической энергии. Вычисляя производную $dT/dt = \vec{v} \cdot d\vec{p}/dt$, получим

$$\frac{dT}{dt} = e\vec{v} \cdot \vec{E}. \quad (12.3.7)$$

12.3.1. Пусть в системе K вектор $\vec{E} = 0$, $\vec{B} = (0, 0, B)$. Найдите значения напряженности и индукции в системе K' в случаях **A.** $u \approx c$, **Б.** $u \ll c$.

12.3.2*. При производстве пленки широкая тонкая полоса пластмассы протягивается со скоростью u через два последовательно расположенных ролика. В процессе обработки поверхность пленки приобретает плотность поверхностного заряда σ . Оцените индукцию магнитного поля вблизи поверхности в центре пролета между роликами.

12.3.3. Обсудите физический смысл соотношений (12.3.3), (12.3.4).

12.3.4*. По длинному прямолинейному проводу сечением S , расположенному вдоль оси x , течет в положительном направлении ток

силой I . Тогда наблюдатель в системе отсчета K' , движущейся со скоростью $\vec{u} = (u, 0, 0)$, обнаружит согласно (12.3.3) заряженный провод с линейной плотностью заряда $\sigma = \rho'S = -\frac{\gamma u I}{c^2}$, где $I = j_x S$. Полезно получить этот результат менее формально.

Пусть параллельно проводу на расстоянии d от него движется заряд q со скоростью u . В системе K на заряд действует сила Лоренца $\vec{F} = (0, F_y, 0)$. В системе отсчета K' , движущейся со скоростью \vec{u} сила Лоренца равна нулю. Докажите, что сила $F'_y = F_y$, действующая на заряд в системе K' , создается электростатическим полем, создаваемым распределением заряда с плотностью σ .

12.3.5*. Докажите, что движущийся нейтральный контур с током приобретает дипольный момент в неподвижной системе отсчета.

12.3.6. Запишите закон Ома для металлического проводника, движущегося в магнитном поле.

12.3.7. Движение электрона в постоянном однородном электрическом поле. Электрон движется в постоянном однородном электрическом поле $\vec{E} = (0, -E, 0)$, создаваемом пластинами конденсатора, расположенными на расстоянии d . Разность потенциалов между пластинами V_0 . Начальные условия $\vec{r}(0) = 0$, $\vec{v}(0) = 0$. Найдите значения $\vec{v}(t)$, $\vec{v}(d)$.

12.3.8. Движение заряда в магнитном поле. Заряд движется в однородном постоянном магнитном поле. Начальная скорость $\vec{v}(0) = \vec{v}_0$ перпендикулярна вектору \vec{B} . Найдите радиус окружности R , по которой движется заряд и частоту вращения ω .

12.3.9. Бетатрон. В 1940 г. американскому физику Д. Керсту удалось создать новый тип ускорителя электронов, в котором магнитное поле выполняет две функции: управляющую и ускоряющую. Основная идея состояла в использовании переменного магнитного поля. Рассмотрим ускорение электрона зарядом $e = -e_0$ в плоскости $z = 0$. Магнитное поле симметрично относительно поворотов вокруг оси z . Силовые линии электрического поля представляют собой концентрические окружности радиусов r . Промежуток времени цикла ускорения равен τ . Найдите условие, при котором электрон будет вращаться по окружности фиксированного радиуса R в нарастающем магнитном поле индукцией $\vec{B} = \vec{B}(t, r)$.

Глава XIII. КВАНТОВАЯ ФИЗИКА. АТОМ И АТОМНОЕ ЯДРО

13.1. Фотон. Фотоэффект. Квантовая теория атома

Квантовая теория электромагнитного поля. Плоская монохроматическая волна частоты ν состоит из «частиц» — фотонов (от лат. *photos* — свет) с энергиями $\epsilon = h\nu$ и импульсами $\vec{p} = \vec{n} h\nu/c$, \vec{n} — единичный вектор, задающий направление распространения волны. Учитывая значение $hc = 1242 \text{ нм} \times \text{эВ}$, энергию фотона можно представить в виде $\epsilon (\text{эВ}) = 1242/\lambda (\text{нм})$.

В статье, вышедшей в 1905 г., А. Эйнштейн показал, что фотоэффект возникает в результате поглощения фотона электроном и последующей ионизации атома (Нобелевская премия, 1921 г.). В начальном состоянии полная энергия электрона $E_i = -A$, в конечном состоянии полная энергия $E_f = mv^2/2$. Согласно закону сохранения энергии $h\nu + E_i = E_f$ или

$$h\nu = A + \frac{mv^2}{2}. \quad (13.1.1)$$

Величина A называется *работой выхода*. Пороговая частота или красная граница фотоэффекта $\nu_0 = A/h$.

Запирающий потенциал V_s . Если разность потенциалов анода и катода $V = \phi_a - \phi_k$, то кинетическая энергия электронов, попадающих на анод $mv_a^2/2 = mv^2/2 + e_0V$. При значении $V = -V_s$ сила тока обращается в нуль: $V_s = (h\nu - A)/e_0$, или

$$V_s(B) = [1242/\lambda (\text{нм}) - A (\text{эВ})]. \quad (13.1.2)$$

Первая квантовая теория атома — атом Бора. Условие квантования Бора для движения частицы по окружности радиусом r со скоростью v :

$$mrv = n\hbar, \quad n = 1, 2, 3, \dots,$$

где $\hbar = h/2\pi$.

Полная энергия электрона

$$E = mv^2/2 - ke^2/r = -ke^2/2r$$

принимает дискретный ряд значений

$$E_n = -\frac{A}{n^2}, n = 1, 2, 3, \dots \quad (13.1.3)$$

Здесь $A = mc^2\alpha^2/2 = 13,61$ эВ, $\alpha = ke^2/\hbar c \approx 1/137$, n называют главным квантовым числом.

Корпускулярно-волновой дуализм. В квантовой механике свободному движению частицы с импульсом \vec{p} можно поставить в соответствие в абстрактном пространстве волну. Длина волны

$$\lambda = \frac{h}{p} \quad (13.1.4)$$

Соотношение неопределенностей. Согласно Гейзенбергу неопределенности Δx и Δp_x значений координаты x и проекции импульса p_x удовлетворяют соотношению

$$|\Delta x| \cdot |\Delta p_x| \geq \frac{\hbar}{2} \quad (13.1.5)$$

Полная энергия нестационарной системы известна с неопределенностью ΔE , связанной с интервалом времени наблюдения Δt соотношением

$$\Delta E \Delta t \geq \frac{\hbar}{2} \quad (13.1.6)$$

13.1.1. Спектральные компоненты электромагнитного излучения соответствуют длинам волн $\lambda = 200$ нм, 300 нм, 500 нм, 600 нм, 700 нм. Укажите длину волны λ_m , соответствующую максимальной энергии фотона в видимой части спектра.

13.1.2. Вычислите энергию фотона ϵ_n .

А. В ультрафиолетовой области спектра $\lambda_1 = 250$ нм.

Б. Желтого света $\lambda_2 = 589$ нм.

В. Красного света $\lambda_3 = 644$ нм.

13.1.3. Найдите энергию ϵ_n одного моля квантов света с длиной волны $\lambda = 436$ нм.

13.1.4. Энергия активации фотохимической реакции $A = 30 \frac{\text{ккал}}{\text{моль}}$.

Найдите максимальную длину световой волны λ_m , инициирующей эту реакцию.

13.1.5. КПД 100-ваттной электролампы в области видимого света $\eta = 0,01$. Оцените число фотонов $\Delta N/\Delta t$, излучаемых за одну секунду.

13.1.6. Плоская волна интенсивностью $J = 1,37$ кВт/м² падает перпендикулярно некоторой плоскости, длина волны $\lambda = 600$ нм.

А. Определите число фотонов $\Delta N / (\Delta t \Delta S)$, падающих на 1 м² за 1 с.

Б. Определите число фотонов в единице объема $\Delta N / \Delta V$.

13.1.7. Мощность излучения с длиной волны λ , падающего на фотоэлемент P . Сила фототока I . Найдите квантовый выход — отношение Q числа электронов, испускаемых за 1 с к числу фотонов, падающих на фотокатод за 1 с.

13.1.8. Ток фотоэлектронов при облучении монохроматическим синим светом частотой $\nu = 7 \cdot 10^{14}$ Гц прекращается, если разность потенциалов между собирающим электродом и поверхностью металла $\phi_a - \phi_k = -V_s$, $V_s = 1$ В. Найдите работу выхода A .

13.1.9. На поверхность калия падает свет с длиной волны $\lambda_1 = 350$ нм. Работа выхода для калия $A = 2$ эВ.

А. Определите запирающее напряжение V_s .

Б. Максимальную кинетическую энергию электронов K_m .

В. Вычислите максимальную скорость электронов v_m .

Г. Найдите приращение запирающего напряжения ΔV_s , если длина волны света уменьшится до значения $\lambda_2 = 348$ нм.

13.1.10. На катод фотоэлемента падает монохроматический зеленый свет частотой $\nu = 6 \cdot 10^{14}$ Гц. При увеличении частоты света в два раза запирающее напряжение увеличивается в 5,27 раза. Определите пороговую частоту ν_c и название металла, которым покрыт катод.

13.1.11. При освещении катода фотоэлемента монохроматическим фиолетовым светом частотой $\nu_1 = 7,5 \cdot 10^{14}$ Гц, а затем красным с частотой $\nu_2 = 5 \cdot 10^{14}$ Гц, максимальная кинетическая энергия электронов изменилась в три раза. Найдите работу выхода A .

13.1.12. Расстояние между анодом и катодом фотоэлемента $d = 1$ см. Задерживающая разность потенциалов $V_s = 1,54$ В. Найдите разность потенциалов V между анодом и катодом, если на расстоянии $b = 0,8$ см от плоскости катода скорость электрона равна нулю.

13.1.13. При облучении металла светом с длинами волн $\lambda_1 = 400$ нм и $\lambda_2 = 500$ нм обнаружили, что отношение максимальных скоростей фотоэлектронов $v_1/v_2 = n$, $n = 1,45$. Найдите работу выхода A металла.

13.1.14. Электрон атома водорода в основном состоянии поглощает фотон с энергией, равной $8/9$ энергии ионизации A , и переходит в возбужденное состояние. Найдите главное квантовое число n возбужденного состояния.

13.1.15. Найдите значение индукции магнитного поля B , при котором радиус орбиты электрона равен боровскому радиусу.

13.1.16. Получите значения энергетических уровней атома водорода E_n , учитывая конечную величину массы протона.

13.1.17. Ридберговские атомы. С середины семидесятых годов прошлого столетия возникло новое направление атомной физики — это физика сильно возбужденных атомов. Атом, внешний электрон которого находится на уровне с квантовым числом $n \gg 1$, называется *ридберговским атомом*. При радиоастрономических наблюдениях в космосе были зарегистрированы атомные состояния с числом $n \sim 350$. Полагая в (13.1.3) $n = N + \Delta n$, $N \gg 1$, $\Delta n \ll N$, покажите, что в этой области значений квантового числа уровни энергии почти *эвиди-стантны*, т.е. отделены друг от друга почти одинаковыми промежутками.

13.1.18. Квантование трехмерного осциллятора. Частица движется в поле центральной силы с потенциальной энергией $W(x, y, z) = kr^2/2$. Найдите собственные значения полной энергии E_n .

13.1.19. Квантование ротатора. Ротатор представляет собой частицу, вращающуюся по поверхности сферы радиусом a с частотой ω . Момент инерции ротатора $J = ma^2$. Найдите собственные значения кинетической энергии E_n .

13.1.20–13.1.21. Эффект Мессбауэра. Ядро железа ^{57}Fe имеет несколько изомерных состояний с разными временами жизни. Излучению γ -кванта неподвижным ядром с временем жизни $\tau = 10^{-7}$ с соответствует переход между уровнями с разностью энергий $\Delta E = 14,4$ кэВ, соответствующий спектральной линии исключительно малой ширины $\Delta\nu \sim 10^{-8}$ эВ/ h .

13.1.20. Найдите энергию отдачи ядра K и энергию $h\nu$ излученного γ -кванта. Относительная масса ^{57}Fe равна 56,9354.

13.1.21. Для наблюдения эффекта Мессбауэра источник γ -излучения приводят в движение навстречу поглотителю или в обратном направлении. За поглотителем помещается детектор γ -квантов. Измеряется зависимость скорости счета γ -квантов от скорости v . Из-за эффекта Доплера частота излучателя смещается на величину v/c . Найдите интервал скоростей Δv , в котором можно наблюдать эффект поглощения γ -квантов.

13.1.22. Лазерный захват нейтральных частиц. Атом, движется в направлении оси z со скоростью u . Энергии основного и возбуж-

денного состояний равны соответственно E_1 и E_2 , $h\nu_{21} = E_2 - E_1$. Направим на него два пучка лазерного света — один распространяется в положительном направлении оси z , другой — в отрицательном. После поглощения фотона скорость атома уменьшается. Найдите значение частоты света ν , на которой атомы поглощают фотоны с энергией $\epsilon = h\nu$ и импульсом $p_z = -h\nu/c$ из встречного пучка.

13.1.23–13.1.24. Пусть E , \vec{p} , E' , \vec{p}' — энергии и импульс электрона до и после излучения фотона, $h\nu$, $h\nu\vec{n}$ — энергия и импульс фотона.

13.1.23. Покажите, что законы сохранения энергии и импульса запрещают излучение фотона свободным электроном.

13.1.24. Излучение Вавилова-Черенкова. В 1934 г. П.А. Черенков обнаружил излучение быстрых электронов в веществе. Природа излучения была выяснена в 1937 г. советскими физиками-теоретиками И.Е. Таммом и И.М. Франком. Докажите, что при движении электронов с постоянной скоростью \vec{v} в изотропном прозрачном диэлектрике возникает излучение частотой ω при условии $v > v_\kappa$, где $v_\kappa = \frac{c}{n(\omega)}$ — скорость света в среде, $n(\omega)$ — коэффициент преломления.

13.1.25. Найдите частоту гамма-кванта ν в реакции распада неподвижного сигма гиперона на лямбда гиперон и гамма квант в реакции $\Sigma^0 \rightarrow \Lambda^0 + \gamma$. Массы сигма гиперона и лямбда гиперона $M = 1195 \text{ МэВ}/c^2$, $m_\Lambda = 1116 \text{ МэВ}/c^2$.

13.1.26. Рассеяние фотонов на электронах. В начальном состоянии энергия и импульс электрона $(mc^2, 0)$, фотона — $(h\nu, h\nu\vec{n}/c)$, где \vec{n} — единичный вектор в направлении движения фотона. В конечном состоянии соответствующие величины равны (E', \vec{p}') , $(h\nu', h\nu'\vec{n}'/c)$. Найдите приращение длины волны при рассеянии фотонов на неподвижном электроне.

13.1.27–13.1.28. В начальном состоянии энергия и импульс электрона $(mc^2, 0)$, фотона — $(h\nu, h\nu\vec{n}/c)$, $h\nu = 2mc^2$. В конечном состоянии кинетическая энергия электрона $T = mc^2$.

13.1.27. Найдите угол α между импульсами рассеянного и налетающего фотона.

13.1.28. Найдите угол β между импульсом рассеянного электрона и импульсом налетающего фотона.

13.1.29–13.1.30. Тормозное излучение. Электрон при столкновении с ядром излучает фотон в реакции $Ze + e \rightarrow Ze + e + \gamma$. В начальном

и конечном состоянии энергия и импульс электрона (E, \vec{p}) , (E', \vec{p}') , энергия и импульс фотона $(h\nu, h\nu\vec{n}/c)$, где \vec{n} — единичный вектор в направлении движения фотона. В приближении внешнего поля энергией отдачи ядра можно пренебречь. В ультрарелятивистском случае $E, E' \gg mc^2$ фотон и рассеянный электрон летят вперед в узком конусе с углами раствора $\sim mc^2/E$ между векторами \vec{p}' , \vec{n} и \vec{p}' .

13.1.29. Найдите минимальное значение модуля импульса \vec{q} , переданного ядру.

13.1.30. Найдите максимально возможное значение модуля импульса \vec{q} , переданного ядру.

13.1.31. Найдите кинетическую энергию электронов K , для которых кристалл с постоянной решетки $d = 0,1$ нм представляет собой дифракционную решетку.

13.1.32. Квантовомеханическая дифракция. Волновые свойства частиц ограничивают область применимости классического описания. Пучок электронов с импульсами \vec{p} , проходит через круглое отверстие в экране диаметром $D \gg \lambda$, $\lambda = h/p$. В плоскости экрана положение электрона определяется с точностью $\Delta r = D$. Оцените расстояние s , на котором не проявляются волновые свойства электрона.

13.1.33. Интерференция — квантовомеханический эффект. Пусть в установке Юнга начальное состояние представляет собой один фотон, падающий на экран с двумя отверстиями, и атомы детектора в основном состоянии. В конечном состоянии один из атомов переходит в возбужденное состояние в результате поглощения фотона. Многократное повторение этого опыта приведет к интерференционной картине в плоскости детектора — все возбужденные атомы, находятся в пределах светлых полос. Этот опыт невозможно объяснить в рамках классической физики, предполагая, что фотон может проходить сквозь первое или сквозь второе отверстия. Объясните интерференцию света на основе квантовой теории.

13.1.34. Величина $k = h/e^2$ образована двумя фундаментальными константами — постоянной Планка и элементарным зарядом. Найдите размерность k .

13.1.35. Найдите размерность величины $\Phi_0 = h/2e$.

13.1.36. Найдите размерность величины $m^2 c^3 / e \hbar$.

13.1.37. Найдите размерность величин $(hc/G)^{1/2}$ и $(Gh/c^3)^{1/2}$.

13.2. Радиоактивность. Ядерные реакции

Масса ядра. Ядро элемента A_ZG , содержащего Z протонов и $A - Z$ нейтронов, имеет массу

$$M(Z, A) = Zm_p + (A - Z)m_n - E_{\text{св}}(Z, A)/c^2. \quad (13.2.1)$$

Постоянная величина $E_{\text{св}}(Z, A) = \Delta Mc^2$ называется *энергией связи*. Масса системы не равна сумме масс составляющих ее частицы.

Величина $\Delta M = Zm_p + (A - Z)m_n - M(Z, A)$ называется *дефектом массы*.

Атомная единица массы (а.е.м.) равна $931,5016 \text{ МэВ}/c^2$.

Закон радиоактивного распада. Число ядер в момент времени $t = 0$ равно N_0 , число нераспавшихся ядер $N(t)$ до момента времени t ,

$$N(t) = N_0 \exp(-t/\tau), \quad (13.2.2)$$

где τ — среднее время жизни радиоактивного ядра.

Скорость распада характеризуется периодом полураспада $T_{1/2}$ — промежутком времени, за который число радиоактивных ядер уменьшается в два раза. Полагая в (13.2.2) $t = T_{1/2}$, $N(T_{1/2}) = N_0/2$, получим $1 = 2 \exp(-T_{1/2}/\tau)$ или $\tau = T_{1/2}/\ln 2$, $\ln 2 = 0,6931$. Это соотношение позволяет исключить τ из (13.2.2):

$$N(t) = N_0 \left(\frac{1}{2} \right)^{t/T_{1/2}}. \quad (13.2.3)$$

Число ядер уменьшается по закону геометрической прогрессии. Однако отдельные ядра могут существовать в течение длительного промежутка времени $t \gg T_{1/2}$. Вероятность распада отдельного ядра за короткий промежуток времени $t \ll T_{1/2}$ равна $p = (N_0 - N)/N_0$, $p = 1 - \exp(-t/\tau) \approx t/\tau$:

$$p = t/\tau. \quad (13.2.4)$$

Число распадов за одну секунду $a = N/\tau = N \ln 2 / T_{1/2}$ называется активностью вещества, $1 \text{ год} = 3,16 \cdot 10^7 \text{ с}$.

Единица активности — *беккерель*: $1 \text{ Бк} = 1 \text{ распад/с}$.

Активность $m_0 = 1 \text{ г радия-226}$ с периодом полураспада $T_{1/2} = 1600 \text{ лет}$ называется *кюри*: $1 \text{ Ки} = m_0 N_A \ln 2 / M T_{1/2}$, $1 \text{ Ки} = 3,7 \cdot 10^{10} \text{ Бк}$.

Ядерные реакции. В ядерных реакциях выполняются законы сохранения энергии, электрического заряда и закон сохранения *барионного числа* — суммы протонов и нейтронов.

Закон сохранения энергии в ядерных реакциях. Пусть ядро A_ZG ($Z = Z_1 + Z_2$, $A = A_1 + A_2$) представляет систему связанных ядер X и Y с массовыми числами A_1 , A_2 и атомными номерами Z_1 , Z_2 . Учитывая (13.2.1), получим массу ядра G :

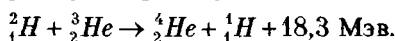
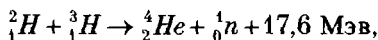
$$M(Z, A) = M(Z_1, A_1) + M(Z_2, A_2) - U/c^2, \quad (13.2.5)$$

$$U = E_{\text{св}}(Z, A) - E_{\text{св}}(Z_1, A_1) - E_{\text{св}}(Z_2, A_2). \quad (13.2.6)$$

Величина U представляет собой энергию связи ядер $M(Z_1, A_1)$ и $M(Z_2, A_2)$ в составном ядре $M(Z, A)$. Для того чтобы выяснить пригодность реакций для ядерной энергетики, необходимо знать зависимость энергии связи на один нуклон $\varepsilon(A) = E_{\text{св}}(Z, A)/A$.

Деление ядер урана. Если $U > 0$, то ядро G устойчиво по отношению к распаду на ядра X и Y . Ядро, масса которого больше суммы масс ядер X и Y , неустойчиво и может распадаться: внутриядерная энергия $U_p = -U > 0$ перейдет в кинетическую энергию движения осколков X и Y .

Синтез легких ядер. Если в (13.2.5) величина $U > 0$, то распад ядра G энергетически запрещен. Однако в обратном процессе — слиянии ядер X и Y — энергия исходной системы должна уменьшиться на величину U . В результате «горючая среда» и продукты синтеза приобретают кинетическую энергию U . Наибольший интерес представляют реакции



Высвобождающаяся энергия, отнесенная к одному нуклону ($\sim 3,6$ МэВ), значительно превосходит энергетический выход на один нуклон делящегося изотопа урана-235 ($\sim 0,85$ МэВ). Поэтому при одинаковом весе заряда энергия взрыва водородной бомбы значительно больше энергии взрыва атомной бомбы.

13.2.1. Атом углерода ${}^{12}_6\text{C}$ содержит 6 протонов, 6 нейтронов и 6 электронов, а атом кислорода ${}^{16}_8\text{O}$ — 8 протонов, 8 нейтронов и

8 электронов. До 1960 г. атомной единицей массы являлась $1/16$ массы ^{16}O . Почему принятая в 1960 г. а.е.м. отличается от прежней?

13.2.2. Первая ядерная реакция (Резерфорд, 1919 г.). Пороговая энергия реакции $^4\text{He} + ^{14}\text{N} = ^{17}\text{O} + ^1\text{H}$ равна $\epsilon_0 = 1,13$ МэВ. В лабораторной системе ядро азота до столкновения неподвижно.

А. Найдите значение пороговой энергии α -частицы T_{2L} , при которой реализуется реакция.

Б. Найдите значение кинетической энергии α -частицы T_2 , если в конечном состоянии протон неподвижен.

13.2.3. Открытие нейтрона. В начале тридцатых годов прошлого века немецкие физики В. Боте и Г. Бекер обнаружили, что при бомбардировке бериллия альфа-частицами возникает сильнопроникающее излучение. Затем Ирен и Фредерик Жолио-Кюри заметили, что это излучение в веществе, богатом водородом, например, парафине, выбивает из него протоны, скорость которых $v_H = 3,3 \cdot 10^7$ м/с. В 1932 г. Дж. Чедвик установил, что излучение сообщает ядрам азота скорость $v_N = 0,47 \cdot 10^7$ м/с. Точность измерения скорости не превышала 10%. 27 февраля 1932 г. вышла статья, в которой Чедвик дал обнаруженной частице название – нейтрон (Нобелевская премия, 1935 г.). Оцените массу нейтрона.

13.2.4. Бета-распад нейтрона. Свободный нейтрон распадается на протон, электрон и электронное антинейтрино $n \rightarrow p + e^- + \bar{\nu}_e$. Разность масс покоя нейтрона и протона равна $1,29344$ МэВ/ c^2 . Найдите энергию ΔE продуктов реакции распада.

13.2.5. Дейтрон ^2H массой $m_D = 2,014$ а.е.м., образованный протоном и нейтроном, имеет одно связанное состояние. Найдите энергию связи дейтрона.

13.2.6. Найдите энергию ΔE , которую необходимо сообщить ядру ^{12}C для расщепления на три α -частицы.

13.2.7. Найдите удельную энергию связи $\epsilon = E_{св}/A$ нуклонов в ядре гелия-4.

13.2.8. При облучении ядер бора-10 нейтронами испускается альфа-частица. Назовите образовавшееся ядро.

13.2.9. При взаимодействии ядер алюминия $^{27}_{13}\text{Al}$ с x -частицами образуются ядра изотопа магния $^{27}_{12}\text{Mg}$ и y -частицы. При взаимодействии y -частиц с ядрами $^{27}_{13}\text{Al}$ образуются ядра изотопа $^{24}_{12}\text{Mg}$ и z -частицы. Определите x , y , z -частицы.

13.2.10. В процессе естественной радиоактивности изотоп урана ${}^{238}_{92}\text{U}$ превращается в стабильный изотоп свинца ${}^{206}_{82}\text{Pb}$. Найдите число альфа-распадов k_1 и число бета-распадов k_2 .

13.2.11. В процессе естественной радиоактивности изотоп радия ${}^{226}_{88}\text{Ra}$ превращается в стабильный изотоп свинца ${}^{206}_{82}\text{Pb}$. Найдите число α -распадов k_1 и число β -распадов k_2 .

13.2.12. Покажите, что 1 кюри = $3,7 \cdot 10^{10}$ распадов в секунду есть активность 1 г радиоактивного радия ${}^{226}_{88}\text{Ra}$.

13.2.13–13.2.15. Период полураспада радия-226 равен $T_{1/2} = 1600$ лет. Возраст Земли $T = 4,6 \cdot 10^9$ лет.

13.2.13. Найдите относительное содержания радия, если бы радий не образовывался бы при распаде более долгоживущих элементов. (Используйте равенство $2^{10} \approx 10^3$.)

13.2.14. Найдите среднее время жизни ядра радия-226.

13.2.15. Найдите вероятность распада ядра радия-226 за время $t_1 = 10$ лет после начала наблюдения.

13.2.16. Найдите период полураспада радия, если за время $T = 10$ лет радиоактивность образца уменьшилась до 99,568% его первоначальной активности.

13.2.17. Период полураспада радиоактивного элемента $T_{1/2}$. Найдите промежуток времени t_1 , за который исходное количество ядер уменьшится на 1%.

13.2.18. За промежуток времени $\Delta t = 4$ с распалась k -ая часть радиоактивного вещества, $k = 0,9375$. Найдите среднее время жизни τ элемента.

13.2.19. Период полураспада изотопа иода ${}^{131}_{53}\text{I}$, используемого для диагностики в медицине, $T_{1/2} = 8,04$ сут. Найдите промежуток времени Δt , через который число ядер изотопа уменьшится в $n = 100$ раз.

13.2.20. Период полураспада радиоактивного изотопа цезия-137, который попал в атмосферу в результате Чернобыльской аварии, равен $T_{1/2} = 29,7$ лет. Определите промежуток времени t_k , через который количество этого изотопа составит 1% от исходного.

13.2.21. Период полураспада радиоактивного изотопа ${}^{14}_6\text{C}$ равен $T_{1/2} = 5730$ лет. При археологических раскопках был обнаружен ствол дерева, содержание ${}^{14}_6\text{C}$ в котором составляет 72% от нормального. Найдите возраст находки.

13.2.22. Природный уран содержит изотоп урана-238 и всего $r = 0,72\%$ урана-235. Периоды полураспадов равны соответственно $t_1 = 4,5 \cdot 10^9$ лет, $t_2 = 0,714 \cdot 10^9$ лет. Найдите отношение r_0 в эпоху образования породы 6 млрд лет назад при формировании Солнечной системы.

13.2.23. Согласно одной из моделей теории Великого объединения наиболее вероятная реакция распада протона $p \rightarrow e^+ + \pi^0$. Время жизни протона $\tau_p \approx 5 \cdot 10^{31}$ лет. Данные о нижнем пределе времени жизни протона τ_p получают с 1985 г. в экспериментах по наблюдению распадов в воде. Найдите объем воды V , в котором происходит распад 100 протонов в год.

13.2.24. Масса радиоактивного элемента m , атомная масса M . За промежуток времени $\Delta t \ll T_{1/2}$ распалось ΔN ядер. Определите число Авогадро.

13.2.25. Накопление оружейного плутония в реакторе. Радиоактивный уран-239, содержащий N_0 ядер, распадается по схеме ${}^{239}\text{U} \rightarrow (23,5 \text{ мин}) \rightarrow {}^{239}\text{Np} \rightarrow (2,35 \text{ сут}) \rightarrow {}^{239}\text{Pu}$. Период полураспада урана $t_1 = 23,5$ мин, непутия $t_2 = 2,35$ сут, плутония $t_3 = 24\,000$ лет.

А. Найдите число ядер непутия N_2 и плутония N_3 через $t = t_1$ после начала распада.

Б. Найдите число ядер непутия N_2 и плутония N_3 через $t = t_2$ после начала распада.

В. Найдите число ядер непутия N_2 и плутония N_3 через $t = 10t_2$ после начала распада.

13.2.26. Представьте закон радиоактивного распада в виде

$$N(t) = N_0 \left(\frac{1}{3} \right)^{t/T_{2/3}}$$

13.2.27. Определите активность $m = 10$ г урана-238. Период полураспада $T_{1/2} = 4,5 \cdot 10^9$ лет.

13.2.28. Найдите массу m радиоактивного кобальта-60 активностью $a = 1$ Ки. Период полураспада $T_{1/2} = 5,27$ лет.

13.2.29. В кровь человека ввели небольшое количество раствора, содержащего натрий-24 активностью $a = 2,1 \cdot 10^3$ Бк. Период полураспада $T_{1/2} = 15$ ч. Активность 1 см^3 крови, взятой через $t_1 = 5$ ч после введения раствора, $A = 0,28$ Бк/ см^3 . Найдите объем крови V .

13.2.30. Оцените величину кинетической энергии осколков $U_p = -U$ при крайне редком делении тяжелого ядра на два одинаковых осколка.

Среднее значение энергии связи на один нуклон для тяжелых ядер 7,6 МэВ, а для ядер с массовыми числами $A_m \approx 120$ равно 8,45 МэВ.

13.2.31. При распаде ядра урана-235 выделяется энергия ≈ 200 МэВ. Найдите удельную теплоту сгорания c_U урана-235.

13.2.32. Реактор реактора РБКМ (реактор большой мощности канальный) чернобыльского типа имеет мощность $P = 3200$ МВт, КПД $\eta = 0,31$. Найдите массу урана-235, потребляемую за сутки.

13.2.33. Для реализации реакции синтеза ${}^2_1\text{H} + {}^3_1\text{H} \rightarrow {}^4_2\text{He} + {}^1_0\text{n}$, в которой выделяется энергия $U = 17,6$ МэВ, ядра дейтерия с энергией T_1 сталкиваются с неподвижными ядрами трития. Найдите кинетическую энергию образовавшихся нейтронов E_n в системе центра масс.

ОТВЕТЫ К ЗАДАЧАМ

Глава V. МАГНИТНОЕ ПОЛЕ

5.1. Магнитное поле. Силы Лоренца и Ампера

5.1.1. $r = R(\sin\theta/\sin\theta_0)^2$, $\theta(s)$ — угол между осью x , направленной параллельно вектору $\vec{\mu}$, и вектором \vec{r} .

5.1.2. $b(z)\rho^2 = \text{const}$.

5.1.3. $x(t) = R - R \cos \omega t$, $y(t) = R \sin \omega t$, $R = v_0 / \omega$, $\omega = qB/m$.

5.1.4. $x(t) = R - R \cos \omega t$, $y(t) = R \sin \omega t$, $z(t) = ut$, $R = v_0 / \omega$, $\omega = qB/m$.

5.1.5. Б.

5.1.6. $R_p/R_\alpha = 2^{-1/2}$.

5.1.7. А. $s(t) = \frac{2}{\omega} \sqrt{v_1^2 + v_2^2} |\sin \omega t/2|$,

Б. $s(t) = \frac{2}{\omega} |v_1 - v_2| |\sin \omega t/2|$.

5.1.8. $L = 3,4 \cdot 10^{-11} nu/B$, $n = 1, 2, \dots$

5.1.9. $\Delta\varphi = (qB^2/2m) [R^2 + (\hbar/2\pi)^2]$.

5.1.10. А. $B = (2 \sin\alpha/s) (2mV/e)^{1/2}$.

Б. $B = (2\pi \cos\alpha/s) (2mV/e)^{1/2}$.

5.1.11. $v_0 < 2\omega/k$.

5.1.12. $\tau = \frac{mv_0}{qE}$.

5.1.13. $h - \frac{2g}{\omega^2} \leq z \leq h$.

5.2.14. $B_r = -(r/2) db_z/dz$, $b(z)r^2 = \text{const}$.

5.1.15. $v_m = 2\sqrt{(E/B)^2 + (mg/qB)^2}$.

5.1.16. $\vec{v}_0 = \vec{E} \times \vec{B} / B^2$.

5.1.17. $h = \frac{e_0 E l s}{mv_0^2}$.

5.1.18. $E = Bv_0$, $e_0/m = \frac{Eh}{lsB^2}$.

5.1.19. $\omega = \sqrt{(qB/2m)^2 + \mu g/r} - qB/2m$.

5.1.20. $N_z = mg + quB$.

5.1.21. $v_m^2 = 5gl + (\omega l/2)(\omega l - \sqrt{(\omega l)^2 + 4gl})$, $\omega = qB/m$.

$$5.1.23. F_2 = f/3.$$

$$5.1.24. F_2 = 2 \cdot 10^{-7} \text{ Н.}$$

5.1.25. $\vec{F}_A = I\vec{d} \times \vec{B}$, $\vec{d} = \vec{r}_A - \vec{r}_C$, где \vec{r}_A и \vec{r}_C радиус-векторы точек A и C .

$$5.1.26. F_z = 4 \cdot 10^{-4} \text{ Н.}$$

$$5.1.27. F = 0,01 \text{ Н.}$$

$$5.1.28. N_y = mg - aVB/R.$$

$$5.1.29. M_z = IBab \cos \varphi.$$

$$5.1.30. I_m = 0,53 \text{ А.}$$

$$5.1.31. \vec{r}_c = (x_c, 0, 0), x_c = a\pi/4.$$

$$5.1.32. \vec{F}_x = (0, IBa\pi/4, 0).$$

$$5.1.33. \sigma = IBR/S.$$

5.1.34. $\Delta l/l = IaB/ES$, E — модуль Юнга материала проводника.

5.2. Магнитное поле постоянного тока.

Закон Био—Савара—Лапласа

$$5.2.1. B = \frac{\mu_0 I}{2\pi r}.$$

$$5.2.2. F_x = -\frac{\mu_0 I I_0}{2\pi} \frac{ab}{[x^2 - (a/2)^2]}.$$

$$5.2.3. d = 2 \text{ см.}$$

5.2.4. А. Прямая, параллельная оси z , и проходящая через точку $A(x_0, 0, 0)$, $x_0 = 0,4 \text{ м.}$

Б. Прямая, параллельная оси z , и проходящая через точку $C(x_0, 0, 0)$, $x_0 = -2 \text{ м.}$

$$5.2.5. \vec{B}_c = 0.$$

$$5.2.7. B \approx 12,44 \text{ Тл.}$$

$$5.2.8. B_z(0) = 0,716\mu_0 I/a.$$

$$5.2.10. B = (\mu_0 I/2R)(1 + 1/\pi).$$

$$5.2.11. B = (\mu_0 I/2R) \sqrt{1 + 1/\pi^2}.$$

$$5.2.14. B_r = -(\tau/2) db_z/d_z.$$

$$5.2.15. B_z(0) = Q\mu_0\omega/2\pi a.$$

$$5.2.16. \vec{B}(t, 0) = (q\mu_0/4\pi) (\vec{b} \times \vec{v})/R^3,$$

$$R = [b^2 + (vt)^2]^{1/2}.$$

5.3. Закон Максвелла — Ампера. Поток электромагнитной энергии в электрической цепи

$$5.3.1. B(\rho) = \mu_0 I \rho / 2\pi a^2, \rho \leq a; B(\rho) = \mu_0 I / 2\pi \rho, \rho \geq a.$$

$$5.3.2. p = \frac{\mu_0}{2} \left(\frac{I}{2\pi a} \right)^2, \sigma_{\text{пр}} = \frac{\mu_0}{2ad} \left(\frac{I}{2\pi} \right)^2.$$

$$5.3.3. B_z = \frac{\mu_0 N I}{l}.$$

$$5.3.4. \vec{B} = (0, 0, B_z); B_z = \mu_0 j d / 2, y \geq d / 2, B_z = -\mu_0 j d / 2, y \leq -d / 2.$$

$$5.3.5. B_0 = (B_1 + B_2) / 2.$$

$$5.3.6. \vec{b} = (0, B_2, 0), i = 2B_2 / \mu_0.$$

$$5.3.7. b_x = 0, b_y = 0, b_z = (B_1 + B_2) / 2, i = (B_1 - B_2) / \mu_0.$$

$$5.3.8. B_z = -\mu_0 i, y < -a; B_z = 0, -a < y < a; B_z = \mu_0 i, y > a.$$

$$5.3.9. B(t, r) = \frac{r}{2c^2} \frac{dE}{dt}.$$

$$5.3.10. S = \epsilon_0 c^2 EB, E = IR / l, B = \mu_0 I / 2\pi a; P = 2\pi a l S.$$

$$5.3.11. S = I^2 R / 2\pi a l, P = \epsilon_0 c^2 EB = I^2 R.$$

$$5.3.12. B_1 = \alpha r / 2c^2.$$

Глава VI. ЭЛЕКТРОМАГНИТНАЯ ИНДУКЦИЯ

6.1. Электромагнитная индукция

6.1.1. А. $\Delta\Phi = -2\Phi_0$. Б. $\Delta q = 100$ мкКл.

6.1.2. $\Delta\Phi = -\Phi_0$.

6.1.3. $t = 4\tau$.

6.1.4. $\Phi(t) = kt(2T - t)/2$, $0 \leq t \leq 2T$; $\Phi(t) = -kT(t - 2T)$, $t \geq 2T$.

6.1.5. Ток протекает в отрицательном направлении. На рамку действует сила, направленная в сторону, противоположную направлению скорости рамки.

6.1.6. $\mathcal{E}_m = 20$ кВ.

6.1.7. А. $\mathcal{E}(t, r) = -\frac{r}{2} \frac{dB_z}{dt}$. Б. $P = (\pi a^2 dB/dt)^2/R$.

6.1.8. А. $I = -4$ мА. Б. $\mathcal{E} = \mathcal{E}_0 \sin \omega t$, $\mathcal{E}_0 = Bl\omega$.

6.1.9. $I = -(Bv/\rho) \sin \alpha / (1 + \cos \alpha + \sin \alpha)$.

6.1.10. А. $Q_1/Q_2 = t_2/t_1$. Б. $Q_1/Q_2 = v_1/v_2$.

6.1.12. $I = -0,15$ мА.

6.1.13. $I_1 = 4Bv/13\rho$.

6.1.14. $\omega^2 = 4a\rho \mathcal{E}B/m(\rho b + r)^2$.

6.1.15. $x_k = v_0 \tau$.

6.1.16. $\frac{d}{dt} \left(\frac{mv^2}{2} \right) = -I^2 R$.

6.1.17. А. $ma/2 = -(Bl^2/R) dBx/dt$

6.1.18. $u = FR/B^2 l^2$, $I_m = -\frac{F}{Bl}$, $P_{\text{мех}} = Fu$, $P_{\text{эл}} = I_m^2 R$. $P_{\text{мех}} = P_{\text{эл}}$.

6.1.19. $\eta = P_{\text{мех}}/P_{\text{эл}} = 1 - FR/\mathcal{E}_0 Bl$.

6.1.20. $v = (m_1 - m_2)gR/(2Bl)^2$.

6.1.21. $x_j = l \exp(2m\rho v_0/k^2)$, $k = (\mu_0 I_0/2\pi) \ln[(4s+l)/(4s-l)]$.

6.1.22. $v(x) = v_0 - \frac{ux}{s+x}$, $u = \frac{1}{mRs} \left(\frac{\mu_0 J_0 h}{2\pi} \right)^2$.

6.1.23. $\mathcal{E}(t) = (\mu_0 I_0 ab \omega / 2\pi s) [\sin \omega t - (a/s) \sin 2\omega t]$.

6.1.25. $Bl\mathcal{E}_0 \tau = mR(gh)^{1/2}$.

6.1.26. $\mathcal{E}(\varphi) = 2\omega a^2 B \sin(\alpha/2) \cos \varphi$.

6.1.27. $\mathcal{E}(t) = -(a^2 - b^2)B\omega/2$.

- 6.1.28. $\varepsilon = -(\pi a^2 n^3 / 3) dB / dt$.
 6.1.29. $\varepsilon = -(2ka^3 / 3) dB / dt$.
 6.1.30. $\varepsilon = -(\pi R^2 H / h) dB / dt$.
 6.1.31. $J d\omega / dt = -(Bah)^2 (\omega / R) \sin^2 \varphi$, $J = ma^2 / 2$.
 6.1.32. $a = g / [1 + C(Bl)^2 / \dot{m}]$.
 6.1.33. $I_m = \pi \omega_0 a B / [\rho(4 + \pi)]$.
 6.1.34. A. $\varepsilon_0 \approx 6640$ В.
 6.1.35. $\varepsilon = 2,5$ мкВ/м.

6.2. Моторы и генераторы постоянного тока

- 6.2.1. $P = I^2 R$, $I = uBh / (R + R_c)$, $R_c = h / \sigma S$.
 6.2.2. $P = (2mg / Ba)^2 R$.
 6.2.3. $I_m = 2M / kBa^2$, $\omega_m = (2 / Ba^2) (\varepsilon - 2MR / Ba^2)$, $\eta = 1 - 2MR / \varepsilon Ba^2$.
 6.2.4. $\omega_c = 2\varepsilon / Ba^2$, $I_c = 0$.
 6.2.5. $I_0 = \varepsilon / R$, $M_A = Ba^2 \varepsilon / 2R$.
 6.2.6. $\varepsilon_{\text{нп}} = MR / k - \varepsilon$.
 6.2.7. $I' = 2M / Ba^2$, $\omega' = -MR(2 / Ba^2)^2$.
 6.2.8. $P_m = U^2 / 4R$, $M_m = Uk / 2R$.
 6.2.9. $P_0 = M_1 M_2 R (\omega_c / U)^2$.
 6.2.10. $P_1 / P_2 = (M_1 / M_2)^2$.
 6.2.11. $P_{\text{max}} = (I_0 U / 4) (1 - I_c / I_0)^2$.
 6.2.12. $\eta = 1 - I / I_0$.
 6.2.13. $\omega = U(\omega_0 / MR)^{1/2} - \omega_0$.
 6.2.14. $\omega = \omega_c (1 - MR\omega_c / U^2)$.
 6.2.15. $P_{\text{эл}} = 141$ Вт, $I = 645$ А, $M = 2,08$ Дж, $\varepsilon = -213,5$ В.
 6.2.16. $\eta = 1 - IR / U$. $\eta = 0,8$.
 6.2.17. $M = 0,1$ Дж; $R = 0,096$ Ом,
 6.2.18. $v_m = 1$ м/с.
 6.2.19. $\eta = 0,5$.
 6.2.20. $F = I(U - IR) / v_0$.
 6.2.21. $R = 0,02$ Ом.
 6.2.22. $R = 0,4$ Ом.
 6.2.23. $P_{\text{мех}} = 80$ Вт.
 6.2.24. $v_c = 176$ Гц.
 6.2.25. $P = 96$ Вт.
 6.2.26. $v_g = 23$ Гц.
 6.2.27. $T \approx 1,21$ с.

6.3. Самоиндукция. Взаимоиндукция

$$6.3.1. L = \frac{\mu_0 N^2 S}{l}.$$

$$6.3.2. L = \mu_0 N^2 b^2 / 2a.$$

$$6.3.3. L = (\mu_0 l / 2\pi) \ln(b/a).$$

$$6.3.4. L_{12} = \mu_0 N_1 N_2 S_1 / l.$$

$$6.3.5. L_{12} = L/4.$$

$$6.3.6. L_{21} = \frac{\mu_0 S_1 S_2}{2\pi r^3}, r = \sqrt{a_1^2 + h^2}.$$

$$6.3.7. I = -B_0 S / L, I = -0,1 \text{ A}.$$

$$6.3.8. \text{A. } v_c = mgR / (Bl)^2. \text{ Б. } z(t) = (g/\omega^2) (1 - \cos\omega t).$$

$$6.3.11. \Delta q = L\varepsilon / (rR).$$

$$6.3.12. Q = 0,8 \text{ Дж}.$$

6.4. Магнитные свойства вещества

$$6.4.1. \vec{M} = \alpha \vec{H}_0, \alpha = \frac{3(\mu-1)}{\mu+2}, \vec{H}^{(i)} = \frac{3}{\mu+2} \vec{H}_0,$$

$$\vec{H}^{(e)} = \vec{H}_0 + \frac{3\vec{n}(\vec{n}\vec{p}_m) - \vec{p}_m}{4\pi r^3}, \vec{n} = \frac{\vec{r}}{r}, \vec{p}_m = 4\pi a^3 \vec{M} / 3.$$

$$6.4.2. \delta A = \mu_0 V H \Delta M.$$

$$6.4.3. F_x = -\mu_0 S \left(\frac{IN\mu_s}{l+2\mu_s x} \right)^2.$$

$$6.4.4. v_0 = 7 \text{ м/с}, z_m = 3 \text{ м}.$$

$$6.4.5. \vec{i} = \vec{n} \times \vec{M}_2.$$

$$6.4.6. B_1(0) = 0,019 \text{ Тл}.$$

Глава VII. ЭЛЕКТРИЧЕСКИЙ ТОК В СРЕДЕ

7.1. Электрический ток в электролитах

7.1.1. $m = 1,2$ кг.

7.1.2. $I = 1,87$ кА, $S = 0,187$ м², $P = 12,45$ кВт.

7.1.3. $m = 64,4$ кг.

7.1.4. $P = 40$ Вт.

7.1.5. $m_1/m_2 = 2$.

7.1.6. $\Delta m = 0,02028$ г.

7.1.7. $U_m = 2,964$ В.

7.1.8. $\Delta q = 9,6485$ Кл.

7.1.9. $v_1 = 5,18 \cdot 10^{-9}$ моль.

7.1.10. $N_1 = 10^{20}$, $N_2 = 0,5 \cdot 10^{20}$.

7.1.11. $V_1 = 2,24$ л, $V_2 = 1,12$ л.

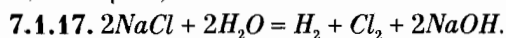
7.1.12. $U = 10,8$ В.

7.1.13. $m = 0,13$ г.

7.1.14. $\tau = 16,7$ мин.

7.1.15. $t_1/t_2 = 6/7$.

7.1.16. $\eta = 0,6$.



7.1.18. $A = 116$ кДж.

7.1.19. $v = 0,88 \cdot 10^{-4}$ м/с.

7.2. Электрический ток в вакууме

7.2.1. $I_2/I_1 = 6$.

7.2.2. А. $I_0 = 4$ А. Б. $I_0 = 6,25$ А.

7.2.3. $I = 2/R^2 k^2$, $V_g = 1/R^2 k^2$.

7.2.4. А. $R < 2r$. Б. $P_m = 2\varepsilon^2/3r$, $R = 2r/3$.

В. $V_R = 4\varepsilon R/(3R + 2r)$, $0 \leq R \leq 2r$; $V_R = 2\varepsilon R/(R + 2r)$, $R \geq 2r$.

7.2.5. $\varepsilon = 1$ В, $r = 2$ Ом.

7.2.6. $Q = C(\varepsilon - V_0)^2/2$.

7.1.8. $CdV/dt + V/R = f[\varepsilon(t) - V]$.

7.2.11. $P_0/P = 1/4$.

7.2.12. $P'/P = 2$.

7.2.13. $P = (5\varepsilon_0/12)^2/R$.

$$7.2.14. P_3 = 5V^2/9R.$$

$$7.2.15. P_1 = P_2 = 121 \text{ Вт.}$$

$$7.2.16. P_1 = 5\varepsilon_0^2/18R, P_2 = \varepsilon_0^2/9R.$$

$$7.2.17. P_1 = P_2 = (5\varepsilon_0^2/36R).$$

$$7.2.18. I_1(t) = \varepsilon_0 \sin \omega t / (R + 2r) - (R + r)V_0 / R(R + 2r),$$

$$2\pi n + \pi/6 \leq \omega t \leq 5\pi/6 + 2\pi n,$$

$$I_1(t) = 0, 2\pi n + 5\pi/6 \leq \omega t \leq 2\pi(n + 1), n = 0, 1, 2, \dots,$$

$$I(t) = (2\varepsilon_0 \sin \omega t - V_0) / (R + 2r), 2\pi n + \pi/6 \leq \omega t \leq 5\pi/6 + 2\pi n,$$

$$I(t) = \varepsilon_0 \sin \omega t / (R + r), 2\pi n + 5\pi/6 \leq \omega t \leq 2\pi(n + 1), n = 0, 1, 2, \dots$$

$$7.2.19. \text{А. } I = V/R_A, R_A = (R + r)/2. \text{Б. } I = V/R_B, R_B = 2rR/(R + r).$$

7.3. Электрический ток в газах

$$7.3.1. Q = 1,1 \cdot 10^{-9} \text{ Кл.}$$

$$7.3.2. p = 8,793 \cdot 10^{-5} \text{ Па.}$$

$$7.3.3. \lambda = 155 \text{ м.}$$

$$7.3.4. V = 0,16 \text{ мВ.}$$

$$7.3.5. I_1 = 10 \text{ мкА}, V_1 = 3 \text{ кВ.}$$

$$7.3.6. w = 3,75 \text{ кВт.}$$

$$7.3.7. R > R_m, R_m = (\varepsilon - V_0)^2 / 4P_0; P_m = P_0(\varepsilon + V_0) / (\varepsilon - V_0), P_R = P_0.$$

$$7.3.9. R_c = \left(\frac{\varepsilon - V_0}{\varepsilon + 3V_0} \right)^2 \frac{V_0}{P_0} (\varepsilon + 2V_0).$$

$$7.3.10. R_1 = 0,25 \text{ Ом.}$$

$$7.3.11. Q = T \frac{(\sqrt{m_1} + \sqrt{m_2})^2}{m}, m = m_1 + m_2.$$

Глава VIII. ЭЛЕКТРОМАГНИТНЫЕ КОЛЕБАНИЯ

8.1. Свободные электромагнитные колебания

8.1.1. А. $\nu_0 = \omega_0/2\pi = 400$ кГц. Б. $I(t) = -\frac{V_0}{R_B} \sin \omega_0 t$, $R_B = \sqrt{\frac{L}{C}}$.

8.1.2. $I(t) = \approx(\varepsilon/r) [1 + \exp(-\alpha t) - \exp(-\beta t)]$,
 $V_C(t) \approx \varepsilon[\exp(-\alpha t) - \exp(-\beta t)]$, $\beta \approx 1/\tau - \omega_0^2 \tau$, $\alpha \approx \omega_0^2 \tau$, $\tau = Cr$

8.1.3. $V_C = \varepsilon R_B/r$, $I(t) = (\varepsilon/r) \cos \omega_0 t$.

8.1.4. А. $\nu = 4$ кГц, Б. $\nu = 4$ кГц.

8.1.5. $\nu_{p2}/\nu_{p1} = [(\varepsilon + 1)/2\varepsilon]^{1/2}$.

8.1.6. $I_{20} = 50$ мА.

8.1.7. А. $\nu = 400$ кГц, $I = -I_0 \sin \omega t$, $I_0 = C\varepsilon\omega = \varepsilon(C/L)^{1/2}$, $I_0 = 40$ мА.

Б. $V_1 = \varepsilon \frac{C_1 + C_2 \cos \omega t}{C_1 + C_2}$, $V_2 = \varepsilon(\cos \omega t - 1) \frac{C_1}{C_1 + C_2}$. В. $U_{em} = 80$ нДж.

8.1.8. А. $I_1(t) = [I_0/(L_1 + L_2)][L_2 \cos \omega t + L_1]$,
 $I_2(t) = [L_1 I_0/(L_1 + L_2)](\cos \omega t - 1)$, $\omega^2 = 1/LC$, $1/L = 1/L_1 + 1/L_2$.

Б. $U_{em} = L_1 I_0^2/2$.

8.1.9. А. $\omega = 10^5 c^{-1}$. Б. $I_{ab} = 0$.

8.1.10. $U_C = \varepsilon + [\varepsilon_0 - \varepsilon] \cos \omega t$.

8.1.11. $I_{10} = Q \sqrt{\frac{L_2}{CL_1(L_1 + L_2)}}$, $I_{20} = Q \sqrt{\frac{L_1}{CL_2(L_1 + L_2)}}$.

8.1.12. $dU_{em}/dt + I_2^2 R = 0$, $U_{em} = q^2/2C + LI_1^2/2$, $Q_R = C\varepsilon^2/2$.

8.1.13. $Q_R = CV_0^2/2 + L_1 I_0^2/2$.

8.1.14. $I_1(t) = C_1 \varepsilon \omega \sin \omega t$, $I_2(t) = -C_2 \varepsilon \omega \sin \omega t$, $I(t) = C \omega \varepsilon \sin \omega t$,
 $\omega^2 = 1/LC$, $C = C_1 + C_2$.

8.1.15. $I_1(t) = (C_1^2 \omega \varepsilon / C) \sin \omega t$, $I_2(t) = -(C_1 C_2 \omega \varepsilon / C) \sin \omega t$, $I(t) = C_1 \omega \varepsilon \sin \omega t$.

8.1.16. $I_m = (\varepsilon_2 - C_1 \varepsilon_1 / C) / L \omega$, $I_{1m} = \omega C_1 (\varepsilon_2 - C_1 \varepsilon_1 / C)$,
 $V_{2m} = 2\varepsilon_2 - C_1 \varepsilon_1 / C$, $\omega = 1/(LC)^{1/2}$.

8.1.17. $q_{2m} = C_2 \varepsilon [C_1 / (C_1 + C_2)]^{1/2}$.

8.1.18. $q_m = C \varepsilon [L_1 / (L_1 + L_2)]^{1/2}$.

8.1.19. $\omega_0 = (c/r_0)(d/\pi a)^{1/2}$.

8.1.20. $Q > 2d_0/h$, $\langle P(t) \rangle = \frac{\omega_0^2 q_0^2 R}{2} \left(\frac{Qh}{2d_0} - 1 \right)$, $Q = (\omega_0 C_0 R)^{-1}$.

$$8.1.21. \langle P(t) \rangle = \frac{1}{2} I_0^2 R \left(\frac{QL_1}{2L} - 1 \right), \quad Q = (\omega_0 L_0 / R).$$

$$8.1.23. I(t) = (\varepsilon_0 \tau / L) \cos \omega.$$

8.2. Вынужденные электромагнитные колебания

$$8.2.1. \varepsilon_0^2 = V_{R0}^2 + (V_{C0} - V_{L0})^2$$

$$8.2.2. V_{L0} = 246 \text{ В.}$$

$$8.2.3. \varepsilon_{\text{эф}} < 25 \text{ В.}$$

$$8.2.4. \text{А. } \varepsilon_0 = 5 \text{ В, Б. } A_{\text{ма}} = 496 \text{ В. В. } A_{\text{кс}} \approx 250 \text{ В.}$$

$$8.2.5. A = \varepsilon_0.$$

$$8.2.6. \text{А. } A_{\text{об}} = \varepsilon_0 |X_{L2} R_4 - X_{L3} R_1| / Z_4 Z_b. \text{ Б. } X_{L2} / X_{L3} = R_1 / R_4.$$

$$8.2.7. P = \frac{\varepsilon_0^2 R}{[R^2 + (1/\omega C)^2]}.$$

$$8.2.8. P = \frac{\omega^2 L^2 \varepsilon_0^2}{2R[\omega^2 L^2 (1+r/R)^2 + (r+r_1)^2]}.$$

$$8.2.9. \text{Б.}$$

$$8.2.11. \varepsilon_{\pi} = \varepsilon_0 \sqrt{\tau / T}.$$

$$8.2.12. C = \varepsilon_0 (\rho_2 - \rho_1) S / \rho_2 d. I_0 = \varepsilon_0 / Z, Z^2 = R^2 + X_C^2.$$

$$8.2.13. Z' = Z/2, Z = \sqrt{R^2 + (\omega L)^2}.$$

$$8.2.14. Z' = \sqrt{(R/2)^2 + (\omega L)^2}.$$

$$8.2.16. I_1 = 2 \text{ мА.}$$

$$8.2.17. V_{C0} = 6,28 \text{ В.}$$

$$8.2.18. \text{А. } V_{L0} = V_{C0} = 300 \text{ В, } V_{R0} = 3 \text{ В, } I_0 = 0,3 \text{ А.}$$

$$\text{Б. } V_{L0} = 4 \text{ В, } V_{C0} = 1 \text{ В, } V_{R0} = 0,02 \text{ В, } I_0 = 2 \text{ мА.}$$

$$\text{В. } V_{L0} = 1 \text{ В, } V_{C0} = 4 \text{ В, } V_{R0} = 0,02 \text{ В, } I_0 = 2 \text{ мА.}$$

$$8.2.19. \Delta v = 4 \text{ кГц.}$$

$$8.2.20. V_{20} / V_{10} = 0,707.$$

$$8.2.21. \text{А. } \omega = \omega_0 / 2. \text{ Б. } V_{\text{эф}} = (1/2) [\varepsilon_0^2 + (1/2) (\varepsilon_0 X_C / Z)^2]^{1/2}.$$

$$8.2.22. I_0 = \frac{\varepsilon_0}{Z}, \frac{1}{Z} = \sqrt{\frac{1}{Z_2^2} - \frac{2X_L}{X_C Z_2^2} + \frac{1}{X_C^2}}, Z_2 = \sqrt{R^2 + X_L^2}, P = \frac{\varepsilon_0^2 R}{2Z_2^2}.$$

$$8.2.24. \omega_p = \omega_0 \sqrt{1 - \frac{1}{Q^2}}, \omega_0 = \frac{1}{\sqrt{LC}}, Q = \frac{R_B}{R}, R_B = \sqrt{\frac{L}{C}}, P_{\text{пес}} = \frac{\varepsilon_0^2 RC}{2L}.$$

$$8.2.25. \text{А. } P_R = 0,5 \text{ мВт. Б. } P_R = 50 \text{ мВт.}$$

$$8.2.26. v_0 = 400 \text{ кГц, } I_0 = 0.$$

$$8.2.27. C = 2/\omega^2 L.$$

$$8.2.29. P_1 = V_0^2 R_1 / (R_1 + R_2)^2 + \varepsilon_0^2 / 2R_1.$$

8.3. Трансформатор

$$8.3.1. V_{20} = \varepsilon_0 n_1 R_2 / n_2 [R_1 + (n_1/n_2)^2 R_2], P_2 = \frac{1}{2} \frac{\varepsilon_0^2 R_2}{(nR_1 + R_2/n)^2}, n = n_2/n_1.$$

$$8.3.2. R = 5 \text{ кОм}.$$

$$8.3.3. \text{А. } V_{20} = 2 \text{ В. Б. } I_{10} = 0,02 \text{ А. В. } I_{20} = 1 \text{ А. Г. } P_{\text{эл}} = 1 \text{ Вт}.$$

$$8.3.4. V_{10} = V_{20} Z_1 / Z_2, Z_1^2 = r_1^2 + X_1^2, Z_2^2 = r_2^2 + X_2^2.$$

$$8.3.5. R = 65 \text{ Ом}.$$

$$8.3.6. \text{А. } V_{20} = \varepsilon_0 n_1 R / n_2 [r_1 + (n_1/n_2)^2 (r_2 + R)].$$

$$\text{Б. } V_{10} = \varepsilon_0 X / Z_2, Z_2^2 = (r_2 + R)^2 + (\omega L_2)^2.$$

$$8.3.7. L_z = L_1 + L_{11} - M^2 / (L_2 + L_{22}).$$

8.4. Представление уравнений Кирхгофа в комплексной форме

$$8.4.2. \dot{P} = \frac{\varepsilon_0^2 R}{2} \left| \frac{1}{G_1 + R(G_1/G_2 + 1)} \right|^2.$$

$$8.4.3. P = \frac{(\varepsilon_0 \omega L)^2}{2R[(\omega L)^2(1+r/R)^2 + r^2]}.$$

$$8.4.4. P = \frac{\varepsilon_0^2 R}{2[(\omega L_1)^2 + R^2(1 + L_1/L_2)^2]}.$$

$$8.4.6. C = 2/\omega^2 L.$$

$$8.4.7. R = \sqrt{L/C}.$$

$$8.4.8. X_L = X_C, \omega^2 = 1/LC.$$

$$8.4.9. \varphi_n - \varphi_m = \varepsilon_0 \cos(\omega t + 2\alpha), \cos 2\alpha = \frac{R^2 - X_C^2}{R^2 + X_C^2}, \sin 2\alpha = \frac{2X_C R}{R^2 + X_C^2}.$$

$$8.4.10. \varphi_n - \varphi_m = (\varepsilon_0/2) \cos(\omega t + 2\alpha),$$

$$\cos 2\alpha = \frac{R^2 - X_C^2}{R^2 + X_C^2}, \sin 2\alpha = \frac{2X_C R}{R^2 + X_C^2}.$$

$$8.4.11. I_{10} = (\varepsilon_0/RX_C)(R^2 + 4X_C^2)^{1/2}, I_{20} = (\varepsilon_0/RX_C)(R^2 + X_C^2)^{1/2}.$$

$$8.4.12. I_2(t) = \varepsilon_0 \left(\frac{1}{\omega L} + \frac{\omega C}{4} \right) \sin \omega t.$$

$$8.4.15. I_{10} = \varepsilon_0/Z, Z = \sqrt{R^2 + [X_1 X_C / (X_2 - X_C)]^2}.$$

$$8.4.16. V_0 = \varepsilon_0.$$

Глава IX. ПЕРЕМЕННЫЙ ТОК В RCL-ЦЕПЯХ

9.1. Схемы, содержащие резисторы, конденсаторы и индуктивности

9.1.1. А. $V_R = \varepsilon_0 \exp(-t/\tau)$, $V_C = \varepsilon_0 [1 - \exp(-t/\tau)]$, $\tau = RC$.

Б. $Q = C\varepsilon_0^2/2$.

9.1.2. $V_C = \varepsilon_0 \exp(-t/\tau)$, $V_R = -\varepsilon_0 \exp(-t/\tau)$, $I = -(\varepsilon_0/R) \exp(-t/\tau)$.

9.1.4. $I(t) = -2[\varepsilon/(r+R)] \exp(-t/\tau)$, $\tau = (r+R)C$.

9.1.5. $I_1 = (\varepsilon/r) \exp(-t/\tau)$, $I = [\varepsilon R/r(r+R)] \exp(-t/\tau) + \varepsilon/(r+R)$.

9.1.6. $I(t) = -(\varepsilon/R) \exp(-t/\tau)$, $\tau = CR_0$, $1/R_0 = 1/R + 1/r$.

9.1.7. $V_C(t) = \varepsilon R [1 - \exp(-t/\tau)/(R+r)]$, $\tau = CRr/(R+r)$.

9.1.8. $I(t) = \varepsilon/R_1 + [(\varepsilon - V_0)/R_2] \exp(-t/\tau)$, $\tau = R_2 C$.

9.1.9. $I(t) = \varepsilon/(r+R_{12}) - (\varepsilon/r) [R_1/(r+R_1) - R_{12}/(r+R_{12})] \exp(-t/\tau)$,
 $\tau = CR$, $1/R_{12} = 1/R_1 + 1/R_2$, $1/R = 1/r + r/R_{12}$.

9.1.10. $V_R = \varepsilon_0 [1 - \exp(-t/\tau)]$, $V_L = \varepsilon_0 \exp(-t/\tau)$, $\tau = L/R$.

9.1.11. $V_R(t) = I(t)R = \varepsilon_0 \exp(-t/\tau)$, $V_L(t) = LdI/dt = -\varepsilon_0 \exp(-t/\tau)$,
 $\tau = L/R$.

9.1.13. А. $I_1 = [\varepsilon_0/(R+r)] \exp(-t/\tau)$, $I_2 = (\varepsilon_0/r) [1 - \exp(-t/\tau)]$, $\tau = L/R$.

Б. $q_1 = L\varepsilon/(rR)$.

9.1.16. $Q = L(\varepsilon/r)^2/2$, $Q = 0,8$ Дж.

9.1.17. $q_2 = \varepsilon L_3/[R_2(r+R_1)]$.

9.1.18. $I(t) = C_1 \varepsilon \omega \sin \omega t$, $\omega^2 = 1/[L(C_1 + C_2)]$.

9.1.19. $I_1 = (L_2 \varepsilon + L_1 I_0 R)/(L_1 + L_2) R$, $I_2 = L_1 (\varepsilon - I_0 R)/(L_1 + L_2) R$.

9.1.20. $Q_1 = LR_2 (\varepsilon/R_3)^2/2(R_1 + R_2)$, $Q_2 = LR_1 (\varepsilon/R_3)^2/2(R_1 + R_2)$.

9.1.21. $q = L\varepsilon/r(r+R)$.

9.1.22. $I_2(t) = [\varepsilon/2(R+2r)] [2r/R + \exp(-t/\tau)]$, $\tau = L(R+r)/r(R+2r)$.

9.2. Электромеханика

9.2.1. $f_z = -\frac{q^2}{2\varepsilon_0 S} + qG$.

9.2.2. $N = (\varepsilon_0 S/2) [(V/h)^2 - G^2] + mg$.

9.2.3. $m \frac{dv_z}{dt} = -\frac{q^2}{2\varepsilon_0 S} + qG - mg + T$, $IR + \left(\frac{q}{\varepsilon_0 S} - G \right) z = V$.

9.2.4. $m = C^2 V^2 / (2\varepsilon_0 Sg)$.

$$9.2.5. F_z(z_c) \approx QG(z_c) + \varepsilon_0 V G dG/dz_c, V = ha^2.$$

$$9.2.6. F_z = \frac{I^2 dL}{2 dx}.$$

$$9.2.7. \sigma_z = pa/2d, \sigma_{np} = pa/d.$$

$$9.2.8. x_r = mR/k^2, k = (\mu_0 I_0 / 2\pi) \ln[(a+h)/2a].$$

$$9.2.9. v(x) = v_0 - \frac{ux}{s+x}, u = \frac{1}{mRs} \left(\frac{\mu_0 J_0 h}{2\pi} \right)^2.$$

$$9.2.10. \omega(t) = \frac{q}{2m} [B_0 - B(t)].$$

$$9.2.11. m dv_z/dt = -(1/R) (Sdb_z/dz)^2 v_z - mg.$$

$$9.2.13. x(t) = x_0 chkt, y(t) = g/k^2 + (y_0 - g/k^2) chkt, z(t) = 0.$$

Глава X. ЭЛЕКТРОМАГНИТНЫЕ ВОЛНЫ

10.1. Электромагнитные волны.

Радиосвязь и телевидение

10.1.3. $4,3 \cdot 10^{14} \text{ Гц} \leq \nu \leq 7,7 \cdot 10^{14} \text{ Гц}$.

10.1.4. $p = 0,35 \text{ МПа}$.

10.1.5. $F = \pi R^2 J/c$.

10.1.6. А. $E = \frac{1}{r} \sqrt{3RP/4\pi}$. Б. $V = 0,1 \text{ В}$.

10.1.7. $A = 3 \text{ мм}$.

10.1.8. $P_2/P_1 = 1/16$.

10.1.9. мЯУ

10.1.12. $\Delta\nu = 6,5 \text{ МГц}$.

10.1.15. $v_H = v \left(1 - \frac{1}{c} \frac{dr_{SP}}{dt} \right)$.

10.2. Интерференция. Дифракция

10.2.1. $J(x, y) = 4J_0 \cos^2 \left(\frac{\pi x d}{\lambda b} \right)$.

10.2.2. $\Delta x = 1 \text{ мм}$.

10.2.3. $\left(\frac{y}{A_n} \right)^2 + \left(\frac{z+b}{A_n} \right)^2 - \left(\frac{x}{B_n} \right)^2 = -1$,

$A_n = [d^2 - (n\lambda)^2]^{1/2}/2$, $B_n = n\lambda/2$, $n \in N$.

10.2.4. $J \sim \cos 2\gamma$, где $\gamma = 2\pi(l_2 - l_1)/\lambda$.

10.2.5. $\vec{E} = a \vec{e}_i \cos(\omega t - k \vec{n}_i \vec{r}) + a \vec{e}_o \cos(\omega t - k \vec{n}_o \vec{r})$,

$\vec{e}_o = -\vec{e}_i + 2 \vec{p}(\vec{p}\vec{e}_i)$, $\vec{n}_o = (\sin \alpha, 0, \cos \alpha)$.

10.2.6. $E_x(x, y, z) = -2a \sin(kx) \sin \omega t$.

10.2.7. $J(x) = 4J_0 \cos \alpha \sin^2(2\pi x \sin \alpha/\lambda)$.

10.2.8. $J(x) = 4J_0 \cos \alpha \cos^2(2\pi x \sin \alpha/\lambda)$.

10.2.9. $J = 2J_0$.

10.2.10. $d_n = n\lambda/4$, $n = 0, 1, 2, \dots$.

10.2.11. А. $\vec{E}_L = (0, E_y, 0) \cos(\omega t - kn_1 z) + (0, E_y, 0) \cos(\omega t + kn_1 z)$,

$c\vec{B}_L(t, z) = (-n_1 E_y, 0, 0) \cos(\omega t - kn_1 z) + (n_1 E_y, 0, 0) \cos(\omega t + kn_1 z)$.

$$\text{Б. } \langle S \rangle = 2\varepsilon_0 c n_1^2 n_2 E_i^2 / (n_1 + n_2)^2.$$

$$10.2.12. \text{ А. } \vec{E}_L = (cB_i/n_1, 0, 0)\cos(\omega t - kn_1 z) + (-cB_i/n_1, 0, 0)\cos(\omega t + kn_1 z).$$

$$\vec{B}_L(t, z) = (0, B_i, 0)\cos(\omega t - kn_1 z) + (0, B_i, 0)\cos(\omega t + kn_1 z).$$

$$\text{Б. } \langle S \rangle = 2cn_2 B_i^2 / \mu_0 (n_1 + n_2)^2.$$

$$10.2.13. J = 2c\varepsilon_0 a^2 \cos^2 \delta / 2, \delta = k\alpha(n-1)x - k\alpha^2(n-1)^2(H/n + d)/2.$$

$$10.2.14. \text{ Б. } B_n = [q_n(q_n + 2z_0)]^{1/2}/2, A_n = (q_n + z_0)/2, q_n = n\lambda/2.$$

$$10.2.15. S_m = \pi(\lambda z_0)/4, V_m = \pi(\lambda z_0^2)/6.$$

$$10.2.16. S \gg \pi\lambda z_n / \cos^2 \alpha.$$

$$10.2.18. r_F = \frac{a^2}{\lambda}.$$

$$10.2.22. \lambda_2 - \lambda_1 = \lambda_1/m.$$

10.2.23. не могут

$$10.2.24. \theta_1 = \pm 18,1^\circ, \theta_2 = \pm 38,3^\circ, \theta_3 = \pm 68,5^\circ.$$

10.2.25. да

$$10.2.26. x = 0,3 \text{ м.}$$

10.2.27. 9 главных максимумов — центральный и по четыре с обеих сторон от центрального максимума.

$$10.2.28. \lambda \approx 3,12 \cdot 10^{-7} \text{ м.}$$

$$10.2.29. d(\sin\theta - \sin\theta_0) = n\lambda.$$

$$10.2.30. m_c = d/\lambda.$$

Глава XI. Оптика

11.1. Принцип Ферма.

Отражение и преломление света

$$11.1.3. b = 2R\sin\alpha.$$

$$11.1.4. s = 7 \text{ м.}$$

$$11.1.7. H = 2h.$$

$$11.1.8. L = (\sqrt{2} - 1)s/2.$$

$$11.1.9. v = \sqrt{v_1^2 + (2v_2)^2}.$$

$$11.1.10. L = 2(a^2 + 2ab \cos \alpha + b^2)^{1/2}.$$

$$11.1.11. \alpha = 2\pi/3.$$

$$11.1.12. H = Lhs/(b + s)b.$$

$$11.1.13. PF \approx R/2.$$

11.1.14. Не выйдет.

$$11.1.15. n = \sqrt{3}$$

$$11.1.17. h = b(2n^2 - 1)^{1/2}/[(2n^2 - 1)^{1/2} - 1].$$

$$11.1.18. h = 1,5 \text{ м.}$$

$$11.1.19. x_0 = h(n^2 - 1) \left(\frac{\sin r}{n \cos i} \right)^3, y_0 = \frac{h}{n} \left[\frac{n \cos r}{\sqrt{n^2 - \sin^2 r}} \right]^3.$$

$$11.1.20. u = v/\sqrt{n^2 - 1}.$$

$$11.1.21. d = f/2 - h/n.$$

$$11.1.22. x_c = 2h(n^2 - 1) \sin^3 \alpha / (n^2 - \sin^2 \alpha)^{3/2},$$

$$z_c = h - d - 2hn \cos 3\alpha / (n^2 - \sin^2 \alpha)^{3/2}.$$

$$11.1.23. \text{А. } BN = d \sin \alpha \left[1 - \frac{\cos \alpha}{\sqrt{n^2 - \sin^2 \alpha}} \right].$$

$$\text{Б. } MP = d \left[1 - \frac{\cos \alpha}{\sqrt{n^2 - \sin^2 \alpha}} \right].$$

$$11.1.25. h = d/(n^2 - 1/2)^{1/2}.$$

$$11.1.26. \text{Б. } \alpha > \delta, n \sin \delta > 1.$$

$$11.1.27. \gamma = 37^\circ 20'.$$

$$11.1.28. \gamma = (n - 1)\alpha.$$

$$11.1.29. n > 1.$$

$$11.1.30. n > \sqrt{2}.$$

$$11.1.31. \gamma_{23} = \pi/6.$$

11.1.32. $\gamma_{23} = \pi/6$.

11.1.33. $n_1 = 1,949$.

11.1.34. $N = 2$.

11.1.35. $S(-d, (n-1)\alpha d, 0)$.

11.1.36. $S_1(d, 0, 0), S_2(d, 2n\alpha d, 0)$.

11.1.37. А. $x_m = m\lambda(a+b)/2(n-1)\alpha a, m = 1, 2, \dots$

Б. $N = 4ab[(n-1)\alpha]^2/(a+b)\lambda$.

11.1.38. А. $OB = H/(n-1)\alpha, MN = H$.

Б. $N = 2H(n-1)\alpha/\lambda$.

11.1.39. $n = 2$

11.1.40. $\sin\alpha_0 = \sqrt{(4-n^2)}/3$.

11.1.41. $A = \sqrt{n_c^2 - n_m^2}$.

11.1.42. $D = nrR/[R(2n-1) - r(n-1)] + nrR/[R + r(n-1)]$.

11.1.43. $u = nvR^2/[R + s(n-1)]^2, v = ds/dt$.

11.2: Волны в неоднородной и анизотропной средах

11.2.6. $p = F(n-1)/n, e = 1/n, F_1 F_2 = 2ae$.

11.2.10. $r = c$.

11.2.11. $e_1 = -\mu\omega k_2 w_0, e_2 = -\mu\omega k_1 w_0, e_3 = 0, h_1 = -k_3 k_1 w_0, h_2 = -k_3 k_2 w_0,$

$h_3 = k_1^2 w_0$, где $k_1^2 = k_1^2 + k_2^2$. Закон дисперсии $\varepsilon \left(\frac{\omega}{c}\right)^2 = \bar{k}^2$.

11.2.12. $e_1 = -\left(\frac{k_3 k_1}{\varepsilon}\right) w_n, e_2 = -\left(\frac{k_3 k_2}{\varepsilon}\right) w_n, e_3 = \left(\frac{k_1^2}{\varepsilon_3}\right) w_n, h_1 = \varepsilon_0 \omega k_2 w_n,$

$h_2 = \varepsilon_0 \omega k_1 w_n, h_3 = 0$, где $k_1^2 = k_1^2 + k_2^2$.

Закон дисперсии $\frac{k_1^2}{\varepsilon_3} + \frac{k_3^2}{\varepsilon} = \left(\frac{\omega}{c}\right)^2$.

11.2.16. $h = d \frac{(\varepsilon - \varepsilon_3) \sin \gamma \cos \gamma}{\varepsilon \sin^2 \gamma + \varepsilon_3 \cos^2 \gamma}$.

11.3. Тонкие линзы

11.3.1. Собирающая линза.

11.3.7. $u_z(t) = -v(F/s)^2, u_y(t) = dy/dt = v(H/F)(F/s)^2$.

11.3.8. $s = hd/F, S = 20$ см.

- 11.3.9. $F = 4$ см.
 11.3.10. $F = 5$ см.
 11.3.11. $f = F_0/3$.
 11.3.12. $A'(3H, 0, 2F_0)$.
 11.3.13. $R = r[1 + s(1/a + 1/F_0)]$
 11.3.14. $d = 6$ см.
 11.3.15. $x = 40$ см.
 11.3.16. $h = (h_1 h_2)^{1/2}$.
 11.3.17. $\beta = \alpha(1 - a/F)$.
 11.3.18. $l = 3,75$ см.
 11.3.19. $h = F(k^2 - 1)^{1/2}$.
 11.3.20. $M'(-H, 0, 3s)$, $N'(-H, 0, 2s)$.
 11.3.21. $k = (4/3)^2$.
 11.3.22. $k = 2$.
 11.3.23. $F = 1,2$ м.
 11.3.24. $\Delta D = 4$ дптр.
 11.3.25. $s = 10$ см.
 11.3.26. $D = 2$ дптр.
 11.3.27. $s = d_0/2$.
 11.3.28. $s = 10$ см.
 11.3.29. А. $k = 1 + \frac{d_0}{F}$. Б. $k = d_0/F$.
 11.3.30. $r_n^2 \approx 2n\lambda s$, $n = 1, 2, \dots$.
 11.3.31. $L = 105$ см.
 11.3.32. $\text{tg } \gamma_m = 1/n$.
 11.3.35. $s_1 = n_0 F$, $n_0 F > h$; $s_2 = F + h(n_0 - 1)/n_0$, $n_0 F < h$.
 11.3.36. $D = -1,33$ дптр.

11.4. Оптические системы

- 11.4.1. $\theta = 2\alpha$.
 11.4.3. $s = F/2$.
 11.4.4. $R = F_0 + s$.
 11.4.5. А. $F = -R/2n$, $F = -10$ см. Б. $h = H/3$.
 11.4.6. $f_3 = (F + 2h)F/(2h)$.
 11.4.7. $h = 30$ см.
 11.4.8. В.
 11.4.9. $d = 3s$.

$$11.4.10. d = 24 \text{ cm.}$$

$$11.4.11. f_3 = F \frac{2ab - (a + 2b)F}{2ab - 2F(a + b) + F^2}.$$

$$11.4.12. s = FH/2(d - F).$$

$$11.4.13. f_4 = F/2.$$

$$11.4.14. b = (n - 1)\alpha F.$$

$$11.4.15. d = 8 \text{ cm.}$$

$$11.4.16. s = a - b.$$

$$11.4.17. d = 14 \text{ cm.}$$

$$11.4.18. F_c = s, F_p = -s/2.$$

$$11.4.19. k = 3.$$

$$11.4.20. h_2/h_1 = 5,5.$$

$$11.4.21. d = 2s.$$

$$11.4.22. F_p = -2F/3.$$

$$11.4.23. d_1 = F_0.$$

$$11.4.24. (4h, 0, -3F/2)$$

$$11.4.25. J_2 = J_0/4.$$

$$11.4.26. s = [(F/2)^2 + (2h)^2]^{1/2}.$$

$$11.4.27. s = (3h/4)\text{ctg } \alpha.$$

$$11.4.28. f_2 = -8 \text{ cm.}$$

$$11.4.29. \text{A. } k = 3/4.$$

$$11.4.30. \frac{1}{F} = \frac{1}{F_1} + \frac{1}{F_2} - \frac{L}{(F_1 F_2)}.$$

$$11.4.31. PK_2 = 0, F = R/(n - 1).$$

$$11.4.32. OK_1 = R/n, F = R/(n - 1).$$

$$11.4.34. F = Rn/[2(n - 1)].$$

$$11.4.36. x = 3R.$$

$$11.4.37. f = -2R.$$

$$11.4.38. u_1 = 3v. \text{B. } u_2 = 4v/3. \text{B. } u_3 = 3v/4.$$

$$11.4.39. k = d_0(L - F_{06})/F_{06}F_{0x}.$$

$$11.4.40. F_{0x} = 3 \text{ cm.}$$

$$11.4.41. k = F_{06}/F_{0x}.$$

$$11.4.42. F_{0x} = F_{06}D_{sp}/D_{06}.$$

Глава XII. ОСНОВЫ ТЕОРИИ ОТНОСИТЕЛЬНОСТИ

12.1. Преобразование Лоренца

12.1.6. Гиперболы $(ct)^2 - x^2 = (c\tau)^2$, $(ct)^2 - x^2 = -\lambda^2$.

12.1.7. $t_2 = 200$ мкс, $u \approx c$.

12.1.8. А. $\Delta\phi \approx \lambda\beta^2$. Б. $\Delta\phi = 0$.

12.1.11. $x' = \gamma(x - vt) = \gamma R(\sin \omega t - \omega t)$, $y' = y = R(1 - \cos \omega t)$.

12.1.12. $d = \lambda / [\gamma(1 + u/c)]$.

12.1.13. $u = \frac{c(t_3 - t_1)}{t_3 + t_1}$.

12.1.14. $t = T, k^2T, k^4T, \dots$, $t' = kT, k^3T, \dots$, $k = \gamma(1 + \beta)$.

12.1.15. $v = v' / \{(1 + \beta)\gamma\}$.

12.1.16. А. $t_2 = 10^{-8}$ с. Б. $t_3 = 1,11 \cdot 10^{-8}$ с.

12.1.17. $t_2 = 5\lambda/9c$.

12.1.19. $v_z' = -c/2$, $v_y' = c\sqrt{3}/2$, $v_x' = 0$.

12.1.20. $v_R = \frac{v_2 - v_1}{1 - v_1 v_2 / c^2}$.

12.1.21. $v_R = 0,8$ с.

12.1.22. $v = 0,75$ с.

12.1.23. $v_R = c/3$.

12.2. Релятивистские импульс и энергия частицы. Рождение новых частиц

12.2.2. А. $\lambda' = 3,2$ см, Б. $v = c - 1,5$ см/с.

12.2.3. $v = 0,6$ с.

12.2.4. $h\nu_{10} = h\nu_{20} = 67,5$ МэВ.

12.2.5. А. $h\nu_{\min} \leq h\nu \leq h\nu_{\max}$, $h\nu_{\min} = (E - cp)/2$, $h\nu_{\max} = (E + cp)/2$.

Б. $v_1/v_2 = 9$.

В. $\alpha_m = \pi/3$.

12.2.6. $T_2' = 2m_2 p_1^2 / m^2$, $T_1' = T_1 - 2m_2 p_1^2 / m^2$.

12.2.7. $\cos \alpha_m = T / (T + 4mc^2)$.

12.2.8. $v' = \frac{v(E - c\vec{p}\vec{n})}{E - c\vec{p}\vec{n} + hv(1 - \vec{n}\vec{n}')}.$

$$12.2.9. v' \approx v \left(\frac{2E}{mc^2} \right)^2.$$

$$12.2.10. m_2' = [(m_1 + m_2)^2 + 2m_2 T_1/c^2]^{1/2} - m_1.$$

$$12.2.11. \text{A. } v = 0,8 \text{ c. } \text{B. } T = 0,3 \text{ Mc}^2.$$

$$12.2.12. \text{A. } E_{10} = (M^2 + m_1^2 - m_2^2)c^2/2M, E_{20} = (M^2 + m_2^2 - m_1^2)c^2/2M.$$

$$\text{B. } E_{10} = 76,4 \text{ МэВ.}$$

$$12.2.13. T_{\text{лор}} = \frac{c^2}{2m_2} [(m_a + m_b + \dots)^2 - (m_1 + m_2)^2].$$

$$12.2.14. h\nu_{\text{лор}} = 0,145 \text{ ГэВ.}$$

$$12.2.15. T_L = 0,36 \text{ ГэВ.}$$

$$12.2.16. T_L \approx (m_1 + m_2)\epsilon_0/m_2.$$

$$12.2.17. T_{\text{лор}} = 5,628 \text{ ГэВ.}$$

$$12.2.18. T_{0\text{лор}} = 0,938 \text{ ГэВ}$$

$$12.2.19. T_L = 4T_0 + 2T_0^2/m_0c^2.$$

12.3. Релятивистская электродинамика

$$12.3.1. \text{A. } E'_y = -u\gamma B_x, B'_x = \gamma B. \text{B. } \vec{E}' \approx \vec{u} \times \vec{B}.$$

$$12.3.2. \vec{B} = (\mu_0 \sigma u / 2, 0, 0).$$

$$12.3.6. \vec{j} = \sigma (\vec{E} + \vec{u} \times \vec{B}).$$

$$12.3.7. v_y(t) = \frac{c}{\sqrt{1 + (mc/e_0 Et)^2}}, v_y(d) = \sqrt{\frac{2e_0 V_0}{m} \frac{\sqrt{1 + e_0 V_0 / 2mc^2}}{1 + e_0 V_0 / mc^2}}.$$

$$12.3.8. R = m\gamma v_0 / eB, \omega = eB / m\gamma, \gamma = [1 - (v_0/c)^2]^{-1/2}.$$

$$12.3.9. B_z(\tau, R) = (B_z)_{\text{эф}} / 2.$$

Глава XIII. КВАНТОВАЯ ФИЗИКА. АТОМ И АТОМНОЕ ЯДРО

13.1. Фотон. Фотозффект. Квантовая теория атома

13.1.1. $\lambda_m = 500 \text{ нм}$.

13.1.2. $\varepsilon_1 = 4,96 \text{ эВ}$. $\varepsilon_2 = 2,11 \text{ эВ}$. $\varepsilon_3 = 1,93 \text{ эВ}$.

13.1.3. $\varepsilon_m = N_A hc / \lambda$. $\varepsilon_m = 2,74 \cdot 10^5 \text{ Дж}$ $= 1,7 \cdot 10^{15} \text{ ГэВ}$.

13.1.4. $\lambda_m = 950 \text{ нм}$.

13.1.5. $\Delta N / \Delta t = 2,5 \cdot 10^{18} \text{ фот/с}$.

13.1.6. А. $\Delta N / (\Delta t \Delta S) = 4,14 \cdot 10^{21} \text{ фот/м}^2 \cdot \text{с}$.

Б. $\Delta N / \Delta V = 1,38 \cdot 10^{13} \text{ фот/м}^3$.

13.1.7. $Q = Ihc / Pe_0 \lambda$.

13.1.8. $A = 1,8 \text{ В}$.

13.1.9. А. $V_s = 1,54 \text{ эВ}$. Б. $K_m = 1,54 \text{ ЭВ}$.

В. $v_m = 0,74 \cdot 10^6 \text{ м/с}$. Г. $\Delta V_s = 20,4 \text{ мВ}$.

13.1.10. $v_c = 4,6 \cdot 10^{14} \text{ Гц}$.

13.1.11. $A = 1,55 \text{ эВ}$.

13.1.12. $V = -V_s d / b$.

13.1.13. $A = 1,9 \text{ эВ}$.

13.1.14. $n = 3$.

13.1.15. $B = 2,2 \cdot 10^5 \text{ Тл}$.

13.1.16. $E_n = -A / n^2$, $A = \mu c^2 \alpha^2 / 2$, $\mu = m m_p / (m + m_p)$, $\alpha = 2\pi k e^2 / hc$.

13.1.18. $E_n = \omega \hbar n$, $n = 1, 2, 3, \dots$, $\omega^2 = k / m$.

13.1.19. $E_n = (\hbar n)^2 / 2I$.

13.1.20. $K = 0,002 \text{ эВ}$, $h\nu \approx 14,4 \text{ кэВ} - 0,002 \text{ эВ}$.

13.1.21. $\Delta v < 2 \text{ мм/с}$.

13.1.22. $v \approx v_{21} (1 - u_1 / c)$.

13.1.25. $v = 1,85 \cdot 10^{22} \text{ Гц}$.

13.1.26. $\lambda' - \lambda = \lambda_c (1 - \bar{n} \bar{n}')$, $\lambda_c = h / mc$, $\lambda_c = 2,426 \cdot 10^{-3} \text{ нм}$.

13.1.27. $\alpha = \pi / 3$.

13.1.28. $\beta = \pi / 6$.

13.1.29. $q_{\min} = h\nu m^2 c^3 / [2E(E - h\nu)]$.

13.1.30. $q_{\max} = mc$.

13.1.31. $K = 154,2 \text{ эВ}$.

13.1.32. $s = pD^2 / \hbar$.

13.1.34. $h/e^2 = 25\ 812,8\ \text{Ом}$.

13.1.35. $\Phi_0 = 2,07 \cdot 10^{-15}\ \text{Вб}$.

13.1.36. $m^2 c^3 / e \hbar = 1,27 \cdot 10^{18}\ \text{В/м}$.

13.1.37. $(hc/G)^{1/2} \sim 5 \cdot 10^{-8}\ \text{кг}$, $(Gh/c^3)^{1/2} \sim 4 \cdot 10^{-33}\ \text{см}$.

13.2. Радиоактивность. Ядерные реакции

13.2.2. А. $T_{2L} = (m_1 + m_2)\varepsilon_0/m_1$.

Б. $T_2 = (m_1 + m_2)m'_2\varepsilon_0/(m_1m'_2 - m'_1m_2)$,

m_1, m_2 – массы ядра азота и α -частицы,

m'_1, m'_2 – массы протона и ядра кислорода.

13.2.3. $m_n = 1,159\ \text{а.е.м.}$

13.2.4. $\Delta E = 0,793\ \text{МэВ}$.

13.2.5. $E_c = 2,24\ \text{МэВ}$.

13.2.6. $\Delta E = 7,274\ \text{МэВ}$.

13.2.7. $\varepsilon = 6,82\ \text{МэВ}$.

13.2.8. Ядро лития-7.

13.2.9. $x = {}^1_0n$, $y = {}^1_1p$, $z = {}^4_2\text{He}$.

13.2.10. $k_1 = 8$, $k_2 = 6$.

13.2.11. $k_1 = 5$, $k_2 = 4$.

13.2.13. $N(T)/N_0 = 10^{(-862,500)}$.

13.2.14. $\tau = 2600\ \text{лет}$.

13.2.15. $p = 0,43\ \%$.

13.2.16. $T_{1/2} = 1600\ \text{лет}$.

13.2.17. $t_1 = 6,64 \cdot T_{1/2}$.

13.2.18. $\tau = 1\ \text{с}$.

13.2.19. $\Delta t = 53\ \text{сут}$.

13.2.20. $t_k = 197\ \text{лет}$.

13.2.21. $T_{1/2} = 2720\ \text{лет}$.

13.2.22. $r_0 = 1,16$.

13.2.23. $V = 15 \cdot 10^6\ \text{м}^3$.

13.2.24. $N_A = 0,6931 (\Delta N/\Delta t) (M/m) T_{1/2}$.

13.2.25.

А. $N_1(t_1) = N_0/2$, $N_2(t_1) = N_0[\exp(-k \ln 2) - 1/2] \approx N_0(1/2 - k \ln 2)$,

$N_3(t_1) \approx N_0 k \ln 2$, $k = t_1/t_2$.

Б. $N_1(t_2) = 0$, $N_2(t_2) \approx N_0/2$, $N_3(t_2) \approx N_0/2$.

В. $N_1(10t_2) = 0$, $N_2(10t_2) = 0$, $N_3(10t_2) = N_0$.

13.2.26. $T_{2/3} = 1,585T_{1/2}$.

13.2.27. $a = 3,31 \text{ мкКи} = 1,22 \cdot 10^5 \text{ расп/с}$.

13.2.28. $m = 0,882 \text{ мг}$.

13.2.29. $V = 6 \text{ л}$.

13.2.30. $U_p \approx 200 \text{ МэВ}$.

13.2.31. $c_v = 8,19 \cdot 10^{13} \text{ Дж/кг}$.

13.2.32. $\Delta m = 10,1 \text{ кг}$.

13.2.33. $E_a = (12/25)T_1 + (4/5)U$.

РЕШЕНИЯ ЗАДАЧ

Глава V. МАГНИТНОЕ ПОЛЕ

5.1. Магнитное поле. Силы Лоренца и Ампера

5.1.1. Уравнение силовой линии $d\vec{r}/ds = \vec{B}(r)/B(r)$, где s — длина дуги кривой. Введем систему координат с началом в центре Земли и осью z , направленной параллельно вектору $\vec{\mu}$. Силовые линии лежат на множестве плоскостей проходящих через ось z . Найдем уравнение силовой линии в плоскости xz .

Введем вектор $\vec{n} = (\sin\theta, 0, \cos\theta)$, где $\theta(s)$ — угол между осью z и вектором \vec{r} . Тогда $\vec{r}(s) = r\vec{n}$. Производная единичного вектора $d\vec{n}/ds = \vec{e} d\theta/ds$, $\vec{e} = (\cos\theta, 0, -\sin\theta)$. Уравнение силовой линии приобретает вид

$$\vec{n} dr/ds + \vec{e} r d\theta/ds = \vec{B}(x, y, z)/B(x, y, z). \quad (1)$$

Поскольку $\vec{\mu}\vec{n} = \cos\theta$, $\vec{\mu}\vec{e} = -\sin\theta$, то образуя скалярное произведение (1) с \vec{n} , \vec{e} , получаем два уравнения

$$dr/ds = 2\mu\cos\theta/Br^3, \quad r d\theta/ds = \mu\sin\theta/Br^3.$$

Отсюда следует уравнение $dr/d\theta = 2r\cos\theta/\sin\theta$, которое можно представить в виде полных дифференциалов

$$(dr)/r = 2(d\sin\theta)/\sin\theta \text{ или } r = A\sin^2\theta,$$

где A — произвольная постоянная.

Пусть $r(\theta_0) = R$, где R — радиус Земли. Тогда $r = R(\sin\theta/\sin\theta_0)^2$. Максимальное удаление силовой линии от центра Земли $r_m = R/\sin^2\theta_0$. Например, при $\theta_0 = \pi/4$, $r_m = 2R$.

5.1.2. Силовые линии находятся в плоскостях, проходящих через ось z . Уравнение силовой линии $d\vec{r}/ds = \vec{B}(r)/B(r)$, где s — длина дуги кривой. Приращение радиус-вектора на дуге кривой в плоскости, проходящей через ось z , имеет вид $d\vec{r} = d\rho\vec{n} + dz\vec{e}_3$. Тогда уравнение силовой линии $d\rho/ds = -(\rho/2B)db/dz$, $dz/ds = b/B$. Следовательно, имеем уравнение $d\rho/dz + (\rho/2b)db/dz = 0$.

5.1.3. В момент времени $t \geq 0$ скорость частицы $\vec{v}(t) = (v_x, v_y, v_z)$. Поскольку магнитная сила \vec{F}_L перпендикулярна векторам $\vec{v}(t)$ и \vec{B} , то векторы $\vec{v}(t)$ и \vec{F}_L будут принадлежать плоскости XY . Используя (5.1.2), находим силу Лоренца $\vec{F}_L = (qv_y B, -qv_x B, 0)$.

Пусть $mg \ll |F_L|$. Тогда из (5.1.3) получим систему

$$m \frac{dv_x}{dt} = qv_y B, \quad m \frac{dv_y}{dt} = -qv_x B, \quad m \frac{dv_z}{dt} = 0. \quad (1)$$

Из последнего уравнения следует, что сохраняется проекция скорости на ось z : $v_z(t) = 0$, $z(t) = 0$.

Запишем два оставшихся уравнения в виде

$$\frac{dv_x}{dt} = \omega v_y, \quad \frac{dv_y}{dt} = -\omega v_x,$$

где $\omega = qB/m$ — величина, называемая *циклотронной частотой*

Далее заметим, что магнитная сила Лоренца не совершает работы. Следовательно, кинетическая энергия частицы — постоянная величина, равная начальному значению $mv_0^2/2$ или $v^2 = v_0^2$. Нетрудно убедиться, что решение этих уравнений, удовлетворяющее начальным условиям, имеет вид $v_x(t) = v_0 \sin \omega t$, $v_y(t) = v_0 \cos \omega t$.

Найдем теперь траекторию заряда. Поскольку $v_x = \frac{dx}{dt}$, $v_y = \frac{dy}{dt}$, то имеем два уравнения

$$\frac{dx}{dt} = v_0 \sin \omega t, \quad \frac{dy}{dt} = v_0 \cos \omega t. \quad (2)$$

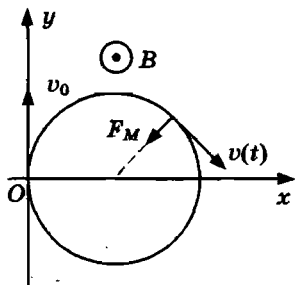


Рис. 5.1.3

Первому уравнению удовлетворяет функция $x(t) = -R \cos \omega t + C$, где $R = v_0/\omega$, C — произвольная постоянная. Учитывая начальное значение $x(0) = 0$, находим $C = R$. Следовательно, $x(t) = R - R \cos \omega t$.

Из второго уравнения находим $y(t) = R \sin \omega t$. Мы имеем уравнение окружности.

Действительно, исключая ωt получим $(x - R)^2 + y^2 = R^2$.

Таким образом, заряд вращается по окружности радиусом $R = v_0/\omega$ с угловой скоростью $\omega = qB/m$. Для электрона частота вращения $\nu = \frac{\omega}{2\pi} = \frac{eB}{2\pi m_e}$; ν (Гц) = $2,82 \cdot 10^{10} B$ (Тл).

5.1.4. В этом случае $v_x(t) = u$, $z(t) = ut$. Частица движется по винтовой линии. Траектория навивается на поверхность цилиндра радиусом R . Шаг винта $h = \frac{2\pi u}{\omega} = \frac{2\pi m u}{qB}$.

5.1.6. Электрическое поле, создаваемое разностью потенциалов V , ускоряет частицу. Величину скорости влета в магнитное поле найдем из закона сохранения полной энергии

$$mv^2/2 - qV = 0, \quad v = (2qV/m)^{1/2}.$$

Следовательно, радиус окружности $R = mv/qB = (2mV/qB^2)^{1/2}$. Искомое отношение $R_p/R_\alpha = (m_p q_\alpha / m_\alpha q_p)^{1/2}$.

Подставляя значения $q_\alpha = 2q_p$, $m_\alpha \approx 4m_p$, получим $R_p/R_\alpha = 1/\sqrt{2}$.

5.1.7. А. Учитывая решение задачи 5.1.3, получим зависимость координат от времени

$$\begin{aligned} x_1(t) &= R_1(1 - \cos\omega t), & y_1(t) &= R_1 \sin\omega t, \\ x_2(t) &= R_2 \sin\omega t, & y_2(t) &= -R_2(1 - \sin\omega t), \end{aligned}$$

где $R_{1,2} = v_{1,2}/\omega$.

Протоны движутся по окружностям (рис. 5.1.7).

$$\text{Расстояние } s(t) = \frac{2}{\omega} \sqrt{v_1^2 + v_2^2} |\sin\omega t/2|.$$

$$\text{В частности, } s(T/4) = s_1, \quad s_1 = \frac{1}{\omega} \sqrt{v_1^2 + v_2^2}.$$

По рис. 5.1.7 можно определить, что через четверть периода $s(T/4) = s_1$; через половину периода $s(T/2) = 2s_1$.

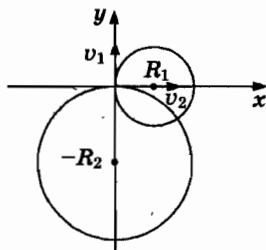


Рис. 5.1.7

5.1.8. Электрон движется по винтовой линии с шагом $h = uT$, $T = 2\pi/\omega$, $\omega = e_0B/m_e$. Если смотреть по направлению вектора индукции магнитного поля, то электроны вращаются по направлению вращения часовой стрелки. Электроны, выходящие из одной точки под разными углами к вектору \vec{B} , находятся на цилиндрических поверхностях с общей образующей — прямой, проходящей через точечный источник в направлении вектора \vec{B} . После одного оборота все электроны сходятся в точке на расстоянии $s = uT$, $s = 2\pi m_e/e_0B$. Если поместить в магнитное поле несколько одинаковых источников электронов, то получим многократное электронное изображение с увеличением равным единице.

5.1.9. Компонента скорости параллельная индукции магнитного поля $u_z = h/T$, $T = 2\pi/\omega$, $\omega = qB/m$. Радиус цилиндрической поверхности $R = v_0/\omega$, v_0 — проекция скорости на плоскость перпендикулярную вектору магнитной индукции. Подставляя компоненты скорости в закон сохранения полной энергии $mv^2/2 = q\Delta\phi$, получим $\Delta\phi$.

5.1.10. А. Скорость электронов после вылета из пушки найдем из закона сохранения полной энергии: $v_0 = (2eV/m)^{1/2}$.

Точки G и T принадлежат дуге окружности радиусом $R = v_0/\omega$, $\omega = eB/m$. Из треугольника GOT на рис. 5.1.10 б находим $s/2 = R\sin\alpha$.

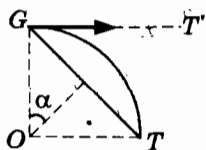


Рис. 5.1.10

Б. В этом случае электроны движутся по винтовой линии с образующей, совпадающей с прямой GT . Проекция скорости $u = v_0\cos\alpha$ на отрезок GT остается постоянной. Условие попадания в мишень имеет вид $s = unT$, $T = 2\pi/\omega$, $n = 1, 2, 3, \dots$

5.1.11. Величину скорости как функцию координат найдем из закона сохранения полной энергии

$$v_x^2 + v_y^2 + v_z^2 = v_0^2. \quad (1)$$

Из второго закона Ньютона находим $v_z = 0$. Запишем проекцию уравнения на ось x :

$$mdv_x/dt = qv_y b/ch^2ky. \quad (2)$$

Поскольку $v_y = dy/dt$, $dhky/dky = 1/ch^2ky$, то из (2) получаем уравнение

$$\frac{d}{dt} [mv_z - q(b/k)thky] = 0, \rightarrow mv_z - q(b/k)thky = qb/k. \quad (3)$$

Здесь мы учли, что $thks \rightarrow 1$, $ks \gg 1$. Теперь из (1), (3) получаем $v_y^2(y) = v_0^2 - f(y)$, $f(y) = (\omega/k)^2(1 + thky)^2$. Очевидно $f(y) \rightarrow (2\omega/k)^2$, $ky \gg 1$.

5.1.12. Кинетическая энергия частицы

$$K(t) = \frac{mv_0^2}{2} + \frac{mu^2}{2},$$

где $u = qEt/m$.

5.1.13. Для решения задачи необходимо найти функцию $v_x(z)$. Границы области определяются корнями уравнения $v_x(z) = 0$. Величину скорости как функцию координат проще всего найти из закона сохранения полной энергии

$$\frac{m}{2}(v_x^2 + v_y^2 + v_z^2) + mgz = mgh \quad (1)$$

и уравнений движения

$$m \frac{dv_x}{dt} = -qv_x B, \quad (2)$$

$$m \frac{dv_y}{dt} = 0. \quad (3)$$

Из (3), учитывая начальные условия, находим $v_y(t) = 0$. Поскольку $v_x = dz/dt$, то (2) можно представить в виде

$$m \frac{dv_x}{dt} = -qB \frac{dz}{dt} \quad \text{или} \quad mv_x = -qBz + C,$$

где C — произвольная постоянная.

Согласно начальным условиям $C = qBh$. Теперь уравнение (1) приобретает вид $v_x^2 = 2g(h - z) - \omega(h - z)^2$, $\omega = qB/m$.

Следовательно, $h - \frac{2g}{\omega^2} \leq z \leq h$.

5.1.14. Напряженность электрического поля $E = (0, E_0, 0)$, $E_0 = V/d$, потенциал $\varphi = -E_0 y$. Запишем уравнения движения

$$mdv_x/dt = -e_0 v_y B, \quad (1)$$

$$mdv_y/dt = e_0v_xB - e_0E_0, \quad (2)$$

$$mdv_x/dt = 0. \quad (3)$$

Из (1), (3) находим

$$mv_y = -e_0yB, \quad (4)$$

$$v_x(t) = 0. \quad (5)$$

Для решения задачи необходимо найти функцию $v_y(y)$. Границы области определяются корнями уравнения $v_y(y) = 0$. Величину скорости как функцию координат проще всего найти из закона сохранения полной энергии

$$m(v_x^2 + v_y^2 + v_z^2)/2 - e_0E_0y = 0, \quad (6)$$

и уравнений (4), (5): $mv_y^2 = e_0E_0y - (e_0By)^2/2m$.

Функция $v_y(y)$ обращается в нуль при значениях $y = d$, $B = B_m$, $B_m = (1/d)(2mV/e_0)^{1/2}$.

Отметим, что траектория электрона — циклоида.

5.1.15. Уравнения движения заряда

$$ma_x = 0, \quad ma_y = qE + qv_zB, \quad ma_z = -mg - qv_yB. \quad (1)$$

Очевидно $v_x(t) = 0$. Произведем замену переменных $\vec{v} = \vec{v}_0 + \vec{u}$, $\vec{v}_0 = (0, -mg/qB, -E/B)$. Тогда из (1) получим уравнения

$$ma_y = qu_zB, \quad ma_z = -qu_yB, \quad (2)$$

которые в системе отсчета, движущейся со скоростью \vec{v}_0 , описывают движение заряда в магнитном поле с начальным условием $\vec{u}(0) = -\vec{v}_0$.

В этой системе отсчета заряд вращается по окружности. Величина скорости заряда $u(t) = v_0$. В некоторый момент времени скорость $\vec{u}(t_n) = \vec{v}_0$, $\vec{v}(t_n) = 2\vec{v}_0$. Следовательно, $v_m = 2\sqrt{(E/B)^2 + (mg/qB)^2}$.

5.1.16. Полагая в уравнении $m\vec{a} = q\vec{E} + q\vec{v} \times \vec{B}$ скорость $\vec{v}(t) = \vec{v}_0$ получаем $\vec{E} = -\vec{v}_0 \times \vec{B}$, $\rightarrow \vec{B} \times \vec{E} = -\vec{B} \times (\vec{v}_0 \times \vec{B})$, $\rightarrow \vec{v}_0 = \vec{E} \times \vec{B} / B^2$.

5.1.17. Введем систему координат с направленной горизонтально осью x , ось y направим по вертикали вверх, начало координат поместим на входной плоскости конденсатора на равных расстояниях от пластин (рис. 5.1.17).

Напряженность электрического поля в конденсаторе $\vec{E} = (0, E, 0)$. Начальные условия $\vec{r}(0) = 0$, $\vec{v}(0) = (v_0, 0, 0)$. В области $0 \leq x \leq l$ скорость электрона $\vec{v}(t) = \left(v_0, -\frac{e_0Et}{m}, 0 \right)$.

В момент вылета из конденсатора $t_1 = l/v_0$ компонента скорости $v_y(t_1) = \frac{e_0 El}{mv_0}$. Далее электрон движется по прямой с постоянной скоростью в интервале времени s/v_0 . Величина отклонения по оси y равна $\Delta y = -h$, $h = \frac{e_0 E l s}{mv_0^2}$.

5.1.18. Неизвестную скорость электрона v_0 можно исключить, помещая конденсатор в магнитное поле индукцией $\vec{B} = (0, 0, B)$.

Теперь уравнения движения приобретают вид

$$m \frac{dv_x}{dt} = -e_0 B v_y, \quad m \frac{dv_y}{dt} = -e_0 E + e_0 B v_x, \quad m \frac{dv_z}{dt} = 0.$$

Из последнего уравнения следует, что $z(t) = 0$. Первое уравнение можно представить как полную производную $\frac{d}{dt}(mv_x + e_0 B y) = 0$, или $mv_x + e_0 B y = \text{const}$.

Согласно начальным условиям $\text{const} = mv_0$. Подставляя v_x во второе уравнение, находим $\frac{d^2 y}{dt^2} + \omega^2 y = \frac{1}{m}(-e_0 E + e_0 B v_0)$.

Индукция магнитного поля может быть выбрана так, что электроны в скрещенном электрическом и магнитном полях будут двигаться по прямой линии. Это произойдет при условии $E = B v_0$. Тогда мы получим уравнение гармонического осциллятора, решение которого при начальных условиях нашей задачи $y(t) = 0$. Следовательно, $x(t) = v_0 t$. Отношение e_0/m принимает вид $\frac{e_0}{m} = \frac{E h}{l s B^2}$.

В опыте Томсона $E = 10^4$ В/м, $B = 3,6 \cdot 10^{-4}$ Тл, $l = 0,05$ м, $s = 1,1$ м, $h = 0,1$ м.

Разделение изотопов. Если в рассмотренной системе движутся не электроны, а ионы изотопов некоторого элемента, то появляется возможность пространственного разделения ионов различной массы. После выхода из системы ионы направляют во второе магнитное поле индукцией $\vec{B}_2 = (0, 0, b)$. Ион массой m описывает полуокружность радиусом $R = \frac{mE}{qBb}$ и попадает на фотопластинку. Массы ионов

$m_x = R_x \frac{qBb}{E}$ пропорциональны радиусу описываемой окружности.

5.1.19. В системе покоя диска на частицу действуют сила тяжести, сила реакции, сила трения покоя и сила Лоренца, направление которой зависит от направления вектора магнитной индукции. Максимальное значение угловой скорости ω найдем из уравнения

$$0 = \mu mg - m\omega^2 r - qB\omega r.$$

5.1.20. На элементарный заряд обода кольца действует сила Лоренца $\Delta \vec{F}_a = \Delta q_a \vec{v}_a \times \vec{B}$, где $\vec{v}_a = \vec{u} + \vec{\omega} \times \vec{r}_a$ скорость заряда, $\vec{\omega}$ — угловая скорость кольца (рис. 5.1.20). Суммируя по всем элементарным зарядам получим силу Лоренца $\vec{F} = q\vec{u} \times \vec{B}$.

Сила реакции $\vec{N} = -m\vec{g} - q\vec{u} \times \vec{B}$, $N_z = mg + quB$. При движении в противоположном направлении величина силы реакции меньше mg .

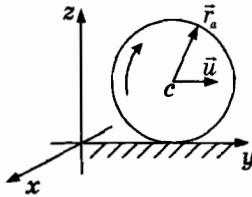


Рис. 5.1.20

5.1.21. Угол отклонения нити от вертикали φ . Из второго закона Ньютона и закона сохранения полной энергии следуют уравнения $mv^2/l = T - mg\cos\varphi - qvB$, $mv_0^2/2 - mgl = mv^2/2 - mgl\cos\varphi$, где v_0 — скорость в нижней точке траектории.

5.1.22. Координаты частиц $x_2 = x + (l/2)\cos\varphi$, $y_2 = y + (l/2)\sin\varphi$, $x_1 = x - (l/2)\sin\varphi$, $y_1 = x - (l/2)\sin\varphi$. Пусть $\vec{u} = (u_x, u_y, 0)$ — скорость центра масс диполя. Тогда скорости частиц

$$\vec{v}_2 = (u_x - (l\omega/2)\sin\varphi, u_y + (l\omega/2)\cos\varphi, 0),$$

$$\vec{v}_1 = (u_x + (l\omega/2)\sin\varphi, u_y - (l\omega/2)\cos\varphi, 0),$$

где $\omega = d\varphi/dt$.

Сила Лоренца, действующая на диполь $\vec{F} = e(\vec{v}_2 - \vec{v}_1) \times \vec{B}$. В проекциях на оси координат $F_x = eBl\omega\cos\varphi$, $F_y = eBl\omega\sin\varphi$, $F_z = 0$.

Из закона изменения полного импульса системы частиц получим два уравнения

$$2mdu_x/dt = eBl\omega\cos\varphi \quad (1),$$

$$2mdu_y/dt = eBl\omega\sin\varphi. \quad (2)$$

В силу однородности поля зададим произвольные начальные условия для координат $x(0) = 0, y(0) = 0, \varphi(0) = 0$. Начальные скорости выберем в виде $u_x(0) = u_y(0) = 0, \omega(0) = \omega_0$.

Поскольку правые и левые части (1), (2) представляют собой полные производные, то

$$2mu_x = eBl\sin\varphi, \quad (3)$$

$$2mu_y = eBl(1 - \sin\varphi). \quad (4)$$

Найдем теперь уравнение, описывающее вращение диполя как твердого тела. Запишем уравнение: производная момента количества движения относительно центра масс равно моменту сил Лоренца $\vec{M}_L = \vec{r}/2 \times (e\vec{v}_2 \times \vec{B}) + \vec{r}/2 \times (e\vec{v}_1 \times \vec{B})$ относительно центра масс. В проекции на ось z имеем

$$(ml^2/2) d\omega/dt = -eBl(u_x \cos\varphi + u_y \sin\varphi). \quad (5)$$

Очевидно, из (1), (2), (5) следует закон сохранения кинетической энергии диполя

$$m(u_x^2 + u_y^2) + (ml^2\omega^2)/4 = (ml^2\omega_0^2)/4. \quad (6)$$

Подставляя (3), (4) в (6), получаем уравнение

$$\omega^2/2 + \Omega^2(1 - \sin\varphi) = \omega_0^2/2. \quad (7)$$

Дифференцируя (7) или подставляя (3), (4) в (5), получим уравнение математического маятника

$$d^2\varphi/dt^2 = -\Omega^2 \sin\varphi, \quad (8)$$

где $\Omega = eB/m$.

Из (7) следует, что разрешенная область изменения угла φ ограничена неравенством $\omega_0^2 \geq 2\Omega^2(1 - \sin\varphi)$. При значениях $\omega_0 > 2\Omega$ диполь вращается, при условии $\omega_0 < 2\Omega$ диполь колеблется.

Рассмотрим два частных случая.

1. Если $\omega_0 \ll 2\Omega$, то $\varphi \ll 1, \sin\varphi \approx \varphi, \sin^2\varphi \approx 1 - \varphi^2/2$. В этом случае из (8), (3), (4) находим $\varphi(t) = (\omega_0/\Omega) \sin\Omega t, x(t) = (\omega_0 l/2\Omega)(1 - \sin\Omega t), y(t) = (\omega_0^2 l/16\Omega^2)(2\Omega t - \sin 2\Omega t)$.

2. Если $\omega_0 \gg 2\Omega$, то из (7) получим $\omega \approx \omega_0, \varphi(t) \approx \omega_0 t$. Из (3), (4) получаем $x(t) = (\Omega l/2\omega_0)(1 - \sin\omega_0 t), y(t) = (\Omega l/2\omega_0)(\omega_0 t - \sin\omega_0 t)$.

Полезно познакомиться с «другим» решением этой задачи (см. Квант. 1989. № 9. стр. 36).

5.1.23. На полосу действуют сила тяжести, сила реакции, сила трения покоя и сила Ампера $\vec{F}_{1A} = (0, 0, -ILB)$ (рис. 5.1.23).

В первом случае из второго закона Ньютона следуют уравнения

$$0 = f - \mu N_1, \quad 0 = N_1 - ILB - mg,$$

где $mg = P$.

Во втором случае получим уравнения

$$0 = F_2 - \mu N_2, \quad 0 = N_2 + ILB - mg.$$

5.1.24. Силовые линии магнитного поля, созданного током в первом проводе, пересекают элемент Δl под прямым углом (рис. 5.1.24). Величина индукции поля $B_1 = \frac{\mu_0 I_1}{2\pi d}$. Согласно правилу левой руки \vec{F}_2 сила

притяжения. Из (5.1.6) находим величину силы $F_2 = \frac{\mu_0}{2\pi d} I_1 I_2 \Delta l$.

Полагая $I_1 = I_2 = 1$ А, $d = \Delta l = 1$ м, найдем $F_2 = 2 \cdot 10^{-7}$ Н. Этот результат является следствием определения силы тока в СИ.

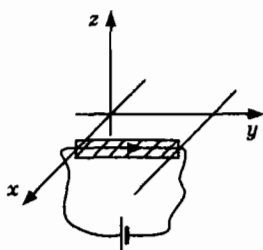


Рис. 5.1.23

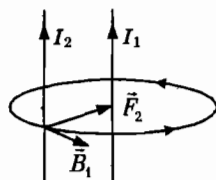


Рис. 5.1.24

5.1.25. Если \vec{B} — постоянный вектор, то вычисление силы \vec{F} , действующей на проводник в однородном постоянном магнитном поле, представляет собой элементарную процедуру. Сила Ампера, действующая на проводник в форме произвольной пространственной кривой равна сумме элементарных сил (5.1.4). Представляя проводник в виде последовательности малых элементов $\Delta \vec{r}_k$ ($k = 1, \dots, N$), имеем

$$\vec{F}_A = I \sum_{k=1}^N \Delta \vec{r}_k \times \vec{B} = I \left(\sum_{k=1}^N \Delta \vec{r}_k \right) \times \vec{B} = I \vec{d} \times \vec{B},$$

где $\vec{d} = \vec{r}_A - \vec{r}_C$, где \vec{r}_A и \vec{r}_C радиус-векторы точек A и C.

5.1.26. $\vec{F} = (0, 0, F_z)$, $F_z = 4IBa$, $I = V/r$, $r = 2R$.

В 1990 г. в Японии прошли испытания подводного корабля сигарообразной формы. Внешняя поверхность «сигары» совершенно

гладкая. Почему же корабль движется? На внешней поверхности по границе продольного сечения проложены два проводника, присоединенных к батарее. В воде возникают токи между проводниками, обтекая сигару по окружностям (рис. 5.1.26). Магниты создают поле, вектор индукции которого направлен перпендикулярно плоскости сечения. Сила Ампера заставляет воду мощным потоком смещаться вдоль оси корабля. В 1991 г. успешно прошли испытания большого судна «Ямато-1».

5.1.27. Сила тока, протекающего через ребро CD равна нулю. Силы Ампера, действующие на ломанные ADB , ACB и отрезок AB , коллинеарны. Модуль суммы сил $F = 2ULB/R$.

5.1.29. На стороны AB и CD действуют силы, направленные параллельно оси z , приводящие лишь к деформации рамки. На проводники BC и DA действуют силы \vec{F}_1 и \vec{F}_2 , создавая вращательный момент, $F_1 = F_2 = Iba$ (рис. 5.1.29 б). Плечи сил \vec{F}_1 и \vec{F}_2 равны $(b/2)\cos\varphi$. Следовательно, проекция момента сил Ампера на ось z равна $M_z = Iba^2\cos\varphi$. Очевидно, движение рамки зависит от начальных условий. Можно добиться того, чтобы она колебалась вблизи положения устойчивого равновесия $\varphi = \pi/2$. При $\varphi = 3\pi/2$ момент сил также равен нулю. Однако в этом случае рамка находится в положении неустойчивого равновесия. При $\varphi = 0$ проекция M_z достигает максимального значения Iba^2 .

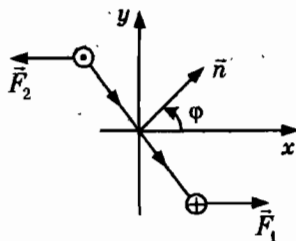


Рис. 5.1.29 б

5.1.30. На рис. 5.1.30 а изображено положение рамки при взгляде сверху. На провод KN действует сила Ампера, направленная вниз (рис. 5.1.30 б). На провод PQ действует направленная вверх сила Ампера величиной Iba , где a — длина стороны рамки. Момент этой силы относительно оси KN равен $M_A = Iba^2$. Найдём теперь момент сил тяжести M_g , действующих на стороны рамки относительно оси

$KN: M_g = -2mga, m = \rho Sa$. Наименьшее значение силы тока определяется из условия $M_A + M_g = 0$. Отсюда находим $I = 2\rho gS/B$.

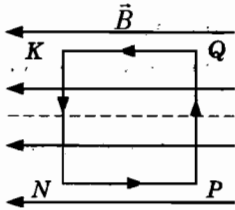


Рис. 5.1.30 а

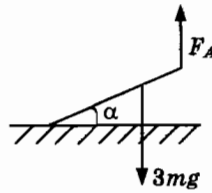


Рис. 5.1.30 б

5.1.31. Сила Ампера $\vec{F}_A = I\vec{d} \times \vec{B}$, $\vec{d} = (0, 0, 2a)$. В координатах $\vec{F}_A = (0, 2IBa, 0)$. Точка приложения силы Ампера находится на оси x : $\vec{r}_c = (x_c, 0, 0)$. Момент силы Ампера $\vec{M}_A = \vec{r}_c \times \vec{F}_A$, $\vec{M}_A = (0, 0, 2IBax_c)$.

Положение точки приложения определяется из равенства момента силы Ампера и суммы моментов сил Ампера, действующих на элементы контура относительно оси z ,

$$\vec{M}_A = I \sum_{k=1}^N \vec{r}_k \times (\Delta\vec{r}_k \times \vec{B}) = I \sum_{k=1}^N [\Delta\vec{r}_k (r_k \vec{B}) - \vec{B} (\vec{r}_k \Delta\vec{r}_k)].$$

Здесь $\vec{r}_k = (a \cos \alpha_k, 0, a \sin \alpha_k)$, $\Delta\vec{r}_k = (-a \sin \alpha_k, 0, a \cos \alpha_k) \Delta\alpha_k$, α_k — угол между радиус-вектором \vec{r}_k элемента $\Delta\vec{r}_k$ и осью x . После подстановки получаем

$$M_{Az} = Ia^2 B \sum_{k=1}^N \Delta\alpha_k \cos^2 \alpha_k \rightarrow M_{Az} = Ia^2 B \int_{-\pi/2}^{\pi/2} d\alpha \cos^2 \alpha = Ia^2 B \pi / 2.$$

5.2. Магнитное поле постоянного тока. Закон Био—Савара—Лапласа

5.2.1. Совместим провод с осью z , а начало координат расположим в его середине (рис. 5.2.1 а).

Пусть длина провода равна L , $-L/2 \leq z \leq L/2$. Ток силой I течет в положительном направлении оси z . Найдём вектор магнитной индукции в точке $P(x, y, z)$ с радиус-вектором \vec{r} .

В соответствии с (5.2.1) представим провод в виде последовательности элементов $\Delta\vec{l}_a = (0, 0, \Delta z_a)$, $a = 1, 2, \dots, N$. Радиус-вектор

точки a , принадлежащей этому элементу $\vec{r}_a = (0, 0, z_a)$. Компоненты вектора $\vec{R}_a = \vec{r} - \vec{r}_a = (x, y, z - z_a)$.

Следовательно, векторное произведение $\Delta \vec{l}_a \times \vec{R}_a = (-y \Delta z_a, x \Delta z_a, 0)$ представляет собой вектор, лежащий в плоскости перпендикулярной оси z .

Полагая $x = r \cos \varphi$, $y = r \sin \varphi$, $r = \sqrt{x^2 + y^2}$, получим

$$\Delta \vec{l}_a \times \vec{R}_a = r \vec{e} \Delta z_a,$$

где $\vec{e} = (-\sin \varphi, \cos \varphi, 0)$ — единичный вектор, направленный по касательной к окружности радиусом r с центром на оси z в плоскости перпендикулярной оси z (рис. 5.2.1 б).

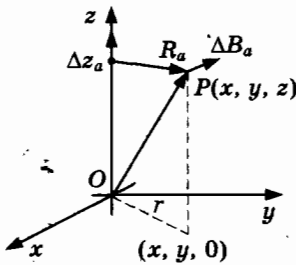


Рис. 5.2.1 а

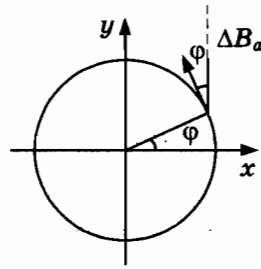


Рис. 5.2.1 б

Вектор магнитной индукции в точке $P(x, y, z)$ равен сумме вкладов (5.2.1) соответствующих всем элементам Δz_a : $\vec{B}(x, y, z) = B \vec{e}$,

$$B = \frac{\mu_0 I}{4\pi} \sum_{a=1}^N \frac{r \Delta z_a}{R_a^3}, \quad R_a = \sqrt{r^2 + (z - z_a)^2}.$$

Вычисление B сводится к интегрированию. Для вычисления интеграла используем соотношение

$$\frac{r^2}{R_a^3} = \frac{d}{dz_a} \cdot \frac{z_a - z}{R_a}.$$

$$B(\vec{r}) = (\mu_0 I / 4\pi r) [(L/2 - z) / (r^2 + (L/2 - z)^2)^{1/2} + (L/2 + z) / (r^2 + (L/2 + z)^2)^{1/2}].$$

В случае бесконечно длинного провода ($L \rightarrow \infty$) имеем $B = \frac{\mu_0 I}{2\pi r}$.

Таким образом, вектор \vec{B} в точке $P(x, y, z)$ направлен по касательной к окружности радиусом r с центром на оси z в плоскости перпендикулярной оси z , расположенной на расстоянии z от начала координат.

5.2.3. Согласно рис. 5.2.3 б находим $\mu_0 I/2\pi d = B_0$.

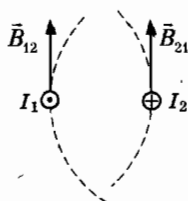


Рис. 5.2.3 б

5.2.4. А. В этом случае следует рассмотреть область $0 < x < s$. Имеем уравнение $I_1/x = I_2/(s-x)$.

Б. В этом случае следует рассмотреть области $x < 0$, $x > s$. Имеем уравнение $\frac{I_1}{|x|} = \frac{I_2}{|x-s|}$.

5.2.6. В точке $\vec{r}_k = (a \cos \varphi_k, a \sin \varphi_k, 0)$ расположен элемент витка

$$\Delta \vec{l}_k = (-a \sin \varphi_k, a \cos \varphi_k, 0) \Delta \varphi_k \equiv a \vec{e} \Delta \varphi_k.$$

Из (5.2.1) следует, что каждый элемент кольца создает вектор индукции $\Delta \vec{B}_k$, перпендикулярный к векторам $\vec{R}_k = (-a \cos \varphi_k, -a \sin \varphi_k, z)$, $\Delta \vec{l}_k$ и образующий угол θ с осью z : $\cos \theta = \frac{c}{R_k}$, $R_k^2 = a^2 + z^2$ (рис. 5.2.6 а).

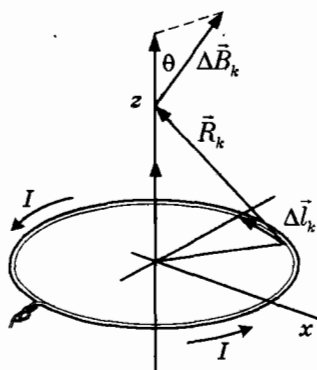


Рис. 5.2.6 а

Суммируя вклады всех элементов, убедимся, что вектор индукции поля $\vec{B} = (0, 0, B_z)$, создаваемого витком тока, направлен по оси z . Поэтому достаточно найти z -компоненту вектора \vec{B} . Поскольку z -

компонента векторного произведения $(\Delta \vec{r}_k \times \vec{R}_k)_z = a^2 \Delta \phi_k$, то сумма вкладов всех элементов тока кольца $B_z(z) = \frac{\mu_0 I a^2}{2(a^2 + z^2)^{3/2}}$.

В центре витка функция $B_z(z)$ достигает максимального значения $B_z(0) = \frac{\mu_0 I}{2a}$ полностью определяется магнитным моментом витка $\vec{m} = IS \vec{n}$, где $S = \pi a^2$ — площадь витка.

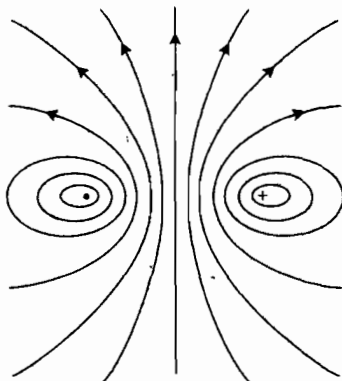


Рис. 5.2.6 б

На рис. 5.2.6 б изображено несколько силовых линий магнитного поля. Отметим, что из (5.2.1) можно получить индукцию магнитного поля витка в точке P на расстоянии $r \gg a$ от центра в виде, $\vec{B}(\vec{r}) = (\mu_0 / 4\pi) [3\vec{r}(\vec{m}\vec{r})/r^5 - \vec{m}/r^3]$, $\vec{m} = I\pi a^2 \vec{n}$.

5.2.7. Используя второй закон Ньютона $m(2\pi/T)^2 a = ke^2/a^2$ найдем период обращения и силу тока $I = \frac{e}{T} = \frac{e^2}{2\pi a} \sqrt{\frac{k}{ma}}$, $I \approx 1,05 \cdot 10^{-3}$ А.

Следовательно, протон находится в магнитном поле индукцией $B \approx 12,44$ Тл.

5.2.8. Используя результат, полученный в задаче 5.2.6, имеем

$$B_z(z) = \frac{\mu_0 I a^2}{2} \left(\frac{1}{[a^2 + (z+a/2)^2]^{3/2}} + \frac{1}{[a^2 + (z-a/2)^2]^{3/2}} \right).$$

Поскольку $B_z(z) = B_z(-z)$, то $B_z(z)$ представляет собой четную функцию, достигающую максимума $B_z(0) = 8 \cdot 5^{-3/2} \frac{\mu_0 I}{a} = 0,716 \frac{\mu_0 I}{a}$ при $z = 0$ и убывающую при $|z| \gg a$.

5.2.12. Заменяя в (5.2.3) $I \rightarrow INdz'/l$, $z \rightarrow z' - z$, вычислим интеграл в пределах $-l/2 \leq z' \leq l/2$. $b_z(z) = \frac{\mu_0 INa^2}{2l} \int_{-l/2}^{l/2} \frac{dz'}{[a^2 + (z' - z)^2]^{3/2}}$.

В результате получим

$$b_z(z) = \frac{\mu_0 IN}{2l} \left(\frac{l/2 - z}{[a^2 + (l/2 - z)^2]^{1/2}} + \frac{l/2 + z}{[a^2 + (l/2 + z)^2]^{1/2}} \right).$$

Отметим, что в середине катушки $b_z(0) = \mu_0 IN/l$ при $a \ll l$.

5.2.13. Заменяя $I \rightarrow 2\pi I dr/(b - a)$, $a \rightarrow r$, вычислим интеграл в пределах $a \leq r \leq b$. В результате получим

$$b_z(z) = \mu_0 N I f(z) / 2l,$$

$$f(z) = \frac{l/2 - z}{b - a} \ln \frac{b + \sqrt{b^2 + (l/2 - z)^2}}{a + \sqrt{a^2 + (l/2 - z)^2}} + \frac{l/2 + z}{b - a} \ln \frac{b + \sqrt{b^2 + (l/2 + z)^2}}{a + \sqrt{a^2 + (l/2 + z)^2}}.$$

5.2.14. Для решения задачи применим закон Гаусса (5.2.5), где \vec{n}_k — единичный вектор внешней нормали, к цилиндру радиусом r , расположенному между плоскостями z и $z + \Delta z$. Поток индукции через боковую поверхность равен $2\pi r \Delta z B_r$, а поток через верхнюю и нижнюю плоскости равен $\pi r^2 [b_z(z + \Delta z) - b_z(z)]$. Согласно (1) имеем $\pi r^2 (db_z/dz) \Delta z + 2\pi r B_r \Delta z = 0$, или $B_r = -(r/2) db_z/dz$.

Отметим, что строгое решение этой задачи приводит к результату

$$B_r = (1/r) \partial r A / \partial r, \quad B_z = -\partial A / \partial z,$$

$$A(r, z) = (r/2) b_z(z) - (r^3/16) d^2 b_z / dz^2 + \dots$$

Силовые линии лежат на поверхности $rA(r, z) = \text{const}$.

5.2.15. Введем систему координат xy . Заменяем в (5.2.4) плотность тока заряженным элементом плоскости площадью $r_k dr_k d\phi$ в окрестности дуги окружности радиусом r_k . Скорость элемента $\vec{v}_k = (-v_k \sin \phi, v_k \cos \phi, 0)$, где $v_k = \omega r_k$; $\vec{j} dV \rightarrow Q \vec{v}_k r_k dr_k d\phi / \pi a^2$. Радиус-вектор $\vec{R}_k = (-r_k \cos \phi, -r_k \sin \phi, 0)$, z -компонента произведения $(\vec{v}_k \times \vec{R}_k)_z = \omega r_k^2$. Согласно (5.2.4) получаем

$$\Delta B_{kz}(0) = (Q \mu_0 / 4\pi^2 a^2) \omega dr_k d\phi \rightarrow B_z(0) = Q \mu_0 \omega / 2\pi a.$$

5.2.16. Плотность тока не равна нулю только в одной точке $\vec{r}' = \vec{r}(t)$. Произведем в (5.2.6) замену $\vec{j} dV \rightarrow q \vec{v}$. Магнитная индукция $\vec{B}(t, x, y, z) = (q \mu_0 / 4\pi) (\vec{v} \times \vec{R}) / R^3$, $\vec{R} = \vec{r} - (\vec{b} + \vec{v} t)$. В начале координат $\vec{B}(t, 0) = (q \mu_0 / 4\pi) (\vec{b} \times \vec{v}) / R^3$, $R = [b^2 + (vt)^2]^{1/2}$.

5.3. Закон Максвелла-Ампера. Поток электромагнитной энергии в электрической цепи

5.3.1. Область $\rho \leq a$. Силовые линии магнитной индукции образуют концентрические окружности с центром на оси провода в плоскости перпендикулярной оси. Вектор магнитной индукции направлен по касательной к окружности.

Из закона Ампера находим $2\pi\rho B = \mu_0 I(\rho/a)^2$.

Следовательно, $B(\rho) = \mu_0 I \rho / 2\pi a^2$.

Область $\rho \geq a$. Из закона Ампера следует $2\pi\rho B = \mu_0 I$.

5.3.2. Из закона Максвелла-Ампера следует, что внутри трубки магнитное поле отсутствует. Силовые линии магнитной индукции в металле в области $r_1 \leq r \leq r_2$ образуют концентрические окружности с центром на оси трубки. Величина индукции на расстоянии r от оси

$B(r) = \frac{\mu_0 I}{2\pi r} \frac{r^2 - r_1^2}{r_2^2 - r_1^2}$. Полагая $r = a$, $r_{2,1} = a \pm d/2$, получим $B(a) \approx \mu_0 I / 4\pi a$.

Теперь рассмотрим элементарный проводник — участок трубки толщиной d , длиной h вдоль образующей, ограниченный дугой $\Delta l = a\Delta\theta$, $\Delta\theta \ll 1$ (рис. 5.3.2). Площадь поверхности $\Delta S \approx h\Delta l = ha\Delta\theta$. Сила тока, текущего по проводнику $I da \frac{\Delta\theta}{\pi(r_2^2 - r_1^2)} \approx I \frac{\Delta\theta}{2\pi}$.

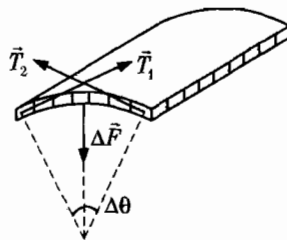


Рис. 5.3.2

На проводник действует сила Ампера, направленная перпендикулярно поверхности трубки; величина силы $\Delta F = \frac{I\Delta\theta}{2\pi} hB$. Давление, создаваемое магнитным полем, $p = \frac{\Delta F}{\Delta S} = \frac{IB}{2\pi a} = \frac{\mu_0}{2} \left(\frac{I}{2\pi a} \right)^2$ можно

представить в виде $p = 2B^2/\mu_0$.

На выделенную полоску со стороны остальной части оболочки действуют силы упругости \vec{T}_1 и \vec{T}_2 одинаковой величины ($T_1 = T_2 = T$). Силы упругости распределены по двум поверхностям продольных сечений трубки. Поскольку сумма сил, действующих на полоску равна нулю, то $\vec{T}_1 + \vec{T}_2 + \Delta\vec{F} = 0$. Отсюда находим

$$T = \frac{\Delta F}{\Delta\theta}, \quad \mu_0 T = \frac{h}{2a} \left(\frac{I}{2\pi} \right)^2.$$

Напряжение, возникающее в продольном сечении трубки $\sigma_{\text{сп}} = T/S$, где $S = hd$ — площадь поперечного сечения.

$$\text{Следовательно, } \sigma_{\text{сп}} = \frac{\mu_0}{2ad} \left(\frac{I}{2\pi} \right)^2.$$

Оцените значение силы тока, при котором медная трубка сплющится.

5.3.3. Воспользуемся законом Ампера, выбрав прямоугольный контур $bctm$, показанный в средней части соленооида на рис. 5.3.3. На длине $cb = l_1$ укладывается N_1 витков; $N_1/l_1 = N/l$. Согласно (5.3.1) имеем $B_z l_1 = \mu_0 N_1 I$, или $B_z = \mu_0 NI/l$.

В окрестности центра катушки длиной $l \approx 8a$ индукция поля практически равна этой величине. Вне соленооида в пределах катушки $B_z < 0$ и мало. Цилиндрический слой тока служит поверхностью разрыва для магнитного поля. Величина приращения B_z при переходе через поверхность катушки $\Delta B_z = \frac{\mu_0 NI}{l}$.

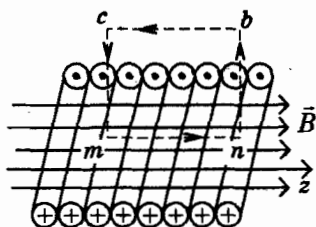


Рис. 5.3.3

5.3.4. Представим ток, протекающий по листу в виде параллельных элементарных токов. Тогда можно утверждать, что в области $y \geq d/2$ вектор индукции направлен параллельно оси z , в области $y \leq -d/2$ вектор индукции направлен в противоположную сторону.

Из симметрии относительно плоскости листа следует, что магнитное поле бесконечно-протяженного листа однородно. Применяя закон Максвелла-Ампера получим индукцию магнитного поля, создаваемого током, $\vec{B} = (0, 0, B_z)$: $B_z = \mu_0 j d / 2$, $y \geq d/2$; $B_z = -\mu_0 j d / 2$, $y \leq -d/2$.

Скачок z — компоненты индукции $\Delta B_z = \mu_0 i$, где $i = j d$ — поверхностная плотность тока.

5.3.5. Индукция магнитного поля

$$B_1 = B_0 + \mu_0 I_{\text{пов}} / 2, B_2 = B_0 - \mu_0 I_{\text{пов}} / 2.$$

5.3.9. Пусть z — координатная ось, проходящая через центры дисков. Из соображений симметрии следует, что силовые линии магнитного поля внутри конденсатора представляют собой окружности с центром на оси z в плоскости перпендикулярной оси z . Вектор индукции \vec{B} направлен по касательной к окружности. Совместим с этой окружностью контур в (5.3.2), а в качестве поверхности выберем круг, ограниченный окружностью. Пусть радиус окружности $r \ll a$. Введем три единичных вектора: вектор $\vec{n} = (0, 0, 1)$, задающий положительное направление на окружности, вектор \vec{k} направим от центра окружности по радиусу и вектор $\vec{e} = \vec{n} \times \vec{k}$, касательный к окружности. Тогда согласно закону Максвелла—Ампера (5.3.2) имеем $2\pi r \vec{B} \vec{e} = \epsilon_0 \mu_0 \frac{dE}{dt} \pi r^2$ или $B(t, r) = \vec{B} \vec{e} = \frac{r}{2c^2} \frac{dE}{dt}$, где $B(t, r)$ — касательная к окружности компонента индукции магнитного поля. Если $dE/dt < 0$, то $B < 0$.

5.3.10. Пренебрегая искривлением силовых линий у краев дисков, получим единственную отличную от нуля компоненту вектора \vec{S} — это проекция $S = \vec{S} \vec{k}$ на прямую, перпендикулярную оси конденсатора: $S = -\epsilon_0 c^2 E(t) B(t, a)$. Подставляя значение $B(t, a)$, найдем поток энергии $S = -\frac{\epsilon_0 a}{2} E \frac{dE}{dt}$ через боковую поверхность конденсатора площадью $2\pi a h$. Очевидно, что $S > 0$, если $dE/dt < 0$ — при разрядке поток энергии вытекает из конденсатора. Энергия, протекающая через боковую поверхность в единицу времени

$$2\pi a h S = -(\epsilon_0 \pi a^2 h) E \frac{dE}{dt} = -\frac{dU}{dt}.$$

5.3.11. На рис. 5.3.11 стрелкой обозначено направление тока. Силовые линии магнитного поля представляют собой окружности. Силовые линии электрического поля вблизи подводящих проводов

направлены перпендикулярно проводам. Тогда вектор Пойнтинга (5.3.3) в области, не содержащей резистор, направлен к резистору (\vec{S}_3 и \vec{S}_4 на рис. 5.3.11). На поверхности резистора силовые линии параллельны образующим цилиндра. Следовательно, на поверхности резистора вектор Пойнтинга направлен вглубь металла (\vec{S}_1 и \vec{S}_2 на рис. 5.3.11).

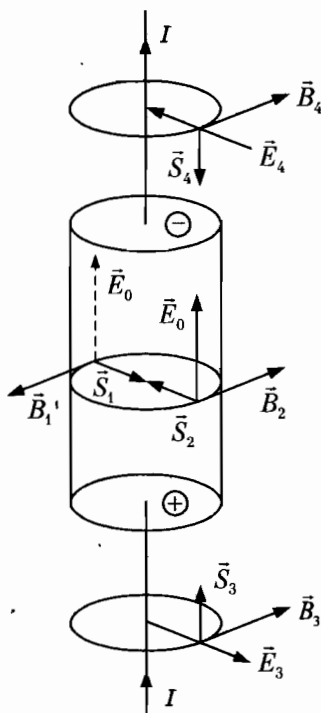


Рис. 5.3.11

Согласно закону Ома разность потенциалов на концах резистора $V = IR$. Проекция напряженности электрического поля на образующую цилиндра $E = IR/l$, проекция магнитной индукции на касательную к окружности поперечного сечения цилиндра $B = \mu_0 I / 2\pi a$. Значение компоненты вектора \vec{S} на поверхности $S = \epsilon_0 c^2 EB$.

Произведение величины потока электромагнитной энергии, втекающего в проводник через боковую поверхность, на площадь поверхности $2\pi a l$ определяет мощность электромагнитной энергии, потребляемой проводником $P = 2\pi a l S = 2\pi a l \epsilon_0 c^2 EB$.

Подставляя значения E и B , получим закон Джоуля—Ленца $P = I^2 R$ — мощность, потребляемая резистором, обусловлена потоком энергии электромагнитного поля из внешней среды через поверхность проводника.

5.3.12. Силовые линии магнитной индукции представляют собой окружности с центром на оси дисков конденсатора. Обозначим B_t — проекцию вектора индукции на касательную к окружности радиусом r . Тогда из (5.3.2) получаем $2\pi r B_t = \mu_0 \varepsilon_0 \alpha \pi r^2$, $B_t = \alpha r / 2c^2$.

Глава VI. ЭЛЕКТРОМАГНИТНАЯ ИНДУКЦИЯ

6.1. Электромагнитная индукция

6.1.1. А. В начальном состоянии поток индукции $\Phi = \Phi_0$, в конечном состоянии поток $\Phi' = -\Phi_0$.

Б. $IR = -d\Phi/dt$, или $Rdq/dt = -d\Phi/dt$. $\Delta q = 2BS/R$.

6.1.3. Поскольку ЭДС индукции $\mathcal{E} = -d\Phi/dt$, то в области $0 < t < 4\tau$ функция $\Phi(t)$ возрастает. В области $t > 4\tau$ магнитный поток уменьшается.

6.1.5. В соответствии с выбранным единичным вектором \vec{n} , задающим положительное направление на контуре, поток магнитной индукции $\Phi > 0$, приращение потока $\Delta\Phi > 0$. Следовательно, ЭДС индукции $\mathcal{E} = -d\Phi/dt < 0$: ток протекает в отрицательном направлении. На рамку действует равнодействующая сил Ампера, направленная в сторону, противоположную направлению скорости рамки. Эта ситуация иллюстрирует принцип Ле Шателье: если система взаимодействует с внешней средой, то возникают процессы, противодействующие изменению исходного состояния.

6.1.6. ЭДС индукции $\mathcal{E} = -d\Phi/dt$, $\Phi(t) \approx \mu_0 I(t) a^2 / 2\pi r$. Амплитуда $\mathcal{E}_m = \mu_0 k a^2 / 2\pi r$, $\mathcal{E}_m = 20$ кВ. Роль контура может выполнять практически любая металлоконструкция — провода, арматура стен, рельсы, просто касающиеся друг друга металлические полосы или трубы. Если в каком-нибудь месте «рамки» имеется неплотное соединение, индуцированная ЭДС вызовет искру, более эффективную, чем искра в зажигалке. Напомним, что пробой в воздухе возникает при напряженности поля $E \sim 30$ кВ/см.

6.1.7. Для вычисления потока индукции выберем поверхность круга, ограниченного окружностью радиуса r в плоскости перпендикулярной оси z с центром на оси. Выберем единичный вектор нормали параллельно оси z . Тогда $\Phi = \pi r^2 B_z(t)$. Из (6.1.1) находим

$$\mathcal{E} = -\pi r^2 \frac{dB_z}{dt}.$$

С другой стороны согласно (6.1.2) имеем $\mathcal{E} = 2\pi r E$, где E — проекция напряженности электрического поля на касательную к окружности. Следовательно, $E(t, r) = -\frac{r}{2} \frac{dB_z}{dt}$.

6.1.8. Положение проводника опишем функцией $x(t)$, представляющей в момент времени t координату точки P на числовой оси x с началом в точке O . Для вычисления магнитного потока через поверхность прямоугольника $OPKC$ введем единичный вектор $\vec{n} = (0, 0, 1)$.

Задание \vec{n} одновременно определяет положительное направление на контуре по правилу буравчика: вращение буравчика в положительном направлении приводит к его перемещению в направлении вектора \vec{n} . На рис. 6.1.8 положительное направление показано стрелками, лежащими вне контура. Согласно определению магнитный поток внешнего поля $\Phi(t) = Blx(t)$, $x(t) = x_0 + vt$. Пренебрегая магнитным потоком собственного поля тока в контуре, получим

$$\mathcal{E}(t) = -d\Phi/dt, \quad \mathcal{E}(t) = -Blv(t).$$

Если $v(t) > 0$, то $\mathcal{E}(t) < 0$. С точки зрения неподвижного наблюдателя ЭДС возникает вследствие действия силы Лоренца на «положительно» заряженные носители тока, смещающиеся со скоростью v в направлении оси x .

С точки зрения наблюдателя, движущегося вместе с проводником, ЭДС индукции обусловлена электрическим полем напряженностью $E_y = -Bv(t)$.

6.1.9. $\mathcal{E}(t) = -d\Phi/dt$, $\Phi = BS$, $S = \frac{1}{2} (vt)^2 \operatorname{tg} \alpha$.

6.1.10. А. Перемещение проводника

$$s = k_1 \int_0^t dt(t_1 - t) = k_1 t_1^3 / 3 = k_2 t_2^3 / 3.$$

Количество теплоты, выделяемое в резисторе

$$Q_1 = (k_1 Bl)^2 / R \int_0^t dt t^2 (t_1 - t)^2 = (k_1 Bl)^2 t_1^5 / 30R,$$

$$Q_2 = (k_2 Bl)^2 t_2^5 / 30R.$$

Б.

$$s = v \int_0^{T/2} dt \sin \omega t = 2v/\omega,$$

$$Q = (vBl)^2 / R \int_0^{T/2} dt \sin^2 \omega t = (vBl)^2 / 2\omega R.$$

6.1.11. Пусть I_m , I_k — силы токов в контурах BmA и AkB , I — сила тока в контуре AB . В соответствии с выбранным положительным направлением введем единичный вектор \vec{n} , параллельный вектору

$\vec{B}(t)$. Тогда $\Phi_1 = B(t)S$ — поток магнитной индукции через поверхность, ограниченную контуром $BmAB$, $\Phi_2 = B(t)S$ — поток магнитной индукции через поверхность, ограниченную контуром $AkBA$, где S — площадь половины круга. ЭДС индукции в первом и втором контурах $\mathcal{E}_{BA} = -d\Phi/dt$, $\mathcal{E}_{AB} = -d\Phi/dt$. Сила тока $I_m \sim -d\Phi/dt > 0$, $I_k \sim -d\Phi/dt > 0$. Сила тока в перемычке $I = I_m - I_k = 0$. Если убрать перемычку, то в контуре возникает ЭДС $\mathcal{E} = \mathcal{E}_{BA} + \mathcal{E}_{BA} = -2d\Phi/dt$.

6.1.12. Для вычисления магнитного потока через плоскость, ограниченную контуром $ANDC$ необходимо задать единичный вектор \vec{n} , перпендикулярный плоскости. Задание \vec{n} одновременно определяет положительное направление на контуре по правилу буравчика: вращение буравчика в положительном направлении приводит к его перемещению в направлении вектора \vec{n} . Пусть x — координата точки D на числовой оси с началом в точке N . Тогда $\Phi(t) = BLx(t)$.

ЭДС индукции, возникающая на участке DC равна

$$\mathcal{E}(t) = -d\Phi/dt, \quad \mathcal{E}(t) = -BLv(t).$$

Эквивалентная схема представлена на рис. 6.1.12 б, где $\mathcal{E}_0(t) = -\mathcal{E}(t)$.

Из законов Кирхгофа получим систему уравнений

$$I_1 = I + I_2, \quad I_1 R_1 = \mathcal{E}, \quad I_2 R_2 = -\mathcal{E}.$$

Из этих уравнений находим

$$I = -[BLkt(T-t)]/R, \quad 1/R = 1/R_1 + 1/R_2.$$

Максимальное значение силы тока $I_m = I(t_m)$, $t_m = 2T$.

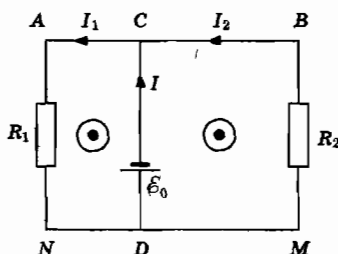


Рис. 6.1.12 б

6.1.13*. Положительное направление на контуре $A'B'C$ указано стрелкой на рис. 6.1.13 б. Функция $x(t)$ представляет собой координату точки пересечения отрезка $B'C$ с осью x . Поток магнитной индукции через треугольник NAM равен $\Phi_3 = B(h-x)^2/\sqrt{3}$, поток через

Фигуру, ограниченную ломанными $A'B'$, $B'M$, MA , AN , NC' , $C'A'$ равен $\Phi_0 = \text{const} - \Phi_3$.

Из (6.1.3) находим ЭДС индукции $\mathcal{E}_3 = 2Bv(h-x)/\sqrt{3}$ — на отрезке MN , где $v = dx/dt$, $\mathcal{E}_0 = -\mathcal{E}_3$ — в контуре $A'B'MANC'A'$. Сопротивления ломанных $MBCN$, NAM , $NC'A'B'M$ и отрезка MN равны соответственно

$$R_1 = \rho(a + 4x/\sqrt{3}), \quad R_2 = 4\rho(h-x)/\sqrt{3},$$

$$r_0 = 2\rho(a + x/\sqrt{3}), \quad r_3 = 2\rho(h-x)/\sqrt{3},$$

где $h = a\sqrt{3}/2$ — высота треугольника.

Эквивалентная схема представлена на рис. 6.1.13 в, где $1/R = 1/R_1 + 1/R_2$. Из правил Кирхгофа получаем уравнения

$$I_3 = I + I_0, \quad I_3 r_3 + IR = \mathcal{E}_3,$$

$$-I_0 r_0 + IR = -\mathcal{E}_0, \quad I_1 = IR/R_1.$$

Полагая $x = h/2$, $v = v_0$, получаем

$$\mathcal{E}_3 = Bv_0 a/2, \quad \mathcal{E}_0 = -Bv_0 a/2, \quad R_1 = 2\rho a,$$

$$R_2 = \rho a, \quad r_0 = 5\rho a/2, \quad r_3 = \rho a/2.$$

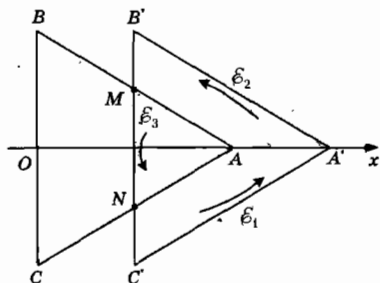


Рис. 6.1.13 б

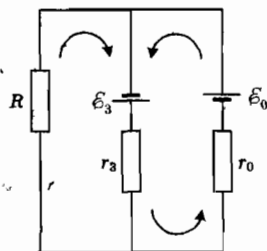


Рис. 6.1.13 в

6.1.14. Поместим начало координат оси z в точку O и направим ось по отрезку OA ; v — проекция скорости перемычки на ось z . Из второго закона Ньютона получаем уравнение

$$ma = IsB. \quad (1)$$

Следуя правилам Кирхгофа получаем систему уравнений

$$I_1 = I + I_2,$$

$$I_1[2\rho(z+s) + r] + Ips = -Bsv + \mathcal{E},$$

$$I_2[2\rho(b-z+s) + r] + Ips = Bsv + \mathcal{E},$$

из которых находим

$$I = 2\varepsilon\rho(b - 2z)/D - 2Bsv[\rho(b + 2s) + r]/D,$$

$$D = [2\rho(z + s) + r][2\rho(b - z + s) + r].$$

Полагая в (1) $a = 0$, $v = 0$, получим значение координаты в положении равновесия: $z = z_{eq}$, $z_{eq} = b/2$.

Перейдем к новой координате заменой $z = b/2 + x$. Оставляя в силе тока I величины пропорциональные x и v , получим из (1) уравнение затухающих колебаний

$$a + \omega^2 x = -\gamma v,$$

$$\omega^2 = 4s\rho\varepsilon B/mD_0,$$

$$\gamma = (sB)^2/m\sqrt{D_0},$$

$$D_0 = [\rho(b + 2s) + r]^2.$$

6.1.15. Запишем полную систему уравнений для определения положения проводника и электрического тока в замкнутой цепи *ОСКРО*.

Положение проводника опишем функцией $x(t)$, представляющей в момент времени t координату точки P на числовой оси x с началом в точке O . Для вычисления магнитного потока через прямоугольник *ОСКР* введем единичный вектор $\vec{n} = (0, 0, 1)$.

Согласно определению магнитный поток внешнего поля

$$\Phi(t) = Blx(t).$$

Пренебрегая магнитным потоком собственного поля тока в контуре, получим из (6.1.1) $\mathcal{E}(t) = -Blv(t)$, где $v(t) = dx/dt$ — проекция скорости проводника на ось x .

Учитывая, что на проводник с током будет действовать сила Ампера $\vec{F}_A = (IBl, 0, 0)$, запишем уравнения, следующие из второго закона Ньютона и закона Ома $IR = \mathcal{E}$:

$$m \frac{dv}{dt} = IBl, \tag{1a}$$

$$IR = -Blv. \tag{1б}$$

Мы видим, что при $v > 0$, $I < 0$; сила Ампера $F_A = -B^2 l^2 v/R$ тормозит перемычку. Отметим, сила Ампера может быть представлена в виде $F_A = Id\Phi/dx$.

Подставляя I из (1б), получим уравнение

$$m \frac{dv}{dt} = -\frac{B^2 l^2 v}{R} \text{ или } \tau \frac{dv}{dt} = -v, \tag{2}$$

где $\tau = mR/B^2 l^2$.

Рассматривая $v(t)$ как сложную функцию $v(x(t))$, имеем

$$\tau \frac{dv}{dx} \cdot \frac{dx}{dt} = -v \quad \text{или} \quad \tau \frac{dv}{dx} = -1. \quad (3)$$

Следовательно, $v(x) = v_0 - x/\tau$. Полагая $v(x_1) = 0$, получим координату точки останова проводника $x_1 = v_0 \tau$.

6.1.16. Запишем теперь закон сохранения полной энергии рассматриваемой системы. Умножим (1а), (1б) соответственно на v , I и сложим полученные соотношения. В результате имеем $mv \frac{dv}{dt} = -I^2 R$,

$$\frac{d}{dt} \left(\frac{mv^2}{2} \right) = -I^2 R \quad \text{или} \quad \Delta \left(\frac{mv^2}{2} \right) = -\delta Q \quad (4)$$

где $\delta Q = I^2 R \Delta t$.

Очевидно количество выделившейся в проводнике теплоты

$$Q = m v_0^2 / 2.$$

6.1.17. Введем на контуре, проходящем через проводники положительное направление (рис. 6.1.17).

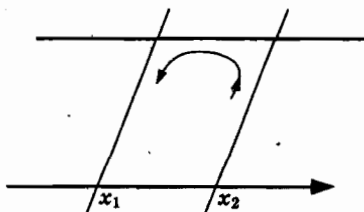


Рис. 6.1.17

В магнитном поле на проводники действуют силы Ампера. Из второго закона Ньютона и закона Ома получим уравнения

$$ma_2 = IB l, \quad (1)$$

$$ma_1 = -IB l, \quad (2)$$

$$2IR = \mathcal{E}. \quad (3)$$

Из (1), (2) следует, что центр масс системы покоится. ЭДС индукции определяется соотношением (6.1.3):

$$\Phi = Bl(x_2 - x_1), \quad \mathcal{E} = -d\Phi/dt,$$

$$\mathcal{E} = -(x_2 - x_1)l dB/dt - (v_2 - v_1)Bl.$$

ЭДС можно представить в виде $\mathcal{E} = -ld(Bx)/dt$, где $x = x_2 - x_1$.

Перейдем к относительному ускорению $a = a_2 - a_1$, вычитая (2) из (1). В результате получаем

$$ma/2 = IB, \quad (4)$$

$$2IR = -ld(Bx)/dt. \quad (5)$$

Здесь $m/2$ — приведенная масса системы.

Из (4), (5) получим уравнение движения

$$ma/2 = -(Bl^2/2R)d(Bx)/dt$$

и закон изменения кинетической энергии

$$\frac{d}{dt} \frac{mv^2}{4} = -I^2R - Ixl \frac{dB}{dt}$$

6.1.18. Уравнения, описывающие поведение системы приобретают вид

$$m \frac{dv}{dt} = IBl + F \quad (1),$$

$$IR = -Blv. \quad (2)$$

Умножим (1) на v , (2) на I и сложим полученные равенства. В результате получим закон изменения кинетической энергии

$$\frac{d}{dt} \left(\frac{mv^2}{2} \right) = -I^2R + Fv \quad \text{или} \quad \Delta \left(\frac{mv^2}{2} \right) = -\delta Q + \delta A \quad (3)$$

$$\delta A = Fv\Delta t = F\Delta x,$$

$$\delta Q = I^2R\Delta t.$$

Подставляя I из (2) в (1) имеем уравнение $m \frac{dv}{dt} = -(Bl)^2 \frac{v}{R} + F$.

Вначале скорость проводника будет возрастать. Однако, вследствие действия силы Ампера, тормозящей проводник, его скорость при $t \gg \tau$ стремится к постоянному значению $v(t) = u$, $u = FR/B^2l^2$. Сила

тока станет равной $I_m = -\frac{Blu}{R} = -\frac{F}{Bl}$. Внешняя сила развивает мощность $P_{\text{вн}} = Fu$, а резистор потребляет мощность $P_{\text{эл}} = I_m^2 R$. Согласно

(3) получим $P_{\text{вн}} = P_{\text{эл}}$.

6.1.19. Имеем систему уравнений

$$m \frac{dv}{dt} = IBl - F, \quad (1a)$$

$$IR = -Blv + \mathcal{E}_0. \quad (1б)$$

Умножим (1а) на v , (1б) на I и сложим полученные равенства. В результате получим закон изменения кинетической энергии

$$\frac{d}{dt} \left(\frac{mv^2}{2} \right) = -Fv + I\mathcal{E}_0 - I^2 R. \quad (2)$$

Зададим начальные условия $x(0) = 0$, $v(0) = 0$, $I(0) = 0$. Подставляя I из (1б) в (1а), имеем

$$m \frac{dv}{dt} = -\frac{B^2 l^2 v}{R} + \frac{Bl\mathcal{E}_0}{R} - F.$$

Поскольку $Bl\mathcal{E}_0/R > F$, то сила Ампера, создаваемая постоянным током \mathcal{E}_0/R , больше внешней силы. Тогда проводник движется вправо.

В установившемся режиме в схеме течет постоянный ток $I_0 = F/Bl$, а проводник движется с постоянной скоростью $v_0 = (\mathcal{E}_0 - FR/Bl)/Bl > 0$.

Внешняя сила развивает мощность $P = \vec{F}\vec{v}_0 = -Fv_0 < 0$. Механическая мощность мотора $P_{\text{мех}} = Fv_0 > 0$, или $P_{\text{мех}} = -\mathcal{E}I_0$, где $\mathcal{E} = -Blv_0$ — ЭДС индукции.

Мощность, потребляемая мотором $P_{\text{эл}} = \mathcal{E}_0 I_0 = \mathcal{E}_0 F/Bl$.

Коэффициент полезного действия мотора

$$\eta = P_{\text{мех}}/P_{\text{эл}} = 1 - FR/\mathcal{E}_0 Bl.$$

Очевидно, закон сохранения энергии можно представить в виде $P_{\text{эл}} = I^2 R + P_{\text{мех}}$. Если $\frac{Bl\mathcal{E}_0}{R} < F$, то проводник движется влево. Система работает в режиме электрогенератора, заряжающего батарею.

6.1.20. Координата первого стержня $x_1 = x$, проекция скорости $v_x = v$. Из условия связи следует, что $x_1 + x_2 = s$, где s — длина провода. Следовательно, сумма проекций ускорений стержней $a_1 + a_2 = 0$.

Введем далее положительное направление на контуре и единичный вектор $\vec{n}_1 = \vec{n}$ перпендикулярный области плоскости, образованной первым стержнем и двумя проводами. На второй области плоскости $\vec{n}_2 = -\vec{n}$.

Поток магнитной индукции через поверхность натянутую на стержни $\Phi = Blx - Bl(s - x)$. ЭДС индукции в контуре $\mathcal{E} = -2Blv$.

Проекция силы Ампера, действующей на первый стержень $F_1 = IlB$, на второй $F_2 = -IlB$.

Запишем теперь полную систему уравнений, описывающих эволюцию системы

$$m_1 a_1 = m_1 g + IlB - T, \quad m_2 a_2 = m_2 g - IlB - T, \quad IR = -2Blv.$$

Отсюда находим

$$a = (m_1 - m_2)g/m - (2Bl)^2 v/mR, \quad m = m_1 + m_2.$$

6.1.21. Поток индукции магнитного поля через контур

$$\Phi(t) = kx(t), \quad k = (\mu_0 J_0 / 2\pi) \int_{s-l/2}^{s+l/2} \frac{dz}{(s+z)}.$$

Проекция силы Ампера $F_x = Ik$. Имеем систему уравнений

$$mdv/dt = Ik, \quad 2I\rho(l+x) = -kv.$$

Исключая силу тока I , получим $dv/dt = -vu/(l+x)$, $u = k^2/2m\rho$.

Рассмотрим v как сложную функцию $v(t) = v(x(t))$. Тогда имеем $dv/dx = -u/(l+x)$. Решением этого уравнения, удовлетворяющего начальным условиям является функция $v(x) = v_0 - uln(1+x/l)$.

В точке остановки $v(x_j) = 0$, $x_j = l \exp(v_0/u)$.

6.1.22. Обозначим x - координату центра масс проводника. Положительное направление на контуре $OPKC$ изображено стрелкой на рис. 6.1.22. Ток в длинном проводе создает в полуплоскости $x > 0$ магнитное поле индукцией $\vec{B} = (0, 0, B)$, $B(x) = \frac{\mu_0 I_0}{2\pi(s+x)}$.

Сила Ампера, действующая на проводник и приращение магнитного потока $F_x = \frac{\mu_0 I_0 I h}{2\pi(s+x)}$, $\Delta\Phi = \frac{\mu_0 I_0 h}{2\pi(s+x)} \Delta x$.

Из второго закона Ньютона и закона Ома получим уравнения

$$m \frac{dv}{dt} = \frac{\mu_0 I_0 I h}{2\pi(s+x)}, \quad (1)$$

$$IR = -\frac{\mu_0 I_0 h}{2\pi(s+x)} v. \quad (2)$$

Исключая I из (1), получим уравнение

$$\frac{dv}{dt} = -\frac{us}{(s+x)^2} v, \quad u = \frac{1}{mRs} \left(\frac{\mu_0 J_0 h}{2\pi} \right)^2. \quad (3)$$

Переходя к переменной $v = v(x)$, находим уравнение

$$\frac{dv}{dx} = -\frac{us}{(s+x)^2}. \quad (4)$$

Решение уравнения (4) $v(x) = v_0 - \frac{ux}{s+x}$.

Рассмотрим три случая.

А. Пусть $v_0 > u$. Тогда при $x \gg s$ получим предельное значение скорости проводника $v(x) \rightarrow v_0 - u$, и силы тока $I \rightarrow 0$.

В. Если $v_0 = u$, то $x(t) = \sqrt{s^2 + 2sut} - s$. Скорость $v(t) = us / \sqrt{s^2 + 2sut}$.

С. Если $v_0 < u$, то проводник остановится, на расстоянии $x_c = sv_0 / (u - v_0)$ от начала координат.

6.1.23. На рис 6.1.23 б плоскость рамки образует угол $\theta = \omega t$ с вертикальной плоскостью. ЭДС индукции $\mathcal{E} = -d\Phi/dt$. На расстоянии r от провода индукция магнитного поля $\vec{B}(r) = \mu_0 I_0 \vec{e} / 2\pi r$, где \vec{e} — единичный вектор перпендикулярный отрезку CN . Поскольку индукция поля зависит от координат, то для вычисления потока магнитной индукции необходимо найти элементарный поток $\Delta\Phi$ через элемент поверхности ΔS и вычислить сумму элементарных потоков.

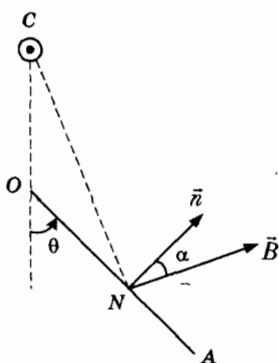


Рис. 6.1.23 б

На числовой оси x , проходящей через токи O и A выберем точку N на расстоянии x и вторую точку на расстоянии $x + \Delta x$. Проведем плоскости рамки через эти точки два отрезка параллельные оси. Площадь элементарного прямоугольника $\Delta S = b\Delta x$. Расстояние $CN = r$, $r^2 = s^2 + x^2 + 2sxcos\theta$. Для вычисления потока необходимо ввести еди-

ничный вектор \vec{n} перпендикулярный площадке ΔS . Элементарный поток $\Delta\Phi = B(x)\cos\alpha b\Delta x$. Покажите, что $\cos\alpha = (s\cos\theta + x)/r$. Следовательно,

$$\Delta\Phi = (\mu_0 I_0 / 2\pi) (s\cos\theta + x) b \Delta x / (s^2 + x^2 + 2sxcos\theta).$$

Полный поток

$$\Phi = \frac{\mu_0 I_0 b}{2\pi} \int_0^a dx (s\cos\theta + x) / (s^2 + x^2 + 2sxcos\theta). \quad (1)$$

В случае $s \gg a$ можно положить $1/r^2 \approx (1/s^2)(1 - 2xcos\theta/s)$. Тогда $(s\cos\theta + x)/(s^2 + x^2 + 2sxcos\theta) \approx (1/s)[\cos\theta - (x/s)\cos 2\theta]$.

Из (1) находим $\Phi = (\mu_0 I_0 ab / 2\pi s) [\cos\theta - (a/2s)\cos 2\theta]$.

ЭДС индукции $\mathcal{E}(t) = (\mu_0 I_0 ab \omega / 2\pi s) [\sin\omega t - (a/s)\sin 2\omega t]$

Отметим интересный эффект — при вращении рамки в неоднородном магнитном поле ЭДС индукции содержит вторую гармонику основной частоты.

В интервале углов $0 \leq \theta \leq \pi$, когда ток течет в положительном направлении, на рамку действует сила Ампера, создавая момент силы, противодействующий движению рамки. В интервале углов $\pi \leq \theta \leq 2\pi$ момент силы Ампера направлен в противоположную сторону.

6.1.24. На рис. 6.1.24 б показано положительное направление тока в контуре. Положение стержня определяется углом отклонения φ от вертикальной плоскости, угловая скорость стержня $\omega = d\varphi/dt$.

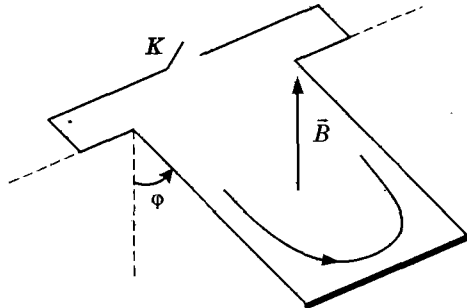


Рис. 6.1.24 б

На стержень действуют сила тяжести, силы натяжения и сила Ампера. Запишем уравнение — производная проекции момента импульса равна сумме моментов сил тяжести и силы Ампера

$$ml^2 d\omega/dt = IBla\cos\varphi - mgl\sin\varphi. \quad (1)$$

Поток магнитной индукции через рамку $\Phi = Bl a \sin \varphi$. Из закона Ома следует уравнение

$$IR = -Bl a \omega \cos \varphi. \quad (2)$$

Из (1), (2) получаем уравнение

$$ml^2 d\omega/dt = -(Bl a)^2 (\omega/R) \cos^2 \varphi - mgl \sin \varphi, \quad (3)$$

из которого следует, что сила Ампера играет роль силы сопротивления. Из закона изменения полной энергии

$$\frac{dE}{dt} = -I^2 R, \quad E = ml^2 \omega^2 / 2 - mgl \cos \varphi \quad (4)$$

можно найти количество теплоты, выделившейся в проводниках $Q = E_j - E_i$ при переходе из начального состояния в конечное состояние.

6.1.25. На рис. 6.1.25 а показано положительное направление тока в контуре. Положение стержня определяется углом отклонения φ от вертикальной плоскости, угловая скорость стержня $\omega = d\varphi/dt$.

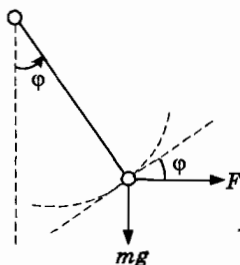


Рис. 6.1.25 б

В промежутке времени $0 \leq t \leq \tau$ на стержень действуют сила тяжести, силы натяжения и сила Ампера. Запишем уравнение — производная проекции момента импульса равно сумме моментов сил тяжести и силы Ампера

$$mh^2 d\omega/dt = IBlh \cos \varphi - mgh \sin \varphi. \quad (1)$$

Поток магнитной индукции через рамку $\Phi = Blhs \sin \varphi$. Из закона Ома следует уравнение

$$IR = -d\Phi/dt + \mathcal{E}_o. \quad (2)$$

Начальные значения $\varphi(0) = 0$, $\omega(0) = 0$. В промежутке времени действия ударного импульса напряжения $0 \leq t \leq \tau$ стержень не смещается.

Интегрируя (1), (2) в промежутке $0 \leq t \leq \tau$, получим $\omega_0 = qBl/mh$, $qR = \varepsilon_0 \tau$, где $\omega_0 = \omega(\tau)$, q — заряд, протекший через контур. Следовательно, $\omega_0 = Bl\varepsilon_0 \tau / mhR$.

В интервале $t > \tau$ контур движется в поле тяжести. Из закона сохранения полной энергии

$$mh^2 \omega_0^2 / 2 - mgh = mh^2 \omega^2 / 2 - mgh \cos \varphi, \quad (3)$$

найдем границы области движения. Если $\omega_0^2 < 4g/h$, то

$$0 < \varphi \leq \varphi_m, \sin(\varphi_m/2) = Bl\varepsilon_0 / [mR \sqrt{gh}].$$

6.1.26. Введем систему координат xuz с горизонтально направленной осью x , ось y направим вертикально вверх (рис. 6.1.26). В этой системе угловая скорость $\omega = (0, 0, \omega)$, скорость центра обруча $u = (-\omega a, 0, 0)$. Ориентацию обруча зададим углом $\varphi = \omega t$ между осью x и прямой, проходящей через центр обруча O и середину дуги M .

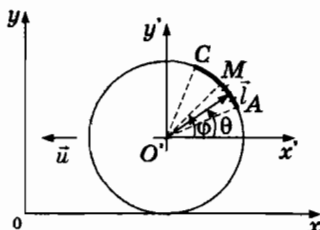


Рис. 6.1.26

Индукция магнитного поля $\vec{B} = (0, 0, B)$. Для вычисления ЭДС индукции (6.1.3) введем переменную θ — угол между осью x и вектором \vec{l} , соединяющим центр обруча с элементом дуги dl . Тогда

$$\vec{l} = (a \cos \theta, a \sin \theta, 0),$$

$$d\vec{l} = (-\sin \theta a d\theta, \cos \theta a d\theta, 0).$$

Скорость элемента дуги $\vec{v} = \vec{u} + \vec{\omega} \times \vec{l}$, двойное векторное произведение $(\vec{\omega} \times \vec{l}) \times \vec{B} = \vec{l}(\vec{B} \vec{\omega}) - \vec{\omega}(\vec{B} \vec{l})$. Поскольку $\vec{l} d\vec{l} = 0$, $\vec{B} \vec{l} = 0$, $\vec{u} \times \vec{B} = (0, \omega a B, 0)$, то

$$(\vec{v} \times \vec{B}) d\vec{l} = (\vec{u} \times \vec{B}) d\vec{l} = \omega a^2 B \cos \theta d\theta.$$

$$\text{Из (6.1.3) находим } \varepsilon = \omega a^2 B \int_{\varphi - \frac{\alpha}{2}}^{\varphi + \frac{\alpha}{2}} d\theta \cos \theta, \quad \varepsilon = 2\omega a^2 B \sin \frac{\alpha}{2} \cos \varphi.$$

Следует отметить, что приращение потока $\Delta\Phi = B\Delta S$, где приращение ΔS равно площади параллелограмма, образованного хордой длиной $2as\sin\alpha/2$, смещенной на $u\Delta t$.

Покажите, что разность потенциалов точек A и C при движении в магнитном поле индукцией $\vec{B} = (0, B, 0)$ равна нулю.

6.1.27. Решение 1. Положение стержня зададим углом $\varphi(t)$ между фиксированной прямой и отрезком OA (рис. 6.1.27 б). Введем на контуре A_0AB_0B положительное направление. Тогда поток магнитной индукции $\Phi = (a^2 - b^2)V\omega/2$. ЭДС индукции $\mathcal{E}(t) = -(a^2 - b^2)V\omega/2$.

Решение 2. Введем ось x с началом в точке O , положительное направление оси от точки O к точке A . Вектор скорости элемента $\Delta l = -\Delta x$ движущейся части контура направлен перпендикулярно этому элементу. Выражение под знаком суммы в (6.1.3) равно $-\omega x B \Delta x$. Переходя от суммы к интегралу, имеем

$$\mathcal{E}(t) = -\omega B \int_{-b}^a dx x = -(a^2 - b^2)V\omega/2.$$

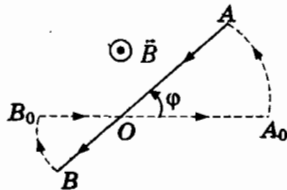


Рис. 6.1.27 б

6.1.28. Решение 1. Согласно (6.1.3) ЭДС индукции

$$\mathcal{E} = -dB/dt \int dS, \quad dS = r^2 d\varphi/2,$$

$$\mathcal{E} = -dB/dt \int_0^{\varphi_0} (a^2/2) (\varphi/2\pi)^2 d\varphi = -(\pi a^2 n^3/3) dB/dt. \quad (1)$$

Решение 2. Найдем ЭДС, используя соотношение (6.1.2). Вектор напряженности вихревого электрического поля $\vec{E} = -(r/2)dB/dt \vec{e}$, $\vec{e} = (-\sin\varphi, \sin\varphi, 0)$.

Элемент дуги спирали $d\vec{l} = (dx, dy, 0)$. Подставляя $x = r\cos\varphi$, $y = r\sin\varphi$, получаем $d\vec{l} = a[(\cos\varphi - \varphi\sin\varphi), (\sin\varphi + \varphi\cos\varphi), 0]d\varphi/(2\pi)$, $\vec{e}d\vec{l} = \varphi a d\varphi/(2\pi)$.

Из (6.1.2) получаем значение ЭДС в форме (1).

6.1.29. Решение 1. Согласно (6.1.3) ЭДС индукции

$$\mathcal{E} = -dB/dt \int x dy = -2kdB/dt \int_0^a x^2 dx = -(2ka^3/3)dB/dt. \quad (1)$$

Решение 2. Найдем ЭДС, используя соотношение (6.1.2). Элемент дуги параболы $d\vec{l} = (dx, kx dx, 0)$. Подставляя $\cos\varphi = x/r, \sin\varphi = y/r$, получаем $\vec{e}d\vec{l} = (kx^2/2r)dx$. На отрезке прямой $\vec{e}d\vec{l} = (-ka^2/2r)dx$. Из (6.1.2) получаем значение ЭДС в форме (1).

6.1.31. Система имеет две степени свободы: механическую, задаваемую углом φ между вертикалью и единичным вектором \vec{n} на рис. 6.1.31, перпендикулярным плоскости продольного сечения и электродинамическую, задаваемую силой тока I в контуре. ЭДС индукции можно вычислить, используя (6.1.3). Более простой способ — найти поток индукции: $\Phi = Bah\cos\varphi$, $\mathcal{E} = Bah\omega\sin\varphi$. Проекция момента силы Ампера $M_x = -IBah\sin\varphi$.

Уравнения, описывающие динамику системы имеют вид

$$Jd\omega/dt = -IBah\sin\varphi, \quad IR = Bah\omega\sin\varphi,$$

где $J = ma^2/2$ — осевой момент инерции цилиндра.

Из этих уравнений получаем $Jd\omega/dt = -(Bah)^2(\omega/R)\sin^2\varphi$.

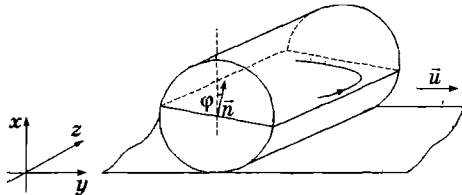


Рис. 6.1.31

6.1.32. Из второго закона Ньютона получаем уравнение движения

$$mdv/dt = mg + |Bl|, \quad (1)$$

Поскольку ЭДС индукции $\mathcal{E} = -Blv$, то из закона Ома следует еще одно уравнение

$$IR + q/C = -Blv. \quad (2)$$

Дифференцируя (2) по времени получаем после подстановки ускорения

$$dI/dt = -I/\tau + Blg/R, \quad \tau = RC/[1 + C(Bl)^2/m]. \quad (3)$$

При $t \gg \tau$ в стационарном режиме $I \rightarrow I_0$, $I_0 = -Blg\tau/R$.

6.1.33. Поток магнитной индукции через сектор AOP

$$\Phi(t) = Ba^2\varphi(t)/2, \quad \varphi(t) = \pi(1 - \sin\omega_0 t).$$

ЭДС индукции на концах стержня OP , равна $\mathcal{E}(t) = -Ba^2\omega(t)/2$. Согласно (6.1.3) эквивалентная схема представляет собой генератор с внутренним сопротивлением $r = 2\rho a$, к которому параллельно подключены два резистора с сопротивлениями $R_1(t) = \rho a\varphi$ и $R_2(t) = \rho a(2\pi - \varphi)$.

6.1.34. А. Приращение магнитного потока, связанное с движением троса на рис. 6.1.34, равно $\Delta\Phi \approx Blv\Delta t$, где $v = v_1\sqrt{a/r}$, $v_1 = \sqrt{ag}$ — первая космическая скорость. Следовательно, в тросе наводится ЭДС, равная разности потенциалов точек A_1 и A_2 :

$$\mathcal{E} = -\mathcal{E}_0, \quad \mathcal{E}_0 = vBl = lv_1B_0(a/r)^{3/2}.$$

Полагая $l = 20$ км, $r = a + h$, $h = 400$ км, получим $\mathcal{E}_0 \approx 6\ 640$ В.

Б. При контакте концов троса с ионосферной плазмой возникает замкнутая цепь электрического тока, текущего по тросу и вдоль силовых линий магнитного поля, сближающихся у полюсов в области E -слоя плазмы с высокой проводимостью. В результате со стороны магнитного поля на трос действует сила Ампера $F_A = (Bl)^2v/R$, тормозящая связку (R — эффективное сопротивление цепи). Уменьшение высоты в результате работы генератора можно компенсировать кратковременным включением реактивного двигателя. Если в цепь включить генератор напряжения, то, наоборот, связка начнет набирать высоту.

Запишем систему уравнений, определяющих динамику тросовой системы. Рассмотрим ограниченную задачу, предполагая, что трос находится на прямой, проходящей через центр Земли.

Положение троса задается вектором \vec{l} — направленным отрезком A_1A_2 (см. рис. 6.1.34). Пренебрегая неоднородностью поля тяжести в области размерами $\sim l$, запишем силу притяжения в виде

$$\vec{F} = -\frac{mga^2}{r^3}\vec{r},$$

где m — масса спутников, $\vec{r} = (x, y, 0)$ — радиус-вектор центра масс с началом в центре Земли.

Сила сопротивления, действующая на связку в верхних слоях атмосферы, $\vec{F}_c = -k\rho(r)Sv\vec{v}$. Здесь S — общая площадь сечения спутников в плоскости перпендикулярной скорости, $\rho(r)$ — плотность воздуха, k — коэффициент порядка единицы. На трос действует также

сила Ампера $\vec{F}_A = I\vec{l} \times \vec{B}(r)$, где I — сила тока, протекающего через трос. Из второго закона Ньютона получим уравнение движения центра масс связки

$$m \frac{d\vec{v}}{dt} = -mga^2 \frac{\vec{r}}{r} - S\rho(\vec{r})v\vec{v} + I\vec{l} \times B(\vec{r}) \quad (1)$$

Полная система, содержащая три неизвестных функции x , y и I , должна быть дополнена уравнением, следующим из закона Ома и (6.1.3)

$$IR = \xi + \vec{v} \times \vec{B}(r)\vec{l}, \quad (2)$$

где R — полное сопротивление электрической цепи.

Занимем теперь закон сохранения энергии. С этой целью образуем скалярное произведение (1) с \vec{v} , затем умножим (2) на I и сложим полученные выражения. В результате находим

$$\frac{dE}{dt} = -S\rho(r)v^3 + I\xi - I^2R, \quad (3)$$

где $E(t) = \frac{mv^2}{2} - mg \frac{a^2}{r}$ — полная энергия.

Предположим, что при отсутствии сопротивления атмосферы и тока через трос центр масс движется по окружности радиусом r с местной первой космической скоростью $v = \sqrt{ga^2/r}$. Рассмотрим далее движение центра системы со скоростью $v(t)$ по некоторой спиралеобразной траектории близкой к окружности радиусом $r(t)$, где $v(t)$ и $r(t)$ удовлетворяют тому же соотношению $v^2 = ga^2/r$.

Тогда $E(t) = -mv^2/2$, а из (2) следует уравнение

$$IR = \xi - vB(r)l \quad (4)$$

Подставляя $E(t)$ в (3), имеем

$$mv \frac{dv}{dt} = S\rho(r)v^3 - I\xi + I^2R. \quad (5)$$

Исключая I из (5), получим уравнение

$$m \frac{dv}{dt} = S\rho(r)v^2 + B^2(r)l^2 \frac{v}{R} - B(r)l \frac{\xi}{R}, \quad (6)$$

из которого следует, что при $\xi = 0$ величина скорости растёт, хотя сила сопротивления и сила Ампера направлены в сторону противоположную вектору скорости \vec{v} .

Действие этих сил приводит к уменьшению высоты полета связки. Полная энергия согласно (3) убывает. Подставляя в (6) $v = v_1 \sqrt{\frac{a}{r}}$, $\frac{dv}{dt} = \left(\frac{a}{r}\right)^{3/2} \frac{v_1}{2a} \frac{dr}{dt}$, получим уравнение для определения функции $r(t)$.

6.1.35. Решение 1. Для определения ЭДС индукции (6.1.3) проведем контур $abcdmna$ на рис. 6.1.35, участок которого bc движется вместе с водой. Поскольку $d\vec{l} = (0, dy, 0)$, то $\mathcal{E} = -Blv$. Согласно определению (6.1.2) напряженность электрического поля, возникающего между берегами канала $E_y = Bv$.

Решение 2. На рис. 6.1.35 изображен контур $admna$, через который поток магнитной индукции равен нулю.

Это обстоятельство послужило основой для утверждения, что возможны исключения из «правила потока».

В действительности поток через контур $abcdmna$ равен $\Phi = Blx(t)$. ЭДС $\mathcal{E} = -Blv$. Ток протекает по контуру $admna$. Сила Ампера, действующая на элемент длины ad в воде $F_x = IBl < 0$ поскольку сила тока в воде

$$I = -Blv/R,$$

где R — сопротивление элементарной трубки тока.

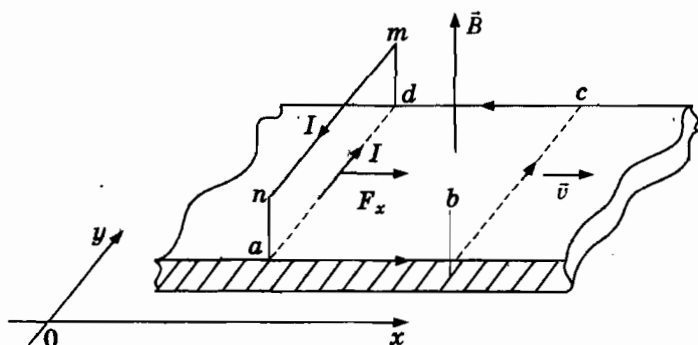


Рис. 6.1.35

М. Фарадей измерял разность потенциалов между концами провода, протянутого над Темзой. Однако из-за малой чувствительности гальванометра он не обнаружил эффекта.

6.2. Моторы и генераторы постоянного тока

6.2.1. Согласно (6.1.3) ЭДС индукции $\mathcal{E} = uBh$. Между пластинами возникает электрическое поле напряженностью $\vec{E} = (uB, 0, 0)$, создающее электрический ток. Сила тока в замкнутой цепи пластина–газ–пластина–резистор $I = \mathcal{E}/(R + R_c)$, где $R_c = h/\sigma S$, σ — удельная электропроводность газа, S — площадь пластины. Мощность, потребляемая нагрузкой $P = I^2 R$.

Можно получить ток плотностью 4000 А/м² при значениях $u \sim 2000\text{--}2500$ м/с, $B \sim 1\text{--}3$ Тл. На практике все оказалось не так просто. Для перехода к промышленному использованию МГД-энергетики еще предстоит найти решение множества технических проблем.

6.2.2. Введем положительное направление на контуре abO (рис. 6.2.2 а, б). Тогда единичный вектор \vec{n} , перпендикулярный поверхности диска, направлен параллельно оси z . В ЭДС индукции дает вклад второе слагаемое в (6.1.3). Скорость элемента диска $d\vec{l}_b = -d\vec{r}$ направлена по касательной к окружности радиусом r , величина скорости $v = \omega r$. Из (6.1.3) получим $\mathcal{E} = -B\omega \int_0^a dr r$, $\mathcal{E} = -Ba^2\omega/2$.

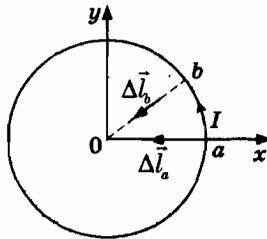


Рис. 6.2.2 б

Можно вычислить ЭДС, определяя поток магнитной индукции через поверхность, ограниченную контуром aOb : $\Phi = BS$, $S = a^2\varphi/2$, где φ — угол aOb . Из (6.1.1) получаем

$$\mathcal{E} = -d\Phi/dt, \quad \mathcal{E} = -Ba^2\omega/2, \quad \omega = d\varphi/dt.$$

По участку контура aO протекает ток силой I . На элемент диска $d\vec{l}_a = -d\vec{r}$ этого контура действует элементарная сила Ампера, направленная по касательной к окружности радиусом r , величина силы

$F_A = IBdr$, проекция момента силы Ампера на ось вращения $M_A = IBrd$. Интегрируя, получим $M_A = IBa^2/2$. Проекция момента силы тяжести $M_z = mga$. Динамические уравнения приобретают вид

$$Jd\omega/dt = IBa^2/2 + mga, \quad IR = -Ba^2\omega/2,$$

где $J = ma^2/2$ — осевой момент инерции диска.

В установившемся режиме

$$I = -I_m, \quad I_m = mga/k, \quad \omega = \omega_m, \\ \omega_m = mgaR/k^2, \quad k = Ba^2/2.$$

Величина скорости груза $v_m = a\omega_m$, $v_m = mgR(a/k)^2$. Внешняя сила развивает мощность $P_{\text{вех}} = m\vec{g}\vec{v}_m = mga\omega_m$. Мощность, потребляемая резистором $P = I_m^2 R$.

6.2.3. Момент силы Ампера $M_A = kI$, $k = Ba^2/2$. Согласно уравнению движения твердого тела (1.12.13)

$$Jd\omega/dt = kI - M, \quad (1)$$

где $J = ma^2/2$ — осевой момент инерции диска.

ЭДС индукции $\xi = -Ba^2\omega/2$. Из закона Ома следует еще одно уравнение

$$IR = \xi - k\omega. \quad (2)$$

Из (1), (2) получаем уравнение $Jd\omega/dt = k(\xi - k\omega)/R - M$.

При $M < \xi Ba^2/2R$ момент силы Ампера больше величины момента внешней силы. Диск раскручивается, момент силы Ампера возрастает. В установившемся режиме при $t \gg 2mR/B^2a^2$ диск вращается с постоянной угловой скоростью $\omega_m = \xi/k - MR/k^2$, сила тока $I_m = M/k$.

6.2.4. В этом случае $M = 0$.

6.2.5. В этом случае $\omega = 0$.

6.2.8. $P_{\text{вех}} = (U - MR/k)M/k$.

6.2.9. Имеем уравнения $(U - MR/k)M/k = P_0$, $\omega_c = U/k$. Согласно теореме Виета находим $M_1 M_2 = P_0 k^2 / R$.

6.2.10. Согласно теореме Виета из уравнения $(U - MR/k)M/k = P_0$ находим $M_1 M_2 = P_0 k^2 / R$, $M_1 + M_2 = kU/R$.

Тепловая мощность $I^2 R = P_0 - MU/k$.

6.2.11. Пусть $M_{\text{вех}}$, M_f — моменты внешних сил и силы трения. Из уравнений

$$kI - (M_{\text{вех}} + M_f) = 0, \quad (1)$$

$$IR = U - k\omega \quad (2)$$

следует, что сила тока при холостом ходе $I_c = M_j/k$, сила тока при за-
 торможенном якоре $I_0 = U/R$.

Согласно (1), (2) механическая мощность

$$P_{\text{мех}} = M_{\text{ох}} \omega = (M_{\text{ох}}/k) [U - (M_{\text{ох}} + kI_c)R/k].$$

Максимальное значение $P_{\text{max}} = (U - I_c R)^2 / 4R$.

6.2.12. Сила тока при запуске $I_0 = U/R$. Имеем уравнения

$$\eta = P_{\text{мех}}/P_{\text{эл}} = M\omega/IU = k\omega/U, \quad IR = U - k\omega.$$

6.2.14. В режиме холостого хода $0 = U - k\omega_c$, $kI = 0 \rightarrow \omega_c = U/k$.

6.2.15. $\eta = P_{\text{мех}}/P_{\text{эл}}$, $P_{\text{эл}} = IU$, $P_{\text{мех}} = 2\pi\nu M$, $IR = U + \mathcal{E}$.

6.2.17. Имеем систему уравнений

$$P = 2\pi\nu M, \quad \eta = P_{\text{мех}}/IU, \quad IU = I^2 R + P_{\text{мех}}, \\ R = \eta(1 - \eta)U^2/P_{\text{мех}}.$$

6.2.18. Из системы уравнений $IU = I^2 R + P_{\text{мех}}$, $P_{\text{мех}} = mgv$ находим
 $v(I) = I(U - IR)/mg$. Функция $v(I)$ достигает максимального значения
 $v_m = U^2/4mgR$.

6.1.19. $\eta = mgh/UI\tau$.

6.2.20. $IU = I^2 R + Fv_0$.

6.2.21. $R = U/I - P_{\text{мех}}/I^2$.

6.2.22. Имеем систему уравнений $I_1 R_1 = U - k\omega_1$, $I_2 R_2 = U - k\omega_2$,
 из которой находим $R = U(\omega_2 - \omega_1)/(I_1 \omega_2 - I_2 \omega_1)$.

6.2.23. Имеем систему уравнений

$$IU = I^2 R + P_{\text{мех}}, \quad I_0 = U/R, \\ P_{\text{мех}} = IU(1 - I/I_0).$$

6.2.24. $v_c = (I_2 v_1 - I_1 v_2)/(I_2 - I_1)$.

6.2.25. $P_{\text{мех}} = IU(1 - I/I_0)$.

6.2.26. Из уравнений (6.2.2), (6.2.3) $IR = U - k\omega$, $kI - M = 0$, получа-
 ем $\omega_0 = (U - MR/k)/k$. В режиме генератора угловая частота вращения
 $\omega = -\omega_g$, $\omega_g = (U + MR/k)/k$. Следовательно, $v_g = (U + IR)v_0/(U - IR)$.

6.2.27. В момент времени $t = 0$ угловая скорость вращения
 $\omega_0 = (U - MR/k)/k$, $\omega_c = U/k$. После переключения полярности на-
 пряжения уравнение движения якоря (6.2.1)

$$Jd\omega/dt = -(M + kU/R) - k^2\omega/R. \quad (1)$$

Величина $\tau = RJ/k^2 = RJ(\omega_c/U)^2$, $\tau = 2,25$ с определяет характерное
 время движения якоря.

При $t \gg \tau$ угловая скорость $\omega \rightarrow -\omega_1$, $\omega_1 = (U + MR/k)/k$.

Уравнение (1) можно представить в виде $d\omega/dt = -(\omega_1 + \omega)/\tau$ с начальным условием $\omega(0) = \omega_0$. Отметим, что $\omega_0 = 2\omega_c - \omega_1$. Ищем решение в виде $\omega(t) = -\omega_1 + \omega'(t)$. После подстановки получим уравнение $d\omega'/dt = -\omega'/\tau$. Решением является функция $\omega'(t) = C \exp(-t/\tau)$. Постоянную C находим из начального условия: $C = 2\omega_c$.

Следовательно, $\omega(t) = -\omega_1 + 2\omega_c \exp(-t/\tau)$. Полагая $\omega(T) = 0$, получим уравнение $2\omega_c - \omega_0 = 2\omega_c \exp(-T/\tau)$. Отсюда находим $T = \tau \ln(1 - \omega_0/2\omega_c)^{-1}$.

6.3. Самоиндукция. Взаимоиндукция

6.3.1. Найдем поток индукции через поверхность, образованную винтовым движением отрезка прямой длиной равной радиусу катушки a : отрезок вращается вокруг оси и за один оборот перемещается на расстояние равное толщине провода l/N . Такая поверхность называется *геликоидом* (от греч. *helix* — витой). Поскольку $l/N \ll a$, то площадь поверхности $\approx NS$. Учитывая значение магнитной индукции $B = \mu_0 I$, получим $\Phi = B_r NS = \frac{1}{l} \mu_0 N^2 SI$.

Согласно определению собственного потока индукции $\Phi = LI$ индуктивность соленоида $L = \frac{\mu_0 N^2 S}{l}$.

6.3.2. Пусть по проводу течет ток силой I . Поскольку магнитное поле слабееднородно внутри кольцевого соленоида, то используя закон Максвелла — Ампера, получим уравнение $2\pi a B \approx \mu_0 NI$, где B — значение индукции магнитного поля на окружности радиусом a . Энергия магнитного поля $U_m = B^2 V / 2\mu_0$, где $V \approx 2\pi a S$, $S = \pi b^2$ — площадь сечения соленоида. Следовательно, $U_m = \mu_0 N^2 b^2 I^2 / 4a$.

Согласно определению $U_m = LI^2/2$ находим $L = \mu_0 N^2 b^2 / 2a$. Строгое вычисление приводит к результату $L = \mu_0 N^2 [a - (a^2 - b^2)^{1/2}]$.

6.3.3. Магнитное поле существует только в промежутке между проводниками, силовые линии которого представляют собой окружности. Касательная компонента вектора индукции $B = \mu_0 I / 2\pi r$. Энергия поля

$$\frac{1}{2\mu_0} \left(\frac{\mu_0 I}{2\pi} \right)^2 \int_a^b \frac{dr}{r} \int_0^{2\pi} d\varphi \int_0^l dz = (\mu_0 I^2 l / 4\pi) \ln(b/a).$$

6.3.4. Энергия магнитного поля

$$U_m = (1/2\mu_0)[(B_1 + B_2)^2 S_1 + B_2^2 (S_2 - S_1)]l,$$

$$B_k = \mu_0 N_k I_k / l.$$

6.3.5. Если силы токов в катушках равны I_1, I_2 , то энергия магнитного поля $U_m = (L_1 I_1^2 + 2L_{12} I_1 I_2 + L_2 I_2^2) / 2$, где L_1 и L_2 — индуктивности первой и второй частей катушки, L_{12} — взаимная индуктивность. В случае идеальной связи $L_{12} = \sqrt{L_1 L_2}$. Полагая $I_1 = I_2 = I$, получим уравнение $L = L_1 + 2L_{12} + L_2$. В силу симметрии схемы $L_1 = L_2$. Следовательно, $L_1 = L_2 = L_{12} = \frac{L}{4}$.

6.3.6. Поток индукции сквозь малое кольцо радиусом $a_2 \ll a$, равен

$$\Phi_{21} = \bar{B}_1 \bar{n}_2 S_2, \quad S_2 = \pi a_2^2.$$

Подставляя значение индукции $\bar{B}_1 = \mu_0 I_1 a_1^2 \bar{n}_1 / 2r^3$, $r = \sqrt{a_1^2 + h^2}$, получим $\Phi_{21} = \frac{\mu_0 S_1 S_2 I_1}{2\pi r^3}$. Согласно определению $\Phi_{21} = L_{21} I_1$ коэффициент взаимной индукции $L_{21} = \frac{\mu_0 S_1 S_2}{2\pi r^3}$.

В случае $a_2 \approx a$, мы должны получить симметричное выражение

$$L_{21} = L_{12} = \frac{\mu_0 S_1 S_2}{2\pi (a_1^2 + a_2^2 + h^2)^{3/2}}.$$

6.3.7. Для сверхпроводящего контура из закона Ома имеем уравнение $0 + LdI/dt = -d\Phi_{\text{ex}}/dt$, где Φ_{ex} — поток магнитной индукции, создаваемый внешним полем или $0 = d\Phi/dt$, $\Phi = LI + \Phi_{\text{ex}}$ — полный поток магнитной индукции. Следовательно, $LI + \Phi_{\text{ex}} = \text{const}$. Согласно условию $B_0 S = 2B_0 S + LI$.

6.3.8. А. Согласно уравнению движения

$$mdv/dt = mg + Blv, \quad (1)$$

Поскольку ЭДС индукции $\mathcal{E} = -Blv$, то из закона Ома следует еще одно уравнение

$$LdI/dt + IR = -Blv. \quad (2)$$

Умножим (1) на v , (2) на I и сложим полученные соотношения. В результате получим закон изменения полной энергии

$$\frac{d}{dt} (mv^2/2 + LI^2/2) = mgv - I^2 R. \quad (3)$$

При установившемся движении $v(t) \rightarrow v_c$, $I(t) \rightarrow I_c$:

$$v_c = -I_c R / Bl, \quad I_c = -mg / Bl.$$

Б. Полагая в (2) $R = 0$, и учитывая начальные условия, получим уравнение

$$LI = -Blz. \quad (4)$$

Тогда уравнение (1) приобретает вид

$$dv/dt = g - \omega^2 z,$$

где $\omega^2 = (Bl)^2 / Lm$.

В положении равновесия $z = z_{\text{eq}}$, $z_{\text{eq}} = g/\omega^2$. Произведем замену переменных, полагая $z = z_{\text{eq}} + x$. Тогда получим уравнение гармонических колебаний

$$dv/dt + \omega^2 x = 0, \quad (5)$$

решение которого $x(t) = a \cos \omega t + b \sin \omega t$, a , b — произвольные постоянные. В силу начальных условий $a = -z_{\text{eq}}$, $b = 0$:

$$z(t) = (g/\omega^2)(1 - \sin \omega t).$$

Проводник движется в области $0 \leq z \leq 2mgL/(Bl)^2$. Отметим также, что из закона изменения энергии (3) следует уравнение

$$mv^2/2 + (Blz)^2/2L = mgz. \quad (6)$$

6.3.9. Сила тока в схеме на рис. 6.3.9 а равна $I_0 = \mathcal{E}/r$. Коэффициент индукции в схеме рис. 6.3.9 б $L \sim N^2 f(t)$, $f = a^2(t)/l(t)$ — убывающая функция, т.к. $a(t)$ — «радиус» витка — убывающая функция, $l(t)$ — длина спирали — возрастающая функция. Сила тока удовлетворяет уравнению $dLI/dt + Ir = \mathcal{E}$. Поскольку поток магнитной индукции убывает, то в контуре возникает ЭДС и индуцированный ток, направление которого совпадает с направлением первоначального тока. Это явление является следствием принципа Ле Шателье — возрастают силы притяжения витков, препятствующих увеличению расстояния между витками. График $I(t)$ изображен на рис. 6.3.9 в.

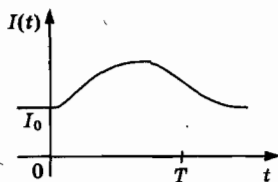


Рис. 6.3.9 в

6.3.10. Пусть $\mathcal{E}(t) = 0$ при $t < 0$, $I(0) = 0$. В момент времени $t = 0$ ключ замыкают: $\mathcal{E}(t) = \mathcal{E}_0$, $t \geq 0$. Найдём напряжение на лампах, записывая уравнения, следующее из закона Ома

$$\tau dI_1/dt + I_1 = \mathcal{E}_0/R, \quad t \geq 0 \quad (1)$$

$I_2 = \mathcal{E}_0/R$, где $\tau = L/R$ — величина, имеющая размерность времени.

Начальное значение $I_1(0) = I_2(0) = 0$. Произведем замену $I_1 \rightarrow i$: $I_1 = i + \mathcal{E}_0/R$. Тогда получим уравнение $\tau di/dt = -i$, решение которого $i = A \exp(-t/\tau)$. Общее решение уравнения (1) имеет вид

$$I_1 = \mathcal{E}_0/R + A \exp(-t/\tau).$$

Учитывая начальное условие, получим значение постоянной $A = -\mathcal{E}_0/R$. Следовательно, $I_1 = (\mathcal{E}_0/R)[1 - \exp(-t/\tau)]$.

Наличие катушки индуктивности замедляет нарастание силы тока. Лампа Π_2 загорается немедленно, а лампа Π_1 с запаздыванием.

Например, при $t = 3\tau$ величина $I_1(3\tau)$ отличается от значения \mathcal{E}_0/R на $0,05\mathcal{E}_0/R$; при $t = 5\tau$ — на $0,0067\mathcal{E}_0/R$.

Например, при $L = 1$ Гн, $R = 10$ Ом значение $\tau = 0,1$ с.

6.3.11. На рис. 6.3.11 б стрелками указаны положительные направления токов.

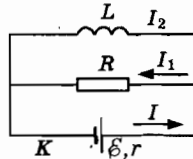


Рис. 6.3.11 б

Условие непрерывности токов приводит к уравнению

$$I = I_1 + I_2. \quad (1)$$

Далее для контура, содержащего батарею и резистор, имеем уравнение

$$Ir + I_1 R = \mathcal{E}_0, \quad (2)$$

а для контура, содержащего резистор и катушку

$$I_1 R - L dI_2/dt = 0. \quad (3)$$

Исключая I , I_1 из (3), получим уравнение

$$\tau dI_2/dt + I_2 = \mathcal{E}_0/r, \quad (4)$$

где $\tau = L/R_0$, $1/R_0 = 1/R + 1/r$.

Уравнение (3) можно представить в виде $\Delta q_1 R = L \Delta I_2$. При $t \gg \tau$, силы токов стремятся к значениям $I_2 \rightarrow \varepsilon/r$, $I_1 \rightarrow 0$. Поскольку $I_2(0) = 0$, то через резистор R протечет заряд $\Delta q_1 = L\varepsilon/(rR)$.

6.3.12. Если ключ разомкнут, то ток протекает в замкнутом контуре. Имеем систему $I = 0$, $0 = I_1 + I_2$ с начальным условием $I_2(0) = \varepsilon/r$. Разность потенциалов $\varphi_b - \varphi_a = I_1(0)R = -I_2(0)R$. Поскольку $\varphi_a - \varphi_b + \varphi_b - \varphi_a = \varepsilon$, то при $t = 0$ имеем $\varphi_a - \varphi_b = \varepsilon + \varepsilon R/r$. При большем значении ЭДС может произойти пробой. Для того, чтобы избежать пробоя к точкам a и b присоединяют диод. Он открывается при возбуждении ЭДС самоиндукции и шунтирует катушку.

После размыкания ключа сила тока в контуре уменьшается и при $t \gg L/R$ обращается в нуль. Количество теплоты, выделившейся в резисторе $Q = LI_2^2(0)/2$, или $Q = L(\varepsilon/r)^2/2$, $Q = 0,8$ Дж.

6.4. Магнитные свойства вещества

6.4.1. Внутри шара в области $|r| \leq a$ вследствие намагниченности вещества напряженность поля $\vec{H}^{(i)} = \vec{H}_0 + \vec{H}'$, где \vec{H}' — напряженность поля, создаваемого намагничиванием. Индукция магнитного поля $\vec{B}^{(i)} = \mu_0 \vec{H}^{(i)}$. Вторичное внешнее поле в области $|r| \geq a$ эквивалентно полю магнитного диполя, магнитный дипольный момент которого $\vec{p}_m = 4\pi a^3 \vec{M}/3$. Поэтому напряженность поля вне шара

$$\vec{H}^{(e)} = \vec{H}_0 + \frac{3\vec{n}(\vec{n}\vec{p}_m) - \vec{p}_m}{4\pi r^3}, \quad \vec{n} = \frac{\vec{r}}{r}.$$

Индукция магнитного поля вне шара $\vec{B}^{(e)} = \mu_0 \vec{H}^{(e)}$. В однородном внешнем магнитном поле $\vec{M} = \alpha \vec{H}_0$, $\vec{H}' = \beta \vec{H}_0$, постоянная α называется коэффициентом магнитной поляризуемости. Плотность магнитного момента найдем из условия равенства нормальных компонент векторов $\vec{B}^{(i)} = \mu_0 \vec{H}^{(i)}$ и $\vec{B}^{(e)}$ или касательных компонент векторов $\vec{H}^{(i)}$ и $\vec{H}^{(e)}$ на поверхности шара.

Пусть \vec{e} — единичный вектор, касательный к поверхности шара. Тогда из условия $\vec{e}\vec{H}^{(i)} = \vec{e}\vec{H}^{(e)}$ получим значение $\vec{e}\vec{H}' = -\vec{e}\vec{p}_m/4\pi a^3$ или $\beta = -\alpha/3$.

Следовательно,

$$\vec{H}' = -(\alpha/3) \vec{H}_0 = -\vec{M}/3, \quad \vec{H}^{(i)} = \vec{H}_0 - \frac{\vec{M}}{3}.$$

Подставляя $\vec{M} = (\mu - 1)\vec{H}^{(i)}$, находим $\vec{H}^{(i)} = \frac{3}{\mu + 2}\vec{H}_0$, $\vec{M} = \alpha\vec{H}_0$,
 $\alpha = \frac{3(\mu - 1)}{\mu + 2}$. Очевидно, векторы индукции и намагниченности связа-
 ны соотношением $\vec{M} = \left(1 - \frac{1}{\mu}\right)\frac{\vec{B}^{(i)}}{\mu_0}$.

Касательные компоненты магнитной индукции имеют разрыв на поверхности шара. Величина скачка индукции связана с вектором плотности поверхностного тока соотношением $\mu_0 \vec{i} = (B^{(i)} - B^{(e)}) \times \vec{n}$. Подставляя значение $B^{(i)} - B^{(e)}$ получим $\vec{i} = \alpha \vec{H}_0 \times \vec{n}$ или $\vec{i} = \vec{M} \times \vec{n}$.

В идеально проводящем диамагнетике $\mu = 0$. Следовательно, $\vec{B}^{(i)} = 0$, $\vec{H}^{(i)} = -\vec{M}$. Учитывая, что на поверхности идеального проводника напряженность магнитного поля имеет только тангенциальные компоненты, получим эквивалентное условие $\vec{M} = -3\vec{H}_0/2$. Очевидно, намагниченность испытывает разрыв на поверхности шара.

6.4.2. Вектор напряженности магнитного поля \vec{H} , создаваемого током в обмотке, направлен по касательной к осевой окружности, индукция магнитного поля в тороиде \vec{B} . Согласно закону Ома

$$IR = \mathcal{E} - d\Phi/dt, \quad (1)$$

где $\Phi = BNS$ — поток магнитной индукции через поперечное сечение тороида.

Из (1) следует закон сохранения $\mathcal{E}I = I^2R + Id\Phi/dt$, который представим в виде

$$\mathcal{E}\Delta q = \delta Q + INS\Delta B, \quad (2)$$

где $\delta Q = I^2R\Delta t$ — элементарное количество джоулева тепла.

Исключим из (2) силу тока, используя закон Максвелла — Ампера, $HI = NI$:

$$\mathcal{E}\Delta q = \delta Q + VH\Delta B, \quad (3)$$

где $V = SI$ — объем тороида.

Последнее слагаемое в (2) — элементарная работа $\delta A_{\mu} = VH\Delta B$ по намагничиванию магнетика. В ферромагнетике величина индукции представляет собой функцию величины напряженности поля: $B = f(H)$. Поэтому работа внешнего генератора, необходимая для перемагничивания ферромагнетика, равна площади, ограниченной петлей гистерезиса. В ограниченной области изменения H работа $\delta A_{\mu} \approx \Delta U$, где

$U = VHB/2$ — энергия магнитного поля в магнетике. В общем случае $\delta A_n = V \vec{H} \Delta \vec{B}$. Подставляя $\vec{B} = \mu_0(\vec{H} + \vec{M})$, получим

$$\delta A_n = \mu_0 V \vec{H} \Delta \vec{H} + \mu_0 V \vec{H} \Delta \vec{M} = \mu_0 V \Delta (\vec{H}^2/2) + \mu_0 V \vec{H} \Delta \vec{M}. \quad (4)$$

Первое слагаемое в (4) представляет собой работу, необходимую для создания поля \vec{H} независимо от наличия ферромагнетика. Следовательно, второе слагаемое $\mu_0 H \Delta M$ — работа, необходимая для приращения намагниченности \vec{M} на $\Delta \vec{M}$.

6.4.3. Пусть толщина зазора между якром и сердечником — $x(t)$, сила тока в цепи — $I(t)$. Положительное направление на контуре обозначено стрелкой. Из закона Ома следует уравнение

$$IR = \varepsilon - \frac{d\Phi}{dt}, \quad (1)$$

где $\Phi = BNS$ — поток индукции через обмотку, B — индукция магнитного поля в сердечнике.

На якорь действует сила тяжести и сила со стороны магнитного поля $\vec{F} = (F_x, 0, 0)$, $F_x = dU_m/dx$, где $U_m(x) = I\Phi/2$ — энергия магнитного поля. Из второго закона Ньютона получим еще одно уравнение

$$m \frac{dv}{dt} = mg + \frac{I d\Phi}{2 dx}. \quad (2)$$

Найдем величину индукции поля B в сердечнике в виде функции, зависящей от переменных x и I . Пусть H — величина напряженности магнитного поля в сердечнике и якоре, H_0 — в зазоре. Применяя закон Максвелла-Ампера (5.3.1), получим соотношение

$$Hl + 2H_0x = IN, \quad (3)$$

где l — длина средней линии магнитопроводов — сердечника и якоря.

Поскольку на поверхности раздела сердечник-якорь нормальная к поверхности стали компонента вектора \vec{B} непрерывна, то $B = \mu_0 H_0$. Величина индукции зависит от характеристики намагничивания данного сорта стали — нелинейной функции $B = B(H)$. Учитывая (3), получим полную систему уравнений (1), (2), (4), (5):

$$\mu_0 Hl + 2xB(H) = \mu_0 IN, \quad (4)$$

$$B = B(H). \quad (5)$$

Пусть $x = 0$. Тогда $I = I_s$, $I_s = \frac{\varepsilon}{R} = 1$ А. При значениях $x \ll l$,

$l = 0,3$ м напряженность поля $H = H_s$, $H_s = \frac{\varepsilon N}{Rl} = 300$ А/м.

Из графика функции $B = B(H)$ для электротехнической стали 1511 найдем значение индукции $B_s = B(H_s)$ и коэффициента магнитной проницаемости μ_s : $B_s = 1$ Тс, $\mu_s = B_s/\mu_0 H_s = 266$. В области $H < H_s$ функцию $B(H)$ можно представить в виде $B(H) \approx \mu_0 \mu_s H$. Тогда из системы (4), (5) получим $H = \frac{1}{l + 2\mu_s x} IN$, $B = \frac{\mu_s \mu_0}{l + 2\mu_s x} IN$.

Поток индукции представим в виде $\Phi = IL$, где $L(x) = \frac{\mu_s \mu_0}{1 + 2\mu_s x} N^2 S$ — индуктивность электромагнита. Подставляя $\Phi = IL$ в (1), (2), получим систему уравнений относительно переменных x и I :

$$IR = \mathcal{E} - \frac{d(IL)}{dt}, \quad (6)$$

$$m \frac{dv}{dt} = mg + \frac{I^2}{2} \frac{dL}{dx}. \quad (7)$$

Из уравнений (6), (7) следует закон изменения полной энергии системы $\frac{dE}{dt} = \mathcal{E}I - I^2 R$, $E = \frac{mv^2}{2} - mgx + L(x) \frac{I^2}{2}$.

Важно отметить, что сила, действующая на якорь

$$F_x = \frac{I^2}{2} \frac{dL}{dx} = -\mu_0 S \left(\frac{IN\mu_s}{l + 2\mu_s x} \right)^2,$$

может быть представлена в виде $F_x = -H_0 B S = -\frac{B^2 S}{\mu_0}$.

6.4.4. В окрестности плоскости $z = 0$ индукция поля $B_z(t, z) = B f(z)/f(0)$. Поток магнитной индукции $\Phi(t, z) = B(t, z)S$, где $S = \pi a^2$ — площадь поперечного сечения кольца. Из второго закона Ньютона и закона Ома следуют уравнения

$$m dv/dt = I \partial \Phi / \partial z - mg \quad (1),$$

$$IR = -d\Phi/dt. \quad (2)$$

Подставляя Φ , получаем

$$m dv/dt = IS \partial B / \partial z - mg \quad (3)$$

$$IR = -S[\partial B / \partial t + v \partial B / \partial z]. \quad (4)$$

После подстановки I из (4) в (3) имеет уравнение

$$m dv/dt = -(S^2/R) [(\partial B / \partial z)(\partial B / \partial t) + v(\partial B / \partial z)^2] - mg. \quad (5)$$

В промежутке времени $0 \leq t \leq \tau$ производную индукции при значении $z = 0$ можно представить в виде

$$\partial B / \partial z = -B_0 G_0 / f_0, \quad f_0 = \frac{h}{b-a} \ln \frac{(b+b_1)}{(a+a_1)}, \quad \text{где } f_0 = 0,786, \quad G_0 = 120 \text{ м}^{-1}.$$

Полагая в (5) $z = 0$, получаем в результате интегрирования в промежутке времени $0 \leq t \leq \tau$, $v_0 = (SB_0)^2 G_0 / (mRf_0)$, $v_0 = 7 \text{ м/с}$.

6.4.5. Выберем поверхность в виде прямоугольника $abcd$, охватывающего среду и вакуум, со сторонами ab и cd , параллельными оси y и сторонами bc и da , параллельными оси z . Если в контуре $abcd$ длины сторон bc и da устремить к нулю, то согласно закону Максвелла—Ампера получим $\mu_0 H_{2y} - \mu_0 H_{1y} = 0$, или $B_{2y} - B_{1y} = \mu_0 M$.

На поверхности раздела двух сред возникает скачок тангенциальной компоненты индукции поля.

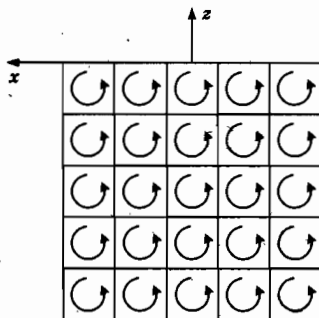


Рис. 6.4.5 б

На рис. 6.4.5 б изображено распределение токов, удовлетворяющих этому условию; здесь показано сечение среды в плоскости xz , $z < 0$. Сечение разбито на элементарные ячейки-атомы или молекулы; внутри каждой циркулирует ток, создавая магнитный момент. Суммарный ток на границах, разделяющих ячейки, равен нулю, т.к. токи взаимно компенсируют друг друга. Однако на поверхности $z = 0$ такая компенсация отсутствует и поэтому существует поверхностный ток в x -направлении. Плотность поверхностного тока i определяет заряд, протекающий в единицу времени через единицу длины прямой, проведенной на поверхности параллельно оси y . Сила тока, протекающего по полоске шириной Δy , равна $I = i\Delta y$. Поэтому магнитный момент, приобретаемый элементарным объемом, $M\Delta x\Delta y\Delta z = I\Delta x\Delta z$. Следовательно, $M = i$. Теперь полученное выше соотношение можно написать

в векторном виде как $\vec{i} = \vec{n} \times (\vec{M}_2 - \vec{M}_1)$, где \vec{n} — единичный вектор внешней нормали, направленный от среды 2 к среде 1.

Величину тангенциального скачка магнитной индукции можно связать с микроскопической плотностью тока в среде $j(x, y, z) = (j, 0, 0)$.

Обозначим длину отрезка $ab = \Delta y$. Тогда имеем соотношение $(B_{2y} - B_{1y})\Delta y = \mu_0 M \Delta y$. С другой стороны, согласно закону Максвелла—Ампера (5.3.1), вклад плотности микроскопических токов в правую часть должен быть равен $\mu_0 i \Delta y$, где i — поверхностная плотность тока. Следовательно, $M = i$, $B_{2y} - B_{1y} = \mu_0 i$.

6.4.6. Магнитный момент диска направлен по оси z (рис. 6.4.6 а). Покажем, что намагниченность M обусловлена фиктивным связанным током, текущим по поверхности ободка диска. На рис. 6.4.6 б изображено распределение токов, удовлетворяющих этому условию. Здесь показано сечение диска в плоскости xy . Сечение разбито на элементарные ячейки, внутри каждой «циркулируют» связанные токи, создавая магнитный момент. Суммарная сила тока на границах, разделяющих ячейки, равна нулю, т.к. токи взаимно компенсируют друг друга. Однако на ободке диска такая компенсация отсутствует и поэтому существует поверхностный ток, текущий по «ленте» шириной h . Сила тока, протекающего по полоске шириной Δz , равна $\Delta I = i \Delta z$, где i — плотность поверхностного тока — это заряд, протекающий в единицу времени через единицу длины. Магнитный момент замкнутого контура с током $\Delta I \Delta x \Delta y = i \Delta y \Delta x \Delta z$ представляет собой магнитный момент элементарного объема $M \Delta x \Delta y \Delta z$.

Следовательно, $i = M$. При $M = 10^5$ А/м, $I = Mh = 300$ А! Согласно (5.2.4) в центре диска индукция поля $B_z(0) = \mu_0 Mh/2a$, $B_z(0) = 0,019$ Тл.

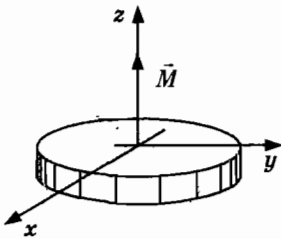


Рис. 6.4.6 а

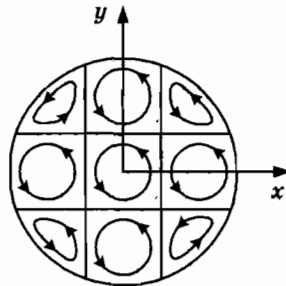


Рис. 6.4.6 б

Глава VII. ЭЛЕКТРИЧЕСКИЙ ТОК В СРЕДЕ

7.1. Электрический ток в электролитах

7.1.1. Потребляемая электроэнергия $A = IV\Delta t$, Масса $m = kA/V$.

7.1.2. Из (7.1.1) находим $I = \Delta m/k\Delta t$. Площадь электродов $S = I/j$.

Мощность $P = IV/\eta$.

7.1.3. $\Delta m = I\Delta t M\eta/Fz$, $M = 27$ г/моль, $z = 3$.

7.1.4. $P = (m/k\tau)^2 R$.

7.1.5. В медном купоросе медь двухвалентная, в хлористой меди — одновалентная: $m_1/m_2 = z_2/z_1$.

7.1.6. Электрохимический эквивалент цинка

$$k = M/2F = 3,388 \cdot 10^{-7} \text{ кг/Кл.}$$

7.1.7. Уравнение реакции: 1 моль воды + 0,286 МДж = 1 моль водорода + 1/2 моль кислорода.

Масса водорода $\Delta m_1 = M_1\Delta q/F$, $M_1 = 0,002$ кг/моль, $\Delta q = Fv_1$, $v_1 = v_0$.

Масса кислорода $\Delta m_2 = M_2\Delta q/2F$, $M_2 = 0,032$ кг/моль.

Работа, совершаемая генератором $U_m\Delta q > Q$.

7.1.8. $\Delta q = Fv_0$.

7.1.9. $CU = Fv_1$.

7.1.10. Поскольку $\Delta m = M\Delta v$, $\Delta v = \Delta N/N_A$, $F = N_A e_0$, то закон Фарадея можно представить в виде $\Delta N = \Delta q/e_0 z$.

7.1.11. А. Отношение масс водорода и кислорода $m_1/m_2 = 2M_1/M_2$, $m_1/m_2 = 1/8$. Следовательно, $m_1 = 0,2$ г, $m_2 = 1,6$ г.

Поскольку $RT_0/p_0 = 22,4$ л/моль, то объем водорода — 2,24 л, объем кислорода — 1,12 л.

Б. У электрода « \leftrightarrow » выделяется больше газа.

7.1.12. $U = k\Delta w/\Delta m$.

7.1.13. Из закона Фарадея находим $m = k \int_0^T dt(I_0 - gt) = k(I_0 - gT/2)T$.

7.1.14. $\tau = \rho d/kj$.

7.1.15. Ищем уравнение $4\pi R^3/3 = \pi R^2 h$. Массы слоев $m_1 = 4\pi R^2 d$, $m_2 = 14\pi R^2 d/3$.

7.1.16. При электролизе генератор напряжения совершает работу $A = V\Delta q$, $m = k\Delta q$. Согласно закону сохранения энергии $A = A' + Q$, где A' — энергия, необходимая для протекания химической реакции. КПД $\eta = A'/A$.

7.1.17. Диссоциация в растворе: $\text{NaCl} = \text{Na}^+ + \text{Cl}^-$. Реакция на катоде: $2\text{H}^+ + 2\text{OH}^- + 2e = \text{H}_2 + 2\text{OH}^-$. Реакция на аноде: $2\text{Cl}^- = 2e + \text{Cl}_2$. Результирующая реакция: $2\text{NaCl} + 2\text{H}_2\text{O} = \text{H}_2 + \text{Cl}_2 + 2\text{NaOH}$.

7.1.18. Имеем систему уравнений $m = MI\tau/F$, $pV = (m/M)RT$, $A = IU\tau$, из которой получаем $A = FU\tau pV/RT$.

7.1.19. Реакция у катода $4\text{H}_2\text{O} + 4e^- = 4\text{OH}^- + 2\text{H}_2$.

На аноде ионы железа и гидроксила образуют гидраты окислов железа: $\text{Fe}^{2+} + 2\text{OH}^- = \text{Fe}_2(\text{OH})_2$. Из (7.1.3) находим $\rho S\Delta x = MI\Delta t/Fz$, $\Delta x/\Delta t = Mj/F\rho z$. За минуту удаляется слой толщиной 5,33 мм. Вместо стружки, появляющейся при обработке на токарном станке, образуются гидраты окислов, которые удалятся из рабочей зоны потоком электролита.

7.2. Электрический ток в вакууме

7.2.1. В схеме рис 7.2.1 а сила тока $I_1 = V/3R$. Схема, эквивалентная схеме рис. 7.2.1 б, изображена на рис. 7.2.1 в Сила тока $I_2 = 2V/R$.

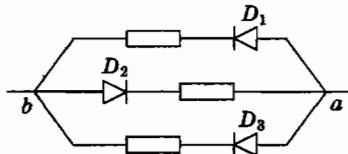


Рис. 7.2.1 в

7.2.2. Пусть V_g — напряжение на диоде, I — сила тока через диод. Поскольку схема симметрична, сила тока, протекающего через резисторы R_1 и R_3 равна I_1 , сила тока, протекающего через резисторы R_2 и R_4 равна I_2 . Найдем уравнение нагрузочной прямой. Из законов Кирхгофа следуют уравнения $I_2 = I_1 + I$, $I_2 R_2 + V_g + I_2 R_2 = V$, $I_1 R_1 - V_g + I_1 R_1 = V$.

Отсюда находим $I = [(R_1 - R_2)V - (R_1 + R_2)V_g]/(2R_1 R_2)$. График этой функции $I = I(V_g)$ представляет собой прямую. Используя метод нагрузочной прямой найдем точку пересечения прямой и кривой, соответствующей вольтамперной характеристике диода $I = f(V_g)$. Сила тока $I_0 = I_1 + I_2 = (V/2)(1/R_1 + 1/R_2) + (V_g/2)(1/R_1 - 1/R_2)$.

А. Сопротивления резисторов $R_1 = R_3 = 5$ Ом, $R_2 = R_4 = 20$ Ом. Поскольку $R_2 > R_1$, то точка пересечения находится в области $V_g < 0$. Следовательно, диод заперт, сила тока I равна нулю, $V_g = (R_1 - R_2)V/(R_1 + R_2)$,

$V_g = -24$ В. В этом случае сила тока $I_0 = V/R_0$, $R_0 = (R_1 + R_2)/2$, $I_0 = 4$ А. Эквивалентная схема представляет собой два параллельно соединенных резистора с сопротивлениями $R_1 + R_2$.

Б. Сопротивления резисторов $R_1 = R_3 = 20$ Ом, $R_2 = R_4 = 5$ Ом. Теперь $R_2 < R_1$, точка пересечения находится в области $V_g > 0$. Следовательно, диод открыт. Полагая в случае идеального диода $V_g = 0$, получим $I = 3$ А. В этом случае $I_0 = V/R_0$, $R_0 = 2R_1R_2/(R_1 + R_2)$, $I_0 = 6,25$ А. Эквивалентная схема представляет собой два последовательно соединенных резистора с сопротивлениями $R_1R_2/(R_1 + R_2)$.

7.2.3. Пусть V_g — напряжение на диоде. Поскольку сила тока через амперметр равна нулю, то $IR/2 = V_g = I_1R$, где I_1 — сила тока, протекающего через резистор R_1 . Из первого правил Кирхгофа следует уравнение $I = I_1 + kV_g^{3/2}$.

7.2.4. Обозначим I_1, I_2, I — силы токов в цепи диода, двух батареек и резистора; $I_1 = f(V)$ — вольтамперная характеристика диода, V — напряжение на диоде (рис. 7.2.4).

А. Предположим, что диод заперт: $V \leq 0$.

Тогда сила тока $I = 2\varepsilon/(R + 2r)$. Из закона Кирхгофа $IR + V = \varepsilon$ найдем напряжение на диоде $V = \varepsilon(2r - R)/(R + 2r) \leq 0$, $R \geq 2r$. Мощность, потребляемая резистором $P = I^2R$, достигает максимального значения $\varepsilon^2/2r$ при $R = 2r$.

Б. Пусть $R < 2r$. Тогда диод открыт. Из законов Кирхгофа следуют уравнения $I_1 + I_2 = I$, $I_1r + IR = \varepsilon$, $2I_2r + IR = 2\varepsilon$, $\rightarrow I = 4\varepsilon/(3R + 2r)$.

Мощность, потребляемая резистором $P = I^2R$, достигает максимального значения $P_m = 2\varepsilon^2/3r$ при $R = 2r/3$.

В. Падение напряжения на резисторе $V_R = 4\varepsilon R/(3R + 2r)$, $0 \leq R \leq 2r$; $V_R = 2\varepsilon R/(R + 2r)$, $R \geq 2r$.

7.2.5. В области $V > V_0$ вольтамперная характеристика $I = (V - V_0)/r_0$, r_0 — сопротивление диода. Имеем систему уравнений

$I_1 = (V_1 - V_0)/r_0$, $V_1 + I_1r = \varepsilon$, $I_2 = (V_2 - V_0)/r_0$, $V_2 + I_2(r + R) = \varepsilon$,
из которой находим $\varepsilon = V_0 + I_1I_2R/(I_1 - I_2)$, $r = (\varepsilon - V_0)/I_1 - r_0$.

7.2.6. Обозначим V_g напряжение на диоде, $V_c = q/C$ — напряжение на конденсаторе. Силу тока $I(t) = CdV_c/dt$ в цепи получим в результате решения системы, состоящей из уравнения нагрузочной прямой и вольтамперной характеристики. Из закона Ома получаем уравнение $V_g + V_c + IR = \varepsilon$. Следовательно, имеем систему

$$I = (\varepsilon - V_c)/R - V_g/R, \quad (1)$$

$$I = f(V_g). \quad (2)$$

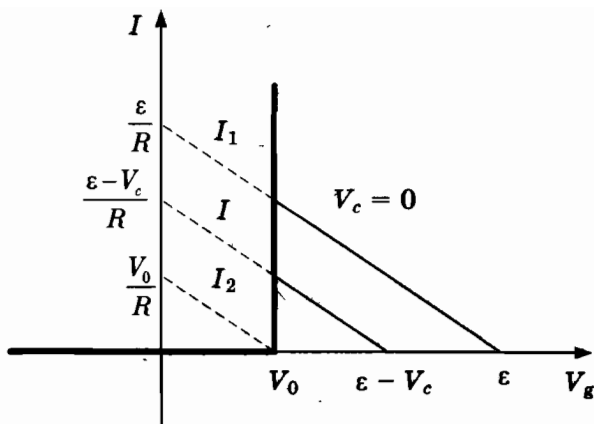


Рис. 7.2.6 в

На рис. 7.2.6 в изображена нагрузочная прямая $I(V_g)$, прямая $I_1(V_g)$ при $V_{c1} = 0$ и прямая $I_2(V_g)$ при $V_{c2} = \epsilon - V_0$.

При $V_g \geq V_0$ диод открыт. Поскольку $\epsilon > V_0$, то начальное значение силы тока $I_0 = (\epsilon - V_0)/R$ при $V_{c1} = 0$. Из уравнения $IR + q/C = \epsilon$ или $dI/dt + I/CR = 0$ с начальным условием $I(0) = I_0$ получим решение $I(t) = I_0 \exp(-t/CR)$. Количество теплоты, выделяющейся в резисторе $Q = \int_0^{\infty} dt I^2(t) R = C(\epsilon - V_0)^2/2$.

Этот результат следует также из закона сохранения энергии. Из

$$(1) \text{ имеем } I^2 R = \epsilon I - V_g I - \frac{d q^2}{dt 2C}, \rightarrow \delta Q = (\epsilon - V_0) \Delta q - \Delta(q^2/2C), \rightarrow$$

$$Q = (\epsilon - V_0) q_f - q_f^2/2C, \text{ где } q_f = C(\epsilon - V_0).$$

7.2.7. Обозначим стрелкой положительное направление на контуре akb , напряжение на диоде $V = \phi_a - \phi_k$. Очевидно, $V_{in} = V + V_{out}$, $IR + \epsilon_0 = V_{out}$. Присоединим к этой системе вольт-амперную характеристику $I = f(V)$. Подставляя сюда I и V получим уравнение

$$\frac{V_{out} - \epsilon_0}{R} = f(V_{in} - V_{out}).$$

При $V_{in} < V_{out}$, имеем $V_{out} = \epsilon_0$. В случае $V_{in} \geq V_{out}$, находим

$$V_{out} \approx \left(V_{in} + \frac{\epsilon_0 R_i}{R} \right) \frac{R}{R_i + R}.$$

Поскольку $R_i \ll R$, то $V_{out} \approx V_{in}$.

График функции $V_{out}(V_{in})$ изображен на рис. 7.2.7 б.

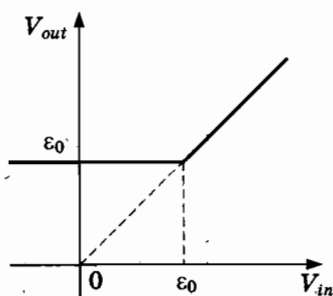


Рис. 7.2.7 б

7.2.8. Из законов Кирхгофа имеем систему

$$I = I_1 + I_2, \quad (1)$$

$$V + V_g = \varepsilon(t), \quad (2)$$

$$I_1 R = V, \quad (3)$$

которую дополним уравнением вольт-амперной характеристики диода (6.3.1) $I = f(V_g)$.

Поскольку заряд, протекающий в цепи конденсатора $Q_2(t) = CV(t)$, то $I_2 = CdV/dt$. Подставляя силы токов и V_g в (1), получим уравнение

$$CdV/dt + V/R = f[\varepsilon(t) - V], \quad (4)$$

для напряжения $V(t)$ на выходе схемы.

Решение уравнения (4) можно получить только приближенными методами.

А. Пусть $\varepsilon(t) - V(t) > 0$. Тогда диод открыт, сила тока $I = [\varepsilon(t) - V]/R_i$. Из (4) следует уравнение $\tau_s dV/dt + V = \varepsilon(t)R_0/R_i$, где $\tau_s = CR_0$ — постоянная времени заряда конденсатора, $1/R_0 = 1/R + 1/R_i$, $R_0 \approx R_i$.

Б. Если $\varepsilon(t) - V(t) \leq 0$, то диод заперт — имеем уравнение, описывающее разряд конденсатора через резистор $\tau_p dV/dt + V = 0$, где $\tau_p = CR$ — постоянная времени разряда конденсатора.

7.2.9. Если в схеме отсутствует конденсатор, то $C = 0$, $I_2 = 0$, $I = I_1$. Напряжение на выходе схемы $V(t) = \varepsilon(t)R_0/R_i \approx \varepsilon(t)$, $t_n \leq t \leq t_n + T/2$, $t_n = nT - T/4$, $n = 0, \pm 1, \pm 2, \dots$; $V(t) = 0$, $t_n + T/2 \leq t \leq t_n + T$ (рис. 7.2.9 а).

Постоянная составляющая напряжения на выходе схемы

$$w_R = (1/T) \int_0^T \varepsilon(t) dt = (1/T) \int_{-T/4}^{T/4} \varepsilon_0 \cos \omega t dt = \varepsilon_0/\pi \approx 0,32\varepsilon_0 \text{ равна при-}$$

мерно $1/3$ амплитудного значения. В этом случае переменная составляющая выпрямленного напряжения весьма значительна. Рассмотренная схема выпрямителя называется *однополупериодной*, так как за один период через нагрузку протекает один импульс тока.

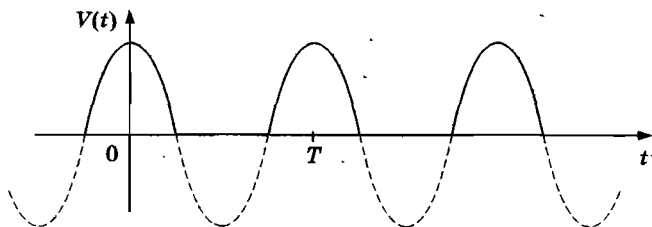


Рис. 7.2.9 а

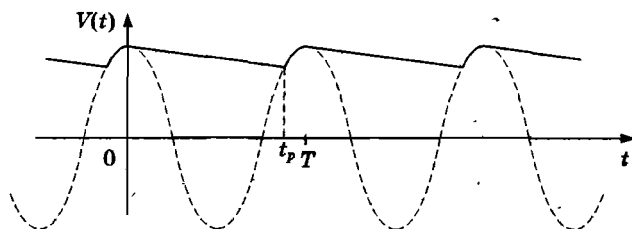


Рис. 7.2.9 б

Рассмотрим работу схемы в установившемся режиме, предполагая, что диод имеет идеальную характеристику: $R_i \approx 0$. Период колебаний $T \ll \tau_p$. Поскольку $\tau_s \ll \tau_p$, то напряжение на конденсаторе быстро достигает значения ϵ_0 , диод запирается в моменты времени nT и конденсатор разряжается через резистор R за промежуток времени t_p . При разряде функция $V(t)$ медленно спадает в интервалах времени $nT \leq t \leq nT + t_p$ пока $V(t) \geq \epsilon(t)$ (рис. 7.2.9 б). В промежутке времени $nT + t_p \leq t \leq (n + 1)T$ диод открыт и напряжение $V(t)$ повторяет форму входного напряжения $\epsilon(t) = \epsilon_0 \cos \omega t$, подзаряжая конденсатор.

Следовательно, напряжение $V(t)$ является периодической функцией: $V(t) = \epsilon_0 \exp(-t/\tau_p) \approx \epsilon_0(1 - t/\tau_p)$, $0 \leq t \leq t_p$; $V(t) = \epsilon_0 \cos \omega t$, $t_p \leq t \leq T$.

Приведем без доказательства разложение $V(t)$ в ряд Фурье:

$$V(t) = u_0 + u_1 \sin \omega t + \dots, \quad u_0 = \epsilon_0(1 - T/2\tau_p), \quad u_1 = \epsilon_0 T / (\pi \tau_p). \quad (5)$$

Напряжение $V(t)$ изменяется в небольшой окрестности значения амплитуды ϵ_0 . Среднее значение напряжения практически совпадает с ϵ_0 . Поскольку $u_1 \ll u_0$, то постоянная составляющая напряжения u_0 оказывается значительно больше переменной составляющей.

7.2.10. Сила тока в цепи резистора

$$I_R = (\varepsilon_0/R) [1 - \pi X_C/R + (2X_C/R)\sin\omega t] \approx (\varepsilon_0/R).$$

Заряд, протекающий в цепи конденсатора $q(t) = CV(t)$, сила тока $I_C(t) = dq/dt = (2\varepsilon_0/R)\cos\omega t$. Конденсатор шунтирует резистор по высокочастотной составляющей тока: через резистор проходит практически постоянный ток $I_0 \approx \varepsilon_0/R$, а через конденсатор - высокочастотный $I_1 = (2\varepsilon_0/R)\cos\omega t$.

7.2.11. Мощность, потребляемая резистором в схеме без конденсатора $P_0 = \langle I^2 R \rangle$, $P_0 = \varepsilon_0^2/4R$.

7.2.12. Мощность, потребляемая лампой $P = \langle I^2 R \rangle$, $I = \varepsilon(t)/2R$; $P = \varepsilon_0^2/8R$. После замыкания ключа ток проходит через лампу только в течение каждого полупериода. Мощность, потребляемая лампой $P' = \langle I_1^2 R \rangle = \varepsilon_0^2/4R$.

7.2.13. Если диод открыт, то в течение полупериода сила тока через резистор R_1 имеет форму положительной части синусоиды с амплитудой $I_{10} = \varepsilon_0/r_1$, $r_1 = 3R/2$. Если диод заперт, то в течение следующего полупериода сила тока через резистор имеет форму отрицательной части синусоиды с амплитудой $I_{20} = \varepsilon_0/r_2$, $r_2 = 2R$. При вычислении среднего значения мощности учтем, что $P = (I_{10}^2 + I_{20}^2)R/4$; $P = (\varepsilon_0/r_1)^2 R/4 + (\varepsilon_0/r_2)^2 R/4$.

7.2.14. Пусть ЭДС генератора переменного напряжения $\varepsilon(t) = \varepsilon_0 \sin\omega t$, $\varepsilon_0/\sqrt{2} = V$, $t \geq 0$. Если диоды открыты, то в течение полупериода сила тока через резистор R_3 имеет форму положительной части синусоиды с амплитудой $I_{10} = \varepsilon_0/R$. Если диоды заперты, то в течение следующего полупериода сила тока через резисторы R_1 , R_2 , R_3 имеет форму отрицательной части синусоиды с амплитудой $I_{20} = \varepsilon_0/3R$. Среднее значение мощности $P_3 = \varepsilon_0^2/4R + (\varepsilon_0/3R)^2 R/4$.

7.2.15. ЭДС генератора переменного напряжения $\varepsilon(t) = \varepsilon_0 \sin\omega t$, $\varepsilon_0/\sqrt{2} = V$, $t \geq 0$. Среднее значение мощности, потребляемой первым резистором $P_1 = \varepsilon_0^2/2R_1$. Если диод открыт, то в течение полупериода сила тока через резистор R_2 имеет форму положительной части синусоиды с амплитудой $I_{20} = \varepsilon_0/R_2$. В течение второй половины периода диод заперт, сила тока через резистор R_2 равна нулю. В этом случае $P_2 = \varepsilon_0^2/4R_2$.

7.2.16. Если потенциал точки a больше потенциала точки b , то в течение полупериода оба диода открыты. Сила тока в общей части схемы $I = 2\varepsilon_0/R$. Через резисторы R_1 и R_2 протекают токи с амплитудой $I_{10} = \varepsilon_0/R$, $I_{20} = 0$. Если потенциал точки a меньше потенциала

точки b , то диод D_1 заперт. Сила тока в общей части схемы $I = 2\varepsilon_0/3R$. Через резисторы R_1 и R_2 в течение полупериода протекают токи с амплитудой $I_{10} = \varepsilon_0/3R$, $I_{20} = 2\varepsilon_0/3R$. Среднее значение мощности $P_1 = (1/4)(I_{10}^2 + I_{20}^2)R = 5\varepsilon_0^2/18R$, $P_2 = \varepsilon_0^2/9R$.

$$7.2.17. P_1 = P_2 = (\varepsilon_0^2/4R)(1/9 + 4/9).$$

7.2.18. Положительные направления токов между узлами указаны на рис. 7.2.18 *a*. Обозначим V — напряжение на диоде. Из законов Кирхгофа следуют уравнения $I = I_1 + I_2$, $I_2R + Ir = \varepsilon(t)$, $V + I_1R - I_2R = 0$.

Отсюда находим

$$I(t) = I_1R/(R+r) + \varepsilon(t)/(R+r). \quad (1)$$

Сила тока $I_1(t)$ определяется в результате графического решения системы, состоящей из уравнения нагрузочной прямой и вольт-амперной характеристики

$$I_1(t) = \varepsilon(t)/(R+2r) - (R+r)V/R(R+2r), I_1 = f(V). \quad (2)$$

Представим нагрузочную «прямую» в виде $I_1(t) = i_0 \sin \omega t - kV$, $i_0 = \varepsilon_0/(R+2r)$, $k = (R+r)/R(R+2r)$ и найдем точки пересечения семейства прямых линий при фиксированных значениях ωt на отрезке $(0, 2\pi)$ с графиком функции $I_1 = f(V)$ в области $I_1 > 0$.

На рис. 7.2.18 *b* изображена граничная прямая $I_{11} = i_0 \sin \omega t_1 - kV$, соответствующая решению $I_1 = i_0 - kV_0$, $\omega t_1 = \pi/2$. Вторая граничная прямая $I_{12} = i_0 \sin \omega t_2 - kV$, соответствует решению $I_1 = 0$: $0 = i_0 \sin \omega t_2 - kV_0$, $\sin \omega t_2 = kV_0/i_0 = (R+r)V_0/R\varepsilon_0 < 1$. Подставляя числовые значения, находим, что диод открыт в периодически повторяющемся промежутке $\pi/6 \leq \omega t \leq 5\pi/6$.

Итак, сила тока $I_1(t) = \varepsilon_0 \sin \omega t / (R+2r) - (R+r)V_0 / R(R+2r)$, $2\pi n + \pi/6 \leq \omega t \leq 5\pi/6 + 2\pi n$, $I_1(t) = 0$, $2\pi n + 5\pi/6 \leq \omega t \leq 2\pi(n+1)$, $n = 0, 1, 2, \dots$

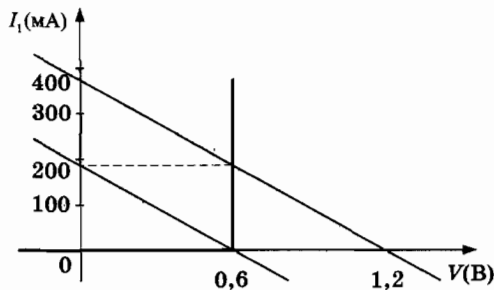


Рис. 7.2.18 б

Сила тока, протекающего через генератор

$$I(t) = (2\epsilon_0 \sin \omega t - V_0) / (R + 2r), \quad 2\pi n + \pi/6 \leq \omega t \leq 5\pi/6 + 2\pi n,$$

$$I(t) = \epsilon_0 \sin \omega t / (R + r), \quad 2\pi n + 5\pi/6 \leq \omega t \leq 2\pi(n + 1), \quad n = 0, 1, 2, \dots,$$

Функция $I(t)$ непрерывна, однако в точках $\omega t_n = \pi/6 + 2\pi n, 5\pi/6 + 2\pi n$ имеет излом, соответствующий конечному разрыву производной.

7.3. Электрический ток в газах

7.3.1. $Q = ER^2/k.$

7.3.2. Из уравнения состояния $p = nkT$ находим $n = 7,46 \cdot 10^{22}$ [р(Па)/Т(К)] м⁻³. При нормальных условиях концентрация воздуха — число Лошмидта $n_L = 2,69 \cdot 10^{25}$ м⁻³. $p = 0,056kT/a^2\lambda.$

7.3.3. 1 мм рт. ст. = 133,332 Па.

7.3.4. Ионизационная камера обычно работает в режиме насыщения; при этом электрическое поле настолько велико, что все электроны и ионы, созданные первичной частицей, попадают на электроды, не успевая рекомбинировать. На первом этапе все электроны достигают верхней пластины в то время, когда ионы еще заметно не сместились. На втором этапе ионы достигают нижней пластины. В результате за интервал времени T величина импульса напряжения достигает значения $V = Ne/C = 0,16$ мВ. При постоянной разряда $\tau = RC \gg T$ форма импульса полностью воспроизводится на экране осциллографа, подключенного к резистору.

Для регистрации отдельных частиц используют газовое усиление в области напряжений, примыкающей слева к области самостоятельного разряда, в которой заряд конденсатора пропорционален числу пар образовавшихся ионов и электронов.

7.3.5. Согласно закону Ома

$$IR + V = \epsilon. \quad (1)$$

Уравнение (1) и вольтамперная характеристика

$$I = f(V) \quad (2)$$

позволяют найти решение задачи методом нагрузочной прямой.

Изобразим график функции $I = \epsilon/R - V/R.$

При $V = 0$ имеем $I = I_0, I_0 = \epsilon/R = 20$ мкА; сила тока $I = 0$ при значении $V = \epsilon.$ Нагрузочная прямая пересекает вольтамперную характеристику в точке $I_1 = 10$ мкА, $V_1 = 3$ кВ (рис. 7.3.5 в).

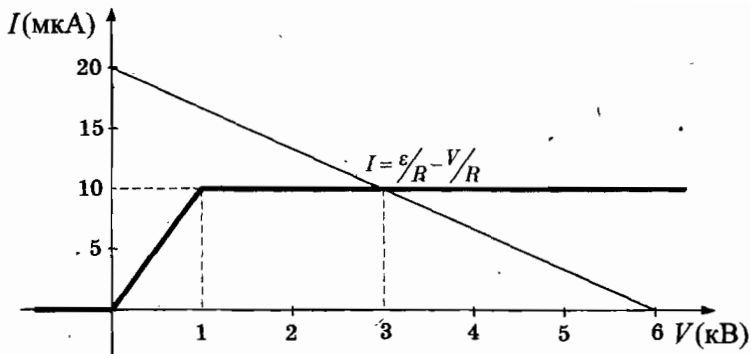


Рис. 7.3.5 в

7.3.6. Мощность дуги $P = IV_a$. Сила тока $I = (U - V_a)/R$. Мощность $P = V_a(U - V_a)/R$.

7.3.7. Обозначим стрелкой положительное направление тока в схеме. Разность потенциалов $\phi_n - \phi_k = V$. Имеем систему уравнений

$$IR + V = \varepsilon; \quad (1)$$

$$I = P_0/(V - V_0). \quad (2)$$

Исключая V , найдем значение силы тока

$$I_{1,2} = [\varepsilon - V_0 \pm \sqrt{(\varepsilon - V_0)^2 - 4P_0R}]/2R. \quad (3)$$

Отсюда следует, что сопротивление R должно удовлетворять условию $R \leq R_m$, $R_m = (\varepsilon - V_0)^2/4P_0$. При $R = R_m$, сила тока $I_m = (\varepsilon - V_0)/2R_m$, разность потенциалов $V_m = (\varepsilon + V_0)/2$. В случае $R > R_m$, дуга не загорается. Мощность, потребляемая дугой $P_m = I_m V_m$.

7.3.9. Имеем систему уравнений $I_c V_c = 2P_0(\varepsilon + V_0)/(\varepsilon - V_0)$, $I_c = P_0/(V_c - V_0)$, $I_c R_c + V_c = \varepsilon$, из которой находим

$$R_c = (V_0/P_0)(\varepsilon^2 + \varepsilon V_0 - 2V_0^2)(\varepsilon - V_0)/(\varepsilon + 3V_0)^2.$$

Из условия $R_c \leq R_m$ следует неравенство $\varepsilon \geq V_0$.

7.3.10. Имеем систему уравнений $IV = I\varepsilon/2$, $I(V - V_0) = P_0$, $IR + V = \varepsilon$, отсюда $R_1 = \varepsilon(\varepsilon - 2V_0)/4P_0$.

7.3.11. Скорости частиц до столкновения $\vec{v}_1 = \sqrt{\frac{2T}{m_1}}\vec{n}$, $\vec{v}_2 = -\sqrt{\frac{2T}{m_2}}\vec{n}$,

где \vec{n} — единичный вектор.

Эту задачу проще всего решить в системе отсчета K' , в которой сумма импульсов электрона и иона равна нулю.

Эта система движется со скоростью $\bar{v} = \frac{m_1 \bar{v}_1 + m_2 \bar{v}_2}{m}$, $m = m_1 + m_2$. В

системе отсчета K' скорости частиц $\bar{v}'_1 = -\frac{m_2 \bar{v}_0}{m}$, $\bar{v}'_2 = \frac{m_1 \bar{v}_0}{m}$, $\bar{v}_0 = \bar{v}_2 - \bar{v}_1$.

Кинетическая энергия системы электрон — ион в системе отсчета K'

$$T_0 = \frac{m_1 v_1'^2}{2} + \frac{m_2 v_2'^2}{2} = \frac{v_0^2 m_1 m_2}{2m} = T \frac{(\sqrt{m_1} + \sqrt{m_2})^2}{m}.$$

Рассмотрим столкновение электрона и иона. В системе K' закон сохранения импульса выполняется автоматически. После абсолютно неупругого столкновения электрон и ион в системе отсчета K' неподвижны. Согласно закону сохранения полной энергии имеем $T_0 = Q$. Если $m_1 \ll m_2$, то $Q \approx T$.

7.3.12. При $m_1 \ll m_2$ кинетическая энергия иона почти не изменится ($\Delta T_2 \approx -2T \sqrt{m_1/m_2}$), а электрон почти полностью передает энергию иону ($\Delta T_1 \approx -T$).

Глава VIII. ЭЛЕКТРОМАГНИТНЫЕ КОЛЕБАНИЯ

8.1. Свободные электромагнитные колебания

8.1.1. А. Угловая частота $\omega_0 = 2,5$ рад/с. Учитывая значение $1/2\pi \approx 0,16$, получим частоту $\nu_0 = \omega_0/2\pi = 400$ кГц. Период колебаний $T_0 = 1/\nu_0 = 2,5$ мкс.

Б. В этом случае $q_0 = CV_0$, $I_0 = 0$. Из (8.1.6) $q(t) = CV_0 \cos \omega_0 t$, $I(t) = -i_0 \sin \omega_0 t$, где $i_0 = \frac{V_0}{R_B}$, $R_B = \sqrt{\frac{L}{C}} = 1$ кОм. Значениям $I(t) < 0$ соответствует течение тока в отрицательном направлении. Через четверть периода конденсатор разрядится. Энергия электрического поля перейдет в энергию магнитного поля $\frac{1}{2}LI_0^2 = \frac{1}{2}CV_0^2$. Далее этот процесс повторяется с периодом T_0 .

8.1.2. Отметим, что частота собственных колебаний $\omega_0 = 10^7/4$, период колебаний $T = 2,5 \cdot 10^{-6}$ с, постоянная $\tau = Cr$, $\tau = 4 \cdot 10^{-10}$ с.

Их законов Кирхгофа получаем систему

$$I = I_1 + I_2 \quad (1),$$

$$Ir + LdI_1/dt = \varepsilon \quad (2),$$

$$Ir + q_2/C = \varepsilon. \quad (3)$$

Начальные условия $q_2(0) = 0$, $I(0) = I_2(0) = \varepsilon/r$, $I_1(0) = 0$. Получим уравнение для функции $I(t)$. Из (3) находим $I_2 = -Cr dI/dt$. Подставляя I_1 из (1) в (2), получим уравнение

$$d^2 I/dt^2 + (1/Cr)dI/dt + I/LC = \varepsilon/LCr. \quad (4)$$

После подстановки $I(t) = \varepsilon/r + i(t)$ получаем уравнение

$$d^2 i/dt^2 + (1/\tau)di/dt + \omega_0^2 i = 0.$$

Поскольку $\omega_0 \tau = 10^{-3} \ll 1/2$, то решение (5) имеет вид

$$i(t) = A \exp(-\alpha t) + B \exp(-\beta t), \quad \beta, \alpha = 1/2\tau \pm \Omega, \\ \Omega^2 = (1/2\tau)^2 - \omega_0^2, \quad \beta \approx 1/\tau - \omega_0^2 \tau, \quad \alpha \approx \omega_0^2 \tau.$$

Из (3) находим $q_2(t) = -\tau[A \exp(-\alpha t) + B \exp(-\beta t)]$.

Из начальных условий следует, что $A = -B$.

Сила тока $I_2 = -\tau dI/dt = \tau B[-\alpha \exp(-\alpha t) + \beta \exp(-\beta t)]$.

Из начальных условий находим $B(\beta - \alpha)\tau = \varepsilon/r$. Сила тока, протекающего через батарею

$$I(t) = \varepsilon/r - [\varepsilon/r(\beta - \alpha)\tau][\exp(-\alpha t) - \exp(-\beta t)] \approx \approx (\varepsilon/r)[1 - \exp(-\alpha t) + \exp(-\beta t)].$$

Напряжение на конденсаторе

$$V_c(t) = [\varepsilon/(\beta - \alpha)\tau][\exp(-\alpha t) - \exp(-\beta t)] \approx \varepsilon[\exp(-\alpha t) - \exp(-\beta t)]$$

достигает максимума при $t = t_m$; $t_m = \tau \ln(\beta/\alpha) \approx -2\tau \ln(\omega_0\tau)$, $t_m = 13,8\tau$.

При $t \gg \tau$ схема находится в режиме короткого замыкания: $I(t) = I_1(t) = \varepsilon/r$, $V_c = 0$. Напряжение на конденсаторе не может достичь значения ε . Мы видим, что в идеальном контуре не возникают незатухающие колебания.

8.1.3. Из (8.1.6) получим $q(t) = \frac{I_0}{\omega_0} \sin \omega_0 t$, $I(t) = I_0 \cos \omega_0 t$, где $I_0 = \varepsilon/r$.

Через четверть периода напряжение на конденсаторе $V_c = \varepsilon R_B/r$.

8.1.4. А. $U_{em} = CV_m^2/2 = LI_m^2/2$, $v = V_m I_m / 2\pi U_{em}$.

Б. $I_m = \omega q_m$, $v = I_m / 2\pi q_m$.

8.1.6. Эквивалентная схема содержит конденсатор и катушку индуктивностью $L = L_1 + L_{23}$, $1/L_{23} = 1/L_2 + 1/L_3$. Из уравнения (8.1.3) получим решение $q_1(t) = CV_0 \cos \omega_0 t$, $\omega_0 = 1/(CL)^{1/2}$.

Сила тока $I_1 = -\omega_0 CV_0 \sin \omega_0 t$. Из уравнений Кирхгофа для исходной схемы $I_1 = I_2 + I_3$, $L_2 I_2 = L_3 I_3$ получаем $I_{20} = L_3 V_0 (C/L)^{1/2} / (L_2 + L_3)$.

8.1.7. А. После переключения ключа мы имеем колебательный контур, содержащий два последовательно соединенных конденсатора. Введем положительное направление на контуре, содержащем C_1 , L , и C_2 . Пусть $q(t)$ — заряд, прошедший в положительном направлении за время t . Полагая $\phi_b - \phi_k = V_1$, $\phi_k - \phi_m = V_2$, $\phi_m - \phi_b = L \frac{dI}{dt}$, получим уравнения

$$L \frac{dI}{dt} + V_1 + V_2 = 0, \tag{1}$$

$$V_1 + V_2 = \frac{q}{C}, \quad \frac{1}{C} = \frac{1}{C_1} + \frac{1}{C_2}. \tag{2}$$

Из (1), (2) следует уравнение (8.1.3) колебательного контура. Поскольку $V_1(0) = \varepsilon$, $V_2(0) = 0$, то начальные значения $q(0) = C\varepsilon$, $I(0) = 0$.

Следовательно, решение уравнения (8.1.3) $q(t) = C\varepsilon \cos \omega t$, $\omega = \sqrt{\frac{1}{LC}}$,

$\omega = 2,5 \cdot 10^6$ рад/с или $v = (\omega/2\pi) \approx 0,16 \cdot 2,5 \cdot 10^6$, $v = 400$ кГц.

Б. Еще одно уравнение следует из закона сохранения заряда изолированной части схемы

$$C_1 V_1 - C_2 V_2 = C_1 \varepsilon. \quad (3)$$

Из (2), (3) находим

$$V_1 = \frac{C_2 \varepsilon}{C_1} + \frac{q}{C_1}, \quad V_2 = -\frac{C_2 \varepsilon}{C_2} + \frac{q}{C_2}. \quad (4)$$

Заряды на верхних пластинах конденсаторов $q_1 = C_1 V_1$, $q_2 = C_2 V_2$. Сила тока в цепи $I = -I_0 \sin \omega t$, $I_0 = C \varepsilon \omega = \varepsilon (C/L)^{1/2}$, $I_0 = 40$ мА. Из (4) находим $V_1 = \varepsilon \frac{C_1 + C_2 \cos \omega t}{C_1 + C_2}$, $V_2 = \varepsilon (\cos \omega t - 1) \frac{C_1}{C_1 + C_2}$.

Интересный результат: в колебательном контуре присутствует постоянная компонента электростатического поля.

В. Энергия электрического поля конденсаторов

$$U_c = C_1 V_1^2 / 2 + C_2 V_2^2 / 2 = (C \varepsilon^2 / 2) (C_1 / C_2 + \sin^2 \omega t)$$

и энергия магнитного поля в катушке $U_m = (L I_0^2 / 2) \sin^2 \omega t$ входят в закон сохранения электромагнитной энергии $U_c + U_m = C_1 \varepsilon^2 / 2 = 100$ нДж. Энергия электромагнитных колебаний $U_{em} = L I_0^2 / 2 + q^2 / 2C$, $U_{em} = 80$ нДж.

8.1.8. А. Ключ замкнут. Пусть I_1 , I_2 — силы токов, протекающих через катушки, I — сила тока в цепи конденсатора. Согласно законам Кирхгофа

$$I = I_1 + I_2, \quad (1)$$

$$q/C + L_1 dI_1/dt = 0, \quad (2)$$

$$q/C + L_2 dI_2/dt = 0. \quad (3)$$

Из (1)–(3) получим уравнение

$$d^2 q/dt^2 + \omega^2 q = 0, \quad (4)$$

где $\omega^2 = 1/LC$, $1/L = 1/L_1 + 1/L_2$.

Энергия электромагнитного поля $U_{em} = L I_0^2 / 2 + q^2 / 2C$. Теперь необходимо найти начальные условия. До замыкания ключа в момент времени $t = 0$, функция $q(0) = 0$, $I(0) = I_1(0) = I_0$. Энергия электромагнитного поля $U_{em} = L_1 I_0^2 / 2$. В интервале времени $t \geq 0$ решение (4) имеет вид $q(t) = (I_0 / \omega) \sin \omega t$, сила тока $I(t) = I_0 \cos \omega t$, $\omega^2 = 1/CL$. Найдем теперь токи, протекающие через катушки. Подставляя $q(t)$ в (2), (3) получаем

$$I_1(t) = (I_0 / CL_1 \omega^2) \cos \omega t + A, \quad I_2(t) = (I_0 / CL_2 \omega^2) \cos \omega t + B,$$

где A и B — произвольные константы.

Из (2), (3) получим уравнение

$$L_1 I_1 - L_2 I_2 = L_1 I_0. \quad (5)$$

Константы определяются из уравнений (1) и (5):

$$B = -A, \quad A = \frac{L_1 I_0}{(L_1 + L_2)}.$$

Интересный результат: в $L_1 L_2$ — контуре возникает компонента кругового постоянного тока.

Б. Из уравнений (1)–(3) получаем

$$L_1 I_1^2/2 + L_2 I_2^2/2 + q^2/2C = L_1 I_0^2/2. \quad (6)$$

После подстановки функций I_1, I_2, q в (6) получим тождество.

Энергия магнитного и электрического полей

$$U_m = (LI_0^2/2)\cos^2\omega t + L_1^2 I_0^2/(L_1 + L_2), \quad U_e = (LI_0^2/2)\sin^2\omega t.$$

8.1.9. А. Эквивалентная схема имеет вид, изображенный на рис. 8.1.9 б, где $1/L = 1/L_1 + 1/L_2$, $L = 20/3$ мГн, $C = C_1 + C_2$, $C = 15$ нФ. Начальные условия $q(0) = -C\varepsilon$, $I(0) = 0$.

Решение уравнения (8.1.3) имеет вид $q(t) = -C\varepsilon\cos\omega t$, $\omega = (1/CL)^{1/2}$, $\omega = 10^5$ с⁻¹.

Сила тока в цепи $I(t) = C\omega\varepsilon\sin\omega t$.

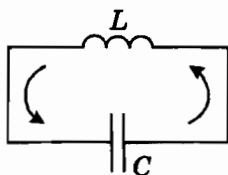


Рис. 8.1.9 б

Б. На рис. 8.1.9 в стрелками обозначены положительные направления токов I_1, I_2, I_{C1}, I_{C2} в цепях катушек и конденсаторов. Сила тока $I_{ab} = I_{C1} - I_1$.

Обозначим разность потенциалов точек a и b буквой V . Из законов Кирхгофа следуют уравнения

$$I_1 + I_2 = I_{C1} + I_{C2}, \quad (1)$$

$$V = q_1/C_1 = q_2/C_2 = -L_1 dI_1/dt = -L_2 dI_2/dt. \quad (2)$$

Отметим, что в общем случае $I_1 \neq I_{C1}$, $I_2 \neq I_{C2}$. Поскольку начальные значения токов равны нулю, то $I_2 = L_1 I_1/L_2$.

Получим уравнение для определения силы тока $I_1(t)$.

Из уравнений (1)–(2) находим последовательно $q_1 + q_2 = CV$,
 $I_1 + I_2 = CdV/dt = -CL_1 d^2 I_1 / dt^2$, $-CL_1 d^2 I_1 / dt^2 = I_1 + L_1 I_1 / L_2$,
 $d^2 I_1 / dt^2 + \omega^2 I_1 = 0.$ (3)

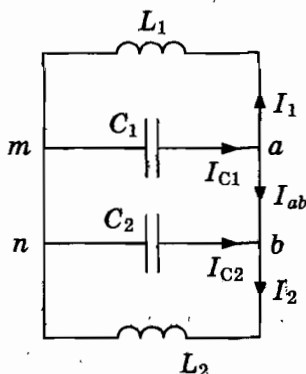


Рис. 8.1.9 в

Начальные условия имеют вид $V(0) = -\varepsilon$, $dI_1/dt = \varepsilon/L_1$. Решение уравнения (3), удовлетворяющее начальным условиям $I_1(t) = (\varepsilon/\omega L_1) \sin \omega t$.

Сила тока в цепи конденсатора C_1 :

$$I_{C_1} = dq_1/dt = C_1 dV/dt = -C_1 L_1 d^2 I_1 / dt^2 = C_1 \omega \varepsilon \sin \omega t.$$

Сила тока $I_{ab} = (C_1 \omega - 1/\omega L_1) \varepsilon \sin \omega t$. Поскольку в нашей «оригинальной» схеме $C_1 L_1 \omega^2 = C_2 L_2 \omega^2 = 1$, то $I_{ab} = 0$. В этом случае $I_1 = I_{C_1}$, $I_2 = I_{C_2}$.

Следует отметить, что $I_2 = (\varepsilon/\omega L_2) \sin \omega t$, $I_1 + I_2 = I$, где I — сила тока в эквивалентной схеме на рис. 8.1.9 б.

8.1.10. Введем функцию $q = q(t)$ — заряд верхней пластины конденсатора в момент времени t . После переключения ключа получим колебательный контур. Уравнение, которому удовлетворяет $q(t)$:

$$LdI/dt + q/C = \varepsilon. \quad (1)$$

Полагая $q = C\varepsilon + Q$, получим уравнение $dQ/dt + \omega^2 Q = 0$, $\omega^2 = 1/LC$, решение которого $Q = a \cos \omega t + b \sin \omega t$. Решение уравнения (1) приобретает вид $q(t) = C\varepsilon + a \cos \omega t + b \sin \omega t$.

Начальные условия $I(0) = 0$, $q(0) = C\varepsilon_0$. Из начальных условий находим $a = (\varepsilon_0 - \varepsilon)C$, $b = 0$. Следовательно, $q(t) = C\varepsilon + (\varepsilon_0 - \varepsilon)C \cos \omega t$.

Сила тока $I(t) = -(\varepsilon_0 - \varepsilon)C \omega \sin \omega t$.

$$U_C = \varepsilon + [\varepsilon_0 - \varepsilon] \cos \omega t.$$

Умножая (1) на I , получим закон изменения электромагнитной энергии $\frac{d}{dt}(LI^2/2 + q^2/2C) = \epsilon I$.

8.1.11. Решение 1. Ключ замкнут. Пусть I — сила тока, протекающего в общей части цепи, I_1, I_2 — силы токов, протекающих через катушки. Согласно законам Кирхгофа

$$I = I_1 + I_2, \quad (1)$$

$$q/C + L_1 dI_1/dt = 0, \quad (2)$$

$$q/C + L_2 dI_2/dt = 0. \quad (3)$$

Из (1)–(3) получим уравнение $d^2q/dt^2 + \omega^2 q = 0$, $\omega^2 = 1/LC$, $1/L = 1/L_1 + 1/L_2$.

Решение, удовлетворяющее начальным условиям $q(0) = -Q$, $I(0) = 0$, имеет вид $q(t) = -Q \cos \omega t$. Силы токов $I_1 = I_{10} \sin \omega t$, $I_{10} = Q/(CL_1 \omega)$, $I_2 = I_{20} \sin \omega t$, $I_{20} = Q/(CL_2 \omega)$. Очевидно, выполняется закон сохранения электромагнитной энергии $Q^2/2C = L_1 I_1^2/2 + L_2 I_2^2/2 + q^2/2C$.

Решение 2. Найдём амплитудные значения сил токов, рассматривая электрическое состояние схемы, в момент времени t_0 , когда $q(t_0) = 0$. Учитывая условие $L_1 I_{10} = L_2 I_{20}$ и закон сохранения электромагнитной энергии, получим $Q^2/2C = L_1 I_{10}^2/2 + L_2 I_{20}^2/2$.

8.1.12. Пусть I_1, I_2, I — силы токов в цепи индуктивности, резистора и конденсатора (рис. 8.1.12 б).

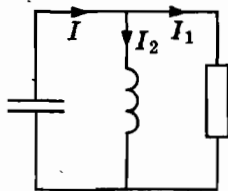


Рис. 8.1.12 б

Из уравнений Кирхгофа следуют уравнения

$$I = I_1 + I_2, \quad (1)$$

$$q/C + L dI_1/dt = 0, \quad (2)$$

$$-I_2 R + L dI_1/dt = 0. \quad (3)$$

Умножим (2) на I и учтем (1), (3). В результате получим закон изменения электромагнитной энергии

$$dU_{em}/dt + I_2^2 R = 0, \quad U_{em} = q^2/2C + LI_1^2/2.$$

Из (1)–(3) получим уравнение, которое позволит найти функцию $q(t)$. Подставим I_1 в (2) и учтем (2), (3). В результате находим

$$\frac{d^2 q}{dt^2} + \frac{1}{\tau} \frac{dq}{dt} + \omega_0^2 q = 0, \quad (4)$$

где $\omega_0^2 = 1/CL$, $\tau = CR$.

Начальные условия $q(0) = -C\varepsilon$, $I(0) = \varepsilon/R$. Общее решение уравнения (4) имеет форму затухающих колебаний

$$q(t) = \exp(-t/2\tau) [A \cos \Omega t + B \sin \Omega t], \quad \Omega^2 = \omega_0^2 - (1/2\tau)^2.$$

Сила тока

$$I(t) = -\exp(-t/2\tau) A [(1/2\tau) \cos \Omega t + \Omega \sin \Omega t] - \\ - \exp(-t/2\tau) B [(1/2\tau) \sin \Omega t - \Omega \cos \Omega t].$$

Из начальных условий находим $A = -C\varepsilon$, $B = C\varepsilon/2\Omega\tau$. Очевидно, количество теплоты, выделяемое в резисторе $Q_R = C\varepsilon^2/2$.

8.1.13. Пусть I_1 , I_2 , I_3 , I — силы токов в цепях индуктивности, резистора и конденсатора, $q(t)$ — заряд, протекающий в цепи конденсатора (рис. 8.1.13 б).

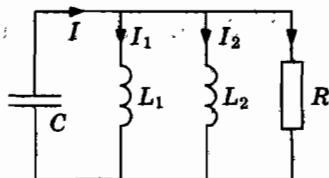


Рис. 8.1.13 б

Из уравнений Кирхгофа следуют уравнения

$$I = I_1 + I_2 + I_3, \quad (1)$$

$$q/C + L_1 dI_1/dt = 0, \quad (2)$$

$$q/C + L_2 dI_2/dt = 0, \quad (3)$$

$$q/C + I_3 R = 0. \quad (4)$$

Из (1)–(4) находим закон изменения электромагнитной энергии $\frac{d}{dt} q^2/2C + \frac{d}{dt} (L_1 I_1^2 + L_2 I_2^2)/2 = -I_3^2 R$, и уравнение

$$\frac{d^2 q}{dt^2} + \frac{1}{\tau} \frac{dq}{dt} + \omega^2 q = 0, \quad (5)$$

где $\tau = CR$, $\omega^2 = 1/CL_{12}$, $1/L_{12} = 1/L_1 + 1/L_2$.

Общее решение уравнения (5) при условии $2\omega\tau > 1$ имеет форму затухающих колебаний

$$q(t) = \exp(-t/2\tau) [A \cos \Omega t + B \sin \Omega t], \quad \Omega^2 = \omega^2 - (1/2\tau)^2. \quad (6)$$

Из уравнений (1)–(4) следует, что при $t \gg \tau$ все силы токов стремятся к нулю. Поэтому количество теплоты, выделяющейся в резисторе $Q_R = U_{cm}$, $U_{cm} = CV_0^2/2 + L_1 I_0^2/2$.

Однако приведем строгое доказательство этого утверждения, поскольку известно другое «решение» задачи (см. Квант. 1991. № 10, стр. 32).

Сила тока, протекающего через резистор $I_3 = -q/\tau$.

Количество теплоты

$$Q_R = \int_0^{\infty} dt I_3^2(t) R,$$

$$Q_R = (1/2C) [A^2 + (B\Omega/\omega)^2 + (A/2\omega\tau)^2 + AB\Omega/\omega^2\tau]. \quad (7)$$

Теперь необходимо найти константы A и B из начальных условий. Пусть ключ замкнут в момент времени $t = 0$.

Поскольку $q(0) = -CV_0$, то из (6) получим $A = -CV_0$. Далее найдем энергию магнитного поля $U_m(0) = L_1 I_1^2/2 + L_2 I_2^2/2$ в момент времени $t = 0$.

Подставляя (6) в (2), (3), найдем

$$\begin{aligned} \dot{I}_{1,2}(t) = & \{ \exp(-t/2\tau) A [(1/2\tau) \cos \Omega t - \Omega \sin \Omega t] + \\ & + \exp(-t/2\tau) B [(1/2\tau) \sin \Omega t + \Omega \cos \Omega t] \} / (CL_{1,2}\omega^2) \end{aligned}$$

и значения $I_{1,2}(0) = (A/2\tau + B\Omega) / (CL_{1,2}\omega^2)$, $U_m(0) = (A/2\tau + B\Omega)^2 / (2C\omega^2)$.

Представим энергию электрического и магнитного полей в момент времени $t = 0$ в виде $CV_0^2/2 = U_{cm} \cos^2 \alpha$, $L_1 I_0^2/2 = U_{cm} \sin^2 \alpha$. Окончательно находим $A = -(2CU)^{1/2} \cos \alpha$, $B\Omega = (2CU)^{1/2} [(1/2\tau) \cos \alpha + \omega \sin \alpha]$.

Подставляя A , B в (7), получим $Q_R = U_{cm}$.

8.1.14. На рис. 8.1.14 б указаны положительные направления токов на участках, заключенных между узлами.

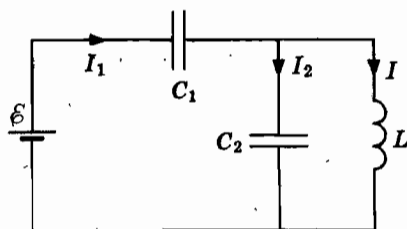


Рис. 8.1.14 б

Из законов Кирхгофа следуют уравнения

$$I_1 = I_2 + I, \quad (1)$$

$$\varepsilon = q_1/C_1 + LdI/dt, \quad (2)$$

$$\varepsilon = q_1/C_1 + q_2/C_2 \quad (3)$$

Из (3) находим $I_1/C_1 + I_2/C_2 = 0$. Подставляя I из (1) в (2), получим уравнение $d^2q_1/dt^2 + \omega^2q_1 = \varepsilon C_1/LC$, где $\omega^2 = 1/LC$, $C = C_1 + C_2$. Начальные условия $q_1(0) = 0$, $I_1(0) = 0$. Решение этого уравнения имеет вид $q_1(t) = C_1\varepsilon(1 - \sin\omega t)$. Далее находим $I_1(t) = C_1\varepsilon\omega\sin\omega t$, $I_2(t) = -C_2\varepsilon\omega\sin\omega t$, $I(t) = C\omega\varepsilon\sin\omega t$.

8.1.15. На рис. 8.1.15 б указаны положительные направления токов на участках, заключенных между узлами.

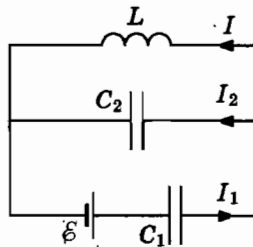


Рис. 8.1.15 б

Из законов Кирхгофа следуют уравнения

$$I_1 = I_2 + I, \quad (1)$$

$$-q_2/C_2 + LdI/dt = 0, \quad (2)$$

$$\varepsilon = q_1/C_1 + q_2/C_2 \quad (3)$$

Из (3) находим $I_1/C_1 + I_2/C_2 = 0$. Подставляя I из (1) в (2) получим уравнение $d^2q_2/dt^2 + \omega^2q_2 = 0$.

Из (3) находим $I_1/C_1 + I_2/C_2 = 0$. Подставляя I из (1) в (2) получим уравнение $d^2q_2/dt^2 + \omega^2q_2 = 0$, где $\omega^2 = 1/LC$, $C = C_1 + C_2$. Начальные условия $q_2(0) = C_1C_2\varepsilon/C$, $I_2(0) = 0$. Решение этого уравнения имеет вид $q_2(t) = (C_1C_2\varepsilon/C)\cos\omega t$.

Из (3) получим $q_1(t) = C_1\varepsilon[1 - (C_1/C)\cos\omega t]$.

Далее находим силы токов

$$I_1(t) = (C_1^2\omega\varepsilon/C)\sin\omega t, \quad I_2(t) = -(C_1C_2\omega\varepsilon/C)\sin\omega t, \quad I(t) = C\omega\varepsilon\sin\omega t.$$

8.1.16. В силу неравенства, приведенного в условии, внутренними сопротивлениями батарей можно пренебречь. На рис 8.1.16 б

Стрелками обозначены положительные направления токов между узлами схемы.

Разности потенциалов $\varphi_a - \varphi_b = q_1/C_1$, $\varphi_a - \varphi_k = q_2/C_2$. Начальные значения зарядов $q_1(0) = -C_1 C_2 \varepsilon_1 / C$, $q_2(0) = C_1 C_2 \varepsilon_1 / C$, $C = C_1 + C_2$. Начальные значения токов равны нулю. Законы Кирхгофа приводят к системе

$$I_1 + I_2 = I, \quad (1)$$

$$LdI/dt + q_1/C_1 = \varepsilon_2 - \varepsilon_1, \quad (2)$$

$$q_1/C_1 - q_2/C_2 = -\varepsilon_1, \quad (3)$$

Из которой следует уравнение

$$LCdq_1/dt + q_1 = C_1(\varepsilon_2 - \varepsilon_1). \quad (4)$$

Решением (1) является функция

$$q_1(t) = C_1(\varepsilon_2 - \varepsilon_1) + A \cos \omega t + B \sin \omega t,$$

где $\omega = 1/(LC)^{1/2}$.

Из начальных условий находим $A = -C_1(\varepsilon_2 - C_1 \varepsilon_1 / C)$, $B = 0$. Заряд, протекающий в цепи конденсатора C_1 :

$$q_1(t) = C_1(\varepsilon_2 - \varepsilon_1) - C_1(\varepsilon_2 - C_1 \varepsilon_1 / C) \cos \omega t. \quad (5)$$

Из (3) найдем заряд, протекающий в цепи конденсатора C_2 :

$$q_2(t) = C_2 \varepsilon_2 - C_2(\varepsilon_2 - C_1 \varepsilon_1 / C) \cos \omega t. \quad (6)$$

Из (2) получаем силу тока, протекающего через катушку

$$I(t) = [(\varepsilon_2 - C_1 \varepsilon_1 / C) / L\omega] \sin \omega t. \quad (7)$$

Полезно записать закон изменения электромагнитной энергии.

Из уравнений (1)–(3) получаем $\frac{d}{dt} \left(\frac{LI^2}{2} + \frac{q_1^2}{C_1} + \frac{q_2^2}{C_2} \right) = \varepsilon_2 I - \varepsilon_1 I_1$.

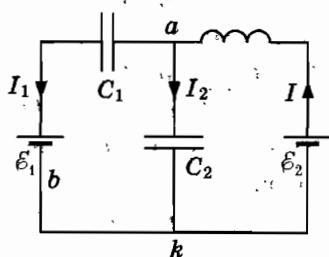


Рис. 8.1.16 б

8.1.17. Положительные направления токов указаны стрелками на рис. 8.1.17 б. В исходном состоянии разность потенциалов $\varphi_k - \varphi_b = -\varepsilon$.

Диод заперт. Заряд $q_1 = C_1(\varphi_k - \varphi_b)$, притекающий к нижней пластине конденсатора C_1 в LC_1 цепи удовлетворяет уравнению

$$d^2q_1/dt^2 + \omega_1^2q_1 = 0, \omega_1^2 = 1/LC_1 \quad (1)$$

с начальными условиями $q_1(0) = -C_1\varepsilon, I_1(0) = 0$.

Из (1) получаем $q(t) = -C_1\varepsilon\cos\omega_1t, I_1(t) = I(t) = \omega_1C_1\varepsilon\sin\omega_1t$.

В момент времени $t_1 = \pi/2\omega_1$ диод отпирается и состояние схемы описывается уравнениями

$$I_1 + I_2 = I, \quad (2)$$

$$q_1/C_1 + LdI/dt = 0, \quad (3)$$

$$-q_1/C_1 + q_2/C_2 = 0. \quad (4)$$

Из (2)–(4) получим уравнение для цепи с катушкой и двумя параллельно соединенными конденсаторами:

$$d^2q/dt^2 + \omega^2q = 0, q = q_1 + q_2, \omega^2 = 1/LC, C = C_1 + C_2, \quad (5)$$

с начальными условиями $q(t_1) = 0, I(t_1) = \omega_1C_1\varepsilon$.

Решением уравнения (5) является функция

$$q(t) = (\omega_1C_1\varepsilon/\omega)\sin\omega(t - t_1).$$

Сила тока $I(t) = \omega_1C_1\varepsilon\cos\omega(t - t_1)$ обращается в нуль в момент времени $t_2 = t_1 + \pi/2\omega$. В этот момент времени заряды и напряжения на конденсаторах достигают максимальных значений $q_{1m} = C_1V_m, q_{2m} = C_2V_m, V_m = LC_1\omega_1\varepsilon$.

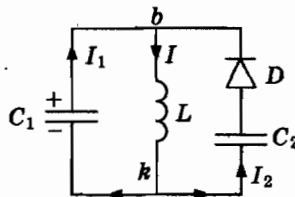


Рис. 8.1.17 б

8.1.18. Положительные направления токов указаны стрелками на рис. 8.1.18 б.

В исходном состоянии разность потенциалов $\varphi_k - \varphi_b = -\varepsilon$. Диод заперт. Заряд $q = C(\varphi_k - \varphi_b)$, притекающий к нижней пластине конденсатора C в LC цепи удовлетворяет уравнению

$$d^2q/dt^2 + \omega_1^2q = 0, \omega_1^2 = 1/LC \quad (1)$$

с начальными условиями $q(0) = -C\varepsilon, I(0) = 0$.

Из (1) получаем $q(t) = -C\varepsilon\cos\omega_1 t$, $I_1(t) = I(t) = \omega_1 C\varepsilon\sin\omega_1 t$.

В момент времени $t_1 = \pi/2\omega_1$ диод отпирается и состояние схемы описывается уравнениями

$$I + I_2 = I_1, \quad (2)$$

$$q/C + L_1 dI_1/dt = 0, \quad (3)$$

$$q/C - L_2 dI_2/dt = 0. \quad (4)$$

Из (2)–(4) следует уравнение для цепи с конденсатором и двумя параллельно соединенными катушками:

$$d^2 q/dt^2 + \omega^2 q = 0, \quad q = q_1 + q_2, \quad \omega^2 = 1/LC, \quad 1/L = 1/L_1 + 1/L_2, \quad (5)$$

Начальные условия $q(t_1) = 0$, $I(t_1) = \omega_1 C\varepsilon$. Решением уравнения (5) является функция $q(t) = (\omega_1 C\varepsilon/\omega)\sin\omega(t - t_1)$.

Сила тока $I(t) = \omega_1 C\varepsilon\cos\omega(t - t_1)$ обращается в нуль в момент времени $t_2 = t_1 + \pi/2\omega$. В этот момент времени значения заряда и напряжения на конденсаторе достигают максимума $q_m = CV_m$, $V_m = \varepsilon\omega_1/\omega$. (см. другое решение задачи: «Квант». 2003. № 4. стр. 44).

Полезно рассмотреть закон сохранения электромагнитной энергии. Из уравнений (2)–(4) следует соотношение

$$L_1 I_1^2/2 + L_2 I_2^2/2 + q^2/2C = C\varepsilon^2/2. \quad (6)$$

Из (3), (4) находим

$$I_1(t) = (\omega_1 \varepsilon/L_1 \omega^2) \cos\omega(t - t_1) + A,$$

$$I_2(t) = -(\omega_1 \varepsilon/L_2 \omega^2) \cos\omega(t - t_1) + B,$$

где произвольные константы A и B .

Из (3)–(4) получим уравнение

$$L_1 I_1 + L_2 I_2 = L_1 \omega_1 C\varepsilon. \quad (7)$$

Константы определяются из уравнений (2) и (7):

$$A = B = L_1 \omega_1 C\varepsilon / (L_1 + L_2).$$

После подстановки функций I_1 , I_2 , q в (6) получим тождество.

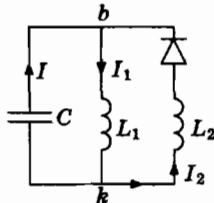


Рис. 8.1.18 б

8.1.19. Эквивалентная схема этой системы представляет собой одновитковый контур, присоединенный к конденсатору. Ток в контуре протекает по стенкам цилиндра и по пластинам параллельно сторонам длиной a . Индукция магнитного поля направлена по оси цилиндра, как в соленоиде; величина индукции $B \approx \mu_0 I/h$. Поток магнитной индукции $\Phi = \pi r_0^2 B \equiv LI$. Следовательно, индуктивность контура $L = \mu_0 \pi r_0^2/h$. Поскольку емкость конденсатора $C = \epsilon_0 ah/d$, то собственная частота электромагнитных колебаний $\omega_0 = (c/r_0)(d/\pi a)^{1/2}$.

8.1.20. В уравнении (8.1.1) электроемкость $C(t) = \epsilon_0 S/d(t)$. Умножим (8.1.1) на I и учтем соотношение $\frac{d \cdot q^2}{dt \cdot 2C} = \frac{q \cdot dq}{C \cdot dt} + \frac{q^2 \cdot d \cdot 1}{2 \cdot dt \cdot C}$.

Тогда получим уравнение $dU_{em}/dt = P(t)$,

$$P(t) \approx \frac{q^2}{2d_0 C_0} h \omega \cos \omega t - I^2 R, \quad (1)$$

где $C_0 = \epsilon_0 S/d_0$.

Предположим, что в первом приближении сопротивлением резистора и изменением емкости можно пренебречь. В этом случае $q(t) \approx q_0 \cos \omega_0 t$, $\omega_0 = (1/LC_0)^{1/2}$. Подставляя $q(t)$ в (1), получим

$$P(t) = \frac{q_0^2 h \omega}{2d_0 C_0} \cos^2 \omega_0 t \cos \omega t - (\omega_0 q_0)^2 R \sin^2 \omega_0 t. \quad (2)$$

Поскольку

$$\cos^2 \omega_0 t \cos \omega t = (1/2) \cos \omega t + (1/4) [\cos(2\omega_0 - \omega)t + \sin(2\omega_0 + \omega)t],$$

то основной вклад в среднее значение $P(t)$ возникает при частоте $\omega = 2\omega_0$.

Поэтому из (2) следует

$$\langle P(t) \rangle = \frac{q_0^2 h \omega_0}{4d_0 C_0} - \frac{1}{2} (\omega_0 q_0)^2 R. \quad (3)$$

Вводя добротность контура $Q = (\omega_0 C_0 R)^{-1}$, запишем (3) в виде

$$\langle P(t) \rangle = \frac{I_0^2 R}{2} \left(\frac{Qh}{2d_0} - 1 \right),$$

где $I_0 = q_0 \omega_0$.

Следовательно, при условии $Q > 2d_0/h$ или $R < (h/2d_0)(L/C_0)^{1/2}$ величина энергии в контуре и амплитуда электромагнитных колебаний возрастают. Это явление называется *параметрическим резонансом*, т.к. периодически с частотой $\omega = 2\omega_0$ изменяется собственный

параметр конденсатора — расстояние между пластинами. Аналогичное явление возникает при раскачивании качелей.

8.1.21. Вместо уравнения (8.1.1) из закона Ома получаем

$$\frac{dL(t)I}{dt} + IR + \frac{q}{C} = 0. \quad (1)$$

Умножим (1) на I . Тогда, учитывая соотношение

$$Id(LI)/dt = (1/2)d(LI^2)/dt + (dL/dt)(I^2/2),$$

получим уравнение $dU_{em}/dt = P(t)$, где

$$P(t) = -(I^2/2)dL/dt - I^2R, \quad (2)$$

Предположим, что в первом приближении сопротивлением резистора и изменением индуктивности можно пренебречь. В этом случае $I(t) \approx I_0 \cos \omega_0 t$, $\omega_0 = (1/L_0 C)^{1/2}$. Подставляя $I(t)$ в (2), получим

$$P(t) = \frac{L_1 \omega_0^2 I_0^2}{2} \cos^2 \omega_0 t \cos \omega t - I_0^2 R \cos^2 \omega_0 t. \quad (3)$$

Поскольку $\cos^2 \omega_0 t \cos \omega t = (1/2) \cos \omega t [1 + \cos 2\omega_0 t]$, то основной вклад в среднее значение $P(t)$ возникает при частоте $\omega = 2\omega_0$. Поэтому из (3) следует

$$\langle P(t) \rangle = \frac{L_1 \omega_0^2 I_0^2}{4} - \frac{1}{2} I_0^2 R. \quad (4)$$

Вводя добротность контура $Q = (\omega_0 L_0 / R)$, запишем (4) в виде

$$\langle P(t) \rangle \approx \frac{1}{2} I_0^2 R \left(\frac{QL_1}{2L_0} - 1 \right).$$

Следовательно, при условии $Q > 2L_0/L_1$ величина энергии в контуре и амплитуда электромагнитных колебаний возрастают.

8.1.22. Используя результаты анализа схемы рис. 7.3.7 б в задаче 7.3.7, выберем значение сопротивления $R < R_m$, при котором зажигается дуга.

Уравнения, следующие из законов Кирхгофа $I = I_1 + I_2$, $IR + V = \varepsilon$, $L \frac{dI_2}{dt} + rI_2 + \frac{Q_2}{C} = V$, дополним вольтамперной характеристикой дуги $I = f(V)$, $V = \varphi_a - \varphi_k$.

При стационарном горении дуги $I_2 = 0$, $Q_2 = Q_{20}$, $V = V_c = Q_{20}/C$.

В этом случае получим $\frac{\varepsilon - V_c}{R} = f(V_c)$.

Вследствие неустойчивости процесса горения напряжение V может отклониться от значения V_c — появятся переменные напряжение $V = V_c + u(t)$, заряд $Q_2 = Q_{20} + q_2(t)$ и ток $I_2 = \frac{dq_2}{dt}$. Тогда полная система уравнений приобретает вид

$$I = I_1 + I_2, \quad (1)$$

$$IR + V_c + u = \varepsilon, \quad (2)$$

$$I_1 = f(V_c + u), \quad (3)$$

$$L \frac{dI_2}{dt} + rI_2 + \frac{q_2}{C} = u, \quad (4)$$

Исключая из (1)–(3) токи I и I_1 , получим уравнение

$$I_2 = -\frac{u}{R} - [f(V_c + u) - f(V_c)]. \quad (5)$$

Ограничимся приближением $|u| \ll V_c$. В этом случае

$$[f(V_c + u) - f(V_c)] \approx -\frac{u}{R_0(V_c)}.$$

Из (5) находим силу тока $I_2 \approx \frac{u}{R_2}$, где $R_2 = \frac{RR_0}{R - R_0}$. Подставляя u в правую часть (4), получим уравнение колебательного контура

$$L \frac{dI_2}{dt} + (r - R_2)I_2 + \frac{q_2}{C} = 0 \quad (6)$$

с «резистором» сопротивлением $(r - R_2)$.

Выберем значение V_c , при котором $R > R_0$, $R_2 > 0$. Если выполняется условие $r = R_2$, то уравнение (6) описывает незатухающие электромагнитные колебания с постоянной амплитудой. При значениях $r < R_2$ амплитуда колебаний возрастает.

Следовательно, при условии $R_0 > \frac{Rr}{R+r}$ в системе могут возникнуть электромагнитные колебания.

Недостатком такого генератора является нестабильность режима работы.

8.1.23. Согласно закону Ома имеем уравнение $LdI/dt + q/C = \varepsilon(t)$.

Интегрируя по промежутку времени $[0, \tau]$, получим начальное значение силы тока $I_0 = \varepsilon\tau/L$.

8.2. Вынужденные электромагнитные колебания

8.2.1. Амплитуды напряжений:

$$V_{R0} = \varepsilon_0 \frac{R}{Z}, \quad V_{C0} = \varepsilon_0 \frac{X_C}{Z}, \quad V_{L0} = \varepsilon_0 \frac{X_L}{Z}.$$

8.2.3. Амплитуда напряжения на конденсаторе $\varepsilon_{\text{эф}} < V_{\text{эф}} Z / X_C$.

8.2.4. А. $\varepsilon_0^2 = V_R^2 + (V_{L0} - V_{C0})^2$.

Б. Разности потенциалов

$$\varphi_m - \varphi_a = -V_L \sin(\omega t + \varphi), \quad \varphi_n - \varphi_a = V_C \sin(\omega t + \varphi).$$

Следовательно, $\varphi_n - \varphi_m = V \sin(\omega t + \varphi)$, $V = V_L + V_C$.

В. $\varphi_b - \varphi_k = V_C \sin(\omega t + \varphi)$, $\varphi_b - \varphi_s = V_R \cos(\omega t + \varphi)$. Следовательно, $\varphi_s - \varphi_k = V_C \sin(\omega t + \varphi) - V_R \cos(\omega t + \varphi)$. $A_{ns} = (V_C^2 + V_R^2)^{1/2}$.

8.2.5. Разности потенциалов $\varphi_a - \varphi_m = LdI/dt$, $\varphi_a - \varphi_n = IR$.

Отсюда находим $\varphi_m - \varphi_n = (\varepsilon_0 R / Z) \cos(\omega t + \varphi) + (\varepsilon_0 X_L / Z) \sin(\omega t + \varphi)$.

Полагая $\varepsilon_0 R / Z = A \cos \alpha$, $\varepsilon_0 X_L / Z = A \sin \alpha$, получим

$$\varphi_n - \varphi_m = \varepsilon_0 \cos(\omega t + \varphi - \alpha).$$

8.2.6. Разности потенциалов

$$\varphi_n - \varphi_a = (\varepsilon_0 R_1 / Z_a) \cos(\omega t + \varphi_a), \quad \varphi_n - \varphi_b = (\varepsilon_0 R_4 / Z_b) \cos(\omega t + \varphi_b),$$

где $Z_a^2 = (R_1 + R_2)^2 + X_{L2}^2$, $Z_b^2 = (R_3 + R_4)^2 + X_{L3}^2$.

Следовательно,

$$\varphi_a - \varphi_b = \varepsilon_0 [R_4 (R_3 + R_4) / Z_b^2 - R_1 (R_1 + R_2) / Z_a^2] \cos \omega t + \\ + \varepsilon_0 [R_4 X_{L3} / Z_b^2 - R_1 X_{L2} / Z_a^2] \sin \omega t \equiv A_{ab} \cos(\omega t + \alpha).$$

8.2.7. В случае $L = 0$, $C = \infty$, полное сопротивление $Z = R$. Сопротивление лампы в рабочем режиме $R = \frac{\varepsilon_{\text{эф}}^2}{P}$, $R = 484 \text{ Ом}$.

Значению $C = 0$ соответствует разомкнутая цепь. В схеме с последовательно соединенными лампой и конденсатором емкостное сопротивление $X_C = \frac{0,16}{\sqrt{C}}$, $X_C = 1,6 \cdot 10^8 \text{ Ом}$. Амплитуды напряжения на лампе и конденсаторе $V_{R0} = \varepsilon_0 R / Z \ll \varepsilon_0$, $V_{C0} = \varepsilon_0 X_C / Z \approx \varepsilon_0$.

$$\text{Мощность, потребляемая лампой } P_R = \frac{\varepsilon_{\text{эф}}^2 R}{Z^2} = \frac{PR^2}{R^2 + X_C^2} \ll P.$$

Нить лампы не накаляется.

При включении генератора, создающего напряжение частотой $\nu = 100 \text{ МГц}$, емкостное сопротивление $X_C = 80 \text{ Ом}$. В этом случае по-

требуемая мощность $P_R \approx P$: лампа ярко светится. Амплитуды напряжения $V_{R0} \approx \varepsilon_0$, $V_{C0} \ll \varepsilon_0$.

Эксперимент, иллюстрирующий этот эффект, производит сильное впечатление. Студент стоит на изолирующей скамье и держит лампу, касаясь рукой ее цоколя. Второй контакт лампы присоединен к одной клемме высоковольтного генератора, другая клемма — заземлена. Следовательно, цепь разомкнута для постоянного тока. Тем не менее, нить лампы ярко накаляется. Причина в том, что тело студента и Земля образуют обкладки конденсатора. Высокочастотные токи протекают в тонком поверхностном слое тела экспериментатора и не опасны.

8.2.8. Из законов Кирхгофа получаем систему

$$I = I_1 + I_2, \quad (1)$$

$$I_2 R = L dI_1 / dt, \quad (2)$$

$$I r + I_1 r_1 + L dI_1 / dt = \varepsilon(t). \quad (3)$$

из которой получим уравнение вида (8.2.1)

$$L(1 + r/R) dI_1 / dt + (r + r_1) I_1 = \varepsilon_0 \cos \omega t. \quad (4)$$

Следовательно,

$$I_1(t) = I_{10} \cos(\omega t + \varphi), \quad (5)$$

$$I_{10} = \varepsilon_0 / Z, \quad Z^2 = X_L^2 (1 + r/R)^2 + (r + r_1)^2, \quad X_L = \omega L.$$

Из (2), (5) находим

$$I_2(t) = -(X_L I_{10} / R) \sin(\omega t + \varphi), \quad (6)$$

Среднее значение мощности, потребляемой лампой

$$P = (X_L \varepsilon_0 / Z)^2 / 2R.$$

8.2.9. Мощности, потребляемые лампами $P_A = \varepsilon^2 R / 2(X_C^2 + R^2)$, $X_C = 1/\omega C$, $P_B = \varepsilon^2 R / 2(X_L^2 + R^2)$, $X_L = \omega L$, $P_C = \varepsilon^2 / 2R$.

8.2.10. При замкнутом ключе переменный ток протекает через лампу в течение каждого полупериода.

$$8.2.11. \varepsilon_x = \varepsilon_0 \sqrt{\tau / T}.$$

8.2.12. На плоской границе двух металлов должен существовать скачок нормальных компонент напряженности электрического поля, связанный с зарядом на поверхности раздела: $(E_2 - E_1)S = Q/\varepsilon_0$.

Согласно закону Ома нормальная компонента плотности тока $j = (1/\rho)E$. Поскольку нормальная компонента плотности тока непрерывна, то $E_1 = \rho_1 j$, $E_2 = \rho_2 j$. Следовательно, $Q = \varepsilon_0(\rho_2 - \rho_1)Sj$. Разность потенциалов на торцах цилиндра с удельным сопротивлением ρ_2 равна

$V = \rho_2 j d$. Емкость конденсатора, образованного вставкой из металла с удельным сопротивлением ρ_2 равна $C = Q/V, C = \epsilon_0(\rho_2 - \rho_1)S/\rho_2 d$.

Из уравнения Кирхгофа следует уравнение типа (8.2.1):

$$R \frac{dq}{dt} + q/C = \epsilon_0 \cos \omega t.$$

8.2.13. Имеем систему уравнений $I = I_1 + I_2, I_1 R + L dI_1/dt = \epsilon(t), I_2 R + L dI_2/dt = \epsilon(t)$.

8.2.14. Для решения задачи необходимо учесть, что коэффициент взаимной индукции $L_{12} = L$.

$$8.2.16. \omega = 1/(2\sqrt{LC}), I_1^2 = \frac{\epsilon_0^2}{R^2 + (2\sqrt{L/C} - \sqrt{L/C}/2)^2} = \frac{I_0^2}{1 + (3Q/2)^2}.$$

8.1.17. Электрическое состояние схемы — резонанс напряжений. Тогда $Z = R, X_C = X_L, V_{C0} = \epsilon_0 X_C/R = \epsilon_0 X_L/R$.

8.2.18. А. $X_L = X_C = 10^3$ Ом, $Z = 10$ Ом, $V_{L0} = V_{C0} = 300$ В, $V_{R0} = 3$ В, $I_0 = 0,3$ А.

Б. $X_L = 2000$ Ом, $X_C = 500$ Ом, $Z = 1500$ Ом, $V_{L0} = 4$ В, $V_{C0} = 1$ В, $V_{R0} = 0,02$ В, $I_0 = 2$ мА.

В. $X_L = 500$ Ом, $X_C = 2000$ Ом, $Z = 1500$ Ом, $V_{L0} = 1$ В, $V_{C0} = 4$ В, $V_{R0} = 0,02$ В, $I_0 = 2$ мА.

8.2.19. $\Delta v = v_0/Q$.

8.2.20. Теперь решением уравнения (8.2.1) является сумма решений вида (8.2.2). Собственная частота контура $\nu_0 = \nu_1 = 400$ Гц. В этом случае $V_{10} = \epsilon_0/R, V_{10} = 0,3$ В. Индуктивное и емкостное сопротивления на частоте ν_2 соответственно равны: $X_{L2} = (10^3 + 5)$ Ом, $X_{C2} = (10^3 - 5)$ Ом. Полное сопротивление $Z = R\sqrt{2}$.

8.2.21. $\epsilon(t) = \epsilon_0 (1 + \cos 2\omega t)/2$.

Уравнение цепи $L dI/dt + RI + q/C = \epsilon_0 (1 + \cos 2\omega t)/2$. Произведем замену $q = C\epsilon_0/2 + Q$. Тогда имеем уравнение

$$L dI/dt + RI + Q/C = (\epsilon_0/2) \cos 2\omega t,$$

решение которого

$$Q(t) = \frac{I_0}{2\omega} \sin(2\omega t + \varphi), I_0 = (\epsilon_0/2Z),$$

$$Z^2 = R^2 + (X_C - X_L)^2, \quad X_C = 1/2\omega C, \quad X_L = 2\omega L.$$

$$V_C(t) = \epsilon_0/2 + (\epsilon_0 X_C/2Z) \sin(2\omega t + \varphi),$$

$$\langle V_C^2(t) \rangle = (\epsilon_0/2)^2 + (1/2)(\epsilon_0 X_C/2Z)^2.$$

8.2.22. Имеем три уравнения: для узла $I = I_1 + I_2$ и ветвей, содержащих R, L и $C, \frac{q_1}{C} = \epsilon_0 \cos \omega t, L \frac{dI_2}{dt} + RI_2 = \epsilon_0 \cos \omega t, t > 0$.

Поскольку эти уравнения представляют собой частные случаи уравнения (8.2.1), то, учитывая (8.2.2)–(8.2.4), получим решения

$$I_1 = \frac{\varepsilon_0}{X_C} \cos(\omega t + \varphi_1), \quad \sin \varphi_1 = 0, \quad \sin \varphi_1 = 1, \quad (1)$$

$$I_2 = \frac{\varepsilon_0}{Z_2} \cos(\omega t + \varphi_2), \quad \cos \varphi_2 = \frac{R}{Z_2}, \quad \sin \varphi_2 = -\frac{X_L}{Z_2}, \quad (2)$$

где $Z_2 = \sqrt{R^2 + X_L^2}$. Следовательно, из (1), (2) получим

$$I = \frac{\varepsilon_0 R}{Z_2^2} \cos \omega t + \varepsilon_0 \left(\frac{X_L}{Z_2^2} - \frac{1}{X_C} \right) \sin \omega t. \quad (3)$$

Полагая $\frac{R}{Z_2^2} = \frac{1}{Z} \cos \varphi$, $\frac{1}{X_C} - \frac{X_L}{Z_2^2} = \frac{1}{Z} \sin \varphi$, запишем это решение в виде $I(t) = I_0 \cos(\omega t + \varphi)$, где I_0 — амплитуда силы тока, проходящего через генератор $I_0 = \frac{\varepsilon_0}{Z}$, $\frac{1}{Z} = \sqrt{\frac{1}{Z_2^2} - \frac{2X_L}{X_C Z_2^2} + \frac{1}{X_C^2}}$. Среднее значение мощности, потребляемой схемой $P = [I(t)I(t)]_{\text{cp}} = \frac{\varepsilon_0^2 R}{2Z_2^2}$ равно мощности, рассеиваемой в резисторе $P_R = [I_2^2 R]_{\text{cp}}$.

8.2.23. Если RL -цепь подключена непосредственно к генератору, то амплитуда силы тока в подводящих проводах равна $I_{20} = \frac{\varepsilon_0}{Z_2}$. Если же параллельно RL -цепи подключить конденсатор, то амплитуда силы тока согласно решению задачи 8.2.22 станет равной $I_0 = \frac{\varepsilon_0}{Z}$. Отметим, что коэффициент при $\sin \omega t$ в (3) — реактивной составляющей силы тока — уменьшился, а амплитуда активной составляющей силы тока не изменилась. Очевидно, $I_0 \cos \varphi = I_{20} \cos \varphi_2$. Если емкость конденсатора $C < \frac{2X_L}{\omega Z_2^2}$, то $\varphi < \varphi_2$, $I_0 < I_{20}$. Следовательно, подключение батареи конденсаторов к RL -цепи приводит к уменьшению силы тока в подводящих проводах и уменьшению джоулевых потерь. Мощность, потребляемая резистором, не изменяется.

8.2.24. Из решения задачи 8.2.22 находим искомое условие $Z_2^2 = X_L X_C$ или $\omega = \omega_p$, $\omega_p = \omega_0 \sqrt{1 - \frac{1}{Q^2}}$, $\omega_0 = \frac{1}{\sqrt{LC}}$, $Q = \frac{R_B}{R}$, $R_B = \sqrt{\frac{L}{C}}$.

Это электрическое состояние контура называют *резонансом токов*.

В этом случае $Z_2 = Z_p$, $Z = Z_p$, $Z_{cp} = R_B$, $Z_p = QR_B = \frac{L}{CR}$. Контур в цепи генератора эквивалентен резистору сопротивлением $R_0 = \frac{R_B^2}{R} = \frac{L}{CR}$.

Амплитуда силы тока $I_0 = \frac{\varepsilon_0}{Q^2 R}$ принимает наименьшее значение. При

$Q \gg 1$ сопротивление $R_0 = Q^2 R \gg R$, амплитуды токов в цепях катушки и конденсатора $I_{20} = QI_0$, $I_{10} \approx QI_0$. Мощность, потребляемая резистором при резонансе $P_{res} = \frac{\varepsilon_0^2 R}{2R_B^2} = \frac{\varepsilon_0^2 RC}{2L}$.

В области низких частот $\omega \ll \omega_p$ контур ведет себя как катушка индуктивности; в области частот $\omega \gg \omega_p$ — эквивалентен конденсатору.

8.2.25. А. В первом контуре волновое сопротивление $R_B = 10^4$ Ом, добротность $Q = 10^3$, $R_0 = 10$ МОм, $I_0 = 0,01$ мА. Мощность, потребляемая резистором $P_R = 0,5$ мВт.

Б. Во втором контуре $R_B = 10^3$ Ом, $Q = 10^2$, $R_0 = 0,1$ МОм, $I_0 = 1$ мА. Мощность, потребляемая резистором $P_R = 50$ мВт.

8.2.26. Сила тока, протекающего через генератор $I(t) = I_c + I_L$. Для участка, содержащего конденсатор из закона Ома $q/C = \varepsilon_0 \cos \omega t$, находим $I_c = -(\varepsilon_0/X_c) \sin \omega t$, $X_c = 1/\omega C$, $X_c = 250$ Ом. Для участка, содержащего катушку из закона Ома $LdI/dt = \varepsilon_0 \cos \omega t$, находим $I_L = (\varepsilon_0/X_L) \sin \omega t$, $X_L = \omega L$, $X_L = 250$ Ом. Следовательно, $I(t) = 0$. Это электрическое состояние схемы называется резонансом токов. При резонансе сила тока в общей цепи контура равна нулю, а в контуре возникает переменный круговой ток. Сопротивление идеального контура бесконечно велико. Энергия уже не поступает от генератора к контуру: происходит обмен энергией между катушкой индуктивности и конденсатором.

8.2.27. В исходной схеме 8.2.27 *а* мощность, потребляемая резистором $P_0 = \varepsilon_0^2 R / [2(R^2 + XL^2)]$.

Из законов Кирхгофа для схемы на рис. 8.2.27 *б* имеем систему $I = I_1 + I_2$, $q_1/C - I_2 R = 0$, $LdI/dt + I_2 R = \varepsilon$, из которой получим уравнение $LdI_1/dt + (L/CR)I_1 + q_1/C = \varepsilon_0 \cos \omega t$, аналогичное уравнению (8.2.1).

Решение этого уравнения $q_1 = (I_{10}/\omega) \sin(\omega t + \varphi)$, $I_{10} = \varepsilon_0/Z$, $Z^2 = (L/CR)^2 + (X_c - X_L)^2$.

Сила тока $I_2 = (I_{10}X_C/R)\sin(\omega t + \varphi)$. Мощность, потребляемая резистором $P = (\epsilon_0 X_C/Z)^2/2R$.

8.2.28. На рис. 8.2.28 обозначены положительные направления сил токов I, I_1, I_2 в цепях катушки, конденсатора и резистора. Согласно законам Кирхгофа имеем три уравнения

$$I = I_1 + I_2, \quad (1)$$

$$LdI/dt + q_1/C = \epsilon_0 \cos \omega t, \quad (2)$$

$$I_2 R = q_1/C. \quad (3)$$

Проще всего получить уравнение относительно q_1 , $I_1 = dq_1/dt$. Подставляя $dI/dt = dI_1/dt + dI_2/dt = dI_1/dt + I_1/CR$ в (2), получим

$$LdI_1/dt + LI_1/CR + q_1/C = \epsilon_0 \cos \omega t. \quad (4)$$

Решение этого уравнения ищем в виде $q_1(t) = (I_{10}/\omega)\sin(\omega t + \varphi)$, $I_1(t) = I_{10}\cos(\omega t + \varphi)$.

Сила тока $I_2(t) = q_1/CR = (I_{10}X_C/R)\sin(\omega t + \varphi)$. Подставляя $q_1(t)$, $I_1(t)$ в (4), получим

$$(X_C - X_L)I_{10}\sin(\omega t + \varphi) + (X_L X_C/R)I_{10}\cos(\omega t + \varphi) = \epsilon_0 \cos \omega t.$$

Поскольку $X_L = X_C$, то $\varphi = 0$, $I_{10} = (R/X_L X_C)\epsilon_0$. Сила тока, протекающего через резистор, $I_2(t) = (\epsilon_0/X_L)\sin \omega t = (\epsilon_0/R_0)\sin \omega t$, $R_0 = (L/C)^{1/2}$.

8.2.29. На рис. 8.2.29 а обозначены положительные направления сил токов, протекающих через резисторы, в цепи конденсатора и индуктивности: I_1, I_2, I . Из законов Кирхгофа получим уравнения

$$I_1 = I_2 + I, \quad (1)$$

$$I_1 R_1 + I_2 R_2 = \epsilon, \quad (2)$$

$$LdI/dt + q/C - I_2 R_2 = 0. \quad (3)$$

Из (1)–(2) получим

$$I_1 = (\epsilon + IR_2)/(R_1 + R_2), \quad I_2 = (\epsilon - IR_1)/(R_1 + R_2), \quad (4)$$

После подстановки I_2 в (3) находим уравнение

$$LdI/dt + q/C + Ir = V_0 R_2/(R_1 + R_2) + (\epsilon_0 r/R_1)\sin \omega t, \quad (5)$$

где $1/r = 1/R_1 + 1/R_2$.

Мы получили известный в электротехнике результат – генератор и два подключенных к нему резистора можно заменить эквивалентным генератором с ЭДС $\mathcal{E}_{\text{эф}} = \mathcal{E}(t)R_2/(R_1 + R_2)$ и внутренним сопротивлением r (см. задачу 4.4.48). Эквивалентная схема изображена на рис. 8.2.29 б. Поэтому нет необходимости заменять схему рис. 8.2.29 а двумя «эквивалентными» схемами для постоянного и переменного токов.

Производя замену переменных $q = Q + q_0$, $q_0 = CV_0R_2/(R_1 + R_2)$, находим из (5) уравнение

$$LdI/dt + Q/C + Ir = (\varepsilon_0 r/R_1) \sin \omega t. \quad (6)$$

Решением уравнения (6) для стационарного режима является функция $I(t) = (\varepsilon_0 r/ZR_1) \cos(\omega t + \varphi)$, $Z = \sqrt{r^2 + (\omega L - 1/\omega C)^2}$.

Поскольку $\omega^2 LC = 1$, то $I(t) = (\varepsilon_0/R_1) \cos \omega t$. Из (4) получаем

$$I_1(t) = V_0/(R_1 + R_2) + (\varepsilon_0/R_1) \cos \omega t, \quad I_2(t) = V_0/(R_1 + R_2).$$

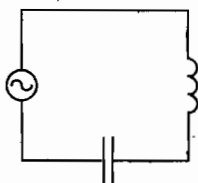


Рис. 8.2.29 б

8.3. Трансформатор

8.3.1. Из (8.3.6), (8.3.8) находим

$$I_1(t) = I_{10} \cos \omega t, \quad I_{10} = \frac{\varepsilon_0}{R}, \quad (1)$$

$$I_2(t) = I_{20} \cos(\omega t + \pi), \quad I_{20} = \frac{n_1 \varepsilon_0}{n_2 R}. \quad (2)$$

Амплитуда напряжения на нагрузке

$$V_{20} = I_{20} R_2, \quad V_{20} = \varepsilon_0 n_1 R_2 / n_2 [R_1 + (n_1/n_2)^2 R_2]. \quad (3)$$

Среднее значение мощности, потребляемой нагрузкой — резистором R_2 , равно

$$P_2 = \frac{1}{2} I_{20}^2 R_2, \quad \text{или} \quad P_2 = \frac{1}{2} \frac{\varepsilon_0^2 R_2}{(nR_1 + R_2/n)^2}, \quad (4)$$

где $n = n_2/n_1$.

Величина P_2 достигает максимального значения при $R_2 = n^2 R_1$.

Из (8.3.3) следует, что в идеальном трансформаторе ($R_1 = 0$) среднее за период значение мощности, развиваемой генератором $I_{10} \varepsilon_0 / 2$, равно мощности, потребляемой нагрузкой $I_{20}^2 R_2 / 2$:

$$I_{1\text{эф}} \varepsilon_{\text{эф}} = I_{2\text{эф}}^2 R_2. \quad (5)$$

В случае идеального первичного контура $R_1 = 0$, $R = R_2 \left(\frac{n_1}{n_2} \right)^2$. Из

(1)–(3) находим амплитуды тока и напряжения

$$I_{10} = \frac{\varepsilon_0}{R_2} \left(\frac{n_2}{n_1} \right)^2, \quad I_{20} = \frac{\varepsilon_0}{R_2} \frac{n_2}{n_1} = I_{10} \frac{n_1}{n_2}, \quad V_{20} = I_{20} R_2 = \varepsilon_0 \frac{n_2}{n_1}. \quad (6)$$

Полезно сравнить приведенное решение с другим «решением» (см. «Квант», 1981, № 8, стр. 47).

8.3.2. Низкоомная нагрузка включается через понижающий трансформатор, который преобразует малое сопротивление R_2 в сопротивление $R = R_2 \left(\frac{n_1}{n_2} \right)^2 \gg R_2$. Поскольку $n_1/n_2 = 50$, то $R = 5$ кОм.

8.3.3. В случае идеальной первичной обмотки $r_1 = 0$. При условии $X_2 \gg R_2$ амплитуды силы тока и напряжения в первичной и вторичной обмотках $I_{10} = \frac{\varepsilon_0}{R_2} \left(\frac{n_2}{n_1} \right)^2$, $I_{20} = \frac{n_1}{n_2} I_{10}$, $V_{20} = I_{20} R_2 = \varepsilon_0 \frac{n_2}{n_1}$.

8.3.4. Записывая для первичной и вторичной цепей уравнения, следующие из законов Кирхгофа, получим систему

$$L_1 dI_1/dt + I_1 r_1 = \varepsilon_0 \cos \omega t, \quad (1)$$

$$V_2(t) = -L_{12} dI_1/dt. \quad (2)$$

Из уравнений (1)–(2) находим $I_1(t) = (\varepsilon_0/Z_1) \cos(\omega t + \varphi_1)$, $\cos \varphi_1 = r_1/Z_1$, $\sin \varphi_1 = -X_{12}/Z_1$, $X_1 = \omega L_1$, $Z_1^2 = r_1^2 + X_1^2$. $V_2(t) = V_{20} \sin(\omega t + \varphi_1)$, $V_{20} = (\varepsilon_0 X_{12}/Z_1)$, $X_{12} = \omega L_{12}$. При включении ЭДС во вторичную обмотку получим $V_{10} = (\varepsilon_0 X_{12}/Z_2)$, $Z_2^2 = r_2^2 + X_2^2$, $X_2 = \omega L_2$.

Следовательно, $V_{10} = V_{20} Z_1/Z_2$. Если $r_1, r_2 \ll \omega L_2$, ωL_2 , то $V_{10} = V_{20} (L_1/L_2)$.

8.3.5. Полагая в (8.3.6) $R_2 = r + R$, получим уравнения для амплитудных значений $I_{20} = \varepsilon_0 k/(r + R)$, $V_0 = I_{20} R$, $\rightarrow R = rV/(\varepsilon k - V)$.

8.3.6. А. $V_{20} = \varepsilon_0 n_1 R/n_2 [r_1 + (n_1/n_2)^2 (r_2 + R)]$.

$$\text{Б.} \quad V_1(t) = -L_{12} dI_2/dt. \quad (1)$$

$$L_2 dI_2/dt + (r_2 + R) I_2 = \varepsilon_0 \cos \omega t, \quad (2)$$

$$V_{10} = \varepsilon_0 X/Z_2, \quad Z_2^2 = (r_2 + R)^2 + (\omega L_2)^2.$$

8.3.7. Уравнения для токов в первичной и вторичной цепях

$$(L_1 + L_{11}) \frac{dI_1}{dt} + I_1 R + \frac{q_1}{C} = \varepsilon(t) + M \frac{dI_2}{dt}, \quad (L_2 + L_{22}) \frac{dI_2}{dt} = M \frac{dI_1}{dt}.$$

8.4. Представление уравнений Кирхгофа в комплексной форме

8.4.1. Для схемы рис. 8.2.22 имеем уравнения $j = j_1 + j_2$, $\varepsilon_0 = G j_1$, $\varepsilon_0 = G j_2$, где $G_1 = -iX_C$, $G_2 = R + iX_L$. Исключая токи, получим решение $j = \varepsilon_0/G$, $1/G = 1/G_1 + 1/G_2$, $|G_1| = X_C$, $|G_2| = Z_2$.

Отсюда следует очевидный результат: сопротивления последовательно и параллельно соединенные «комплексных резисторов» вычисляются так же, как и в случае схемы с постоянными токами.

Для того, чтобы перейти к действительным переменным, пишем $I_0 \exp(i\varphi) = \varepsilon_0/G$, $\frac{1}{G} = \frac{G_1^*}{|G_1|^2} + \frac{G_2^*}{|G_2|^2} = \frac{R}{Z_2^2} - i \left(\frac{X_L}{Z_2^2} - \frac{1}{X_C} \right)$.

Отсюда найдем амплитуду и фазу: $I_0 = \varepsilon_0/Z$, $1/Z = |1/G|$; $\exp(i\varphi) = Z/G$, $\sin\varphi = \text{Re}(Z/G)$, $\cos\varphi = \text{Im}(Z/G)$.

Вычисляя реальную часть $I(t) = \text{Re}[I_0 \exp(i\omega t + i\varphi)]$, получим ответ, приведенный в задаче 8.2.22. Среднее значение мощности, потребляемое контуром $P = \langle I(t)\varepsilon(t) \rangle = \frac{\varepsilon_0}{2} \text{Re}j = \frac{\varepsilon_0^2}{2} \frac{R}{Z_2^2}$. Среднее значение мощ-

ности, потребляемой резистором $P_R = \langle I_2^2(t)R \rangle = \frac{1}{2} |j_2|^2 R = \frac{\varepsilon_0^2 R}{2Z_2^2}$.

8.4.2. Положительные направления токов между узлами обозначены на рис. 8.4.2 стрелками. Комплексные сопротивления элементов соответственно равны G_1 , G_2 и $G_3 = R$.

Используя законы Кирхгофа, получим систему уравнений

$$j_1 = j_2 + j_3, \quad (1)$$

$$j_1 G_1 + j_3 R = \varepsilon_0, \quad (2)$$

$$-j_2 G_2 + j_3 R = 0. \quad (3)$$

Подставляя j_1 из (1) и j_2 из (3) в (2), получим уравнение

$$(G_1 R / G_2 + G_1 + R) j_3 = \varepsilon_0. \quad (4)$$

Очевидно, этот результат можно получить, используя три раза закон Ома:

$$1. j_3 = U_{23} / R,$$

$$2. U_{23} = j_1 G_{23},$$

$$3. j_1 = \varepsilon_0 / G, \quad G = G_1 + G_{23}, \quad 1/G_{23} = 1/R + 1/G_2, \quad (5)$$

В результате имеем

$$j_3 = \varepsilon_0 G_{23} / [(G_1 + G_{23})R] = \varepsilon_0 \frac{1}{G_1 + R(G_1/G_2 + 1)}. \quad (6)$$

Подставляя значение $j_3 = I_{30} \exp(i\varphi)$ в (6), получим уравнение $I_{30} \exp(i\varphi) = \varepsilon_0 \frac{1}{G_1 + R(1 + G_1/G_2)}$, из которого найдем I_{30} и φ . Сила тока, протекающего через резистор $I_3(t) = \text{Re}[I_{30} \exp(i\omega t + i\varphi)]$. Среднее значение мощности, потребляемой резистором

$$P = \frac{1}{2} |j_3|^2 R = \frac{\varepsilon_0^2 R}{2} \left| \frac{1}{G_1 + R(G_1/G_2 + 1)} \right|^2. \quad (7)$$

8.4.3. Полагая в решении задачи 8.4.2 $G_1 = r$, $G_2 = iX_L$, получим силу тока, протекающего через резистор,

$$j_3 = \varepsilon_0 / [r + R - irR/X_L] = I_0 \exp(i\varphi), \quad I_0 = \frac{\varepsilon_0 X_L}{\sqrt{X_L^2 (r + R)^2 + (rR)^2}}.$$

Сила тока $I_3(t) = \text{Re}[I_0 \exp(i\omega t + i\varphi)]$. Среднее значение мощности, потребляемой лампой $P = I_0^2 R / 2$, $P = \frac{(\varepsilon_0 \omega L)^2}{2R[(\omega L)^2 (1 + r/R)^2 + r^2]}$.

Заменим катушку индуктивности одним витком — толстой медной проволокой, сопротивлением которой можно пренебречь. В случае постоянного напряжения сила тока, протекающего через лампу равна нулю: $\omega = 0$, $P = 0$. Лампа ярко светится при значениях частоты $\omega \gg r/L$, где L — индуктивность медного провода. В этом случае потребляемая мощность $P \approx \frac{\varepsilon_0^2 R}{2(r + R)^2}$.

8.4.4. Полагая в решении задачи 8.4.2 $G_1 = iX_{L1}$, $G_2 = iX_{L2}$, получим силу тока, протекающего через резистор, $[R(1 + L_1/L_2) + i\omega L_1] j_3 = \varepsilon_0$.

Сила тока $I_3(t) = \text{Re}[j_3 \exp(i\omega t)]$. Среднее значение мощности, потребляемой лампой $P = |j_3|^2 R / 2$, $P = \frac{\varepsilon_0^2 R}{2[(\omega L_1)^2 + R^2(1 + L_1/L_2)^2]}$.

Индуктивность катушки возрастает при введении сердечника в катушку. При увеличении индуктивности L_1 амплитуда напряжения на катушке L_1 возрастает, амплитуда напряжения на резисторе уменьшается, амплитуда силы тока, протекающего через лампу, убывает. Следовательно, мощность, потребляемая лампой, убывает. При

увеличении индуктивности L_2 возрастает индуктивное сопротивление катушки — амплитуда силы тока через лампу возрастает.

8.4.5. Решение 1. В комплексном представлении первый закон Кирхгофа имеет вид $j = j_1 + j_2$. Уравнения, следующие из второго закона Кирхгофа для контура, содержащего ϵ , L , R , и контура, содержащего R и C , следует записать в виде $iX_L j + R j_2 = \epsilon_0 j_2 R + iX_C j_1 = 0$.

Из этих уравнений находим $\left[iX_L + (X_C - X_L) \frac{R}{X_C} \right] j_2 = \epsilon_0$.

Поскольку $X_L = X_C$, то

$$j_2 = -\frac{i\epsilon_0}{X_L}, \quad I_2(t) = \text{Re} j_2 \exp(i\omega t) = \frac{\epsilon_0}{X_L} \sin \omega t = \frac{\epsilon_0}{R_B} \sin \omega t, \quad R_B = \sqrt{\frac{L}{C}}.$$

Решение 2. Применим несколько раз закон Ома. Комплексное сопротивление схемы $G = iX_L + G_{12}$, $1/G_{23} = 1/R + 1/(-iX_C)$, сила тока в общей части цепи $j = \epsilon_0 / (iX_L + G_{12})$, напряжение на резисторе $V = jG_{12}$, $V = \epsilon_0 G_{12} / (iX_L + G_{12})$, сила тока, протекающего через резистор $j_2 = V/R$:

$$j_2 = \frac{\epsilon_0}{(1 - X_L/X_C + iX_L/R)R}$$

8.4.6. Согласно решению 2 задачи 8.4.5 в схеме с конденсатором потребляемая мощность

$$P_R = \langle I^2(t)R \rangle = \frac{1}{2} |j_2|^2 R, \quad P_R = \frac{1}{2R} \left| \frac{\epsilon_0}{(1 - X_L/X_C + iX_L/R)} \right|^2. \quad (1)$$

Если в схеме отсутствует конденсатор, то сила тока в цепи $j = j_2 = \epsilon_0 / (iX_L + R)$. Мощность, потребляемая резистором

$$P_R = \langle I^2(t)R \rangle = \frac{1}{2} |j|^2 R, \quad P_R = \frac{1}{2R} \left| \frac{\epsilon_0}{1 + iX_L/R} \right|^2. \quad (2)$$

Из (1), (2) находим $X_L/X_C = 2: C = 2/\omega^2 L$.

Полезно сопоставить найденное здесь решение с решением методом векторных диаграмм (см. «Квант» 1991. № 5. стр. 34).

8.4.7. Сила тока в общей части цепи $j = \epsilon_0/G$, $G = G_1 + G_2$, $1/G_1 = 1/R + 1/iX_L$, $1/G_2 = 1/R + 1/(-iX_C)$. Отсюда находим

$$G = R[2X_L X_C + iR(X_L - X_C)] / [R^2 + X_L X_C + iR(X_L - X_C)].$$

Очевидно, при условии $X_L X_C = R^2$, $G = R$.

Полезно сопоставить найденное здесь решение с решением методом векторных диаграмм (см. «Квант» 1982. № 2. стр. 42, 60).

8.4.8. Два участка внешней цепи соединены последовательно. Сопротивление этих участков G_1 и G_2 :

$$1/G_1 = 1/R + 1/iX_L, \quad 1/G_2 = 1/R - 1/iX_C.$$

Общее сопротивление $G = G_1 + G_2$. Комплексная амплитуда силы тока $j = \varepsilon_0/G$. Для решения задачи найдем ImG и запишем условие

$$ImG = 0, \quad ImG = \frac{X_L R^2}{R^2 + X_L^2} - \frac{X_C R^2}{R^2 + X_C^2}.$$

8.4.9. Положительные направления токов между узлами обозначены на рис. 8.4.9 стрелками. Поскольку комплексные разности потенциалов $\phi_a - \phi_n = -iX_{\mathcal{J}2} j$, $\phi_a - \phi_m = Rj_1$, то

$$\phi_n - \phi_m = iX_{\mathcal{J}2} j + Rj_1. \quad (1)$$

Используя второй закон Кирхгофа, получим уравнения

$$-iX_{\mathcal{J}1} j + Rj_1 = \varepsilon_0, \quad (2)$$

$$-iX_{\mathcal{J}2} j + Rj_2 = \varepsilon_0, \quad (3)$$

учитывая которые находим из (1) $\phi_n - \phi_m = \varepsilon_0 \frac{R + iX_C}{R - iX_C}$. Положим

$$R = Z \cos \alpha, \quad X_C = Z \sin \alpha, \quad Z = \sqrt{R^2 + X_C^2}. \quad (4)$$

Тогда $R + iX_C = Z e^{i\alpha}$, $\phi_n - \phi_m = \varepsilon_0 e^{2i\alpha}$. Искомая разность потенциалов $\phi_n - \phi_m = Re \varepsilon_0 e^{i\omega t + 2i\alpha} = \varepsilon_0 \cos(\omega t + 2\alpha)$.

Учитывая (4), найдем $\sin 2\alpha = \frac{R^2 - X_C^2}{R^2 + X_C^2}$, $\sin 2\tilde{\alpha} = \frac{2X_C R}{R^2 + X_C^2}$. При

значении $R = 0$ получим $\alpha = \pi/2$, $\phi_n - \phi_m = -\varepsilon_0 \cos \omega t$.

8.4.10. Положительные направления токов между узлами обозначены на рис. 8.4.10 стрелками. Поскольку комплексные разности потенциалов $\phi_a - \phi_n = -iX_{\mathcal{J}2} j$, $\phi_a - \phi_m = rj_1$, то

$$\phi_n - \phi_m = iX_{\mathcal{J}2} j + rj_1. \quad (1)$$

Используя второй закон Кирхгофа, получим уравнения

$$2rj_1 = \varepsilon_0, \quad (2)$$

$$-iX_{\mathcal{J}2} j + Rj_2 = \varepsilon_0, \quad (3)$$

учитывая которые находим из (1) $\phi_n - \phi_m = \frac{\varepsilon_0}{2} \frac{R + iX_C}{R - iX_C}$. Положим

$$R = Z \cos \alpha, \quad X_C = Z \sin \alpha, \quad Z = \sqrt{R^2 + X_C^2}. \quad (4)$$

Тогда $R + iX_C = Z e^{i\alpha}$, $\phi_n - \phi_m = (\varepsilon_0/2) e^{2i\alpha}$. Искомая разность потенциалов $\phi_n - \phi_m = \operatorname{Re}(\varepsilon_0/2) e^{i\omega t + 2i\alpha} = (\varepsilon_0/2) \cos(\omega t + 2\alpha)$.

$$\text{Учитывая (4), найдем } \sin 2\alpha = \frac{R^2 - X_C^2}{R^2 + X_C^2}, \quad \cos 2\alpha = \frac{2X_C R}{R^2 + X_C^2}.$$

При значении $R = 0$ получим $\alpha = \pi/2$, $\phi_n - \phi_m = -(\varepsilon_0/2) \cos \omega t$.

8.4.11. Напряжения на каждом резисторе и конденсаторе равно $\varepsilon(t)$. Следовательно, $j_1 G_1 = \varepsilon_0$, $1/G_1 = 2/R + 1/G_C$, $G_C = -iX_C$, $j_2 G_2 = \varepsilon_0$, $1/G_2 = 1/R + 1/G_C$.

Переходя к действительным переменным, получим амплитуды силы токов $I_{10} = (\varepsilon_0/RX_C)(R^2 + 4X_C^2)^{1/2}$, $I_{20} = (\varepsilon_0/RX_C)(R^2 + X_C^2)^{1/2}$.

8.4.12. Полная индуктивность $L = L_1 + L_2 + 2M$, где L_1 и L_2 — индуктивности первой и второй частей катушки, M — взаимная индуктивность. В случае идеальной связи $M = \sqrt{L_1 L_2}$.

$$\text{Следовательно, } L_1 = L_2 = M = \frac{L}{4}.$$

Уравнения для контуров, содержащих ε , L_1 , C и L_2 , C , имеют вид

$$L_1 \frac{dI_1}{dt} + M \frac{dI_2}{dt} + \frac{q}{C} = \varepsilon(t), \quad (1)$$

$$M \frac{dI_1}{dt} + L_2 \frac{dI_2}{dt} - \frac{q}{C} = 0. \quad (2)$$

Переходя к комплексной форме, запишем уравнения, следующие из первого закона Кирхгофа и уравнений (1), (2) $j_1 = j + j_2$, $iX_L j_1 + iX_M j_2 - iX_C j = \varepsilon_0$, $iX_L j_2 + iX_M j_1 + iX_C j = 0$. Учитывая значения $X_{L1} = X_{L2} = X_M = \frac{X_L}{4}$, $X_L = \omega L$, находим $j_2 = -i\varepsilon_0 \left(\frac{1}{X_L} + \frac{1}{4X_C} \right)$.

$$\text{Следовательно, } I_2(t) = \operatorname{Re} j_2 \exp(i\omega t) = \varepsilon_0 \left(\frac{1}{\omega L} + \frac{\omega C}{4} \right) \sin \omega t.$$

8.4.13. Записывая для первичной и вторичной цепей уравнения, следующие из законов Кирхгофа, получим систему

$$L_1 \frac{dI_1}{dt} + R_1 I_1 = \varepsilon(t) - L_{12} \frac{dI_2}{dt}, \quad L_2 \frac{dI_2}{dt} + R_2 I_2 = -L_{12} \frac{dI_1}{dt},$$

которая в комплексных переменных приобретает вид

$$(R_1 + iX_1)j_1 + iX_2 j_2 = \varepsilon_0, \quad iX_1 j_1 + (R_2 + iX_2)j_2 = 0,$$

где $X = i\omega L_{12}$.

Подставляя j_2 , получаем

$$j_1[R_1 + iX_1 + X^2/(R_2 + iX_2)] = \epsilon_0, \rightarrow \\ \rightarrow j_1[R_1 + iX_1 + X^2(R_2 - iX_2)/(R_2^2 + X_2^2)] = \epsilon_0.$$

Это соотношение можно представить в виде $j_1[R_0 + iX_0] = \epsilon_0$, где $R_0 = R_1 + R_2X^2/Z_2^2$, $X_0 = X_1 - X^2X_2/Z_2^2$, $Z_2^2 = R_2^2 + X_2^2$.

Следовательно, эквивалентная схема трансформатора представляет собой последовательно соединенные резистор с активным сопротивлением R_0 и катушку индуктивности с индуктивным сопротивлением X_0 . Комплексная сила тока во вторичной обмотке $j_2 = -iX_0j_1/(R_2 + iX_2)$.

Среднее значение мощности, развиваемой генератором за период, $P = \text{Re} \epsilon_0 j_1 / 2$ равно мощности, потребляемой трансформатором в первичной и вторичной обмотках:

$$P = |j_1|^2 R_0 / 2 \text{ или } P = |j_1|^2 R_1 / 2 + |j_2|^2 R_2 / 2.$$

В наиболее известном случае идеального трансформатора $R_1, R_2 \ll R, X_2 \gg R_2 = R$. Тогда $Z_2 \approx X_2$, $X/Z_2 \approx n_1/n_2$, $R_0 \approx (n_1/n_2)^2 R$, $X_0 \approx 0$, $j_1 \approx \epsilon_0/R = (n_2/n_1)^2 \epsilon_0/R$, $j_2 \approx -(n_2/n_1) \epsilon_0/R$.

Следовательно, идеальный трансформатор, присоединенный к резистору сопротивлением R , представляет для генератора резистор с активным сопротивлением R_0 . Таким образом, входное сопротивление трансформатора можно изменять при постоянном значении сопротивления нагрузки, изменяя только отношение n_1/n_2 .

Комплексное напряжение на нагрузке $V_2 = j_2 R$, $V_2 \approx -(n_2/n_1) \epsilon_0$. В действительных переменных закон сохранения электромагнитной энергии приобретает вид $I_{10} \epsilon_0 = I_{20}^2 R$, или $I_{10} \epsilon_0 = I_{20} V_{20}$. Здесь I_{20} , V_{20} — амплитуды силы тока и напряжения.

8.4.14. В комплексных переменных имеем систему

$$j = j_1 + j_2, \quad (R_1 + iX_1)j_1 + iX_2j_2 = \epsilon_0, \quad iX_1j_1 + (R_2 + iX_2)j_2 = \epsilon_0,$$

из которой находим

$$j_1 = \epsilon_0(R_2 + iX_2 - iX)/D, \quad j_2 = \epsilon_0(R_1 + iX_1 - iX)/D;$$

$$D = R_1R_2 + i(R_1X_2 + R_2X_1).$$

Здесь учтено, что $X/X_2 = n_1/n_2$, $X/X_1 = n_2/n_1$, $X_1X_2 = X^2$. Амплитуды силы токов

$$(I_{10})^2 = \epsilon_0^2 [R_2^2 + (X_2 - X)^2] / [(R_1R_2)^2 + (R_1X_2 + R_2X_1)^2],$$

$$(I_{20})^2 = \epsilon_0^2 [R_1^2 + (X_1 - X)^2] / [(R_1R_2)^2 + (R_1X_2 + R_2X_1)^2].$$

Если $X_1, X_2 \gg R_1, R_2$, то

$$I_{10} = n_2 \varepsilon_0 (n_2 - n_1) / (R_1 n_2^2 + R_2 n_1^2),$$

$$I_{20} = n_1 \varepsilon_0 (n_1 - n_2) / (R_1 n_2^2 + R_2 n_1^2).$$

8.4.15. Записывая для первичной и вторичной цепей уравнения, следующие из законов Кирхгофа, получим систему

$$L_1 \frac{dI_1}{dt} + I_1 R = \varepsilon(t) - L_{12} \frac{dI_2}{dt}, \quad L_2 \frac{dI_2}{dt} + \frac{q_2}{C} = -L_{12} \frac{dI_1}{dt},$$

которая в комплексных переменных приобретает вид

$$(R + iX_1)j_1 + iXj_2 = \varepsilon_0, \quad iXj_1 + i(X_2 - X_C)j_2 = 0,$$

где $X = i\omega L_{12}$.

Подставляя j_2 , получаем

$$j_1 [R + iX_1 - iX^2 / (X_2 - X_C)] = \varepsilon_0, \rightarrow j_1 [R - iX_1 X_C / (X_2 - X_C)] = \varepsilon_0.$$

Амплитуда силы тока в первичной обмотке

$$I_{10} = \varepsilon_0 / Z, \quad Z = \sqrt{R^2 + [X_1 X_C / (X_2 - X_C)]^2}.$$

Сравните приведенное здесь решение с решением, приведенным в журнале «Квант» 1983. № 9. стр. 48.

8.4.16. В комплексных переменных уравнения приобретают вид $j = j_1 + j_2$, $Rj + iXj_1 + iXj_2 = \varepsilon_0$, $Rj + iXj_1 + iX_2 j_2 = \varepsilon_0$, где $X = i\omega L_{12}$. Поскольку $X_1 X_2 = X^2$, то решение $j = \varepsilon_0 / R$. Полезно рассмотреть случай обмоток с активными сопротивлениями $iX_n \rightarrow i(X_n - iR_n)$.

Глава IX. ПЕРЕМЕННЫЙ ТОК В RCL-ЦЕПЯХ

9.1. Схемы, содержащие резисторы, конденсаторы и индуктивности

9.1.1. А. Направленная кривая на рис. 9.1.1 обозначает положительное направление тока в замкнутом контуре. Согласно закону Ома имеем уравнение

$$q/C + IR = \varepsilon_0, t \geq 0. \quad (1)$$

Поскольку $q = CV_C$, $I = CdV_C/dt$, то получаем уравнение

$$\tau dV_C/dt + V_C = \varepsilon_0, \quad (2)$$

где $\tau = RC$.

Начальное условие $V_C(0) = 0$. Ищем решение в виде $V_C = \varepsilon_0 + V$. Тогда имеем уравнение $\tau dV/dt + V = 0$, решение которого $V(t) = A \exp(-t/\tau)$. Из начального условия находим $A = -\varepsilon_0$. Решением (2) является функция $V_C = \varepsilon_0 [1 - \exp(-t/\tau)]$. Напряжение на резисторе $V_R = \tau dV_C/dt$. Ток силой $I = (\varepsilon_0/R) \exp(-t/\tau)$ протекает в положительном направлении.

В таблице приведены значения V_R/ε_0 и V_C/ε_0 при значениях t кратных τ . Отметим, что $V_R(t_1) = V_C(t_1)$, $t_1 \approx 0,7\tau$.

t	0	τ	2τ	3τ	4τ	5τ
V_C/ε_0	0	0,63	0,87	0,951	0,982	0,994
V_R/ε_0	1	0,37	0,13	0,049	0,018	0,006

Очевидно, при $t \gg \tau$ имеем $V_R \rightarrow 0$, $V_C \rightarrow \varepsilon_0$. На рис. 9.1.1 б изображены графики функций $V_R(t)$ и $V_C(t)$.

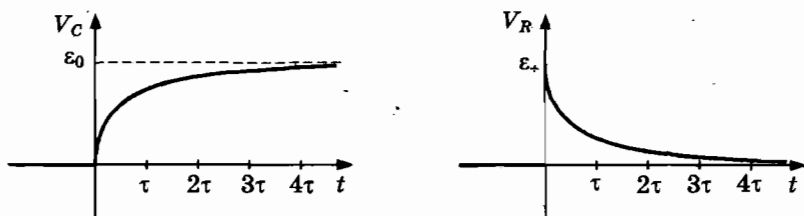


Рис. 9.1.1 б

Б. 1. Умножая обе части (1) на $I\Delta t$, получим закон изменения электромагнитной энергии $I^2 R \Delta t = \varepsilon_0 \Delta q - \Delta(q^2/2C)$. Поскольку $q(0) = 0$, то $Q = C\varepsilon_0^2/2$.

2. Мощность, потребляемая резистором, $P(t) = I^2 R$. Количество теплоты $Q = \int_0^{\infty} dt P(t)$, $Q = \frac{\varepsilon_0^2}{R} \int_0^{\infty} dt \exp(-2t/\tau) = C\varepsilon_0^2/2$.

9.1.2. Теперь имеем уравнение $\tau dV_C/dt + V_C = 0$, с начальным условием $V_C(0) = \varepsilon_0$. Следовательно, $V_C = \varepsilon_0 \exp(-t/\tau)$, $V_R = -\varepsilon_0 \exp(-t/\tau)$.

Ток силой $I = -(\varepsilon_0/R) \exp(-t/\tau)$ протекает в отрицательном направлении. Очевидно, при $t \gg \tau$ имеем $V_R \rightarrow 0$, $V_C \rightarrow 0$. На рис. 9.1.2 а изображены графики функций $V_R(t)$ и $V_C(t)$.

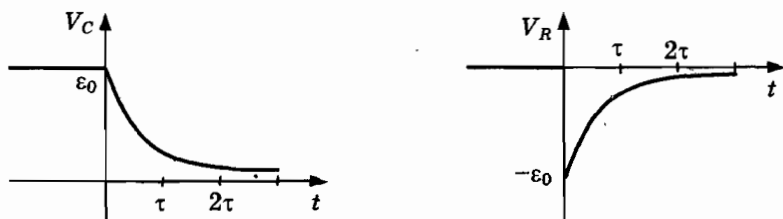


Рис. 9.1.2 а

9.1.3. Используя решение задач 9.1.1, 9.1.2, получим на отрезке $[0, T]$:

$$V_R = \varepsilon_0 \exp(-t/\tau) \approx \varepsilon_0 (1 - t/\tau), \quad 0 \leq t \leq t_0,$$

$$V_C \approx \varepsilon_0 t/\tau, \quad 0 \leq t \leq t_0,$$

$$V_R \approx -\varepsilon_0(t_0/\tau) \exp[-(t - t_0)/\tau], \quad t_0 \leq t \leq T.$$

$$V_C \approx \varepsilon_0(t_0/\tau) \exp[-(t - t_0)/\tau], \quad t_0 \leq t \leq T.$$

Напряжение на резисторе и конденсаторе повторяются с периодом, равным T (рис. 9.1.3 б, в).

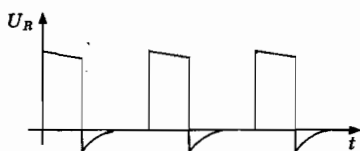


Рис. 9.1.3 б

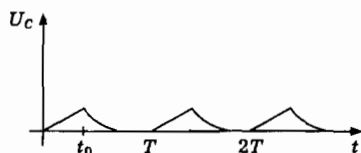


Рис. 9.1.3 в

9.1.4. Согласно закону Ома имеем уравнение

$$q/C + I(r + R) = \varepsilon, \quad t \geq 0. \quad (1)$$

Поскольку $q = CV_C$, $I = CdV_C/dt$, то получаем уравнение

$$\tau dV_C/dt + V_C = \varepsilon, \quad (2)$$

где $\tau = (r + R)C$.

Начальное условие $V_c(0) = 3\varepsilon$. Ищем решение в виде $V_c = \varepsilon + V$. Тогда имеем уравнение $\tau dV/dt + V = 0$, решение которого $V(t) = A \exp(-t/\tau)$. Из начального условия находим $A = 2\varepsilon$. Решением (2) является функция $V_c = \varepsilon[1 + 2\exp(-t/\tau)]$.

Сила тока $I(t) = -2[\varepsilon/(r + R)] \exp(-t/\tau)$, $\tau = (r + R)C$.

9.1.5. Обозначим силы токов, протекающего через батарею, резистор и в цепи конденсатора: I , I_2 , I_1 . Из законов Кирхгофа получим уравнения

$$I = I_1 + I_2, \quad (1)$$

$$Ir + I_2R = \varepsilon, \quad (2)$$

$$I_2R = q_1/C. \quad (3)$$

Из (1)–(3) получим уравнение

$$q_1/CR_0 + dq_1/dt = \varepsilon/r, \quad 1/R_0 = 1/r + 1/R. \quad (4)$$

Начальное условие $q_1(0) = 0$. После замены переменных $q_1 = Q + q_0$, $q_0 = \varepsilon CR_0/r$ из (4) следует уравнение

$$dQ/dt + Q/\tau = 0, \quad (5)$$

где $\tau = CR_0$.

Начальное условие $Q(0) = -q_0$.

Решение уравнения (4) $q_1(t) = q_0[1 - \exp(-t/\tau)]$. Силы токов

$$I_1 = (\varepsilon/r) \exp(-t/\tau), \quad I_2 = [\varepsilon/(r + R)][1 - \exp(-t/\tau)],$$

$$I = [\varepsilon R/r(r + R)] \exp(-t/\tau) + \varepsilon/(r + R).$$

9.1.6. Обозначим на рис. 9.1.6 б стрелками положительные направления токов I_1 , I и I_2 между узлами.

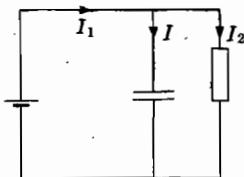


Рис. 9.1.6 б

Силы токов и разность потенциалов V на RC -цепи удовлетворяют уравнениям $I_1 = I + I_2$, $\varepsilon = I_1r + V$, $V = I_2R$, $I = CdV/dt$.

Исключая токи, получим уравнение $\tau dV/dt + V = \varepsilon R_0/r$, где $1/R_0 = 1/R + 1/r$, $\tau = CR_0$. Начальное условие $V(0) = \varepsilon$.

Перейдем к новой переменной u , полагая $V = \varepsilon R_0/r + u$. Тогда имеем уравнение $\tau du/dt + u = 0$, решение которого $u(t) = A \exp(-t/\tau)$, A — произвольная постоянная.

Следовательно, $V(t) = \varepsilon R_0/r + A \exp(-t/\tau)$. Из начального условия находим $A = \varepsilon(1 - R_0/r)$. Итак, $V(t) = \varepsilon R_0/r + \varepsilon(1 - R_0/r) \exp(-t/\tau)$.

При значениях $t \gg \tau$, напряжение на конденсаторе убывает $V(t) \rightarrow \varepsilon R/(R+r)$. Сила тока, протекающего через ЭДС

$$I_1(t) = \varepsilon[1 - \exp(-t/\tau)]/(R+r) \rightarrow \varepsilon/(R+r).$$

Сила тока в цепи конденсатора

$$I(t) = CdV/dt = -(C/\tau)\varepsilon(1 - R_0/r)\exp(-t/\tau), \text{ или}$$

$$I(t) = -(\varepsilon/R)\exp(-t/\tau) \rightarrow 0, t \gg \tau.$$

Очевидно, конденсатор разряжается. Направление тока при разряде — обратное указанному стрелкой.

$$9.1.7. V_C(t) = \varepsilon R[1 - \exp(-t/\tau)]/(R+r), \tau = CRr/(R+r).$$

9.1.8. Обозначим силы токов, протекающего через батарею, резистор и в цепи конденсатора: I, I_2, I_1 . Из законов Кирхгофа получим уравнения

$$I = I_1 + I_2, \quad (1)$$

$$I_1 R_1 = \varepsilon, \quad (2)$$

$$I_2 R + q_2/C = \varepsilon. \quad (3)$$

Поскольку $q_2 = CV_C, I_2 = CdV_C/dt$, то получаем уравнение

$$\tau dV_C/dt + V_C = \varepsilon, \quad (4)$$

где $\tau = R_2 C$. Начальное условие $V_C(0) = V_0$.

Из (4) находим $V_C = \varepsilon + (V_0 - \varepsilon) \exp(-t/\tau)$.

9.1.9. Обозначим силы токов, протекающего через батарею, резисторы и в цепи конденсатора: I, I_1, I_2, I_C . Из законов Кирхгофа получим уравнения

$$I = I_1 + I_2 + I_C, \quad (1)$$

$$I r + q/C = \varepsilon, \quad (2)$$

$$I_1 R_1 = q/C, \quad (3)$$

$$I_2 R_2 = q/C. \quad (4)$$

Поскольку $q = CV_C, I_C = CdV_C/dt$, то

$$I = V_C/R_{12} + CdV_C/dt, \quad 1/R_{12} = 1/R_1 + 1/R_2. \quad (5)$$

Подставляя (5) в (2), находим уравнение

$$Cr dV_c/dt + (r/R)V_c = \varepsilon, \quad (6)$$

где $1/R = 1/r + 1/R_{12}$. Начальное условие $V_c(0) = V_0$, $V_0 = \varepsilon R_1/(r + R_1)$.

Ищем решение в виде $V_c = R\varepsilon/r + v$. Тогда $v = A \exp(-t/\tau)$, $\tau = CR$.

$$V_c = R\varepsilon/r + (V_0 - R\varepsilon/r) \exp(-t/\tau). \quad (7)$$

Из (2), (7) находим силу тока

$$I(t) = (\varepsilon - V_c)/r, \text{ или}$$

$$I(t) = \varepsilon/(r + R_{12}) - (\varepsilon/r) [R_1/(r + R_1) - R_{12}/(r + R_{12})] \exp(-t/\tau).$$

Очевидно, $I(0) = \varepsilon/(r + R_1)$. При $t \gg \tau$ получаем $I(t) \rightarrow \varepsilon/(r + R_{12})$.

9.1.10. Запишем уравнение, следующее из закона Ома, $LdI/dt + IR = \varepsilon_0$ в виде

$$\tau dI/dt + I = \varepsilon_0/R, t \geq 0 \quad (1)$$

где $\tau = L/R$ — величина, имеющая размерность времени.

Начальное значение $I(0) = 0$.

Произведем замену $I \rightarrow i$: $I = i + \varepsilon_0/R$. Тогда получим уравнение $\tau di/dt + i = 0$, решение которого $i = A \exp(-t/\tau)$. Общее решение уравнения (1) имеет вид $I = \varepsilon_0/R + A \exp(-t/\tau)$. Учитывая начальное условие, получим значение постоянной $A = -\varepsilon_0/R$.

Следовательно, $I = (\varepsilon_0/R) [1 - \exp(-t/\tau)]$.

Напряжение на катушке $V_L = LdI/dt = \varepsilon_0 \exp(-t/\tau)$ скачком возрастает до значения ε_0 и стремится к нулю при $t \gg \tau$. На рис. 9.1.10 а изображены графики функций $V_R(t)$ и $V_L(t)$. В произвольный момент времени $V_R(t) + V_L(t) = \varepsilon_0$. Наличие катушки индуктивности замедляет нарастание силы тока. В момент включения батареи напряжение на катушке возрастает на величину ε_0 .

После включения генератора напряжение на резисторе $V_R(t) = I(t)R = \varepsilon_0 [1 - \exp(-t/\tau)]$ возрастает от значения $V_R(0) = 0$ до постоянной величины ε_0 . Например, при $t = 3\tau$ величина $V_R(3\tau)$ отличается от значения ε_0 на $0,05\varepsilon_0$; при $t = 5\tau$ — на $0,0067\varepsilon_0$.



Рис. 9.1.10 а

9.1.11. Сила тока удовлетворяет уравнению $\tau dI/dt + I = 0, t \geq 0$ с начальным условием $I(0) = \varepsilon_0/R$.

Решение этого уравнения $I(t) = (\varepsilon_0/R)\exp(-t/\tau)$. В этом случае ток течет в положительном направлении, убывая при $t \gg \tau$ до значения $I = 0$. Напряжение на катушке $V_L = LdI/dt = -\varepsilon_0\exp(-t/\tau)$. В момент времени $t = 0$ напряжение на катушке скачком изменяется на величину $\Delta V_L = -\varepsilon$ и возрастает при $t \gg \tau$ до значения равного нулю. Напряжение на резисторе $V_R(t) = I(t)R = \varepsilon_0\exp(-t/\tau)$. На рис.9.1.11 а изображены графики функций $V_R(t)$ и $V_L(t)$.

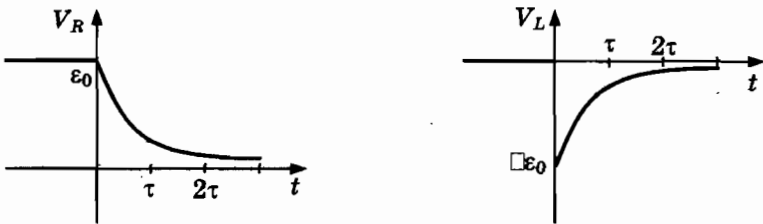


Рис. 9.1.11 а

9.1.13. А. Условие непрерывности токов приводит к уравнению

$$I = I_1 + I_2 \quad (1)$$

Далее для контура, содержащего батарею и резистор, имеем уравнение

$$Ir + I_1R = \varepsilon, \quad (2)$$

а для контура, содержащего резистор и катушку

$$I_1R - LdI_2/dt = 0. \quad (3)$$

Исключая I, I_1 из (3), получим уравнение

$$\tau dI_2/dt + I_2 = \varepsilon/r, \quad (4)$$

где $\tau = L/R_0, 1/R_0 = 1/R + 1/r$.

Получим теперь решение уравнения (4): $I_2 = (\varepsilon_0/r)[1 - \exp(-t/\tau)]$. Далее из (3) находим $I_1 = (L/r)dI_2/dt = [\varepsilon_0/(R + r)]\exp(-t/\tau)$. Напряжение на индуктивности и резисторе $V_L = V_R = I_1R \rightarrow 0$ при $t \gg \tau$.

Б. Уравнение (3) можно представить в виде $\Delta q_1R = L\Delta I_2$. При $t \gg \tau$, силы токов стремятся к значениям $I_2 \rightarrow \varepsilon/r, I_1 \rightarrow 0$. Поскольку $I_2(0) = 0$, то через ключ протечет заряд $q_1 = L\varepsilon/(rR)$.

9.1.14. Поскольку $I(t) = 0$ при $t \geq 0$, то ток течет в замкнутом контуре, содержащем резистор и катушку. Имеем систему $I_1 + I_2 = 0$,

$I_1 R - L dI_2/dt = 0$, из которой получим уравнение $L dI_2/dt + RI_2 = 0$ с начальным условием $I_2(0) = \varepsilon/r$. Решение последнего уравнения $I_2 = (\varepsilon/r) \exp(-t/\tau_0)$, где $\tau_0 = L/R$. Напряжение на катушке индуктивности $V_L(t) = L dI_2/dt = -(\varepsilon R/r) \exp(-t/\tau_0)$.

В момент времени $t = 0$ напряжение на катушке скачком уменьшается от значения равного нулю до величины

$$V_L(0) = I_1(0)R = -I_2(0)R = -\varepsilon R/r, \quad V_L(0) = -400 \text{ В.}$$

Следовательно, искомая разность потенциалов $\phi_b - \phi_a = V_L(0) = -400 \text{ В}$.

9.1.15. Действительно, если ключ разомкнут, то $\phi_a - \phi_b + \phi_b - \phi_c = \varepsilon$. Следовательно, при $t = 0$ имеем $\phi_a - \phi_b = \varepsilon + \varepsilon R/r$. При большем значении ЭДС может произойти пробой. Для того, чтобы избежать пробоя к точкам a и b присоединяют диод. Он открывается при возбуждении ЭДС самоиндукции и шунтирует катушку.

9.1.16. После размыкания ключа сила тока в контуре уменьшается и при $t \gg L/R$ обращается в нуль. Количество теплоты, выделившейся в резисторе $Q = LI_2^2(0)/2$, или $Q = L(\varepsilon/r)^2/2$, $Q = 0,8 \text{ Дж}$.

9.1.17. Из уравнения, следующего из законов Кирхгофа, получим $I_2 R_2 + L_2 dI_2/dt - L_3 dI_3/dt = 0$.

$$\text{Отсюда находим } R_2 \Delta q_2 + L_2 \Delta I_2 - L_3 \Delta I_3 = 0.$$

$$\text{Поскольку } \Delta I_2 \rightarrow 0, \Delta I_3 \rightarrow \varepsilon/(r + R_1), \text{ то } q_2 = \varepsilon L_3/[R_2(r + R_1)].$$

9.1.18. Силы токов обозначены на рис. 9.1.18 б.

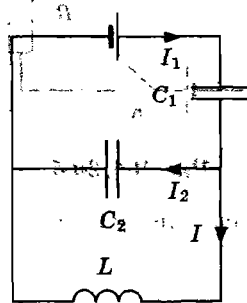


Рис. 9.1.18 б

Из законов Кирхгофа следуют уравнения

$$I_1 = I + I_2, \quad (1)$$

$$q_1/C_1 + q_2/C_2 = \varepsilon, \quad (2)$$

$$q_2/C_2 = L dI/dt. \quad (3)$$

Подставляя I, q_1 в (3), получим уравнение

$$L(1 + C_1/C_2)dq_2/dt + q_2/C_2 = 0, \text{ или } d^2q_2/dt^2 + \omega^2q_2 = 0, \quad (4)$$

где $\omega^2 = 1/[L(C_1 + C_2)]$.

Начальное условие $q_2(0) = C\varepsilon, C = C_1C_2/(C_1 + C_2), I(0) = 0$. Решением (4), удовлетворяющим начальным условиям, является функция

$$q_2(t) = C\varepsilon\cos\omega t. \quad (5)$$

Из (2), (5): найдем $q_1(t) = C_1\varepsilon(1 - C/C_2\cos\omega t), I(t) = C_1\varepsilon\omega\sin\omega t$.

9.1.19. Из закона Ома следует уравнение $L_1dI_1/dt = L_2dI_2/dt$, из которого находим $L_1I_1 - L_2I_2 = L_1I_0$.

Сила тока, протекающего через батарею $I = \varepsilon/R$. Из условия непрерывности токов получаем еще одно уравнение $I = I_1 + I_2$.

9.1.20. Обозначим силы токов, протекающих через катушку и резисторы: I, I_1, I_2 (рис. 9.1.20 б).

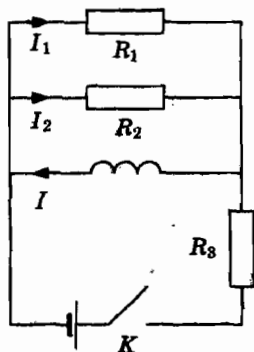


Рис. 9.1.20 б

Из законов Кирхгофа получим уравнения

$$I = I_1 + I_2, \quad (1)$$

$$LdI/dt + I_1R_1 = 0, \quad (2)$$

$$LdI/dt + I_2R_2 = 0, \quad (3)$$

с начальным условием $I(0) = \varepsilon/R_3$.

Решение 1. Из уравнений (1)–(3) следует уравнение $\tau dI/dt + I = 0$, $\tau = L/R, 1/R = 1/R_1 + 1/R_2$, решение которого $I(t) = I_0\exp(-t/\tau)$. Силы токов найдем из уравнений (2), (3):

$$I_1 = (R/R_1)I_0\exp(-t/\tau), \quad I_2 = (R/R_2)I_0\exp(-t/\tau).$$

Количество теплоты, выделившееся в резисторах,

$$Q_n = \int_0^{\infty} dt I_n^2 R_n, \quad Q_n = (LI_0^2/2)R/R_n, \quad n = 1, 2.$$

Решение 2. Умножим уравнение (2) на I_1 , уравнение (3) на I_2 и сложим полученные соотношения. В результате получаем

$$I_1^2 R_1 + I_2^2 R_2 + (L/2)dI^2/dt = 0 \text{ или } \delta Q_1 + \delta Q_2 + \Delta(LI^2/2) = 0.$$

Отсюда получаем уравнение $Q_1 + Q_2 = LI_0^2/2$. С другой стороны $\delta Q_1 = (V^2/R_1)\Delta t$, $\delta Q_2 = (V^2/R_2)\Delta t$, где V — напряжение на резисторах. Следовательно, $R_1 Q_1 = R_2 Q_2$.

9.1.21. Положительные направления и силы токов обозначены на рис. 9.1.21 б. Из законов Кирхгофа получаем уравнения $I_2 = I_L + I$, $I_3 = I_1 + I$, $LdI_L/dt + I_L r - I_3 r = 0$, $I_1 R = I_2 R$, с начальным условием $I_L(0) = 0$. Отсюда получаем уравнения $I_3 - I_L = 2I$, $LdI_L/dt = 2Ir$ или $L\Delta I_L = 2r\Delta q$.

В установившемся режиме при $t \gg 2L(2r + R)/r(r + R)$ сила тока $I_L = 2\varepsilon/(r + R)$.

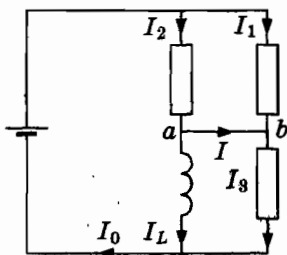


Рис. 9.1.21 б

9.1.22. Из законов Кирхгофа следуют уравнения

$$I_1 = I_2 + I_3, \quad (1)$$

$$I_1 R + I_3 r = \varepsilon, \quad (2)$$

$$LdI_2/dt + I_2 R - I_3 r = 0, \quad (3)$$

с начальным условием $I_2(0) = \varepsilon/2R$. Подставляя

$$I_3 = (\varepsilon - I_2 R)/(r + R) \quad (4)$$

в (3), получаем уравнение $LdI_2/dt + [R(R + 2r)/(R + r)]I_2 = r\varepsilon/(R + r)$, решение которого

$$I_2(t) = [\varepsilon/2(R + 2r)][2rR + \exp(-t/\tau)], \quad \tau = L(R + r)/r(R + 2r). \quad (5)$$

Из (3) находим

$$I_3(t) = \frac{\varepsilon}{R+2r} \left[1 - \frac{R}{2(R+r)} \exp(-t/\tau) \right]. \quad (6)$$

Из (6) следует, что $I_3(0) = \varepsilon/2(R+r)$. Напряжение на вольтметре $V(t) = I_3 r$.

Замечание: можно рассмотреть переход от схемы на рис. 9.1.22 а к схеме на рис. 9.1.22 б как переключение батареи с параметрами $\varepsilon_1 = \varepsilon$, $r_1 = r$ к батарее с параметрами $\varepsilon_2 = \varepsilon r/(R+r)$, $r_2 = rR/(R+r)$ (см. задачу 4.4.48).

9.2. Электромеханика

9.2.1. Пусть q — заряд верхней пластины в момент времени t . Используя закон Гаусса получим напряженность поля $\vec{E} = (0, 0, G)$ во внешнем пространстве конденсатора и $\vec{E} = (0, 0, G - q/\varepsilon_0 S)$ — внутри конденсатора.

Пусть до внесения конденсатора во внешнее поле энергия поля имела значение U_0 . После внесения конденсатора энергия поля

$$U = U_0 - \frac{1}{2} \varepsilon_0 G^2 S z + \frac{1}{2} \varepsilon_0 \left(G - \frac{q}{\varepsilon_0 S} \right)^2 S z = U_0 - G q z + \frac{q^2}{2 \varepsilon_0 S} z,$$

$$\text{или } U = U_0 + q^2/2C(z) + q\varphi_{ex}(z), \text{ где } C(z) = \varepsilon_0 S/z.$$

Функция $W_e(z) = q^2/2C(z) + q\varphi_{ex}(z)$ представляет собой потенциальную энергию взаимодействия пластины с электрическим полем:

$$W_e(z) = q^2 z / (2 \varepsilon_0 S) - q G z.$$

$$z \text{ — компонента силы } f_z = -\frac{dW_e}{dz}, \quad f_z = -\frac{q^2}{2 \varepsilon_0 S} + q G.$$

Отметим, что полную силу f_z можно представить в виде суммы сил, действующих на внутреннюю и внешнюю поверхности верхней пластины со стороны электрического поля:

$$f_z = -\varepsilon_0 [G - q/(\varepsilon_0 S)]^2 S/2 + \varepsilon_0 G^2 S/2.$$

9.2.2. Потенциальная энергия верхней пластины

$$W(q, z) = q^2 z / (2 \varepsilon_0 S) - q G z + m g z.$$

Сила, действующая на пластину,

$$F_z = -dW/dz, \quad F_z(z) = -q^2/(2 \varepsilon_0 S) + q G - m g.$$

Поскольку сумма сил равна нулю, то

$$-\frac{q^2}{2\epsilon_0 S} + qG - mg + N = 0. \quad (1)$$

Разность потенциалов между пластинами конденсатора

$$\left(\frac{q}{\epsilon_0 S} - G \right) h = V. \quad (2)$$

Из уравнений (1), (2) находим

$$q = q_0, \quad q_0 = \epsilon_0 S(V/h + G), \quad N = (\epsilon_0 S/2)[(V/h)^2 - G^2] + mg.$$

9.2.3. На рис. 9.2.1 положительное направление тока обозначено стрелкой. Тогда координата пластины определяется решением системы уравнений

$$m \frac{dv_z}{dt} = -\frac{q^2}{2\epsilon_0 S} + qG - \bar{m}g + T, \quad (3)$$

$$IR + \left(\frac{q}{\epsilon_0 S} - G \right) z = V, \quad (4)$$

где $I = dq/dt$.

Решение этой системы можно найти приближенными методами или численным расчетом на компьютере.

Теперь получим закон изменения полной энергии. С этой целью умножим (3), (4) соответственно на v_z , I и сложим полученные уравнения. Поскольку $qv + Iz = d(qz)/dt$, $q^2 v/2 + qIz = d(q^2 z/2)/dt$, то в результате находим $dU/dt = T v_z + IV - I^2 R$, $U = mv_z^2/2 + W(z)$.

Здесь U — полная энергия системы.

9.2.4. Пусть внутренние пластины конденсаторов имеют положительные значения зарядов, φ_0 — потенциал точки O .

Из закона сохранения изолированной части схемы следует уравнение $2C(\varphi_0 - \varphi) + C(\varphi_0 - \varphi_c) = Q$, из которого находим

$$\varphi_0 = \frac{2\varphi}{3} + \frac{\varphi_c}{3} + \frac{Q}{3C}, \quad q_1 = q_2 = q,$$

$$q = \frac{Q}{3} - \frac{1}{3} CV, \quad q_3 = \frac{Q}{3} + \frac{2}{3} CV.$$

Полагая $Q = -2CV$, получим $q = -CV$, $q_3 = 0$. Величина силы, действующей на внутренние пластины конденсаторов C_1 и C_2 равна

$q^2/(2\epsilon_0 S) = C^2 V^2/(2\epsilon_0 S)$. Следовательно, в случае симметричной схемы подвес может удерживать три пластины массой $m = C^2 V^2/(2\epsilon_0 Sg)$.

Согласно теореме, доказанной английским математиком С. Иршоу (S. Earnshaw), равновесие системы неподвижных зарядов не может быть устойчивым.

9.2.5. Во внешнем поле на правой и левой гранях пластины индуцируются поверхностные заряды $\sigma_{2,1}$. Найдем силу, действующую на пластину со стороны электрического поля.

Используя решение задачи 4.2.9, получим поверхностную плотность зарядов $\sigma_{2,1} = \sigma_0 \pm \epsilon_0 G_{2,1}$, $\sigma_0 = Q/2S$, $G_{2,1} = G(z_c \pm h/2)$ и напряженность поля в окрестности пластины: у левой грани $E_1(z_1) = G_1 - \sigma_0/\epsilon_0$, у правой грани $E_2(z_2) = G_2 + \sigma_0/\epsilon_0$. z -компонента полной силы, действующей на пластину со стороны поля,

$$\begin{aligned} F_z &= (\sigma_1/2)S(G_1 - \sigma_0/\epsilon_0) + (\sigma_2/2)S(G_2 + \sigma_0/\epsilon_0) = \\ &= \sigma_0 S(G_1 + G_2) + \epsilon_0 S(G_2^2 - G_1^2)/2, \end{aligned}$$

где $S = a^2$ — площадь поперечного сечения пластины.

Поскольку $|dG/dz| h \ll G(z_c)$, то $G_{2,1} = G(z_c) \pm (h/2)dG/dz + \dots$

Следовательно, F_z принимает вид $F_z(z_c) \approx QG(z_c) + \epsilon_0 V G dG/dz_c$, где $V = hS$ — объем пластины. Пластина приобретает индуцированный дипольный момент $p = \epsilon_0 G(z_c)V$.

Потенциальная энергия взаимодействия пластины с электрическим полем $W(z_c) = -\epsilon_0 G^2 V/2 + Q\phi_{ext}$, где $\phi_{ext}(z_c)$ — потенциал внешнего поля, связанный с напряженностью поля соотношением $G = -d\phi_{ext}/dz$.

Если $G(z)$ — убывающая функция z , то $dG/dz < 0$. В этом случае положение равновесия пластины $z_c = z_{eq}$ найдем из условия $F_z(z_c) = 0$.

9.2.6. Из второго закона Ньютона должно следовать уравнение

$$m \frac{dv}{dt} = F_z. \quad (1)$$

Индуктивность $L = L(x)$ и сопротивление $R(x)$ системы являются функциями координаты x . Из закона Ома получим уравнение

$$IR = \epsilon_0 - \frac{d}{dt}(LI), \quad (2)$$

Умножим уравнение (1) на v , уравнение (2) — на I и сложим полученные выражения. В результате имеем

$$\frac{d}{dt} \left(\frac{mv^2}{2} \right) + I \frac{d}{dt}(LI) = F_z v + I \epsilon_0 - I^2 R. \quad (3)$$

Однако закон сохранения энергии должен иметь вид

$$\frac{d}{dt} \left(\frac{mv^2}{2} + \frac{L(x)I^2}{2} \right) = I\varepsilon_0 - I^2 R. \quad (4)$$

Поскольку $I \frac{dLI}{dt} - \frac{1}{2} \frac{dLI^2}{dt} = \frac{I^2}{2} \frac{dL}{dt}$, $\frac{dL}{dt} = \frac{dL}{dx} v$, то сопоставляя (3)

и (4) приходим к выводу, что $F_x = \frac{I^2}{2} \frac{dL}{dx}$, или $F_x = \frac{dU_m}{dx}$, $U_m = \frac{1}{2} L(x)I^2$,

где U_m — энергия магнитного поля контура. Следовательно, уравнение

(1) приобретает вид $m \frac{dv}{dt} = \left(\frac{I^2}{2} \right) \frac{dL}{dx}$.

Таким образом, собственное магнитное поле стремиться увеличить размеры контура. Рассматриваемая система — так называемый *рельстрон* — хорошо известна уже десятки лет. В последние десятилетия были предприняты попытки разогнать перемычку — кусок металла — до космической скорости и использовать в качестве оружия.

Пусть ρ — объемная плотность энергии магнитного поля системы. Тогда $dU_m/dx = \rho S$, где S — площадь бокового сечения перемычки. Подставляя в (1) $m = \rho S d$, получим ускорение $a = \rho/pd$.

Положим $\rho d = 10^2$ кг/м². Значению $B = 10$ Тл соответствует давление $p = B^2/2\mu_0 = 4 \cdot 10^7$ Па и ускорение $a = 4 \cdot 10^5$ м/с². Перемычка достигает скорости $v = 10$ км/с на длине $s = 125$ м. Время разгона $\sim 2,5 \cdot 10^{-2}$ с. Перемычка массой $m = 2$ кг приобретает энергию 100 МДж.

9.2.7. На основе приближенного выражения энергии соленоида можно вычислить силы, действующие на соленоид и найти условия, при которых не происходит его разрушения. Энергия магнитного поля соленоида $U_m = LI^2/2$. Индуктивность $L = \mu_0 N^2 S/l$, $l = z_2 - z_1$, где z_1 , z_2 — координаты первого и последнего витков. z — компонента осевой силы, действующей на первый виток $F_{1z} = dU_m/dz_1$, $F_{1z} = \mu_0 N^2 I^2 S/2l^2$, S — площадь поперечного сечения соленоида. Очевидно $F_{1z} = -F_{2z}$. Следовательно, возникают силы, сжимающие соленоид. Действительно, этот эффект обусловлен притяжением витков с коллинеарными токами.

Поскольку индукция поля соленоида $B = \mu_0 IN/l$, то F_{1z} можно представить в виде $F_{1z} = \rho S$, где $\rho = B^2/2\mu_0$ — давление, создаваемое магнитным полем. Напряжение, в поперечном сечении соленоида, перпендикулярном оси z : $\sigma_z = \rho S/S_{cs}$, $S_{cs} = 2\pi ad$ — площадь сечения обмотки, d — диаметр провода. Следовательно, $\sigma_z = \rho a/2d$.

В продольном сечении, проходящем через ось z , действуют силы, растягивающие соленоид. Найдем напряжение в продольном сечении соленоида $\sigma_{\text{сп}} = T/S_{\text{сп}}$, где T — величина силы упругости, распределенная по поверхности сечения площадью $S_{\text{сп}} = ld$. Вычисляя величину $T = pla$, получим $\sigma_{\text{сп}} = pa/d = 2\sigma_z$.

9.2.8. Введем систему координат xyz : скорость проводника $\vec{v} = (v, 0, 0)$, единичный вектор $\vec{n} = (0, 0, 1)$ задает положительное направление на контуре.

Поток магнитной индукции через поверхность, ограниченную контуром, $\Phi(t) = kx(t)$,

$$k = (\mu_0 I_0 / 2\pi) \int_a^h ds / (a + s) = (\mu_0 I_0 / 2\pi) \ln[(a + h) / 2a].$$

Из (9.2.3) найдем x -компоненту силы, действующей на проводник $F_x = kI$. Из второго закона Ньютона и закона Ома получим уравнения $mdv/dt = kI$, $IR = -kv$.

Исключая I , находим $dv/dt = -(k^2/mR)v$, или $dv/dx = -(k^2/mR)$.

Отсюда получим $v(x) = v_0 - (k^2/mR)x$. Координата точки остановки $x_s = v_0 mR/k^2$.

9.2.9. Обозначим x -координату центра масс проводника. Положительное направление на контуре $OPKC$ изображено стрелкой на рис. 9.2.9.

Ток в длинном проводе создает в полуплоскости $x > 0$, магнитное поле индукцией $\vec{B} = (0, 0, B)$, $B(x) = \frac{\mu_0 J_0}{2\pi(s+x)}$.

Сила Ампера, действующая на проводник и приращение магнитного потока $F_x = \frac{\mu_0 I_0 I h}{2\pi(s+x)}$, $\Delta\Phi = \frac{\mu_0 I_0 h}{2\pi(s+x)} \Delta x$.

Из второго закона Ньютона и закона Ома получим уравнения

$$m \frac{dv}{dt} = \frac{\mu_0 I_0 I h}{2\pi(s+x)}, \quad (1)$$

$$IR = -\frac{\mu_0 I_0 h}{2\pi(s+x)} v. \quad (2)$$

Исключая I из (1), получим уравнение

$$\frac{dv}{dt} = -\frac{us}{(s+x)^2} v, \quad u = \frac{1}{mRs} \left(\frac{\mu_0 J_0 h}{2\pi} \right)^2. \quad (3)$$

Переходя к переменной $v = v(x)$, находим уравнение

$$\frac{dv}{dx} = -\frac{us}{(s+x)^2}. \quad (4)$$

Решение уравнения (4) $v(x) = v_0 - \frac{ux}{s+x}$.

Рассмотрим три случая.

А. Пусть $v_0 > u$. Тогда при $x \gg s$ получим предельное значение скорости проводника $v(x) \rightarrow v_0 - u$, и силы тока $I \rightarrow 0$.

В. Если $v_0 = u$, то $x(t) = \sqrt{s^2 + 2sut} - s$. Скорость $v(t) = us / \sqrt{s^2 + 2sut}$.

С. Если $v_0 < u$, то проводник остановится, на расстоянии $x_c = sv_0 / (u - v_0)$ от начала координат.

9.2.10. Запишем уравнение движения кольца массой m радиусом a исходя из закона изменения кинетической энергии $dK/dt = P$, где P — мощность, развиваемая внешними силами.

Элементарная масса Δm кольца с зарядом Δq находящаяся на расстоянии a от оси движется по окружности со скоростью $v = a\omega$.

Поэтому кинетическая энергия кольца $K = \frac{ma^2\omega^2}{2}$. Сила, действующая на элементарный заряд $\Delta q = q\Delta\phi/2\pi$ в вихревом электрическом поле, направлена по касательной к окружности. Проекция силы на касательную равна $\Delta F_t = \Delta qE$.

Мощность, развиваемая силой $\Delta P = \Delta qEv = \Delta qEa\omega$. Подставляя значение E , полученное в задаче 6.1.7, находим $\Delta P = -\frac{q}{4\pi}a^2\omega\frac{dB}{dt}\Delta\phi$.

Суммируя по всем элементарным зарядам, получим значение $P = -\frac{qa^2}{2}\omega\frac{dB}{dt}$. Поскольку $\frac{dK}{dt} = ma^2\omega\frac{d\omega}{dt}$, то имеем уравнение $ma^2\frac{d\omega}{dt} = -\frac{qa^2}{2}\frac{dB}{dt}$ или $\frac{d\omega}{dt} = -\frac{q}{2m}\frac{dB}{dt}$. Пусть $\omega(0) = 0$.

Тогда $\omega(t) = \frac{q}{2m} [B_0 - B(t)]$. Если $B(t) = 0$, то после выключения поля диск вращается с постоянной угловой скоростью.

9.2.11. При движении кольца возникает ЭДС индукции — по кольцу протекает ток силой I . Положительное направление тока указано стрелкой на рис. 9.2.11. На каждый элемент кольца $d\ell$ действует сила $\Delta F_t = -IBd\ell$ и радиальная сила, приводящая к деформации коль-

да z — компонента полной силы, действующей на кольцо $F_z = -2\pi aIB_r$, где B_r — радиальная компонента вектора индукции.

Свяжем теперь B_r с z -компонентой вектора магнитной индукции. С этой целью применим закон Гаусса (5.2.5) к цилиндру радиусом r , расположенному между плоскостями z и $z + \Delta z$. Поток магнитной индукции через боковую поверхность равен $2\pi r\Delta z B_r$, а поток через верхнюю и нижнюю плоскости равен $\pi r^2 [B_z(z + \Delta z) - B_z(z)]$. Согласно закону Гаусса имеем $B_r = -\frac{r}{2} \frac{dB_z}{dz}$. Следовательно, $F_z = ISdb/dz$, где

$S = \pi a^2$ — площадь кольца.

Отметим, что компонента F_z в соответствие с (9.2.3) быть представлена в виде $F_z = Id\Phi/dz$, где $\Phi = bS$ — поток магнитной индукции через плоскость, ограниченную кольцом.

Из второго закона Ньютона следует уравнение

$$mdv_z/dt = ISdb_z/dz - mg. \quad (1)$$

При вычислении ЭДС индукции необходимо учесть, что координата центра кольца — функция времени: $db_z/dt = (db_z/dz)v_z$. Тогда ЭДС, индуцируемая в кольце $\epsilon = -S(db_z/dz)v_z$. Из закона Ома следует еще одно уравнение

$$IR = -S(db_z/dz)v_z. \quad (2)$$

Подставляя I из (2) в (1), получим уравнение

$$mdv_z/dt = -(1/R)(Sdb_z/dz)^2 v_z - mg, \quad (3)$$

решение которого позволит найти функцию $z(t)$.

Отметим, что при $v_z > 0$ компонента силы Ампера $F_z < 0$ — кольцо притягивается к соленоиду; при $v_z < 0$ компонента силы Ампера $F_z > 0$.

Из уравнений (1), (2) следует закон изменения полной энергии $dE/dt = -I^2 R$, $E = mv_z^2/2 + mgz$.

9.2.12. Подставляя E в (9.2.4), получим потенциальную энергию частицы $W(r) = -\alpha VE^2/2$, $W(r) = -K/2r^2$, где $K = \alpha VU^2$.

На частицу действуют сила тяжести и согласно (9.2.5) сила величиной K/r^3 , направленная к оси z . Поскольку $v_z(0) = 0$, то частица движется в плоскости, перпендикулярной оси z . Из закона сохранения полной энергии следует уравнение

$$(m/2)(v_r^2 + v_t^2) + W(r) = E_0, \quad (1)$$

где v_r , v_t — радиальная и тангенциальная компоненты скорости.

Вследствие сохранения проекции момента импульса частицы на ось z получим уравнение $mr\dot{\nu}_t = L$.

Из (1), (2) следует закон сохранения полной энергии «поперечного» движения в плоскости xy :

$$(m/2)v_r^2 + W_{\text{эф}}(r) = E_0, \quad W_{\text{эф}}(r) = (L^2/m - K)/2r^2.$$

Границы области движения определяются неравенством $E_0 \geq W_{\text{эф}}(r)$. Если $\beta = L^2/mK > 1$, $E_0 > 0$, то область движения ограничена кольцом $r_1 \leq r \leq b$, $r_1 = [K(\beta - 1)/2E_0]^{1/2}$.

В случае $\beta < 1$ область движения при значениях полной энергии $E_0 < 0$ ограничена кольцом $a \leq r \leq r_2$, $r_2 = [K(1 - \beta)/2E_0]^{1/2}$, $r_2 \leq b$.

9.2.13. Согласно (9.2.4) потенциальная энергия взаимодействия частицы с внешним полем $W(x, y, z) = -\gamma(x^2 + y^2)/2$, $\gamma = 4\alpha VU_0^2/R^4$.

Уравнения движения имеют вид

$$d^2x/dt^2 - k^2x = 0, \quad d^2y/dt^2 - k^2y = -g, \quad d^2z/dt^2 = 0,$$

где m — масса сферы, $k^2 = \gamma/m$.

Решение уравнений имеют вид

$$x(t) = x_0 \text{ch}kt, \quad y(t) = g/k^2 + (y_0 - g/k^2) \text{ch}kt, \quad z(t) = 0.$$

Здесь $\text{ch}kt$ — гиперболический косинус:

$$\text{ch}kt = [\exp(kt) + \exp(-kt)]/2.$$

В некоторый момент времени частица достигает одной из поверхностей. Эта система электродов, предложенная немецким физиком В. Паулем при напряжении $U(t) = U_0 + U_1 \cos \omega t$ позволила создать масс-спектрометр ионов высокого разрешения (Нобелевская премия, 1989 г.).

Глава X. ЭЛЕКТРОМАГНИТНЫЕ ВОЛНЫ

10.1. Электромагнитные волны.

Радиосвязь и телевидение

10.1.1. Бегущей *электромагнитной волной* называется процесс распространения электромагнитного поля в пространстве. Скорость распространения волны в вакууме равна скорости света $c = 3 \cdot 10^8$ м/с.

10.1.2. Плоская монохроматическая электромагнитная волна в неограниченном пространстве представляет собой процесс распространения поля, для которого векторы \vec{E} и $c\vec{B}$ ($|\vec{E}| = |c\vec{B}|$ в любой момент времени) перпендикулярны друг другу и направлению распространения волны, заданным единичным вектором \vec{n} . Положение проекций векторов \vec{E} и $c\vec{B}$ на плоскости Q , перпендикулярной вектору \vec{n} , определяется специфической для электромагнитного поля характеристикой — *поляризацией*. Волна называется *эллиптически поляризованной*, если концы проекций векторов \vec{E} и $c\vec{B}$ на плоскость Q вращаются по эллипсу. При движении концов векторов по окружности волна называется *циркулярно-поляризованной*. В случае *линейно-поляризованной* волны проекции векторов \vec{E} и $c\vec{B}$ принадлежат двум взаимно перпендикулярным прямым.

10.1.3. *Радиодиапазон* лежит в области от 100 кГц до 30 ГГц. Видимый свет занимает область частот от $4,3 \cdot 10^{14}$ Гц до $7,7 \cdot 10^{14}$ Гц.

10.1.4. Падающая и отраженная волны распространяются в направлении единичных векторов \vec{n}_1 , $\vec{n}_2 = \vec{n}_1 - 2\vec{n}(\vec{n}_1, \vec{n})$, $\vec{n}_1, \vec{n} = -\cos\theta$. Ориентацию пластинки зададим единичным вектором \vec{n} . Через элементарную площадку поперечного сечения, перпендикулярного направлению распространения волны S за интервал времени Δt падающая волна переносит импульс $(J/c)\vec{n}_1 S \Delta t$, отраженная волна — $(J/c)(1 - \alpha)\vec{n}_2 S \Delta t$. Приращение импульса волны при отражении от пластинки

$$\Delta \vec{P} = (J/c)[(1 - \alpha)\vec{n}_2 - \vec{n}_1] S \Delta t \equiv \vec{F} \Delta t,$$

$f = \vec{F}\vec{n}$ — перпендикулярная к площадке компонента силы, $f = (J/c)(2 - \alpha)\cos\theta S$. Давление, создаваемое волной при отражении $p = f/S_0$, $S_0 = S/\cos\theta$, $p = (J/c)(2 - \alpha)\cos^2\theta$.

10.1.5. На участках траектории, освещаемой солнечными лучами, сила светового давления может периодически подгонять или, наоборот, тормозить спутник. Через 5 месяцев орбита превратилась в эллиптическую с перигеем на высоте около 900 км и, апогеем — 2 200 км, за следующие 5–6 месяцев орбита возвратилась к почти круговой форме и снова начала вытягиваться в эллипс с меньшим перигеем. Спутник вошел в атмосферу в мае 1968 г.

10.1.6. Амплитуда напряженности электрического поля $E = a/r$ на расстоянии r от диполя $E = \frac{1}{r} \sqrt{3RP/4\pi}$ или E (В/м) = $\frac{3}{r(\text{м})} \sqrt{10P(\text{Вт})}$.

10.1.7. Найдем амплитуду E_0 напряженности электрического поля волны в окрестности цели $E_x = E_0 \cos(\omega t - \omega z/c)$. Мощность изотропного излучателя $P = c\epsilon_0 \langle E_x^2 \rangle 4\pi r^2$. Учитывая, что $c\epsilon_0 = (\epsilon_0/\mu_0)^{1/2} = 1/R$, $R = 377$ Ом, находим $E_0^2 = PR/(2\pi r^2)$.

В нерелятивистском приближении на электрон действует сила $f_x = -e_0 E_0 \cos \omega t$. Из второго закона Ньютона $m dv/dt = -e_0 E_0 \cos \omega t$ получаем $v(t) = -(e_0 E_0/m\omega) \sin \omega t$, $x(t) = (e_0 E_0/m\omega^2) (\cos \omega t - 1)$.

Амплитуда колебаний $A = (e_0 \lambda^2/mc^2 r) (PR)^{1/2} / (2\pi)^{5/2}$.

10.1.8. Радар создает у цели плотность потока мощности или интенсивность $J_0 = c\epsilon_0 a^2/2r^2$, где a — амплитуда сферической волны. Для анализа переизлучения электромагнитных волн вводят эффективную площадь поверхности отражения S_0 , которая переизлучает волны во все стороны с одинаковой интенсивностью. Цель воспринимает мощность $P_0 = J_0 S_0$, а у антенны плотность потока мощности отраженного импульса $J = P_0/4\pi r^2$. Мощность импульса $P = JS$, где S — эффективная площадь приемной антенны.

10.1.9. Прощание с азбукой Морзе. После гибели «Титаника» в 1912 г. была принята рекомендация о широком внедрении радиотелеграфа и обязательной круглосуточной вахте радистов. Тогда же был согласован кодовый сигнал *SOS*. Вопреки сложившейся легенде этот сигнал никак не расшифровывался. Все сочли, что три точки, три тире и три точки легко запомнить и передать в эфир. В 1992 г. в международную конвенцию внесена поправка об отказе с 1992 г. от азбуки Морзе и переходе на глобальную систему спутниковой связи.

10.1.10. Например, в диапазоне $(\nu_0, 10\nu_0)$ могут работать $9\nu_0/\nu_m$ станций, а в диапазоне $(100\nu_0, 1000\nu_0) - 900\nu_0/\nu_m$ станций.

10.1.11. Допустим, что для передачи сообщения используют азбуку Морзе, модулируя амплитуду волны импульсами, соответст-

вующими точкам и тире. Длительность импульса, соответствующего точке, и длительность паузы между соседними знаками, равны $\tau_0 \sim 100/\nu$. Длительности тире и паузы между группой знаков, образующих букву, равны $3\tau_0$, а между словами — $5\tau_0$.

Статистический анализ показал, что в среднем на одно слово приходится 5 букв, для передачи которых требуется $48\tau_0$; интервал $22\tau_0$ соответствует передаче знаков, а промежуток времени $26\tau_0$ — паузам между знаками и буквами, включая паузу в конце слова. Поэтому передача одного слова занимает интервал времени $\Delta t \sim 4800/\nu$, обратно пропорциональный значению несущей частоты.

10.1.12. Если луч пробегает кадр за время T_k , то частота смены кадров $\nu_k = \frac{1}{T_k}$. Поэтому луч пробегает через каждую частицу за вре-

мя $\frac{T_k}{N} = \frac{1}{\nu_k N}$. Следовательно, длительность видеоимпульса $\tau \sim \frac{1}{\nu_k N}$,

а ширина полосы спектра $\Delta\nu \sim \frac{1}{\tau} = \nu_k N$.

Для того чтобы изображение воспринималось слитно, за секунду необходимо передать не менее 25 кадров, т.е. $\nu_k = 25$ Гц. Поскольку ширина кадра обычно равна $4/3$ высоты, то ширина спектра $\Delta\nu \sim 13,02$ МГц. Для уменьшения мерцания изображения используют чересстрочную развертку: сначала передают сигналы от нечетных, затем от четных строк. В результате ширина полосы уменьшается до значения 6,5 МГц. Несущая частота телевизионного канала лежит в диапазоне 50–200 МГц.

10.1.13. Причина в том, что вместе с полезным сигналом приемник усиливает и помехи — случайные шумы. Чем шире полоса частот, тем выше уровень шумов. Если полезный сигнал слаб, то его трудно выделить на фоне шумов. В то время мощность передатчика была невелика. Поэтому для снижения уровня шумов достаточно уменьшить полосу частот полезного сигнала, увеличивая время передачи одного кадра.

10.1.14. Будем считать, что индуцируемая в приемной антенной ЭДС, представляет собой суперпозицию гармонических амплитудно-модулированных напряжений. Для того чтобы выделить одну радиостанцию, работающую на несущей частоте $\nu = \omega/2\pi$, используются резонансные свойства контура. Параметры L и C_k в схеме рис. 10.1.14 следует выбрать такими, чтобы резонансная частота стала равной ν .

Тогда при больших значениях добротности Q амплитуда напряжения сигнала частотой ν на катушке или конденсаторе будет во много раз больше амплитуд сигналов других частот. Таким образом, от антенны поступает практически один сигнал, частота которого совпадает с собственной частотой контура.

Характерная частота изменения амплитуды $\epsilon_0(t)$ равна $\nu_s = 4$ кГц. Задача детектора — полупроводникового диода — состоит в детектировании — преобразовании амплитудно-модулированного напряжения $\epsilon(t)$ в напряжение звуковой частоты. Вольтамперная характеристика полупроводниковых диодов проходит через нуль, но достаточно заметный ток появляются у кремниевых диодов при напряжении $V_n = 0,2-0,4$ В. Тогда вольтамперную характеристику диода можно представить в виде кривой, изображенной на рис. 10.1.14 а.

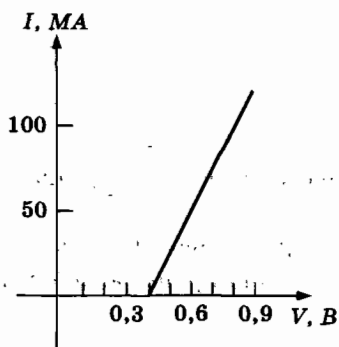


Рис. 10.1.14 а

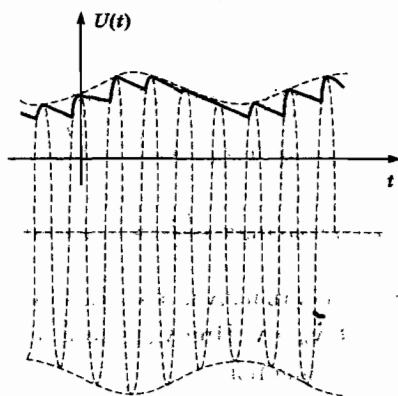


Рис. 10.1.14 б

Предварительно опишем качественно процесс детектирования. Пусть $\lambda = 300$ м ($\nu = 1$ МГц), емкость конденсатора $C = 5000$ пф, сопротивление резистора наушников $R = 3$ кОм. Поскольку постоянная зарядки $\tau_c = CR_c = 2 \cdot 10^{-8}$ с существенно меньше периода высокочастотных колебаний $T = 10^{-6}$ с, то при открытом диоде напряжение на выходе схемы $U(t)$ повторяет форму звукового сигнала $\epsilon_0(t)$. При значениях $U(nT) = \epsilon_0(nT) - V_n$, диод запирается и конденсатор разряжается через резистор.

Поскольку постоянная разряда $\tau_p = CR = 1,5 \cdot 10^{-5}$ с больше T , то во время разряда конденсатора через резистор R напряжение $U(t)$ медленно спадает. При значениях $U(t) > \epsilon(t) - V_n$ диод отпирается и

конденсатор подзаряжается. Используя решение задачи 7.2.9, получим напряжение на выходе схемы

$$U(t) = \varepsilon_0(t) (1 - T/2\tau_p) - V_n + \varepsilon_0(t) (2X_c/R) \sin \omega t + \dots$$

Поскольку $X_c \ll R$, то высокочастотная составляющая напряжения значительно меньше низкочастотной. Напряжение на RC -цепи создается практически только низкочастотной составляющей, которая полностью воспроизводит звуковой сигнал (рис. 10.1.14 б). Следует отметить, что рис. 10.1.14 б схематичен т.к. за характерное время изменения звукового сигнала $T_s = 2,5 \cdot 10^{-4}$ с произойдет 250 высокочастотных колебаний.

10.1.15. В системе отсчета, связанной с наблюдателем фаза волны $\Phi = \omega t - \frac{\omega}{c} r_{sp}$, где r_{sp} — расстояние от излучателя до точки наблюдения $P(x, y, 0)$ на поверхности Земли, $r_{sp}(t) = \sqrt{(x-ut)^2 + y^2 + b^2}$. Частота волны, принимаемой в точке P равна производной фазы: $\omega_H = d\Phi/dt$ или $\nu_H = \nu \left(1 - \frac{1}{c} \frac{dr_{sp}}{dt} \right)$, где $\nu = \omega/2\pi$.

Производная $\frac{dr_{sp}}{dt} = -(x-ut) \frac{u}{r_{sp}(t)}$ представляет собой радиальную скорость излучателя. Если излучатель приближается к наблюдателю, то $\nu_H > \nu$. При удалении излучателя частота принимаемой волны уменьшается.

$$\text{Сдвиг частоты } \varepsilon(t) = \nu_H - \nu \text{ равен } \varepsilon(t) = (x-ut) \frac{u}{\lambda r_{sp}(t)}.$$

На траверсе сдвиг частоты $\varepsilon(t)$ равен нулю. Изобразите график функции $\varepsilon(t)$. По графику сдвига частоты $\varepsilon(t)$ можно найти координаты наблюдателя.

Действительно, в момент времени $t_m = \frac{x}{u}$ доплеровский сдвиг $\varepsilon(t_m) = 0$, а расстояние $r_{sp}(t_m) = r_m$, $r_m = \sqrt{y^2 + b^2}$. Крутизна графика в точке t_m — производная функции $\frac{d\varepsilon}{dt} = -\frac{u^2}{\lambda r_m}$, однозначно связана с расстоянием r_m . Измерив t_m , найдем координату $x = ut_m$, а по крутизне определим наклонную дальность r_m и координату $y = \sqrt{r_m^2 - b^2}$.

Современная навигационная система GPS (Global Positioning Systems), разработанная в США, принимает сигналы одновременно с двух спутников и вычисляет координаты объекта с точностью до 0,5 метров. Само устройство по габаритам не больше портсигара. В 1995 г. сеть имела 24 спутника, расположенных на высоте около 20 000 км. Автомобильная система Never Lost (не потеряешься) «привязывает» координаты к ближайшей дороге или улице, рассчитывает оптимальный маршрут, показывая на экране все повороты и время поездки.

10.2. Интерференция. Дифракция

10.2.1. Поскольку направления поляризации волн одинаковы, то напряженность электрического поля в точке P равна $\vec{E} = (E, 0, 0)$, $E = E_1 + E_2$, $E_1 = a \cos(\omega t + \varphi_1)$, $\varphi_1 = kr_1$; $E_2 = a \cos(\omega t - \varphi_2)$, $\varphi_2 = kr_2$, r_1, r_2 — расстояния от отверстий до точки экрана P . Среднее значение интенсивности поля в точке наблюдения P :

$$J(x, y) = \epsilon_0 c \langle E^2 \rangle = \epsilon_0 c \left[\langle E_1^2 \rangle + \langle E_2^2 \rangle + 2 \langle E_1 E_2 \rangle \right].$$

Вычисляя средние значения $\langle E_1^2 \rangle = \frac{a^2}{2}$, $\langle E_2^2 \rangle = \frac{a^2}{2}$, $\langle E_1 E_2 \rangle = \frac{a^2}{2} \cos \delta$, $\delta = \varphi_2 - \varphi_1 = k(r_2 - r_1)$, получим $J(x, y) = \epsilon_0 c a^2 (1 + \cos \delta)$, $J(x, y, z) = 4J_0 \cos^2 \frac{\delta}{2}$, где $J_0 = \frac{1}{2} \epsilon_0 c E_0^2$ — среднее значение интенсивности поля, создаваемого одним источником. В зависимости от положения точки P интенсивность поля изменяется от $J_{\min} = 0$ до максимального значения $J_{\max} = 4J_0$. Разность хода волн в точке наблюдения $r_2 - r_1$, где

$$r_{2,1} = \sqrt{\left(x \pm \frac{d}{2}\right)^2 + y^2 + b^2}. \text{ Очевидно, } r_2^2 - r_1^2 = 2xd.$$

При условии $d, |x|, |y| \ll b$ можно положить $r_2 + r_1 \approx 2h$. Следовательно, $r_2 - r_1 \approx \frac{xd}{b}$, $\delta = \frac{kxd}{b} = \frac{2\pi xd}{\lambda b}$. В плоскости xy интенсивность

$$J(x, y) = 4J_0 \cos^2 \left(\frac{\pi xd}{\lambda b} \right) \text{ не зависит от координаты } y. \text{ Интерференционная}$$

картина представляет собой последовательность светлых и темных полос, параллельных оси y .

$$\text{Расстояние между соседними яркими полосами } \Delta x = \frac{\lambda b}{d}.$$

10.2.2. В плоскости xy появляются светлые полосы, равноотстоящие друг от друга на величину $\Delta x = 1$ мм.

10.2.3. В точке $M(x, y, z)$ напряженность поля

$$\vec{E}(t, x, y, z) \approx \vec{E}_1 \cos(\omega t - ks_1) + \vec{E}_2 \cos(\omega t - ks_2),$$

$$s_{2,1} = [(x \pm d/2)^2 + y^2 + (z + b)^2]^{1/2}.$$

Интенсивность поля в точке $M(x, y, z)$ равна

$$J(x, y, z) = (c\epsilon_0/2)[E_1^2 + E_2^2 + 2\vec{E}_1\vec{E}_2 \cos k(s_2 - s_1)].$$

Следовательно, интенсивность максимальна на поверхностях, удовлетворяющих условию $s_2 - s_1 = n\lambda$, $n \in \mathbb{N}$:

$$[(x + d/2)^2 + y^2 + (z + b)^2]^{1/2} - [(x - d/2)^2 + y^2 + (z + b)^2]^{1/2} = n\lambda.$$

Разрешая иррациональное равенство, получим после алгебраических преобразований уравнение семейства гиперболоидов с осью вращения S_1, S_2 , имеющих общие фокусы в S_1 и S_2 :

$$\left(\frac{y}{A_n}\right)^2 + \left(\frac{z+b}{A_n}\right)^2 - \left(\frac{x}{B_n}\right)^2 = -1, \quad (1)$$

$$A_n = [d^2 - (n\lambda)^2]^{1/2}/2, B_n = n\lambda/2, d > n\lambda.$$

Максимумы интенсивности в плоскости $z = 0$ принадлежат семейству гипербол

$$(x/B_n)^2 - (y/A_n)^2 = 1 + (b/A_n)^2. \quad (2)$$

При значениях $n\lambda \ll d, b \gg d$ имеем $A_n \approx d/2$, $(xd/n\lambda b)^2 - (y/b)^2 = 1$.

В области $y \ll b$ получим семейство прямых $x = n\lambda b/d$. В плоскости $x = x_0$ максимумы интенсивности лежат на семействе окружностей $y^2 + (z + b)^2 = r_n^2$, $r_n = x_0 d/n\lambda$.

10.2.4. Интенсивность света $J \sim \sin 2\gamma$, где $\gamma = 2\pi(l_2 - l_1)/\lambda$. Если величины l_1, l_2 различаются на $\lambda/8$, то наблюдается половина максимальной интенсивности.

Чувствительность прибора можно повысить за счет многократного прохождения луча. Существует несколько способов решения этой проблемы. В одном из них в плечо AM_1 помещают полупрозрачное зеркало. Используя интерферометр, удалось осуществить перемещение зонда-иглы на расстояниях $1 \div 2$ нм от поверхности образца. Последние три слоя острия зонда представляют собой пирамиду из 7, 3 и одного атомов. Если между образцом и зондом создать разность потенциалов, то между электронными оболочками атомов образца и зондом возникает ток чрезвычайно чувствительный к величине зазо-

ра: обычно сила тока уменьшается в 10 раз при увеличении зазора на 0,1 нм. Механизм обратной связи регистрирует силу тока, изменяет управляющее напряжение и перемещает зонд перпендикулярно поверхности так, чтобы величина тока не менялась. Тогда, анализируя изменения напряжения, возникающие при смещении зонда вдоль поверхности, можно построить изображение поверхностного рельефа.

Изобретатели сканирующего туннельного микроскопа Г. Бинниг и Г. Рорер (Нобелевская премия, 1986 г.) сумели получить изображение рельефа, на котором видны ряды атомов размером $\approx 0,2$ нм.

В настоящее время планируется серия экспериментов по обнаружению гравитационных волн, в которых используется интерферометр Майкельсона для измерения ничтожно малых смещений пробных масс, возникающих при прохождении волны.

10.2.5. При отражении x -компонента вектора \vec{n}_i изменяет знак:

$$\vec{n}_i = \vec{n}_i - \vec{p}(\vec{p}\vec{n}_i) + \vec{p}(\vec{p}\vec{n}_i) \rightarrow \vec{n}_o = \vec{n}_i - 2\vec{p}(\vec{p}\vec{n}_i), \quad \vec{n}_o = (\sin\alpha, 0, \sin\alpha).$$

В области $x \geq 0$ напряженность электрического поля $\vec{E} = \vec{E}_i + \vec{E}_o$, где $\vec{E}_o(t, x, y, z) = a\vec{e}_o \cos(\omega t - k\vec{n}_o \vec{r})$ — напряженность поля отраженной волны. На плоскости $x = 0$ касательная компонента вектора $\vec{E}(0, 0, z) \equiv \vec{Q}$ должна быть равна нулю: $\vec{Q} - \vec{p}(\vec{p}\vec{Q}) = 0$. Следовательно, нормальные компоненты векторов поляризации $\vec{p}(\vec{p}\vec{e}_i)$ должны быть одинаковы, а касательные компоненты направлены в противоположные стороны: $\vec{e}_o = -\vec{e}_i + 2\vec{p}(\vec{p}\vec{e}_i)$.

10.2.6. Напряженность электрического поля

$$E_x(x, y, z) = a[\cos(\omega t + kx) - \cos(\omega t - kx)] = -2a \sin(kx) \sin \omega t.$$

Индукция магнитного поля волны $\vec{B} = (0, B_y, 0)$,

$$cB_y(x, y, z) = a[\cos(\omega t + kx) + \cos(\omega t - kx)] = 2a \cos(kx) \cos \omega t.$$

Распределение поля соответствует картине стоячей волны. Магнитное поле имеет максимум на поверхности проводника и во всех точках, где электрическое поле равно нулю.

10.2.7. Напряженность электрического поля в области $x \geq 0$:

$$\vec{E} = [0, a(-\cos\varphi_i + \sin\varphi_o), 0].$$

Индукция магнитного поля падающей волны $c\vec{B}_i = \vec{n}_i \times \vec{E}_i$:

$$cB_{ix} = -a \cos\alpha E_{iy}, \quad B_{iy} = 0, \quad cB_{iz} = -a \sin\alpha E_{iy}.$$

Индукция магнитного поля отраженной волны:

$$cB_{ax} = -a \cos \alpha E_{oy}, \quad B_{oy} = 0, \quad cB_{az} = a \sin \alpha E_{oy}.$$

Индукция магнитного поля в области $x \geq 0$:

$$c\vec{B} = [a \cos \alpha (\cos \varphi_i - \sin \varphi_o), 0, a \sin \alpha (\cos \varphi_i + \sin \varphi_o)].$$

Компонента вектора Пойнтинга $S_z = -c^2 \epsilon_0 E_y B_z$. Среднее значение интенсивности $J = c \epsilon_0 a^2 \cos \alpha \langle (\cos \varphi_i - \sin \varphi_o)^2 \rangle$, $J = 4J_0 \cos \alpha \sin^2(\varphi_i - \varphi_o)/2$, $J(x) = 4J_0 \cos \alpha \sin^2(2\pi x s \sin \alpha / \lambda)$.

Интенсивность достигает максимума, если в разности хода укладывается *нечетное число* полуволн.

Первый максимум имеем в точке $P\left(\frac{\lambda s}{4h}, 0, z\right)$. В окрестности точек

$P_n(x_n, 0, z)$ с координатой $x_n = \frac{n\lambda s}{2h}$ ($n = 0, 1, 2, \dots$) интенсивность поля близка к нулю. С этим эффектом пришлось иметь дело специалистам по радиолокации.

Во время второй мировой войны английские радары были установлены на скалах Дувра для слежения за самолетами противника, пересекающими Ла-Манш. Ширина пролива от 32 км до 180 км. Вода является хорошим проводником для частот, меньших 10^8 Гц. Радиоволны достигают самолета по трассам в области перекрытия падающей и отраженной волн. Однако, иногда радары не фиксировали самолет.

Пусть радиус-вектор самолета $\vec{r}(t) = \vec{r}_0 + \vec{v}t$. Мощность излучения, принимаемая радаром, $P(t) = (R/2s)^2 S_e J(t)$, где S_e — эффективная площадь отражаемой поверхности, R — размер антенны, $J(t) = 4J_0 \sin^2 \gamma(t)$, $\gamma(t) = 2\pi h x(t) / (\lambda s)$, $x(t) = x_0 + v_x t$. Следовательно, при полете на высотах $x(t) \approx x_n$ мощность излучения в результате деструктивной интерференции близка к нулю.

Полагая $\lambda = 30$ см, $h = 300$ м, $s = 20$ км, получим $x_n = 10n$ м; значению $s = 100$ км соответствуют плоскости $x_n = 50n$ м.

10.2.8. Напряженность электрического поля и индукция магнитного поля в области $x \geq 0$:

$$\vec{E} = [a \cos \alpha (\cos \varphi_i + \sin \varphi_o), 0, a \sin \alpha (\cos \varphi_i - \sin \varphi_o)],$$

$$c\vec{B} = [0, a (\cos \varphi_i + \sin \varphi_o), 0],$$

$$\varphi_i = \omega t + k \sin \alpha x - k \cos \alpha z, \quad \varphi_o = \omega t - k \sin \alpha x - k \cos \alpha z.$$

Компонента вектора Пойнтинга $S_z = c^2 \epsilon_0 E_x B_y$. Среднее значение интенсивности

$$J = c \epsilon_0 a^2 \cos \alpha \langle (\cos \varphi_i + \sin \varphi_o)^2 \rangle, \quad J = 4J_0 \cos \alpha \cos^2(\varphi_i - \varphi_o)/2, \\ J(x) = 4J_0 \cos \alpha \cos^2(2\pi x \sin \alpha / \lambda).$$

10.2.9. Напряженность электрического поля волны

$$\vec{E} = [a \cos \alpha (\cos \varphi_i + \sin \varphi_o), a(-\cos \varphi_i + \sin \varphi_o), a \sin \alpha (\cos \varphi_i - \sin \varphi_o)].$$

Индукция магнитного поля волны

$$c \vec{B} = [a \cos \alpha (\cos \varphi_i - \sin \varphi_o), a(\cos \varphi_i + \sin \varphi_o), a \sin \alpha (\cos \varphi_i + \sin \varphi_o)],$$

Компонента вектора Пойнтинга $S_z = c^2 \epsilon_0 E_x B_y$. Среднее значение интенсивности $J = 2c \epsilon_0 a^2 \cos \alpha \langle 1 + \sin(\varphi_i + \varphi_o) \rangle$, $J = 2J_0 \cos \alpha$.

10.2.10. Электромагнитная волна представляет собой сумму падающей волны и волны, отраженной от провода.

Из условия равенства нулю x -компоненты напряженности электрического поля на поверхности провода имеем

$$E_x(z) \approx (a/|z-d|) \cos[\omega t - k|z-d|] - (a/|z+d|) \cos[\omega t - k(z+d)].$$

В области $s \gg d$ имеем $E_x(s) \approx -2(a/s) \sin(kd) \sin(\omega t - ks)$.

Амплитуда волны равна нулю при условии $d_n = n\lambda/2$, $n = 0, 1, 2, \dots$.

Индукция магнитного поля $B_y(s) \approx -2(a/s) \sin(kd) \sin(\omega t - ks)$. В точке P интенсивность $J = 2c \epsilon_0 (a/s)^2 \sin^2 kd$.

10.2.11. А. В области $z < 0$ напряженность поля равна сумме напряженности падающей (i) и отраженной (r) волн

$$\vec{E}_L = (0, E_i, 0) \cos(\omega t - kn_1 z) + (0, E_r, 0) \cos(\omega t + kn_1 z).$$

Аналогичное выражение получим для индукций магнитного поля

$$c \vec{B}_L(t, z) = (-n_1 E_i, 0, 0) \cos(\omega t - kn_1 z) + (n_1 E_r, 0, 0) \cos(\omega t + kn_1 z),$$

В области $z > 0$ имеем преломленную волну (t)

$$\vec{E}_R = (0, E_t, 0) \cos(\omega t - kn_2 z), \quad c \vec{B}_R(t, z) = (-n_2 E_t, 0, 0) \cos(\omega t - kn_2 z).$$

Из граничных условий при $z = 0$ получаем уравнения $E_i + E_r = E_t$, $n_1 E_i - n_1 E_r = n_2 E_t$, из которых находим формулы Френеля

$$E_r = (n_1 - n_2) E_i / (n_1 + n_2), \quad E_t = 2n_1 E_i / (n_1 + n_2).$$

Отметим, что при $n_2 > n_1$ происходит изменение фазы отраженной волны на π .

Б. Вектор Пойнтинга

$$\vec{S} = (0, 0, S), \quad S = -\epsilon_0 c^2 E_y B_x, \quad \langle S \rangle = \epsilon_0 c (E_i^2 - E_r^2) / 2.$$

10.2.12. А. В области $z < 0$ напряженность поля равна сумме напряженности падающей (i) и отраженной (r) волн

$$\vec{E}_L = (cB_i/n_1, 0, 0) \cos(\omega t - kn_1 z) + (-cB_r/n_1, 0, 0) \cos(\omega t + kn_1 z).$$

Аналогичное выражение получим для индукции магнитного поля

$$\vec{B}_L(t, z) = (0, B_i, 0) \cos(\omega t - kn_1 z) + (0, B_r, 0) \cos(\omega t + kn_1 z).$$

В области $z > 0$ имеем преломленную волну (t)

$$\vec{E}_R = (cB_t/n_2, 0, 0) \cos(\omega t - kn_2 z), \quad \vec{B}_R(t, z) = (0, B_t, 0) \cos(\omega t - kn_2 z).$$

Из граничных условий при $z = 0$ получаем уравнения $B_i + B_r = B_t$, $E_i/n_1 - E_r/n_1 = E_t/n_2$, из которых находим еще две формулы Френеля $B_r = (n_2 - n_1)B_i/(n_1 + n_2)$, $B_t = 2n_2 B_i/(n_1 + n_2)$.

Отметим, что при $n_2 > n_1$ происходит изменение фазы отраженной волны на π .

Б. Вектор Пойнтинга

$$\vec{S} = (0, 0, S), \quad S = \epsilon_0 c^2 E_t B_t, \quad \langle S \rangle = (c/2\mu_0) (B_i^2 - B_r^2).$$

10.2.13. Вектор напряженности электрического поля волны всегда направлен перпендикулярно плоскости падения волны: $\vec{E} = (0, E_y, 0)$.

На рис. 10.2.13 б изображены падающая и преломленная волны в области пластинки и клина. Угол преломления на грани OA равен β , на нижней поверхности пластины γ . Из закона преломления имеем уравнения $\sin \alpha = n \sin \beta$, $n \sin(\alpha - \beta) = \sin \gamma$. В результате преломления на горизонтальной верхней плоскости в пластине распространяется волна с компонентой $E_{ir} = a \cos(\omega t - knz)$. При переходе в воздух $E_{ir} = a \cos[\omega t - knH - k(z - H)]$. После преломления на грани OA в пластинке распространяется волна $E_{ol} = a \cos(\omega t - k_x x - k_z z)$, где $k_x = kn \sin(\alpha - \beta)$, $k_z = kn \cos(\alpha - \beta)$. При переходе в воздух распространяется волна $E_{oz} = a \cos(\omega t - k_{oz} x - k_{oz}(z - H) - k_x H)$, $k_{oz} = k \sin \gamma$, $k_{ox} = k \cos \gamma$; $k_{oz} = k_z$.

Напряженность электрического поля в плоскости экрана

$$E(x) = a \cos(\omega t - k_{oz} x - k_{oz} d - k_x H) + a \cos[\omega t - knH - kd].$$

Интенсивность поля $J = c \epsilon_0 \langle E^2 \rangle$, $J = 2c \epsilon_0 a^2 \cos^2 \delta / 2$,

$$\delta = k_{oz} x + k_{oz} d + k_x H - knH - kd \text{ или}$$

$$\delta = k x \sin \gamma + (\cos \gamma - 1) k d + kn[\cos(\alpha - \beta) - 1] H.$$

Интенсивность достигает максимума при условии $\delta = 2\pi s$, $s = 0, 1,$

2, ...

Область френелевого объема образует реальный *физический луч*. Световым или *геометрическим лучом* называют прямую линию, выходящую из точки O .

10.2.16. Пусть площадь отражающей плоскости равна S . Реальный физический луч отражается не в одной точке плоскости xy . В соответствии с принципом Гюйгенса-Френеля поле в точке наблюдения формируется в результате интерференции «виртуальных» волн, «излучаемых» каждой точкой $Q(x, y, 0)$ плоскости xy . Однако наиболее существенной областью является область плоскости xy с центром в точке O $Q_0(x_0, y_0, 0)$ представляющий собой проекцию первых зон Френеля на плоскость xy .

Найдем уравнение кривой, которая ограничивает эту область в плоскости xy , и площадь области. Фаза волны, «излучаемая» одной из точек плоскости xy , равна $\Phi(x_n, 0, z_n) = \omega t - \omega(s_{LQ} + s_{QP})/c$,

$$s_{LQ} = [x^2 + y^2 + h^2]^{1/2}, \quad s_{QP} = [(x_n - x)^2 + y^2 + z_n^2]^{1/2}.$$

Фаза реальной волны, принимаемой детектором

$$\Phi_n(x_n, 0, z_n) = \omega t - \omega(s + s_n)/c, \quad s = (x_0^2 + h^2)^{1/2}, \quad s_n = [(x_n - x_0)^2 + z_n^2]^{1/2}.$$

Согласно принципу Гюйгенса-Френеля разность фаз

$$\Phi_n(x_n, 0, z_n) - \Phi(x_n, 0, z_n) = \pi n, \quad n \in N.$$

Следовательно,

$$s_{LQ} + s_{QP} = s + s_n + n\lambda/2. \quad (1)$$

Положим $x = x_0 + x'$, $y = y'$, $x_n - x_0 = s_n \sin \alpha$, $x_0 = s \sin \alpha$. Предполагая, что $|x'|, |y'| \ll s, s_n$, разложим s_{LQ}, s_{QP} в ряд, в окрестности точки зеркального отражения Q_0 , ограничиваясь величинами второго порядка малости.

Используя разложение $(1 + \varepsilon)^n \approx 1 + n\varepsilon + n(n-1)\varepsilon^2/2 + \dots$, находим

$$\begin{aligned} s_{QP} &= [s_n^2 - 2s_n x' \sin \alpha + x'^2 + y'^2]^{1/2} \approx \\ &\approx s_n [1 - x' \sin \alpha / s_n + (x'^2 + y'^2) / 2s_n^2 - x'^2 \sin^2 \alpha / 2s_n^2], \\ s_{LQ} &= [s^2 + 2s x' \sin \alpha + x'^2 + y'^2]^{1/2} \approx \\ &\approx s [1 + x' \sin \alpha / s + (x'^2 + y'^2) / 2s^2 - x'^2 \sin^2 \alpha / 2s^2]. \end{aligned}$$

В результате из (1) получим уравнение эллипса

$$(\cos^2 \alpha x'^2 + y'^2) (1/s + 1/s_n) = n\lambda.$$

В стандартной форме $[(x - x_0)/A_n]^2 + (y/R_n)^2 = 1$, где полуоси эллипса $A_n = R_n / \cos \alpha$, $R_n = [n\lambda s s_n / (s + s_n)]^{1/2}$.

На рис. 10.2.16 б изображены проекции на плоскость $z = 0$ зон Френеля с номерами $n = 1, 2, 3$. Эти эллипсы представляют собой границы сечения эллипсоида вращения Френеля с фокусами в точках $P(x_n, 0, z_n)$, $L'(0, 0, -h)$ с центром в точке Q_0 . Эллипсы вытянуты в направлении к источнику излучения — при скользящем падении ($\alpha \sim \pi/2$) уже первые зоны могут охватывать большую часть трассы между точками L и P .

Площадь эллипса с номером n равна

$$S_n = \pi A_n R_n = \pi n \lambda s s_n / [(s + \varepsilon_n) \cos \alpha].$$

В случае $s \gg s_n$, площадь первой зоны $S_1 = \pi \lambda s_n / (\cos \alpha)$. Закон отражения выполняется при условии $S_1 \ll S$:

$$S \gg \pi \lambda s_n / \cos \alpha \text{ или } S \gg \pi \lambda z_n / \cos^2 \alpha.$$

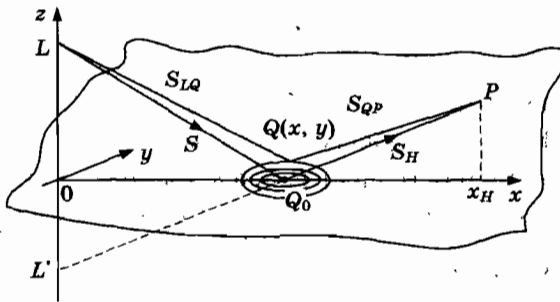


Рис. 10.2.16 б

10.2.17. Расположим начало координат на крае экрана, расположенного в плоскости xy , $x < 0$. Ось z направим перпендикулярно плоскости-экрана. Детектор находится в точке $P(x, 0, z)$. Радиус первой зоны Френеля для детектора, расположенного на расстоянии z от волнового фронта плоской волны $R_1 = \sqrt{\lambda z}$.

При значениях $\lambda = 694,3$ нм, $z = z_0$, $z_n = 2,5$ м величина $R_1 = 1,32$ мм.

Если $x \gg R_1$, то детектор находится в области прямолинейного распространения света — экран не перекрывает первую зону Френеля и дифракция не проявляется. Если $x < R_1$, то экран перекрывает часть первой зоны Френеля и проявляется дифракция света.

Интенсивность максимальна не на границе геометрической тени при $x = 0$, а в освещенной области. Первый максимум интенсивности находится на расстоянии $x_m = 1,2$ мм от края экрана. В освещенной области при фиксированном $z = z_0$ интенсивность имеет ряд макси-

максимумов и минимумов вблизи значения J_0 — интенсивности волны. Край освещенной области расщепляется в дифракционные полосы, заметные в области $x < 10R_1$, включающей несколько первых зон Френеля.

10.2.18. За экраном волновой фронт с ограниченной площадью поперечного сечения не может быть плоским. В отверстие проходит фронт плоской волны. Сильное искажение фронта происходит вблизи края отверстия, а поле в точках отверстия на расстояниях $\approx \lambda$ практически совпадает с полем плоской волны. Однако, по мере распространения волны эта резкая граница расплывается: поток энергии волны затекает в область геометрической тени. В этой промежуточной области мы имеем дело с *дифракцией Френеля*. Она проявляется на расстояниях r , для которых площадь отверстия порядка площади первой зоны Френеля $R_1 = \sqrt{\lambda r} : a \sim \sqrt{\lambda r}$ или $r \sim r_F, r_F = \frac{a^2}{\lambda}$. Если $r \leq r_F$, то на площади отверстия укладываются несколько первых зон Френеля. Поэтому на расстояниях $r \ll r_F$ расплывание параллельного лучка еще не заметно. Например, при $a = 1$ см, $\lambda = 600$ нм получим $r_F = 170$ м. В плоскости $z = z_n, 0 < z_n \ll r_F$ мы увидим светлый круг радиусом $\approx a$. Следовательно, на расстояниях $r \ll \frac{a^2}{\lambda}$ расходимостью задающей волны можно пренебречь. На расстояниях $r > r_F$, все точки отверстия лежат в первой зоне Френеля. При значениях $r \gg r_F$ плоская волна за экраном превращается в сферическую — это область *дифракции Фраунгофера*.

10.2.19. Согласно принципу Гюйгенса-Френеля поле волны создается вторичными источниками, распределенными по площади отверстия. Поэтому первый максимум интенсивности в точке наблюдения P определяется условием — разности фаз волн, излученных границей отверстия и волны, излученной центром отверстия, не должны превышать $\lambda/2$: $\alpha a \sim \frac{\lambda}{2}$, где α — угол между осью z и прямой OP . Следовательно, в грубом приближении можно считать, что волна распространяется в конусе с углом раствора $2\alpha \sim \lambda/a$.

В плоскости $z = z_n, z_n \gg r_F$ наблюдаемая картина согласно представляет собой *дифракционное изображение светящейся точки L* : светлый диск радиусом $\alpha z_n = 0,5\lambda z_n/a$ с центром в точке $(0, 0, z_n)$.

Согласно строгой теории распределение интенсивности представляет собой светлый диск радиусом $\alpha z_n = 0,61\lambda z_n/a$, окруженный темными и светлыми кольцами. Интенсивность равна нулю на окружностях радиусов $0,61\lambda z_n/a$, $1,11\lambda z_n/a$, Максимум интенсивности второго светлого кольца — окружность радиусом $0,81\lambda z_n/a$. Интенсивность света в центральном кольце $0,838J_0$, где J_0 — интенсивность падающей волны. Интенсивность света внутри круга, ограниченного вторым темным кольцом, равна $0,91J_0$. Поэтому только два или три первых светлых кольца достаточно ярки, чтобы их наблюдать невооруженным глазом.

10.2.20. В точке фотопленки $Q(x, y)$ напряженность электрического поля

$$\vec{E}(t, x, y, 0) = a\vec{e}\cos\omega t + (G\vec{e}_{SQ}/r_{SQ})\cos(\omega t - kr_{SQ} - \phi),$$

$$r_{SQ} = [(x-h)^2 + y^2 + d^2]^{1/2}.$$

Интенсивность поля в точке Q равна $J(x, y) = c\epsilon_0(E^2)_{cp}$,

$$J(x, y) = \frac{1}{2}\epsilon_0 c [(Ge_{SQ}/r_{SQ})^2 + a^2 + 2(Ga\vec{e}\vec{e}_{SQ}/r_{SQ})\cos(kr_{SQ} + \phi)]. \quad (1)$$

10.2.21. Первое слагаемое в (1) меньше остальных и им можно пренебречь. Подставляя (1), получим

$$T(x, y) = v_0 - 2(v/ar_{SQ})\cos(kr_{SQ} + \phi),$$

$$\text{где } v = GJ_0\vec{e}\vec{e}_{SQ}v_1 \approx GJ_0v_1.$$

Поскольку

$$T(x_k, y_k)\sin(\omega t - kr_{QP}) =$$

$$= v_0\sin(\omega t - kr_{QP}) - (v/ar_{SQ})\sin(\omega t - kr_1 - \phi) - (v/ar_{SQ})\sin(\omega t - kr_2 + \phi), \quad (2)$$

$$r_{1,2}(x_k, y_k) = r_{QP} \pm r_{SQ} = [(x-x_k)^2 + y_k^2 + z^2]^{1/2} \pm [(x_k-h)^2 + y_k^2 + d^2]^{1/2},$$

то (2) представляет собой сумму трех слагаемых, соответствующих трем волнам, возникающим за голограммой.

Представим напряженность поля в виде

$$\vec{E}_f(t, x, 0, z) = \text{Re} \frac{ik}{2\pi} \int_S \frac{dx_k dy_k}{r_{QP}} \vec{E}_k [v_0 a \exp(i\omega t - ikr_{QP}) -$$

$$- (v/r_{SQ})\exp(i\omega t - ikr_1 - i\phi) - (v/r_{SQ})\exp(i\omega t - ikr_2 + i\phi)]. \quad (3)$$

Положим в общепринятом параксиальном приближении

$$r_{SQ} \approx d + [(x_k - h)^2 + y_k^2]/2d, \quad r_{QP} \approx z + [(x - x_k)^2 + y_k^2]/2z$$

в экспонентах и $r_{SQ} \approx d$, $r_{QP} \approx z$ в знаменателях.

Поскольку $\omega r_{SQ}/c \gg 1$, $\omega r_{QP}/c \gg 1$, то подинтегральная функция быстро осциллирует при изменении переменных интегрирования x_k, y_k . В этом случае основной вклад в интегралы дают области голограммы в окрестности точек, в которых производные фаз по x_k, y_k равны нулю.

В первом интеграле это точка $x_0 = x, y_0 = 0$, во втором — точка $x_S = (xd + hz)/(z + d), y_S = 0$, в третьем — точка $x_R = (hz - xd)/(z - d), y_R = 0$. Теперь можно вынести значения векторов \vec{E}_k в этих точках за знак интеграла и разнести пределы интегрирования до $\pm\infty$. Используя табличный интеграл получаем

$$\vec{E}_f(t, x, 0, z) \approx v_0 a \vec{e} \cos(\omega t - kz) - (v/r_{SP}) \vec{E}_S \cos(\omega t - kr_{SP} - \phi) + (v/r_{RP}) \vec{E}_R \cos(\omega t - kr_{RP} + \phi). \quad (4)$$

Здесь $r_{SP} \approx z + d + (x - h)^2/2(z + d)$, $r_{RP} \approx z - d + (x - h)^2/2(z - d)$ — расстояния от мнимого и действительного изображений в точках $S_1(h, 0, -d)$ и $S_2(h, 0, d)$ до точки наблюдения P (рис. 10.2.21). Векторы поляризации \vec{E}_S и \vec{E}_R получаем из вектора \vec{E}_k после замены $\vec{n}_k \rightarrow \vec{n}_{SP}, \vec{n}_{RP}$, где единичные векторы $\vec{n}_{SP}, \vec{n}_{RP}$ лежат на отрезках S_1P и S_2P .

На рис. 10.2.21 «изображены» волны, порождаемые дифракцией плоской волны на голограмме.

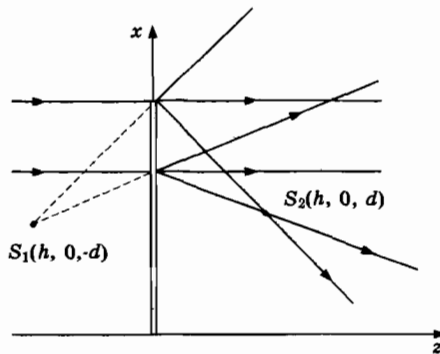


Рис. 10.2.21

Первое слагаемое соответствует плоской волне, распространяющейся в направлении оси z . Сквозь голограмму можно хорошо рассмотреть мнимое изображение S_1 предмета S , который был расположен в том же самом месте. Мы восстановили сферическую волну, совпадающую с реальной волной, исходящей от предмета S . Одновременно возникает действительное изображение S_2 , расположенное симметрично мнимому изображению S_1 .

Точно так же получают голограмму трехмерного предмета и восстанавливают трехмерное изображение — его можно рассматривать с разных сторон. Создается полное ощущение объемности. Действительное изображение имеет существенный недостаток — оно псевдоскопично: впадины выглядят как выпуклости и, наоборот, выпуклые области вогнуты.

Голограммы обладают уникальными свойствами. Если вы повредили часть голограммы, то по оставшейся части можно восстановить изображение объекта, так как любой фрагмент голограммы содержит полную информацию об амплитуде и фазе волны. Рис. 10.2.21 иллюстрирует эту ситуацию. Если для восстановления изображения использовать плоскую волну частотой $\omega' \neq \omega$, то размеры изображения увеличиваются в ω/ω' раз.

10.2.22. В этом случае значения $\sin\theta_{m_2} = m\lambda_2/d$ и $\sin\theta_{m_1} = (m+1)\lambda_1/d$ должны совпадать: $\lambda_2 - \lambda_1 = \lambda_1/m$.

10.2.23. Из (10.2.1) находим $\sin\theta_{11} = \lambda_1/d$, $\sin\theta_{12} = \lambda_2/d$, $\sin\theta_{21} = 2\lambda_1/d$, $\sin\theta_{22} = 2\lambda_2/d$; $2\lambda_1/d > \lambda_2/d$.

10.2.24. Период решетки $d = 1,9$ мкм. Из (10.2.1) имеем $\sin\theta_1 = \lambda/d$; $\sin\theta_1 = 0,31$, $\theta_1 = \pm 18,1^\circ$.

10.2.25. Угловое расстояние между главным максимумом порядка m и соседним минимумом $\Delta\theta_1$ определяется условием $\sin\theta\Delta\theta = \lambda/Nd$. Если длина волны смещается на $\Delta\lambda$, то максимум порядка m сместится согласно (10.2.1) на величину $\sin\theta'\Delta\theta' = |m|\Delta\lambda/d$. Линии с длинами волн $\lambda \pm \Delta\lambda/2$ разрешаются, если максимум одной длины волны совпадает с минимумом другой. Тогда имеем для предела разрешения соотношение $\Delta\lambda/\lambda = 1/|m|N$. В нашем случае $\lambda/\Delta\lambda = 5893/6 = 982$. Разрешающая способность данной решетки N превышает минимальное значение в 11 раз.

10.2.26. $x = s\lambda/d$.

10.2.27. Направления главных максимумов определяется условием $\sin\theta_m = \pm m\lambda/d$, $m = 0, 1, 2, \dots$. Из условия $|\sin\theta_m| < 1$ находим $m < d/\lambda$. Поскольку $d/\lambda = 5$, то будут видны максимумы до 4-го порядка. Всего на экране можно наблюдать 9 главных максимумов — центральный и по четыре с обеих сторон от центрального максимума.

10.2.28. $d\sin\theta_1 = 2\lambda$, $d\sin\theta_3 = 3\lambda$:

$$\lambda = d(\sin\theta_3 - \sin\theta_1) \approx d\alpha; \quad \alpha = \pi/60 \text{ рад} = 0,052 \text{ рад.}$$

10.2.29. Разность хода падающей и дифрагированной волн $d(\sin\theta - \sin\theta_0)$. Соответствующая разность фаз $kd(\sin\theta - \sin\theta_0) = 2\pi m$.

11.1. Принцип Ферма.

Отражение и преломление света

11.1.1. Оптический путь луча, отраженного в произвольной точке $Q(x, 0, z_n)$, равен $l(x) = r_{SQ} + r_{QP}$, $r_{SQ} = [x^2 + (R/2 - z_n)^2]^{1/2} = x^2/2R + R/2$, $r_{QP} = [(x_n - x)^2 + (z_n - x^2/2R)^2]^{1/2}$.

Очевидно расстояние r_{SQ} соответствует основному свойству параболы: парабола — геометрическое место точек, равноудаленных от фокуса S и директрисы — прямой $z = -R/2$.

Согласно принципу Ферма найдем корень уравнения $dl(x)/dx = 0$:

$$x/R - [(x_n - x) + (z_n - x^2/2R)x/R]/r_{QP} = 0, \rightarrow x = x_n.$$

Экстремальное значение оптической длины $l_s = l(x_n)$, $l_s = R/2 + z_n$ соответствует лучу SQ_sP , отраженному в точке $Q_s(x_n, 0, x_n^2/2R)$ согласно закону отражения в направлении параллельном оси z . Фаза отраженной волны $\Phi(t, x_n, 0, z_n) = \omega t - \omega z_n/c - \omega R/2c$.

11.1.2. Согласно принципу Ферма $dl/dr = 0$, где $l = 2\pi r n(r)$. Из этого условия найдем экстремальное значение $r_s = 4R/3$.

11.1.3. Точка A — предмет, A' — первоначальное изображение точки, A'' — изображение точки A после поворота зеркала (рис. 11.1.3 б). Отрезок AA' перпендикулярен плоскости зеркала в исходном положении, отрезок AA'' — перпендикулярен плоскости зеркала, повернутому на угол α . Тогда из теоремы об углах с взаимно перпендикулярными сторонами следует, что угол $A'AA''$ равен α . Из построения изображений A' и A'' следует, что точки A' , A и A'' лежат на окружности радиусом R с центром в точке O . Поскольку угол $A'AA''$ вписан в окружность, то центральный угол $A'OA''$ равен 2α . Далее из равнобедренного треугольника $A'OA''$ находим $b = 2R \sin \alpha$.

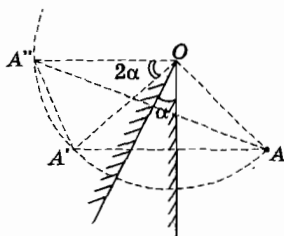


Рис. 11.1.3 б

11.1.4. На рис. 11.1.4 б изображено положение первого и второго изображений.

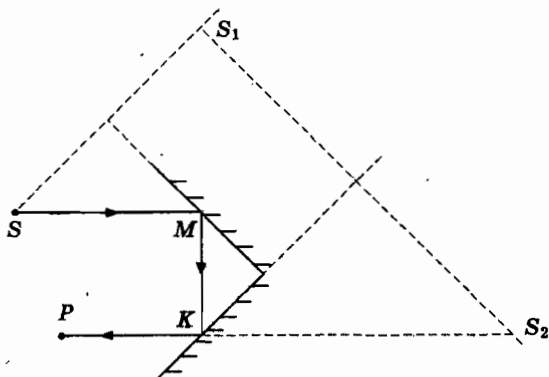


Рис. 11.1.4 б

11.1.5. Каждая точка буквы Г излучает пучок лучей. Рассмотрим вначале отражения пучка лучей, который падает на зеркало M_2 . На рис. 11.1.5 показаны отражения двух лучей, исходящих из основания буквы. После первого отражения лучи сформируют мнимое изображение A_1 буквы Г в зеркале M_2 . Второе изображение порождает мнимое изображение A_2 буквы Г в зеркале M_1 и т.д. Пучок лучей, падающий из основания буквы Г на зеркало M_1 , формирует бесконечную последовательность мнимых изображений, обозначенных на рисунке буквами $B_n, n = 1, 2, \dots$.

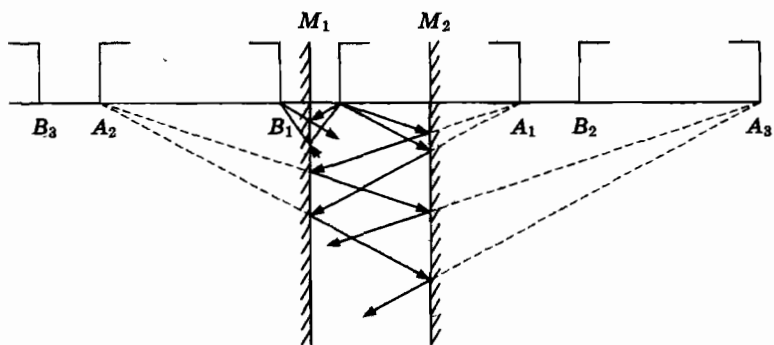


Рис. 11.1.5

11.1.6. Зададим ориентацию отражающих плоскостей взаимно перпендикулярными единичными векторами $\vec{n}_1, \vec{n}_2, \vec{n}_3$, перпендику-

лярными плоскостям zy , xz , xy . Направление падающего луча зададим вектором \vec{k} . Предварительно отметим, что при отражении от плоскости, ориентированной в направлении вектора \vec{n} , отраженный луч распространяется в направлении вектора $\vec{k}' = \vec{k} - 2(\vec{n}\vec{k})\vec{n}$. Действительно, представим вектор \vec{k} в виде суммы вектора $(\vec{n}\vec{k})\vec{n}$, перпендикулярного плоскости, и вектора $\vec{k} - (\vec{n}\vec{k})\vec{n}$, принадлежащего плоскости. При зеркальном отражении первый вектор изменяет знак на противоположный, а второй — не изменяется.

После отражения от плоскости zy направление отраженного луча определяется вектором $\vec{k}_1 = \vec{k} - 2(\vec{n}_1\vec{k})\vec{n}_1$. Если теперь луч падает на плоскость xz , то после отражения луч распространяется в направлении вектора $\vec{k}_2 = \vec{k}_1 - 2(\vec{n}_2\vec{k}_1)\vec{n}_2 = \vec{k} - 2(\vec{n}_1\vec{k})\vec{n}_1 - 2(\vec{n}_2\vec{k})\vec{n}_2$.

После третьего отражения луч выходит в направлении вектора $\vec{k}_3 = \vec{k}_2 - 2(\vec{n}_3\vec{k}_2)\vec{n}_3 = \vec{k} - 2(\vec{n}_1\vec{k})\vec{n}_1 - 2(\vec{n}_2\vec{k})\vec{n}_2 - 2(\vec{n}_3\vec{k})\vec{n}_3 = \vec{k} - 2\vec{k} = -\vec{k}$.

11.1.7. Освещенность тени в два раза меньше освещенности остального участка экрана.

Пусть s — расстояние от стержня до экрана, α — угол падения лучей.

Согласно рис. 11.1.7 б $h_2 - h = s \operatorname{ctg} \alpha$, $h_1 = s \operatorname{ctg} \alpha - h$.

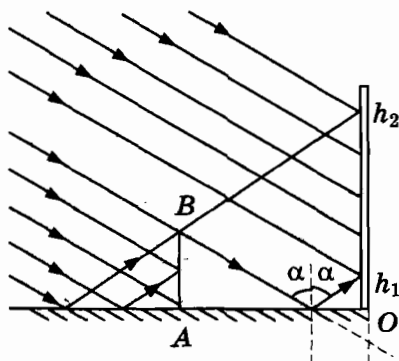


Рис. 11.1.7 б

11.1.8. Пусть r — радиус отверстия, R — радиус круга, освещенного отраженным светом. Согласно условию $R = r\sqrt{2}$.

На рис. 11.1.8 б точка S' — мнимое изображение источника.

Отрезок $SO = s$, $OM = L$, $MS' = s + L$.

Из условия подобия соответствующих треугольников следует уравнение $R/(s + 2L) = (R + r)/2(s + L)$.

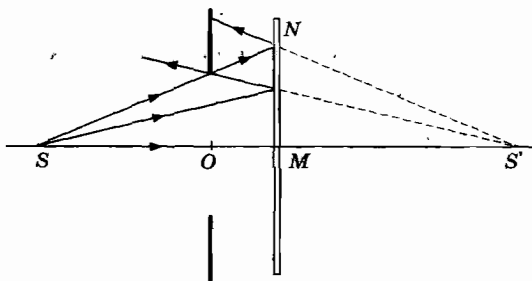


Рис. 11.1.8 б

11.1.10. На рис. 11.1.10 показаны два первых и изображения источника. В четырехугольнике OM_1AM_2 сумма углов равна 2π . Следовательно, угол A_1AA_2 равен $\pi - \alpha$.

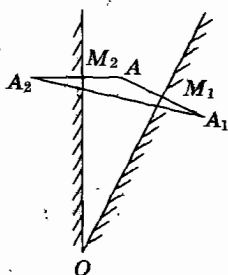


Рис. 11.1.10

11.1.12. Пусть углы падения лучей 1 и 2 на зеркало α_1 и α_2 (рис. 11.1.12 б).

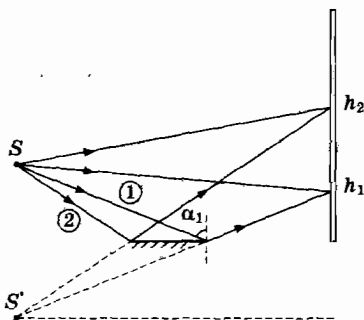


Рис. 11.1.12 б

Очевидно вертикальный размер H области пересечения отраженного и неотраженного пучков света $H = h_2 - h_1$, $h_2 = L \operatorname{ctg} \alpha_2$, $\operatorname{ctg} \alpha_2 = h/b$, $h_1 = L \operatorname{ctg} \alpha_1$, $\operatorname{ctg} \alpha_1 = h/(b+s)$.

11.1.13. Два луча из пучка лучей, параллельных оптической оси, изображены на рис. 11.1.13.

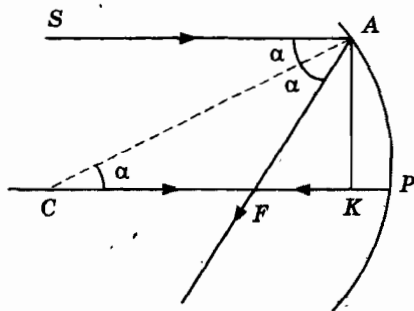


Рис. 11.1.13

Очевидно $PF = R - CF$. Из равнобедренного $\triangle CFA$ находим $R = 2CF \cos \alpha$. Поскольку $AK = b$, то из прямоугольного $\triangle CAK$ получим $b = R \sin \alpha$.

$$\text{Следовательно, } PF = R \left[1 - \frac{1}{2\sqrt{1 - (b/R)^2}} \right].$$

Мы видим, что лучи параллельного пучка после отражения не пересекаются в одной точке. Однако в случае тонкого пучка ($b \ll R$) величина $PF \approx R/2$. В этом приближении все лучи тонкого пучка пересекутся в точке F , которая называется *фокусом* вогнутого зеркала.

11.1.14. Согласно условию задачи угол падения луча $\alpha > \delta$, $n_2 \sin \delta = 1$. Закон преломления в форме (11.1.1) позволяет сразу же решить задачу. Пусть луч выходит через пластинку под углом β . Тогда $\sin \beta = n_2 \sin \alpha > n_2 \sin \delta = 1$, $\sin \beta > 1$. Отсюда следует вывод: луч света не выйдет в воздух.

Выясним теперь, пройдет ли луч света в стеклянную пластинку?

Предельный угол δ_0 для границы вода-стекло определяется условием $\sin \delta_0 = n_{\text{ст}}/n_{\text{в}}$, $\delta_0 > \delta$. Если $\delta < \alpha < \delta_0$, то луч пройдет в пластинку и отразится от границы стекло-воздух. Если же $\alpha > \delta_0$, то луч не проникнет в пластинку.

11.1.16. Пусть $\alpha \approx \pi/2$ и β — углы падения и преломления луча на нижней грани кубика (рис. 11.1.16). Тогда $\sin \alpha = n \sin \beta$.

Угол падения преломленного луча на боковую грань $\delta = \pi/2 - \beta$.
 При условии $n \sin \delta \geq 1$ этот луч отразится от боковой грани.
 Следовательно, имеем неравенство $n^2 - \sin^2 \alpha \geq 1$, $n \geq \sqrt{2}$.

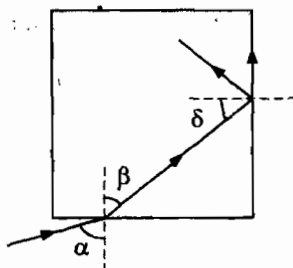


Рис. 11.1.16

11.1.17. Из закона преломления следует уравнение $\sin \alpha = n \sin \beta$,
 где $\alpha = \pi/4$ (рис. 11.1.17 б). Согласно рисунку $h = htg \beta + b$.

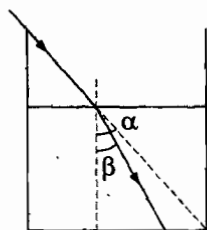


Рис. 11.1.17 б

11.1.18. Наблюдатель и источник находятся на одной вертикали:
 $r = 0$. В этом случае решение задачи элементарно (рис. 11.1.18).

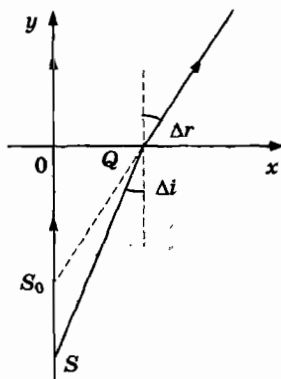


Рис. 11.1.18

Один луч идет перпендикулярно к поверхности воды, другой — под углом $\Delta i \ll 1$. Его продолжение пересекает первый луч в точке $S_0(0, y_0 = -h', 0)$. Поскольку OQ — общий катет треугольников OQS и OQS_0 , то $htg\Delta i = h'tg\Delta r$. В приближении малых углов имеем уравнение $h\Delta i = h'\Delta r$. Учитывая закон преломления $n\sin\Delta i = \sin\Delta r$ в приближении малых углов $n\Delta i = \Delta r$, получим $h' = h/n$.

11.1.19. Луч света, испускаемый источником, падает на поверхность воды под углом i в точке $P(htgi, 0, 0)$. К наблюдателю луч приходит по прямой (рис. 11.1.19)

$$y_1(x) = (x - htgi)ctgr. \quad (1)$$

Согласно закону преломления

$$n\sin i = \sin r. \quad (2)$$

Для определения координат изображения необходимо найти точку пересечения двух лучей. Пусть второй луч падает на поверхность воды под углом $i + \Delta i$, близким к углу i . Этот луч приходит к наблюдателю по прямой $y_2(x) = [x - htg(i + \Delta i)]ctg(r + \Delta r)$, $n\sin(i + \Delta i) = \sin(r + \Delta r)$. Поскольку $\Delta i, \Delta r \ll 1$, то, учитывая разложение $f(z + \Delta z) \approx f(z) + (df/dz)\Delta z$, получаем

$$y_2(x) = y_1(x) - (x - htgi) \frac{\Delta r}{\sin^2 r} - hctgr \frac{\Delta i}{\cos^2 i}, \quad (3)$$

$$(ncos i)\Delta i = (\cos r)\Delta r. \quad (4)$$

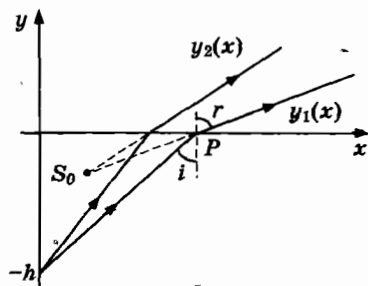


Рис. 11.1.19

В точке S_0 пересечения лучей $y_2(x_0) = y_1(x_0)$. Из этих уравнений находим

$$x_0 = htgi - h \frac{\sin r \cos r}{\cos^2 i} \frac{\Delta i}{\Delta r}, \rightarrow x_0 = h(n^2 - 1) \left(\frac{\sin r}{n \cos i} \right)^3. \quad (5)$$

Значение y -координаты изображения $y_0 = y(x_0)$,

$$y_0 = -\frac{h}{n} \left[\frac{n \cos r}{\sqrt{n^2 - \sin^2 r}} \right]^3. \quad (6)$$

Рассмотрим несколько частных случаев.

А. К наблюдателю приходит луч, параллельный поверхности воды: $r = \pi/2$. Тогда $i = \delta$, $n \sin \delta = 1$, где δ — угол полного внутреннего отражения. Координаты изображения $x_0 = h/(n^2 - 1)^{1/2}$, $y_0 = 0$.

Б. Пусть $i + r = \pi/2$. В этом случае угол между преломленным лучом и лучом, отраженным от поверхности воды, равен $\pi/2$. Из (2) находим $\operatorname{tgr} = n$. Координаты изображения $x_0 = h(n^2 - 1)/n^3$, $y_0 = -h/n^4$.

11.1.20. Глубина погружения h и радиус круга R связаны соотношением $h = R \operatorname{tg} \delta$, $n \sin \delta = 1$.

11.1.21. На рис. 11.1.21 $\sin \alpha = n \sin \beta$, $OK \operatorname{tg} \beta = MK \operatorname{tg} \alpha$. Для малых углов $\alpha = n\beta$, $OK\beta = MK\alpha$, $MK = h/n$. Расстояние $f/2 = d + h/n$.

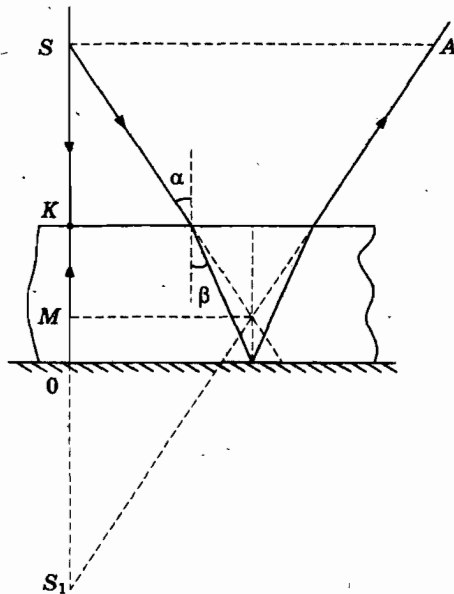


Рис. 11.1.21

11.1.22. Луч света, испускаемый источником, падает на поверхность зеркала под углом α , преломляется, отражается и снова преломляется. К наблюдателю луч приходит по прямой (рис. 11.1.22) $z_1(x) = h + (x - a) \operatorname{ctg} \alpha$, $a = d \operatorname{tg} \alpha + 2h \operatorname{tg} \beta$.

Подставляя a , получаем

$$z_1(x) = h - d - 2htg\beta ctg\alpha + xctg\alpha. \quad (1)$$

Согласно закону преломления

$$\sin\alpha = n\sin\beta. \quad (2)$$

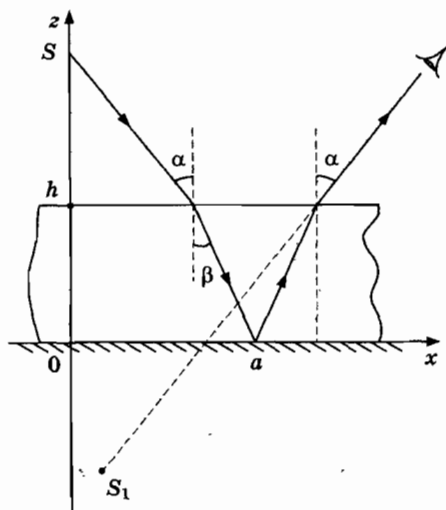


Рис.11.1.22

Для определения координат изображения необходимо найти точку пересечения двух лучей. Пусть второй луч падает на поверхность воды под углом $\alpha + \Delta\alpha$, близким к углу α . Этот луч приходит к наблюдателю по прямой

$$z_2(x) = h - d - 2htg(\beta + \Delta\beta)ctg(\alpha + \Delta\alpha) + xctg(\alpha + \Delta\alpha). \quad (3)$$

$$\cos(\alpha + \Delta\alpha) = n\cos(\beta + \Delta\beta). \quad (4)$$

Поскольку $\Delta\alpha, \Delta\beta \ll 1$, то из уравнений (1), (3), (4) получаем

$$z_2(x) = z_1(x) - 2h[(ctg\alpha/\cos^2\beta)\Delta\beta - (tg\beta/\sin^2\alpha)\Delta\alpha] - x\Delta\alpha/\sin^2\alpha. \quad (5)$$

$$(\cos\alpha)\Delta\alpha = n(\cos\beta)\Delta\beta. \quad (6)$$

В точке S_0 пересечения лучей $z_2(x_e) = z_1(x_e)$. Из этого уравнения находим

$$x_e = (2hsin\alpha/n\cos\beta)[1 - (\cos\alpha/\cos\beta)^2], \quad (7)$$

Значение z -координаты изображения $z_e = z(x_e)$,

$$z_e = h - d - 2(h/n)(\cos\alpha/\cos\beta)^3. \quad (8)$$

Учитывая закон преломления (2), получим координаты изображения S_1 :

$$x_e = 2h(n^2 - 1)\sin^3\alpha / (n^2 - \sin^2\alpha)^{3/2},$$

$$z_e = h - d - 2hn^2\cos^3\alpha / (n^2 - \sin^2\alpha)^{3/2}.$$

Рассмотрим частный случай — наблюдатель видит предмет под углом $\alpha = 0$. Из (7), (8) получим результат задачи 11.1.21: $f = d + h - z_e$, $z_e = h - d - 2h/n$.

11.1.23. А. Траектория луча LM остается прямой линией. Луч SA преломляется. Согласно закону преломления $\sin\alpha = n\sin\beta$, где β — угол преломления. После преломления в точке B траектория луча — отрезок прямой BP , образующий с нормалью к пластине угол α .

Найдем сначала смещение BN луча BP . Построим два прямоугольных треугольника — ABN и ABK с общей гипотенузой AB . Катет $BN = AB\sin\gamma$, где $\gamma = \alpha - \beta$. Очевидно $AB = h/\cos\beta$.

Следовательно, $BN = \frac{h\sin(\alpha - \beta)}{\cos\beta} = d\sin\alpha \left[1 - \frac{\cos\alpha}{\sqrt{n^2 - \sin^2\alpha}} \right]$.

Б. $MP = d \left[1 - \frac{\cos\alpha}{\sqrt{n^2 - \sin^2\alpha}} \right]$.

В случае малого угла падения $\alpha \ll 1$ получим $MP = d(n - 1)/n$.

11.1.26 А. После преломления на грани AB луч идет в призме, образуя с нормалью N_1 угол β_1 (рис. 11.1.26).

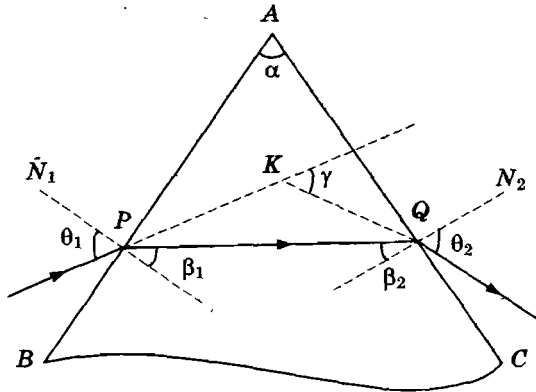


Рис. 11.1.26

Согласно закону преломления

$$\sin\theta_1 = n\sin\beta_1. \quad (1)$$

После преломления призмой луч света всегда отклоняется к основанию BC . На грань AC луч падает под углом β_2 , зависящим от преломляющего угла призмы. В $\triangle PAQ$ сумма углов равна π :

$$\alpha + (\pi/2 - \beta_1) + (\pi/2 - \beta_2) = \pi, \text{ или } \alpha = \beta_1 + \beta_2. \quad (2)$$

Если угол β_2 меньше угла полного внутреннего отражения δ , удовлетворяющего условию $n \sin \delta = 1$, то после преломления на грани AC луч выходит из призмы под углом θ_2 к нормали N_2 . Из закона преломления имеем:

$$n \sin \beta_2 = \sin \theta_2. \quad (3)$$

Угол отклонения γ найдем из $\triangle PKQ$:

$$\gamma = (\theta_1 - \beta_1) + (\theta_2 - \beta_2), \text{ или } \gamma = \theta_1 + \theta_2 - \alpha. \quad (4)$$

Уравнения (1)–(4) позволяют найти угол γ как функцию угла падения θ_1 и преломляющего угла призмы α .

Б. $\alpha > \delta$, $n \sin \delta > 1$.

11.1.27. При симметричном преломлении $\theta_1 = \theta_2 = \theta$, $\beta_1 = \beta_2 = \beta$, $\beta = \alpha/2$, $\sin \theta = n \sin \alpha/2$. Угол отклонения $\gamma = 2\theta - \alpha$ оказывается наименьшим. Согласно условию $\sin \theta = 3/4$, $\theta = 48^\circ 40'$. Угол отклонения $\gamma = 37^\circ 20'$.

11.1.28. В этом случае из (1), (3) имеем уравнения $\theta_1 \approx n\beta_1$, $n\beta_2 \approx \theta_2$. Подставляя θ_1 , θ_2 в (4) и учитывая (2), получим $\gamma = (n - 1)\alpha$.

11.1.29. На рис. 11.1.29 б для грани AB имеем уравнение $\sin \alpha = n \sin \beta$, $\alpha = \pi/4$.

Угол падения на грань AC равен $\gamma = \pi/2 + \beta - \alpha = \pi/4 + \beta$. Условие полного внутреннего отражения $n \sin \gamma > 1$ или $n(\cos \beta + \sin \beta) > \sqrt{2}$.

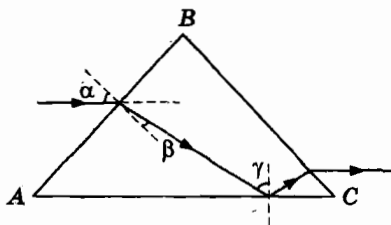


Рис. 11.1.29 б

11.1.31. Падающий луч расщепляется на отраженный и преломленный лучи.

Из закона преломления на грани AC находим $n \sin \alpha = \sin \beta$, $\beta = \pi/3$. Угол падения отраженного луча на грань AB равен $\gamma = \pi/3$.

Луч преломится на грани AB , если $n \sin \gamma < 1$.
 В нашем случае $n \sin \gamma = 3/2$.

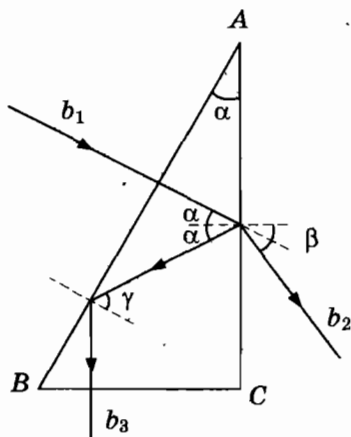


Рис. 11.1.31 б

11.1.32. Падающий луч расщепляется на отраженный и преломленный лучи. Из закона преломления на грани AC находим $n \sin \alpha = \sin \beta$, $\beta = \pi/2$.

Отраженный от грани AC луч выходит из призмы.

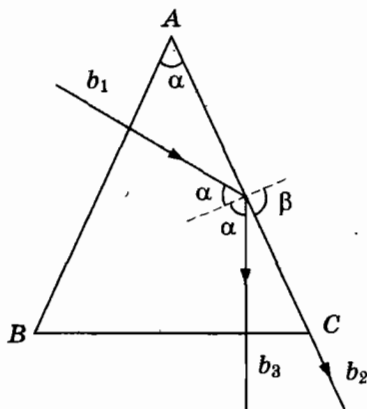


Рис. 11.1.32 б

11.1.33. На рис. 11.1.33 б изображена траектория луча, падающего на систему призм и выходящего из нее параллельно основанию. Углы $\theta_1 = \theta_2 = \pi/6$, $\pi/3 = \beta_1 + \beta_2$. На основании закона преломления

имеем два уравнения $1/2 = n \sin \beta_1$, $n \sin \beta_2 = n_1/2$. Коэффициент преломления $n_1 = (\sqrt{3}\sqrt{4n^2 - 1} - 1)/2$.

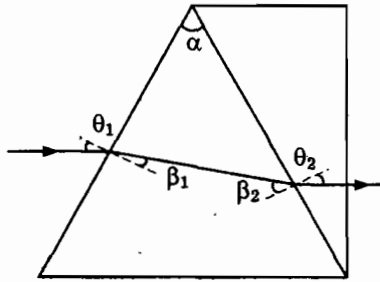


Рис. 11.1.33 б

11.1.34. Падающий луч расщепляется на отраженный и преломленный лучи.

Угол падения луча на правую грань равен α : $n \sin \alpha = \sin \beta$, β — угол преломления (рис. 11.1.34 б).

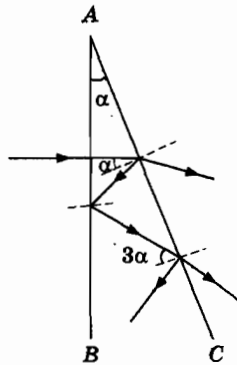


Рис. 11.1.34 б

Поскольку $\alpha \ll 1$, то $n\alpha = \beta$. После двух отражений угол падения луча на грань AC равен 3α . После четырех отражений угол падения луча на грань AC равен 5α .

11.1.35. Отклоняющий угол тонкой призмы $\alpha \ll 1$. Источник находится в точке $S(-d, 0, 0)$ (рис. 11.1.35). Угол между падающим и преломленным лучами $\gamma = (n - 1)\alpha$. Один из лучей падает на призму по оси x и приходит к наблюдателю по прямой $y_1(x) = -(n - 1)\alpha x$, $x > 0$, образующей угол $(n - 1)\alpha$ с осью x . Второй луч падает на приз-

му под углом $\theta \ll 1$. Угол между осью x и лучом равен $(n - 1)\alpha - \theta$. Поэтому преломленный луч приходит к наблюдателю по прямой $y_2(x) = d\theta + [\theta - (n - 1)\alpha]x, x > 0$.

Точку пересечения лучей найдем из уравнения $y_1(x) = y_2(x)$: $x = -d$. Изображение находится в точке $S'(-d, (n - 1)\alpha d, 0)$.

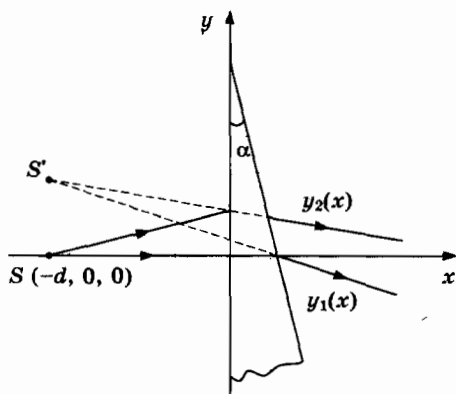


Рис. 11.1.35

11.1.36. Первое изображение в точке $S_1(d, 0, 0)$ формируется лучами, отраженными от передней грани как от зеркала. Луч SA , падающий под углом $\varphi \ll 1$, преломляется в луч AB . Угол преломления β : $\varphi = n\beta$. Угол отражения луча AB от второй грани найдем из треугольника ABT : $\pi/2 + \beta + \alpha + \pi/2 - \gamma = \pi, \gamma = \alpha + \beta$. Отраженный луч BC падает на первую грань под углом θ .

Из треугольника ABC находим $\pi/2 - \beta + 2\gamma + \pi/2 - \theta = \pi, \theta = 2\alpha + \beta$. Угол преломления этого луча r : $r = n\theta, r = n(2\alpha + \beta)$.

Запишем теперь уравнение прямой, проходящей через точку C , на которой лежит преломленный луч CD :

$$y_1(x) = -OC + n(2\alpha + \beta)x, \quad (1)$$

где $OC = \varphi d + AC$.

Заметим, что на рис. 11.1.36 нарушен масштаб – угол α не удовлетворяет условию $\alpha \ll 1$. Покажем, что $AC \approx 0$, т.е. величина второго порядка малости.

Пусть $AT = H$. Тогда $AB = H\alpha, AC = 2\gamma AB: AC = 2H\gamma\alpha$.

Уравнение прямой (1) приобретает вид

$$y_1(x) = -\varphi d + n(2\alpha + \beta)x, \quad (2)$$

В максимуме интенсивности разность фаз $2\omega\alpha x/c(a+b) = 2\pi m$, $m = 1, 2, \dots$. Расстояние $x_m = m\lambda(a+b)/2(n-1)\alpha$.

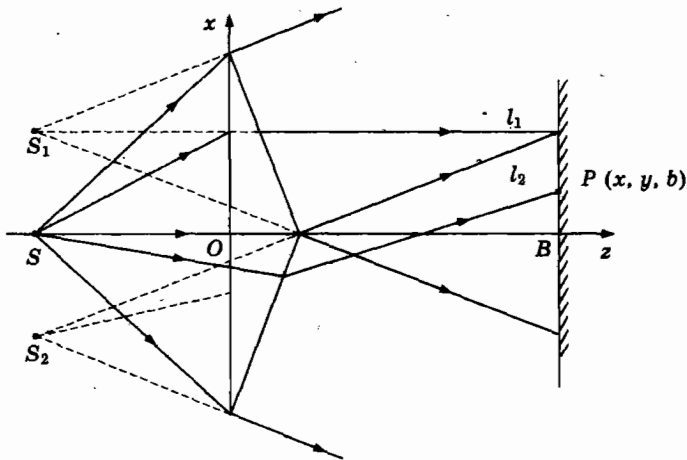


Рис. 11.1.37 б

11.1.38. А. На рис. 11.1.38 угол $\beta = (n-1)\alpha$. Расстояние $OB = H \operatorname{ctg} \beta \approx H/(n-1)\alpha$, поперечные размеры $MN = H$.

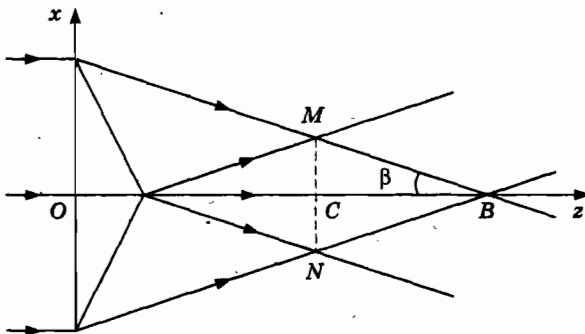


Рис. 11.1.38

Б. Для линейно поляризованной волны компонента напряженности поля за бипризмой

$$E_y \approx E_0 \cos(\omega t - \omega\gamma x/c - \omega z/c) + E_0 \cos(\omega t + \omega\gamma x/c - \omega z/c).$$

В точке $P(x, 0, z)$ максимума интенсивности, разность фаз $2\omega\gamma x/c = 2\pi n$, $n = 1, 2, \dots$. Расстояние между максимумами $\Delta x = \lambda/2\gamma$. Полное число полос $N = MN/\Delta x$, $N = 2H(n-1)\alpha/\lambda$.

11.1.39. Для углов падения $\alpha \ll 1$, таких что $\sin \alpha \sim \alpha$, из закона преломления следует уравнение $\alpha = n\beta$. Поскольку $\alpha = 2\beta$, то при $n = 2$ пучок будет отражен и выйдет в обратном направлении.

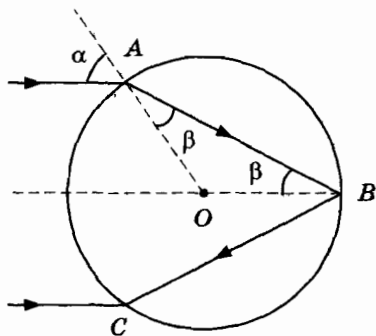


Рис. 11.1.39

11.1.40. На рис. 11.1.40 угол падения луча α , угол преломления β и угол γ связаны соотношениями

$$\gamma = 4\beta - 2\alpha \quad (1),$$

$$\sin \alpha = n \sin \beta, \quad (2)$$

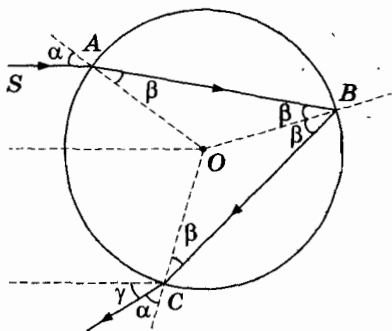


Рис. 11.1.40

Дифференцируя соотношения (1), (2), получаем систему

$$4 \frac{d\beta}{d\alpha} - 2 = 0, \quad \sin \alpha = n \cos \beta \frac{d\beta}{d\alpha}, \quad \rightarrow \sin \alpha_0 = \frac{n}{2} \cos \beta_0, \quad \sin \alpha_0 = n \sin \beta_0,$$

из которой находим

$$\sin \alpha_0 = \sqrt{(4-n^2)/3}, \quad \sin \beta_0 = \frac{1}{n} \sqrt{(4-n^2)/3}. \quad (3)$$

Основные особенности радуги можно понять, рассматривая отражение и преломление света, падающего на одну каплю воды. В 1637 г. Р. Декарт, еще до открытия дифференциального исчисления, выполнил более 10 000 вычислений и нашел, что функция $\gamma(\alpha)$ достигает минимального значения $\gamma_m = 42^\circ$ при $\alpha_0 = 39^\circ$. Показатель преломления воды для красного света $n_k = 1,331$, для фиолетового — $n_\phi = 1,343$. Декарт не смог объяснить, почему внешний край радуги красный, а внутренний — фиолетовый, т.к. И. Ньютон открыл эффект дисперсии среды только в 1675 г.

11.1.41. Условие полного внутреннего отражения $n_c \sin \gamma_0 = n_m$. Предельный угол падения найдем из закона преломления $\sin \theta_0 = n_c \cos \gamma_0$.

Если лучи падают на внутреннюю поверхность оболочки под углом, который больше угла полного внутреннего отражения, то они полностью отразятся и будут распространяться в волокне, даже если волокно изогнуто.

11.1.42. Построим траекторию лучей AK и AF , вышедших из точки A (рис. 11.1.42 *a*). Угол падения на внутреннюю поверхность α , угол преломления β : $\sin \alpha = n \sin \beta$. Угол падения на внешнюю поверхность γ , угол преломления — δ : $n \sin \gamma = \sin \delta$. Из теоремы синусов для треугольника OBC находим $r/\sin \gamma = R/\sin \beta$. Обозначим угол COB — x , угол $OA'C$ — y . Поскольку сумма углов в треугольниках COB и $OA'C$ равна π , то $x = \beta - \gamma$, $y = 2\alpha - \beta + \gamma - \delta$. Из теоремы синусов для треугольника $OA'C$ следует соотношение $R/\sin y = OA'/\sin \delta$.

Для малых углов имеем уравнения $\alpha = n\beta$, $n\gamma = \delta$, $r/\gamma = R/\beta$. Отсюда находим $OA' = nrR/[R(2n - 1) - r(n - 1)]$.

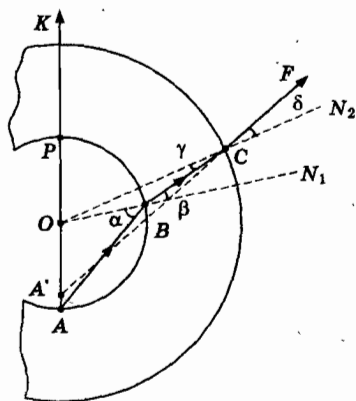


Рис. 11.1.42 *a*

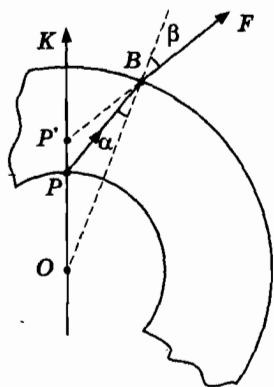


Рис. 11.1.42 *б*

Построим теперь траекторию лучей PK и PF , вышедших из точки P (рис. 11.1.42 б). Угол падения на внешнюю поверхность α , угол преломления β : $ns\sin\alpha = \sin\beta$. Обозначим угол $KPB - x$, угол $PPB - y$. Из теоремы синусов для треугольников $OP'B$ и OPB следует соотношения $R/\sin x = OP'/\sin\beta$, $r/\sin\alpha = R/\sin y$. Поскольку сумма углов в треугольниках $PP'B$ равна π , то $x = \beta - \alpha + y$.

Для малых углов имеем уравнения $\alpha = n\beta$, $R/x = OP'/\beta$, $r/\alpha = R/y$.

Отсюда находим $D = OA' + OP'$, $OA' = nrR/[R(2n - 1) - r(n - 1)]$, $OP' = nrR/[R + r(n - 1)]$.

11.1.43. Полагая в решении задачи 11.1.42 $r = s(t)$, $OP' = l(t)$, получаем $l = nsR/[R + s(n - 1)]$. Скорость изображения $u = dl/dt$, $u = nvR^2/[R + s(n - 1)]^2$, где $v = ds/dt$ — скорость источника света. При значении $s = 0$, $u = vn$.

Интересно исследовать предельный случай плоской границы аквариума. Введем расстояние от источника до поверхности $H = R - s$ и расстояние от поверхности до изображения $H' = R - l$,

$$H' = RH/[R + (R - H)(n - 1)].$$

При $H/R \rightarrow 0$, $[R + (R - H)(n - 1)]/R = n$, $H' = H/n$. Скорость изображения $u = v/n$.

11.2. Волны в неоднородной и анизотропной средах

11.2.1. Пусть S — объект, от которого исходит пучок лучей. На высоте $z_c = h$ в точке C один из лучей входит под углом α_c к вертикали и касается шоссе в точке T (рис. 11.2.1).

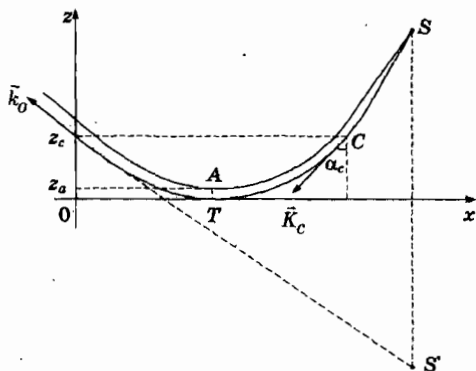


Рис. 11.2.1

Тогда из условия отражения находим $n_0 = n \sin \alpha_c$, где $n_0 = n(0)$, $n_c = n(z_c)$. Касательная к траектории луча в точке наблюдения образует тот же угол α_c с вертикалью. Луч, входящий под углом $\alpha_c = \alpha + \Delta\alpha$, отражается в точке A на высоте z_a при условии $n_a = n \sin(\alpha_c + \Delta\alpha)$. Поскольку $\Delta\alpha \ll 1$, то $n_a - n_0 = \Delta\alpha n \cos \alpha_c$. Оба луча принадлежат к сходящемуся пучку лучей в окрестности точки наблюдения.

Из схематического рис. 11.2.1 следует, что участки неба, отраженные воздушным зеркалом могут создать в точке наблюдения S полную иллюзию блестящей водной поверхности на сухом асфальте.

11.2.2. Если $\alpha(z)$ — угол между касательной к лучу и осью z в точке с координатой x, y, z , то угол между касательной и осью x равен $\pi/2 - \alpha$. Следовательно, $\operatorname{ctg} \alpha(z) = dz/dx$. Из закона преломления (11.2.1) находим

$$(dz/dx)^2 = [n^2(z) - C^2]/C^2, \quad (1)$$

где $C = n(0) \sin \alpha(0)$.

Вычисляя производную (1), получаем уравнение

$$d^2z/dx^2 = (1/2C^2) dn^2/dz, \quad (2)$$

которое позволяет найти траекторию луча в плоскострой среде в случае произвольной функции $n(z)$. В нашем случае $d^2z/dx^2 = g/C^2$. Решением этого уравнения является функция $z(x) = gx^2/2C^2 + Ax + B$, где A, B — произвольные постоянные.

Вернемся к рис. 11.2.1. В точке $(0, 0, z_c)$ константа $C = n_c \sin \alpha_c = n_0$, $n_c = n(z_c)$. Отсюда получим $z_c = (n_0^2/2g) \operatorname{ctg}^2 \alpha_c$. Постоянные A и B найдем из условий $z(0) = z_c$, $(dz/dx)_c = -\operatorname{ctg} \alpha_c$. Следовательно, $B = z_c$, $A = -\operatorname{ctg} \alpha_c$. Уравнение траектории приобретает вид

$$z(x) = gx^2/2n_0^2 - x \operatorname{ctg} \alpha_c + (n_0^2/2g) \operatorname{ctg}^2 \alpha_c.$$

Координаты точки отражения $x_c = (n_0^2/g) \operatorname{ctg} \alpha_c$, $z_c = 0$.

11.2.3. В промежутке $0 \leq x \leq x_0$, $x_0 = h \operatorname{tg} \alpha$ траектория луча — отрезок прямой в области $0 \leq z \leq h$. Далее луч входит в ионосферу. На уровне $z(x_0) = h$ постоянная $C = \sin \alpha$, из (1) найдем значение производной $(dz/dx)_0 = \operatorname{ctg} \alpha$.

Из уравнения (2) получаем $d^2z/dx^2 = -g/(\sin \alpha)^2$. В результате интегрирования этого уравнения получаем

$$z(x) = -g(x - x_0)^2/2\sin^2 \alpha + (x - x_0) \operatorname{ctg} \alpha + h.$$

Луч достигает максимальной высоты и по параболической траектории выходит из слоя ионосферы на высоте h (рис. 11.2.3).

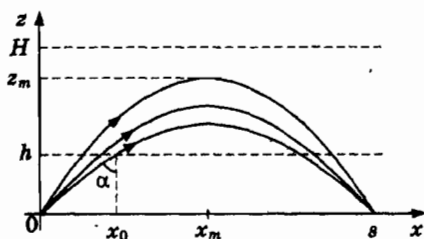


Рис. 11.2.3

Найдем максимальное значение функции $z(x)$:

$$dz/dx = -g(x - x_0)/\sin^2\alpha + \text{ctg}\alpha = 0, \rightarrow$$

$$\rightarrow x_m = x_0 + \sin\alpha \cos\alpha/g, \quad z_m = z(x_m), \quad z_m = h + (\cos\alpha)^2/2g.$$

Координата точки пересечения траектории с осью x или «дальность» $s = 2x_m$, $s = 2ht\text{ctg}\alpha + \sin 2\alpha/g$.

Корни этого уравнения определяют возможные траектории луча. Если перейти к переменной $u = \text{tg}\alpha$, то получим кубическое уравнение, которое может иметь один или три действительных корня при условии $8gh < 1$ (см. также задачу 4.1.43).

Для оценок можно положить $h = 80$ км, $H = 300$ км. Для линейного слоя $2g = ke^2 n_H / [\pi m v^2 (H - h)]$, где e , m — заряд и масса электрона, $n_H = 1,75 \cdot 10^{12} \text{ м}^{-3}$ — концентрация электронов в максимуме слоя F , v — частота волны, $ke^2/\pi m = 80 \text{ м}^3/\text{с}^2$.

11.2.5. Рассмотрим два луча: луч OS и луч AQS , проходящий через произвольно выбранную точку $Q(x, y, 0)$. Оптические длины лучей $l_{OS} = n r_{OS} = nF$, $l_{AQS} = r_{AQ} + n r_{QS} = x + n[y^2 + (F - x)^2]^{1/2}$. Все лучи пересекутся в точке S , если $l_{AQS} = l_{OS}$: $nF = x + n[y^2 + (F - x)^2]^{1/2}$.

Из этого условия находим

$$[(x - a)/a]^2 + (y/b)^2 = 1, \quad a = Fn/(n + 1), \quad b = F[(n - 1)/(n + 1)]^{1/2}.$$

Кривая $y = y(x)$ представляет собой эллипс с полуосями a и b ($a > b$), центр эллипса находится в точке $(a, 0, 0)$.

11.2.6. Параметр эллипса $p = F(n - 1)/n$, эксцентриситет $e = 1/n$.

Первый фокус эллипса F_1 находится в точке S на расстоянии $OS = p/(1 - e) = F$ от начала координат. Отрезок $SK = p/(1 + e)$. Длина большой оси $OK = OS + SK = 2p/(1 - e^2)$.

Второй фокус F_2 находится на расстоянии $OF_2 = SK$ от начала координат.

Расстояние между фокусами $F_1 F_2 = OS - SK = 2ae$.

11.2.7. Построим нормаль к эллипсу в точке Q — прямую, проходящую через точки Q и N . Точки F_1 и F_2 на рис. 11.2.7 — фокусы эллипса. Из выдающихся свойств эллипса известно, что нормаль является биссектрисой внутреннего угла F_1QF_2 между радиус-векторами точки касания с началами в фокусах — углы F_1QN и NQF_2 равны β . Согласно теореме синусов $\sin\alpha/F_1Q = \sin\beta/F_1N$, $\sin\alpha/F_2Q = \sin\beta/F_2N$. Отсюда находим,

$$\sin\alpha(F_1N + F_2N) = \sin\beta(F_1Q + F_2Q), \text{ или}$$

$$\sin\alpha(F_1F_2) = \sin\beta(F_1Q + F_2Q).$$

Согласно основному свойству эллипса $F_1Q + F_2Q = PO$, $PO = 2a$.

Расстояние между фокусами $F_1F_2 = 2ae$. Следовательно,

$$\sin\alpha = \sin\beta(PO/F_1F_2) = (1/e)\sin\beta.$$

11.2.8. Угол падения в точке A равен α , $\sin\alpha = p/R$, p — расстояние луча от оси. Согласно (11.2.2) $rn(r)\sin\theta(r) = R\sin\alpha$. В точке S выхода луча из сферы угол преломления $\theta(R) = \theta_0$. Из закона преломления находим, что угол $\theta_0 = \alpha$. Мы приходим к выводу, что траектории всех падающих лучей пересекаются в точке S (рис. 11.2.8). Если в точку S поместить источник, то все лучи выйдут наружу пучком, параллельным оптической оси.

В строгой теории показано, что внутри шара траектория луча — дуга эллипса. В этом можно убедиться, применяя принцип Ферма.

Большая ось эллипса образует угол $\alpha/2$ с оптической осью.

Длина большой полуоси $a = (2)^{1/2}R\cos(\alpha/2)$, малой полуоси — $b = (2)^{1/2}R\sin(\alpha/2)$. При $p = R$ траектория луча — окружность.

Отметим, что линза Лунеберга применяется в радиотехнике сверхвысоких частот.

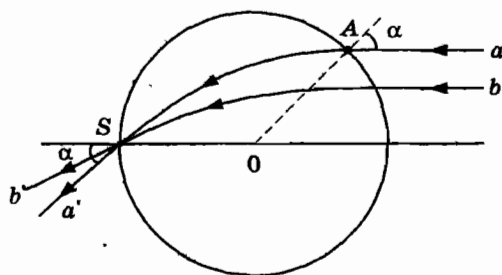


Рис. 11.2.8

11.2.9. Начало координат расположим в точке O . Обозначим $\theta(r)$ — угол между радиус-вектором и касательной к лучу на расстоянии r от точки O . Рассмотрим луч, вышедший из точки S под углом α к радиус-вектору OS на расстоянии $OS = r_0$ от начала координат, $\theta(r_0) = \alpha$.

Согласно закону преломления $n(r)\sin\theta(r) = r_0 n(r_0)\sin\alpha$ получаем $r\sin\theta(r)[1 + (r/c)^2]^{-1} = r_0\sin\alpha[1 + (r_0/c)^2]^{-1}$.

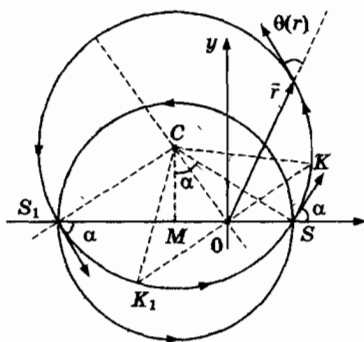


Рис. 11.2.9

При любом α этому уравнению удовлетворяют значения $r = r_1$, $r_1 = c^2/r_0$, $\theta(r_1) = \pi - \alpha$, соответствующие точке S_1 на продолжении отрезка SO (рис. 11.2.9).

Таким образом, отображение точки S осуществляется преобразованием инверсии: $OS = r_0$, $OS_1 = c^2/r_0$; $OS \cdot OS_1 = c^2$. Например, для точки K на хорде K_1K , перпендикулярной отрезку OC имеем: $K_1O = KO$, $KO^2 = c^2$, т.е. точки K , S и S_1 , K_1 лежат на одной окружности. Точки, лежащие на произвольной хорде A_0OA_1 также связаны преобразованием инверсии $r_1 = c^2/r_0$, $\varphi_1 = \varphi_0 + \pi$. Следовательно, траекториями всех лучей, выходящих из произвольной точки A_0 , являются окружности, пересекающие точку A_0 на прямой, принадлежащей отрезку A_0O . На рис. 11.2.9 изображена траектория второго луча, вышедшего из точки S под углом $\pi/2$ отрезку OS .

Длины отрезков $SS_1 = r_0 + c^2/r_0$, $MS = SS_1/2$. Радиус окружности $R = CS$, $R = (r_0^2 + c^2)/(2r_0\sin\alpha)$. Расстояние между началом координат и центром окружности найдем из треугольника OCK и из уравнения для точек на концах диаметра, которому принадлежит отрезок CO : $(R + OC)(R - OC) = c^2$, $OC = [R^2 - c^2]^{1/2}$. Минимальное и максимальное расстояния от начала координат связаны соотношением $r_{\max}r_{\min} = c^2$.

11.2.11. Из (1) получим $\vec{h} = \vec{k} \times (\vec{w}_0 \times \vec{k}) = \vec{w}_0 k^2 - \vec{k} (\vec{k} \vec{w}_0)$. Следовательно,

$$\begin{aligned} e_1 &= -\mu_0 \omega k_2 w_0, \quad e_2 = \mu_0 \omega k_1 w_0, \quad e_3 = 0, \\ h_1 &= -k_3 k_1 w_0, \quad h_2 = -k_3 k_2 w_0, \quad h_3 = k_1^2 w_0, \end{aligned} \quad (1)$$

где $k_1^2 = k_1'^2 + k_2'^2$.

Подставляя (1) в (1 б), получим закон дисперсии обыкновенной волны

$$\varepsilon(\omega/c)^2 = \vec{k}^2. \quad (2)$$

11.2.12. Подставим \vec{h} в (1 б) и учтем соотношение

$$\vec{k} \times \vec{h} = \varepsilon_0 \omega [\vec{k} (\vec{k} \vec{w}_n) - \vec{w}_n k^2].$$

Тогда находим

$$\begin{aligned} e_1 &= -(k_3 k_1 / \varepsilon) w_n, \quad e_2 = -(k_3 k_2 / \varepsilon) w_n, \quad e_3 = (k_1^2 / \varepsilon_3) w_n, \\ h_1 &= \varepsilon_0 \omega k_2 w_n, \quad h_2 = -\varepsilon_0 \omega k_1 w_n, \quad h_3 = 0. \end{aligned} \quad (3)$$

Подставляя \vec{e} , \vec{h} в (1а), получим закон дисперсии необыкновенной волны

$$\frac{k_1^2}{\varepsilon_3} + \frac{k_3^2}{\varepsilon} = \left(\frac{\omega}{c}\right)^2. \quad (4)$$

Уравнения (2), (4) определяют поверхности волновых векторов $\vec{k}_0 = (k_1, k_2, k_3)$, $\vec{k}_n = (k_1, k_2, k_3)$. Здесь k_3 , k_3' — корни уравнений (2), (4).

11.2.13. Полагая $\vec{k} = (\omega/c) \vec{n}$, получим из (1), (3) векторы напряженности электрического поля в случае обыкновенной и необыкновенной волн

$$\vec{e}_0 = \frac{1}{n_\perp} \begin{pmatrix} -n_2 \\ n_1 \\ 0 \end{pmatrix}, \quad \vec{e}_n = \frac{1}{n_\perp} \begin{pmatrix} -n_1 n_{e3} / \varepsilon \\ -n_2 n_{e3} / \varepsilon \\ n_\perp^2 / \varepsilon_3 \end{pmatrix}. \quad (5)$$

Отметим, что векторы \vec{e}_0 и \vec{e}_n перпендикулярны друг другу: $\vec{e}_0 \vec{e}_n = 0$. Общее решение уравнений Максвелла соответствует двум плоским волнам, поляризованным в двух взаимно перпендикулярных направлениях:

$$\vec{E}(t, x, y, z) = \text{Re} [C_0 \vec{e}_0 \exp(-i\omega t + i \vec{k}_0 \vec{r}) + C_n \vec{e}_n \exp(-i\omega t + i \vec{k}_n \vec{r})], \quad (6)$$

где C_0 , C_n — постоянные коэффициенты.

11.2.14. Подставляя (6), получим среднее значение $\bar{s} = \langle \vec{S} \rangle = \bar{s}_0 + \bar{s}_n$,

$$\bar{s}_0 = \frac{1}{2} \varepsilon_0 c \bar{n}_0 \bar{e}_0^2 C_0^2, \quad \bar{s}_n = \frac{1}{2} \varepsilon_0 c [\bar{n}_n \bar{e}_n^2 - \bar{e}_n (\bar{n}_n \bar{e}_n)] C_n^2, \quad (7)$$

Величина вектора \bar{s} определяет интенсивность волны. В изотропной среде направление вектора \bar{s} всегда совпадает с направлением волнового вектора. В анизотропной среде вектор \bar{s} не коллинеарен вектору \vec{k} . Подставляя (5) в (7), находим

$$\bar{s}_0 = \frac{1}{2} \varepsilon_0 c (n_1, n_2, n_{e3}) C_0^2, \quad \bar{s}_n = \frac{1}{2} \varepsilon_0 c \left(\frac{n_1}{\varepsilon_3}, \frac{n_2}{\varepsilon_3}, \frac{n_{e3}}{\varepsilon} \right) C_n^2.$$

Очевидно $\bar{s}_0 \bar{e}_0 = 0$, $\bar{s}_n \bar{e}_n = 0$. Среднее значение плотности энергии поля $u_{em} = \langle U_{em} \rangle = u_0 + u_n$,

$$u_0 = \frac{1}{4} (\bar{e}_0 \bar{d}_0 + \mu_0 \bar{h}_0^2) C_0^2 = \frac{1}{2} \bar{e}_0 \bar{d}_0 C_0^2 = \frac{1}{2} \varepsilon_0 \varepsilon C_0^2,$$

$$u_n = \frac{1}{4} (\bar{e}_n \bar{d}_n + \mu_0 \bar{h}_n^2) C_n^2 = \frac{1}{2} \bar{e}_n \bar{d}_n C_n^2 = \frac{1}{2} \varepsilon_0 C_n^2,$$

где $\bar{d}_0 = \varepsilon_0 (\varepsilon e_{e1}, \varepsilon e_{e2}, 0)$, $\bar{d}_n = \varepsilon_0 (\varepsilon e_{n1}, \varepsilon e_{n2}, \varepsilon_3 e_{n3})$.

Лучевые скорости обыкновенной и необыкновенной воли определяются отношениями

$$\bar{v}_0 = \frac{\bar{s}_0}{u_0}, \quad \bar{v}_n = c \frac{\bar{n}}{\varepsilon}, \quad (8)$$

$$\bar{v}_n = \frac{\bar{s}_n}{u_n}, \quad \bar{v}_n = c \left(\frac{n_1}{\varepsilon_3}, \frac{\bar{n}_2}{\varepsilon_3}, \frac{n_{e3}}{\varepsilon} \right). \quad (9)$$

Лучевая (или групповая) скорость волны определяет скорость переноса электромагнитной энергии.

11.2.15. Из (2) найдем величину вектора $n = n_0$, где $n_0 = \sqrt{\varepsilon}$ — показатель преломления обыкновенной волны.

Полагая в (4) $n_1 = n_e \sin \theta$, $n_2 = 0$, $n_{e3} = n_e \cos \theta$, получим

$$n_e^2 \left(\frac{\sin^2 \theta}{\varepsilon_3} + \frac{\cos^2 \theta}{\varepsilon} \right) = 1, \quad (10)$$

где $n_e(\theta)$ — «показатель преломления» необыкновенной волны.

В отличие от изотропной среды величина n_e зависит от направления вектора \vec{n}_e и не имеет непосредственного отношения к привычному закону преломления.

В геометрической оптике анизотропных сред волну представляют в виде семейства кривых, касательные к которым в каждой точке направлены по лучевой скорости. Углы преломления необыкновенной и обыкновенной волн соответственно равны β и β_0 . Из граничных условий следует, что $\sin\alpha = n_3$ или $\sin\alpha = n_e \cos\theta$ для необыкновенной волны и $\sin\alpha = n_o \sin\beta_0$ для обыкновенной волны.

Получим закон преломления необыкновенной волны. Траектория луча — отрезок прямой, образующий угол β с осью x , $\text{tg}\beta = v_{nz}/v_{nz}$.

Учитывая (9), (10), получим систему уравнений $\text{tg}\beta = \frac{\epsilon_3 \cos\theta}{\epsilon \sin\theta}$,

$$\sin\alpha = n_e \cos\theta, \text{ из которой находим } \sin\beta = \frac{\sqrt{\epsilon_3} \sin\alpha}{\sqrt{\epsilon^2 + (\epsilon_3 - \epsilon) \sin^2 \alpha}}.$$

11.2.16. Падающая волна делится на обыкновенную и необыкновенную волны. Из граничных условий следует, что волновые векторы обеих волн направлены по оси z' . На рис. 11.2.16 изображены сечения эллипсоида и сферы плоскостью xz . Величины большой и малой полуосей эллипса равны $1/n_e$ и $1/n_o$. Волновые векторы \vec{k}_o и \vec{k}_n перпендикулярны к прямым $z' = \text{const}$, касающихся окружности и эллипса. В координатах системы xyz вектор $\vec{n} = n_e(\sin\gamma, 0, \sin\gamma)$. Траектории лучей представляют собой отрезки прямых, параллельных векторам \vec{v}_o и \vec{v}_n . Найдем компоненты этих векторов в системе координат $x'y'z'$, используя соотношение между компонентами любого вектора \vec{V} в двух системах координат:

$$V'_x = V_x \cos\gamma - V_z \sin\gamma, \quad V'_y = V_y, \quad V'_z = V_x \sin\gamma + V_z \cos\gamma.$$

Учитывая (8), (9), получим

$$v'_{ox} = 0, \quad v'_{oz} = c/n_o, \\ v'_{nz} = cn_e \sin\gamma \cos\gamma (1/\epsilon_3 - 1/\epsilon), \quad v'_{nx} = cn_e (\sin^2\gamma/\epsilon_3 + \sin^2\gamma/\epsilon).$$

Отметим, что вектор \vec{v}_n можно представить в форме, не связанной

с выбором системы координат: $\vec{v}_n = c \frac{\vec{n}}{\epsilon_3} + c\vec{a}(\vec{a}\vec{n}) \left(\frac{1}{\epsilon} - \frac{1}{\epsilon_3} \right)$, где \vec{a} —

единичный вектор, параллельный оптической оси. Из рис. 11.2.15

следует, что $h = d \text{tg}\beta$, $\text{tg}\beta = v'_{nz}/v'_{nx}$, $h = d \frac{\sin\gamma \cos\gamma (\epsilon - \epsilon_3)}{\epsilon \sin^2\gamma + \epsilon_3 \cos^2\gamma}$.

Отметим, что при $\gamma = \pi/4$ значение $h = d(\epsilon - \epsilon_3)/(\epsilon + \epsilon_3)$. Если грани пластинки перпендикулярны или параллельны оптической оси, то $h = 0$.

11.3. Тонкие линзы

11.3.1. А. Проводим прямую, проходящую через точки S и S' .

Луч 1 пересекает главную оптическую ось в центре линзы.

Б. Второй луч направим параллельно главной оси (рис. 11.3.1 б).

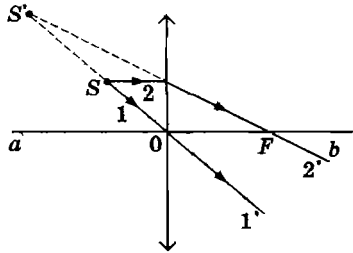


Рис. 11.3.1 б

11.3.2. Полагая в (11.3.1) $d = F_0$, получим $f = -F_0/2$. Следовательно, имеем мнимое изображение. На рис. 11.3.2 выполнено построение изображения S' с помощью побочной оптической оси:

1) проводим произвольный луч SL ;

2) проводим через центр линзы прямую, параллельную лучу SL , — это побочная оптическая ось, пересекающая фокальную плоскость в точке F' ;

3) изображаем преломленный луч, который находится на продолжении отрезка $F'L$.

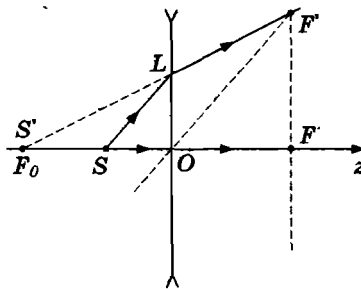


Рис. 11.3.2

11.3.3. А. Определяем главную оптическую ось и строим луч $A'O$, параллельный лучу AB (рис. 11.3.3 б). Точка D на луче находится в задней фокальной плоскости, задний фокус F_2 находится на пересечении перпендикуляра DF_2 и главной оси.

Б. Проводим луч, параллельный лучу BC . Точка E пересечения с лучом AB находится в передней фокальной плоскости.

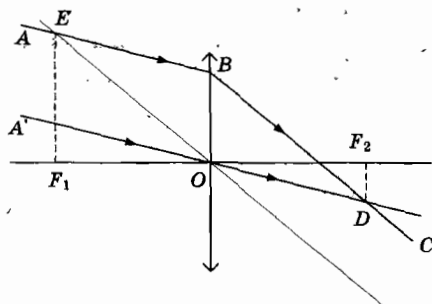


Рис. 11.3.3 б

11.3.4. А. Оптический центр линзы O находится на пересечении лучей AA_1 и BB_1 .

Б. Изображаем главную оптическую ось.

В. Проводя через точки A и K_1 лучи AK и A_1K_1 , параллельные главной оптической оси, находим положение главных фокусов линзы (рис. 11.3.4 б).

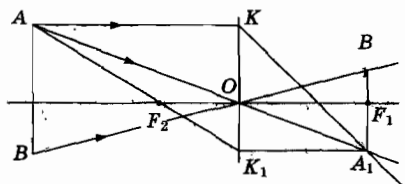


Рис. 11.3.4 б

11.3.5. А. Проводим лучи AK и BK , к которым принадлежит отрезок AB (рис. 11.3.5 б).

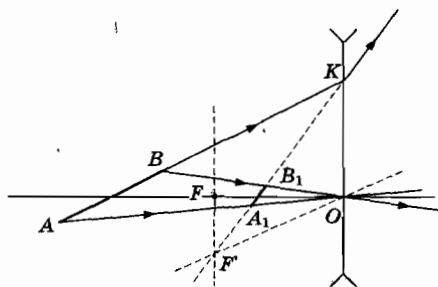


Рис. 11.3.5 б

Б. Строим фокальную плоскость и прямую, проходящую через центр линзы O , параллельно лучу AK . Точка F пересечения фокальной плоскости и прямой представляет собой побочный фокус. Преломленные лучи лежат на прямой, принадлежащей отрезку FK .

В. Изображения точек A_1, B_1 находятся на пересечении этой прямой и лучей BO и AO .

11.3.6. Наша задача — показать, что $d + f \geq 4F$. Воспользовавшись формулой линзы (11.2.1), получим расстояние между точками пересечения лучей

$$s(d) = d + f(d) = \frac{d^2}{d - F} = 4F + \frac{(d - 2F)^2}{d - F}$$

Очевидно, что минимальное значение функции $s(d)$ равно $s_m = 4F$ при $d = 2F$. Аналогичная проблема возникает при фокусировке заряженных частиц в ускорителе.

11.3.7. Из формулы линзы получим значение проекции радиус-вектора изображения на главную оптическую ось: $x(t) = F(F + s)/s$. Проекция на ось, перпендикулярную главной оси $y = -HF/s$. Соответствующие проекции скорости изображения

$$u_x(t) = dx/dt = F[v/s - v(F + s)/s^2] = -v(F/s)^2,$$

$$u_y(t) = dy/dt = v(H/F)(F/s)^2.$$

Величина скорости изображения $u(t) = v(F/s)^2 \sqrt{1 + (H/F)^2}$.

11.3.8. Расстояние до изображения $f = Fd/(d - F)$. Согласно рис. 11.3.8 источник света необходимо сместить в положение A_1 на расстоянии $s = h + b$, $b = KA_1$. Из соответствующих треугольников находим $b = dtg\alpha$, $tg\alpha = h/f$. Расстояние $s = hd/F$.

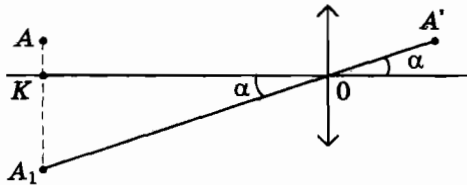


Рис. 11.3.8

11.3.9. Для нахождения траектории падающего луча проведем побочную оптическую ось (рис. 11.3.9). Имеем систему уравнений $dtg\alpha = ftg\beta$, $1/d + 1/f = 1/F$.

Для параксиального пучка $\text{tg}\beta/\text{tg}\alpha = \beta/\alpha$.

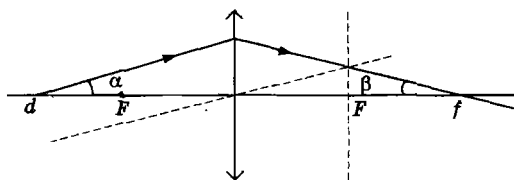


Рис. 11.3.9

11.3.10. На рис. 11.3.10 изображены два положения экрана. Имеем систему уравнений $1/d + 1/f = 1/F$, $L_2 - f = f - L_1$. Отсюда находим $F = \frac{(L_1 + L_2)d}{L_1 + L_2 + 2d}$.

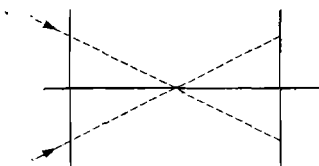


Рис. 11.3.10

11.3.11. Имеем систему уравнений

$$1/d + 1/F_0 = -1/F_0, \quad 1/d + 1/f = 1/F_0.$$

11.3.12. Точка А — мнимый предмет (рис. 11.3.12). Полагая в (11.3.1) $d = -2F_0/3$, получим $f = 2F_0$, $H' = 3H$. Следовательно, изображение действительное и находится в точке $A'(3H, 0, 2F_0)$.

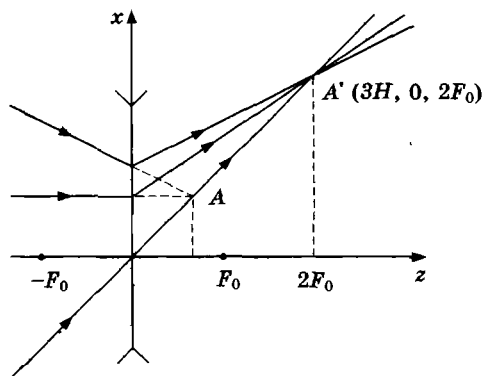


Рис. 11.3.12

11.3.13. Мнимое изображение источника находится на главной оптической ось в точке B на расстоянии $b = -f$ от линзы. Имеем систему уравнений $1/a + 1/f = -1/F_0$, $R/r = (b + s)/b$. Последнее уравнение следует из подобия соответствующих треугольников.

11.3.14. Очевидно, одно из изображений должно быть мнимым (рис. 11.3.14). Тогда имеем систему уравнений

$$1/d - 1/f_0 = 1/F, \quad 1/(l - d) + 1/f_0 = 1/F.$$

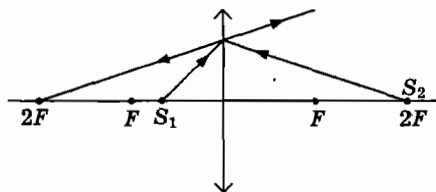


Рис. 11.3.14

11.3.15. Из системы уравнений

$$1/d + 1/f = 1/F, \quad 1/(d + s) + 1/(f + x) = 1/F$$

находим $x = -sF^2/(d - F)(d + s - F)$.

11.3.16. Имеем систему $1/d + 1/f = 1/F$, $d + f = L$, из которой следуют уравнения $df = LF$, $d^2 - dL + LF = 0$.

Корни удовлетворяют соотношению $d_1 d_2 = LF = d_{f_1} = d_{f_2}$. Согласно условию $h_1 h_2 = h^2 (f_2/d_1 d_2)$.

11.3.17. Луч пересекает линзу на расстоянии h от оси. Продолжение преломленного луча пересекает ось в точке B на расстоянии $b = -f$. Имеем систему уравнений $1/a + 1/f = 1/F$, $\alpha = h/a$, $\beta = h/b$.

11.3.18. Расстояния от «предметов» a и b до линзы $d_1 = d$, $d_2 = d + s$.

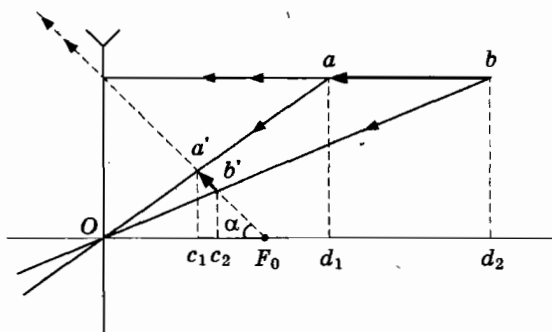


Рис. 11.3.18

На рис. 11.3.18 показаны траектории четырех лучей, исходящих из концов отрезка ab , образующие мнимое изображение $a'b'$. Поэтому положим в формуле линзы $f_1 = -c_1, f_2 = -c_2$:

$$1/d_1 - 1/c_1 = -1/F_0, \quad 1/d_2 - 1/c_2 = -1/F_0. \quad (1)$$

А. Длина изображения $l = (c_2 - c_1)/\cos\alpha$, $\operatorname{tg}\alpha = H/F_0$.

Б. Расстояния от точек a', b' до главной оси

$$h_1 = Hc_1/d_1, \quad h_2 = Hc_2/d_2. \quad (2)$$

Длина изображения $l^2 = (h_1 - h_2)^2 + (c_2 - c_1)^2$. Из (1)–(2) получим

$$l = \frac{sF}{(d+F_0)(d+s+F_0)} \sqrt{H^2 + F_0^2}.$$

11.3.19. Отношение $k = 1/\cos\alpha$, $\operatorname{tg}\alpha = h/F$ (рис. 11.3.19 б).

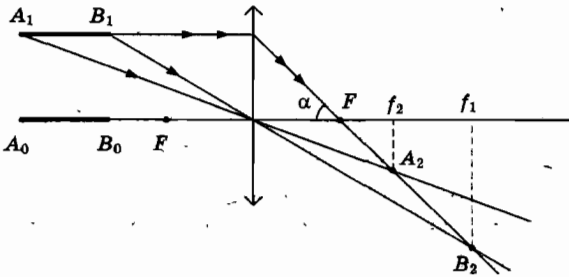


Рис. 11.3.19 б

11.3.20. Координаты изображения $M(-H, 0, 3s)$, $N(-H, 0, 2s)$, длина изображения равна s .

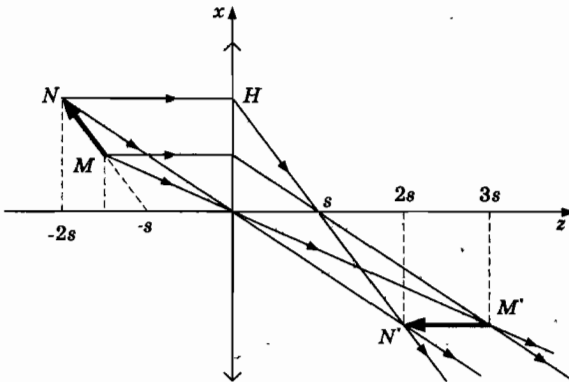


Рис. 11.3.20

11.3.21. Изображением квадрата является трапеция $A_1B_1C_1D_1$ (рис. 11.3.21).

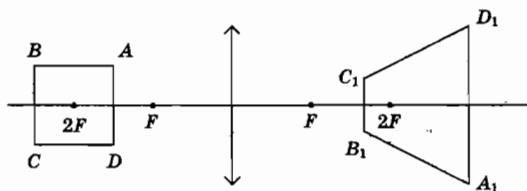


Рис. 11.3.21

Координаты точек: $A_1(-F, 3F)$, $B_1(-F/3, 5F/3)$, $C_1(F/3, 5F/3)$, $D_1(F, 3F)$.

11.3.22. Изображением квадрата является симметричный прямоугольник $A_1B_1C_1D_1$. Координаты точек: $A_1[-\sqrt{2}F/2, 2F]$, $B_1[0, (3 - \sqrt{2})F]$, $C_1[\sqrt{2}F/2, 2F]$, $D_1[0, (3 - \sqrt{2})F]$.

11.3.23. Оба изображения мнимые. Пусть $OA_1 = x$. Тогда имеем систему уравнений $1/x - 1/(x+a) = 1/F$, $1/(x+a) - 1/(x+a+b) = 1/F$.

11.3.24. Когда глаз аккомодирован на бесконечность, то лучи, падающие на хрусталик, почти параллельны, глазные мышцы ослаблены. В этом случае хрусталик принимает такую форму, что его фокусное расстояние F_0 равно глубине глаза — расстоянию $f_0 = 2,3$ см от хрусталика до сетчатки, оптическая сила хрусталика 43,5 дптр. Когда человек переводит взгляд на предмет, находящийся на расстоянии d_0 , фокусное расстояние хрусталика становится равным $F_1 < F_0$. При этом $\frac{1}{d_0} + \frac{1}{f_0} = \frac{1}{F_1}$. Оптическая сила хрусталика изменяется на величину

$$\Delta D = \frac{1}{F_1} - \frac{1}{F_0} = \frac{1}{d_0} = 4 \text{ дптр.}$$

11.3.25. Пусть D_{x_2} — оптическая сила хрусталика внучки. Тогда имеем два уравнения $1/d_0 + 1/f_0 = D_{x_2} + D_2$, $1/s + 1/f_0 = D_{x_2} + D_1$, из которых находим $s = 10$ см.

11.3.26. Оптическая сила очков

$$D = (d - d_0)/dd_0, \rightarrow D = (2d_0 - d_0)/2d_0d_0, D = 2 \text{ дптр.}$$

11.3.27. Пусть D_{x_0} , D_{x_1} — оптическая сила хрусталика близорукого и дальнозоркого. Тогда до обмена очками $1/d_0 + 1/f_0 = D_{x_0} + D_0$, $1/d_0 + 1/f_0 = D_{x_1} + D_1$.

После обмена $1/s + 1/f_0 = D_{x_0} + D_1$, $0 + 1/f_0 = D_{x_1} + D_0$.

11.3.28. Имеем систему уравнений

$$1/d_0 + 1/f_0 = D_{xc} + D_0, \quad 1/s + 1/f_0 = D_{xc} + D_r.$$

11.3.29. Предмет высотой H , рассматриваемый с расстояния наилучшего зрения d_0 , виден под углом $\alpha \approx \text{tg}\alpha = H/d_0$ (рис. 11.3.29 а).



Рис. 11.3.29 а

Нетрудно видеть, что коэффициент увеличения равен отношению угла зрения α' , под которым мы видим изображение высотой H' , пользуясь лупой, к углу зрения α , под которым мы видим предмет без лупы, когда он находится на том же расстоянии: $k = \alpha'/\alpha$. Действительно, из рис. 11.3.29 б видно, что $\alpha' \approx H'/d_0$, $\alpha' = H'\alpha/H = k\alpha$.

$$k = \left| \frac{f}{d} \right|, \quad k = 1 + \frac{d_0}{F}.$$

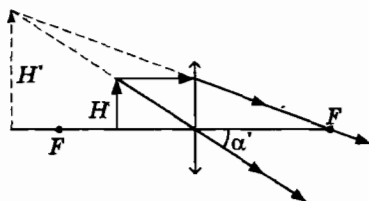


Рис. 11.3.29 б

Большинство из нас пользуются лупой так, как показано на рис. 11.3.29 б. Однако те, для кого лупа является рабочим инструментом (например, часовые мастера), держат лупу вплотную к глазу, а предмет помещают в фокальную плоскость. Тогда исходящий от каждой точки предмета пучок лучей преобразуется линзой в параллельный пучок лучей, падающих на хрусталик (рис. 11.3.29 в).

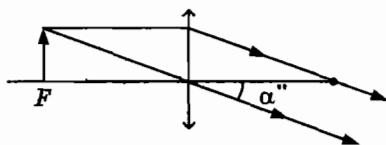


Рис. 11.3.29 в

В этом случае глазные мышцы полностью расслаблены. На сетчатке возникает изображение, угловой размер которого $\alpha'' \approx H/F = \alpha d/F$ в $(k - 1)$ раз больше углового размера изображения α предмета, рассматриваемого с расстояния наилучшего зрения без помощи лупы. На практике используют короткофокусные лупы, позволяющие получить увеличение угла зрения в 5–10 раз.

11.3.30. Вектор напряженности сферической волны с центром в фокусе линзы в точке P экрана имеет вид

$$\vec{E}_2 = (E_2, 0, 0), E_2(t, z) = (A/r_{FP}) \cos(\omega t - \omega r_{FP}/c), r_{FP} = \sqrt{(s-F)^2 + r^2},$$

где r_{FP} — расстояние от фокуса до точки P .

Вектор напряженности плоской волны

$$\vec{E}_1 = (E_1, 0, 0), E_1(t, s) = E_0 \cos[\omega t - \omega(s - F)/c].$$

Интенсивность в точке P экрана

$$J = \epsilon_0 c \langle (E_1 + E_2)^2 \rangle = (\epsilon_0 c / 2) [E_0^2 + (A/r_{FP})^2 + 2(E_0 A / r_{FP}) \cos \delta],$$

$$\delta = (2\pi/\lambda) [\sqrt{(s-F)^2 + r^2} - (s-F)].$$

В точках максимума интенсивности $\delta = 2n\pi, n = 1, 2, \dots$. Из этого условия находим $r_n^2 \approx 2n\lambda(s - F)$.

11.3.31. Изобразим отрезок MN — оптическую ось линзы (рис. 11.3.31 б).

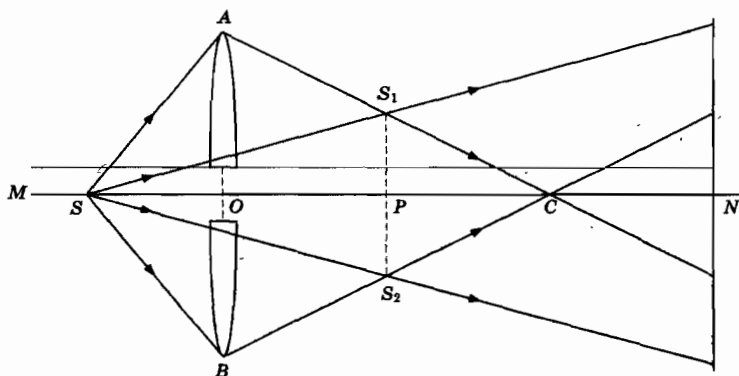


Рис. 11.3.31 б

Расстояния d и f от предмета S и изображения S_1 до плоскости линзы связаны соотношением $1/d + 1/f = 1/F$. Расстояние от оси до изображения предмета $H = hf/d$. Граница области наложения пучков

света — точка C , $OC = L$. Из подобия треугольников AOC и S_1PC следует уравнение $(R + h)/L = (H + h)/(L - f)$.

$$L = \frac{dF(R+h)}{(R+h)(d-F) - hF}$$

11.3.32. Луч SQ падает на поверхность радиусом R в точке Q под углом α , угол преломления — β . Следовательно, $n \sin \alpha = \sin \beta$. Точка S находится на пересечении главной оптической оси и прямой, на которой лежит преломленный луч. Предельный угол OSB обозначим γ .

Докажите, что угол $\angle OSQ$ равен β . Тогда угол $\angle OSQ$ равен α . В треугольнике OQS согласно «теореме синусов» $S'O/\sin \beta = R/\sin \alpha$ или $S'O = nR$. Следовательно, точка S — изображение точки S' . Предельный угол γ_m определяется соотношением $\text{tg} \gamma_m = 1/n$.

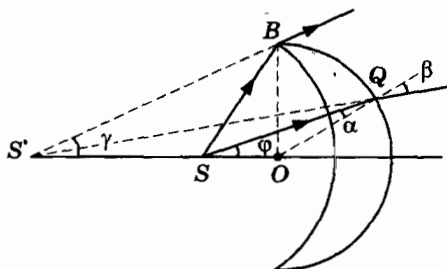


Рис. 11.3.32 б

11.3.33. Найдем изображение источника, формируемое тонким приосевым пучком лучей, используя следствие принципа Ферма: оптические длины лучей, соединяющих точки S и P одинаковы. С этой целью найдем оптическую длину луча $l(x)$, проходящего в плоскости xz через точки $S(H, 0, -d)$, $A(x, 0, 0)$, $B(x, 0, z_n(x))$, $P(H, 0, f)$ и оптический путь луча l_0 , проходящего через точки S , O и P (рис. 11.3.33).

Оптическая длина $l(x) = a + nz_n + b$, где $a = SA$, $b = BP$, $nz_n(x)$ — оптическая длина луча в линзе. Здесь мы учли, что в тонкой линзе можно пренебречь поперечным смещением луча. Точка B принадлежит окружности, проходящей через точку $K(0, 0, h)$. В приосевой области $z_n(x) \ll R$ уравнение окружности $x^2 + (z_n + R - h)^2 = R^2$ можно представить в виде $x^2 = (z_n + 2R - h)(h - z_n) \approx 2R(h - z_n)$, или $z_n = h - x^2/2R$.

Найдем теперь в случае тонкого пучка, удовлетворяющего условиям $a \approx d$, $H \ll d$, $b \approx f$, $z_n \ll f$, расстояния $a = [(x - H)^2 + d^2]^{1/2}$ и $b = [(H - x)^2 + (f - z_n)^2]^{1/2}$.

Представляя эти величины в виде $(x - H)^2 = (a + d)(a - d) \approx 2d(a - d)$, $(H - x)^2 = (b + f - z_2)(b - f + z_2) \approx 2f(b - f + z_2)$, найдем приближенно $a = d + (x - H)^2/2d$, $b = f - z_2 + (H - x)^2/2f$.

В рассматриваемом приближении оптическая длина луча $SABP$

$$l(x) = d + (n - 1)h + f - (n - 1)x^2/2R + (x - H)^2/2d + (H - x)^2/2f. \quad (1)$$

Согласно принципу Ферма $dl(x)/dx = 0$ или

$$-(n - 1)x/R + (x - H)/d - (H - x)/f = 0. \quad (2)$$

Поскольку выражение (2) должно выполняться для всех значений x , то приравняв нулю коэффициенты при x , получим соотношения

$$1/d + 1/f = 1/F, \quad 1/F = (n - 1)/R, \quad (3)$$

$$H = -fH/d. \quad (4)$$

Если бы линза представляла собой стекло, ограниченное двумя сферическими поверхностями радиусами R_1 и R_2 , то фокусное расстояние определялось бы выражением

$$1/F = (n - 1)(1/R_1 + 1/R_2). \quad (5)$$

Замечание. Полагая в (1) $x = 0$, получим оптическую длину луча SOP

$$l_0 = d + (n - 1)h + f + H^2/2d + H^2/2f. \quad (6)$$

Соотношения (3), (4) эквивалентны уравнению $l(x) = l_0$: оптическая длина траекторий всех лучей, проходящих через точки S и P одинакова.

11.3.35. Если за линзой находится среда с показателем преломления n_0 , то формула линзы приобретает вид $1/d + n_0/f = 1/F$.

А. Пусть $h > n_0F$. В этом случае фокусное расстояние системы $s_1 = n_0F$.

Б. Если $h < n_0F$, то после преломления фокусное расстояние системы $OB = s_2$, $s_2 = h + z$, $z = AB$ (рис. 11.3.35).

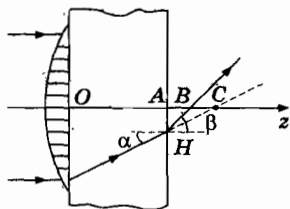


Рис. 11.3.35

Полупрозрачное зеркало M_2 , зрительная труба и ось, вокруг которой может поворачиваться зеркало M_1 вместе с визиром, жестко закреплены на общем основании. Луч SM_1 образует угол θ с лучом NK . Наблюдая линию горизонта сквозь зеркало M_2 и изменяя угол наклона зеркала M_1 , можно добиться совмещения с ней изображения Солнца. При этом угол падения луча M_1M_2 на зеркало M_2 должен быть равным постоянному значению α_2 , а угол отклонения визира на шкале $\alpha = \theta/2$.

Действительно, если плоскости зеркал M_1 и M_2 параллельны ($\alpha = 0$), то к наблюдателю придет луч NM_1 , падающий на зеркало M_1 под углом $\alpha_1 = \alpha_2$. Для получения изображения Солнца зеркало M_1 следует повернуть на угол α так, чтобы угол падения луча SM_1 стал равен $\alpha_2 + \alpha$. Это условие определяет угол поворота зеркала $\alpha = \theta/2$. Обычно шкала секстанта составляет $1/6$ часть окружности. Отсюда название (от лат. *sextans* — шестой). Секстант позволяет измерить широту точки наблюдения в открытом море даже при сильном волнении.

11.4.2. Изобразим главную оптическую ось и фокальную плоскость. Затем проведем побочную оптическую ось, параллельную стрелке. Она пересечет фокальную плоскость в точке S . Если расположить зеркало перпендикулярно прямой SS' на расстоянии $SO = SS'/2$, то точка S будет мнимым изображением источника S' в зеркале и одновременно действительным источником для линзы. Поскольку она лежит в фокальной плоскости, то из линзы выходит пучок параллельных лучей (рис. 11.4.2 б).

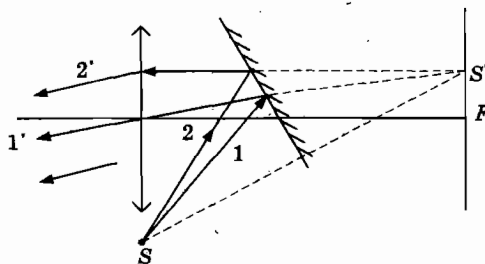


Рис. 11.4.2 б

11.4.5. А. Решение 1. Фокусное расстояние выпуклого зеркала, покрытого стеклом, не равно половине радиуса кривизны, так как луч, отраженный от посеребренной поверхности, изменяет направление при переходе из стекла в воздух. Расстояние OF от полюса O

(рис.11.4.5) до точки пересечения продолжения этого луча с главной оптической осью равно величине фокусного расстояния, $OF_0 = R/2$. Определим OF . Приравнявая в $\triangle ONF$ и $\triangle ONF_0$ общий катет, находим

$$OF \operatorname{tg} \alpha_2 = R/2 \operatorname{tg} \alpha_1. \quad (1)$$

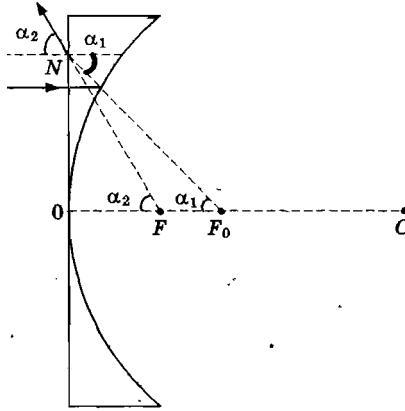


Рис. 11.4.5

Закон преломления связывает углы α_1 и α_2 соотношением

$$\sin \alpha_2 = n \sin \alpha_1. \quad (2)$$

Поскольку мы рассматриваем только параксиальные пучки, то углы α_1 и α_2 должны быть настолько малыми, что синусы и тангенсы этих углов можно заменить самими углами, выраженными в радианах. В этом случае вместо (1) и (2) получим уравнения $OF \alpha_2 = (R/2) \alpha_1$, $\alpha_2 = n \alpha_1$, из которых находим $OF = R/2n$. Следовательно, $F = -R/2n$.

Решение 2. Согласно (11.3.2) оптическая сила плосковогнутой линзы $1/F_1 = -(n - 1)/R$. Оптическая сила тонкой системы равна сумме оптических сил отдельных ее элементов. При этом поскольку через линзу свет проходит дважды (к зеркалу и от зеркала), то надо складывать оптические силы выпуклого зеркала $1/F_s = -2/R$ и двух линз: $\frac{1}{F} = \frac{2}{F_1} - \frac{2}{R} = \frac{-2(n-1)}{R} - \frac{2}{R} = -\frac{2n}{R}$. Подставляя числовые значения, находим $F = -10$ см.

Б. Оптическая сила «зеркала» $1/F_s = -2/F_0$. Имеем систему уравнений $1/F_0 + 1/f = -2/F_0$, $h = -Hf/F_0$.

11.4.6. Система эквивалентна трем оптическим элементам — линзе, зеркалу и линзе. Первое мнимое изображение S_1 находится на

расстоянии $f_1 = -F$. Это изображение — действительный предмет для зеркала: $d_2 = F + h$. Второе изображение находится за зеркалом на расстоянии $f_2 = F + h$. Теперь оно служит действительным предметом для линзы, находясь от нее на расстоянии $d_3 = 2h + F$. Из формулы линзы находим расстояние от линзы до изображения $f_3 = (F + 2h)F/(2h)$.

А. Полагая $h = F/2$, получим $f_3 = 2F$.

Б. Пусть $h = F$. Тогда $f_3 = 3F/2$.

В. Полагая $h = 0$, получим $f_3 = \infty$. Фокусное расстояние системы $F_c = F/2$.

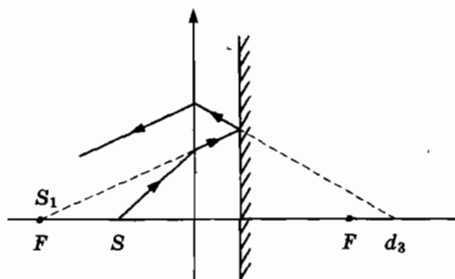


Рис. 11.4.6

11.4.7. $1/d + 1/f_1 = 1/F$, $d_2 = h - f_1$, $f_2 = f_1 - h$, $d_3 = h - f_2 = F$; $h = F(2d - F)/2(d - F)$.

11.4.8. Исходящий от точки A предмета расходящийся пучок лучей преобразуется линзой в пучок лучей, параллельных прямой OA , где O — оптический центр линзы. После отражения от зеркала образуется пучок параллельных лучей, падающих на линзу. После преломления все лучи пересекаются в точке A' , расположенной симметрично точке A относительно главной оптической оси.

11.4.9. Первое изображение P_1 формируется линзой, второе P_2 — зеркалом и третье P_3 — линзой. Поскольку последнее изображение P_3 мнимое, то оно формируется расходящимся пучком лучей, точка пересечения которых P_3 находится справа от линзы на рис. 11.4.9. В этом случае $f_3 = -s$. Расстояние d_3 от линзы до плоскости, в которой находится «предмет» получим, используя формулу линзы: $d_3 = s/2$. Этот предмет представляет собой изображение P_2 , формируемое в результате отражения сходящегося в точке P_1 пучка лучей, прошедших через линзу, на расстоянии $s/2$ от зеркала. Точка P_1 является мнимым предметом для зеркала и действительным изображением для

линзы. Она находится на расстоянии $f_1 = 3s/2$ от линзы. Из формулы линзы $1/d_1 + 2/3s = 1/s$ находим $d_1 = 3s$.

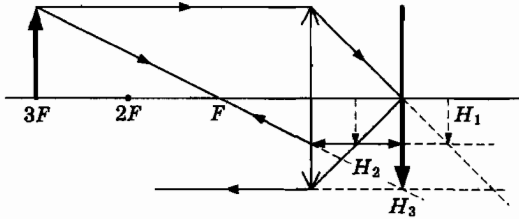


Рис. 11.4.9

11.4.10. $1/d + 1/h = 1/F$.

11.4.11. Первое изображение источника S_1 находится на расстоянии от линзы.

$$f_1 = \frac{aF}{a-F} \quad (1)$$

Пусть $b \geq f_1$. Тогда первое изображение S_1 образуется перед зеркалом на расстоянии $d_2 = b - f_1$ от его поверхности. Точка S_1 является действительным предметом для зеркала. Второе изображение S_2 находится на расстоянии $f_2 = b - f_1$ за зеркалом и является действительным предметом для линзы, причем $d_3 = 2b - f_1$. Из формулы линзы найдем расстояние от линзы до третьего изображения S_3 :

$$f_3 = F \frac{2ab - (a+2b)F}{2ab - 2F(a+b) + F^2}. \quad (2)$$

Длина изображения

$$h_3 = h \frac{F^2}{2ab - 2F(a+b) + F^2}. \quad (3)$$

Формулы (1), (2) определяют координаты изображения при произвольном соотношении параметров a , b , F . Нетрудно видеть, что формулы (1), (2) дают решения задач 11.4.6–11.4.10.

11.4.12. Преломленные лучи после отражения от зеркала образуют действительное изображение, если на зеркало падает сходящийся пучок лучей. Первое изображение находится в точке

$$S_1(H_1, 0, f_1), \quad 1/f_1 = 1/F - 1/d, \quad H_1 = -Hf/d.$$

После отражения координаты изображения $S_1(0, 0, f_1)$, $H_1 = 2s$.

11.4.13. Система эквивалентна четырем оптическим элементам – линзе, двум зеркалам и линзе. На рис. 11.4.13 б изображены траектории лучей и последовательный ряд вторичных предметов и изображений. Координаты первого изображения точки A , формируемого линзой, $A_1(0, 0, 3F)$. Второе изображение $A_2(-2F, 0, F)$, формируемое первой гранью зеркала, является мнимым объектом для второй грани зеркала. Действительное изображение $A_3(0, 0, -F)$ является мнимым объектом для линзы. Полагая $d_4 = -F$, получим $f_4 = F/2$.

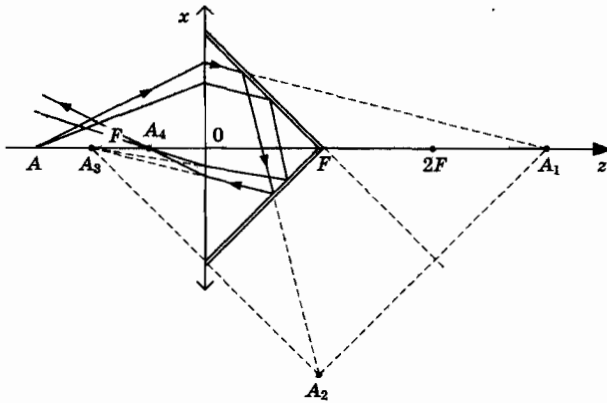


Рис. 11.4.13 б

11.4.14. Призма формирует мнимое изображение источника на расстоянии s от призмы и на расстоянии $h = (n - 1)xs$ от оси. Полагая в формуле линзы $d = s + F$, найдем расстояние от линзы до «изображения» $f = F(1 + F/s)$. Расстояние до изображения $b = hf/d$.

11.4.15. $|f_1| = f_2$.

11.4.17. Первое изображение должно находиться в фокусе рассеивающей линзы: $1/d + 1/f_1 = 1/F_0, f_1 - s = F_0$.

11.4.18. Фокусное расстояние собирающих и рассеивающих линз $F_c = s, F_p = -s/2$.

11.4.19. Поскольку фокусное расстояние двух линз во втором случае меньше фокусного расстояния одной линзы, то в первом случае изображение мнимое. Имеем систему уравнений $1/d + 1/f_1 = 1/F, H_1 = -(f_1/d)h, 1/d + 1/f_2 = 2/F, H_2 = -(f_2/d)h, H_1 = -H_2$, из которых находим $2F = 3d$.

11.4.20. В первом случае имеем систему уравнений $1/d + 1/f_1 = 1/F, h_1 = Hf_1/d$.

Во втором случае изображение находится на расстоянии $f_2 = f_1 + s$ от фотопленки $1/d_2 + 1/f_2 = 1/F$, $h_2 = Hf_2/d_2$; $h_2/h_1 = s(d - F)/F^2 + 1$.

11.4.21. Согласно условию задачи для изображения, создаваемого второй линзой $f_2 = -2s$. Из формулы линзы находим $d_2 = s$. Следовательно, изображение, создаваемое первой линзой, находится на расстоянии $f_1 = L - d_2 = 2s$ от линзы. Из формулы линзы получим $d = 2s$. Нарисуйте два последовательных изображения предмета.

11.4.22. Из формулы линзы $1/d_1 + 1/f_1 = 1/F$ находим $f_1 = 3F/2$. Это изображение является мнимым предметом для рассеивающей линзы: $d_2 = -F/2$. Теперь имеем систему уравнений $-2/F + 1/f_2 = 1/F$, $k = ff_2/d_1d_2$.

11.4.23. Из формулы линзы $1/d_1 + 1/f_1 = 1/F$ находим $f_1 = -d_1F_0/(d_1 + F_0)$. Это изображение является действительным предметом для собирающей линзы: $d_2 = F_0 - f_1$. Из уравнения $ff_2/d_1d_2 = -1$ получим $d_1 = F_0$.

11.4.24. Первое изображение $(-2h, 0, f_1 = 3F)$, формируемое собирающей линзой, является мнимым предметом для рассеивающей линзы. Полагая в формуле линзы $d_2 = -3F/2$, получим $f_2 = -3F$, $h_2 = 4h$.

11.4.25. Первое изображение находится на расстоянии $f_1 = 2F$ от линзы L_1 . Обозначим x — расстояние между линзами. Тогда имеем уравнение $-1/(2F - x) + 1/(3F - x) = -1/2F$; $x = F$. Линейное увеличение $k = (3F - x)/(2F - x)$, $k = 2$.

11.4.26. Первое изображение находится на расстоянии $f_1 = 3F$ за собирающей линзой (рис. 11.4.26). Это изображение является мнимым предметом для рассеивающей линзы. Полагая в формуле линзы $d_2 = -2F$, находим $f_2 = -2F$. Расстояние от изображения до главной оси рассеивающей линзы $h_2' = hf_2/d_2 = h$. На рис. 11.4.26 расстояния $FS_2 = 2h$, $SF = F/2$.

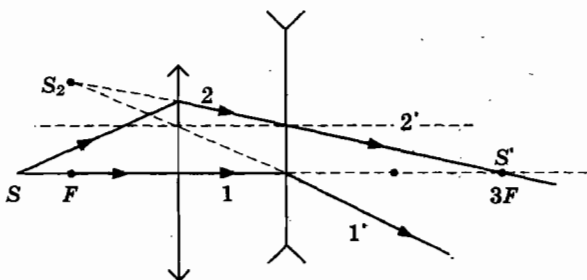


Рис. 11.4.26

11.4.27. Симметричная конфигурация падающих и преломленных лучей в рассеивающей линзе возможна только для мнимого предмета, расположенного на расстоянии $d_1 = -2F$ от рассеивающей линзы. Мнимое изображение этого предмета является действительным предметом для собирающей линзы. Полагая в формуле линзы $d_2 = 3F$, получим $f_2 = 3F/2$. Расстояние $s = 3F/2$; в прямоугольном треугольнике на рис. 11.4.27 б расстояние $h = 2F \operatorname{tg} \alpha$.

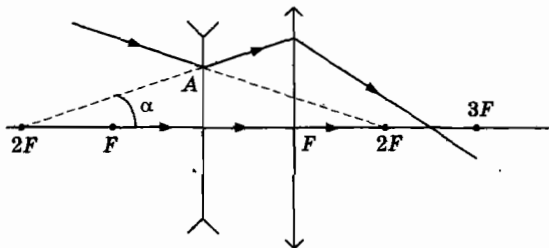


Рис. 11.4.27 б

11.4.28. Первое изображение находится на расстоянии $d_2 = F(d - 2F)/(d - F)$ от второй линзы. Второе изображение находится на расстоянии $f_2 = -(d - 2F)$ от второй линзы.

11.4.29. А. Изображение, образованное первой линзой, промежуточное и служит для второй линзы предметом действительным или мнимым, если оказывается перед или за второй линзой. Применяя формулу собирающей линзы, получим $f_1 = \frac{sF_1}{s - F_1}$, $f_1 = 15$ см. Это изображение располагается на расстоянии $d_2 = h - f_1 = 20$ см от второй линзы слева от нее. Следовательно, на эту линзу падает расходящийся пучок лучей, и поэтому промежуточное изображение A_1B_1 (рис. 11.4.29 а) является действительным предметом для линзы L_2 .

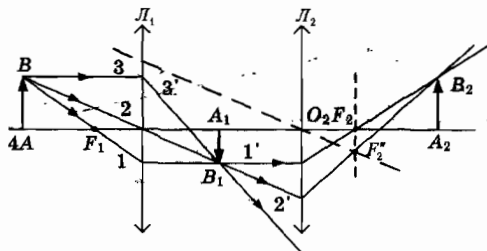


Рис. 11.4.29 а

Из «формулы» линзы найдем расстояние f_2 от второй линзы до изображения $f_2 = F_2 d_2 / (d_2 - F_2)$, $f_2 \approx 30$ см. Увеличение системы $k = k_1 k_2 = (f_1/s)(f_2/d_2)$, $k = 3/4$. На рис. 11.4.29 а показаны траектории лучей 1 и 2 через систему из двух линз. Траектория луча 2' построена с помощью побочной оптической оси $O_2 F_2''$. Прямая $F_2 F_2''$ лежит в фокальной плоскости линзы L_2 . Луч 3' не попадает в линзу L_2 .

Б. Поскольку положения линзы L_3 и промежуточного изображения $A_1 B_1$ совпадают, то положение изображения $A_2 B_2$ не изменится. Однако множество лучей, которое в системе на рис. 11.4.29 а отсекалось от линзы L_2 , теперь проходит через нее — освещенность изображения увеличится. На рис. 11.4.29 б показаны фокальная плоскость $F_3 F_3'$ линзы L_3 , побочная ось $O_3 F_3'$ и лучи 1'' и 3'', прошедшие через линзу L_3 .

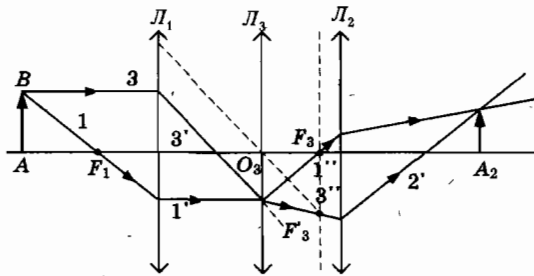


Рис. 11.4.29 б

11.4.30. На рис. 11.4.30 а длины отрезков соответственно равны: $AO_1 = h$, $O_1 N_1 = F_1$, $N_2 O_2 = F_2$, $N_1 N_2 = c$, $L = c + F_1 + F_2$. Точка N_1 находится на расстоянии $d_2 = c + F_2$ от второй линзы. Можно построить изображение точки N_1 , используя побочную ось — отрезок $O_2 F_2'$. Расстояние $O_2 C = f_2$ определим из формулы линзы

$$1/d_2 + 1/f_2 = 1/F_2. \quad (1)$$

Найдем расстояние $s = CK$ между главной и фокальной плоскостями. Поскольку треугольники KDC и $CO_2 B$ подобны, то $O_2 B = f_2 h/s$. Из подобия треугольников $BO_2 N_1$ и $N_1 A O_1$ имеем $O_2 B = d_2 h/F_1$. Отсюда получим

$$f_2/s = d_2/F_1. \quad (2)$$

Из (1), (2) находим

$$s = F_1 F_2 / c. \quad (3)$$

Формула «толстой» линзы. «Вертикальные» координаты предмета и изображения H и H' . Используя свойства фокальных и главных плоскостей, можно построить траектории двух лучей a, b на рис. 11.4.30 б и получить изображение предмета.

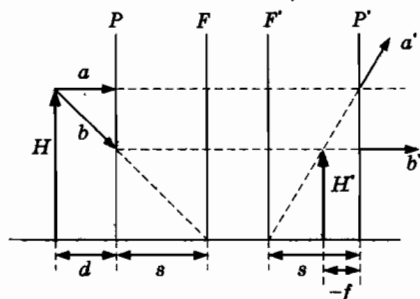


Рис. 11.4.30 б

В соответствии с рис. 11.4.30 а величина $f < 0$. Из подобия треугольников следуют соотношения $H/H' = (s + d)/s$, $H'/H = s/(s + f)$, в частности,

$$s^2 = (s + d)(s + f). \quad (4)$$

Подставляя s из (3) получим формулу линзы

$$1/d + 1/f = 1/F, \quad (5)$$

$$1/F = 1/F_1 + 1/F_2 - L/(F_1 F_2). \quad (6)$$

Интересно отметить, что система, содержащая собирающую ($F_1 = F_0$) и рассеивающую ($F_2 = -F_0$) линзы, эквивалентна собирающей линзе с фокусным расстоянием $F = F_0^2/L > 0$.

11.4.31. Из закона преломления получаем $\theta_1 = n\theta_2$. В треугольнике OCS : $\theta_1 = \theta_2 + \alpha$. Расстояние $PK_2 = R - R\cos\theta_1 \approx R\theta_1^2/2$. Следовательно, в приближении параксиального пучка $PK_2 = 0$. Из теоремы синусов для треугольника OSC получаем $OS = R\theta_1/\alpha$. Фокусное расстояние $F = R\theta_1/\alpha - R$, $F = R/(n - 1)$.

11.4.32. Из закона преломления получаем $\theta_1 = n\theta_2$, $\alpha = n(\theta_1 - \theta_2)$. Из уравнения $ON = OC + CN$ находим $\theta_1 R = \alpha(SO + OK_1)$. Поскольку в треугольнике OSB угол $\theta = \theta_1 - \theta_2$, то из теоремы синусов следует, что $SO = R\theta_2/\alpha$. Тогда $OK_1 = R(\theta_1 - \theta_2)/\alpha$, $OK_1 = R/n$. Фокусное расстояние $F = SO + OK_1 = \theta_1 R/\alpha$, $F = R/(n - 1)$.

11.4.33. Из закона преломления получаем $\alpha_1 = n\theta$, $n\theta_2 = \theta_1$. Углы в треугольниках OQA_2 и OQB связаны соотношениями $\theta_1 = \alpha_2 + \beta$,

$\beta = \theta + \theta_2$; $\alpha_1 + \alpha_2 = (n - 1)\beta$. Из теоремы синусов для треугольника OQA_2 получаем $(f + R)/\theta_1 = R/\alpha$, $f = R\beta/\alpha_2$. Поскольку $BQ \approx R$, то $d\alpha_1 = R\beta$. Теперь получаем $1/d + 1/f = 1/F$.

11.4.34. На шар падает плоская волна — параллельный пучок лучей (рис. 11.4.34). Луч, принадлежащий прямой a , проходящей на расстоянии h от главной оптической оси, падает на переднюю поверхность под углом $\theta_1 = h/R$. Угол преломления — θ_2 . Для малых углов $\theta_1 = n\theta_2$. На задней поверхности луч преломляется в точке C и пересекает оптическую ось в точке S под углом α .

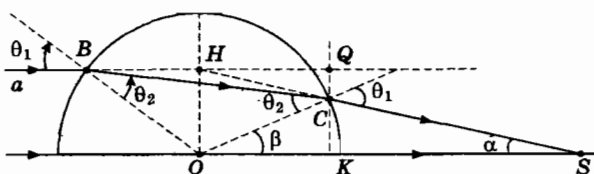


Рис. 11.4.34

Покажем, что преломленный луч принадлежит прямой, пересекающей прямую a в точке H на перпендикуляре OH к оптической оси. Обозначим β — угол COS , $\beta = 2\theta_2 - \theta_1$. Проведем через точку C прямую, перпендикулярную главной оси в точке K . В треугольнике COK катет $OK = R\cos\beta \approx R$. Углы треугольника COS связаны соотношением $\alpha = \theta_1 - \beta$. Очевидно расстояние от точки C до прямой a равно $CQ = h - R\beta = R(\theta_1 - \beta) = R\alpha$. Однако в треугольнике HQC катет $CQ = HQ\alpha$. Тогда имеем $HQ = R$. Следовательно, главные плоскости проходят через центр шара, а фокусное расстояние $F = OS$. Из «теоремы синусов» для элементов треугольника COA_2 находим $OS/\theta_1 = R/\alpha$. Поскольку $\alpha = 2(\theta_1 - \theta_2) = 2(1 - 1/n)\theta_1$, то $F = R\theta_1/\alpha$, $F = Rn/[2(n - 1)]$.

11.4.35. Предмет — точка A находится на оптической оси. Луч AB , образующий угол α_1 с оптической осью, падает на переднюю поверхность под углом θ_1 . Угол преломления — θ_2 , $\theta_1 = n\theta_2$ (рис. 11.4.35).

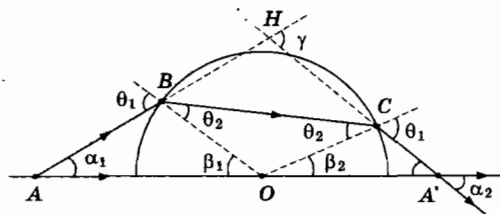


Рис. 11.4.35

После преломления на задней поверхности в точке C луч пересекает оптическую ось под углом α_2 . Точка A' — изображение предмета A . Угол между лучами на входе и выходе линзы $\gamma = \alpha_1 + \alpha_2$. Учитывая соотношения между углами $\beta_1 + \beta_2 = 2\theta_2$, $\alpha_1 = \theta_1 - \beta_1$, $\alpha_2 = \theta_1 - \beta_2$, находим

$$\alpha_1 + \alpha_2 = 2(\theta_1 - \theta_2) \text{ или } \alpha_1 + \alpha_2 = 2(1 - 1/n)\theta_1. \quad (1)$$

Вводя обозначения $OA = d$, $OA' = f$, получим из «теоремы синусов» для элементов треугольников OBA и OCA' соотношения $d/\theta_1 = R/\alpha_1$, $f/\theta_1 = R/\alpha_2$. Следовательно,

$$1/d + 1/f = (\alpha_1 + \alpha_2)/R\theta_1 \text{ или } 1/d + 1/f = 1/F, \quad 1/F = 2(n - 1)/nR. \quad (2)$$

Если рассматривать предмет с расстояния наилучшего зрения, то угловой размер предмета $\alpha = H/d_0$. Положим теперь предмет в фокус, сферу поместим перед глазом. Угловой размер изображения $\alpha'' = H/F$. Угловое увеличение $k = d_0/F$. Полагая $n = 3/2$, получим $F = 3R/2$, $k = 2d_0/3R$. При значении $R = 1$ мм получим $k = 167$.

В середине XVII века голландец А. Левенгук изготовил не менее 400 сферических линз диаметром 1–2 мм. Подобно Галилею он сделал одно открытие за другим. В 1673 г. Левенгук впервые увидел микробы и обнаружил огромный мир микроорганизмов, о существовании которого даже не подозревали. Так свершилось одно из великих открытий, положившее начало микробиологии.

11.4.37. Полагая в формуле (2) задачи 11.4.35 $d = R$, получим $f = -nR/(2 - n)$, $f = -2R$.

11.4.38. Введем согласно рис. 11.4.38 б обозначения: $OB = f$, $AO = d$, $d = R - s(t)$, $s(t) = vt$, $0 \leq t \leq 2R/v$.

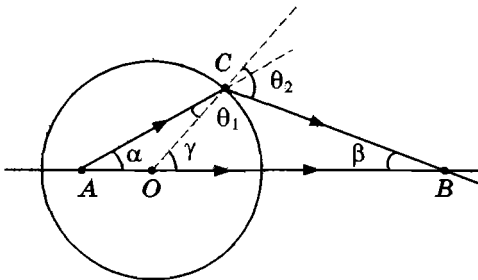


Рис. 11.4.38 б

Согласно закону преломления $n\theta_1 = \theta_2$.

Углы в треугольниках OCA и OBC связаны соотношениями $\gamma = \alpha + \theta_1$, $\theta_2 = \gamma + \beta$: $\alpha + \beta = \theta_2 - \theta_1 = (n - 1)\theta_1$. Из теоремы синусов для тре-

угольников OCA и OBC получаем уравнения $d/\theta_1 = R/\alpha$, $f/\theta_2 = R/\beta$. Из полученных уравнений следует $1/d + n/f = 1/F$, $F = R/(n - 1)$.

Проекция скорости изображения $u = df/dt$, $u(t) = vn[F/(R - s - F)]^2$.

А. $s_1 = 0$, $f_1 = -2R$, $u_1 = nv/(n - 2)^2$.

Б. $s_2 = R$, $f_1 = 0$, $u_2 = nv$.

В. $s_3 = 2R$, $f_3 = R$, $u_3 = v/n$.

Полезно исследовать предельный переход к плоскослоистой среде, полагая для последнего случая $s = 2R - H$, $d = -R + H$, $H \ll R$. Тогда получаем хорошо известный результат (см. задачу 11.1.18)

$$f = R(R - H)/[nR - H(n - 1)] = \\ = R(1 - H/R)/n[1 - H(n - 1)/nR] \approx R - H/n.$$

11.4.39. Первое действительное, увеличенное и перевернутое изображение образуется на расстоянии $F_{ок}$ от окуляра. Поскольку первое изображение образуется на расстоянии $f_1 = L - F_{ок}$ от объектива, то предмет должен находиться на расстоянии $d_1 = f_1 F_{ок}/(f_1 - F_{ок})$ от объектива.

Величина первого изображения $H = Hf_1/d_1 = H(L - F_{ок} - F_{ок})/F_{ок}$. При $F_{ок} \ll F_{ок}$ увеличение $k_1 = (L - F_{ок})/F_{ок}$. Следовательно, увеличение микроскопа $k = k_1 k_2$, $k = d_0(L - F_{ок})/F_{ок} F_{ок}$.

Для большего увеличения фокусные расстояния должны удовлетворять условиям $F_{ок} \sim F_{ок} \ll d_0, L$.

11.4.40. В театральном бинокле $F_{ок} = s + F_{ок}$.

11.4.41. Промежуточное мнимое изображение будет располагаться в фокальной плоскости объектива. Если, перемещая окуляр, добиться того, чтобы изображение лежало в фокальной плоскости окуляра, то лучи выйдут из рассеивающей линзы окуляра параллельным пучком. Наблюдатель увидит прямое мнимое изображение. Это обстоятельство делает трубу Галилея особенно удобной для театральных биноклей с увеличением $k \sim 2 - 3$. Из рис. 11.4.41 следует,

что угловое увеличение системы $k = \frac{\text{tg } \alpha'}{\text{tg } \alpha} = \frac{F_{ок}}{F_{ок}} \cong \frac{\alpha'}{\alpha}$.

11.4.42. Из условия $\alpha' \sim \alpha$ находим $F_{ок} = F_{ок} D_{зр}/D_{ок}$.

Глава XII. ОСНОВЫ ТЕОРИИ ОТНОСИТЕЛЬНОСТИ

12.1. Преобразование Лоренца

12.1.1. Пусть плоская волна распространяется в положительном направлении оси x . Рассмотрим этот процесс в двух системах отсчета — в системе K и в системе K' , движущейся относительно K со скоростью $\vec{u} = (u, 0, 0)$. Для упрощения расчетов предположим, что при совпадении начал координат систем K и K' стрелки часов в обеих системах поставлены так, что $t = t' = 0$. В момент времени $t = 0$ фронт волны находится в плоскости $x = 0$. К моменту времени t фронт волны переместится в плоскость с координатой x . Процесс распространения фронта волны должен удовлетворять условию

$$x^2 - (ct)^2 = 0. \quad (1)$$

Следовательно, пространственно-временные координаты двух событий $(0, 0)$ и (t, x) удовлетворяют уравнению (1). Согласно принципу относительности Эйнштейна координаты двух событий $(0, 0)$ и (t', x') в системе K' , соответствующие двум положениям фронта волны, должны удовлетворять точно такому же уравнению

$$x'^2 - (ct')^2 = 0. \quad (2)$$

Условия совместности уравнений (1) и (2) могут выполняться только при линейном преобразовании вида

$$ct = a_1 ct' + b_1 x', \quad x = a_2 ct' + b_2 x'. \quad (3)$$

Подставляя (3) в (1), мы должны получить уравнение (2). В результате следуют три уравнения $a_1^2 - a_2^2 = 1$, $b_2^2 - b_1^2 = 1$, $a_2 b_2 = a_1 b_1$,

из которых находим $\frac{b_1}{b_2} = \frac{a_2}{a_1} = \beta$, $a_1 = b_2 = \gamma$, $\gamma = \frac{1}{\sqrt{1-\beta^2}}$, где β — не-

известный коэффициент. Следовательно, из (3) имеем

$$ct = \gamma(ct' + \beta x'), \quad x = \gamma(\beta ct' + x'). \quad (4)$$

Для того чтобы найти коэффициент β рассмотрим в системе K движение начала координат системы отсчета K' . Полагая в (4) $x' = 0$, мы должны получить для событий $(ct, x = ut)$, $(ct', x' = 0)$ соотношение $u = x/t$: $u = \beta c$ или $\beta = u/c$.

12.1.2. Доказательство следует после подстановки соотношений $ct - x = k(ct' - x')$, $ct + x = \frac{1}{k}(ct' + x')$, $k = (1 - \beta)\gamma = \sqrt{\frac{1 - \beta}{1 + \beta}}$, полученных из (12.1.1).

Математическое выражение, остающееся неизменным при определенном преобразовании переменных, называется *инвариантом* (от фр. *invariant* — неизменяющийся).

12.1.3. Расположим в системе K на оси x линейку kmp длиной λ так, что ее середина m находится в начале системы координат. В системе K' на оси x' находится точно такая же линейка asb длиной λ , которую будем называть стержнем. Середина стержня — точка s_0 — находится в начале системы координат K' .

Пусть в момент времени $t = t' = 0$ начала координат систем K и K' совпадали. Тогда мировые линии точек k , m , p в системе K задаются прямыми

$$x_k(x_0) = \frac{\lambda}{2}, x_m(x_0) = 0, x_p(x_0) = -\frac{\lambda}{2}, \quad (1)$$

изображенными на рис. 12.1.3. Уравнения мировых линий точек a , s , b в системе K' имеют аналогичный вид:

$$x'_a(x'_0) = \frac{\lambda}{2}, x'_s(x'_0) = 0, x'_b(x'_0) = -\frac{\lambda}{2}. \quad (2)$$

Подставляя (2) в (12.1.2), получим уравнения мировых линий точек a , s , b в системе K — это прямые

$$x_a(x_0) = \frac{\lambda}{2\gamma} + \beta x_0, x_s(x_0) = \beta x_0, x_b(x_0) = -\frac{\lambda}{2\gamma} + \beta x_0. \quad (3)$$

Очевидно, прямая $x_s(x_0) = \beta x_0$ совпадает с временной осью системы покоя стержня x'_0 на рис. 12.1.3.

Найдем теперь положение пространственной оси координат x' . Пусть из точки s_0 в момент времени $t = t' = 0$ посылаются два световых сигнала в противоположных направлениях. Поскольку скорость света в любой инерциальной системе равна c , то уравнения мировых линий сигналов имеют вид: $x_s(x_0) = x_0$ и $\bar{x}_s(x_0) = -x_0$.

Рассмотрим четыре события k_1 , n_1 , a_1 , b_1 с точки зрения наблюдателя в системе K на рис. 12.1.3. События k_1 и n_1 соответствуют одновременному приходу светового сигнала к концам линейки k и p в моменты времени $t_{k_1} = t_{n_1} = t_{m_1} = \tau$, $\tau = \lambda/2c$. Два других события b_1 и a_1 —

приход сигналов к концам стержня b и a в различные моменты времени t_{b_1} и t_{a_1} . С другой стороны, наблюдатель в системе K' зафиксирует по своим часам одновременный приход сигналов к концам стержня в момент времени $t'_{b_1} = t'_{a_1} = \tau$, $\tau = \lambda/2c$. Поэтому все события, лежащие на прямой, проходящей через точки b_1 и a_1 , должны быть одновременными в системе K' . Следовательно, значение координаты x'_0 в точке пересечения s_1 прямых b_1a_1 и $x_1(x_0) = \beta x_0$ должно быть равно ct : $t'_{s_1} = \tau$, а прямая, проходящая через начало координат параллельно прямой a_1b_1 , — это и есть ось x' . Все события, лежащие на этой оси, соответствуют моменту времени $t' = 0$.

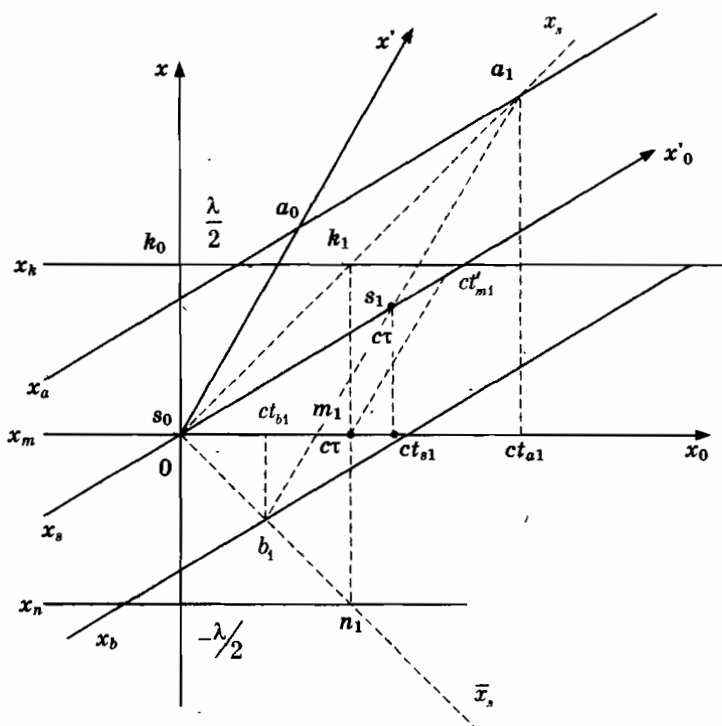


Рис. 12.1.3

Отметим, что мировая линия сигнала во всех инерциальных системах координат является биссектрисой угла между временной и пространственной осями.

12.1.4. Рассмотрим два события — показания часов через период τ в системе K' : $s_0(ct'_{s_0} = 0, x'_{s_0} = 0)$ и $s_1(ct'_{s_1} = \tau, x'_{s_1} = 0)$. В системе K ,

где полупрямая ct' — мировая линия часов, этим событиям соответствуют показания таких же часов через промежуток времени τ — два события $m_0(ct_{m_0} = 0, x_{m_0} = 0)$ и $m_1(ct_{m_1} = c\tau, x_{m_1} = 0)$.

Наблюдатель в системе K видит, что стрелка на его часах передвинулась на одно деление и показывает значение $t_{m_1} = \tau$. Стрелка на часах системы K' передвинется на одно деление, когда часы покажут момент времени $t'_{s_1} = \tau$. Из рис. 12.1.3 видно, что временная координата этого события в системе K равна $t_{s_1} > t_{m_1} = \tau$, т.е. часы в системе K' отстают. Действительно, в системе K' координаты события $s_1(ct'_{s_1}, x'_{s_1} = 0)$. Подставляя значения координат события s_1 в (12.1.1), получаем $t_{s_1} = \gamma\tau$.

Для определения временной координаты t'_{m_1} аналогичного события m_1 проведем через точку ct_{m_1} прямую, проходящую параллельно оси x' . Из диаграммы видно, что $t'_{m_1} > t'_{s_1} = \tau$, т.е. часы в системе K отстают. Действительно, координаты события m_1 в системе K — $(ct_{m_1} = c\tau, x_{m_1} = 0)$. Подставляя значения координат события m_1 в (12.1.2), получаем $t'_{m_1} = \gamma\tau$.

12.1.5. В системе K' координаты любого события на прямой x_0 , изображенной на рис. 12.1.3, одинаковы. Длина стержня в системе K представляет собой модуль разности координат в один и тот же момент времени: $l = |x_a(x_0) - x_b(x_0)|$. Подставляя значения координат (3) из решения задачи 12.1.3 находим $l = \lambda/\gamma < \lambda$. Следовательно, длина стержня в системе K меньше длины стержня в системе K' . Отметим, что координаты события a_0 равны $ct_{a_0} = 0, x_{a_0}$; $ct_{a'_0}, x_{a'_0} = \lambda/2$. Из (12.1.2) получаем $x_{a_0} = \lambda/2\gamma, ct_{a'_0} = -\beta\lambda/2$.

В системе K координаты любого события на прямой x_0 , изображенной на рис. 12.1.3, одинаковы. Найдем длину линейки в системе K' . Используя (12.1.1), преобразуем уравнения мировых линий точек k и n линейки в системе K в уравнения мировых линий в системе координат K' : так как $x_k(x_0) = \lambda/2, x_n(x_0) = -\lambda/2$, то $x'_k(x'_0) = \frac{\lambda}{2\gamma} - \beta x'_0$, $x'_n(x'_0) = -\frac{\lambda}{2\gamma} - \beta x'_0$, искомая длина $l' = x'_k - x'_n = \lambda/\gamma, l' = \lambda \sqrt{1 - \beta^2} < \lambda$.

Отметим, что координаты события k_1 равны $ct_{k_1}, x_{k_1} = \lambda/2,; ct_{k'_1} = 0, x_{k'_1}$. Из (12.1.1) получаем $x_{k'_1} = \lambda/2\gamma, ct_{k'_1} = \beta\lambda/2$.

Таким образом пространство и время неразрывно связаны между собой. «Отныне пространство само по себе и время само по себе должны обратиться в фикции и лишь некоторый вид соединения обоих, должен еще сохранить самостоятельность» — заметил немецкий математик Г. Минковский.

12.1.6. А. Проведем на рис. 12.1.6 гиперболу $(ct)^2 - x^2 = (c\tau)^2$. При $x = 0$ мы имеем момент времени $t_m = \tau$. Однако в силу инвариантности интервала получаем также $(ct')^2 - x'^2 = (c\tau)^2$. Следовательно, гипербола пересекает ось ct' в точке $t'_s = \tau$. На рис. 12.1.6 видно, что всегда отстают те часы, которые движутся относительно другой инерциальной системы отсчета.

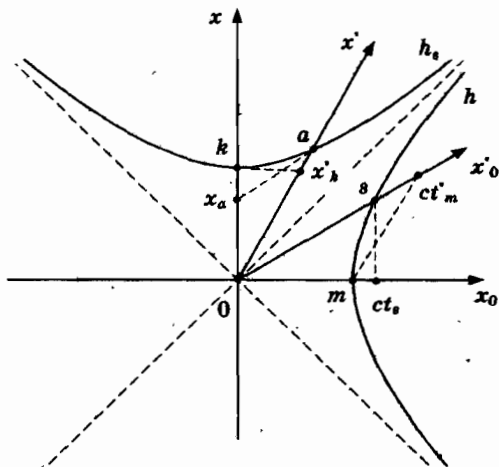


Рис. 12.1.6

Б. Проведем на рис. 12.1.6 гиперболу $(ct)^2 - x^2 = -\lambda^2$. При $t = 0$ мы имеем $x_k = \lambda$. Однако в силу инвариантности интервала получаем также $(ct')^2 - x'^2 = -\lambda^2$. Следовательно, гипербола пересекает ось x' в точках $ct'_a = 0, x'_a = \lambda$.

Длина стержня в системе K' равна значению координаты $x'_a = \lambda$. Для определения длины стержня в системе K проведем через точку x'_a мировую линию конца стержня — прямую, проходящую параллельно оси ct' . Точка пересечения этой прямой с осью x представляет собой длину стержня $x_k < \lambda = x_k$ в системе K , т.е. в системе K длина стержня меньше длины эталона $x_k = \lambda$.

Длина стержня в системе K' равна значению координаты $x'_a = \lambda$. Наблюдатель в системе K имеет стержень длиной $x_k = \lambda$. Для определения длины стержня в системе K' проведем через точку x_k мировую линию конца стержня — прямую, проходящую параллельно оси ct . Точка пересечения прямой с осью x' определяет координату конца стержня $x'_k < \lambda = x'_k$ в системе K' , т.е. в системе K' длина стержня меньше длины эталона $x'_k = \lambda$.

12.1.7. Если в момент времени $t = 0$ число неподвижных мюонов равно N_0 , то через 2,2 мкс половина из них распадется, рождая электрон и два нейтрино. Половина оставшихся мюонов распадается в следующие 2,2 мкс и т.д. Следовательно, в момент времени t останется $N(t) = N_0(1/2)^{t/\tau}$ мюонов.

В системе отсчета, связанной с движущимися мюонами, прошло время t'_2 , в течение которого осталась одна восьмая часть от общего числа: $N(t'_2) = N_0/8$ или $t'_2 = 3\tau$. Согласно Эйнштейну в системе K соответствующий интервал времени $t_2 = \gamma t'_2$, $\gamma = (1 - u^2/c^2)^{-1/2}$. Поскольку $H = ut_2$, то из уравнения $H/u = 3\tau(1 - u^2/c^2)^{-1/2}$ находим

$$u = cH[(3\tau c)^2 + H^2]^{-1/2} \approx c.$$

Время полета $t_2 = [(3\tau)^2 + (H/c)^2]^{1/2} \approx H/c = 200$ мкс.

Движущиеся мюоны распадаются медленнее неподвижных мюонов. Если бы ход времени во всех системах отсчета был бы одинаков, то время полета до поверхности Земли соответствовало бы $t_2/\tau \approx 90$ периодам полураспада. После 90 периодов осталась бы лишь $N(t_2)/N_0 = (1/2)^{90} \approx (10)^{-27}$ часть от первоначального числа мюонов (мы учли, что $2^{10} \approx 10^3$).

12.1.8. А. Скорость света должна быть различна для лучей в двух взаимно перпендикулярных плечах прибора. Поэтому должна существовать разность хода лучей и наблюдаться интерференционная картина.

Пусть скорость света относительно неподвижной системы отсчета, связанной с эфиром равна \bar{c} . Скорость прибора $\vec{u} = (u, 0, 0)$. Скорость света в системе покоя прибора $\vec{c}' = \bar{c} - \vec{u}$. Проекция скорости света на траектории M_0M_1 равна $c'_x = c - u$, а на траектории M_1M_0 — $c'_x = c + u$. Поэтому интервал времени, за который свет распространяется по траектории луча $M_0M_1M_0$, равен $t_1 = 2\lambda\gamma^2/c$, $\gamma = 1/(1 - \beta^2)^{1/2}$, $\beta = u/c$. Траектория луча света $M_0M_2M_0$ в неподвижной системе представляет собой два отрезка сторон равнобедренного треугольника высотой λ с углом α при основании, $\sin\alpha = u/c$ (рис.12.1.8 б). В системе покоя величина скорости света $c' = \sqrt{c^2 - u^2}$. Поэтому интервал времени распространения света по траектории $M_0M_2M_0$ равен $t_2 = 2\lambda/c' = 2\lambda\gamma/c$. Следовательно, разность фаз интерферирующих волн $\Delta\phi = ct_2 - ct_1 \approx \lambda\beta^2$. Однако в этом и последующих экспериментах интерференционная картина не появлялась — скорость Земли относительно эфира оказалась равной нулю. Тем самым, Земля приобретала уникальное свойство, отличаю-

щее ее от других тел. В то же время другие эксперименты указывали на то, что эфир неподвижен.

В 1892 г. для объяснения отсутствия интерференционных полос ирландский физик Д. Фицджеральд и независимо нидерландский физик-теоретик Х. Лоренц предложили гипотезу о сокращении размеров движущихся тел в направлении движения. В 1904 г. Лоренц вывел формулы (12.1.1), связывающие пространственные координаты и время в двух системах отсчета. Однако он считал, что это преобразование имеет вспомогательный характер. Значительный вклад внес выдающийся французский математик Анри Пуанкаре. В 1904–1905 гг. он дал анализ понятия одновременности и открыл законы релятивистской механики.

Б. Проведем анализ с точки зрения теории относительности. Поскольку скорость света во всех инерциальных системах отсчета равна c , то в системе покоя прибора K' разность фаз световых лучей, соответствующих траекториям $M_0M_1M_0$ и $M_0M_2M_0$ на рис. 12.1.8 а, равна нулю. Найдем теперь разность фаз в системе отсчета K , в которой прибор движется со скоростью $\vec{u} = (u, 0, 0)$. Согласно теории длина плеча M_0M_1 равна $l = \lambda/\gamma$. Пусть t_{01}, t_{10} — интервалы времени, в течение которых волны распространяются по трассам M_0M_1 и M_1M_0 . Тогда имеем два уравнения $l + ut_{01} = ct_{01}, l - ut_{10} = ct_{10}$, из которых находим $t_1 = (t_{01} + t_{10}), t_1 = 2\lambda\gamma/c$. Для вычисления интервала времени t_2 представим траекторию $M_0M_2M_0$ в системе K (рис. 12.1.8 б). В этом случае $(ct_2/2)^2 = (ut_2/2)^2 + l^2, t_2 = 2\lambda\gamma/c$. Разность хода $c(t_2 - t_1) = 0$.

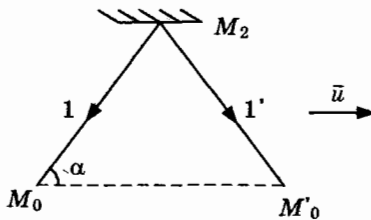


Рис. 12.1.8 б

12.1.9. Подобные парадоксы легко разрешаются, если вспомнить другие следствия теории. В задаче рассматриваются четыре события на мировых линиях концов шеста bs и границ сарая km . В системе K мировые линии границ сарая и концов шеста имеют вид (рис. 12.1.9 а)

$$x_k(ct) = l, x_m(ct) = 0, x_s(ct) = \beta ct, x_b(ct) = -l + \beta ct. \quad (1)$$

Пусть события A и B_1 одновременны в системе K в момент времени: $t_{A_1} = t_{B_1} = \tau$, $\tau = l/u$. Тогда в системе K' они не будут одновременными и поставленный вопрос не имеет смысла. В этом легко убедиться, изобразив в системе K' мировые линии концов шеста и мировые линии границ сарая.

Подставляя (1) в (12.1.2) получаем функции (рис. 12.1.9 б)

$$x'_k(ct') = l/\gamma - \beta ct', x'_m(ct') = -\beta ct', x'_s(ct') = 0, x'_b(ct') = -\lambda. \quad (2)$$

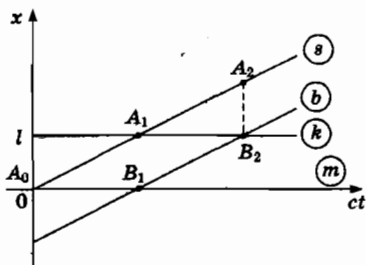


Рис. 12.1.9 а

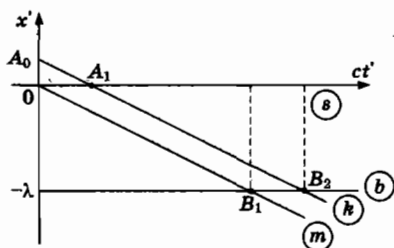


Рис. 12.1.9 б

Событие A_1 происходит в момент времени $t'_{A_1} = l/\gamma u = \lambda/\gamma^2 u$, а событие B_1 в момент времени $t'_{B_1} = \lambda/u$. В промежутке времени $t'_{B_1} - t'_{A_1}$ сарай находится между концами шеста. Начиная с момента времени $t'_{B_2} = (\lambda + l/\gamma)/u$ сарай удаляется от шеста. Полезно отметить, что $t_{A_1} - t_{A_0} = t_{B_2} - t_{B_1} = \tau$, $t'_{A_1} - t'_{A_0} = t'_{B_2} - t'_{B_1} = \tau/\gamma$.

12.1.10. Пусть наблюдатель в системе K' встретился с наблюдателем в системе K в момент времени $t = t' = 0$ и удаляется от него со скоростью u . Оба наблюдателя регистрируют положение тахиона, движущегося со сверхсветовой скоростью $u_t > c$.

Рассмотрим два события: $(t_a, x_a = 0)$ — встреча тахиона с наблюдателем в системе K и (t_b, x_b) — встреча тахиона с наблюдателем в системе K' . В момент времени t_a тахион излучил сигнал, который примет наблюдатель в системе K' в момент времени t'_1 . Сравнивая информацию о состояниях тахиона в моменты времени t'_b и t'_1 , он может сделать заключение о процессах перехода из одного состояния в другое в интервале $t'_b - t'_1$. С другой стороны, наблюдатель в системе K , приняв в момент времени t_2 сигнал, излученный тахионом в момент времени t'_b , получит свою информацию о тех же процессах, происшедших за интервал времени $t_b - t_a$.

На рис. 12.2.10 изображены мировые линии наблюдателя $x_s(ct)$, тахиона $x_r(ct)$ и двух лучей $x_a(ct)$, $\bar{x}_a(ct)$:

$$x_s(ct) = \beta ct, \beta = u/c, \quad x_r(ct) = \beta_r c(t - t_a), \quad \beta_m = u_r/c,$$

$$x_a(ct) = c(t - t_a), \quad \bar{x}_a(ct) = x_s(ct_b) - c(t - t_b).$$

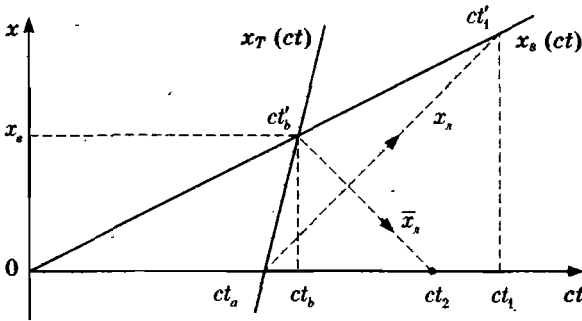


Рис. 12.1.10

Из условия $x_s(ct_b) = x_r(ct_b)$ находим $t_b = t_a/(1 - u/u_r) > t_a$. Величину t_1 получим из условия $x_s(ct_1) = x_r(ct_1)$: $t_1 = t_a/(1 - u/c)$. Момент времени t_2 найдем из условия $\bar{x}_a(ct_2) = 0$: $t_2 = (1 + u/c)t_b = (1 + u/c)t_a/(1 - u/u_r)$. Поскольку $u < c < u_r$, то $t_1 > t_b$. Очевидно, что $t'_1 > t'_b$. Следовательно, с точки зрения наблюдателя в системе K тахион сначала пролетел мимо него (событие a), а потом мимо наблюдателя в системе K' (событие b). Наблюдатель в системе K' сначала «увидит» событие b в момент времени t'_b , а потом событие a в момент времени t'_1 . Мы приходим к выводу, очевидному из рис. 12.1.10, что хронологический порядок событий a и b будет различным для каждого из наблюдателей.

Предположим, что параметры, характеризующие состояние тахиона, удовлетворяют уравнению некоторого необратимого процесса. Если наблюдатель в системе K видит «старение» тахиона, то наблюдатель в системе K' увидит обратную последовательность событий — тахион «молодеет». Причина и следствие меняются местами и появляется возможность влиять на прошлое — на уже реализовавшиеся события. По мнению некоторых физиков, это ограничивает область существования тахионов малыми интервалами пространства-времени, в которых строгая упорядоченность событий утрачивает свою универсальность. Другие ученые считают, что эту трудность можно обойти за счет более расширенной трактовки смысла причинно-следственной связи.

12.1.11. Из (12.1.2) получим преобразование Лоренца

$$ct' = \gamma(ct - vx/c) \rightarrow \omega t' = \gamma[\omega t - \left(\frac{v}{c}\right)^2 \sin \omega t],$$

$$x' = \gamma(x - vt) = \gamma R(\sin \omega t - \omega t), y' = y = R(1 - \cos \omega t).$$

Траектория частицы представляет собой циклоиду. Для частицы, движущейся со скоростью $v \sim c$, величина $\gamma \gg 1$. В интервале лабораторного времени t , удовлетворяющего условию $\gamma \omega t \ll 1$,

$$t' \approx \frac{t}{\gamma} \left(1 + \frac{1}{6} \gamma^2 \omega^2 t^2\right), x' \approx -\frac{R}{6\gamma^2} (\gamma \omega t)^3, y' \approx \frac{R}{2\gamma^2} (\gamma \omega t)^2.$$

Уравнение траектории — кубическая парабола $y' = (R/2\gamma^2) (6\gamma^2 \omega t' / R)^{2/3}$. Производная dy'/dx' имеет разрыв.

12.1.12. Если наблюдатель, находящийся в начале координат системы отсчета K , видит стержень в момент времени t_0 , то на фотографии получится «искаженное» изображение, поскольку стержень занимал различные положения, когда источники a и b излучили волны, одновременно достигшие фотопленки.

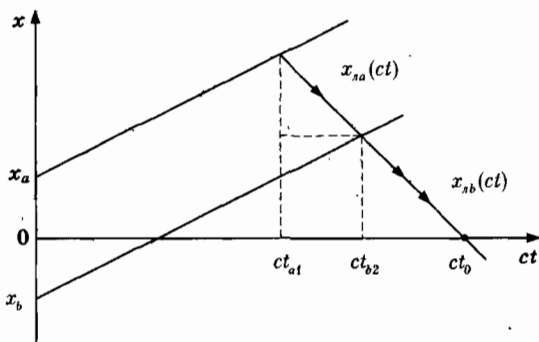


Рис. 12.1.12

На рис. 12.1.12 изображены мировые линии источников и двух лучей $x_{na}(ct)$ и $x_{nb}(ct)$: первый испущен источником a в точке $x_a(ct_{a1})$ в момент времени t_{a1} , второй — источником b в точке $x_b(ct_{b2})$ в момент времени t_{b2} : $x_{na}(ct) = x_a(ct_{a1}) - c(t - t_{a1})$, $x_{nb}(ct) = x_b(ct_{b2}) - c(t - t_{b2})$, где $x_a(ct_{a1}) = \lambda/2\gamma + ut_{a1}$, $x_b(ct_{b2}) = -\lambda/2\gamma + ut_{b2}$.

Наблюдаемая длина стержня d равна разности оптических длин $c(t_0 - t_{a1}) = x_a(ct_{a1})$, $c(t_0 - t_{b2}) = x_b(ct_{b2})$ лучей a и b : $d = c(t_{b2} - t_{a1})$. Две волны падают на фотопленку одновременно, если $x_{na}(ct_0) = x_{nb}(ct_0)$. Из

этого уравнения получим $0 = \lambda/\gamma - (u + c)(t_{b2} - t_{a1})$. Следовательно, видимый размер линейки $d = \lambda/[\gamma(1 + u/c)] = l/(1 + u/c)$ окажется даже меньше, чем длина стержня $l = \lambda/\gamma$, измеренная в системе K . На рис. 12.1.12 видно, что фронт световой волны, излучаемой в точке a , достигает точки b , проходя расстояние $\lambda/\gamma - u\Delta t = c\Delta t$, где $\Delta t = t_{b2} - t_{a1}$.

Если стержень приближается к фотографу, то видимый размер стержня $l/(1 - u/c)$.

12.1.13. Мировые линии сигналов до отражения $x_f(t) = c(t - t_1)$, после отражения $x_r(t) = -c(t - t_3)$ и тела $x(t) = \beta ct$ изображены на рис.

12.1.13. Из условий $x(t_2) = x_f(t_2) = x_r(t_2)$ находим

$$t_2 = \frac{t_1}{1-\beta}, t_3 = t_2(1 + \beta) = k^2 t_1, k = \sqrt{\frac{1+\beta}{1-\beta}}.$$

Следовательно, скорость тела $u = \frac{c(t_3 - t_1)}{t_3 + t_1}$.

Найдем момент времени прихода сигнала к телу по часам системы K' . Подставляя в преобразование Лоренца $ct'_2 = \gamma[ct_2 - \beta x(t_2)]$ значение $x(t_2) = \beta ct_2$, найдем $t'_2 = t_2/\gamma$. Световая вспышка наблюдается в системах K' и K в моменты времени $t'_2 = kt_1$, $t_3 = kt'_2 = k^2 t_1$. Пусть $t_1 = 2$ с, $t_3 = 8$ с. Тогда $u = 0,6$ с, $\gamma = 5/4$, $t_2 = 5$ с, $t'_2 = 4$ с.

12.1.15. В системе K' световые импульсы излучаются в моменты времени $t'_1 = \tau$, $t'_2 = 2\tau$, ..., которым в системе K соответствуют моменты времени $t_1 = \gamma t'_1 = \gamma\tau$, $t_2 = 2\gamma\tau$, ... (рис.12.1.15).

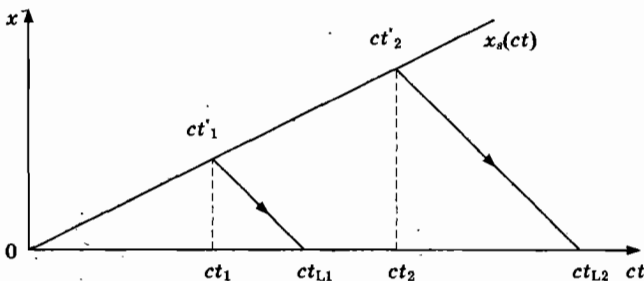


Рис. 12.1.15

Неподвижный наблюдатель фиксирует приход сигналов в моменты времени t_{L1} , t_{L2} , Мировая линия излучателя $x_s(ct) = \beta ct$, мировая линия сигнала, испущенного в момент времени t_1 , представляет собой прямую линию $x(ct) = x_s(ct_1) - c(t - t_1)$. Мировая линия наблюда-

теля $x_m(ct) = 0$. Из уравнения $x(ct_{L1}) = 0$ находим $t_{L1} = (1 + \beta)\gamma t$. Частота принимаемых сигналов $\nu = \nu' / [(1 + \beta)\gamma]$. При $\beta = 0,8$ имеем $\nu = \nu' / 3$. В случае движения со скоростью $u \ll c$, $\nu \approx \nu' (1 - \beta)$.

Частота волны, принимаемой от источника, приближающегося к наблюдателю, равна $\nu' / [(1 - \beta)\gamma]$. При $u \ll c$, $\nu \approx \nu' (1 + \beta)$.

12.1.16. А. Решение 1. В системе покоя астронавта $t'_2 = \lambda/c$. Согласно преобразованию Лоренца $t_2 = \gamma(t'_2 + ux'_2/c^2)$, $\gamma = 1/(1 - u^2/c^2)^{1/2}$, имеем $t_2 = \gamma\lambda(1 + \beta)/c$.

Решение 2. В неподвижной системе отсчета $\lambda/\gamma + ut_2 = ct_2$.

Б. $ut_3 = ct_2 - c(t_3 - t_2)$. Из этого уравнения находим $t_3 = 2\gamma\lambda/c$.

12.1.17. Решение 1. В системе покоя астронавта $t'_2 = \lambda/c$. Согласно преобразованию Лоренца $t_2 = \gamma t'_2$, $\gamma = 1/(1 - u^2/c^2)^{1/2}$, имеем $t_2 = \gamma\lambda/c$.

Решение 2. В неподвижной системе отсчета $(ct_2)^2 = (ut_2)^2 + \lambda^2$.

12.1.18. В системе K компоненты скорости частицы $v_x = \frac{dx}{dt}$,

$v_y = \frac{dy}{dt}$, $v_z = \frac{dz}{dt}$. Компоненты скорости той же частицы в системе K' :

$v'_x = \frac{dx'}{dt'}$, $v'_y = \frac{dy'}{dt'}$, $v'_z = \frac{dz'}{dt'}$. Из (12.1.1) получим соотношение между

приращениями координат и времени $dx = \gamma(udt' + dx')$, $dy = dy'$, $dz = dz'$, $dt = \gamma\left(dt' + \beta \frac{dx'}{c}\right)$, из которых найдем правила преобразова-

ния компонент скоростей

$$v_x = \frac{u + v'_x}{1 + \frac{\beta v'_x}{c}}, \quad v_y = \frac{v'_y}{\gamma\left(1 + \frac{\beta v'_x}{c}\right)}, \quad v_z = \frac{v'_z}{\gamma\left(1 + \frac{\beta v'_x}{c}\right)}. \quad (1)$$

Если $\vec{v}' = (c, 0, 0)$, то $\vec{v} = (c, 0, 0)$: скорость света одна и та же во всех инерциальных системах отсчета. При $\beta \ll 1$ из (1) следуют нерелятивистские соотношения $v_x = u + v'_x$, $v_y = v'_y$, $v_z = v'_z$.

12.1.19. Из формулы преобразования релятивистской скорости $v'_x = (-u + v_x)/(1 - uv_x/c^2)$, $v'_y = v_y/\gamma(1 - uv_x/c^2)$, $v'_z = 0$, $\gamma^2 = 1/(1 - u^2/c^2)$, находим $v'_x = -c/2$, $v'_y = c\sqrt{3}/2$. Поскольку модуль скорости равен c , то наша частица представляет собой фотон.

12.1.20. Пусть система K' движется со скоростью \vec{v}_1 . Тогда относительная скорость — скорость второй частицы в системе K' . Полагая

в соотношении (1) задачи 12.1.18 $v_x = v_2$, $v'_x = v_R$, $u = v_1$, получим

$$v_2 = \frac{v_1 + v_R}{1 + v_1 v_R / c^2}, \rightarrow v_R = \frac{v_2 - v_1}{1 - v_1 v_2 / c^2}.$$

Например, при $v_2 = 0,99c$, $v_1 = 0,98c$ имеем $v_R = c/3$. В случае $v_1 = 0,5c$, $v_2 = 0,8c$ имеем $v_R = 0,5c$. Если $v_2 = c$ — скорость светового сигнала, то $v_R = c$ — т.е. в системе покоя первой частицы скорость света равна c . Если два световых сигнала движутся в противоположные стороны ($v_2 = c$, $v_1 = -c$), то относительная скорость равна c .

12.1.22. Поскольку v_0 , v — проекции на ось x скорости объекта в системах отсчета K' и K , то согласно «правилу сложения» релятивистских скоростей проекция на ось x относительной скорости

$$v = (u + v_0) / (1 + uv_0 / c^2).$$

12.2. Релятивистская кинематика.

Рождение новых частиц.

12.2.1. Левую часть можно вычислить в исходной лабораторной системе, полагая $E_1 = \gamma_0 mc^2$, $p_1 = -\gamma_0 m v_0$, $E_2 = \gamma_0 mc^2$, $p_2 = \gamma_0 m v_0$,

$\gamma_0 = \frac{1}{\sqrt{1 - \beta_0^2}}$, $\beta_0 = \frac{v_0}{c}$, и в системе покоя первого протона, в которой

$$E'_1 = mc^2, \vec{p}'_1 = 0, E'_2 = \gamma_R mc^2, p'_2 = \gamma_R m v_R, \gamma_R = \frac{1}{\sqrt{1 - \beta_R^2}}, \beta_R = \frac{v_R}{c}.$$

Приравнивая эти выражения, получим уравнение $\gamma_0^2 (1 + \beta_0^2) = \gamma_R$, из которого, в соответствии с результатом, полученном в задаче 12.1.20 находим $v_R = 2v_0 / [1 + (v_0/c)^2]$.

12.2.2. А. $T \approx \gamma mc^2$, $mc^2 = 0,5$ МэВ, $\gamma = 1 / (1 - v^2/c^2)^{1/2}$. В системе покоя электрона $\lambda' = \lambda / \gamma$.

Б. $T \approx \gamma mc^2$, $mc^2 = 0,5$ МэВ, $\gamma = 1 / (1 - v^2/c^2)^{1/2}$. Отсюда находим $1 - (v/c)^2 = (10)^{-10}$ или $2(1 - v/c) \approx (10)^{-10}$, $v = c - (c/2)(10)^{-10}$.

12.2.3. Имеем уравнение $mc^2 / (1 - v^2/c^2)^{1/2} - mc^2 = mc^2 / 4$.

12.2.4. Из закона сохранения энергии и импульса $mc^2 = h\nu_{10} + h\nu_{20}$, $0 = h\nu_{10} \vec{n}_1 + h\nu_{20} \vec{n}_2$, получаем $h\nu_{10} = mc^2 / 2$, $h\nu_{20} = mc^2 / 2$.

12.2.5. А. Произведем переход (12.2.3) из системы покоя в лабораторную систему, движущуюся со скоростью v

$$h\nu_{10} = \gamma [h\nu_1 - (v/c) h\nu_1 \cos\theta], \gamma = (1 - v^2/c^2)^{-1/2}, \quad (1)$$

где θ — угол между скоростью фотона и мезона, $h\nu_{10} = mc^2 / 2$, $E = \gamma mc^2$.

Из (1) находим

$$h\nu_1 = mc^2/[2\gamma(1 - (v/c)\cos\theta)], \text{ или } h\nu_1 = (E/2)[1 - (v/c)^2]/[1 - (v/c)\cos\theta].$$

Значениям $\theta = 0, \pi$ соответствуют максимальное и минимальное значения $(E/2)(1 \pm v/c)$.

Отметим, что произведение $\hbar^2 v_{\min} v_{\max} = m^2 c^4/4$.

Б. Из законов сохранения энергии и импульса $E = h\nu_1 + h\nu_2$, $cp = h\nu_2 - h\nu_1$, находим $2h\nu_2 = E + cp$, $2h\nu_1 = E - cp$. Далее получим $v_2/v_1 = (E + cp)/(E - cp)$, $v_2/v_1 = (c + v)/(c - v)$.

В. Закон сохранения энергии и импульса

$$E = h\nu_1 + h\nu_2, \quad (1)$$

$$c\vec{p} = h\nu_1\vec{n}_1 + h\nu_2\vec{n}_2. \quad (2)$$

выполняются независимо от характера столкновений.

Возведем в квадрат (1), (2) и вычтем из первого соотношения второе. В результате получим уравнение

$$(mc^2)^2 = 2h^2\nu_1\nu_2(1 - \cos\alpha), \quad (3)$$

где $\cos\alpha = \vec{n}_1\vec{n}_2$.

Произведение двух чисел, сумма которых постоянна, имеет максимальное значение, если сомножители равны. Поэтому при минимальном угле разлета $v_1 = v_2 = v$, $\alpha = \alpha_m$. В этом случае $E = 2h\nu$,

$$(mc^2)^2 = E^2(1 - \cos\alpha_m)/2, \quad (4)$$

Из (4) находим $\cos(\alpha_m/2) = v/c$.

12.2.6. Пусть энергии и импульсы частиц до и после рассеяния соответственно равны E_1 , $\vec{p}_1 = (p_1, 0, 0)$, $E_2 = m_2c^2$, $\vec{p}_2 = 0$, E_1' , $\vec{p}_1' = (p_1', 0, 0)$, E_2' , $\vec{p}_2' = (p_2', 0, 0)$. Наша задача — найти кинетические энергии $T_1' = E_1' - m_1c^2$, $T_2' = E_2' - m_2c^2$ частиц после рассеяния.

Из законов сохранения энергии и импульса получим два уравнения $E_1 + m_2c^2 = E_1' + E_2'$, $p_1 = p_1' + p_2'$.

Исключая из этой системы E_1' , p_1' , последовательно находим

$$\begin{aligned} (E_1 - E_2')^2 - c^2(p_1 - p_2')^2 &= (E_1' - m_2c^2)^2 - (cp_1')^2 \rightarrow \\ \rightarrow c^2p_1p_2' &= E_1E_2' - E_1'm_2c^2, \quad c^2p_1p_2' = (E_1 + m_2c^2)T_2' \rightarrow \\ T_2' &= 2m_2p_1^2/m^2, \end{aligned} \quad (1)$$

$$T_1' = T_1 - 2m_2p_1^2/m^2, \quad (2)$$

где $p_1^2 = T_1^2/c^2 + 2m_1T_1$, $m^2 = (m_1 + m_2)^2 + 2m_2T_1/c^2$.

Здесь m — инвариантная масса системы.

Сравним (1), (2) с аналогичными соотношениями, полученными в примере 1.7.16. В предельном случае малых энергий $T_1 \ll m_1 c^2, m_2 c^2$, $p_1^2 \approx 2m_1 T_1$, $m \approx m_1 + m_2$. Согласно классической механике при $m_1 \ll m_2$ легкая частица могла бы передать тяжелой частице энергию $T_2' \approx 4(m_1/m_2)T_1 \ll T_1$. Ситуация меняется в случае релятивистских энергий: если $T_1 \gg m_2 c^2, m_1 c^2$, то $p_1^2 \approx T_1^2/c^2$, $m^2 \approx 2m_2 T_1/c^2$, $T_2' \approx T_1$.

12.2.7. Если вторая частица покоится, то в лабораторной системе отсчета $E_1 = mc^2 + T$, $\vec{p}_1 = (p_1, 0, 0)$, $E_2 = mc^2$, $\vec{p}_2 = 0$, $E_1' = E_2'$, $\vec{p}_1' = (p_1', 0, 0)$, E_2' , $\vec{p}_2' = (p_2', 0, 0)$ — энергии и импульсы частиц до и после рассеяния. Из закона сохранения энергии-импульса следует уравнение

$$E_1 + mc^2 = E_1' + E_2' \quad (1)$$

$$\vec{p}_1 = \vec{p}_1' + \vec{p}_2'. \quad (2)$$

Возведем в квадрат (1), (2) и вычтем из первого соотношения второе. В результате получим уравнение $E_1 mc^2 = (E_1' E_2' - c^2 p_1' p_2' \cos \alpha)$.

При минимальном угле разлета $E_1' = E_2' = E$, $p_1' = p_2' = p'$, $\alpha = \alpha_m$. В этом случае $E_1 + mc^2 = 2E$, $E_1 mc^2 = (E^2 - c^2 p'^2 \cos \alpha_m)$.

Поскольку $E^2 - c^2 p'^2 = (mc^2)^2$, то $\cos \alpha_m = (E^2 - E_1 mc^2)/(E^2 - m^2 c^4)$.

Отсюда находим $\cos \alpha_m = T/(T + 4mc^2)$.

Отметим, что при $T \ll mc^2$ получим известный из классической теории результат $\alpha_m = \pi/2$.

12.2.8. Запишем законы сохранения энергии и импульса системы частиц в виде $E + hv - hv' = E$, $\vec{p} + hv \vec{n}/c - hv' \vec{n}'/c = \vec{p}'$.

Умножим второе уравнение на c , затем возведем каждое уравнение в квадрат и вычтем одно из другого. Учитывая (12.2.4), получим

$$v' = \frac{v(E - c\vec{p}\vec{n})}{E - c\vec{p}\vec{n} + hv(1 - \vec{n}\vec{n}')}. \quad (1)$$

Комптон-эффект является основной причиной возникновения мощного электромагнитного импульса длительностью менее 1 с непосредственно после атомного взрыва. Образующиеся после деления урана-235 кванты имеют энергию $hv \approx 0,8$ МэВ. Взаимодействуя с веществом, они выбивают из атомов электроны, которые приобретают релятивистские энергии. Асимметрия движения электронов в вертикальном направлении аналогична импульсу тока в проводнике. В результате генерируется мощное излучение, образующее начальный импульс, и происходит разделение электронов и ионов. Затем электроны движутся в обратном направлении, порождая новый импульс. По-

ражающее действие импульса связано с возбуждением ЭДС индукции в цепях радиоэлектронной и электротехнической аппаратуры.

12.2.9. Полагая в выражении (1) задачи 12.2.8 $\bar{n} = -\bar{p}/p$,

$$\bar{n}' = \bar{p}/p, \text{ получим частоту рассеянного излучения } \nu' = \nu \frac{E + pc}{E - pc + 2h\nu}.$$

Отсюда следует, что даже при взаимодействии фотонов небольших энергий $h\nu \ll (mc)^2/E$ с релятивистскими электронами ($E \gg mc^2$) частота $\nu' \approx \nu \frac{E + pc}{E - pc} \approx \nu \left(\frac{2E}{mc^2} \right)^2 \gg \nu$.

Длина волны рассеянного «света» $\lambda' = \lambda/4\gamma^2$. При $E = 250$ МэВ инфракрасный фотон ($\lambda = 1$ мкм) преобразуется в рентгеновский ($\lambda' = 10^{-3}$ нм).

12.2.10. Пусть $E_1, \bar{p}_1 = (p_1, 0, 0), E_2 = m_2c^2, \bar{p}_2 = 0, E_1', \bar{p}_1' = (p_1', 0, 0), E_2', \bar{p}_2' = (p_2', 0, 0)$ — энергии и импульсы частиц до и после рассеяния. Из закона сохранения энергии-импульса следует уравнение

$$(E_1 + m_2c^2)^2 - c^2p_1^2 = (E_1' + E_2')^2 - c^2(p_1' + p_2')^2. \quad (1)$$

Поскольку столкновение абсолютно неупругое, то электрон и возбужденный атом неподвижны в системе центра масс, движущейся со скоростью $v = c^2p_1/(E_1 + m_2c^2)$. Следовательно, правая часть (1) равна $[(m_1 + m_2')c^2]^2$. Тогда из (1) находим $m_2' = [(m_1 + m_2)^2 + 2m_2T_1/c^2]^{1/2} - m_1$.

В предельном случае малых энергий $T_1 \ll (m_1 + m_2)c^2, T_1 \approx m_1v^2/2$. Используя разложение бинома Ньютона $(1 + \epsilon)^{1/2} \approx 1 + \epsilon/2, \epsilon \ll 1$, получим известный из классической теории результат:

$$m_2'c^2 \approx m_2c^2 + Q, Q = m_2T_1/(m_1 + m_2).$$

Второе слагаемое, равное приращению полной энергии атома, связано с приращением массы атома $m_2' - m_2 = Q/c^2$. Напомним, что когда вторая частица представляет собой макроскопическое тело, то величину Q называют приращением внутренней энергии тела (см. задачу 1.7.47).

12.2.11. А. Из законов сохранения энергии и импульса имеем уравнение $Mc^2 = 0,6Mc^2/(1 - v^2/c^2)^{1/2}$.

Б. Из закона сохранения энергии и импульса имеем уравнение $Mc^2 = 2(mc^2 + T)$.

12.2.12. А. Из законов сохранения импульса и энергии имеем четыре уравнения

$$0 = \bar{p}_{10} + \bar{p}_{20}, \quad (1)$$

$$Mc^2 = E_{10} + E_{20}. \quad (2)$$

Из (1) имеем уравнение $(p_{10})^2 = (p_{20})^2$ или

$$M(E_{20} - E_{10}) = (m_2^2 - m_1^2)c^2. \quad (3)$$

Из уравнений (2), (3) получим

$$E_{10} = (M^2 + m_1^2 - m_2^2)c^2/2M, E_{20} = (M^2 + m_2^2 - m_1^2)c^2/2M.$$

Б. Полагая $m_1 = 0$, находим $E_{10} = (M^2 - m_2^2)c^2/2M$, $E_{10} = 76,4$ МэВ.

12.2.13. Пусть вторая частица покоится. Тогда в лабораторной системе отсчета $E_2 = m_2c^2$, $\vec{p}_2 = 0$, $E_1 = m_1c^2 + T_L$. Масса системы

$$\begin{aligned} (Mc^2)^2 &= (E_1^2 + m_2c^2)^2 - (cp_1)^2 = (m_1c^2)^2 + 2E_1m_2c^2 + (m_2c^2)^2 = \\ &= (m_1 + m_2)^2c^4 + 2T_Lm_2c^2. \end{aligned}$$

Учитывая (12.2.7), получим неравенство

$$M = \sqrt{(m_1 + m_2)^2 + 2m_2T_L/c^2} \geq m_a + m_b + \dots, \quad (1)$$

из которого находим

$$T_L \geq T_{\text{Лпор}}, T_{\text{пор}} = \frac{c^2}{2m_2} [(m_a + m_b + \dots)^2 - (m_1 + m_2)^2]. \quad (2)$$

12.2.14. Полагая в неравенстве (1) задачи 12.2.13 $m_1 = 0$, $T_L = h\nu$, $m_2 = m_a = m_p$, $m_b = m_{\pi_0}$, получим $h\nu = m_{\pi_0}[1 + m_{\pi_0}/2m_p]c^2$.

12.2.15. $T_L = 2m_{\pi}[1 + 2m_{\pi}/m_p]c^2$.

12.2.16. Приравнивая инвариантные массы в лабораторной системе и в системе центра масс $\sqrt{(m_1 + m_2)^2 + 2m_2T_L/c^2} = (m_1 + m_2) + \varepsilon_0/c^2$, получаем

$$T_L = (m_1 + m_2)\varepsilon_0/m_2 + \varepsilon_0^2/2m_2c^2, \quad T_L \approx (m_1 + m_2)\varepsilon_0/m_2.$$

12.2.17. В этом случае массы всех частиц одинаковы и равны массе протона m_p . Из неравенства (1) задачи 12.2.13 находим $T_{\text{Лпор}} = 6m_p c^2$. Подставляя значение $m_p c^2 = 0,938$ ГэВ, получим $T_{\text{Лпор}} = 5,628$ ГэВ. При значении $T_L = T_{\text{Лпор}}$ масса сталкивающихся протонов $M = 4m_p$.

12.2.18. Импульсы протонов удовлетворяют условию $\vec{p}_1 + \vec{p}_2 = 0$.

В этом случае лабораторная система совпадает с системой центра масс. Кинетические энергии частиц T_0 . Полагая в (12.2.5) $m_1 = m_2 = m$, $E_1 = E_2 = mc^2 + T_0$, получим значение массы $M = 2(m + T_0/c^2)$. Из условия рождения новых частиц (12.2.7) следует неравенство

$$M = 2\left(m + \frac{T_0}{c^2}\right) \geq m_a + m_b + \dots \rightarrow T_0 \geq T_{0\text{пор}}, T_{0\text{пор}} = \left[\frac{1}{2}(m_a + m_b + \dots) - m\right]c^2.$$

Следовательно, вся кинетическая энергия пучков переходит в энергию образовавшихся новых частиц. В случае реакции рождения пары протон–антипротон получим критерий рождения $T_0 \geq T_{\text{опр}} = m_p c^2 = 0,938$ ГэВ. При значении $T_0 = T_{\text{опр}}$ инвариантная масса $M = 4m_p$. Таким образом, для рождения четырех частиц в первом случае необходимо разогнать один протон до энергии $T_L = 6m_p c^2$, а во втором — каждый протон до энергии $T_0 = m_p c^2$. Выигрыш энергии очевиден, поскольку в первом случае энергия $4m_p c^2$ бесполезно переходит в энергию центра масс системы и в процессе взаимодействия протонов не изменяется.

Антипротон был рожден в 1955 г. на ускорителе с энергией 6,3 ГэВ в Беркли (Нобелевская премия, 1959 г.).

12.2.19. При столкновении с неподвижной мишенью инвариантная масса частиц равна $[(2m_0 c^2)^2 + 2m_0 c^2 T_L]^{1/2}$. В ускорителе на встречных пучках кинетическая энергия каждой частицы равна T_0 . В этом случае масса системы равна $2(m_0 c^2 + T_0)$. Приравнявая массы системы, получим уравнение $2(m_0 c^2 + T_0) = [(2m_0 c^2)^2 + 2m_0 c^2 T_L]^{1/2}$, из которого найдем значение энергии частицы $T_L = T_{L0}$, $T_{L0} = 4T_0 + 2T_0^2/m_0 c^2$, взаимодействующей с неподвижной мишенью при условии, что оба ускорителя имеют равные возможности порождать новые частицы.

Мы получили чрезвычайно важный результат. Для нерелятивистских частиц ($T_0 \ll mc^2$) выигрыш незначителен: $T_L \approx 4T_0$. В ньютоновой механике всегда $T_L = 4T_0$, т.е. возможен лишь четырехкратный выигрыш в энергии при использовании встречных пучков частиц. В релятивистском случае, когда $T_0 \gg mc^2$, получаем существенное увеличение энергии: $T_L \approx 2T_0^2/(mc^2) \gg 4T_0$.

Самый мощный в мире ускоритель «Тэватрон» Фермиевской национальной ускорительной лаборатории длиной 27 км (FNAL, Батавия, США) разгоняет с 1983 г. встречные пучки протонов и антипротонов до энергии 1 ТэВ (1ТэВ = 10^{12} эВ). Поскольку масса протона $m_p = 938,2796$ МэВ/ c^2 , то этот ускоритель эквивалентен обычному с энергией одного пучка $T_L \sim 2 \cdot 10^3$ ТэВ.

В космических лучах крайне редко наблюдали события, обусловленные протонами с рекордными энергиями $T_L = 3 \cdot 10^8$ ТэВ. Для достижения этого предела протоны на ускорителе со встречными пучками должны иметь энергию $T_0 = \sqrt{T_L m_p c^2 / 2}$, $T_0 = 374$ ТэВ!

12.2.20. Кинетическая энергия частицы

$$T_0 = mc^2\gamma_0 - mc^2, \gamma_0 = 1/[1 - (v_0/c)^2]^{1/2}.$$

Кинетическая энергия относительного движения

$$T_R = mc^2\gamma_R - mc^2, \gamma_R = 1/[1 - (v_R/c)^2]^{1/2}, v_R = 2v_0/(1 + v_0^2/c^2).$$

Подставляя v_R , получаем $T_R = 2mv_0^2/[1 - (v_0/c)^2] = T_L$.

12.3. Релятивистская электродинамика

12.3.1. Из (12.3.1) находим $E_x = 0, E_y = -u\gamma B, E_z = 0, B_x = 0, B_y = 0, B_z = \gamma B$.

А. В наиболее важном случае, когда $u \approx c$, величины векторов \vec{E}' и $c\vec{B}'$ одинаковы. В системе K' частица движется в скрещенных электрическом и магнитном полях.

Б. При малых скоростях $u \ll c$ из (12.3.1), (12.3.2) имеем:

$$E_x = 0, E_y \approx -uB, E_z = 0, B_x = 0, B_y = 0, B_z \approx B.$$

В векторной форме $\vec{E}' \approx (\vec{E} + \vec{u} \times \vec{B})$. Поправка к E , линейная по скорости u , представляет собой классический эффект, который следует из интегральной формы уравнений Максвелла без явного использования теории относительности.

12.3.2. Пусть пленка расположена в плоскости xy , скорость пленки $\vec{u} = (0, u, 0)$. В системе отсчета, связанной с пленкой, напряженность электрического поля в окрестности центра поверхности найдем из закона Гаусса: $\vec{E}' \approx (0, 0, \sigma/2\epsilon_0), z > 0$. Поскольку $u \ll c$, то в неподвижной системе отсчета $\vec{B} = (\mu_0\sigma u/2, 0, 0), \vec{E} = (0, 0, E_z), z > 0$.

12.3.3. Физический смысл соотношений (12.3.3) совершенно ясен: второй член в j_x обусловлен переносом заряда. Смысл соотношения (12.3.4) не столь очевиден: оно показывает, что электрически нейтральный неподвижный проводник с током ($\rho = 0, j_x \neq 0$) в движущейся системе отсчета не является нейтральным: $\rho' = -\frac{\gamma j_x u}{c^2}$.

Причина в том, что плотности положительно заряженных ядер и электронов в системе K' становятся различными. Отметим, что соотношение (12.3.4) не имеет нерелятивистского аналога.

12.3.4. А. Вначале найдем в системе K силу, действующую на заряд. Совместим с проводом ось x , направление тока совпадает с положительным направлением оси. Пусть радиус-вектор заряда $\vec{r}(t) = (ut, d, 0)$.

Вектор индукции магнитного поля тока в этой точке $\vec{B} = (0, 0, B_z)$, $B_z = \frac{\mu_0 I}{2\pi d}$. На заряд q действует сила Лоренца

$$\vec{F} = (0, F_y, 0), F_y = -quB_z = -\frac{qu\mu_0 I}{2\pi d}.$$

Поскольку $\mu_0 \epsilon_0 = c^{-2}$, то $F_y = -\frac{2kquI}{dc^2}$, где $k = \frac{1}{4\pi\epsilon_0}$.

Б. Найдем теперь силу, действующую на заряд в системе отсчета K' , движущуюся со скоростью \vec{u} . В этой системе скорость заряда равна нулю. Следовательно, на заряд может действовать сила только со стороны электрического поля. Поскольку $\vec{r}'(t') = (0, d, 0)$, то согласно (13.3.2) $E'_y = -\gamma u B_z = -\frac{2k\gamma u I}{dc^2}$, $B'_z = \gamma B_z$. Следовательно, на заряд действует сила $F'_y = qE'_y$. Подставляя значение E'_y , найдем $F'_y = -\frac{2k\gamma quI}{dc^2}$.

Согласно преобразованию Лоренца $F'_y = F_y$. Мы приходим к выводу: в движущейся системе электростатическое поле создается некоторым распределением зарядов. Найдем линейную плотность заряда $\sigma = \frac{\Delta Q}{\Delta x}$. Действительно, применяя закон Гаусса к прямому цилиндру радиусом d , окружающему провод, имеем

$$2\pi d \Delta x E'_y = \frac{\Delta Q}{\epsilon_0} \text{ или } \sigma = 2\pi d \epsilon_0 E'_y = -\frac{\gamma u I}{c^2}.$$

12.3.5. Рассмотрим прямоугольный контур, по которому течет ток силой I (рис. 12.3.5).

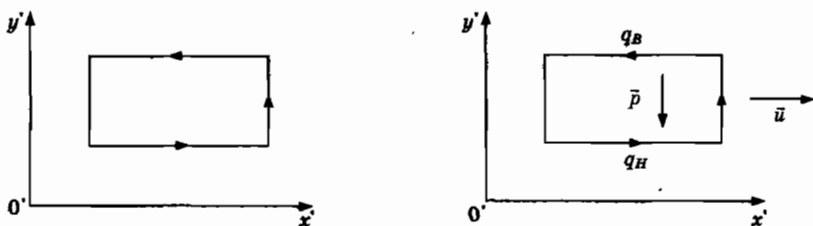


Рис. 12.3.5

Предположим, что скорость контура $u \ll c$, и ограничимся приближением, учитывающем величины линейные по скорости.

Согласно (12.3.4) в системе K на верхнем проводнике длиной a , сечением s , параллельном оси x , наблюдатель обнаружит заряд $q_+ = \rho a s \approx \frac{j_x' u a s}{c^2} = -\frac{I' u a}{c^2}$. На нижнем проводнике, расположенном на расстоянии b от верхнего проводника, заряд $q_- \approx \frac{I' u a}{c^2}$.

Следовательно, контур создает дипольный электрический момент $p = (0, p_y, 0)$, $p_y = -\frac{I' u a b}{c^2}$.

12.3.6. При движении проводника со скоростью $u \ll c$ согласно (12.3.3) плотность тока $\vec{j} \approx \vec{j}'$. В собственной системе закон Ома имеет вид $\vec{j}' = \sigma \vec{E}'$, где σ — проводимость металла. Подставляя \vec{E}' из (12.3.1), найдем плотность тока в лабораторной системе отсчета $\vec{j} = \sigma (\vec{E} + \vec{u} \times \vec{B})$.

12.3.7. Заряд электрона $e = -e_0$. Уравнения (12.3.5) приобретают вид

$$\frac{dp_x}{dt} = 0, \quad \frac{dp_y}{dt} = e_0 E, \quad \frac{dp_z}{dt} = 0. \quad (1)$$

Найдем решение (1) при начальных условиях $\vec{r}(0) = 0$, $\vec{v}(0) = 0$. Из (1) получим

$$v_x = 0, \quad \frac{mv_y}{\sqrt{1 - (v/c)^2}} = e_0 E t, \quad v_z = 0. \quad (2)$$

Отсюда находим $v_x(t) = 0$, $v_z(t) = 0$, $v_y = v(t)$,

$$v(t) = \frac{c}{\sqrt{1 + (mc/e_0 E t)^2}}. \quad (3)$$

Для значений t , удовлетворяющих условию $t \ll mc/e_0 E$, получим знакомое выражение $v(t) \approx e_0 E t/m$. Для большего промежутка времени $t \gg mc/e_0 E$ имеем релятивистское приближение

$$v(t) \approx c \left[1 - \frac{1}{2} \left(\frac{mc}{e_0 E t} \right)^2 + \dots \right]. \quad (4)$$

Скорость частицы приближается к скорости света.

Найдем теперь скорость как функцию y -координаты. Из (12.3.7) получаем уравнение $T - e_0 E y = 0$, или в явной форме

$$mc^2 \left[\frac{1}{\sqrt{1 - (v/c)^2}} - 1 \right] - e_0 E y = 0. \quad (5)$$

Из (5) найдем скорость в точке $y = d$. Поскольку потенциал поля $\varphi(y) = Ey$, то разность потенциалов

$$V_0 = \varphi(d) - \varphi(0) = Ed, \quad v(d) = \sqrt{\frac{2e_0 V_0}{m} \frac{\sqrt{1 + e_0 V_0 / 2mc^2}}{1 + e_0 V_0 / mc^2}}.$$

Очевидно, при $e_0 V_0 / (mc^2) \ll 1$ имеем $v(d) \approx (2e_0 V_0 / m)^{1/2}$; релятивистские эффекты несущественны. При значениях $e_0 V_0 / (mc^2) \gg 1$, $v(d) \approx c$.

12.3.8. Из уравнения (12.3.7) следует, что сохраняется кинетическая энергия частицы: $v^2 = v_0^2$. Поэтому уравнение (12.3.5) можно представить в виде (в СИ)

$$m\gamma \frac{d\vec{v}}{dt} = e\vec{v} \times \vec{B}. \quad (1)$$

где $\gamma = [1 - (v_0/c)^2]^{-1/2}$.

Оно отличается постоянным множителем γ от соответствующего уравнения нерелятивистской теории. Если начальная скорость $\vec{v}(0) = \vec{v}_0$ перпендикулярна вектору \vec{B} , то траектория частицы представляет собой окружность. Из (1) следует уравнение

$$m\gamma v_0^2 / R = ev_0 B, \quad (2)$$

где R — радиус окружности.

Поскольку величина импульса $p = m\gamma v_0$, то $p = eBR$. Учитывая соотношения $p = m\gamma v_0$, $p = eBR$, $(\vec{p}c)^2 = T(T + 2mc^2)$, представим выражение (2) в терминах кинетической энергии

$$\sqrt{T(T + 2mc^2)} = ceBR. \quad (3)$$

Полагая в (2) $v = \omega R$, получим частоту вращения частицы по окружности

$$\omega = \frac{eB}{m\gamma} = \frac{eBc^2}{mc^2 + T} \quad \text{или} \quad \omega = \frac{\Omega}{1 + T/mc^2}, \quad (4)$$

где $\Omega = eB/m$.

В практике ускорительной техники частоту связывают с радиусом орбиты R :

$$\omega = \frac{c}{R} \frac{\sqrt{T(T + 2mc^2)}}{mc^2 + T} \quad \text{или} \quad \nu = \frac{\omega}{2\pi} = \frac{47,8}{R} \frac{\sqrt{T(T + 2mc^2)}}{mc^2 + T} \quad [\text{МГц}].$$

Здесь T выражается в единицах МэВ.

12.3.9. Согласно закону электромагнитной индукции имеем:

$2\pi RE = -\frac{d\Phi}{dt}$, где E — касательная к силовой линии радиусом R компонента напряженности электрического вихревого поля. Из (12.3.7)

получим уравнение $\frac{dT}{dt} = \frac{e_0 v}{2\pi R} \cdot \frac{d\Phi}{dt}$. Поскольку при движении по окружности $p = e_0 B_z R$, то $\frac{dT}{dt} = v \frac{dp}{dt} = e_0 v R \frac{dB_z}{dt}$. Сопоставляя оба выражения, получим соотношение $\frac{dB_z}{dt} = \frac{1}{2\pi R^2} \frac{d\Phi}{dt}$.

Пусть $B_z(0, R) = 0$, $\Phi(0) = 0$. Тогда $B_z(\tau, R) = \frac{1}{2\pi R^2} \Phi(\tau)$.

Величина $\Phi(\tau)/\pi R^2$ равна отношению магнитного потока через площадь орбиты к площади орбиты, т.е. среднему значению магнитного поля $(B_z)_{cp}$. Следовательно, $B_z(\tau, R) = (B_z)_{cp}/2$. Это условие, известное как *бетатронное правило «2 : 1»*, получено Р. Видером и советским физиком Я.П. Терлецким. При увеличении индукции поля до значения $B_z(\tau, R) = b$ энергия частицы достигает величины

$$T_m = \left((mc^2)^2 + (e_0 c R b)^2 \right)^{\frac{1}{2}} - mc^2 \approx e_0 c R b.$$

В бетатроне Керста электроны приобретали кинетическую энергию 20 МэВ на орбите радиусом $R = 18,75$ см при значении $b = 0,36$ Тл. Поскольку $T \gg mc^2$, то $T \approx pc = e_0 c b R$. Запишем это соотношение в форме наиболее удобной для численных оценок: $T(\text{МэВ}) = 300 b (\text{Тл}) R (\text{м})$.

Вначале казалось, индукционный метод ускорения электронов позволит достичь сверхвысоких энергий. Однако вскоре было установлено, что существует явление, принципиально ограничивающее возможности бетатрона. Дело в том, что благодаря огромному центростремительному ускорению электроны генерируют мощное электромагнитное излучение. Из-за потерь энергии на излучение возможности увеличения энергии электронов существенно ограничены величиной ~ 300 МэВ. Наибольшее распространение получили бетатроны на энергии 20–50 МэВ. Дальнейший прогресс в увеличении энергии частиц связан с открытием явления автофазировки и нового принципа фокусировки.

Глава XIII. КВАНТОВАЯ ФИЗИКА. АТОМ И АТОМНОЕ ЯДРО

13.1. Фотон. Фотоэффект. Квантовая теория атома

13.1.3. $\epsilon_m = N_A hc / \lambda$. $\epsilon_m = 2,74 \cdot 10^5$ Дж = $1,7 \cdot 10^{15}$ ЭВ.

13.1.4. $A = hc / \lambda_m$.

13.1.5. Положим для оценки $\lambda = 500$ нм. Тогда $\eta P = h\nu \Delta N / \Delta t$, где $P = 100$ Вт, $\eta = 0,01$. Следовательно, $\Delta N / \Delta t = \eta P \lambda / hc = 2,5 \cdot 10^{18}$ фот/с.

13.1.6. А. Из уравнения $J \Delta t \Delta S = h\nu \Delta N$ имеем

$$\Delta N / (\Delta t \Delta S) = J / h\nu = \mathcal{J} \lambda / hc, \quad \Delta N / (\Delta t \Delta S) = 4,14 \cdot 10^{21} \text{ фот/м}^2\text{с}.$$

Б. Пусть u — объемная плотность энергии. Тогда $J \Delta t \Delta S = uc \Delta t \Delta S$ или $J = cu$. Следовательно,

$$h\nu \Delta N = u \Delta V, \text{ или } \Delta N / \Delta V = \mathcal{J} \lambda / hc^2, \quad \Delta N / \Delta V = 1,38 \cdot 10^{13} \text{ фот/м}^3.$$

13.1.7. Сила тока $I = e_0 \Delta N_e / \Delta t$. Мощность излучения $P = h\nu \Delta N_e / \Delta t$. Квантовый выход можно представить в виде $Q = 1242 I(A) / [P(\text{Вт}) \lambda(\text{нм})]$.

Отношение I/P называется спектральной чувствительностью. Эти величины обычно составляют от 20 до 400 мА/Вт.

13.1.8. Потенциальная энергия электрона $W = -e_0 \phi$. Согласно закону сохранения полной энергии $mv^2/2 - e_0 \phi_k = 0 - e_0 \phi_a$. Используя уравнение Эйнштейна $h\nu = mv^2/2 + A$, получим $A = h\nu - e_0 V_s$.

13.1.9. А. Энергия кванта света $h\nu = 3,54$ эВ. Из (13.1.2) получаем $V_s = 1,54$ эВ.

Б. Кинетическая энергия самых быстрых электронов

$$K_m = e_0 V_s = 1,54 \text{ ЭВ}.$$

В. Скорость электронов $v_m = (2K_m/m)^{1/2}$, $v_m = 0,74 \cdot 10^6$ м/с.

Г. Из (13.1.2) находим $\Delta V_s = -1242 \Delta \lambda / \lambda^2$, $\Delta \lambda = -2$ нм, $\Delta V_s = 20,4$ мВ.

13.1.10. Имеем систему уравнений $A = h\nu - e_0 V_s$, $A = 2h\nu - 5,27e_0 V_s$,
 $A = h\nu_e$.

13.1.11. Из уравнения Эйнштейна следуют уравнения

$$h\nu_2 = mv^2/2 + A, \quad h\nu_1 = 3mv^2/2 + A. \quad A = h(3\nu_2 - \nu_1)/2.$$

13.1.12. Потенциал электрического поля $\phi(x) = Vx/d$, где x — координата точки на числовой оси с началом на плоскости катода. Из уравнения Эйнштейна и закона сохранения полной энергии следуют уравнения $h\nu = mv^2/2 + A$, $mv^2/2 - e_0 \phi_k = 0 - e_0 \phi(b)$.

13.1.13. Из уравнений $hc/\lambda_1 = mv_1^2/2 + A$, $hc/\lambda_2 = mv_2^2/2 + A$ получим $A = hc(n^2/\lambda_2 - 1/\lambda_1)/(n^2 - 1)$.

13.1.14. Полная энергия электрона $E_n = -A/n^2$. Из закона сохранения энергии получим уравнение $-A + 8A/9 = E_n$.

13.1.15. Скорость электрона на первом боровском радиусе $r_1 = h/(2\pi m\alpha)$ равна $v_1 = \alpha c$. Из второго закона Ньютона находим $v = eBr/m$. Индукция магнитного поля $B = 2\pi(m\alpha c)^2/hc$.

13.1.16. В этом случае кинетическая энергия атома $K = Mu^2/2 + \mu v^2/2$, u — скорость центра масс, v — относительная скорость, $M = m + m_p$ — сумма масс электрона и протона, $\mu = mm_p/(m + m_p)$ — приведенная масса.

Полная энергия атома в системе центра масс $E = \mu v^2/2 - ke^2/r$, где r — расстояние между электроном и протоном. При движении по окружности из второго закона Ньютона имеем уравнение $\mu v^2/r = ke^2/r^2$. Следовательно, $E = -ke^2/2r$. Условие квантования Бора имеет вид $\mu v r = nh/2\pi$, $n = 1, 2, \dots$.

13.1.17. Действительно, рассмотрим атом водорода в состоянии с $n \gg 1$. Полагая в (12.4.4) $n = N + \Delta n$, $\Delta n \ll N$, получим

$$E_n = -\frac{A}{(N + \Delta n)^2} \approx -\frac{A}{N^2} \left(1 - \frac{2\Delta n}{N}\right) = -\frac{A}{N^2} + hv_0 \Delta n,$$

где $A = mc^2 \alpha^2/2$.

Величина $v_0 = 2A/(hN^3) = mc^2 \alpha^2/(hN^3)$ представляет собой классическую частоту вращения электрона $\omega_0 = (ke^2/mr_0^3)^{1/2}$ по круговой орбите радиусом $r_0 = hN^2/(2\pi m\alpha c)$ со скоростью $u_0 = \alpha c/N = (ke/mr_0)^{1/2}$. Частота излучения при переходах $N + \Delta n + s \rightarrow N + \Delta n$, равна $\nu_{ii} = sv_0$.

13.1.18. Полная энергия частицы $E = mv^2/2 + kr^2/2$. При движении по окружности $mv^2/r = kr$ или $v = \omega r$, $\omega = (k/m)^{1/2}$. Условие квантования $mvr = n\hbar$, $n = 1, 2, 3, \dots$.

В общем случае частица движется по эллипсу. В квантовой механике отсутствует понятие траектории частицы. Точное решение этой задачи $E_n = \omega \hbar (n + 3/2)$, $n = 0, 1, 2, 3, \dots$.

13.1.19. Кинетическая энергия частицы $E = mv^2/2$. Поскольку $v = \omega a$, то $E = (ma^2\omega)^2/2J$. Условие квантования $maav = n\hbar$, $n = 1, 2, 3, \dots$.

13.1.20. Из законов сохранения импульса и энергии следуют уравнения $E_1 = mv^2/2 + E_0 + hv$, $0 = mv - hv/c$, из которых находим $hv \approx \Delta E - \Delta E^2/2mc^2$. Энергия отдачи $mv^2/2 = \Delta E^2/2mc^2$, $mv^2/2 = 0,002$ эВ.

Энергия γ -кванта сдвигается на величину 0,002 эВ, которая на пять порядков больше ширины уровня $\Delta v \sim 10^{-8}$ эВ/ħ. Поэтому по-

глощение этого кванта другим ядром железа в основном состоянии невозможно. Однако в 1958 г. немецкий физик Р. Мессбауэр обнаружил резонансное поглощение ядер, связанных с кристаллической решеткой (Нобелевская премия, 1961 г.). В этом случае импульс отдачи возьмет на себя массивный кристалл в целом и линия γ -излучения оказывается равной естественной ширине.

Мессбауэровская спектроскопия представляет уникальные возможности для исследования электронных конфигураций в атомах, диффузии атомов, поверхностных явлений и многих других явлений.

13.1.21. Ширина линии столь мала, что даже при движении источника относительно поглотителя со скоростью от 2 мм до нескольких см в секунду не происходит резонансного поглощения. Вероятность процесса возрастает при понижении температуры кристалла. Из уравнения $v/c < \Delta\nu$ находим $v < 0,3$ мм/с.

При $v = 0$ частота испускания равна частоте поглощения — происходит резонансное поглощение γ -квантов, которые не попадают в детектор. При $v \neq 0$ частота испускания сдвинута относительно частоты поглощения за счет эффекта Доплера. С увеличением v этот сдвиг увеличивается и скорость счета γ -квантов стремится к постоянной величине.

13.1.22. Конечное значение скорости электрона u_2 . Используя законы сохранения импульса и энергии, получим два уравнения

$$mu_1 - hv/c = mu_2, \quad mu_1^2/2 + E_1 + hv = mu_2^2/2 + E_2,$$

из которых находим $v \approx v_{21}(1 - u_1/c)$.

Мы получили очевидный результат: вследствие эффекта Доплера частота волны в системе отсчета, связанной с атомом $v(1 + u_1/c)$, должна быть равна v_{21} : $v = v_{21}/(1 + u_1/c) \approx v_{21}(1 - u_1/c)$. Пучок света, распространяющийся в направлении оси z , не поглощается, т.к. в системе покоя атома частота света $v' = v(1 - u_1/c) \approx v_{21}(1 - 2u_1/c)$. Суммарное действие двух противоположно направленных пучков приводит к возникновению силы торможения. Практическая ценность этой идеи проявляется в том, что атом, движущийся в отрицательном направлении оси z , также будет тормозиться. Возбужденный атом излучает фотон и сам получает импульс отдачи. Однако поскольку спонтанное излучение представляет собой случайный процесс, то направления импульсов отдачи будут распределены произвольно.

Если атом освещать тремя парами противоположно направленных пучков света, ориентированных по трем взаимно перпендику-

лярным осям, то можно создать ловушку, удерживающую атомы в течении 0,5 с. «Вязкое» поле лазерного излучения получило название «оптической патоки» (*optical molasses*). В 1995 г. в результате лазерного охлаждения (*laser cooling*) удалось получить газ атомов гелия при температуре 0,0002 К. В настоящее время мировой стандарт времени $T = 1/\nu_{21}$ определяется по разности энергий между двумя уровнями атома цезия. Измерение положений уровней энергии ультрахолодных атомов позволило повысить точность стандарта времени до 10^{-16} .

Разработаны лазерные ловушки для захвата и управления атомами и органическими молекулами. Схема захвата с помощью одного пучка света позволила создать «оптический пинцет», который удерживает и перемещает клетки на предметном стекле микроскопа и изменяет положение хромосом внутри ядра клетки.

13.1.23. Запишем законы сохранения энергии и импульса в виде

$$E - h\nu = E' \quad (1),$$

$$c \vec{p} - h\nu \vec{n} = c \vec{p}' \quad (2)$$

Возведём в квадрат левые и правые части (1), (2) и вычтем полученные соотношения. В результате получим

$$(E - h\nu)^2 - (c \vec{p} - h\nu \vec{n})^2 = E'^2 - (c \vec{p}')^2, \text{ или } E - c \vec{p} \vec{n} = 0.$$

Следовательно, косинус угла α между скоростями электрона и фотона $\cos\alpha = c/v > 1$.

13.1.24. Положение меняется при движения частицы в среде. В этом случае импульс фотона энергией $h\nu$ равен $\frac{h\nu n(\omega)}{c} \vec{n}$. Теперь из закона сохранения энергии-импульса получим

$$\cos\alpha = \frac{c}{n(\omega)v} \left(1 - \frac{h\nu}{2E} \left[1 - n^2(\omega) \right] \right).$$

В классическом приближении величина $\cos\alpha = \frac{c}{nv}$ может быть меньше или равна единице. Это означает, что закон сохранения энергии-импульса не запрещает излучение фотона свободной частицей, движущейся в среде.

Волна излучается в направлениях, образующих угол α ($\cos\alpha = v/v$) с направлением скорости, и распространяется со скоростью $v_c < v$: Поэтому фронт волны представляет собой конус с вершиной, совпадающей с частицей в данный момент времени.

На основе этого эффекта разработаны черенковские счетчики, широко применяемые для регистрации элементарных частиц высоких энергий, измерения скорости и массы.

13.1.25. Из законов сохранения импульса и энергии имеем четыре уравнения

$$0 = hv\bar{n} + \bar{p}_{20} \quad (1),$$

$$Mc^2 = hv + E_{20}. \quad (2)$$

Из (1) имеем уравнение $(hv)^2 = (p_{20})^2$ или

$$M(E_{20} - hv) = m_2^2 c^2. \quad (3)$$

Из уравнений (1), (3) получим

$$hv = (M^2 - m_2^2)c^2/2M, \quad (1\text{эВ}/h = 2,41798 \cdot 10^{14} \text{ Гц}).$$

13.1.26. Запишем законы сохранения энергии и импульса системы частиц в виде $mc^2 + hv - hv' = E'$, $hv\bar{n}/c - hv'\bar{n}'/c = \bar{p}'$:

Умножим второе уравнение на c , затем возведем каждое уравнение в квадрат и вычтем одно из другого. Учитывая (11.3.2), получим частоту фотона, рассеянного на неподвижном электроне

$$\nu' = \frac{\nu mc^2}{mc^2 + hv(1 - \bar{n}\bar{n}')}$$

Самый главный результат — увеличение длины волны $\lambda' = c/\nu'$, $\lambda' = \lambda + h(1 - \bar{n}\bar{n}')/mc$, не зависящее от длины волны падающего излучения. Максимальное смещение $\Delta\lambda = 2h/mc$ наблюдается при рассеянии назад ($\bar{n}' = -\bar{n}$). Величину $\lambda_c = h/mc$, $\lambda_c = 2,426 \cdot 10^{-3}$ нм называют *комptonовской длиной* волны.

Этот эксперимент, поставленный в 1920 г. американским физиком А. Комптоном (Нобелевская премия, 1927 г.), показал, что взаимодействие электрона и фотона представляет собой рассеяние двух частиц.

13.1.27. Из закона сохранения энергии $mc^2 + 2mc^2 = 2mc^2 + hv'$ находим $hv' = mc^2$. Импульс рассеянного электрона $p' = \sqrt{3}mc$.

Тогда из закона сохранения импульса следует $\cos\alpha = 1/2$, $\alpha = \pi/3$.

13.1.28. Запишем закон сохранения импульса в виде

$$-mc\bar{n}' = \bar{p}' - 2mc\bar{n}.$$

После возведения в квадрат обеих частей получим $\cos\beta = \sqrt{3}/2$, $\beta = \pi/6$ (рис. 13.1.28).

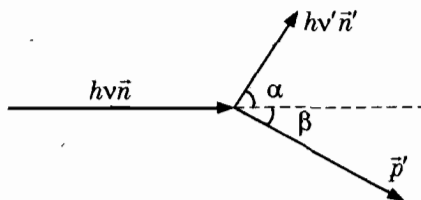


Рис. 13.1.28

13.1.29. Запишем законы сохранения энергии и импульса

$$E = E' + h\nu, \quad (1)$$

$$\vec{q} = \vec{p}' - \vec{p} + h\nu \vec{n} / c. \quad (2)$$

Поскольку углы между векторами \vec{p}' , \vec{p} и \vec{n} малы, то $q_{\min}^2 \approx (\vec{n}\vec{q})^2$. Следовательно,

$$q_{\min} = p' \cos\theta' - p \cos\theta + h\nu/c \approx p'(1 - \theta'^2/2) - p(1 - \theta^2/2) + h\nu/c, \\ \theta' = (mc^2/E'), \quad \theta = (mc^2/E). \quad (3)$$

Учитывая неравенства $E, E' \gg mc^2$, получим

$$cp \approx E - (mc^2)^2/2E, \quad cp' \approx E' - (mc^2)^2/2E'.$$

Из (1) (3) находим $q_{\min} = h\nu m^2 c^3 / [2E(E - h\nu)]$.

13.1.30. В этом случае $\vec{p}' = 0$, $E = mc^2$. Максимальное значение $q_{\max} = mc$.

13.1.31. Из (13.1.4) имеем $\lambda = d$, $\lambda = h/p$. $K = p^2/2m$, $K = (hc/\lambda)^2/2mc^2$, $mc^2 = 0,5$ МэВ.

13.1.32. В соответствии с соотношением неопределенностей (13.1.5) составляющая импульса электрона p_{\perp} в направлении, перпендикулярном оси пучка, имеет неопределенность $\Delta p_{\perp} \geq \hbar/(D)$. Это означает, что измерения проекции импульса дадут нам значения Δp_{\perp} , лежащие в интервале $(-\hbar/D, \hbar/D)$, причем вероятности появления различных значений p_{\perp} различны. По этой причине электрон может отклоняться от оси пучка в пределах угла $\alpha \approx \Delta p_{\perp}/p = \hbar/(pD)$.

На расстоянии z от экрана неопределенность в положении электрона $\Delta z \approx z \hbar/(pD)$. Если эта величина существенно меньше D : $z \hbar/(pD) \ll D$, то на расстояниях $z \ll s$, $s = pD^2/\hbar$ волновые свойства электрона не проявляются – электрон движется по прямой линии в соответствии с классическими представлениями. Записывая полученное выше неравенство в виде $z \ll 2\pi D^2/\lambda$, где λ — длина волны де

Бойля, замечаем, что оно ничем не отличается от условия дифракционной расходимости электромагнитной волны. На расстояниях $z \geq s$ из-за волновых свойств электронов пучок размывается.

В кинескопах телевизоров напряжение между анодом и катодом $U = 15 \text{ кВ}$, длина трубки $l = 0,25 \text{ м}$, величина $D \sim 10^{-2} \text{ см}$. Из закона сохранения полной энергии находим $p = (2me_0U)^{1/2}$, $pc = 1,237 \cdot 10^5 \text{ эВ}$, скорость электрона $v = 0,242c = 7,28 \cdot 10^7 \text{ м/с}$. Неопределенность поперечной компоненты импульса $c\Delta p_{\perp} = 2 \cdot 10^{-3} \text{ эВ}$, длина волны де Бройля $\lambda = 0,01 \text{ нм}$. Характерное расстояние s оказывается равным $6,25 \text{ км}$. Поэтому движение электронов в кинескопе можно рассматривать по классической теории.

13.1.33. Возникновение интерференции существенно связано с невозможностью предсказать, через какое отверстие пролетел фотон. Всякая попытка определить, по какому пути прошел фотон, уничтожает интерференционные полосы. Согласно квантовой теории состояние фотона описывается ненаблюдаемой волной вероятности, представляющей собой сумму двух слагаемых — фотон одновременно находится в состояниях, соответствующих прохождению через первое и второе отверстия. Именно в этом смысле фотон ведет себя «как частица и как волна». Математический аппарат квантовой механики позволяет вычислить вероятность попадания фотона в различные атомы детектора — вероятность распределения фотонов в плоскости детектора совпадает с интенсивностью световой волны.

Отметим, что основной объект квантовой механики — волновая функция не представляет собой математического описания реальной волны во времени и пространстве. Она служит только для предсказания результатов всех измерений, которые можно произвести над системой.

13.1.34. Размерность $[k] = \text{эВ} \cdot \text{с} / \text{Кл}^2 = \text{В} \cdot \text{с} / \text{Кл} = \text{В} / \text{А} = \text{Ом}$.

Комбинация постоянной Планка и элементарного заряда h/e^2 имеет размерность сопротивления: $h/e^2 = 25\,812,8 \text{ Ом}$. Поэтому можно утверждать, что квантовые эффекты могут проявиться в «электротехнике». В 1980 г. немецкий физик К. фон Клитцинг исследовал влияние магнитного поля на проводимость n -канала полевого МОП-транзистора — тонкой (толщиной 10 нм) почти двумерной полоски, расположенной перпендикулярно вектору магнитной индукции \vec{B} . В случае макроскопической «толстой» полоски должен проявиться эффект Холла известный еще с 1880 г. — на боковых гранях полоски

возникнет разность потенциалов $V = IR$, $R = B/(\text{end})$, d — толщина полоски, n — концентрация электронов. Оказалось, что график $R = R(B)$ представляет собой последовательность ступенек при значениях $R = h/Ne^2$, $N = 4, 3, 2, 1$ (Нобелевская премия, 1985 г.).

13.1.35. Квант магнитного потока $\Phi_0 = h/2e$, $\Phi_0 = 2,07 \cdot 10^{-15}$ Вб представляет собой минимальное значение магнитного потока. Квантование магнитного потока $\Phi = N\Phi_0$ ($N = 1, 2, \dots$), открытое в 1961 г., проявляется в сверхпроводящем кольце, интерференции сверхпроводящих токов во внешнем магнитном поле, в системах типа металлической петли из тонкой проволоки размером 1 мкм, присоединенной к двум проводникам, и т.д.

13.1.36. Благодаря квантовым эффектам в электромагнитном поле могут самопроизвольно рождаться электрон-позитронные пары. В сильном электрическом поле возможно появление из вакуума электрон-позитронной пары с неопределенностью энергии $\Delta E = mc^2$. В соответствие с (13.1.6) за время существования $\Delta t = \hbar/(mc^2)$ размеры пары могут достичь значения $\Delta r = c\Delta t \sim \hbar/(mc)$. Если теперь электрическое поле способно произвести работу $eE_{\text{кр}}\Delta r = mc^2$, то рождение пары из вакуума полем напряженностью $E_{\text{кр}} = m^2c^3/e\hbar$ становится реальностью. Учитывая значения $mc^2 = 0,511$ МэВ, $1 \text{ эВ}/\hbar c = 806\,548 \text{ м}^{-1}$, получим величину напряженности поля $E_{\text{кр}} = 1,27 \cdot 10^{18} \text{ В/м}$!

13.1.37. Гравитационное взаимодействие несущественно на ядерных расстояниях $\sim 10^{-13}$ см. Однако существует область энергий и расстояний, где гравитационные эффекты становятся определяющими. Действительно, пусть величина энергии взаимодействия двух частиц Gm^2/r на расстоянии длины волны де Бройля $r = h/mc$ равна mc^2 . Тогда масса частицы $m = (hc/G)^{1/2}$, $m \sim 5 \cdot 10^{-8}$ кг, $mc^2 \sim 3 \cdot 10^{19}$ ГэВ. Эта сверхтяжелая частица получила название *планкион* (или *максимон*). Расстояние $r = (Gh/c^3)^{1/2} \sim 4 \cdot 10^{-33}$ см называют *планковской длиной*.

13.2. Радиоактивность. Ядерные реакции

13.2.1. Разность атомных единиц массы равна

$$E_{\text{сн}}(Z = 8, A = 16)/16c^2 - E_{\text{сн}}(Z = 6, A = 12)/12c^2.$$

13.2.2. Согласно закону сохранения полной энергии в системе центра масс $\mu v^2/2 = \epsilon_0 + \mu' v'^2/2$, где \bar{v} — относительная скорость частиц до реакции, \bar{v}' — относительная скорость продуктов реакции,

$\mu = m_1 m_2 / (m_1 + m_2)$, m_1 , m_2 — массы ядра азота и α -частицы, $\mu' = m'_1 m'_2 / (m'_1 + m'_2)$, m'_1 , m'_2 — массы протона и ядра кислорода.

В лабораторной системе величина скорости α -частицы v_2 . Величина относительной скорости α -частицы и ядра азота $v = v_2$.

А. Если $\vec{v} = 0$, то продукты реакции движутся со скоростью центра масс частиц $\vec{u} = m_2 \vec{v}_2 / (m_1 + m_2)$. В этом случае

$$\mu v_2^2 / 2 = m_1 / (m_1 + m_2) T_{2L}, \quad T_{2L} = m_2 v_2^2 / 2.$$

Б. Если $\vec{v} \neq 0$, то $\mu' v'^2 / 2 < \mu v_2^2 / 2$.

Проекция скорости протона и ядра кислорода в лабораторной системе $v'_1 = u - m'_2 v' / (m'_1 + m'_2)$, $v'_2 = u + m'_1 v' / (m'_1 + m'_2)$, где $v' = v_2$.

Если $v'_1 = 0$, то $v'_2 = (m'_1 + m'_2) u / m'_2$, или $v'_2 = m_2 v_2 / m'_2$.

Из уравнения $\mu v_2^2 / 2 = \epsilon_0 + \mu' v'^2 / 2$, находим

$$m_2 v_2^2 / 2 = (m_1 + m_2) m'_2 \epsilon_0 / (m_1 m'_2 - m'_1 m_2).$$

13.2.3. Предполагая, что происходит лобовое столкновение нейтрона и неподвижной частицы массой m_a , найдем из законов сохранения кинетической энергии и импульса скорость отдачи $v_a = 2m_n v_n / (m_n + m_a)$. Тогда масса нейтрона $m_n = (m_N - k m_H) / (k - 1)$, $k = v_H / v_N$.

Подставляя $m_N = 14,0067$ а.е.м., $m_H = 1,0079$ а.е.м, получим $m_n = 1,159$ а.е.м. Точное значение $m_n = 1,009$ а.е.м.

13.2.4. $\Delta E = (m_n - m_p - m_e) c^2$, $\Delta E = 0,793$ МэВ. Среднее время жизни нейтрона 15,3 мин.

13.2.5. Энергия покоя протона $m_p c^2 = 938,28$ МэВ, нейтрона — $m_n c^2 = 939,57$ МэВ.

Поскольку атомная единица массы равна $931,5016$ МэВ/ c^2 , то $\Delta M c^2 = (m_p + m_n) c^2 - m_D c^2 = 2,24$ МэВ.

Следовательно, энергия связи дейтрона $E_{cb} = \Delta M c^2 = 2,24$ МэВ.

Образование дейтрона. В свободном состоянии полная энергия протона и нейтрона $E > 0$. Полная энергия дейтрона $E = -E_{cb} < 0$. Поскольку переход в связанное состояние должен подчиняться закону сохранения энергии, то образование дейтрона возможно только при потере части энергии. Действительно, этот процесс сопровождается испусканием γ кванта с энергией 2,24 МэВ.

$$\mathbf{13.2.6.} \Delta E = 3m({}^4\text{He})c^2 - m({}^{12}\text{C})c^2.$$

$$\mathbf{13.2.7.} E_{cb} = 2m({}^1\text{H})c^2 + 2m({}^1\text{n})c^2 - m({}^2\text{He}) = \\ = (3755,7 - 3728,42) \text{ МэВ} = 27,28 \text{ МэВ}.$$

13.2.8. Из закона сохранения заряда $5 + 0 = Z + 2$ и числа барионов $10 + 1 = B + 4$ получаем $Z = 3$, $B = 7$. Имеем ядро лития-7.

13.2.9. Из закона сохранения электрического заряда и барионного числа в первой реакции следует, что $x = {}_1^0n$, $y = {}_1^1p$. Во второй реакции $z = {}_2^4He$.

13.2.10. Из закона сохранения атомного числа и закона сохранения заряда получим два уравнения $238 = 4k_1 + 206$, $92 - 2k_1 + k_2 = 82$, из которых находим $k_1 = 8$, $k_2 = 6$.

13.2.12. Полагая в (13.2.2) $N_0 = (mN_A/M)$, получаем

$$|dN/dt| = (mN_A \ln 2 / MT_{1/2}).$$

13.2.13. Из (13.2.2) находим $N(T)/N_0 = \left(\frac{1}{2}\right)^{T/T_{1/2}}$, $N(T)/N_0 = (1/2)^k$,

$k = (4,6/1,6) \cdot 10^6 = 2,875 \cdot 10^6$. Учитывая соотношение $2^{10} \approx 10^3$, получаем $N(T)/N_0 = 10^{(-862 \cdot 500)}$.

13.2.14. Из уравнения $1 = 2\exp(-T_{1/2}/\tau)$ находим $\tau = T_{1/2}/\ln 2$, $\tau = 1,442T_{1/2}$.

13.2.15. Из (13.2.3) получаем $p = t_1 \ln 2 / T_{1/2}$.

13.2.16. Имеем уравнение

$$0,99568 = \exp(-T \ln 2 / T_{1/2}), \quad T_{1/2} = -T \ln 2 / \ln(0,99568).$$

Учитывая соотношение $\ln(1 - \epsilon) \approx 1 - \epsilon$, $\epsilon \ll 1$, получаем $T_{1/2} = 1600$ лет.

13.2.17. Из (13.2.1) имеем уравнения

$$0,01 = \exp(-t_1/\tau), \quad 1 = 2\exp(-T_{1/2}/\tau),$$

которые эквивалентны системе $2\ln 10 = t_1/\tau$, $\tau = T_{1/2}/\ln 2$. Отсюда находим $t_1 = (2\ln 10 / \ln 2) T_{1/2}$ ($\ln 10 = 2,3026$, $\ln 2 = 0,6931$).

13.2.18. Имеем уравнения $N_0 - N = kN_0$, $1 - k = (1/2)^{\Delta t/\tau}$.

13.2.19. Согласно закону радиоактивного распада

$$N(t) = N(0) \left(\frac{1}{2}\right)^{t/T_{1/2}}.$$

Учитывая, что $1/2 \approx (1/10)^{3/10}$, получим $\Delta t = \left(\frac{20}{3}\right) T_{1/2}$.

13.2.21. Согласно условию задачи

$$N(t)/N_0 = k, \tag{1}$$

$$N(t)/N_0 = \left(\frac{1}{2}\right)^{t/T_{1/2}}, \tag{2}$$

где $k = 0,72$. Из (1), (2) находим $t = T_{1/2} \frac{\ln 1/k}{\ln 2}$, $T_{1/2} = 2720$ лет.

13.2.22. Имеем уравнения $N_1/N_{10} = \left(\frac{1}{2}\right)^{t/t_1}$, $N_2/N_{20} = \left(\frac{1}{2}\right)^{t/t_2}$, из которых находим $r_0/r = \left(\frac{1}{2}\right)^{t/t_2 - t/t_1}$ или $\lg(r_0/r) = (t/t_2 - t/t_1)\lg 2$.

13.2.23. Согласно (13.2.2) $N(t) = N_0 \exp(-t/\tau_p)$.

Полагая $N(\Delta t) = N_0 - \Delta N$, получим $\Delta N/N_0 = 1 - \exp(-\Delta t/\tau_p) \approx \Delta t/\tau_p$ или $N_0 = \tau_p \Delta N/\Delta t$. Число протонов в воде массой $m = \rho_p V$ равно $N_0 = 10mN_A/M$. Следовательно, $V = (M\tau_p/10\rho_p N_A)\Delta N/\Delta t$. Подставляя числовые значения, получим $V = 15 \cdot 10^3 \text{ м}^3$ — куб со стороной 24,7 м.

13.2.25. Имеем систему уравнений

$$dN_1/dt = -N_1/\tau_1, \quad dN_2/dt = N_1/\tau_1 - N_2/\tau_2, \quad dN_3/dt = N_2/\tau_2$$

с начальными условиями $N_1(0) = N_0$, $N_2(0) = 0$, $N_3(0) = 0$.

Здесь $\tau_n = t_n/\ln 2$. Очевидно, что $N_0 = N_1(t) + N_2(t) + N_3(t)$.

Из первого уравнения находим $N_1(t) = N_0 \exp(-t/\tau_1)$. Ищем решение второго уравнения в виде $N_2(t) = C(t) \exp(-t/\tau_2)$. Тогда имеем уравнение $dC/dt = (N_0/\tau_1) \exp(-t/\tau_1 + t/\tau_2)$, $C(0) = 0$.

После интегрирования получаем

$$N_2(t) = N_0 [\exp(-t/\tau_2) - \exp(-t/\tau_1)] / (1 - k),$$

где $k = \tau_1/\tau_2 = t_1/t_2$, $k = 0,014$.

Поскольку $k \ll 1$, то функция $N_2(t)$ достигает максимума $N_2(t_m) \approx N_0$, $t_m = (\tau_1 \ln 1/k) / (1 - k)$.

А. $N_1(t_1) = N_0/2$, $N_2(t_1) = N_0[\exp(-k \ln 2) - 1/2] \approx N_0(1/2 - k \ln 2)$, $N_3(t_1) \approx N_0 k \ln 2$.

Б. $N_1(t_2) = 0$, $N_2(t_2) \approx N_0/2$, $N_3(t_2) \approx N_0/2$.

В. $N_1(10t_2) \approx 0$, $N_2(10t_2) \approx 0$, $N_3(10t_2) = N_0$.

13.2.26. Из уравнения $\exp(-T_{2/3}/\tau) = 1/3$ находим

$$T_{2/3} = \tau \ln 3 = T_{1/2} \ln 3 / \ln 2.$$

13.2.27. Из определения активности вещества $a = mN_A \ln 2 / MT_{1/2}$, и определения $1 \text{ Ку} = m_0 N_A \ln 2 / M_{Ra} T_{1/2}(Ra)$, $m_0 = 0,001 \text{ кг}$ находим

$$a = (m/m_0) (M_{Ra} T_{1/2}(Ra) / MT_{1/2}) \text{ Ку}.$$

13.2.28. Из решения задачи 13.2.27 следует, что

$$m = m_0 (MT_{1/2}) / (M_{Ra} T_{1/2}(Ra)).$$

13.2.29. Активность натрия $a = mN_A \ln 2 / MT_{1/2}$, активность раствора в крови $A = [m \exp(-t_1/\tau)] N_A \ln 2 / MVT_{1/2}$.

Следовательно, $V = (a/A) \exp(-t_1/\tau)$.

13.2.30. Из (13.2.5) находим

$$U_p \approx - [E_{cb}(Z, A) - 2E_{cb}(Z/2, A/2)] = A(8,45 - 7,6) \text{ МэВ} = 0,85A \text{ МэВ.}$$

Полагая $A = 235$, получим $U_p \approx 200 \text{ МэВ}$.

13.2.31. При делении $m = 1 \text{ кг}$ урана $^{235}_{92}\text{U}$ энергия продуктов деления $mc_U = (mN_A/M)U_p = 8,19 \cdot 10^{13} \text{ Дж}$ эквивалентна сжиганию 1900 т сырой нефти.

Отметим, что удельная теплота сгорания нефти, $s \sim 3,8 \cdot 10^7 \text{ Дж/кг}$, в два миллиона раз меньше. При полном делении 1 кг урана-235 выделяется энергия, эквивалентная энергии взрыва 20 000 т тротила (удельная теплота сгорания $s = 4,1 \cdot 10^6 \text{ Дж/кг}$).

Взрыв атомной бомбы. Допустим, что при делении ядра образуются в среднем два нейтрона. Тогда в n -м поколении появятся $2^n \approx 10^{0,3n}$ нейтронов. Промежуток времени между последующими актами деления составляет величину $\tau \sim 10^{-8} \text{ с}$.

Полагая в уравнении $(mN_A/M) = 10^{0,3n}$ массу урана $m = 50 \text{ кг}$, найдем $n = 90$ — менее, чем за 90 циклов деления за одну миллионную долю секунды выделится энергия эквивалентная взрыву 1 млн тонн тротила ($1 \text{ Мт} = 10^{15} \text{ кал} = 4,2 \cdot 10^{15} \text{ Дж}$). Так происходит взрыв атомной бомбы.

Для урана-235 критическая масса — 50 кг (плотность урана $\rho = 18,95 \text{ г/см}^3$), для плутония-239 — 11 кг , для урана-233 — 16 кг .

13.2.32. Из уравнения $P\Delta t = \eta\Delta mN_AU_p/M$ находим $\Delta m/\Delta t = 0,117 \text{ г/с}$.

Полагая $\Delta t = 24 \cdot 60 \cdot 60 \text{ с}$, находим $\Delta m = 10,1 \text{ кг}$. Это означает, что образуется около 10 кг радиоактивных отходов. Отметим, что при КПД = $0,4$ суточная потребность тепловой станции составляет 6 750 т угля или 4 600 т нефти.

13.2.33. Обозначим массы частиц m_1, m_2, m_a, m_b . Запишем закон сохранения энергии в системе центра масс (с. ц. м.). Кинетическая энергия системы равна сумме энергии движения системы как целого и энергии нерелятивистского относительного движения в с. ц. м.:

$$T_1 = m_1v_1^2/2 = mv^2/2 + \mu_{12}v_1^2/2,$$

где приведенная масса начальных частиц $\mu_{12} = m_1m_2/(m_1 + m_2)$.

Первое слагаемое в результате неупругого взаимодействия частиц не изменяется. В с. ц. м. согласно закону сохранения полной энергии

$$\mu_{12}v_1^2/2 + m_1c^2 + m_2c^2 = E_a + E_b + m_ac^2 + m_bc^2, \quad (1)$$

$$E_a = m_a[m_bv/(m_a + m_b)]^2/2, E_b = m_b[m_av/(m_a + m_b)]^2/2, \quad (2)$$

где E_a, E_b — энергии нейтрона и альфа-частицы в с. ц. м., $\vec{v} = \vec{v}_a - \vec{v}_b$ — относительная скорость продуктов реакции.

Из (13.5.1) следует уравнение

$$m_1 c^2 + m_2 c^2 = m_a c^2 + m_b c^2 + U, \quad (3)$$

При вычислении кинетической энергии можно приближенно принять, что $m_1 = 2m_0, m_2 = 3m_0, m_a = m_0, m_b = 4m_0$, где m_0 — масса протона. В этом приближении $\mu_{12} = 6m_0/5, \mu_{12}v_1^2/2 = (3/5)T_1$.

Из уравнений (1), (2), (3) получим систему

$$(3/5)T_1 + U = E_a + E_b, E_a = 4E_b,$$

из которой находим

$$E_a = (12/25)T_1 + (4/5)U.$$

**ВОПРОСЫ
И БЛИЦ-
ОТВЕТЫ**

Механика

1. Найдите ошибки в определении: движение тела называется равномерным, если тело за равные промежутки времени проходит одинаковые расстояния.

Ответ: Две ошибки. 1. Необходимо вставить: за *любые* равные....

2. Необходимо отметить, что тело движется по прямой линии.

(Правильное определение: прямолинейное движение называется равномерным, если тело за *любые* равные промежутки времени проходит одинаковые расстояния, или совсем строго $\vec{v}(t) = \vec{v}_0$).

2. Как называются две различные траектории двух одинаковых снарядов, вылетевших из пушки и упавших в одно и то же место?

Ответ. настильная и навесная траектории.

3. Можно услышать, что потенциальная энергия представляет собой запас работы. Правильно ли это утверждение?

Ответ. Нет, это утверждение неверно. (Работа связана не с потенциальной энергией, а с приращением потенциальной энергии при перемещении частицы из одной точки в другую. Потенциальная энергия $W(x, y, z)$ представляет собой функцию координат частицы, а понятие работы силы можно ввести только при перемещении частицы. При приращении радиус-вектора $\Delta \vec{r}$ элементарная работа $\delta A = -\Delta W(x, y, z)$. В фиксированной точке сила не совершает работы. Работу силы нельзя «запаси» — совершая работу, мы изменяем полную энергию частицы.)

4. Шарик, прикрепленный к нити, колеблется в вертикальной плоскости по окружности. Укажите направление равнодействующей силы натяжения и силы тяжести.

Ответ. Параллельно ускорению шарика. (Вектор ускорения всегда направлен внутрь окружности. Результирующая сила направлена не по касательной, как можно часто услышать или увидеть на рисунках в некоторых пособиях по физике.)

5. Приведите определение равнодействующей силы.

Ответ. Силы $\vec{F}_1, \vec{F}_2, \vec{F}_3, \dots$, приложенные к твердому телу, имеют *равнодействующую* силу $\vec{F} = \vec{F}_1 + \vec{F}_2 + \vec{F}_3, \dots$, если ее момент относительно произвольной точки O равен сумме моментов всех сил относи-

тельно той же точки O . (Это определение имеет конструктивный характер и позволяет получить три уравнения для определения положения точки приложения равнодействующей силы \vec{F} .)

6. Перед Вами формулировка закона всемирного тяготения, взятая из учебника по физике: все тела притягиваются друг к другу с силой, прямо пропорциональной произведению их масс и обратно пропорциональной квадрату расстояния между ними. Перечислите ошибки авторов, допущенные в формулировке закона.

Ответ. Закон всемирного тяготения — это утверждение об одной силе, действующей на материальную точку со стороны другой точки.

1. В формулировке говорится о всех телах, которые притягиваются с одной силой (?).

2. Понятие «расстояние между телами» не существует — расстояние определено только для двух точек.

3. Не указано направление силы.

Молекулярная физика и термодинамика

1. Почему из уравнения состояния идеального газа $p = \rho RT/M$ следует завышенное значение давления?

Ответ. Идеальный газ представляет собой модель реального газа в состоянии теплового равновесия. Это — система невзаимодействующий частиц. В реальном разреженном газе действуют силы притяжения молекул друг к другу.

2. Сравните массы одного литра влажного и сухого воздуха при одинаковых температуре и давлении.

Ответ. Масса сухого воздуха больше массы влажного воздуха. (Этот вывод следует из закона Авогадро: в равных объемах идеального газа при одинаковых давлении и температуре содержится одинаковое число молекул. Молярная масса воздуха $M = 29$ г/моль, воды — $M_2 = 18$ г/моль).

3. Реки всего мира каждую секунду вливают в океаны и моря 10^9 кг пресной воды. Почему этот постоянный поток не приводит к уменьшению солености морей?

Ответ. Дождевая вода, просачиваясь через сушу, растворяет минералы и вносит каждый год $3 \cdot 10^{11}$ кг растворенных солей в моря. Морская вода является концентрированной речной водой.

4. Назовите три фазы углерода в кристаллическом состоянии.

Ответ. Графит, алмаз, фуллерен.

5. Как изменится расстояние между молекулами, если вода в бутылке замерзнет?

Ответ. Расстояния между молекулами увеличиваются. (Поскольку плотность льда меньше плотности воды, то объем льда станет больше объема воды.)

6. Объясните, почему ветер со снежного хребта в Скалистых горах США повышает температуру на подветренной стороне иногда до 25°C и «съедает» снежный покров.

Ответ. Движение воздуха — адиабатический процесс. По подветренной стороне движется сухой воздух, поскольку в результате понижения температуры элементарной массы при подъеме на хребет в об-

ласть меньшего давления почти вся влага сконденсировалась. При спуске в область повышенного давления элементарная масса воздуха сжимается — согласно первому закону термодинамики $\nu C_p \Delta T = -p \Delta V$ температура увеличивается.

7. Зимой температура воздуха над поверхностью Северного Ледовитого океана опускается до -40°C . Почему же за зиму нарастает слой льда толщиной не более метра?

Ответ. При замерзании воды выделяется теплота, замедляющая образование новых порций льда.

8. Знаете ли Вы величину давления насыщенного пара при температуре 100°C ?

Ответ. Давление насыщенного пара при 100°C равно нормальному атмосферному давлению. (При нормальном атмосферном давлении вода кипит при температуре 100°C .)

9. Температура лавы у жерла подводного вулкана достигает 400°C . Почему же не закипает морская вода у жерла вулкана?

Ответ. Давление насыщенного пара $p_{\text{нп}} = 1003 \text{ кПа}$ при температуре $t_1 = 180^\circ \text{C}$; $p_{\text{нп}} = 11290 \text{ кПа}$ при температуре $t_2 = 320^\circ \text{C}$. Вода не кипит, потому что не выполняется условие кипения: давление насыщенных паров при температуре 400°C меньше внешнего давления.

10. Почему пар обжигает сильнее, чем вода при той же температуре?

Ответ. Количество теплоты, которое выделяется при конденсации воды, значительно больше количества теплоты, передаваемого той же массой воды при охлаждении.

11. Выпал иней — в каком состоянии находится вода?

Ответ. В кристаллическом состоянии. (Иней представляет собой кристаллики льда.)

12. В чем отличие сухого льда от обычного?

Ответ. При нагревании обычный лед переходит в воду, а сухой — в углекислый газ, не проходя фазу жидкости.

13. Космонавт должен работать в открытом космосе 1 час. Почему в скафандре без подогрева космонавт не замерзает на «космическом холоде»?

Ответ. В вакууме отсутствуют два механизма потерь теплоты — теплопроводность и конвекция. Остается один — лучеиспускание. За час не происходит заметного понижения температуры.

14. Почему нельзя реализовать цикл Карно?

Ответ. В идеальных изотермических процессах подвод и отвод теплоты должен происходить при постоянной температуре. В этом случае теплообмен невозможен, т.к. поток теплоты возникает лишь при наличии конечной разности температур рабочего тела и нагревателя или холодильника.

15. Книга упала со стола на пол. Куда «пропала» потенциальная энергия книги?

Ответ. Внутренняя энергия молекул книги и пола возросли на величину потенциальной энергии книги.

16. Нагревается или охлаждается воздух в комнате при работе домашнего холодильника?

Ответ. Воздух в комнате нагревается. (Из первого закона термодинамики следует, что количество теплоты переданное нагревателю в результате совершенной мотором работы $Q_2 = Q_1 + A$, где Q_1 — количество теплоты отводимое из камеры холодильника).

Гидростатика

1. В программе по физике для учащихся и абитуриентов, которую переиздают различные высшие учебные заведения в течении почти пятидесяти лет, в разделе «Механика жидкостей и газов» есть пункт — «Давление на дно и стенки сосуда». Правильно ли сформулировано это предложение?

Ответ. Это предложение лишено смысла, т.к. давление является функцией координат (и времени). Правильное утверждение — давление в точке. («Давление на стенку» — синоним утверждения «скорость за час».)

2. Сформулируйте определение условия плавания тела.

Ответ. Сумма силы тяжести и выталкивающей силы равна нулю. (Обычно приводят неверный ответ — сила тяжести равна выталкивающей силе.)

3. Кусок пробки плавает сначала в воде, а потом в масле. В каком случае величина силы Архимеда больше?

Ответ. В каждом случае сила Архимеда одинакова. (Согласно условию плавания в каждом случае величина силы Архимеда равна величине силы тяжести, действующей на кусок пробки.)

4. Корабль переплыл из Волги в Каспийское море. Как изменилось расстояние между поверхностью палубы и поверхностью воды?

Ответ. Расстояние между поверхностями палубы и воды увеличилось.

5. Перед Вами формулировка закона *Паскаля*, взятая из пособия по физике: Все жидкости и газы передают производимое на них давление во все стороны одинаково. Почему эта формулировка неверна.

Ответ. Отметим сразу, что силы и давление «не передаются». Передается, а точнее распространяется волна деформации. Однако закон Паскаля относится к гидростатике — состояние системы не изменяется по определению. На элементарную массу жидкости действуют объемная сила — сила тяжести и поверхностная сила со стороны окружающей среды.

Сила тяжести приводит к гидростатическому давлению. Согласно закону Паскаля поверхностные силы создают давление одинаковое в любой точке жидкости или газа.

6. Изменится ли положение коромыслов весов, уравнивающих стакан с водой и гирю, если в воду погрузить палец? Палец не касается стакана.

Ответ. Чаша весов со стаканом перетянет. (Согласно закону Паскаля поверхностные силы создают давление одинаковое в любой точке воды — давление на дно стакана увеличится.)

7. Взвесили резиновый шарик, а затем тот же шарик, надутый воздухом, имеющим температуру воздуха в комнате. Почему показания весов в обоих случаях одинаковы?

Ответ. На надутый шарик действуют сила тяжести шарика с воздухом и выталкивающая сила. (Выталкивающая сила равна весу воздуха в шаре. Этот опыт служил «доказательством» того, что воздух не имеет «веса».)

Электродинамика

1. Заряд Q движется по оси неподвижного кольца с зарядом Q . Когда сила, действующая на заряд обратится в нуль?

Ответ. Когда заряд достигнет центра кольца.

2. На расстоянии $r > R$ от центра металлической изолированной незаряженной сферы радиусом R находится заряд Q . Сила, действующая на заряд или на сферу, равна нулю. Заряжена ли сфера?

Ответ. В поле заряда Q электроны в металле незаряженной сферы перераспределяются; сфера приобретает дипольный момент и притягивается к заряду. Если сфере сообщить определенный положительный заряд, то сила, действующая на сферу может обратиться в нуль.

3. Пространство между пластинами конденсатора, подключенного к генератору постоянного напряжения, заполнили диэлектриком с диэлектрической проницаемостью $\epsilon = 2$. Как изменится энергия электростатического поля конденсатора?

Ответ. Увеличится в 2 раза.

4. Плоский конденсатор имеет емкость C . В него внесли металлическую пластину толщиной $d/4$, где d — расстояние между пластинами конденсатора. Плоскость пластины параллельна обкладкам конденсатора. Определите приращение емкости конденсатора ΔC .

Ответ. $\Delta C = C/3$. (Эквивалентная схема представляет два последовательно соединенных конденсатора.)

5. Назовите причину возникновения электрического тока в проводе.

Ответ. Ток возникает в результате взаимодействия электронов с электрическим полем, создаваемым разностью потенциалов на участке провода.

6. В электростатическом поле потенциалы двух точек удовлетворяют неравенству $\varphi_a > \varphi_b$. Расположим в этом поле замкнутый провод, проходящий через точки a и b . Почему сила тока в проводе равна нулю?

Ответ. После внесения проводника поле перестроится так, что напряженность поля в проводнике обратится в нуль в результате перераспределения электронов на поверхности проводника.

7. Относительное удлинение провода $\Delta l/l = \varepsilon$. Найдите относительное приращение сопротивления $\Delta R/R$.

Ответ. $\Delta R/R = \varepsilon$. (Сопротивление провода $R = \rho l/S$.)

8. Схема содержит батарейку и резистор, соединенных идеальным проводником. Объясните «физический» смысл терминов *работа тока*, *мощность тока* или *мощность в цепи*.

Ответ. Эти термины полностью лишены какого-либо смысла.

1. Работу совершает сила, а не ток. На электроны, движущиеся в проводе, действует сила со стороны внешнего электрического поля, поля ионов и других электронов. Совершается работа «над током».

2. Правильный термин — не мощность тока, а мощность, потребляемая резистором. На участках идеального провода «мощность тока» равна нулю.

9. Конденсатор подключен к батарейке. Опишите энергетический баланс при увеличении расстояния между пластинами.

Ответ. ЭДС батарейки — ε , внутреннее сопротивление не равно нулю. При изменении расстояния между пластинами в цепи протекает переменный ток. Поэтому в батарейке выделяется количество теплоты Q . Пусть C_1 , $U_1 = C_1 \varepsilon^2/2$ — емкость конденсатора и энергия электрического поля в начальном состоянии, $C_2 < C_1$, $U_2 = C_2 \varepsilon^2/2$ — емкость конденсатора и энергия электрического поля в конечном состоянии. Из закона изменения энергии следует уравнение энергетического баланса — сумма работы A_e , совершаемой внешней силой, и работы, совершаемой ЭДС $\varepsilon(C_2 \varepsilon - C_1 \varepsilon)$, равна приращению энергии электрического поля $U_2 - U_1$ и джоулеву тепла.

Следовательно, $A_e = Q - (C_2 - C_1) \varepsilon^2/2 > 0$.

10. Сверхпроводящее кольцо, индуктивность которого L , приблизили к полюсу электромагнита. Величина полного потока магнитной индукции через кольцо равна Φ_0 . Определите силу тока в кольце после выключения электромагнита.

Ответ. $I = \Phi_0/L$. (Согласно закону Ома $0 + LdI/dt = -d\Phi_e/dt$, где Φ_e — поток магнитной индукции, создаваемый магнитом. Следовательно, $LI + \Phi_e = \Phi_0$.)

11. Остается ли верным закон индукции Фарадея в случае контура, не содержащего проводников?

Ответ. Да, поскольку закон индукции представляет собой следствие уравнений Максвелла, согласно которым переменное магнитное

поле в вакууме создает переменное электрическое поле, а-переменное электрическое поле создает переменное магнитное поле.

12. Как предсказать направление индукционного тока?

Ответ. Направление индукционного тока определяется автоматически вследствие однозначного соответствия между положительным направлением на замкнутом контуре, которому принадлежат проводники, и вектором внешней нормали, который *необходимо* задать для вычисления потока магнитной индукции. (В электродинамике принято правило, согласно которому положительное направление на контуре связано с выбором вектора внешней нормали к элементарной площадке $\Delta \vec{n}$ на поверхности: при обходе контура в положительном направлении вектор $\Delta \vec{n}$ остается с левой стороны или правилом буравчика.)

13. В учебной литературе обычно приводится следующая формулировка закона Ленца:

«... индукционный ток имеет такое направление, что созданный им магнитный поток через поверхность, ограниченную контуром, стремится препятствовать тому изменению потока, которое порождает данный ток»¹. Почему эта формулировка некорректна?

Ответ. Из этого утверждения следует, что магнитный поток $\Phi_i(t)$, создаваемый током, стремится препятствовать *изменению*² т.е. приращению магнитного потока $\Phi_e(t)$. Очевидно, что сопоставление функции $\Phi_i(t)$ в момент времени t и приращения $\Delta\Phi_e$ функции $\Phi_e(t)$ за произвольный (?) интервал времени $[t, t + \Delta t]$ лишено смысла.

14. Имеет ли «физический смысл» знак минус в определении ЭДС индукции согласно закону Фарадея – Максвелла?

Ответ. При выводе закона электромагнитной индукции из уравнений Максвелла появление этого множителя обусловлено математическим соглашением, связывающим положительное направление на контуре с выбором вектора внешней нормали \vec{n} к поверхности: при обходе контура в положительном направлении вектор \vec{n} остается с ле-

¹ Мякишев Г.Я., Синяков А.З., Слободсков Б.А. «Физика», Издательский дом «Дрофа», 1998, С. 406 и др.

² К сожалению в учебной литературе по физике вместо термина «приращение функции» используют понятие изменение, как будто речь идет о погоде или настроении.

вой стороны. Тогда из закона Ома следует, что при значениях $I(t) > 0$ ток течет в положительном направлении, при $I(t) < 0$ — в отрицательном. Однако те же авторы утверждают, что «направление индукционного тока определяется законом сохранения энергии» (?). Направление индукционного тока определяется автоматически вследствие однозначного соответствия между положительным направлением на контуре и вектором внешней нормали к поверхности, который необходимо ввести для вычисления потока магнитной индукции.

15. Последовательно соединенные резистор, катушка индуктивности и конденсатор подключены к генератору напряжения, ЭДС которого $\varepsilon(t) = \varepsilon_0 \cos \omega t$, $t \geq 0$. Запишите условие, при котором разность потенциалов на концах участка L - C равна нулю.

Ответ. $\omega = 1/\sqrt{LC}$.

16. Опишите энергетический баланс трансформатора.

Ответ. Работа, совершаемая генератором, равна сумме джоулева тепла, рассеиваемого в первичной и вторичной цепях, и приращения энергии магнитного поля.

Механические колебания

1. Приведите определение термина «незатухающие одномерные колебания».

Ответ. В механике термин «незатухающие колебания» системы N частиц, имеющих одну степень свободы, означает *движение* системы, описываемое координатой $q(t) = q_0 + A \cos(\omega t + \alpha)$, где q_0 — значение координаты в положении устойчивого равновесия, $t > t_0$, t_0 — момент времени, в который заданы начальные условия. (Очевидно $q(t)$ не является периодической функцией, поскольку согласно определению периодической функции $f(t) = f(t + T)$ в интервале $-\infty < t < \infty$.)

2. Приведите определение резонанса.

Ответ. Резонансом называется избирательный отклик колебательной системы на действие внешней периодической силы с частотой, близкой к собственной частоте.

Волны

1. Высота волн цунами в открытом океане порядка 0,3–3 м. Почему при приближении к берегу высота волн достигает высоты 20–30 м?

Ответ. При приближении к берегу скорость распространения волн уменьшается. Замедление переднего края волны вызывает подъем воды и поэтому высота волны увеличивается. (Глубина океана значительно меньше длины волны цунами. В этом случае скорость волны $v = \sqrt{gh}$, где h — равновесное расстояние от поверхности до дна.)

2. Вектор напряженности монохроматической плоской бегущей электромагнитной волны $\vec{E}(t, x, y, z) = \vec{E}_0 \cos(\omega t - \omega z/c)$. «Что» колеблется в волне?

Ответ. «Ничего» не колеблется. (Электромагнитная волна — процесс распространения электрического и магнитного полей в пространстве. В некоторой точке, координаты которой x_0, y_0, z_0 , имеем три функции $\vec{F}(t) = \vec{E}(t, x_0, y_0, z_0) = \vec{E}_0 \cos(\omega t - \omega z_0/c)$, не связанные с процессом распространения волны. Если «фиксировать» волну в моменты времени $t = 0, t_1, t_2, \dots$, то получим функции координат — косинусоиды $\vec{E}_0 \cos[\omega(z - ct_1)/c]$, $\vec{E}_0 \cos[\omega(z - ct_2)/c]$, ..., сдвинутые по оси z вправо относительно $\vec{E}_0 \cos(\omega z/c)$ на расстояния ct_1, ct_2, \dots . Это и есть процесс распространения напряженности электрического поля бегущей волны. Отметим, что вектор $\vec{E}(t, x, y, z)$ и соответствующий вектор $\vec{B}(t, x, y, z)$ удовлетворяют шести уравнениям Максвелла.)

3. Вода течет по водопроводу. Что происходит при внезапном закрытии крана заслонкой?

Ответ. Возникает волна деформации или звуковая волна. (Столкнувшись с заслонкой, слой воды, прилегающей к ней, останавливается и сжимается. Далее останавливаются и сжимаются последующие слои — возникает волна деформации, распространяющаяся навстречу потоку со скоростью звука в воде $c_b = 1500$ м/с. Здесь уж точно ничего не колеблется. При скорости течения $v = 1$ м/с вода создает на заслонке давление $p = 15 \cdot 10^5$ Па, значительно большее атмосферного давления. Рассмотренное явление называется гидравлическим ударом. Разрушительное действие капель также объясняется этим явлением.)

4. Приведите пример бегущей звуковой волны.

Ответ. Звуковая волна — процесс распространения деформации в среде. В сферической волне, распространяющейся в безграничном

пространстве, акустическое давление $p_{ac}(t, x, y, z) = (1/r)f(r - ct)$, где c — скорость волны, $f(r - ct)$ — произвольная функция, r — расстояние от точечного источника деформации среды. (Эта функция может описывать волну, возбуждаемую хлопком. Волновой процесс реализуется элементарными массами воздуха, которые не колеблются, а последовательно смещаются и возвращаются в равновесные положения. Волна в среде и колебания частиц среды — совершенно различные явления. Отметим, что функция $p_{ac}(t, x, y, z)$ удовлетворяет основному уравнению акустики — волновому уравнению.)

5. Антенна радиоприемника представляет собой отрезок провода, присоединенный к колебательному контуру. Объясните почему линейно поляризованная электромагнитная волна возбуждает ток в проводе.

Ответ. Если провод ориентировать параллельно вектору напряженности электрического поля волны, то на отрезке провода длиной l создается разность потенциалов El .

6. Почему солнечный свет, преломляясь на оконном стекле, не разлагается в непрерывный спектр?

Ответ. Если обе поверхности стекла параллельны, то не происходит пространственного разделения световой волны на монохроматические компоненты.

7. Почему мы видим днем небо голубым, а на закате — желто-красным?

Ответ. Свет рассеивается на неоднородностях плотности воздуха, которые возникают благодаря флуктуациям числа частиц внутри объема, линейные размеры которого порядка длины волны. В этом случае интенсивность рассеянной монохроматической волны пропорциональна частоте в четвертой степени. Отношение частоты синего света к частоте красного света $\nu_s/\nu_k = 1,44$. Поэтому интенсивность рассеянного синего света в $(\nu_s/\nu_k)^4 = 4,3$ раз больше интенсивности рассеянного красного света. На закате в проходящем свете почти отсутствует голубая компонента солнечного света.

8. Приведите определение интерференции волн.

Ответ. Интерференция — эффект наложения волн, в области перекрытия которых интенсивность или плотность энергии зависит от координат.

9. Объясните почему в отраженном свете выглядят окрашенными пятна масла на асфальте или тонкие мыльные пузыри?

Ответ. В результате интерференции волн — ω_1, ω_2 , отраженных от внешней и внутренней поверхностей. (Падающая волна отражается (ω_1) и преломляется на внешней поверхности. Преломленная волна преломляется на внутренней поверхности и отражается от нее. Отраженная волна преломляется на внешней поверхности, образуя волну ω_2 . При освещении солнечным светом возникают максимумы интенсивности, соответствующие в зависимости от толщины пленки различным цветам.)

10. Световая волна падает перпендикулярно поверхности плоскопараллельной прозрачной пленки. Возможно ли прохождение волны, не сопровождающееся отражением волны?

Ответ. При определенной длине волны возможна деструктивная интерференция волн отраженных от двух поверхностей пленки.

11. Плоская монохроматическая электромагнитная волна падает по нормали к плоской металлической поверхности. Почему образуется стоячая волна?

Ответ. В результате интерференции падающей и отраженной волн. (Отраженная волна должна возникнуть только потому, что должны выполняться граничные условия: на поверхности металла вектор $\vec{E} = 0$.)

12. Во всех учебниках можно прочесть, что максимум интенсивности при интерференции двух световых волн находится в точках, для которых разность хода равна четному числу «полувольт». Может ли возникнуть максимум интенсивности, если в разности хода укладывается нечетное число полувольт?

Ответ. Может — при интерференции падающей волны, поляризованной в плоскости, перпендикулярной плоскости падения, и волны, отраженной от металлического покрытия зеркала. В этом случае $E \approx E_2 - E_1$, поскольку напряженность электрического поля на поверхности экрана равна нулю.

13. В каких эффектах проявляются волновые свойства частиц?

Ответ. В дифракции и интерференции. (В 1927 г. впервые обнаружили дифракцию электронов на кристалле никеля. В 1960 г. наблюдали интерференцию двух пучков электронов, разделенных в пространстве соленоидом. Согласно квантовой физике корпускулярные и волновые свойства частиц — электронов, атомов, молекул, фотонов, вирусов и т.д. следует рассматривать не как взаимоисключающие, а как взаимодополняющие друг друга. Движение частиц

описывается волной в абстрактном пространстве состояний. Длина волны $\lambda = h/p$, где p — импульс частицы. При попадании частиц на экран волновые свойства проявляются в зависимости вероятности плотности распределения от координат.)

14. В установке Юнга фотоны падают на экран с двумя отверстиями. Как проявляются волновые свойства фотонов?

Ответ. Согласно квантовой теории состояние фотона описывается ненаблюдаемой волной вероятности, представляющей собой сумму двух слагаемых — фотон *одновременно* находится в состояниях, соответствующих прохождению через первое и второе отверстия. (Интерференция электромагнитных волн — квантовый эффект. В рамках классической физики фотон может пройти сквозь первое или сквозь второе отверстия. Возникновение интерференции существенно связано с невозможностью предсказать, через какое отверстие пролетел фотон. Всякая попытка определить, по какому пути пролетел фотон, уничтожает интерференционную картину.)

15. Приведите оценку расстояния, начиная с которого проявится дифракция электромагнитных или звуковых волн, падающих на отверстие радиусом R .

Ответ. На расстояниях $s > R^2/\lambda$, λ — длина волны. (Дифракция становится заметной, когда площадь первой зоны Френеля, равная $\pi s\lambda$ для наблюдателя на расстоянии s от отверстия, больше площади отверстия.)

16. Грани кристалликов льда отражают солнечный свет и мы видим блестки на снегу. Однако на несколько большем расстоянии снежное поле выглядит равномерно освещенным. Объясните причину этого явления.

Ответ. Правильное зеркальное отражение возможно только тогда, когда выполняются условия применимости геометрической оптики: площадь грани кристаллика должна быть больше площади нескольких первых зон Френеля. При наблюдении отражения света от более удаленных кристалликов площадь первых зон Френеля возрастает.

17. Что означает понятие «прямолинейное распространение света»?

Ответ. Этот термин — из жаргона популяризаторов науки. Свет — электромагнитная волна, которая не связана с какими либо прямыми. В геометрической оптике, которая является весьма грубым приближением в теории распространения волн, электромагнитную волну в изотропной среде представляют как пучок кривых — лучей,

ортогональных к волновому фронту, совершенно игнорируя волновую природу. Свет, излучаемый точечным диполем представляет собой на расстояниях $s \gg \lambda$ сферическую электромагнитную волну. Фронт волны — сфера, лучи — полупрямые, исходящие из точки, представляют собой математическую абстракцию. Следует все-таки отметить, что наиболее существенной областью, в которой распространяется волна, принимаемая детектором D на расстоянии s от источника O , является область пространства, представляющая собой эллипсоид вращения с фокусами в точках O и D . Максимальный диаметр окружности сечения плоскостью, перпендикулярной отрезку OD равный $\sqrt{\lambda s}$ находится на середине отрезка OD . Электромагнитное поле в этой области образует реальный физический луч. Если на середину отрезка OD поставить экран, перпендикулярный OD с отверстием на оси радиусом $R > \sqrt{\lambda s}$, то наблюдатель обнаружит «прямолинейное» распространение света.

18. Зависит ли масса частицы от скорости в теории относительности?

Ответ. Нет, не зависит. Согласно Эйнштейну масса частицы m — скаляр, т.е. инвариант, который в любой инерциальной системе отсчета имеет постоянное значение. Согласно алгебре теории относительности основными объектами теории являются скаляры, четырехмерные векторы и тензоры. Релятивистская энергия $E = mc^2/[1 - (v/c)^2]^{1/2}$, введенная Эйнштейном, представляет собой временную компоненту четырехмерного вектора энергии — импульса ($p_0 = E/c$, \vec{p}), квадрат которого в метрике Минковского $p_0^2 - \vec{p}^2 = (mc)^2$ или $(E/c)^2 - \vec{p}^2 = (mc)^2$ постоянная величина, где m — масса частицы. При переходе от одной инерциальной системы отсчета к другой энергия преобразуется как временная компонента четырехмерного вектора координаты ($x_0 = ct$, \vec{x}). При этом $(E/c)^2 - \vec{p}^2 = (E'/c)^2 - \vec{p}'^2 = (mc)^2$. Невежественные авторы, которые вводят массу $M(v) = m/[1 - (v/c)^2]$ обычно ссылаются на Эйнштейна, статей и книг которого они никогда не читали. У Эйнштейна нет такого соотношения. По этой проблеме полезно ознакомиться с работой академика Л. Окуня [28]. Следует отметить, что проблема возникла в результате чтения работ или после слушания лекций неофитов — популяризаторов и вульгаризаторов, никогда не публиковавших статей, связанных с теорией относительности, в авторитетных научных журналах — рецензенты их туда просто не пропустят.

Литература

1. Ландау Л.Д., Китайгородский А.И. Физика для всех. М.: ГИФМЛ. 1963.
2. Оппер Дж. Физика. Т. 1, Т. 2. М.: Мир. 1981.
3. Мерион Дж.Б. Общая физика с биологическими примерами. М.: Высшая школа. 1986.
4. Роуэлл Г., Герберт С. Физика. М.: Просвещение. 1994.
5. Павленко Ю.Г. Физика. Ответы на вопросы. Экзамен. 1998–2003. 200 С.
6. Павленко Ю.Г. Физика. М.: Изд-во Джангар. Большая медведица. 1998–2003. 574 С.
7. Павленко Ю.Г. Физика. М.: Изд-во «Новая волна». 2002. 720 С.
8. Павленко Ю.Г. Задачи по теоретической механике. М.: Физматлит. 2002. 534 С.
9. Павленко Ю.Г. Начала физики. Уч. пос., изд. 2-е. Экзамен. 2004. 864 С.
10. Павленко Ю.Г. Тест-Физика. Экзамен. 2004. 254 С.
11. Павленко Ю.Г. Физика 10–11. М.: Физматлит. 2006. 842 С.
12. Уокер Дж. Физический фейерверк. М.: Мир. 1979.
13. Фейнман Р.Ф., Лейтон Р.М. Сэндс. Фейнмановские лекции по физике. М.: Мир, 1965.
14. Перельман Я.И. Занимательная механика. Знаете ли вы физику? М.: АСТ. 1999.
15. Пинский А.А. Задачи по физике. М.: Физматлит. 2000. 336 С.
16. Бендриков Г.А., Бузовцев Б.Б., Мякишев Г.Я. Физика. Задачи для поступающих в вузы. Физматлит. 1999.
17. Белонучкин В.Е., Заикин Д.А. и др. Задачи по общей физике. М.: Физматлит. 2001. 333 С.
18. Белолыпецкий С.Н., Еркович О.С. и др. Задачник по физике. М.: Физматлит. 2002. 365 С.
19. Черноуцан А.И. Физика. Задачи. М.: Высшая школа. 2003. 352 С.
20. Эмсли Дж. Элементы. М.: Мир. 1993.
21. Левантовский В.И. Механика космического полета. М.: Наука. 1980.
22. Фен Дж. Машины. Энергия. Энтропия. М.: Мир, 1986.

23. Дэвинс Д. Энергия. М.: Энергоатомиздат. 1985.
24. Копылов Г.И. Всего лишь кинематика. Библиотечка «Квант», вып. 11, М.: Наука, 1981.
25. Окунь Л.Б. Понятие массы. Успехи физических наук. 1989. Т. 158, вып. 3., С. 511.
26. Internationally Adopted Values'. Успехи физических наук. 2003. Т. 173. № 3.
27. Образованный ученый. М.: Наука. 1979.
28. Кордемский Б.А. Великие жизни в математике. М.: Просвещение. 1995.
29. Фейнман Р.Ф. Вы, конечно, шутите, мистер Фейнман. Москва. Ижевск. 2001.

СПРАВОЧНЫЕ ДАННЫЕ

Физические постоянные

Гравитационная постоянная	G	$6,6720 \cdot 10^{-11} \text{ Н} \cdot \text{м}^2/\text{кг}^2$
Атомная единица массы	а.е.м.	$1,66056 \cdot 10^{-27} \text{ кг} = 931,5016 \text{ МэВ}/c^2$
Постоянная Больцмана	k, k_B	$1,38 \cdot 10^{-23} \text{ Дж} \cdot \text{К}^{-1}$
Постоянная Авогадро	N_A	$6,022 \cdot 10^{23} \text{ моль}^{-1}$
Газовая постоянная	R	$8,314 \text{ Дж} \cdot \text{моль}^{-1} \cdot \text{К}^{-1}$
Элементарный заряд	e	$1,6021 \cdot 10^{-19} \text{ Кл}$
Масса электрона	m_e	$9,1095 \cdot 10^{-31} \text{ кг} = 0,511 \text{ МэВ}/c^2$
Удельный заряд электрона	e/m_e	$1,7588 \cdot 10^{11} \text{ Кл}/\text{кг}$
Масса протона	m_p	$1,67265 \cdot 10^{-27} \text{ кг} = 938,2796 \text{ МэВ}/c^2$
Масса нейтрона	m_n	$1,67495 \cdot 10^{-27} \text{ кг} = 939,5731 \text{ МэВ}/c^2$
Электрическая постоянная	ϵ_0	$10^{-9}/36\pi \text{ Кл}^2/\text{Н} \cdot \text{м}^2 = 8,85419 \cdot 10^{-12} \text{ Ф} \cdot \text{м}^{-1}$
Магнитная постоянная	μ_0	$4\pi \cdot 10^{-7} \text{ Н}/\text{А}^2 = 1,256637 \cdot 10^{-6} \text{ Гн} \cdot \text{м}^{-1}$
Скорость света	c	$2,99792458 \cdot 10^8 \text{ м}/\text{с}$
Постоянная Планка	h	$6,626176 \cdot 10^{-34} \text{ Дж} \cdot \text{с} = 4,134 \cdot 10^{-15} \text{ Эв} \cdot \text{с}$
Постоянная Планка	$\hbar = h/2\pi$	$1,054 \cdot 10^{-34} \text{ Дж} \cdot \text{с}$

Соотношения между внесистемными единицами и единицами СИ и СГСЭ.

- 1 Ангстрем = 0,1 нм
 1 мм рт. ст. = 133,332 Па, 1 Па = $7,5 \cdot 10^{-3}$ мм рт. ст.
 1 атм = $1,01 \cdot 10^5$ Па.
 1 Кл = $3 \cdot 10^9$ СГСЭ(г), 1 В = (1/300) СГСЭ(ф)
 1 Дж = $6,24 \cdot 10^{18}$ эВ, 1 эВ = $1,6021892 \cdot 10^{-19}$ Дж,
 В (гаусс) = Н (эрстед), 1 Тл $\doteq 10^4$ гаусс, 1 А/м = $4\pi \cdot 10^{-3}$ эрстед.
 1 Эв/(hc) = $8065,479 \text{ см}^{-1}$, $hc/(1 \text{ эВ}) = 1242 \text{ нм}$, 1 эВ/ h = $2,4179696 \cdot 10^{14}$ Гц.
 Астрономическая единица (среднее расстояние от Земли до Солнца) —
 а.е. $1,495978 \cdot 10^{11}$ м,
 Световой год $9,46053 \cdot 10^{15}$ м.
 Парсек (пк) $3,085678 \cdot 10^{16}$ м (1 пк равен 3,26 светового года).
 Масса Солнца $m_c = 1,989 \cdot 10^{30}$ кг.
 Средний радиус Солнца $6,96 \cdot 10^5$ км.
 Гравитационный параметр Солнца $Gm_c = 1,32712 \cdot 10^{11} \text{ км}^3/\text{с}^2$.
 Масса Земли $m_3 = 5,976 \cdot 10^{24}$ кг.
 Средний радиус Земли 6371,03 км.
 Гравитационный параметр Земли $Gm_3 = 3,9860 \cdot 10^5 \text{ км}^3/\text{с}^2$.
 Один год $3,16 \cdot 10^7$ с.

Учебное издание

Павленко Юрий Григорьевич

Физика. Избранные задачи

Книга II

Магнитное поле. Электромагнитная индукция
Электрический ток в среде. Электромагнитные колебания
Переменный ток в RCL-цепях. Электромагнитные волны
Оптика. Основы теории относительности
Квантовая физика

Издательство «ЭКЗАМЕН»

Гигиенический сертификат
№ 77.99.02.953.Д.008330.09.06 от 14.09.2006 г.

Главный редактор *Д.В. Яновский*
Технический редактор *Н.Я. Богданова*

Корректор *Г.М. Морозова*

Дизайн обложки *И.Р. Захаркина*

Компьютерная верстка *М.В. Демина, Е.Ю. Лысова*

105066, Москва, ул. Нижняя Красносельская, д. 35, стр. 1.
www.examen.biz

E-mail: по общим вопросам: info@examen.biz;

по вопросам реализации: sale@examen.biz

тел./факс 641-00-30 (многоканальный).

Общероссийский классификатор продукции
ОК 005-93, том 2; 953005 — книги, брошюры, литература учебная

Издание осуществлено при техническом содействии
ООО «Издательство АСТ»

Отпечатано на ОАО «Нижполиграф»
603006, Нижний Новгород, ул. Варварская, 32.

По вопросам реализации обращаться по тел.:
641-00-30 (многоканальный).

УВАЖАЕМЫЕ ПОКУПАТЕЛИ!

Книги издательства «**ЭКЗАМЕН**» можно приобрести
оптом и в розницу в следующих книготорговых организациях:

Москва

ТД «Библио-глобус» — Тел. (495) 928-43-51
Детский мир центр — Тел. (495) 781-09-75
ДК Медведково — Тел. (495) 476-16-90
ООО «Библиосфера» — Тел. (495) 670-52-17
«Молодая гвардия» — Тел. (495) 780-33-70
«Шаг к пятёрке» — Тел. (495) 411-08-29
Сеть магазинов «Мир школьника»

Архангельск

АВФ-книга — Тел. (8182) 65-41-34

Благовещенск

ЧП Калугин — Тел. (4162) 35-25-43

Волгоград

Предприниматель Гражданин Н.Н. —
Тел. (8442) 95-54-11

ООО «Кассандра» — Тел. (8442) 97-55-55

Владивосток

ОАО «Приморский торговый дом книги» —
Тел. (4232) 63-73-18

Воронеж

ООО «Амиталь» — Тел. (4732) 23-00-02

ООО «Риокса» — Тел. (4732) 21-08-66

Книжный мир семьи — Тел. (4732) 51-28-90

Екатеринбург

ООО «Валео Книга» — Тел. (343) 374-54-59

ПО «Крым» — Тел. (343) 369-29-25, 369-22-22

ООО «Фолиант» — Тел. (3432) 74-45-33

ООО «Алис» — Тел. (3432) 55-10-06

Ессентуки

ЧП Зинченко — Тел. (87961) 5-11-28

Иваново

«Мысль» — Тел. (4932) 30-00-65

Ижевск

ООО «УМК» — Тел. (3412) 78-35-04

Иркутск

«Продалитъ» — Тел. (3952) 24-17-77

«Ангей книга» — Тел. (3952) 24-20-95

Казань

ООО «Аист-пресс» — Тел. (8432) 43-12-20

ООО «Таис» — Тел. (8432) 72-34-55

Киров

«Книги детям» — Тел. (8332) 51-30-90

Краснодар

ООО «БукПресс» — Тел. (8612) 62-55-48

ООО «Когорта» — Тел. (8612) 62-54-97

Перспективы образования — Тел. (8612) 54-25-67

Красноярск

ООО «Градъ» — Тел. (3912) 59-11-52

Ленинск-Кузнецкий

Магазин № 85 — Тел. (38456) 7-30-07

Мурманск

ООО «Гезей» — Тел. (8152) 43-63-75

Новосибирск

ООО «Топ-книга» — Тел. (3832) 36-10-28

ООО «Модус-2» — Тел. (3832) 44-34-44

Нижегород

«Учебная книга» — Тел. (8312) 46-38-66

Дом книги — Тел. (8312) 77-52-07

Омск

«Омсккнига» — Тел. (3812) 23-52-08

Оренбург

«Фолиант» — Тел. (3532) 77-46-92

Пермь

ЧП Нежданов — Тел. (3422) 45-24-37

«Лира-2» — Тел. (3422) 26-66-91

Петропавловск-Камчатский

ЧП Кожан — Тел. (4152) 11-12-60

Прокопьевск

Книжный дом — Тел. (38466) 3-25-30

Псков

ООО «Гелиос» — Тел. (8112) 44-09-89

Пятигорск

ПБЮЛ Бердникова — Тел. (87933) 3-05-86

Ростов-на-Дону

«Фазтон-пресс» — Тел. (8632) 65-61-64

«Магистр» — Тел. (8632) 99-98-96

Рязань

ТД «Просвещение» — Тел. (4912) 44-67-75

ООО «Барс» — Тел. (4912) 93-29-54

Самара

«Реал +» — Тел. (8462) 41-87-30

«Чакона» — Тел. (8462) 42-96-30

Санкт-Петербург

«Санкт-Петербургский дом книги» —
Тел. (812) 318-64-38

ООО «Буквоед» — Тел. (812) 346-33-27

Саратов

Читающий Саратов — Тел. (8452) 51-87-62

Полиграфист — Тел. (8452) 29-43-96

ООО «Стрелец и К°» — Тел. (8452) 52-25-24

«Гемера» — Тел. (8452) 64-37-37

Смоленск

ООО «Кругозор» — Тел. (4812) 65-86-65

ООО «Родник» — Тел. (4812) 55-71-05

ООО «Книжный мир» — Тел. (4812) 29-16-02

«Эрудит» — Тел. (4812) 65-62-94

Тверь

«Книжная лавка» — Тел. (4822) 33-93-03

Тула

«Галатей» — Тел. (4872) 35-60-87

«Система +» — Тел. (4872) 31-29-23

Томь

ООО «Друг» — Тел. (3452) 21-34-39

ООО «Знание» — Тел. (3452) 25-23-72

ЗАО «Фолиант» — Тел. (3452) 27-36-06

Уфа

ООО «Эдвис» — Тел. (3472) 25-83-92

Хабаровск

ООО «Мирс» — Тел. (4212) 29-25-65

Челябинск

Интерсервис ЛТД — Тел. (3512) 21-34-53

Чита

«Экслибрис» — Тел. (3022) 32-59-64

Якутск

ЧП Аксечук — Тел. (4112) 42-89-60

«Якутский книжный дом» —
Тел. (4112) 34-10-12

Ярославль

Академия — Тел. (4852) 31-43-26

По вопросам прямых оптовых закупок обращайтесь
по тел. (495) 641-00-30 (многоканальный), sale@examen.biz
www.examen.biz

книга представляет собой сборник задач и вопросов по всем
курса физики средней школы: "Кинематика", "Основы
", "Молекулярная физика. Тепловые явления", "Механика
и газов", "Электростатика", "Электрический ток",
ое поле", "Электромагнитная индукция", "Колебания
"Оптика", "Элементы теории относительности"
вая физика". Предлагаемые свыше 1 600 задач
ов отражают наиболее существенные
ой темы понятия и законы. Включен
, который, как показала практика
х экзаменов на естественные
ты МГУ, наиболее сложен
уриентов.

ны решения всех задач.
руя свою работу, читатель
объективную информацию
не подготовки и разделах
мы, требующих
ительного изучения.

щихся старших
, абитуриентов
одавателей.

В ЭТОЙ СЕРИИ

ХИМИЯ

АЛГЕБРА

ГЕОМЕТРИЯ

ФИЗИКА

ГЕОГРАФИЯ

РУССКИЙ

ИНФОРМАТИКА

ЛИТЕРАТУРА

ISBN 978-5-377-00973-3

